



HAL
open science

**Villiers-le-Bel, département du Val d'Oise (95),
Déviation RD 10-370, un site agricole gaulois dans le
bassin du Croult [OA 108360]**

Jean-Gabriel Pariat, Vanessa Maret

► **To cite this version:**

Jean-Gabriel Pariat, Vanessa Maret. Villiers-le-Bel, département du Val d'Oise (95), Déviation RD 10-370, un site agricole gaulois dans le bassin du Croult [OA 108360]: rapport final d'opération du 04-05-2009 au 31-07-2009. OA 108360, SRA - Île-de-France; SDAVO. 2011, 492 p. hal-04532436

HAL Id: hal-04532436

<https://hal.science/hal-04532436>

Submitted on 4 Apr 2024

HAL is a multi-disciplinary open access archive for the deposit and dissemination of scientific research documents, whether they are published or not. The documents may come from teaching and research institutions in France or abroad, or from public or private research centers.

L'archive ouverte pluridisciplinaire **HAL**, est destinée au dépôt et à la diffusion de documents scientifiques de niveau recherche, publiés ou non, émanant des établissements d'enseignement et de recherche français ou étrangers, des laboratoires publics ou privés.



Distributed under a Creative Commons Attribution - NonCommercial - NoDerivatives 4.0
International License

Le Conseil général
soutient la recherche archéologique

Villiers-le-Bel

Département du Val d'Oise (95)

"Déviation RD 10-370"



Un site agricole gaulois dans le Bassin du Croult

Rapport final d'opération
du 04/05/2009 au 31/07/2009

Arrêté de prescription : 2008-524
Arrêté de désignation : 2009-223

Par

Jean-Gabriel Pariat, Vanessa Maret

Avec la collaboration de

Caroline Laporte-Cassagne, Gaetan Jouanin,
Opale Robin, Xavier Bernardeau,
Aline Emery-Barbier, Nicolas Garmond,
Aurélien Lefeuvre, Monique Wabont.

Conseil général du Val d'Oise
Service départemental d'archéologie
Abbaye de Maubuisson
95310 Saint-Ouen-l'Aumône

DRAC
Service régional de l'archéologie d'Ile-de-France
45-47, rue Le Peletier
75009 Paris



Avril 2011



0 1100 m

Villiers-le-Bel

« Déviation RD 10–370 »

Département du Val-d'Oise (95)

Un site agricole gaulois dans le Bassin du Croult
Rapport final d'opération

du 04/05/2009 au 31/07/2009

Arrêté de prescription : 2008–524

Arrêté de désignation : 2009–223

Par

Jean-Gabriel Pariat, Vanessa Maret

Avec la collaboration de

**Caroline Laporte-Cassagne, Gaëtan Jouanin, Opale Robin
Xavier Bernardeau, Aline Emery-Barbier, Nicolas Garmond,
Aurélien Lefeuvre, Monique Wabont**

**Conseil général du Val-d'Oise
Service départemental d'archéologie**

Abbaye de Maubuisson
95 310 Saint-Ouen-l'Aumône

**DRAC
Service régional de l'archéologie d'Ile-de-France**

47 rue Le Peletier
75009 Paris

Avril 2011

Sommaire

Fiche signalétique.....	5
Intervenants et moyens mis en œuvre.....	6
Mots clés des thesaurus.....	7
Tableau récapitulatif des résultats.....	8
Notice scientifique.....	9
Documents administratifs.....	10
Introduction.....	19
I – Stratégies et méthodes mises en œuvre.....	19
I.1 – Le calendrier.....	19
I.2 – Contraintes.....	21
II – Traitement et archivage des données.....	21
III – À propos d’une expérience de médiation.....	24
IV – Contexte géographique et géologique.....	24
IV.1 –Contexte géographique.....	24
IV.2 – Contexte géologique.....	26
V – Contexte historique et archéologique.....	26
V.1 – Contexte historique.....	26
V.2 – Contexte archéologique.....	26
V.2.1 – Le Néolithique.....	26
V.2.2 – Les âges des métaux.....	28
V.2.3 – L’Antiquité.....	31
V.2.4 – Le Moyen-Âge.....	31
VI – Problématique.....	32

VII – Les occupations archéologiques.....	32
VII.1 – Le Néolithique.....	32
VII.2 – La Tène ancienne.....	34
VII.2.1 – Le silo F15.....	34
VII.2.2 – Le silo F504.....	36
VII.2.3 – Le silo F505.....	37
VII.2.4 – La fosse F503.....	40
VII.2.5 – Conclusion.....	42
VII.3 – Une phase d’occupation complexe à caractériser :	
La Tène C1 ?.....	43
VII.3.1 – Le silo F3.....	44
VII.3.2 – Le silo F12.....	45
VII.3.3 – La fosse F500.....	46
VII.3.4 – Le silo F501.....	46
VII.3.5 – Bilan.....	50
VII.3.5.a – Une difficile caractérisation chronologique.....	50
VII.3.5.b – Fonctionnement des silos.....	50
VII.4 – La Tène C2 : une phase d’apogée dans l’occupation du site ?.....	53
VII.4.1 – Un enclos.....	53
VII.4.1.a – Sondage 1.....	53
VII.4.1.b – Coupe nord-ouest de l’angle sud-ouest.....	54
VII.4.1.c – Sondage 5.....	57
VII.4.1.d – Sondage 13.....	58
VII.4.1.e – Sondage 22.....	60
VII.4.1.f – Sondage 24.....	60
VII.4.1.g – Sondage 29.....	60
VII.4.1.h – Sondage 34.....	60
VII.4.2 – Les vestiges matériels associés au fossé d’enclos.....	64
VII.4.2.a – La céramique.....	64
VII.4.2.b – Les ossements animaux.....	68
VII.4.2.c – Les ossements humains.....	73
VII.4.2.d – Le torchis.....	73
VII.4.2.e – Le métal.....	73
VII.4.2.f – Le matériel de mouture.....	76

VII.4.3 – Synthèse et comparaisons.....	76
VII.4.3.a – Caractéristiques de l’enclos.....	76
VII.4.3.b – Fonctionnement de l’enclos.....	77
VII.5 – La fin du second âge du fer : vers un abandon définitif du site.....	79
VII.5.1 – Le début de La Tène D1.....	79
VII.5.2 – L’époque gallo-romaine.....	79
VII.6 – Les structures d’époque protohistorique indéterminée.....	79
VII.7 – Les structures contemporaines.....	82
VII.8 – Les structures indéterminées.....	84
VIII – Conclusion	92
Bibliographie.....	95
Annexe 1 : L’industrie lithique.....	99
Annexe 2 : Étude du mobilier céramique.....	103
Annexe 3 : Étude des ossements animaux.....	197
Annexe 4 : Étude des restes humains.....	231
Annexe 5 : Le matériel de mouture.....	249
Annexe 6 : Premier regard sur les scories.....	309
Annexe 7 : Les bracelets en lignite.....	317
Annexe 8 : Les monnaies gauloises.....	321
Annexe 9 : Le mobilier métallique.....	335
Annexe 10 : Étude des phytolithes.....	341
Annexe 11 : Catalogue des coupes réalisées sur le fossé de l’enclos gaulois.....	345
Annexe 12 : Inventaire des structures.....	377
Annexe 13 : Inventaire du mobilier.....	401
Annexe 14 : Inventaire des photographies.....	467

INTERVENANTS ET MOYENS MIS EN ŒUVRE

Intervenants scientifiques :

SRA :	Jean-Marc Gouedo	Conservateur en charge du dossier
SDAVO :	Jean-Gabriel Pariat	Responsable scientifique
	Vanessa Maret	Responsable de secteur

Intervenants administratifs :

DRAC Ile-de-France, SRA :	Bruno Foucray	Conservateur régional de l'archéologie
SDAVO :	Patrice Rodriguez	Chef de service
	Bernard Poirier	Responsable pôle archéologie préventive
	Sylvie Rigomont	Assistante de service
	Solange Pierens	Comptabilité
DGDR, SET 1 :	Guy De Caro	Chef de Service
	Guy Bartoux	Adjoint au chef de service

Aménageur : Conseil général du Val-d'Oise

Terrain :

Préparation : Jean-Gabriel Pariat, Vanessa Maret, Aurélie Battistini, Romain Marque
Fouille : Aurélie Battistini, Delphine Chauvet, Christian Kappès, Caroline Laporte-Cassagne, Guillaume Le Goïc, Vanessa Maret, Israël Najera Marcos, Jean-Gabriel Pariat, Cécile Roy, Yohann Zotna
Conservation, restauration : Florence Dussère
Topographie : ATGT

Post-Fouille :

Lavage du mobilier : Aurélie Battistini, Jean Cumin, Christian Kappès, Caroline Laporte-Cassagne, Guillaume Le Goïc, Vanessa Maret, Israël Najera Marcos, Pierre Mousnier, Jean-Gabriel Pariat, Cécile Roy
Restauration : Florence Dussère, Émilie Heddebaux
Mise au propre des plans et coupes, DAO : Aurélie Battistini, Vanessa Maret, Israël Najera Marcos, Jean-Gabriel Pariat
Bases de données : Aurélie Battistini, Vanessa Maret, Israël Najera Marcos
Mise en forme rapport : Jean Cumin

Collaborations :

Contexte historique et archéologique	Monique Wabont	SDAVO
Étude du mobilier céramique	Caroline Laporte-Cassagne	SDAVO
Étude des restes animaux	Gaëtan Jouanin, Opale Robin	CRAVO, UMR 7209
Étude du mobilier métallique	Aurélien Lefeuvre	SDAVO
Étude lithique	Nicolas Garmond	Reims Métropole, UMR 7041
Étude de phytolithes	Aline Émery-Barbier	UMR 7041
Expertise scorie	Xavier Bernardeau	Master Pro Université Paris 1
Expertise monnaie	Jean-Bernard Guillaume	Archéologue bénévole

Intervenants techniques :

Terrassement mécanique : 3 pelles avec godet de curage de 2 et 3 m de large, 2 tracteurs benne
Conducteurs : Société Beaussire

MOTS CLÉS DES THESAURUS

Chronologie :

<input type="checkbox"/>	Paléolithique
<input type="checkbox"/>	inférieur
<input type="checkbox"/>	moyen
<input type="checkbox"/>	supérieur
<input type="checkbox"/>	Mésolithique et Épipaléolithique
<input checked="" type="checkbox"/>	Néolithique
<input type="checkbox"/>	ancien
<input type="checkbox"/>	moyen
<input checked="" type="checkbox"/>	récent
<input type="checkbox"/>	Chalcolithique
<input type="checkbox"/>	Protohistoire
<input type="checkbox"/>	Âge du Bronze
<input type="checkbox"/>	ancien
<input type="checkbox"/>	moyen
<input type="checkbox"/>	récent
<input checked="" type="checkbox"/>	Âge du Fer
<input type="checkbox"/>	Halstatt (premier âge du Fer)
<input checked="" type="checkbox"/>	La Tène (second âge du Fer)

<input checked="" type="checkbox"/>	Antiquité romaine (gallo-romain)
<input type="checkbox"/>	République romaine
<input type="checkbox"/>	Empire romain
<input type="checkbox"/>	Haut-Empire (jusqu'en 284)
<input type="checkbox"/>	Bas-Empire (de 285 à 476)
<input type="checkbox"/>	Époque médiévale
<input type="checkbox"/>	haut Moyen Âge
<input type="checkbox"/>	Moyen Âge
<input type="checkbox"/>	bas Moyen Âge
<input type="checkbox"/>	Temps modernes
<input checked="" type="checkbox"/>	Époque contemporaine
<input type="checkbox"/>	Ère industrielle

Sujets et thèmes :

<input type="checkbox"/>	Édifice public
<input type="checkbox"/>	Édifice religieux
<input type="checkbox"/>	Édifice militaire
<input type="checkbox"/>	Bâtiment
<input type="checkbox"/>	Structure funéraire
<input checked="" type="checkbox"/>	Voirie
<input type="checkbox"/>	Hydraulique
<input checked="" type="checkbox"/>	Habitat rural
<input type="checkbox"/>	Villa
<input type="checkbox"/>	Bâtiment agricole
<input checked="" type="checkbox"/>	Structure agraire
<input type="checkbox"/>	Urbanisme
<input type="checkbox"/>	Maison
<input type="checkbox"/>	Structure urbaine
<input type="checkbox"/>	Foyer
<input checked="" type="checkbox"/>	Fosse
<input type="checkbox"/>	Sépulture
<input type="checkbox"/>	Grotte
<input type="checkbox"/>	Abri
<input type="checkbox"/>	Mégalithe

<input type="checkbox"/>	Artisanat alimentaire
<input type="checkbox"/>	Argile : atelier
<input type="checkbox"/>	Atelier métallurgique
<input type="checkbox"/>	Artisanat
<input type="checkbox"/>	Autre

Nb	Mobilier
<input checked="" type="checkbox"/>	32 Industrie lithique
<input type="checkbox"/>	Industrie osseuse
<input checked="" type="checkbox"/>	6271 Céramique
<input type="checkbox"/>	Restes végétaux
<input checked="" type="checkbox"/>	6535 Faune
<input type="checkbox"/>	Flore
<input checked="" type="checkbox"/>	181 Objet métallique
<input type="checkbox"/>	Arme
<input checked="" type="checkbox"/>	7 Outil
<input type="checkbox"/>	1 Parure
<input type="checkbox"/>	Habillement
<input type="checkbox"/>	Trésor
<input checked="" type="checkbox"/>	8 Monnaie
<input type="checkbox"/>	Verre
<input type="checkbox"/>	Mosaïque
<input type="checkbox"/>	Peinture
<input type="checkbox"/>	Sculpture
<input type="checkbox"/>	Inscription
<input type="checkbox"/>	Autre

Études annexes	
<input type="checkbox"/>	Géologie
<input checked="" type="checkbox"/>	Datation
<input checked="" type="checkbox"/>	Anthropologie
<input type="checkbox"/>	Paléontologie
<input checked="" type="checkbox"/>	Zoologie
<input type="checkbox"/>	Botanique
<input checked="" type="checkbox"/>	Palynologie
<input type="checkbox"/>	Macrorestes
<input type="checkbox"/>	An. de céramique
<input checked="" type="checkbox"/>	An. de métaux
<input type="checkbox"/>	Acq. des données
<input checked="" type="checkbox"/>	Numismatique
<input checked="" type="checkbox"/>	Conservation
<input checked="" type="checkbox"/>	Restauration
<input type="checkbox"/>	Autre

TABLEAU RÉCAPITULATIF DES RÉSULTATS

Chronologie	Structures	Mobilier	Interprétation
Néolithique récent	Fosse : 1	Lithique	?
âge du fer (La Tène)	Fossé : 1 Fosses : 5	Céramique Os animal Os humain Métal Monnaies Scories Torchis Charbon Graines Lithique Meules	Artisanat Agriculture Élevage Habitat? Funéraire
Augustéen	Structure : 1	Céramique	?
Époque contemporaine	Voie : 1 Fosse : 1	Verre Métal Plastique	Circulation Dépotoir
Indéterminé	Fossé : 1 Fosses : 10 Trous de poteau : 7 Structure : 1	Céramique	?

NOTICE SCIENTIFIQUE

Notice scientifique résumant les principaux résultats de l'opération

Une fouille archéologique s'est déroulée du 4 mai au 31 juillet 2009 sur la commune de Villiers-le-Bel, préalablement à un aménagement routier du Conseil général du Val-d'Oise. Outre des traces disparates témoignant d'une occupation du secteur au Néolithique, l'opération a conduit à la mise au jour d'un site de La Tène ancienne caractérisé par quelques structures en creux.

Plus tard, durant La Tène moyenne, le site se structure autour d'un enclos de forme trapézoïdale délimitant une aire de 9 600 m². Plusieurs silos sont par ailleurs rattachés à cette occupation. En revanche, aucune trace de bâtiment n'a été repérée au sein de l'aire circonscrite par l'enclos.

Le site semble délaissé vers le début de La Tène D1.

Durant l'occupation principale du site au cours de La Tène moyenne, les résultats des analyses fonctionnelles trahissent des activités quotidiennes tournées vers l'agriculture et l'élevage; et un environnement immédiat sans doute largement caractérisé par des champs. Ponctuellement des amas osseux évoquent des pratiques de consommation collective.

Enfin, au registre des pratiques mortuaires, une inhumation en silo et des restes humains épars génèrent de nombreuses interrogations sur les modes de traitement du cadavre au second âge du fer.

C'est donc toute la complexité et la richesse d'une société qui transparaît au travers des résultats de cette fouille.

Ministère de la culture et de la communication

Préfecture de la région d'Ile-de-France

Direction régionale des affaires culturelles

Service régional de l'archéologie

Affaire suivie par : Jean-Marc GOUEDO

Tél. : 01 48 13 14 64

Fax : 01 48 13 01 70

Mél : jean-marc.gouedo@culture.fr

BF/JMG/ [2008-369] 2008 n° 4722

Votre dossier réf.: Déviation RD 370 à Villiers-le-Bel et Gonesse

Arrêté n° : 2008-524



**Le Préfet de la Région d'Ile-de-France, Préfet de Paris
Commandeur de la Légion d'Honneur**

VU le code du patrimoine, livre V ;

VU le décret n° 2004-490 du 3 juin 2004 relatif aux procédures administratives et financières en matière d'archéologie préventive ;

VU le dossier adressé en date du 29/01/2008, référence Déviation RD 370 à Villiers-le-Bel et Gonesse, concernant des terrains situés à 95 Villiers-le-Bel et Gonesse, Déviation RD 370, Section RD 10 / Giratoire de la Fauconnière, par Conseil Général du Val d'Oise permettant d'établir les emprises du projet ; reçu à la Direction régionale des affaires culturelles - service régional de l'archéologie le 01/02/2008 ;

VU le rapport reçu le 25/08/2008 de l'opération de diagnostic archéologique prescrite par l'arrêté n° 2008-102 en date du 20/02/2008 ;

Considérant que deux secteurs archéologiques sont présents sur le secteur correspondant au diagnostic archéologique mentionné ci-dessus ; que la zone habitat correspond à habitat gaulois, que la zone nécropole correspond à nécropole gauloise ;

ARRETE

Article 1er : Une fouille archéologique sera réalisée sur le terrain faisant l'objet des aménagements, ouvrages ou travaux susvisés, sis en :

région : Ile-de-France

département : Val-D'Oise

commune : Villiers-le-Bel et Gonesse

adresse : Déviation RD 370, Section RD 10 / Giratoire de la Fauconnière

cadastre : liste trop longue : voir plan du tracé

propriétaire : à déterminer

Article 2 : La fouille sera réalisée, conformément au cahier des charges annexé, par l'opérateur que choisira l'aménageur des terrains concernés. Celui-ci soumettra au service régional de l'archéologie, dans les conditions et les délais fixés par le décret n° 2004-490 susvisé, un projet d'intervention précisant les modalités de mise en oeuvre des prescriptions du présent arrêté, pour obtenir l'autorisation de fouille.

Article 3 : L'opération d'archéologie préventive porte sur une surface totale de 16500 m², selon le plan annexé au présent arrêté.

Article 4 : Le service régional de l'archéologie adressera l'inventaire, transmis par l'opérateur de la fouille, des vestiges archéologiques mobiliers recueillis au cours de l'opération, à la personne physique ou morale, propriétaire du terrain à la date de début de l'intervention archéologique et l'informerá de ses droits.

Le mobilier archéologique ne pourra cependant donner effectivement lieu au partage, prévu par l'article L. 531-11 du code du patrimoine susvisé, qu'au terme de son étude scientifique et après remise du rapport d'opération au service régional de l'archéologie, laquelle remise intervient après l'achèvement de la phase de terrain de la fouille. La propriété du mobilier archéologique est fixée, après les délais légaux d'étude et de revendication, par l'article L. 523-14 du code du patrimoine.

Article 5 : Le Directeur régional des affaires culturelles est chargé de l'exécution du présent arrêté, qui sera notifié á Conseil Général du Val d'Oise.

Paris, le 27 OCT. 2008



Pour le Préfet de région d'Ile-de-France, Préfet de Paris
et par délégation

Le Directeur régional des affaires culturelles

La Directrice régionale adjointe
des affaires culturelles d'Ile-de-France

Marie-Christine DEVEVEY

Original : Conseil Général du Val d'Oise - DGDR / SET 1 - 3 Chaussée Jules César - Saint-Ouen-l'Aumône - 95315 Cergy-Pontoise Cedex - á l'attention de M. G. Bartoux

MINISTERE DE LA CULTURE ET DE LA COMMUNICATION
PREFECTURE DE LA REGION ILE-DE-FRANCE

**Ministère de la culture
et de la communication**

Préfecture de la région d'Ile-de-France

Direction régionale
des affaires culturelles

Service régional de l'archéologie

Affaire suivie par Jean-Marc Gouédo
Tél. 01 48 13 14 64
e.m. : jean-marc.gouedo@culture.fr

CAHIER DES CHARGES RELATIF A LA FOUILLE PREVENTIVE

annexé à l'arrêté de prescription en date du **27 OCT. 2008**

Comme prévu à l'article 2 de l'arrêté n° 2008-524

la fouille préventive prescrite sera réalisée conformément au cahier des charges ci-après :

Principes méthodologiques et objectifs :

Aspects transversaux aux deux sites

Sous la conduite d'opération de Jean-Gabriel Pariat, le Service départemental d'archéologie du Val d'Oise (SDAVO) a réalisé en juin dernier le diagnostic de la déviation de la RD 370 à la hauteur de Villiers-le-Bel et de Gonesse dans le Val d'Oise. C'est un petit tracé linéaire de 2 km de long pour environ 50 m de large en moyenne, qui traverse les champs en bordure de la « banlieue » densément urbanisée.

La proximité des zones habitées et les visites systématiques par les clandestins et les curieux de toutes natures expliquent pourquoi la DRAC / SRA a demandé que l'épée gauloise soit prélevée et que la nécropole soit rebouchée. Compte tenu du contexte scientifique local des nécropoles laténiennes avec des chars, c'est pour la même raison qu'il a été demandé à ce que la plus grande des tombes soit légèrement testée pour vérifier l'éventuelle présence de bandeaux de roues de chars. Un objet métallique est vite apparu et il n'est pas impossible qu'il s'agisse d'une épée. Toujours dans le registre des contraintes, il faut évoquer la présence du gazoduc qui borde l'enclos et les lignes électriques qui ont empêché de sonder les

1/5
.../...

abords sud de la nécropole. Il n'y avait pas d'indice de sites dans le secteur avant le diagnostic, les sites sont donc inédits.

Les deux sites (et un possible habitat hallstattien dans les parages ?) découverts montrent l'importance de l'occupation à l'Age du Fer dans ce secteur du Val d'Oise. Avec le recul, cela n'est pas si surprenant si l'on tient compte des découvertes antérieures sur les communes limitrophes avec les nécropoles de la Tène ancienne de Bouqueval et du Plessis-Gassot sans oublier Roissy-en-France un peu plus loin, mais aussi les importants habitats fouillés dans la carrière REP / Véolia du Mesnil-Aubry et du Plessis-Gassot (opérations de Nathalie Ginoux, José Louis Cortes, Aurélien Lefeuvre dernièrement) ou de Louvres sur la Francilienne (fouille Diane Casadéi il y a une dizaine d'année). Les deux fouilles sont à faire par le même opérateur archéologique avec dans la mesure du possible la même équipe pour maintenir une cohérence scientifique à l'ensemble.

La nécropole

Il s'agit d'une petite nécropole laténienne de 4 à 5 tombes de la fin du 4^e s. / 3^e s. av JC du fait de la présence d'une épée de type Hadvan Boldog. Cette nécropole est sur la commune de Gonesse. Le diagnostiqueur pense qu'il n'a qu'une partie d'une nécropole plus vaste ce qui est possible mais pas certain. En effet, les assiettes des nécropoles chronologiquement comparables de Roissy-en-France et de Bouqueval sont à peine plus grandes que le décapage réalisé en diagnostic autour des tombes en question. En revanche, il est vrai que celle du Plessis-Gassot est beaucoup plus vaste. L'un des objectifs de la fouille est de vérifier si l'on a l'intégralité ou pas de la nécropole. Il est demandé un décapage d'environ 35 m par 60 m soit une surface de 2100 m² comme indiqué sur le plan ci-joint. Il est à noter que la partie sud du décapage à faire passe sous la ligne électrique.

L'épée prélevée de la sépulture 21 est en cours de traitement par la restauratrice du Musée archéologique du Conseil général du Val d'Oise, lequel Conseil général du Val d'Oise est Maître d'Ouvrage du projet et propriétaire des terrains. L'opérateur choisi, s'il n'est pas le Service archéologique départemental du Val d'Oise, devra donc entrer en contact avec ce service basé à l'abbaye de Maubuisson ainsi qu'avec le Musée archéologique du Val d'Oise basé à Guiry-en-Vexin. L'intégralité des structures devra être fouillée et il convient de prévoir l'assistance d'un(e) restaurateur(trice) pour la sortie des objets et leur traitement en laboratoire.

L'enclos

A l'extrémité occidentale du tracé, sur le territoire de Villiers-le-Bel, a été mis en évidence un enclos trapézoïdal d'environ 1,44 Ha mis en place à la Tène Moyenne d'après le mobilier retrouvé vers le milieu du remplissage du fossé nord de l'enclos. L'un des plats est en effet très proche d'un plat retrouvé dans une tombe de la vaste nécropole de Bobigny et daté de la fin du 3^e s. av JC. Après une phase d'abandon toujours perceptible dans le remplissage du fossé nord, il y aurait une réoccupation des lieux à la Tène finale et c'est dans ce contexte qu'a été trouvé un fragment de monnaie. D'après la répartition spatiale du mobilier dans les fossés, il est logique de rechercher la localisation de(s) la(s) maison(s) près du fossé nord. Une amphore gauloise retrouvée à l'extérieur de l'enclos peut appartenir à cette phase récente. Ce site s'individualise par l'existence d'une inhumation d'une femme âgée en silo qui a fait l'objet d'un « prélèvement » ultérieur et associée dans un troisième temps avec des ossements de pattes de chevaux. Un deuxième silo, interne à l'enclos, a livré un fragment de crâne humain déposé au fond et vers le centre du silo. Ces données

MINISTERE DE LA CULTURE ET DE LA COMMUNICATION
PREFECTURE DE LA REGION ILE-DE-FRANCE

concernant les manipulations des corps sont dans le rapport utilement mises en perspective avec ce que l'on connaît de ce genre de pratiques dans le secteur de la Bassée chez les Sénonis ou plus haut chez les Belges. La question des pratiques sur les corps humains devra être abordée dans le rapport de fouille.

L'interprétation de la fonction du site reste problématique en l'état des données. S'agit-il d'une simple ferme ou d'un site à vocation plus spécifique ? L'un des objectifs de la fouille sera d'essayer de répondre à cette question. L'enclos sera intégralement décapé ainsi que les abords orientaux comme il est indiqué sur le plan ci-joint. La fouille devra être plus minutieuse sur le côté nord et pour tout ce qui touche à l'anthropologie mais il peut être envisagé une mécanisation plus ou moins importante selon les secteurs. Le détecteur de métaux devra être utilisé.

Analyses à prévoir :

céramique, monnaie, faune, anthropologie, petits mobiliers métalliques (fibules etc), armement, moyens de datation (C14), radiologie, stabilisation des objets métalliques.

Rédaction du rapport :

Le rapport devra être rédigé selon les normes en vigueur (arrêté du 27 septembre 2004) et rendu en 6 exemplaires au SRAIF destinés à : Ministère à Paris, DRAC/SRA, l'aménageur, le propriétaire du terrain au moment de l'opération, le dépôt d'archives, le dépôt de fouille/musée). Le rapport devra être rendu dans un délais maximale de 2 ans après l'achèvement de la fouille.

Profil de poste :

protohistorien(ne)

Documents joints :

Aires à fouiller

Dossier passé en CIRA du :

Septembre 2008

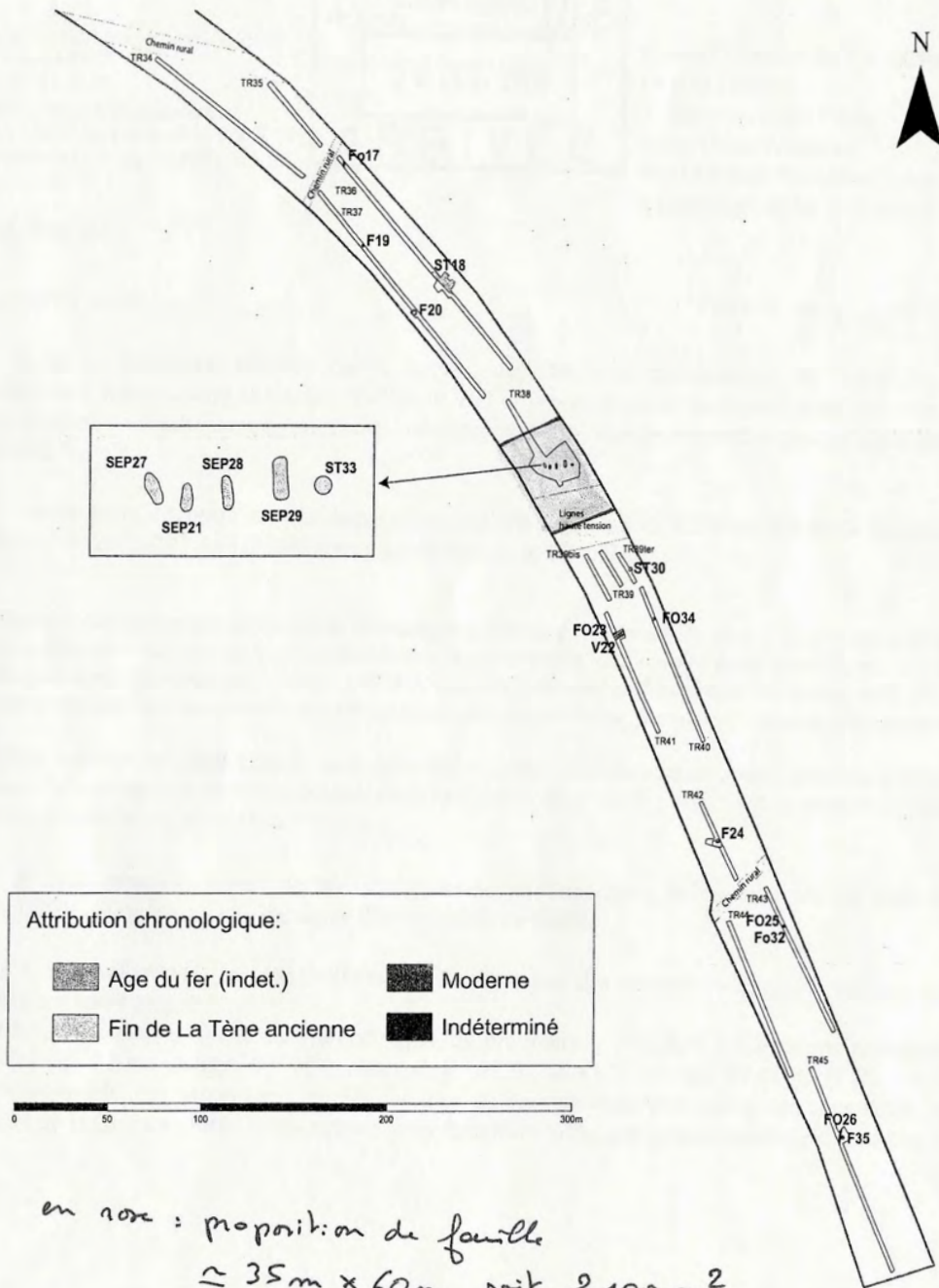
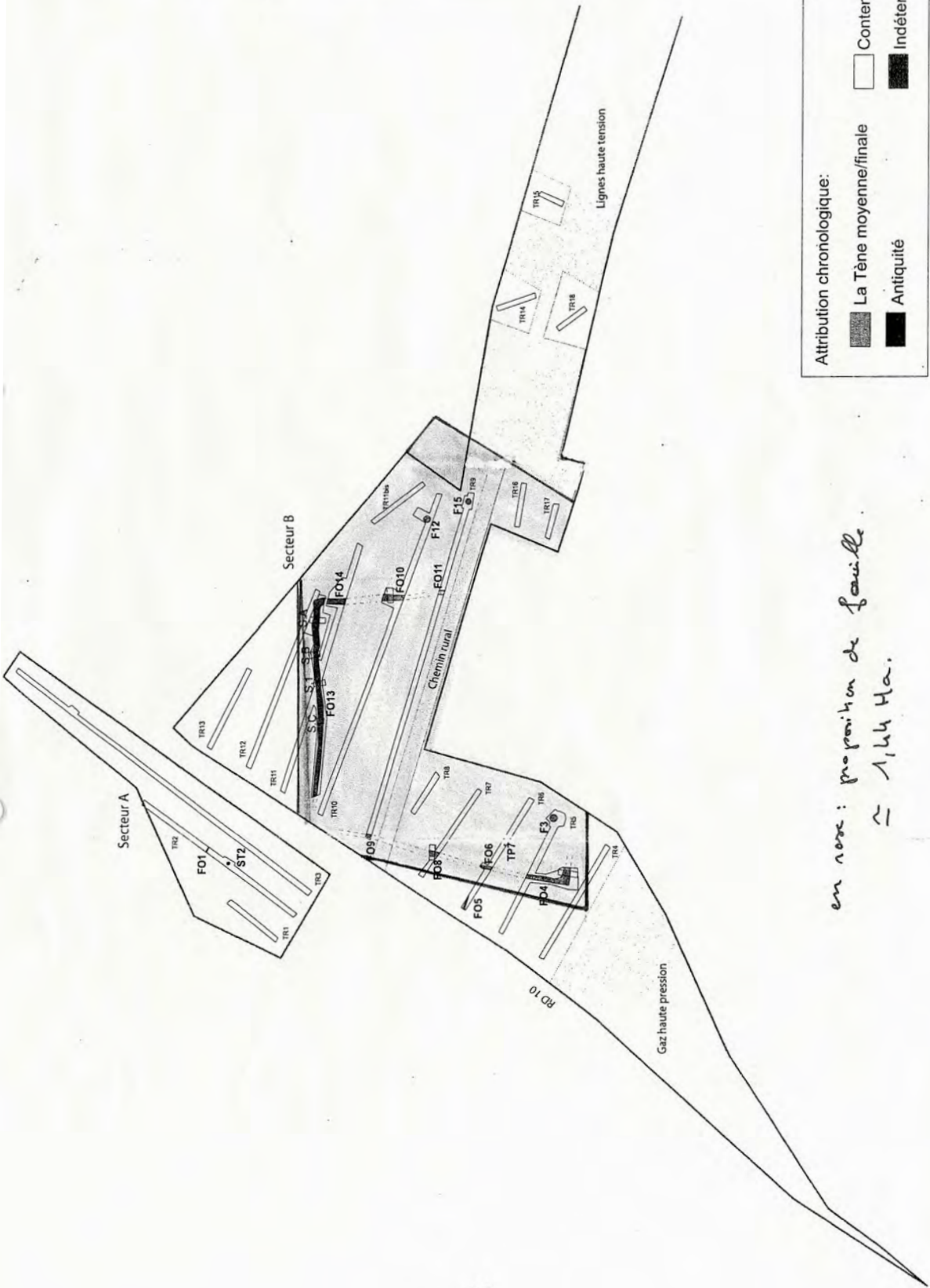


Fig. 9 : Plan masse du site, secteur C (partie sud).

Villiers-le-Bel / Gonesse
« Déviation RD10 / RD370 »



*en rose : proposition de fouille
≈ 1,44 Ha.*

Ministère de la culture et de la communication

Préfecture de la région d'Ile-de-France
Direction régionale des affaires culturelles
Service régional de l'archéologie

Affaire suivie par : Jean-Marc GOUEDO
Tél. : 01 48 13 14 64
Fax : 01 48 13 01 70
Mél : jean-marc.gouedo@culture.fr
BF/JMG/ [2008-369] 2009 n° 2325
Votre dossier réf.: Déviation RD 370 à Villiers-le-Bel et Gonesse

Arrêté n° : 2009-223



Le Préfet de la Région d'Ile-de-France, Préfet de Paris
Officier de la Légion d'Honneur, Commandeur dans l'ordre national du Mérite

VU le code du patrimoine, livre V ;

VU le décret n° 2004-490 du 3 juin 2004 relatif aux procédures administratives et financières en matière d'archéologie préventive ;

VU le dossier adressé en date du 29/01/2008, référence Déviation RD 370 à Villiers-le-Bel et Gonesse, concernant des terrains situés à 95 Villiers-le-Bel et Gonesse, Déviation RD 370, Section RD 10 / Giratoire de la Fauconnière, par Conseil Général du Val d'Oise reçu à la Direction régionale des affaires culturelles - service régional de l'archéologie le 01/02/2008 ;

VU le rapport reçu le 25/08/2008 de l'opération de diagnostic archéologique prescrite par l'arrêté n° 2008-102 en date du 20/02/2008 ;

VU l'arrêté n° 2008-524 en date du 27/10/2008 portant prescription de fouille archéologique ;

Après avis de la commission interrégionale de la recherche archéologique Centre Nord en date du 07-07-2008;

VU le courrier de demande d'autorisation de fouille reçu le 27/04/2009.

CONSIDERANT que le projet d'intervention de l'opérateur est conforme au cahier des charges scientifiques annexé à l'arrêté de prescription de fouille susvisé ;

AUTORISE

Article 1 : L'aménageur (Conseil Général du Val d'Oise) est autorisé à procéder à la réalisation d'une fouille d'archéologie préventive sur le terrain faisant l'objet des aménagements, ouvrages ou travaux susvisés, sis en :

département : Val-D'Oise

commune : Villiers-le-Bel et Gonesse / adresse : Déviation RD 370, Section RD 10 / Giratoire de la Fauconnière

cadastre : liste trop longue : voir plan du tracé

propriétaire : Conseil général du Val d'Oise

Elle sera exécutée par l'opérateur suivant : Conseil général du Val-d'Oise / Service départemental d'archéologie du Val-d'Oise.

Monsieur Jean-Gabriel PARIAT est désigné(e) comme responsable scientifique de la fouille de: une nécropole et un habitat gaulois.

Article 2 : Le Directeur régional des affaires culturelles est chargé de l'exécution du présent arrêté, et de sa diffusion.

Pour le Préfet de région d'Ile-de-France, Préfet de Paris
et par délégation

Le Directeur régional des affaires culturelles



Bruno Noucray
Bruno Noucray

Original : Conseil Général du Val d'Oise - DGDR / SET 1 - 4 Chaussée Jules César - Saint-Ouen-l'Aumône - 95215 Cergy-Pontoise Cedex - à l'attention de M. G. Bartoux.

Copies : Opérateur / Préfecture de département / Gendarmerie / Mairie de Villiers-le-Bel et Gonesse

DRAC d'Ile-de-France/SRA - 6, rue de Strasbourg - 93 200 Saint-Denis

Introduction

Un diagnostic archéologique a été réalisé au printemps 2008 par le service départemental d’archéologie du Val-d’Oise (SDAVO), préalablement à l’aménagement par le Conseil général du Val-d’Oise d’une déviation routière contournant la commune de Villiers-le-Bel par le nord¹. Cette opération, qui a porté sur près de 10 ha dans un contexte archéologique riche, a révélé deux occupations.

La plus ancienne, située sur le territoire de la commune de Gonesse, se caractérisait par un petit groupe de tombes (Tène moyenne) dans lesquelles des pièces d’armement étaient conservées. La plus récente, localisée sur la commune Villiers-le-Bel, correspondait à un enclos gaulois (Tène moyenne et finale) accompagné de structures d’ensilage (fig. 1).

Face à ces résultats, l’État a prescrit une fouille visant à préciser l’extension de la nécropole, la nature de l’enclos et leur articulation chronologique, et le SDAVO a été chargé de sa réalisation.

En accord avec le service régional de l’archéologie, la fouille fait l’objet de deux rapports distincts, l’un sur l’enclos localisé sur la commune de Villiers-le-Bel, et l’autre sur l’ensemble de tombes issues du site de Gonesse. Outre une simplification administrative du dossier (un site par commune, des inventaires distincts etc.), ce choix est cohérent avec la nature des deux sites distants de 800 m et non contemporains.

Le présent rapport porte uniquement sur l’enclos localisé à Villiers-le-Bel.

L’équipe de terrain

Sous la conduite de Jean-Gabriel Pariat (responsable d’opération, SDAVO) et de Vanessa Maret (responsable de secteur, CDD Conseil général du Val-d’Oise), six archéologues ont pris part aux travaux de terrain : Romain Marque et Caroline Laporte-Cassagne, archéologues permanents du service, et Aurélie Battistini, Guillaume Le Goïc, Israel Najera Marcos, Cécile Roy, recrutés en tant

1 Pariat, Garmond 2008.

que techniciens de fouille par le Conseil général du Val-d’Oise, pour la durée de l’opération.

Selon l’avancement des travaux, et compte tenu de la richesse du site, cette équipe de base a été renforcée par un bénévole participant habituellement aux activités du service (Christian Kappès) ou par des étudiants en cours de formation en archéologie (Yohann Zotna, Université de Picardie ; Delphine Chauvet, Université de Montpellier II).

Ainsi l’équipe de terrain a atteint 12 personnes au plus fort de la campagne.

L’équipe de collaborateurs

Les études réalisées ont bénéficié du concours de plusieurs spécialistes.

Monique Wabont (SDAVO) a contextualisé les occupations d’un point de vue historique et archéologique. Deux études, celle de la céramique et celle du mobilier métallique, ont été réalisées en interne par des spécialistes du service (Aurélien Lefeuvre et Caroline Laporte-Cassagne, SDAVO). L’étude du mobilier lithique a été assurée par Nicolas Garmond (Reims Métropole, UMR 7041). Gaëtan Jouanin et Opale Robin (CRAVO, UMR 7209) ont réalisé l’étude des restes animaux. Jean-Bernard Guillaume (archéologue bénévole) a pris en charge l’étude des monnaies. Un premier regard sur les scories a été réalisé par Xavier Bernardeau (étudiant Université de Paris 1). Enfin Aline Emery-Barbier a poursuivi un travail engagé à partir des torchis issus des sites de Cergy «ZAC des Linandes» et de Villiers-le-Bel «déviation RD 10–370».

I – Stratégies et méthodes mises en œuvre

I.1 – Le calendrier

Le décapage a été effectué en continu durant le mois de mai 2009 sur une surface totale de 13 668 m². L’opération a nécessité le concours d’engins mécaniques. Deux pelles de 20 T équipées de godets rétro de curage ont été affectées au décapage, pendant que deux tracteurs bennes

évacuaient la terre végétale vers une zone où un troisième engin mécanique, plus léger (15 tonnes), constituait un tas avec ces déblais.

Au cours des quinze premiers jours de Mai, toute l'équipe a travaillé à Villiers-le-Bel. Puis, entre le 18 mai et le 4 juin 2009, une partie des archéologues a décapé et fouillé l'emprise située sur Gonesse. Placés sous la responsabilité de Vanessa Maret, ils ont travaillé de façon autonome sur la zone. Les résultats de ces travaux feront l'objet d'un prochain rapport.

Pendant ce temps, une équipe réduite a poursuivi le décapage sur Villiers-le-Bel sous la conduite de Jean-Gabriel Pariat. À partir du 4 juin 2009 l'ensemble de l'équipe s'est consacré à la fouille de l'enclos.

Sur celui-ci, le fossé a fait l'objet de sondages mécaniques transversaux de 2 m de large tous les 5 m (fig. 2). Si des concentrations de mobilier apparaissaient, le sondage en question était traité manuellement en fouille fine, et faisait l'objet d'une couverture photo avant un démontage par passe avec enregistrement de cotes de profondeur selon un carroyage préétabli (fig. 3).

Par ailleurs, les deux seuls angles conservés du fossé ont été entièrement fouillés à la main. Dans un second temps le fossé a été intégralement curé, tout en dégagant finement les niveaux les plus denses.

Les autres structures (trous de poteau, fosses, silos) ont été sondées par moitié afin d'être relevées en plan et en coupe, puis entièrement fouillées.

Ainsi, l'emprise prescrite a pu être traitée dans le temps imparti et les terrains libérés le 31 juillet 2009.

Le système de numérotation des structures vise à éviter les doublons. Par conséquent il n'y a qu'une seule structure 1 sur l'ensemble des opérations de diagnostic (2008) et de fouille (2009).

Par ailleurs, l'équipe étant divisée en deux groupes décapant simultanément deux zones éloignées, la numérotation des structures du premier groupe débute à 200 et celle du second groupe à 500.

I.2 – Contraintes

Sur l'ensemble de la durée de la campagne, les travaux ont été totalement interrompus pendant 5,5 jours du fait des intempéries.

D'autre part, la zone décapée est traversée d'est en ouest par un chemin contemporain, régulièrement fréquenté par des engins agricoles. Exceptionnellement ce chemin a été fermé à la circulation et ponctuellement décapé afin de fouiller les structures qui passaient en dessous (fossé 200, fosses 241 et 504). Après chaque sondage, le chemin était immédiatement rebouché afin de permettre la circulation.

II – Traitement et archivage des données

Les vestiges extraits des structures ont reçu différents traitements. Des prélèvements de sédiment destinés à des analyses paléo-environnementales ont été tamisés à l'eau. Rendus inexploitable suite à une erreur de manipulation, ils ont été détruits.

Le mobilier a été lavé, puis inventorié dans une base de données Access. La faune en connexion a été marquée. Certains restes ont été pesés. Selon les normes en vigueur, le mobilier a été conditionné en sachets puis en boîtes carton.

Le cahier des structures a été informatisé au sein d'une base de données également développée sur Access.

Les photos prises sur le terrain et en laboratoire ont été classées et recensées dans un fichier Excel. Chacune de ces photos a été renommée selon un système d'inventaire normalisé. Ainsi la photo «ARC09N08524-141» correspond à un cliché de nature ARChéologique réalisé en 2009 au format Numérique correspondant à l'arrêté de prescription n° 2008-524 et comportant le numéro d'inventaire 141. Outre la description du contenu de la photo, ce fichier contient la mention de l'auteur et du caractère publiable ou non de la prise de vue (fig. 4). Enfin les photos ont été numérotées en continu quelle que soit la zone de fouille concernée, et les inventaires ont ensuite été scindés en deux.

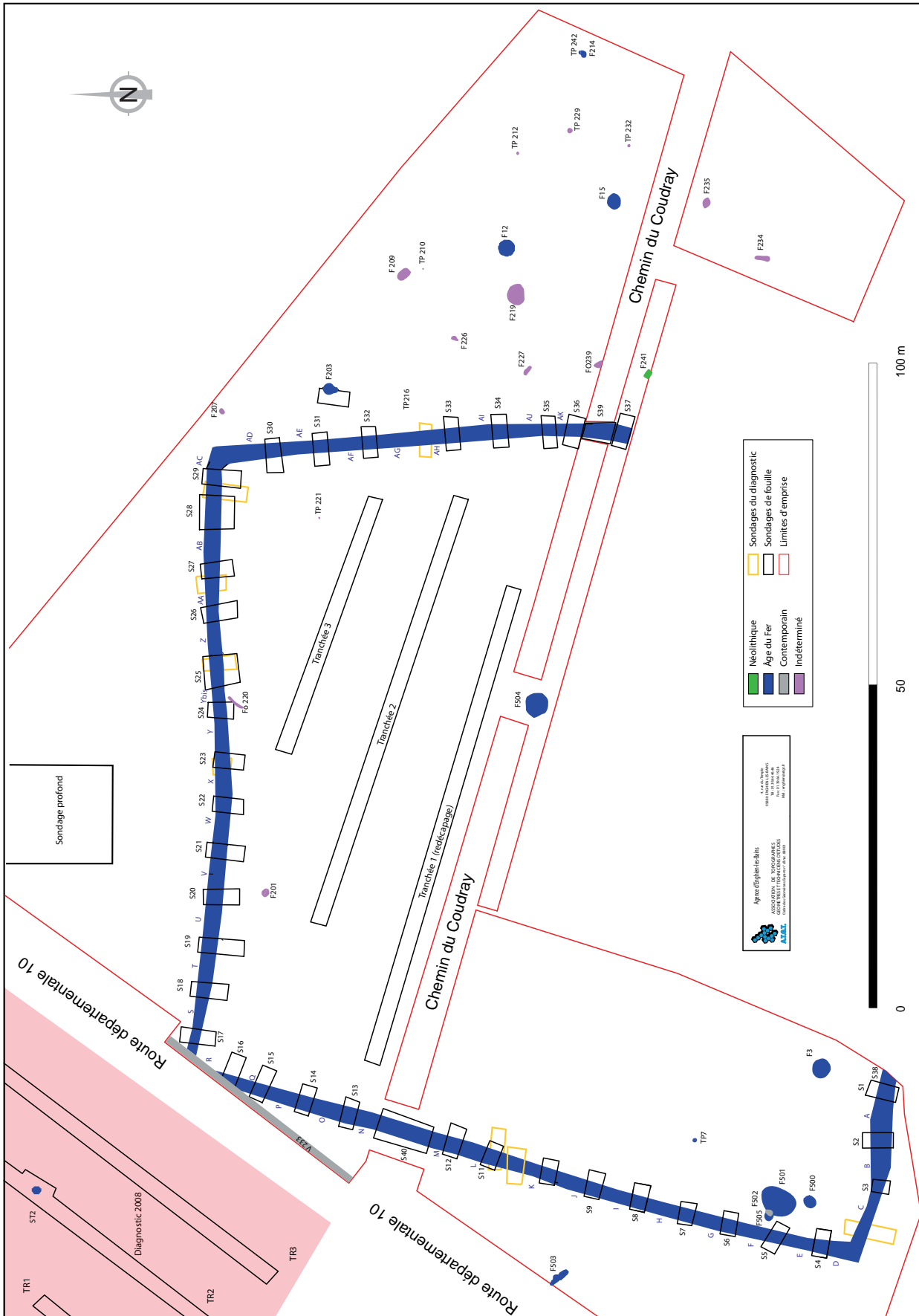


Fig. 2: Planphasé de répartition des structures et implantation des sondages.



Fig. 3 : Fossé 200, Sondage 6, démontage d'après photo (A. Battistini).



Fig. 4 : Exemples de fichiers photos.

Le plan masse a fait l'objet d'une mise au propre au sein du logiciel Adobe Illustrator. Les minutes de terrain (levées en plan ou en coupe des structures, passes de démontage) ont été scannées, puis vectorisées sous ce même logiciel pour faciliter leur traitement.

III – À propos d'une expérience de médiation

Les contraintes de temps imposées par le calendrier de l'opération ainsi que la proximité d'une voie routière très passante (RD 10) ont rendu impossible l'accueil de groupes de visiteurs sur le site.

Cependant, un court métrage de 15 mn intitulé «Le métier d'archéologue: la future RD 370 révèle son passé.» a été réalisé en partenariat avec l'Atelier de Restitution du Patrimoine et d'Ethnologie du Conseil général du Val-d'Oise (ARPE). Ce projet a été porté par Romain Marque (archéologue médiateur) et Catherine Brossais (vidéaste).

L'équipe de tournage s'est déplacée à cinq reprises sur le terrain. Elle a réalisé des prises de vue au moment du décapage, de la fouille et de la conservation préventive de certains objets en vue de leur prélèvement (fig. 5).

Dans un second temps le film a été monté dans les locaux de l'ARPE, étape nécessitant le concours à plein temps de R. Marque et C. Brossais durant sept jours au cours du mois de décembre 2009. Finalisé en fin d'année 2009, le film est régulièrement diffusé dans les collèges du département au cours des ateliers pédagogiques réalisés par le SDAVO.

IV – Contexte géographique et géologique

IV.1 – Contexte géographique

La commune de Villiers-le-Bel est localisée au nord de l'Ile-de-France, à l'extrémité sud-est du département du Val-d'Oise (fig. 1). À 19 km de Paris, elle se trouve au cœur de la plaine de France, territoire qui s'étend aux pieds des buttes de Montmélian (Oise) et dont la partie occidentale est drainée par le Crould et ses affluents (rus du Rosne, de la Vallée et du Rhin).

La commune de Villiers-le-Bel couvre une superficie de 730 ha environ. Elle est bordée au nord par les communes du Plessis-Gassot et de Bouqueval, à l'est par les villes de Gonesse et d'Arnouville, au sud par la ville de Sarcelles, et enfin à l'ouest par la commune d'Écouen.



Fig. 5: Catherine Brossais (ARPE) réalisant une prise de vue (Cliché : I. Lhomel).

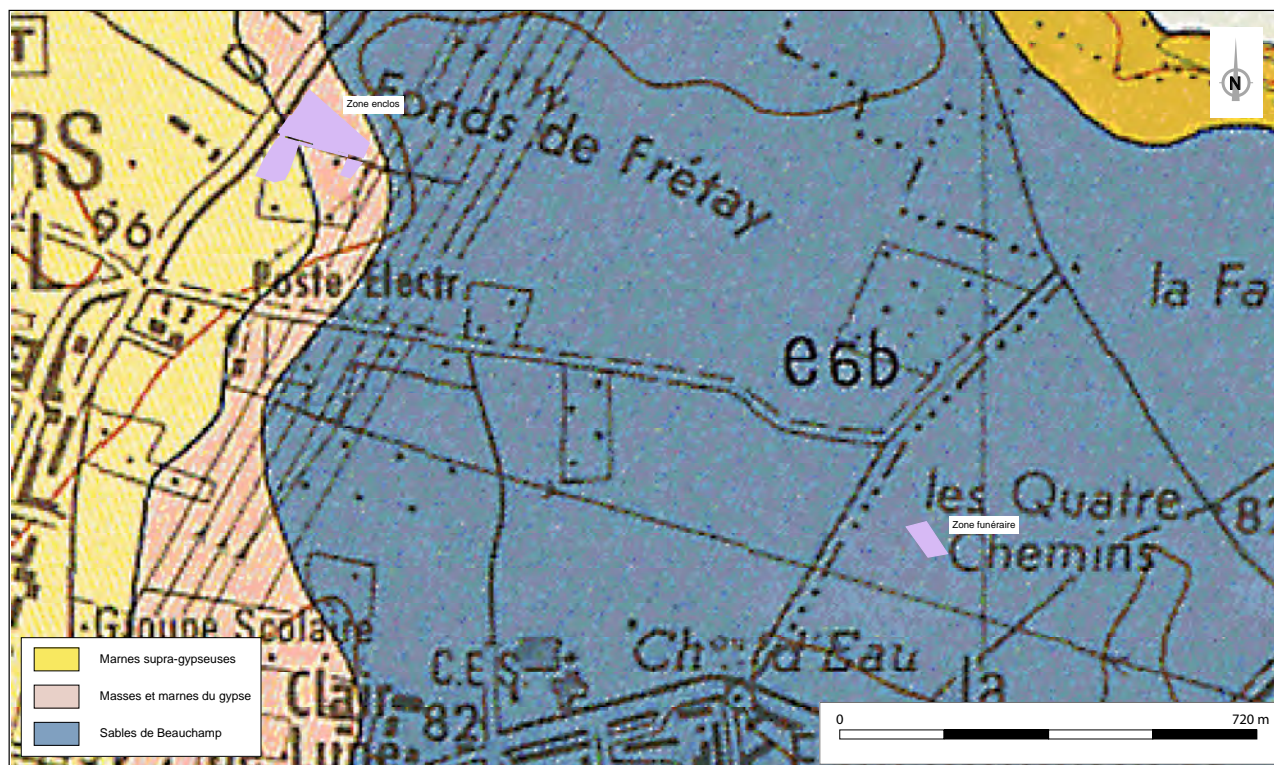


Fig. 6: Extrait de la carte géologique.

IV.2 – Contexte géologique

Dans ce secteur de la plaine de France, la première assise géologique connue correspond au calcaire de Saint-Ouen daté de l'ère tertiaire². La montée du niveau de la mer a ensuite engendré le dépôt d'une couche de marne (mélange d'argile et de calcaire) contenant des restes animaux marins fossilisés. Puis des bancs de gypse séparés ont recouvert ces couches marneuses (fig. 6). Des formations stampiennes caractérisées par des dépôts d'argile verte ont alors succédé à l'horizon précédent. Par la suite des sables de Fontainebleau, reliquats de la dernière invasion marine, se sont déposés. Enfin le relief actuel s'est progressivement mis en place, le réseau hydrographique découpant les formations les moins résistantes (sable, gypse, marne) et déblayant de larges vallées. Ainsi seules quelques buttes témoins reposant sur le calcaire de Saint-Ouen ont résisté à l'épreuve du temps ; à l'image de la butte d'Écouen.

La formation la plus récente est constituée de limons de plateau transportés et accumulés par le vent lors des glaciations de l'ère quaternaire.

Un sondage profond a permis d'examiner la séquence géologique en présence.

Situé au nord de l'enclos à 92 m d'altitude, il a été pratiqué perpendiculairement à l'axe d'un vallon. Décaissé sur une épaisseur de 4,60 m, il a été réalisé sur une aire de 5 m de large par 18 m de long environ. La coupe occidentale a fait l'objet d'un relevé³ (fig. 7). Outre différents types de limons de plateau caractérisant les premiers mètres, la séquence se poursuit par une succession de marnes infragypseuses indifférenciées, qui correspondent à des horizons insolubles des masses de marne et de gypse. À partir de 4,20 m de profondeur apparaissent les sables verts de Monceau, sous lesquels affleure le calcaire de Saint-Ouen.

² Guadagnin, Renaux 1975.

³ Nous remercions Jean-Luc Maire (géologue IGC retraité) pour les observations réalisées sur le terrain.

V – Contexte historique et archéologique (par M. Wabont et J.-G. Pariat)

V.1 – Contexte historique

La première mention de Villiers-le-Bel (*villa de Villare*) date de 832, quand Hilduin, abbé de Saint-Denis, fixe le partage des biens de l'abbaye entre la mense abbatiale et la mense conventuelle (AN, K9, n° 5). En 1108, le fief était possédé par les Lebel, qui ont donné leur nom au village. Deux pôles seigneuriaux se partageaient l'habitat : l'un autour de l'église Saint-Didier et du « Grand-Hôtel », l'autre vers l'est en direction du « Château d'Aval ». En 1787 les terres sont, pour la plupart, dévolues à l'agriculture ; les bois n'occupant que 5 % de la superficie totale du territoire de la commune.

Enfin, un itinéraire ancien, la voie de Saint-Denis, d'orientation nord-sud passe à proximité de l'enclos à l'ouest (fig. 8). Sa datation est inconnue mais il pourrait constituer un axe particulièrement structurant du parcellaire ancien.

V.2 – Contexte archéologique

Le contexte archéologique environnant les zones de fouille est particulièrement riche, tant les opérations d'archéologie préventive ont été nombreuses au cours de ces dernières années dans ce secteur (fig. 9). Elles révèlent un territoire densément occupé dès les temps les plus anciens.

V.2.1 – Le Néolithique

Dix-huit sites ont livré des outils en silex attribuables au Néolithique (fig. 10) et les lieudits « La Pierre des Druides » (en limite de Bouqueval et Gonesse), « La Pierre aux Poissons » et « La Grosse Borne » (en limite de Gonesse et Villiers-le-Bel) suggèrent des menhirs disparus.

Au sud-est de Bouqueval, un site fouillé en 1977-1978 était implanté sur le rebord sud d'un plateau dominant une vallée encaissée où coule un mince ruisseau, affluent du Crould. Près du bord de la vallée, un gisement d'époque néolithique s'étendait sur environ 60 m². Le

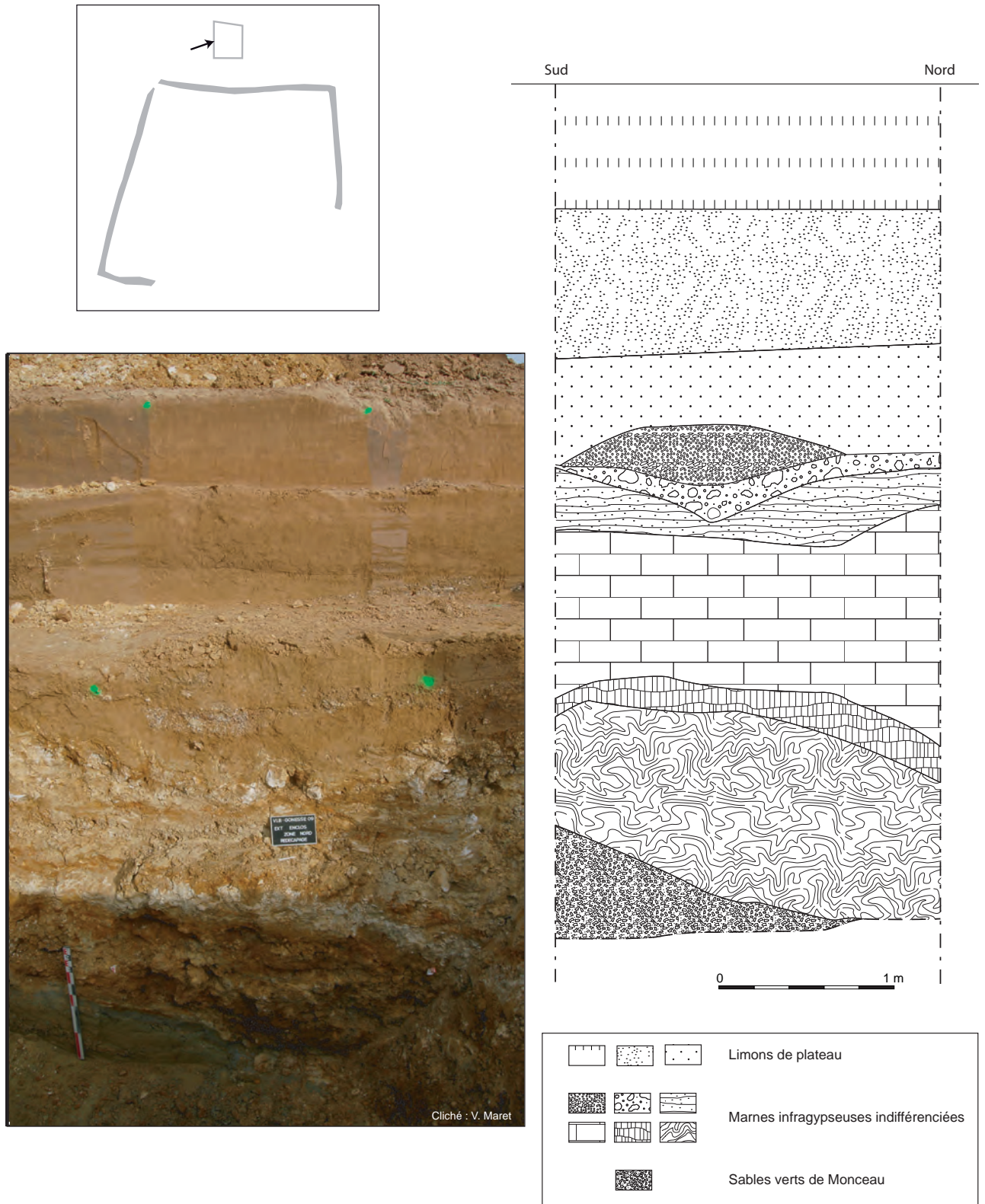


Fig. 7 : Coupe du sondage géologique pratiqué au nord de l'enclos (DAO : A. Battistini).

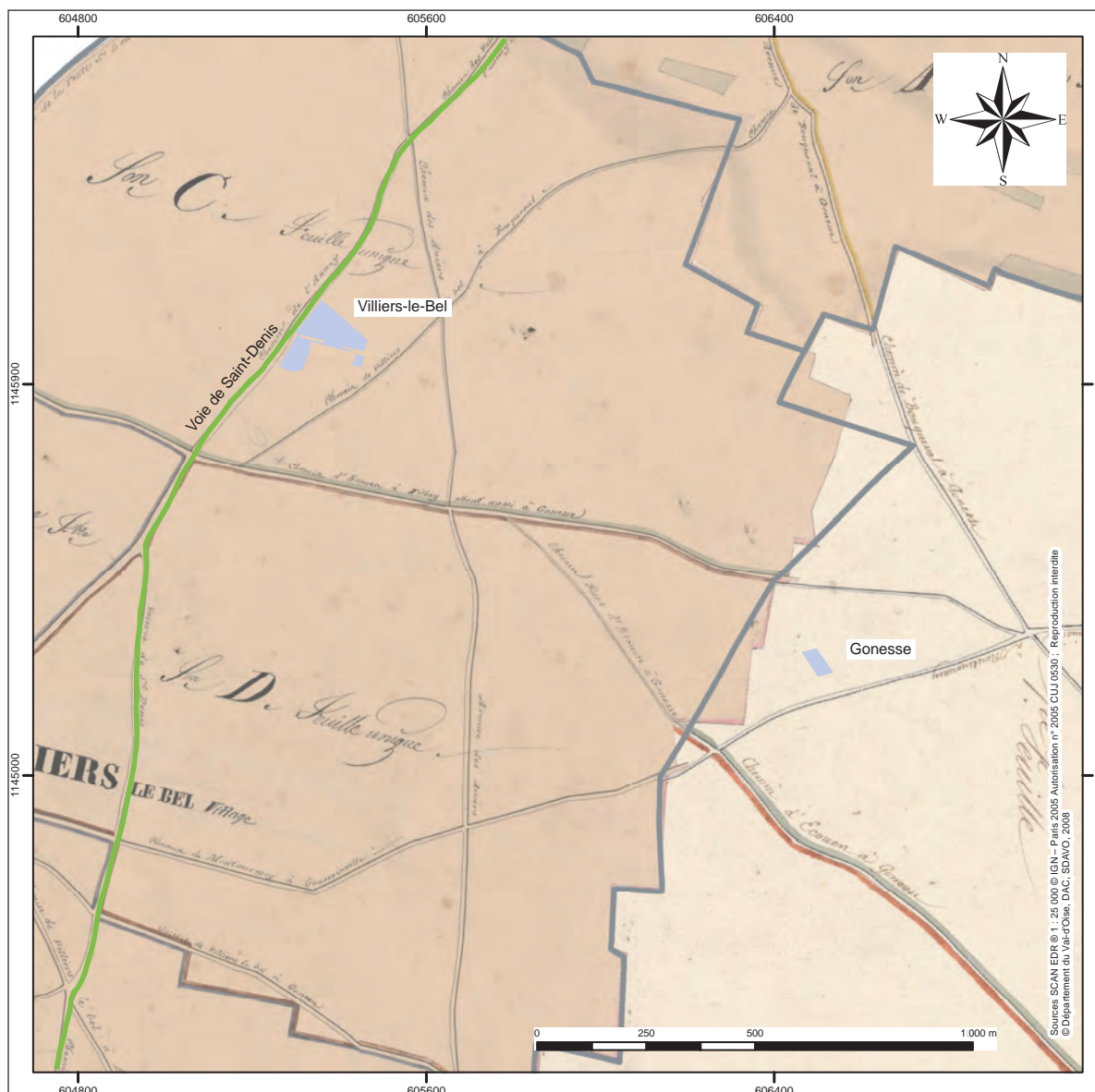


Fig. 8 : Voie de Saint-Denis connue à l'ouest de la zone «enclos » (extrait du cadastre napoléonien, 1807–1850).

matériel recueilli pourrait appartenir à plusieurs occupations du Néolithique/Chalcolithique, voir à l'Âge du Bronze⁴. Le mobilier se composait d'objets lithiques, outillage et éclats de débitage (6 grattoirs massifs, 5 grattoirs sur lames, 15 lames tronquées dont 10 ont été utilisées en outils divers : 2 perçoirs, 2 coches, 2 raclettes et 15 outils divers ; 9 nucléus, 2 percuteurs). Aucune opération récente n'a révélé la présence de structures de cette époque.

V.2.2 – Les âges des métaux

La Protohistoire figure parmi les époques les mieux représentées dans cette partie du départe-

⁴ Guadagnin 1981.

ment, les découvertes anciennes et récentes étant relativement abondantes.

Au « Fossé à Deux Guëulles » (Bouqueval), une nécropole dont la datation est aujourd'hui estimée entre 350 et 250 av. J.-C. a été fouillée en partie. Associées à un enclos funéraire (28 m × 17 m) orienté est-ouest, quatorze sépultures étaient orientées nord-sud⁵.

Parmi elles, deux tombes à char ont livré un riche mobilier. L'une renfermait l'inhumation d'un enfant placé sur la caisse d'un char dans une fosse rectangulaire (4,90 m × 2,70 m ; prof. max. : 0,70 m). Les roues du char avaient été

⁵ Cecchini *et al.* 1977 ; Guadagnin 1984, 1985, 1988 et 1991.

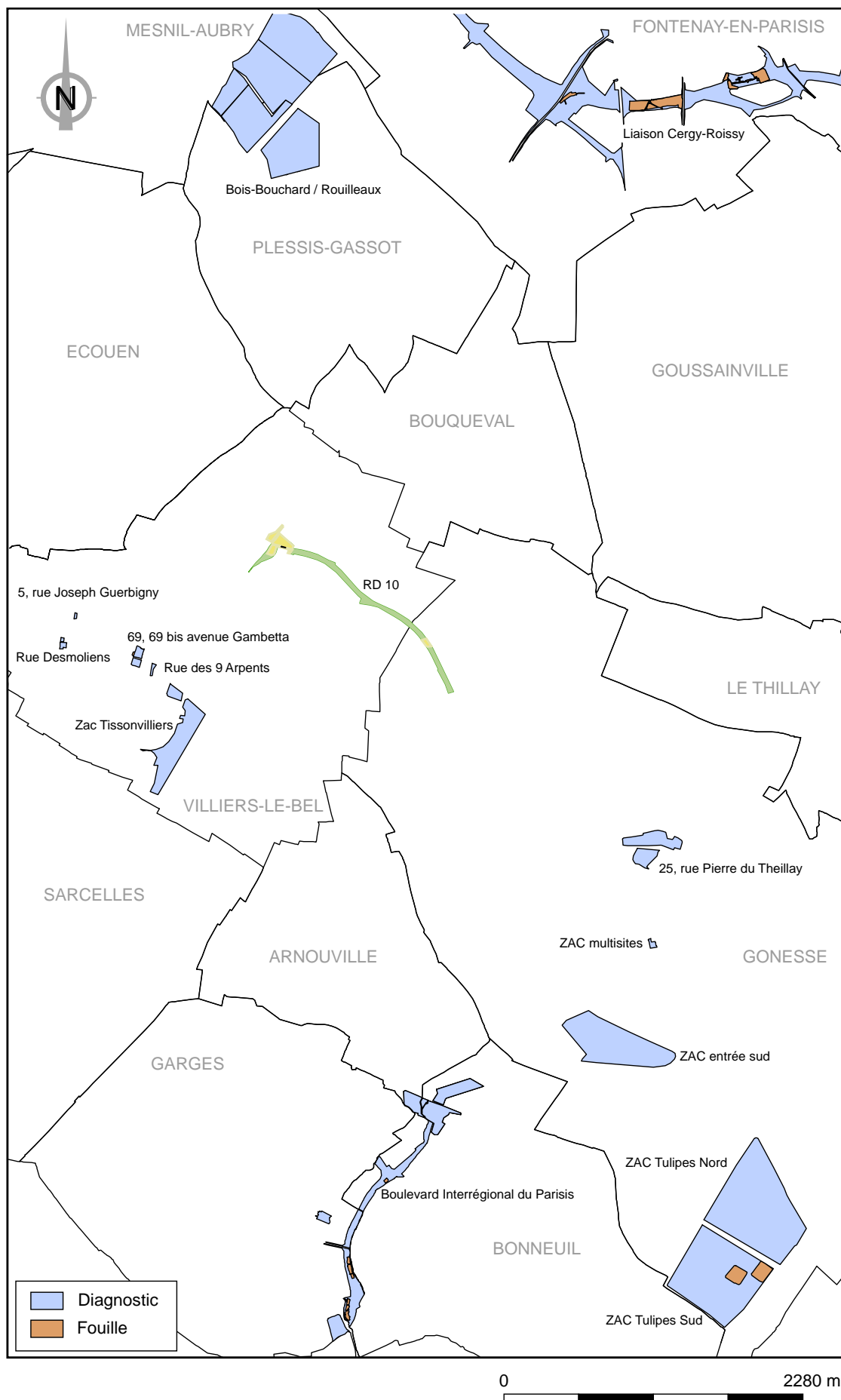


Fig. 9 : Carte non exhaustive des opérations archéologiques réalisées autour des zones de fouille.

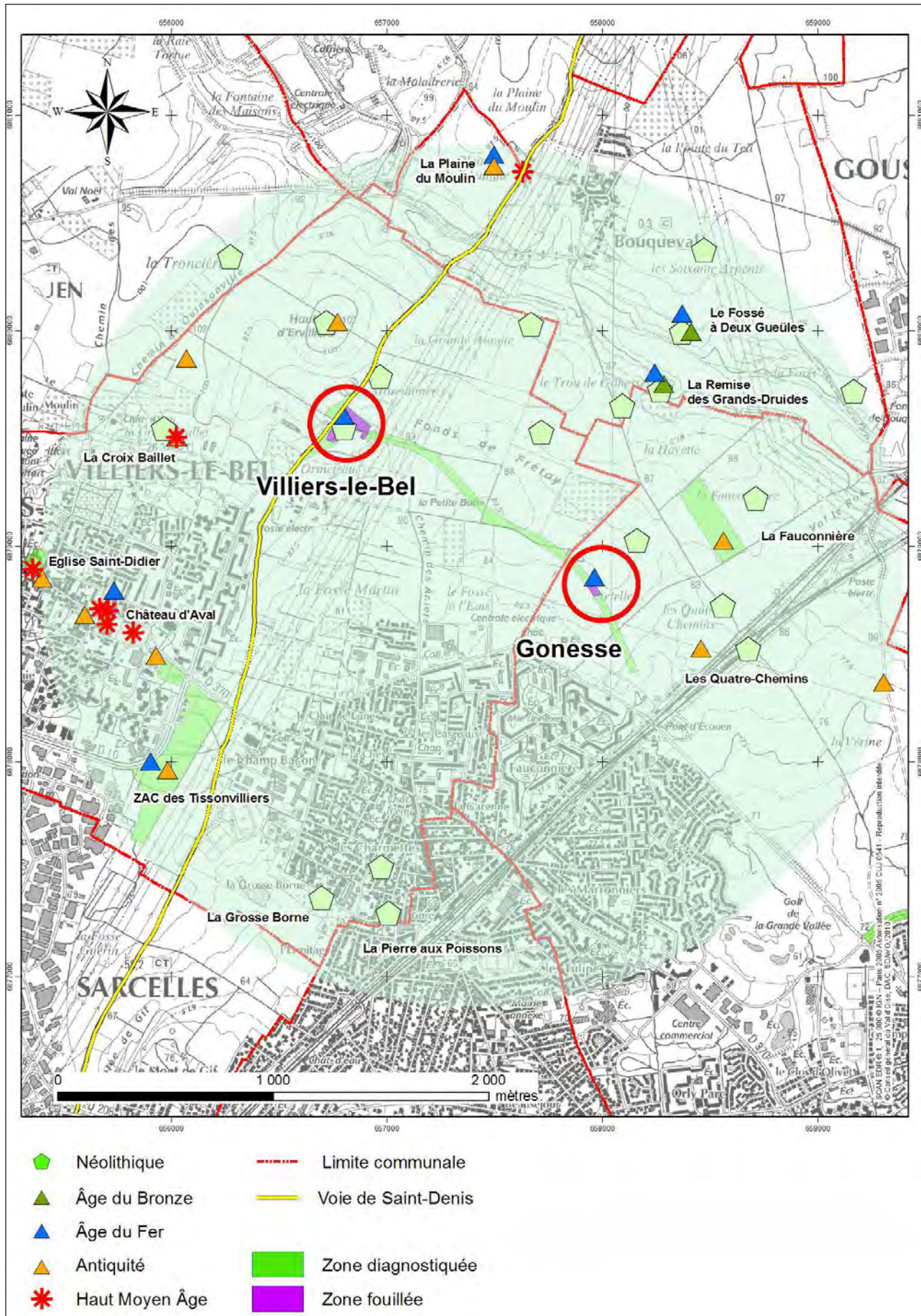


Fig. 10: Sites archéologiques connus dans un rayon de 2 km autour des zones de fouille (M. Wabont).

démontées et posées à plat. Dans la seconde tombe, une jeune femme avait été déposée sur un char installé dans une fosse ovale (3,50 m × 2,30 m; prof. : 0,42 m).

Un coffre de pierres sèches quadrangulaire (1 m de côté; 0,40 m de hauteur conservée) avait reçu soit une inhumation d'enfant, soit une incinération. Au centre de la paroi orientale, une niche quadrangulaire (0,60 m × 0,50 m), partiellement bâtie en pierres, renfermait un dépôt constitué de deux vases superposés dont une très belle jatte imitant un bassin en bronze.

Deux autres fosses avaient reçu deux jeunes guerriers accompagnés de fers de lance, d'épées et de fourreaux, d'étuis de couteaux et d'un torque.

À 300 m au sud de cette nécropole, sur l'autre versant du ruisseau, au lieudit «La Remise des Grands Druides» (Bouqueval), un mobilier céramique et osseux hétérogène a été découvert en 1977 sur une surface d'environ 250 m × 60 m. La majorité du mobilier céramique a été daté de La Tène B⁶. Quelques tessons appartiennent au Bronze final, au Hallstatt ancien et à La Tène A. La faune était représentée par des porcs, des chèvres, des moutons et des gros volatiles. Des fragments de torchis, souvent calcinés, ont également été retrouvés.

D'importants sites de l'âge du fer ont été récemment mis au jour par des opérations de l'INRAP ou du SDAVO sur les communes de Bouqueval et du Plessis-Gassot⁷. Ceux-ci correspondent à des nécropoles ou à des établissements ruraux de La Tène moyenne et finale, pour la plupart intégralement fouillés.

En 2004, dans l'ancien village de Villiers-le-Bel (site du «69-69 bis, rue Gambetta – 20-22, rue du Général-Archinard»), de nombreux tessons de céramique ont été découverts dans trois silos. Une écuelle carénée à col vertical est d'un type fréquent à la période de La Tène C2 ou D. Ces vestiges appartiennent à un habitat proche non encore reconnu⁸.

V.2.3 – L'Antiquité

À Bouqueval, à «La Plaine-du-Moulin», la céramique trouvée en prospection dans les années 1970 – datée entre 100 et 20 av. J.-C. – appartiendrait à un établissement agricole indigène⁹. Une exploitation gallo-romaine avec au moins six bâtiments formant un rectangle lui aurait succédé. Du mobilier céramique indiquerait une occupation entre le I^{er} et la fin du IV^e siècle ap. J.-C. au plus tôt.

À Gonesse «La Fauconnière», un mobilier varié a été découvert : à côté des fragments de tegulae, de céramique sigillée et commune, de cols d'amphores, de statuettes en terre cuite, on peut citer une épingle en os, un manche de cuillère à fard et un moule à médaille¹⁰. La surveillance régulière du site a permis la découverte, durant l'hiver 1977-1978, d'une centaine de monnaies de bronze du IV^e siècle ap. J.-C. Non loin de là, aux «Quatre-Chemins», quatre bâtiments ont été datés par la céramique des IV^e et V^e siècle ap. J.-C.

À Villiers-le-Bel «La Croix-Baillet», au cours des années 1970, sur la pente nord-est de la «Butte d'Écouen», des photographies aériennes ont révélé un vaste ensemble de bâtiments ordonnés suivant un plan rectangulaire¹¹. Le matériel recueilli, céramique commune, sigillée et granuleuse, ainsi que les monnaies, indiquent une occupation allant de La Tène finale jusqu'aux IV^e et V^e siècle ap. J.-C. Deux sites antiques ont aussi été reconnus à moins de 1 km au nord.

Récemment un diagnostic archéologique réalisé avant l'aménagement de la ZAC des Tissonvilliers a conduit à la mise au jour d'une portion d'enclos daté du Haut-Empire (I^{er}-III^e siècle ap. J.-C.). D'après les premières études ces vestiges pourraient appartenir à un habitat très mal conservé¹².

V.2.4 – Le Moyen-Âge

En 2001, à Villiers-le-Bel «rue des 9 Arpents – rue Gambetta», une fosse quadrangulaire contenant

6 Fleury 1979.

7 Ginoux à paraître ; Lefevre *et al.* 2008a, Lefevre 2008b ; Laporte-Cassagne à paraître.

8 Gentili 2006.

9 Guadagnin 1982, p. 334 et 409.

10 Hubert, Carpentier 1977.

11 Guadagnin 1982.

12 *et* Durand *et al.* 2009.

du mobilier des IX^e-X^e siècle n'a pu être interprétée¹³.

En 2004 et 2005, de part et d'autre de la «rue Gambetta (69-69 bis et 72), ancienne Grande Rue d'Aval», de nombreux trous de poteaux, des fonds de cabane, des fosses et des fours ont révélé une occupation carolingienne très dense s'organisant autour de cette voirie¹⁴. L'élément le plus ancien découvert est une fibule du VIII^e siècle mais la céramique concerne la période s'étendant du IX^e au XII^e siècle. Les habitats du Moyen-Âge et de la période moderne ont succédé à cette occupation.

Durant l'été 2009, une fouille s'est déroulée au pied de l'église Saint-Didier de Villiers-le-Bel sous la direction de F. Gentili. Elle a révélé la présence de vestiges d'époque carolingienne ainsi que de nombreuses sépultures. Les différents vestiges issus de cette opération sont actuellement en cours d'étude.

VI – Problématique

En 2008, le diagnostic, à Villiers-le-Bel, a conduit à la découverte d'un enclos trapézoïdal, de La Tène moyenne, et de silos à l'intérieur comme à l'extérieur de son fossé. Les vestiges issus de ces différentes structures, abondants et variés, suggéraient un établissement d'une certaine ampleur.

La fouille réalisée en 2009 visait à délimiter l'extension des occupations dans l'espace et dans le temps. En outre, il s'agissait d'appréhender la structuration interne de l'enclos et de comprendre la relation entre l'espace fossoyé et les structures externes à l'enclos.

Dans un second temps et à partir des vestiges découverts, il fallait tenter de caractériser l'enclos d'un point de vue fonctionnel et son insertion dans un territoire densément occupé.

Pour répondre à ces questions, plusieurs objectifs ont été fixés. D'abord évaluer l'état de conservation du site et sa représentativité. Ensuite élaborer une chronologie fine de l'occupation au travers

des datations relatives et absolues. Puis proposer une caractérisation typo-fonctionnelle et une analyse spatiale des vestiges. Enfin confronter les résultats obtenus aux données issues des sites connus dans les environs immédiats.

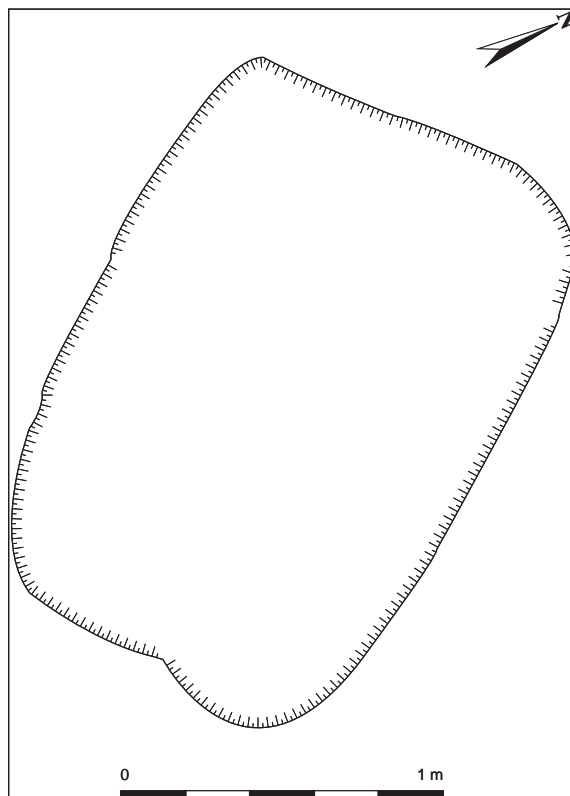


Fig. 11 : Plan de la fosse 241.

VII – Les occupations archéologiques

VII.1 – Le Néolithique

Les vestiges néolithiques, rarissimes sur le site, ont tous été retrouvés en position secondaire dans des structures plus récentes ou hors contexte. La seule fosse identifiée (F 241) présentait peu de mobilier et a été datée du Néolithique récent. Située à l'est de l'enclos (fig. 2), de plan quadrangulaire à angles arrondis, elle mesure 1,90 m de long et 1,30 m de large pour une profondeur de 0,20 m (fig. 11). D'orientation nord-ouest/sud-est, elle présente un profil à fond plat et des parois incurvées. Son remplissage limoneux recèle de rares tessons peu caractéristiques, ainsi que des éléments de torchis et du charbon. Des prélèvements de charbon transmis pour datation radiocarbone au laboratoire de Groningue (Pays-Bas)

13 Lecalve, Eusebe 2001.

14 Gentili *et al.* 2006.

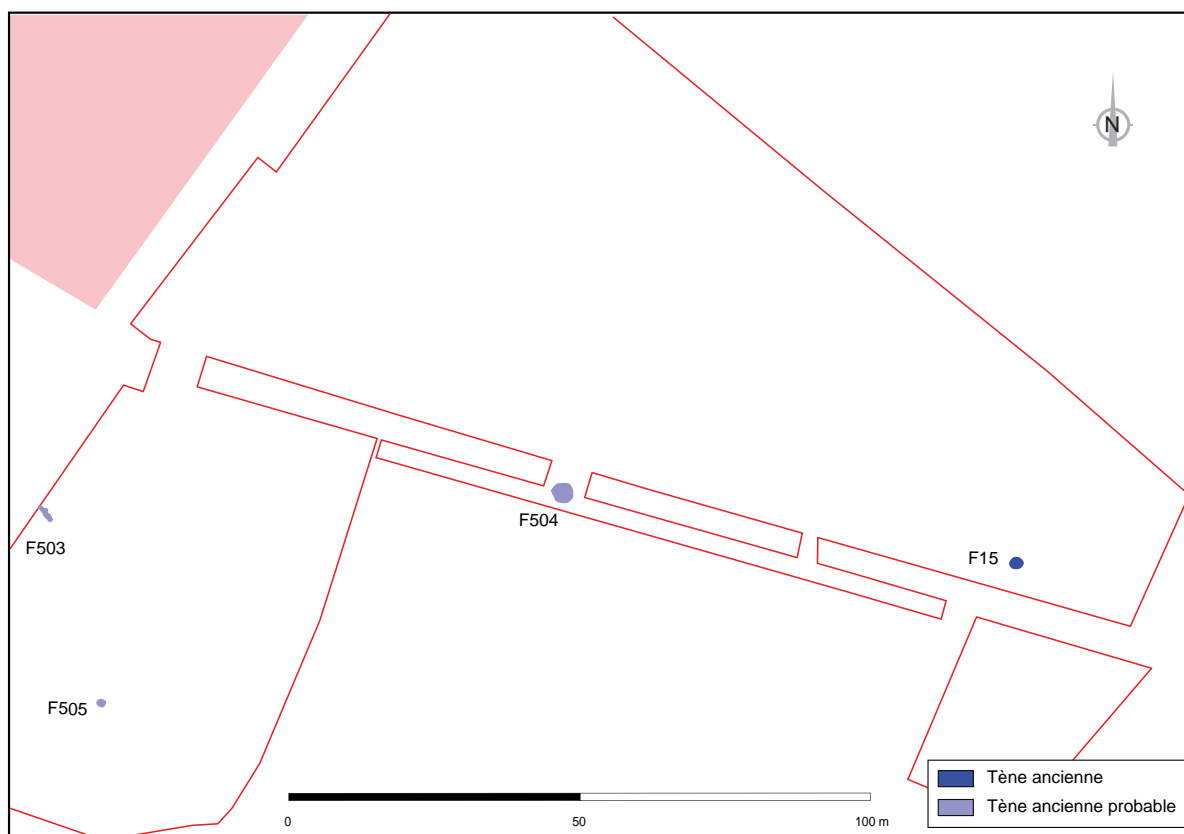


Fig. 12 : Plan de localisation des structures rattachées à La Tène ancienne.

ont livré deux dates qui placent la structure dans le Néolithique récent : GrA-44951, 4545 ± 40 BP soit 3483 – 3098 av. J.-C. avec un maximum de probabilités entre 3251 et 3098 av. J.-C. L'isolement de cette fosse sur le site, son arasement et la pauvreté du remplissage rendent difficile une interprétation fonctionnelle.

Outre la structure F241, 29 pièces ont été retrouvés soit en position secondaire dans le fossé de l'enclos (Fo 200) ou dans des silos (F 501 et F 504), soit hors de tout contexte archéologique (cf. annexe 1). Dominés par les éclats, ces vestiges lithiques sont façonnés à partir de silex secondaires ou tertiaires. La série comprend également de rares outils finis, hélas peu caractéristiques : polyèdre, pic, burin, denticulé qui ne peuvent pas être associés à une culture.

En somme, et comme souvent sur les sites proto-historiques, seuls quelques vestiges néolithiques ont été retrouvés. Ces découvertes amènent à s'interroger sur l'impact qu'a pu avoir le peuplement plus récent du site sur ces possibles occupations anciennes (paléolithiques, néolithiques). Les communautés gauloises, et après elles romaines

et médiévales, peuvent être à l'origine de remaniements qui ont conduit à la perturbation voire la quasi-disparition des vestiges d'époque néolithique.

La présence d'éléments néolithiques, plutôt rattachés à une phase récente de cette époque fait écho à quelques découvertes effectuées dans l'est du département du Val-d'Oise. À Frépillon «Les Flaches Ouest» un grattoir sur lame retrouvé dans un horizon sableux clair a été attribué au Néolithique récent/final¹⁵.

Près de Villiers-le-Bel dans la carrière REP située sur les communes du Mesnil-Aubry et du Plessis-Gassot, 12 pièces lithiques dont une hache polie, une meule et un broyon ont été retrouvées en position secondaire ou hors contexte. Aucune attribution chronologique n'a pu être proposée pour cette série¹⁶.

Vers l'ouest, dans le Vexin, les données ne sont guère plus nombreuses et il faut espérer une multiplication des découvertes dans les années à venir, car cette période du Néolithique a besoin de nouvelles données pour être mieux définie¹⁷.

15 Pariat 2008.

16 Renard *in* Lefeuvre 2008.

17 Giligny 2008, p. 60.

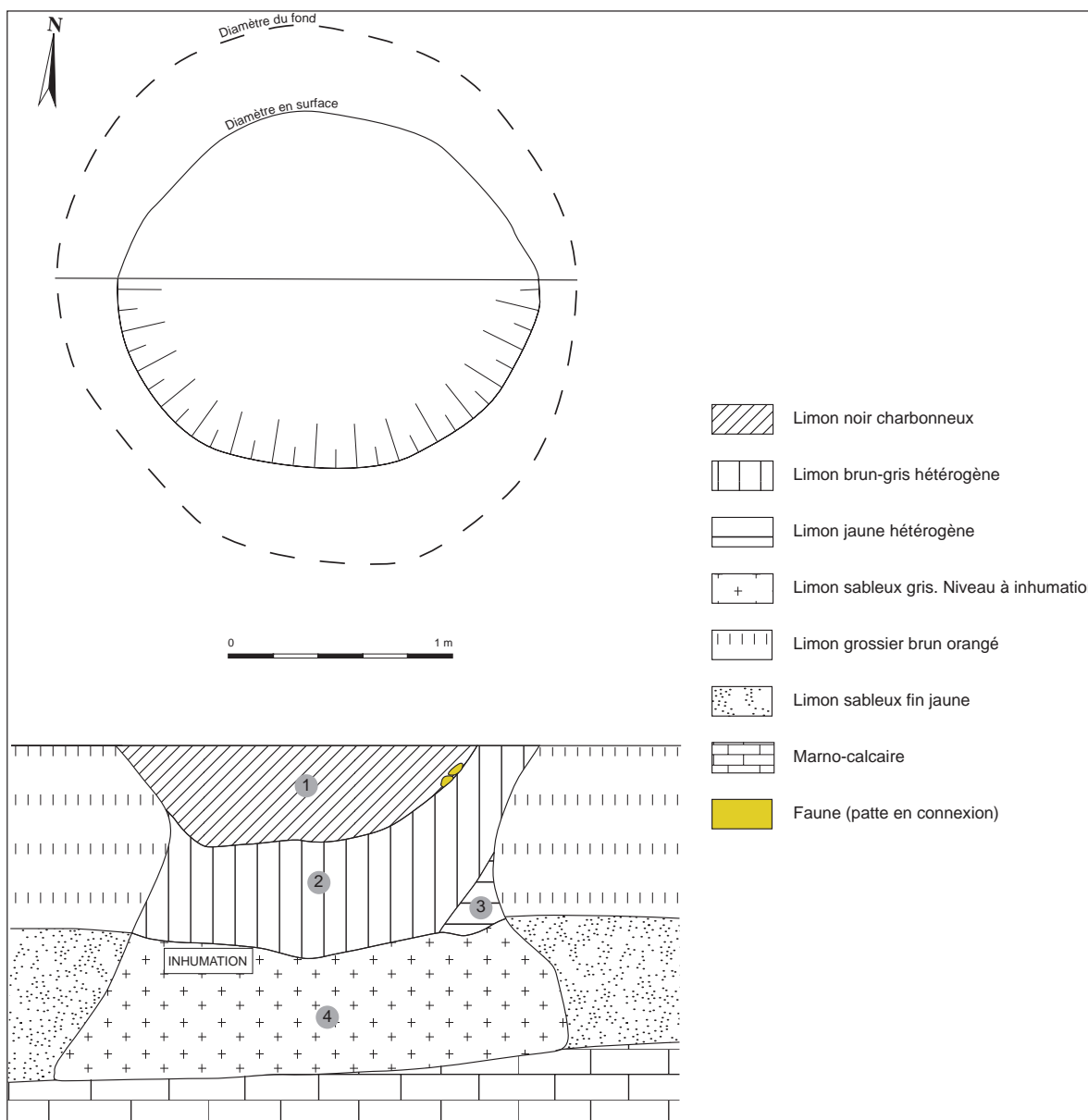


Fig. 13 : Plan et coupe du silo F15.

VII.2 – La Tène ancienne

Quatre structures ont pu être rattachées à La Tène ancienne. Elles se scindent en trois silos (F15, F504 et F505) et une fosse (F503) répartis sur l’ensemble de l’emprise (fig. 12).

L’analyse des silos s’inspire largement d’une grille de lecture récemment publiée lors d’un colloque sur les structures en creux¹⁸.

VII.2.1 – Le silo F15

Exhumé lors du diagnostic réalisé en 2008, ce silo a d’abord été sondé par moitié puis fouillé intégralement avec des moyens mécaniques. En

effet, cette structure aurait pu souffrir d’un réenfouissement puis d’une réouverture si nous avions choisi de ne la fouiller que partiellement.

Le silo F15 se situe vers l’est, près de la limite d’emprise. En plan le contour circulaire du creusement se démarque du sédiment encaissant par un comblement limoneux gris à inclusions charbonneuses (fig. 13). Repérée dès les quarante premiers centimètres sous la surface, cette fosse présente un diamètre à l’ouverture de 1,90 m pour un diamètre à la base de 2,30 m avec une profondeur de 1,50 m. Le volume¹⁹ est estimé à 5,2 m³ pour une capacité de 3,9 t.

¹⁹ Le mode de calcul adopté est celui employé pour les silos du site de Jaux «Le Camp du Roi» (Oise, Malrain *et al.* 1996, pp. 252-253)

¹⁸ Villes 2006, pp. 357-359.



Fig. 14 : Coupe du silo F15 (Cliché : J.-G. Pariat).

En coupe, les limites du silo par rapport au sédiment encaissant apparaissent très nettement (fig. 14). Des limons grossiers d'une épaisseur de 1 m laissent place à des limons sableux plus fins sur 50 cm d'épaisseur, qui recouvrent à leur tour une séquence marno-calcaire.

Le profil de la structure est tronconique. Son remplissage est assez simple. La couche 1, limoneuse noire charbonneuse, est épaisse de 40 cm. Elle a livré un gobelet miniature dont le rattachement chronologique renvoie probablement à La Tène ancienne, ou au plus tard à La Tène moyenne (cf. annexe 2), mais aussi les bas de patte en connexion d'un cheval (cf. annexe 3). Cette couche, asymétrique, est plus épaisse du côté ouest que du côté est. La couche 2, sous-jacente, mesure 50 cm d'épaisseur. Elle est limoneuse brun-gris hétérogène, et recèle peu de vestiges. La couche 3, caractérisée par un horizon limoneux brun-jaune hétérogène, est épaisse de 30 cm. Le sédiment provient préférentiellement de l'est. Enfin, la couche 4 de 60 cm d'épaisseur est limono-sableuse grise. Un squelette humain ayant subi des prélèvements

post-mortem (cf. annexe 4) était conservé dans cette couche profonde mais ne reposait pas directement sur le fond du silo. Les os datés par radiocarbone renvoient à La Tène ancienne²⁰. Ce type de vestige est connu dans le nord de la France au second âge du fer²¹.

En conclusion, ce silo abrite deux horizons distincts anthropisés et deux horizons dont la mise en place peut être expliquée par des causes naturelles. Le comblement inférieur abrite un dépôt spécifique de cadavre humain qui se rattache à La Tène ancienne sur la base d'une datation C14 sur os humain. Dans la partie supérieure du comblement, une fosse a été creusée à partir de la paroi ouest. Elle accueille un dépôt animal particulier possiblement rattaché à La Tène ancienne. Il y a donc peut-être une forme de permanence dans le temps du fonctionnement de cette structure qui aurait préférentiellement accueilli des dépôts « particuliers ».

²⁰ GrA 39969 - 2300 ± 25 BP soit 406-235 av. J.-C., avec un maximum de probabilité entre 406 et 357 av. J.-C.

²¹ Delattre, Séguier 2007.

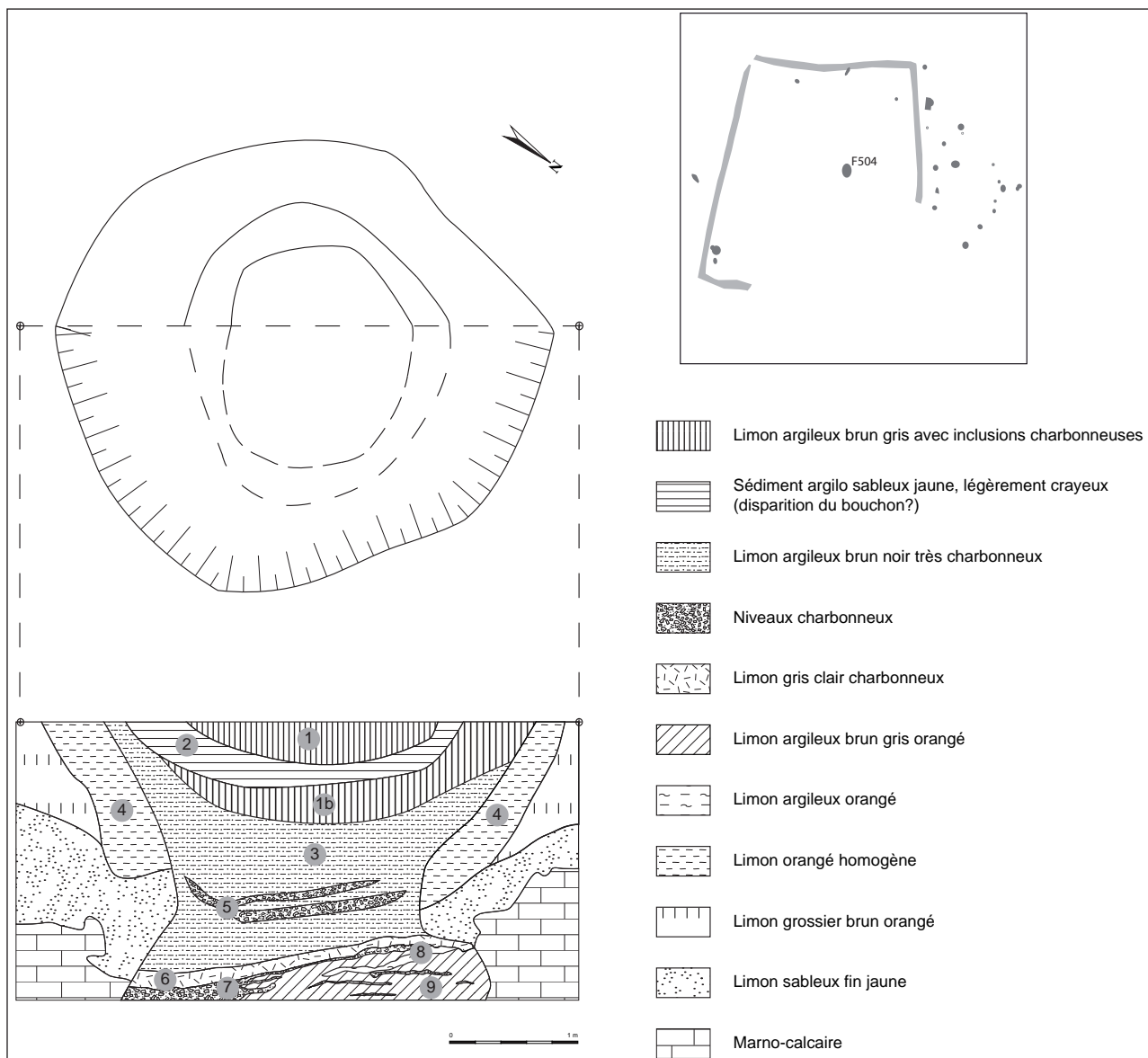


Fig. 15: Plan et coupe du silo F504.

VII.2.2 – Le silo F504

Le silo F504 se trouve au centre de l’enclos, sous un chemin agricole régulièrement fréquenté par des engins durant la fouille (fig. 12). Aussi, il a fallu couper la circulation durant deux jours de manière à le traiter, et il n’a donc pas été possible de fouiller manuellement.

Horizontalement, le silo est apparu sous 40 cm de terre végétale. Son contour circulaire se démarque assez nettement du limon encaissant. En plan, une couronne de sédiment argilo-sableux jaune, légèrement crayeux est prise au sein d’une couche limono-argileuse brun-jaune comportant des inclusions de charbon (fig. 15). Le diamètre à l’ouverture du silo est de 3,46 m pour un diamètre à la base de 3,15 m avec une

profondeur de 2,60 m. Le volume maximum de la structure est de 14,94 m³ pour une capacité totale de 11,20 t de céréales.

Verticalement, le sédiment encaissant n’est pas homogène sur toute la hauteur (fig. 16). Trois horizons se succèdent : les limons grossiers bruns orangés, des limons sableux fins et une séquence marno-calcaire.

Ce silo présente un profil tronconique. Son remplissage est complexe. La couche 1, caractérisée par une lentille de terre centrale, mesure 30 cm d’épaisseur. Elle correspond à un limon argileux brun-gris présentant de nombreuses inclusions de charbon et des vestiges abondants. La couche 2 enserre la couche 1. Elle se caractérise par un sédiment argilo-sableux jaune légèrement



Fig. 16 : Coupe du silo F504 (Cliché : J.-G. Pariat).

crayeux de 30 cm d'épaisseur. La couche 1b, de nature identique à la couche 1, est asymétrique. Elle est plus épaisse à l'ouest qu'à l'est. La couche 3 correspond au remplissage principal du silo. Épaisse d'environ 1 m et asymétrique, elle semble résulter d'un apport massif de sédiment. Elle se caractérise par un limon argileux brun-noir très charbonneux dense en vestiges. La céramique recueillie dans cette couche, de qualité, renvoie plutôt à la fin de La Tène C1 (III^e siècle av. J.-C., cf. annexe 2). La couche 4 a uniquement été identifiée au niveau des parois est et ouest. Il s'agit d'un limon orangé homogène de 1,50 m d'épaisseur, vraisemblablement issu d'une érosion des parois. La couche 5 est une langue de sédiment charbonneux, piégée dans la couche 3. Peu épaisse (20 cm d'épaisseur), elle pourrait correspondre au rejet d'une vidange de foyer. Enfin les couches 6 à 9 entre 1,70 m et 2,60 m, à dominante limoneuse, sont asymétriques. Elles caractérisent le remplissage du fond du silo et suivent un pendage d'ouest en est. Ces couches ont livré peu de mobilier et se sont a priori formées de façon naturelle. La couche 7, dense en charbons, a fait l'objet d'un prélèvement en vue d'une datation C14 : GrA 44696 – 2235 ± 30

BP soit 389–204 av. J.-C. avec un maximum de probabilité entre 325 et 204 av. J.-C. Ce résultat englobe deux périodes : La Tène ancienne (B2) et la première moitié de La Tène moyenne.

En résumé, la stratigraphie observée, bien que complexe, trahit en fait deux moments importants dans l'histoire du fonctionnement de ce silo. Le comblement inférieur se caractérise par des couches qui semblent résulter de phénomènes naturels d'érosion. Leur mise en place est sans doute consécutive à la réouverture du silo vers la fin de La Tène ancienne ou au début de La Tène moyenne.

Le comblement supérieur (entre 0 et 1,70 m de profondeur) riche en rejets détritiques témoigne d'une utilisation secondaire du silo comme «poubelle», au cours de La Tène C1, ce que confirment par ailleurs les études spécialisées (cf. annexes 2 et 3).

VII.2.3 – Le silo F505

Le silo F505 se trouve au sud-ouest (fig. 12). Il n'a été caractérisé qu'à 1 m sous la surface du décapage, car il est recoupé par une fosse

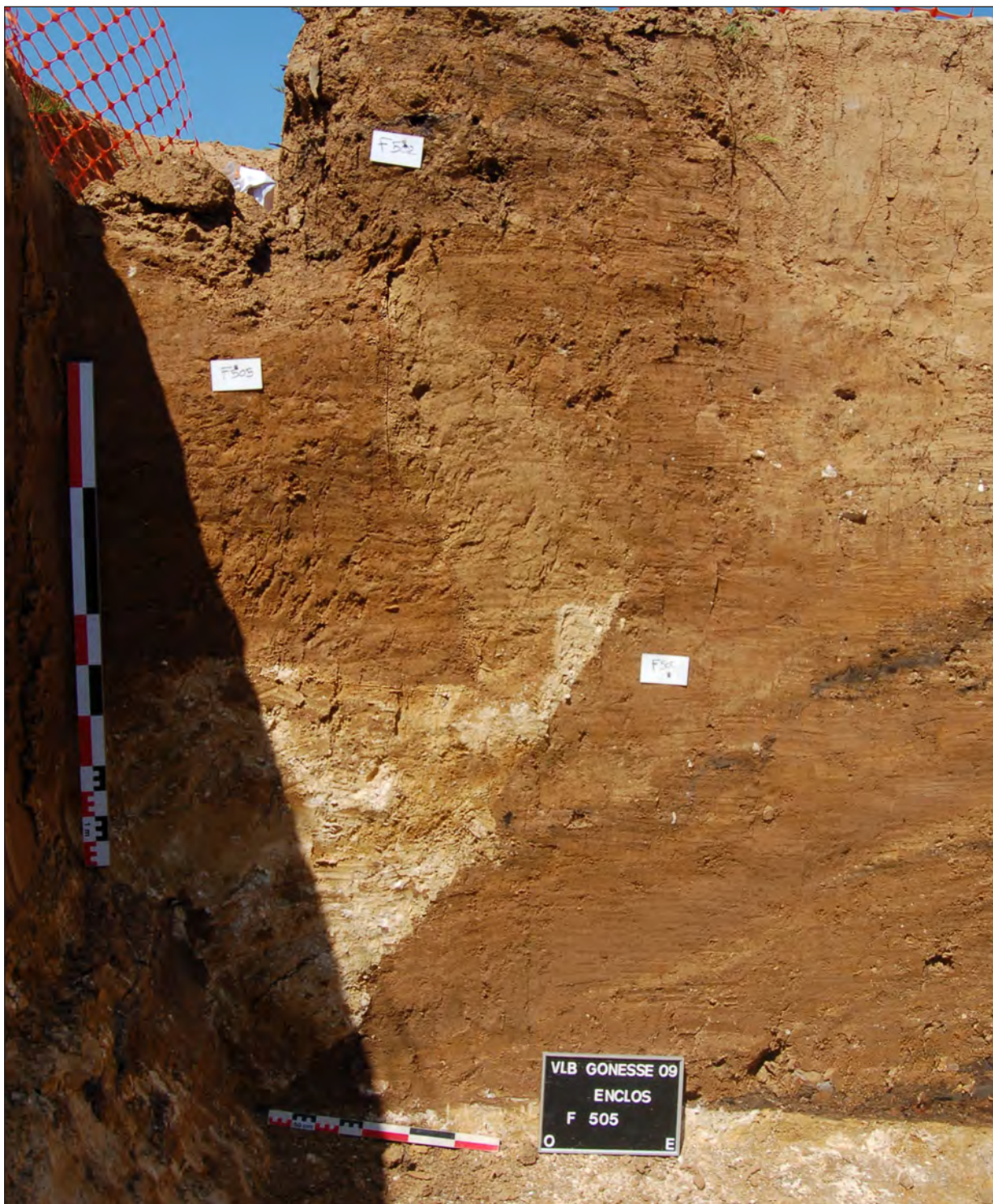


Fig. 17 : Coupe du silo F505 (Cliché: R. Marque).

contemporaine (F 502, fig. 17) et par un autre silo, plus récent (F 501).

En plan, ce silo présente un contour circulaire qui se démarque bien du sédiment encaissant sableux fin et clair. Son diamètre au niveau d'apparition est de 1,50 m, pour un diamètre à la base de 1,80 m (fig. 18). La profondeur conservée est de 1,26 m. Le volume est estimé à 4,84 m³ pour une capacité de 3,63 t.

En coupe le sédiment encaissant n'est pas homogène. À l'ouest, une séquence de limons grossiers de 80 cm d'épaisseur recouvre un horizon sableux brun-jaune de 30 cm, lui-même installé sur un horizon marno-calcaire. À l'est, seuls deux horizons se succèdent: le sable brun-jaune reconnu à l'ouest (1,04 m d'épaisseur) et l'horizon marno-calcaire.

Le comblement de ce silo est simple. Il se

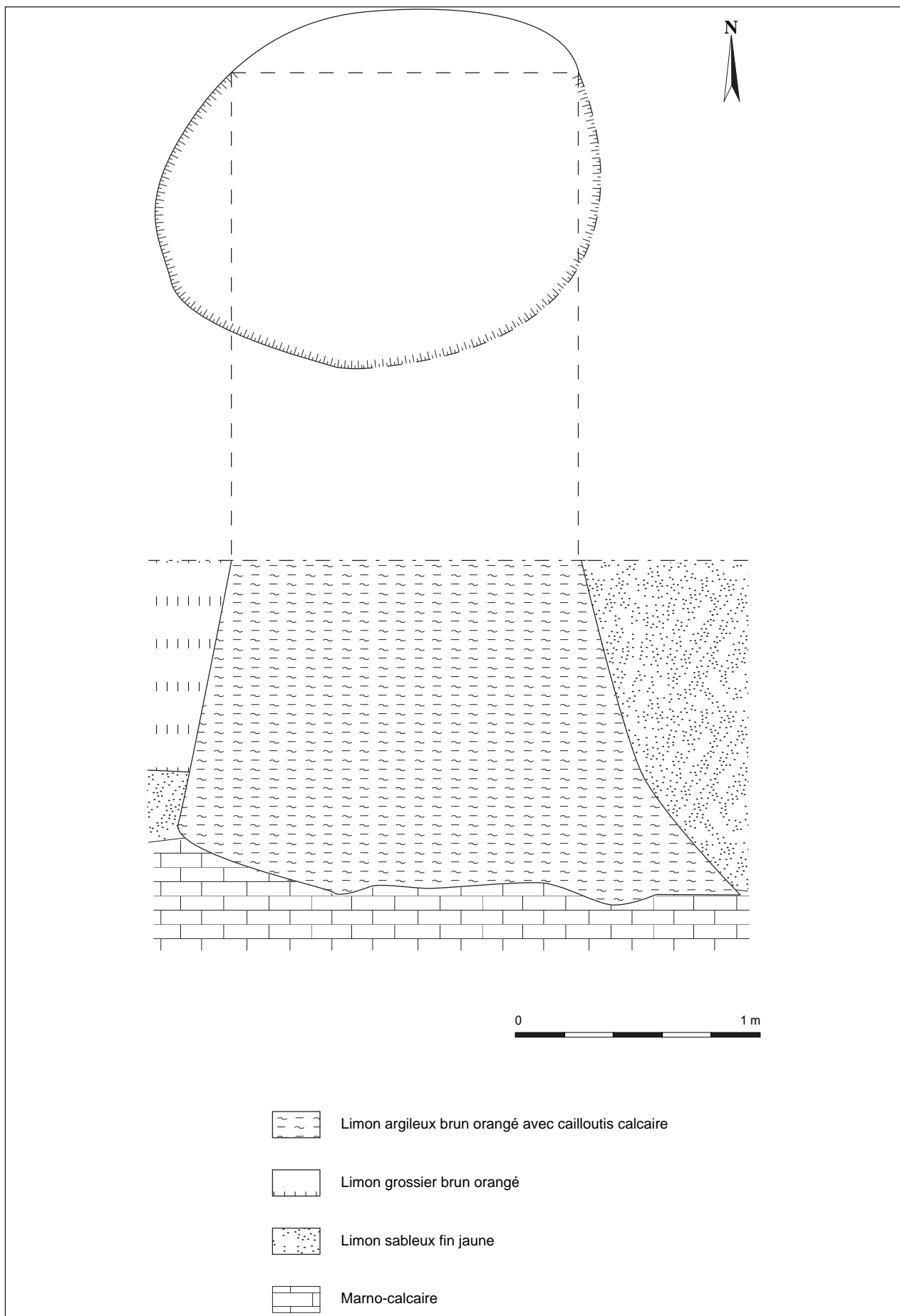


Fig. 18 : Plan et coupe du silo F505.

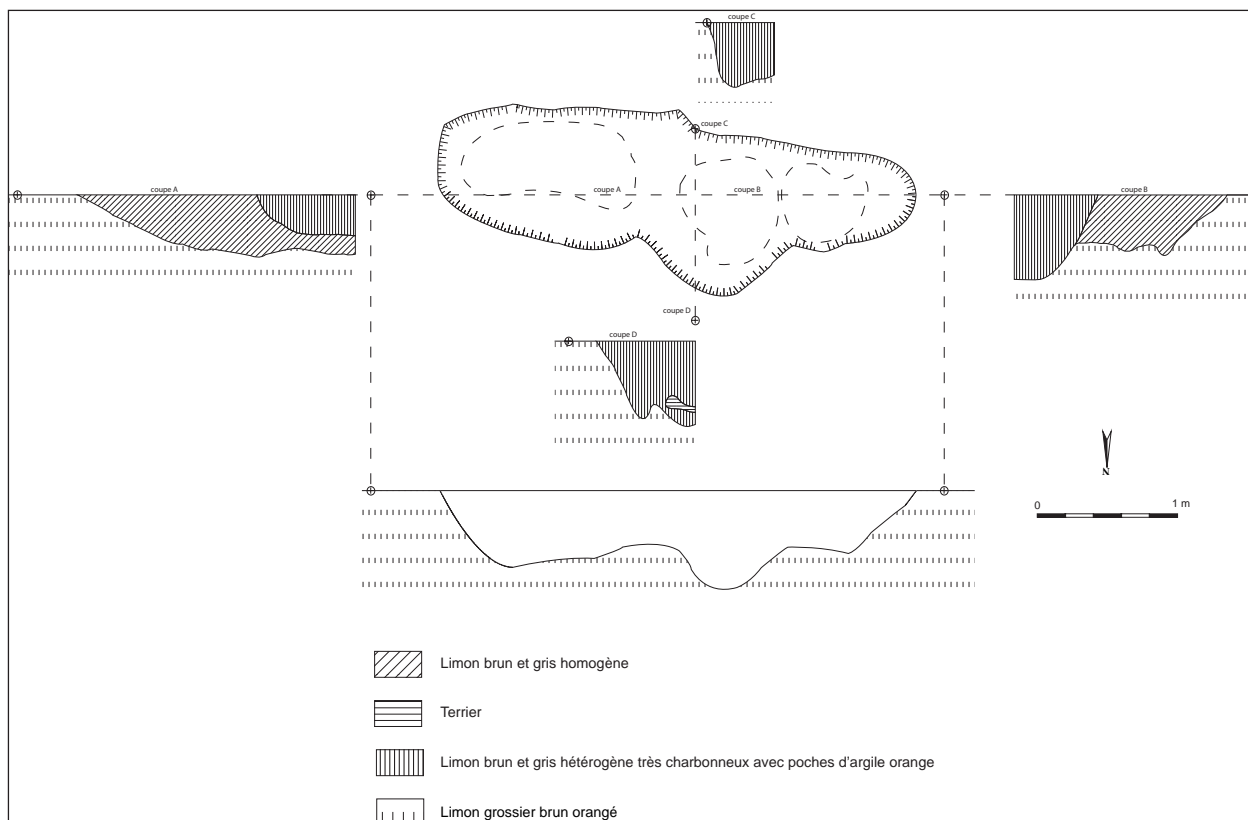


Fig. 19: Plan et coupes de la fosse 503.

caractérise par un limon argileux brun-orangé comportant des inclusions de cailloutis calcaire. Aucun vestige n'y a été découvert.

Le silo F505 semble avoir été comblé rapidement après ouverture et l'absence de vestiges permet d'écarter l'hypothèse d'une utilisation secondaire comme fosse de rejet.

D'un point de vue chronologique, ce silo est antérieur au silo F501, qui le recoupe. Il faut donc envisager un rattachement à La Tène ancienne ou au début de La Tène C1, puisque le remplissage du silo F501 contient des vestiges de La Tène moyenne.

VII.2.4 – La fosse F503

La fosse F503 est localisée à l'ouest, en bordure de la limite d'emprise (fig. 12). Il s'agit d'une fosse oblongue de 1,64 m de long par 1,10 m de large pour 60 cm de profondeur au maximum (fig. 19). Cette structure est orientée est-ouest. En coupe, son profil est irrégulier, et il semble que plusieurs creusements puissent être identifiés (fig. 20). Une première fosse au fond irrégulier s'étend sur 1,64 m de long. Elle est comblée par un limon brun-gris homogène sur 40 cm

d'épaisseur. Une fosse plus récente recoupe la précédente en son centre. Elle présente un profil plus régulier, en cuvette. Son comblement limoneux brun-gris hétérogène très charbonneux, sur 60 cm d'épaisseur, renferme des poches argileuses. Un prélèvement de charbon réalisé dans ce remplissage permet une attribution au second âge du fer, plus précisément à La Tène B ou C1 : GrA-44952 – 2220 ± 35 BP soit 383–202 av. J.-C.

Ce type de structure n'est pas sans rappeler les fosses allongées à profil simple ou à profil « en lunette » de La Tène ancienne mises au jour sur le site de la déviation de la route RD 64.2 « Orly-Villeneuve-Le-Roi »²². Ainsi, la fosse EA 67 est une fosse allongée présentant deux lobes au remplissage complexe (fig. 21). Sur ce site, les fosses de ce type sont peu éloignées des silos. Les auteurs du rapport proposent l'hypothèse de fosses dévolues au stockage de denrées autres que celles ordinairement conservées dans les silos²³. Une analyse de phytolithes réalisée sur des structures analogues du site de Thiais (Val-de-Marne), permet d'évoquer une utilisation

²² Navarro-Mussy, Rodriguez 1998.

²³ Navarro-Mussy, Rodriguez 1998, p. 35.

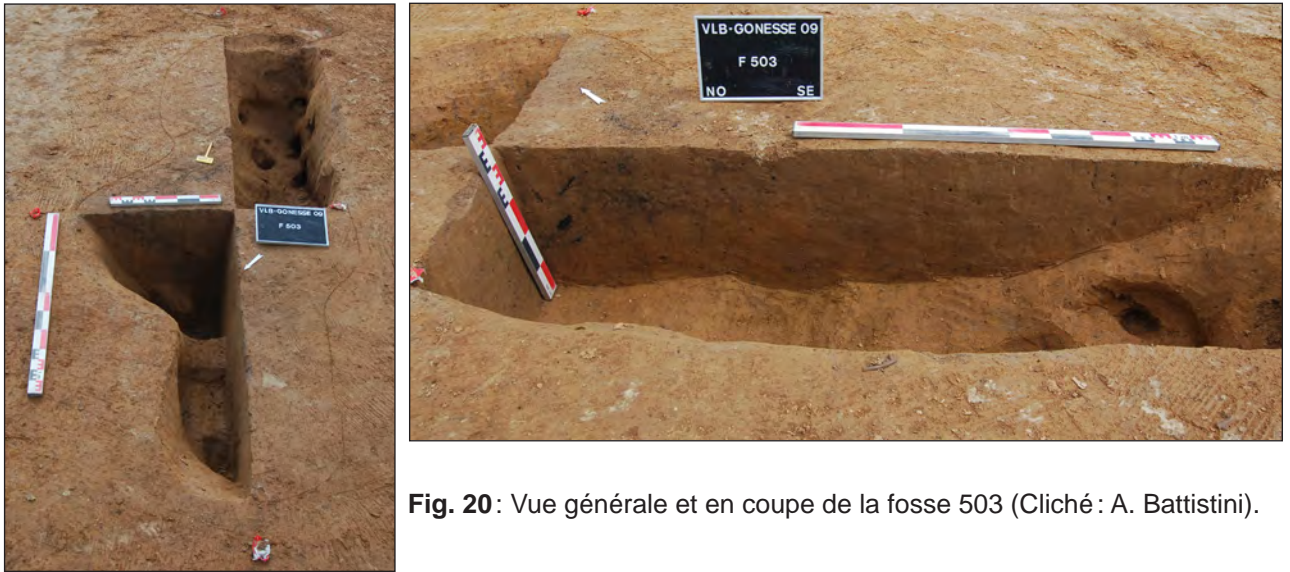


Fig. 20 : Vue générale et en coupe de la fosse 503 (Cliché : A. Battistini).



Fig. 21 : RD 64.2
«Orly-Villeneuve-le-Roi »,
fosses EA 67 et 69
(Navarro-Mussy,
Rodriguez 1998).

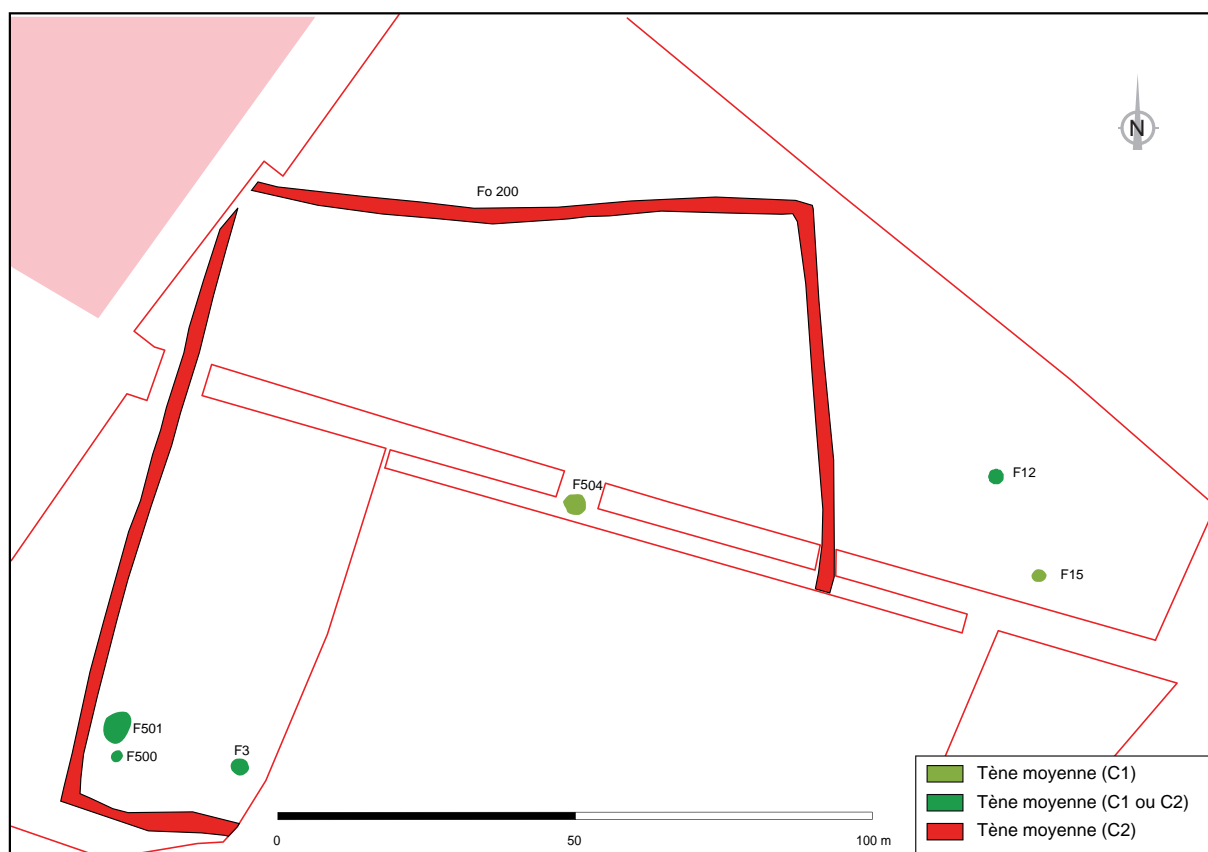


Fig. 22: Plan de localisation des structures rattachées à La Tène moyenne.

ournée vers le stockage des légumineuses²⁴. Peu sensibilisés à ce type de fosse et à ces problématiques spécifiques, nous n'avons réalisé aucun prélèvement spécifique en vue d'une étude de phytolithes. Toutefois, les similitudes entre la fosse 503 de Villiers-le-Bel et celles des opérations précitées sont nombreuses. Ainsi la structure F503 pourrait avoir servi au stockage de denrées autres que celles habituellement conservées dans les silos.

VII.2.5 – Conclusion

Les études menées à la suite de la fouille ont permis de mettre en évidence une occupation du site dès La Tène ancienne, notamment grâce à une série de datations C14 effectuées à partir de vestiges issus de couches qui n'avaient pas livré de céramique typique.

Cependant les modalités de cette occupation sont complexes à déterminer avec exactitude, car les structures sont peu nombreuses. Elles renvoient à un type d'occupation en «aire ouverte» bien connu pour La Tène ancienne. À Villiers-le-Bel,

mais c'est souvent le cas ailleurs, les structures les mieux représentées pour cette période sont des silos destinés au stockage de denrées alimentaires. Aucune trace d'habitat n'a été identifiée. Cela pourrait être la conséquence non seulement d'une forte érosion mais également de structures implantées trop légèrement pour avoir laissé leur empreinte dans le sol.

Il arrive couramment que des sites de La Tène ancienne soient découverts dans le département. À Champagne-sur-Oise «La Pièce du Carrefour» une occupation domestique assez dense constituée de 95 trous de poteaux appartenant à des bâtiments, de 7 silos, de 28 fosses et de 2 fossés a été fouillée en 1992 par J.-C. Durand²⁵. Une datation fine renvoyant à la seconde moitié du v^e siècle av. J.-C. a été proposée sur la base du mobilier céramique.

À Roissy «Le Dessus de la Rayonnette» deux zones fouillées en 1998 ont révélé la présence d'un fossé, d'un grenier, de traces fugaces de bâtiments et de deux inhumations²⁶.

Très récemment un diagnostic effectué au lieu-dit «Les Basses Coutures» à Champagne-sur-Oise a

25 Wabont *et al.* 2006, pp. 199-200

26 Casadéi dir. 1998.

24 Verdin *in* Navarro-Mussy, Rodriguez 1998, p. 146.

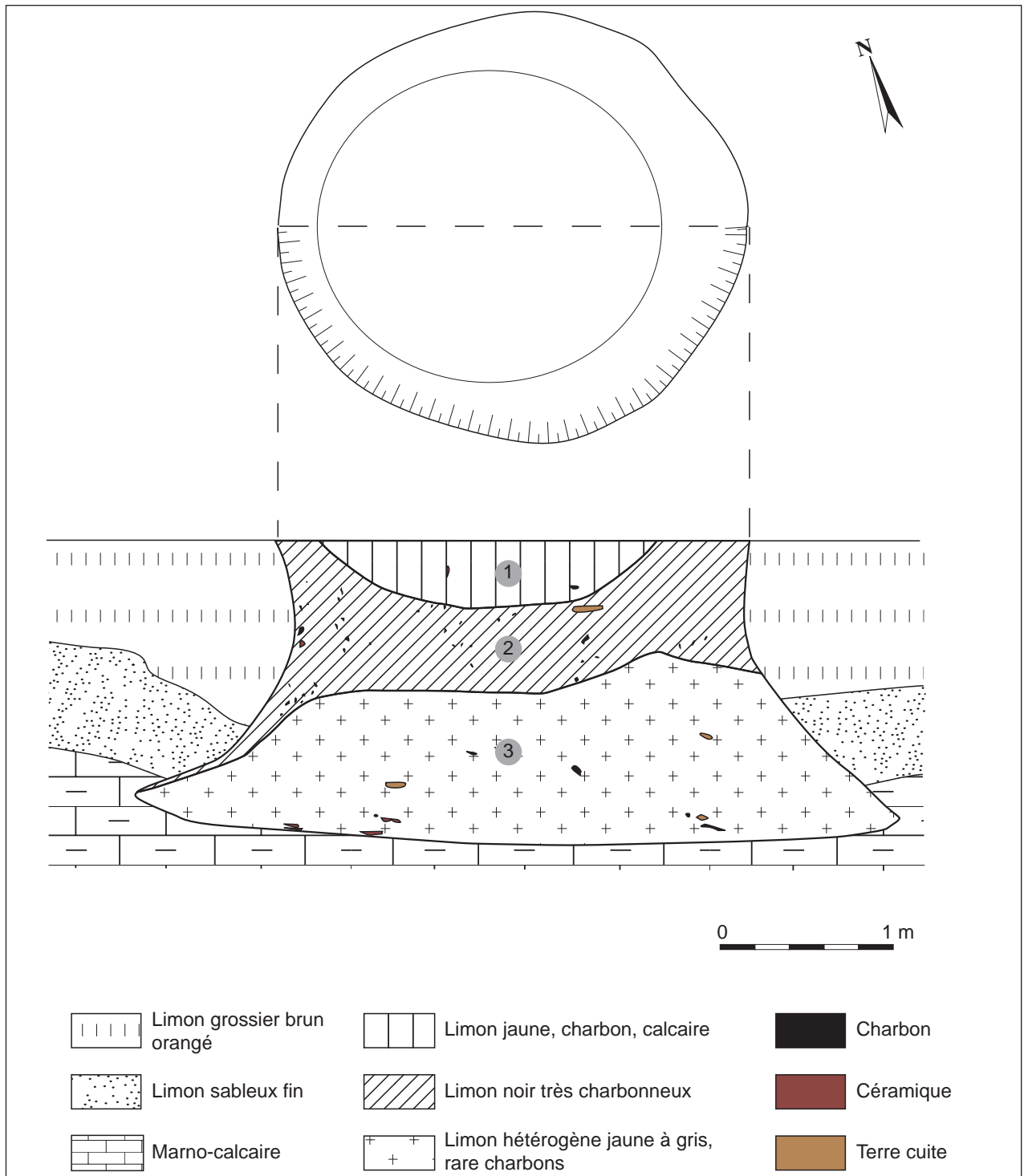


Fig. 23: Plan et coupe du silo F3.

permis la mise au jour de deux structures (1 silo, 1 fosse) recelant du mobilier céramique de La Tène ancienne (v^e siècle av. J.-C.)²⁷.

VII.3 – Une phase d’occupation complexe à caractériser : La Tène C1 ?

Le site connaît une nouvelle phase d’occupation à

²⁷ Legriel 2010.

La Tène moyenne. Dès le début de cette période, certains silos déjà utilisés au cours de La Tène ancienne fonctionnent encore. C’est notamment le cas du silo F504 qui accueille des rejets de nature détritique (fig. 22).

Quatre autres structures en creux ont été attribuées à La Tène moyenne sur la base des vestiges issus des remplissages : F3, F12, F500 et F501.

VII.3.1 – Le silo F3

Le silo F3 se trouve au sud-ouest, près d'une des limites d'emprise (fig. 22). D'un diamètre à l'ouverture de 2,50 m pour un diamètre à la base de 4 m, il atteint une profondeur de 1,70 m sous la surface du décapage. Son volume originel a pu être estimé à 15,9 m³ pour une capacité totale de 11,925 t de céréales.

En plan, il est apparu sous une couche de terre végétale épaisse de 40 cm, son contour circulaire se détachant nettement du limon encaissant (fig. 23). La structure en elle-même revêt l'apparence de deux cercles concentriques de couleur distincte. Le premier, au centre, se caractérise par un limon charbonneux à inclusions calcaires. Le second, qui forme une couronne périphérique, est limoneux noir très charbonneux.

En coupe, le sédiment encaissant n'est pas homogène (fig. 24). Entre 0 et 1 m de profondeur des limons grossiers brun orangé recouvrent le terrain. Puis des limons sableux fin jaune clair, ont été reconnus entre 1 m et 1,30 m. Enfin, l'étage marno-calcaire apparaît à 1,30 m de profondeur et au-delà.

Le silo présente un profil tronconique. Son remplissage se scinde en trois couches bien distinctes. La couche supérieure revêt la forme d'une lentille de 2 m de large amincie vers les parois et présentant une épaisseur maximum de 30 cm au centre. Elle est constituée de limon

jaune, comportant des inclusions de calcaire et de charbon. Les vestiges y sont rares.

La couche intermédiaire, asymétrique, enserre la précédente. D'une épaisseur de 50 cm, elle se caractérise par un limon noir très charbonneux au sein duquel les vestiges abondent. On y recense 141 restes dominés par la céramique (72) et les os animaux (68).

Enfin, la couche inférieure comble le fond de la structure sur une épaisseur de 90 cm. Le sédiment limoneux hétérogène jaune à gris contient quelques nodules de charbon et de rares tessons ainsi qu'un os humain (cf. annexe 4).

Malgré la présence de céramique, il reste difficile de proposer une attribution chronologique précise pour le silo F3 (cf. annexe 2). Les vestiges se rattachent de façon vague à La Tène moyenne.

Aucun dépôt spécifique n'a été identifié. Le comblement inférieur n'est pas aisément interprétable compte tenu de la présence d'éléments d'origine anthropique. Peut-être s'agit-il d'un remblai ? La couche intermédiaire abrite des rejets témoignant d'une utilisation détritique du silo durant cette phase d'occupation. Enfin, la couche supérieure, sans artefact, peut s'être mise en place de façon naturelle lors de l'abandon et de l'érosion du site.



Fig. 24: Coupe du silo F3 (Cliché : N. Garmond).



Fig. 25 : Coupe du silo F12 (Cliché : S. Velardez).

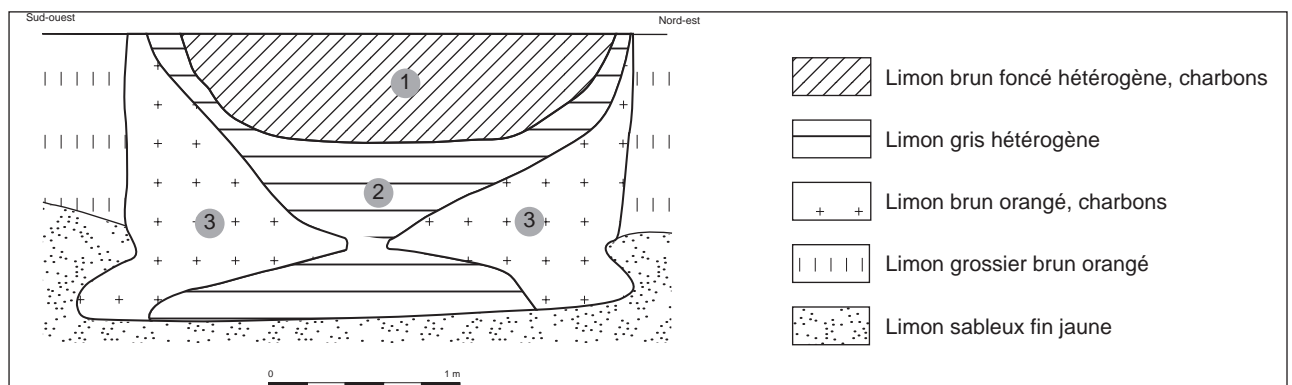


Fig. 26 : Coupe du silo F12.

VII.3.2 – Le silo F12

Le silo F12 se trouve à l'est (fig. 22). En plan, ses limites se distinguent nettement des limons de plateau environnants. Apparue à près de 40 cm sous la terre végétale, il présente un contour circulaire. D'un diamètre à la base de 2,50 m pour un diamètre à l'ouverture de 2,80 m, il a été creusé jusqu'à 1,40 m sous la surface du décapage. Son volume est estimé à 7,77 m³ pour une capacité de 5,82 t de céréales.

En coupe, les limons grossiers brun orangé encaissant repérés sur une épaisseur de 1 m font place à des limons sableux fins (fig. 25).

Le profil du creusement est tronconique (fig. 26). Le comblement est peu complexe. La couche 1 est placée dans la partie supérieure et centrale du remplissage. Épaisse de 60 cm, elle présente un

profil en forme de cuvette. Elle est constituée de limon brun foncé hétérogène peu charbonneux comportant des vestiges épars. La couche 2 enserre la couche 1 et se développe jusqu'au fond, son profil s'apparentant à celui d'un sablier. Elle est caractérisée par un limon gris hétérogène marbré de limon orangé, stérile. La couche 3 a été identifiée du sommet jusqu'au fond du fossé au niveau des parois. Elle correspond à un limon brun orangé comportant des inclusions charbonneuses. Sa mise en place pourrait résulter d'un effondrement lent et continu des parois.

Ce silo a peu servi de fosse de rejets. Par contre, son comblement inférieur semble résulter d'un rebouchage rapide et massif. Les éléments de datation disponibles sont rares. Tout au plus peut-on dire que le silo se rattache à La Tène (Tène C ?).

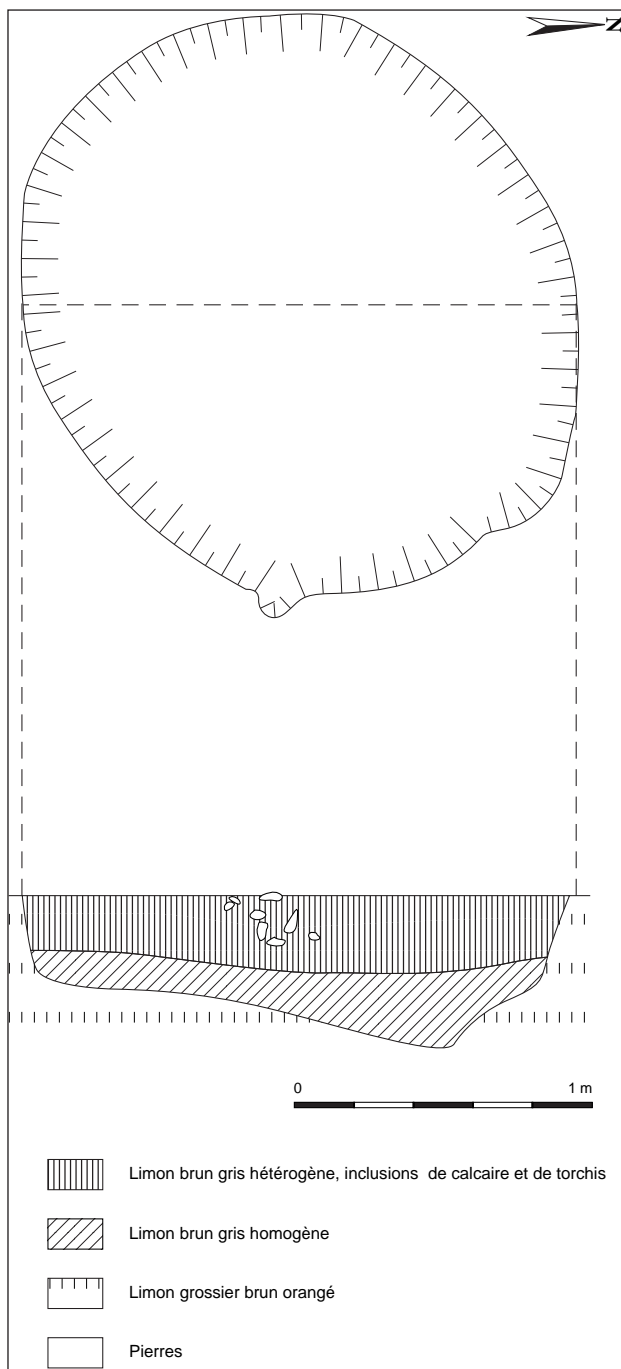


Fig. 27: Plan et coupe de la fosse 500.

VII.3.3 – La fosse F500

La fosse F500 se trouve au sud-ouest (fig. 22). De contour ovale, elle mesure 1,84 m de long par 0,93 m de large pour 50 cm de profondeur (fig. 27). Cette structure présente un profil en cuvette au fond irrégulier. Deux remplissages distincts ont été identifiés. Le comblement supérieur, de 24 cm d'épaisseur, est un limon brun-gris hétérogène, et présente des inclusions de calcaire ou de torchis. Le comblement inférieur, plus épais (26 cm), est limoneux brun-gris

homogène. L'ensemble des vestiges est issu de la partie supérieure du remplissage. Le mobilier se répartit en 19 tessons de céramique (176 g), 7 ossements animaux (311 g), 1 fragment de lignite (2 g), et 24 fragments de torchis (637 g). Les quelques tessons recueillis dans la couche supérieure se rapportent à La Tène moyenne (La Tène C ?).

VII.3.4 – Le silo F501

Le silo F501, fouillé manuellement, se trouve au sud-ouest (fig. 22). D'un diamètre à l'ouverture de 3,80 m pour un diamètre à la base de 4,60 m, il atteint une profondeur de 2,40 m. Son volume a été estimé à 33,3 m³ pour une capacité de 24,975 t de céréales (fig. 28).

En surface, le contour du creusement se démarque si bien des limons encaissants que la fosse a pu être repérée à 40 cm de profondeur, immédiatement sous la couverture végétale. Le plan du silo est ovale. Sa partie centrale, limono-argileuse brun-grise, est circonscrite par une couronne de limon argileux brun très charbonneux.

En coupe, le sédiment encaissant est hétérogène (fig. 29). Du côté ouest, un limon argileux brun (40 cm d'épaisseur) recouvre des limons sableux fins (85 cm d'épaisseur). Ensuite, des limons argileux brun-orangé incluant des cailloutis calcaires (65 cm d'épaisseur) recouvrent l'assise marno-calcaire apparue à 1,20 m de profondeur. Du côté ouest, l'arasement est important. Le premier horizon géologique rencontré correspond aux limons sableux fins (65 cm d'épaisseur). Les deux autres étages sont identiques à ceux du versant ouest : limon argileux brun-orangé (1,60 m d'épaisseur) et horizon marno-calcaire (40 cm d'épaisseur).

La fosse présente un profil tronconique. Malgré un remplissage complexe, les couches se distinguent bien les unes des autres. Au sommet, la couche 1, détruite dans sa partie ouest par une fosse moderne (F502), revêt la forme d'une cuvette qui ne rejoint pas les parois du silo. Son épaisseur maximale est de 80 cm. Le sédiment argilo-limoneux brun-gris de son comblement, recèle des inclusions de charbon et de nombreux vestiges de nature détritique (fig. 30). Les vestiges céramiques retrouvés dans cet horizon

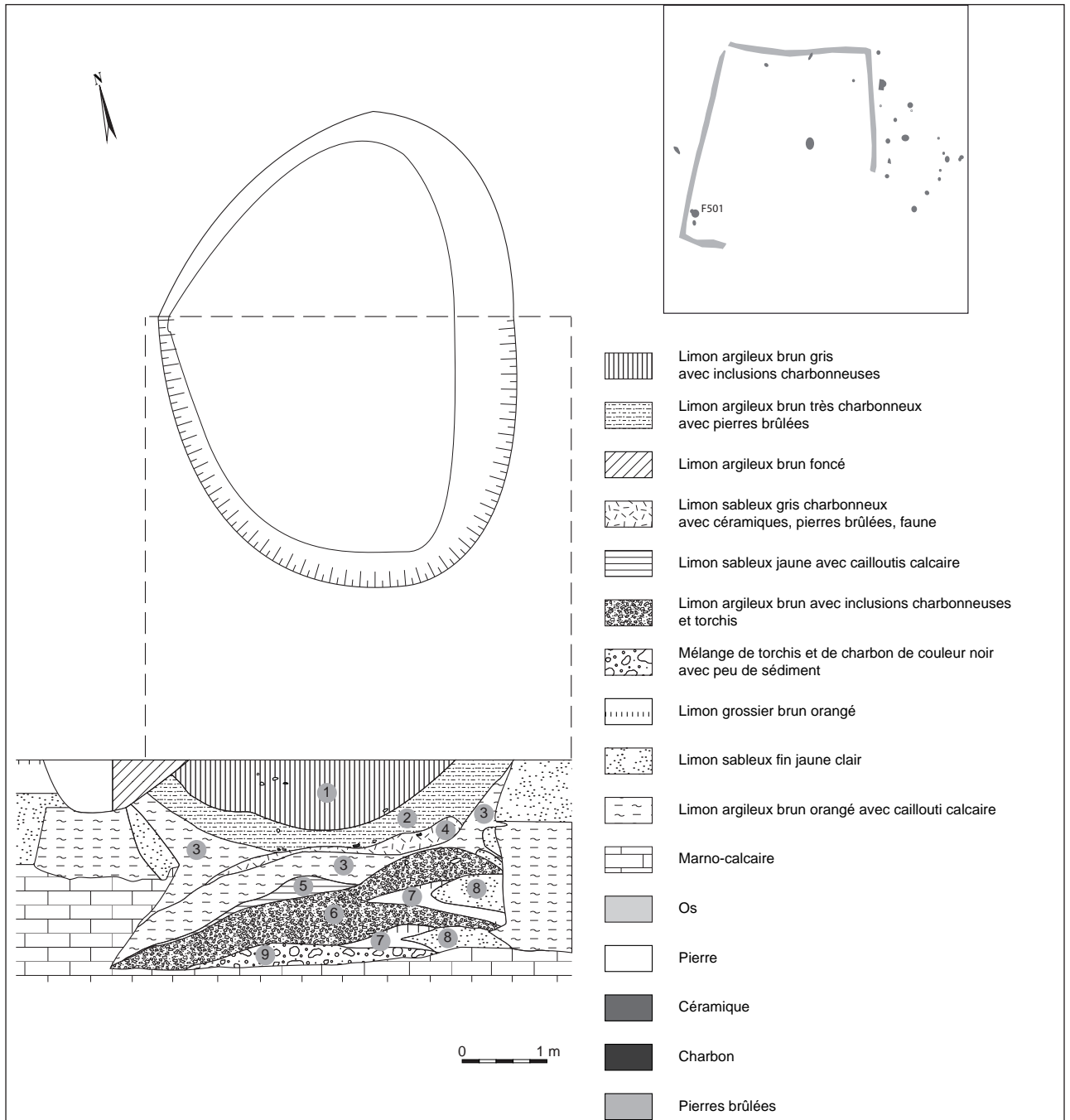


Fig. 28 : Plan et coupe du silo F501.

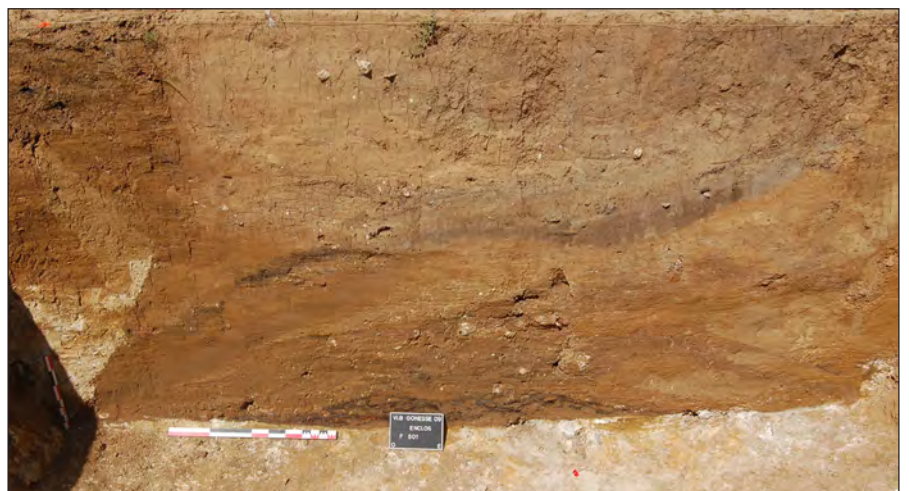


Fig. 29 : Coupe du silo F501 (Cliché: R. Marque).

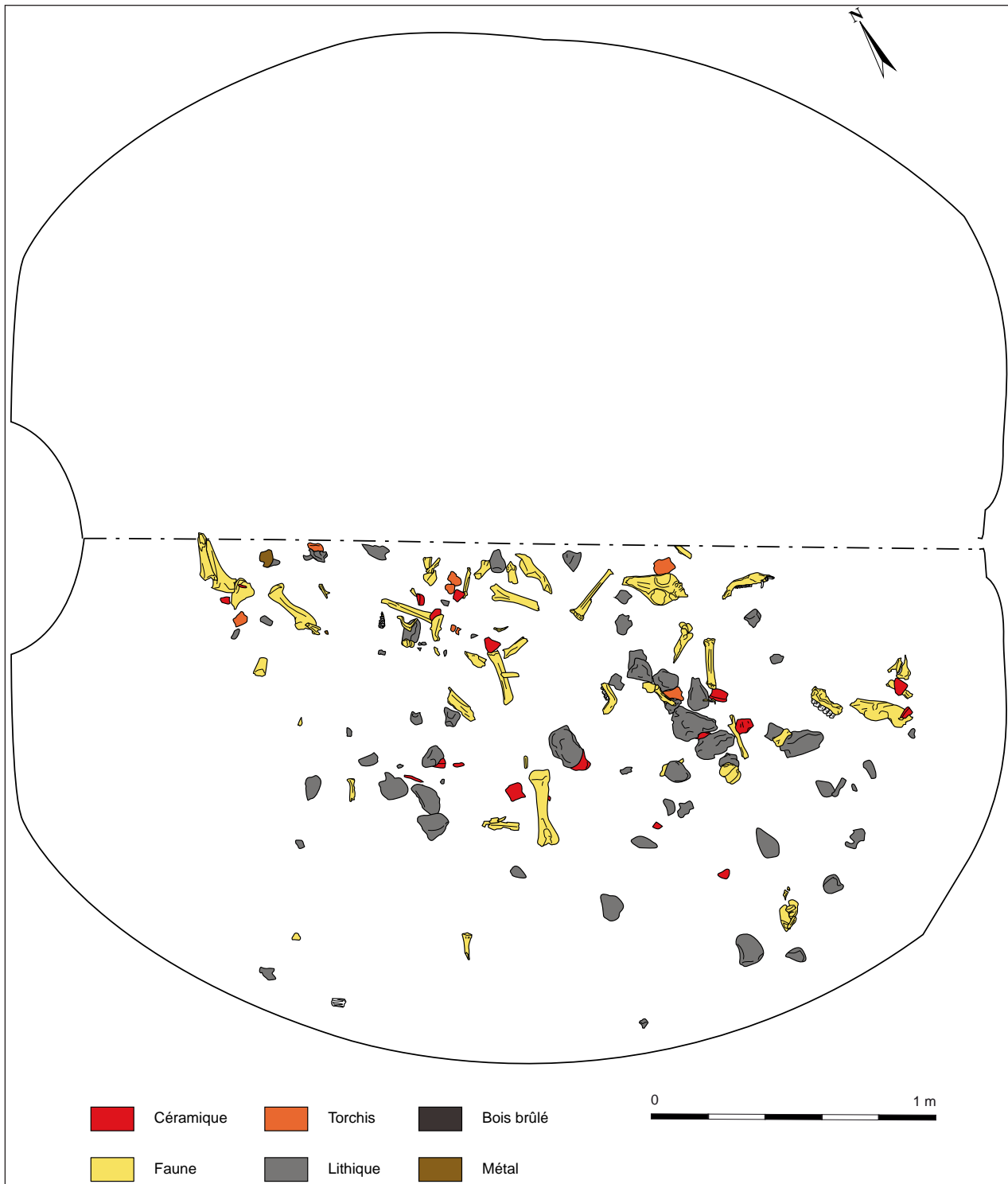


Fig. 30: Silo 501, plan des vestiges retrouvés entre 0 et 80 cm.

renvoient soit à la fin de La Tène C1 soit à La Tène C2 (cf. annexe 2).

La couche 2 enserre la couche 1 horizontalement et verticalement. Partiellement détruite à l'ouest par la structure F502, elle présente un profil en cuvette. Son épaisseur varie de 20 cm au centre à 90 cm au niveau des parois. Le sédiment limono-argileux brun de comblement, très charbonneux avec des pierres brûlées, recèle un crâne de

bœuf et les restes déconnectés d'un porc (cf. annexe 3).

La couche 3, identifiée sur les parois est et ouest, correspond à un limon argileux brun-orangé avec cailloutis calcaire de 1 m d'épaisseur. Le mobilier y est rare. Il semble s'agir d'une couche d'effondrement des parois.

Plus fine, la couche 4 est dissymétrique. Épaisse de 30 cm environ, elle se compose d'un limon

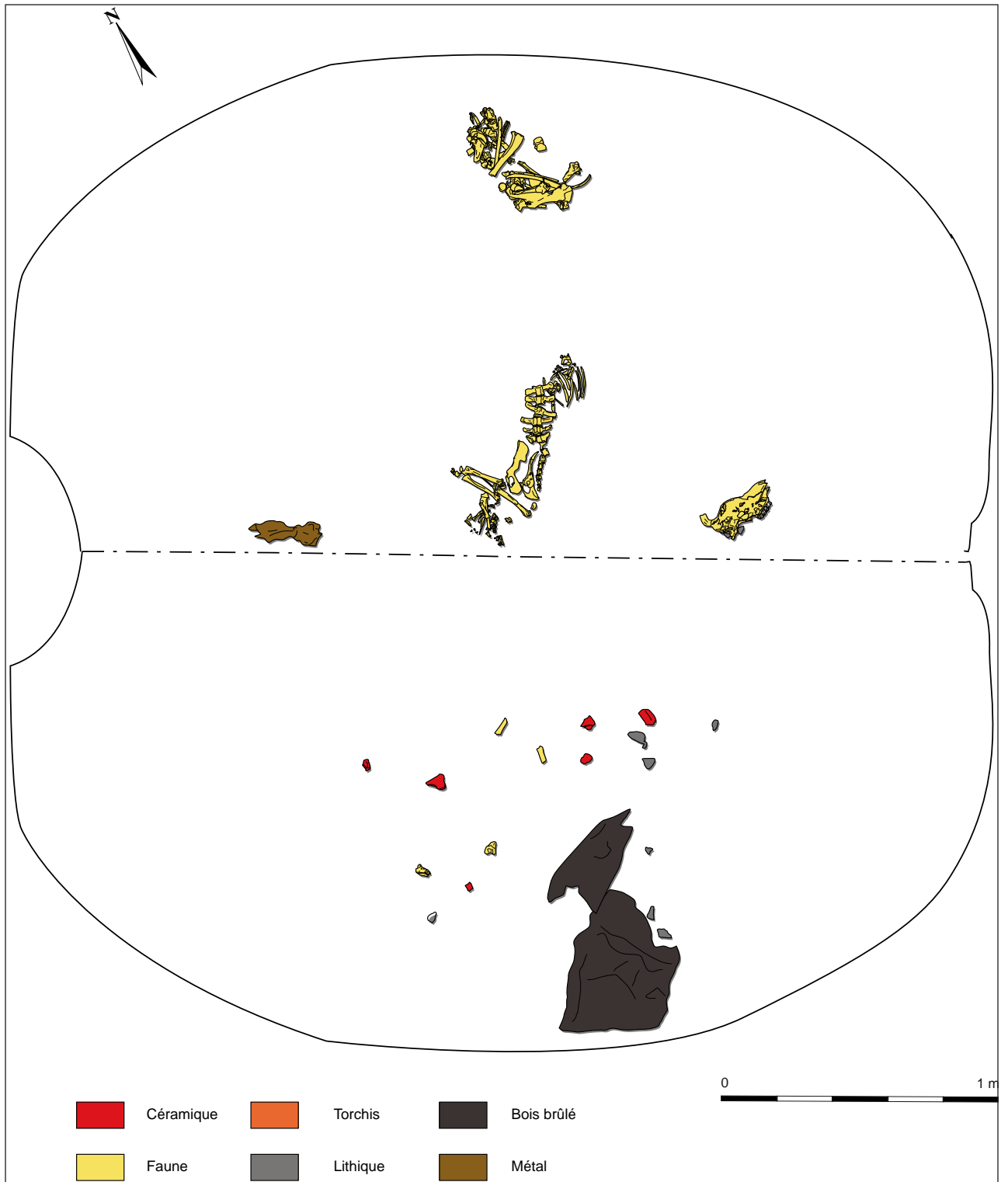


Fig. 31 : Silo 501, plan des vestiges retrouvés entre 80 cm et 1,40 m(DAO: A. Battistini).

sableux gris charbonneux au sein duquel le mobilier est assez dense. Elle semble préférentiellement avoir été apportée depuis le versant est. La couche 5, d'une épaisseur maximale de 25 cm, s'amincit d'est en ouest. Elle se caractérise par un limon sableux jaune avec cailloutis calcaire. Sa mise en place pourrait être liée à l'érosion naturelle du site.

La couche 6 est asymétrique. Elle présente un pendage d'est en ouest. Épaisse de 60 cm, son sédiment argileux brun à inclusions de charbon et de terre cuite a livré d'abondants vestiges, parmi lesquels des meules, trois squelettes sub-complets d'un cochon et de deux chiens, et des os humains (fig. 31, cf. annexes 3, 4 et 5). Le mobilier céramique de cette couche n'est guère

différent de celui de la couche 1 (Tène C1/C2). La couche 7, de 30 cm d'épaisseur, apparaît sous forme de langues de sédiment limoneux uniquement du côté est. L'absence de mobilier est un argument en faveur d'une mise en place naturelle. La couche 8 jouxte la couche 7 du côté est. Répérée sur 40 cm d'épaisseur, elle se compose d'un sable brun-jaune stérile.

Enfin, la couche 9 est une lentille de limon riche en torchis et en charbon qui couvre le fond du silo sur 30 cm d'épaisseur.

En résumé, le grand nombre de couches identifiées trahit l'histoire complexe de ce silo. Les couches 1, 4, 6 et 9 renferment du matériel de nature essentiellement détritique. Elles trahissent une utilisation secondaire de cette structure comme fosse de rejet.

La couche 2, et dans une moindre mesure la couche 6, renferment des dépôts osseux particuliers (une carcasse de jeune cochon déposée en deux parties, deux crânes de chien, cf. annexe 3) qu'il est difficile d'interpréter à l'échelle de ce seul silo.

Quand aux autres couches (3, 5, 7, 8), leur mise en place semble liée à des phénomènes naturels d'érosion du site.

À plusieurs reprises, nous avons remarqué un apport préférentiel depuis l'est. Peut-être cela renvoie-t-il à une logique de rejet ?

Ces phases d'utilisation secondaires du silo peuvent être rattachées à la fin de La Tène C1 voire au tout début de La Tène C2, d'après la céramique (cf. annexe 2).

VII.3.5 – Bilan

VII.3.5.a – Une difficile caractérisation chronologique

La datation des structures en creux précédemment décrites est relativement flottante. Le mobilier céramique, souvent retrouvé dans les comblements supérieurs, n'autorise aucune datation du creusement initial des structures. L'étude de ce mobilier permet toutefois d'affirmer que les structures en question fonctionnaient durant La Tène moyenne.

Cependant, la position stratigraphique récurrent des éléments céramiques dans les horizons supérieurs des remplissages des fosses indique un comblement largement avancé, si ce n'est à la fin de La Tène C1, du moins à la fin de La Tène moyenne.

VII.3.5.b – Fonctionnement des silos

Utilisation primaire des silos

Le creusement d'un silo requiert des moyens techniques et humains importants et il est difficile d'imaginer que ceux de Villiers-le-Bel n'ait eu qu'une simple vocation détritique.

En amont de l'opération de diagnostic de 2008, l'interrogation s'est donc portée sur leur utilisation primaire. Pour ce faire, trois d'entre eux ont fait l'objet d'un prélèvement²⁸. 20 litres de sédiment issus du silo F3 ont livré quatre graines. 10 litres de sédiment en provenance du silo F12 ont livré une graine. Enfin, 5 litres de sédiment prélevés dans le remplissage supérieur du silo F15 n'ont pas livré de graines.

Ces premières analyses ont révélé un milieu très dégradé, peu favorable à la conservation de restes paléo-environnementaux. Par conséquent il a été décidé de ne pas approfondir ce genre d'investigation au-delà du diagnostic.

Comme l'on pouvait le présumer au regard des situations habituellement rencontrées, l'utilisation primaire des silos paraît tournée vers le stockage de céréales. C'est du moins ce que sous-tend la présence de graines dans le sédiment caractérisant le fond du remplissage de ces structures.

Utilisation secondaire des silos

Parmi les six silos découverts à Villiers-le-Bel, certains paraissent avoir été abandonnés très rapidement après leur utilisation primaire. C'est notamment le cas du silo F505 pour lequel l'absence de vestiges milite en faveur d'un comblement et d'un abandon rapides.

L'écrasante majorité des silos abrite des rejets de nature détritique. Dans deux cas au moins (F501, F504), les phases de rejets s'alternent avec des phases d'abandon. Les analyses spécialisées

28 Marque *in* Pariat, Garmond 2008.

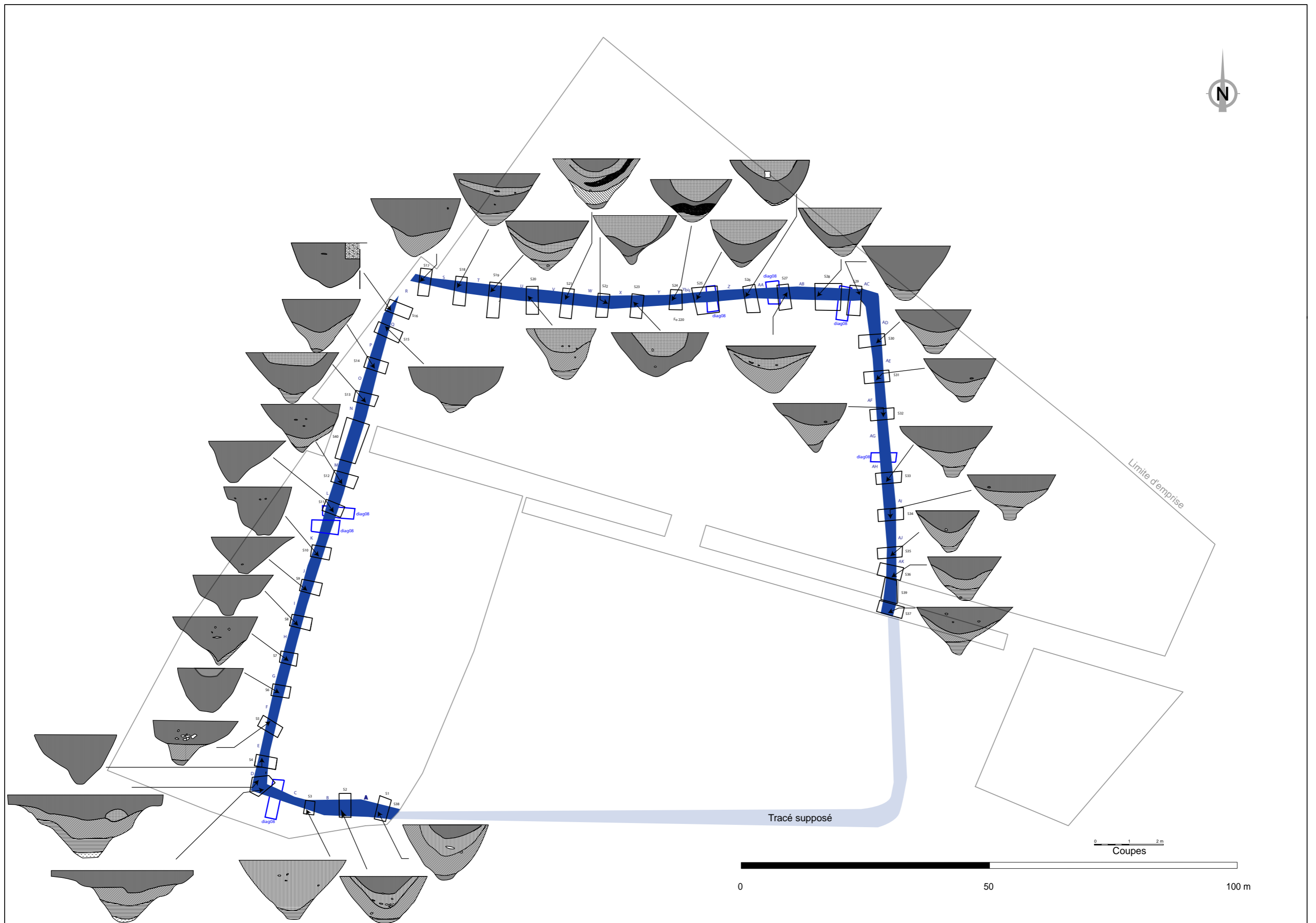


Fig. 33 : Plan de l'enclos et localisation des coupes.

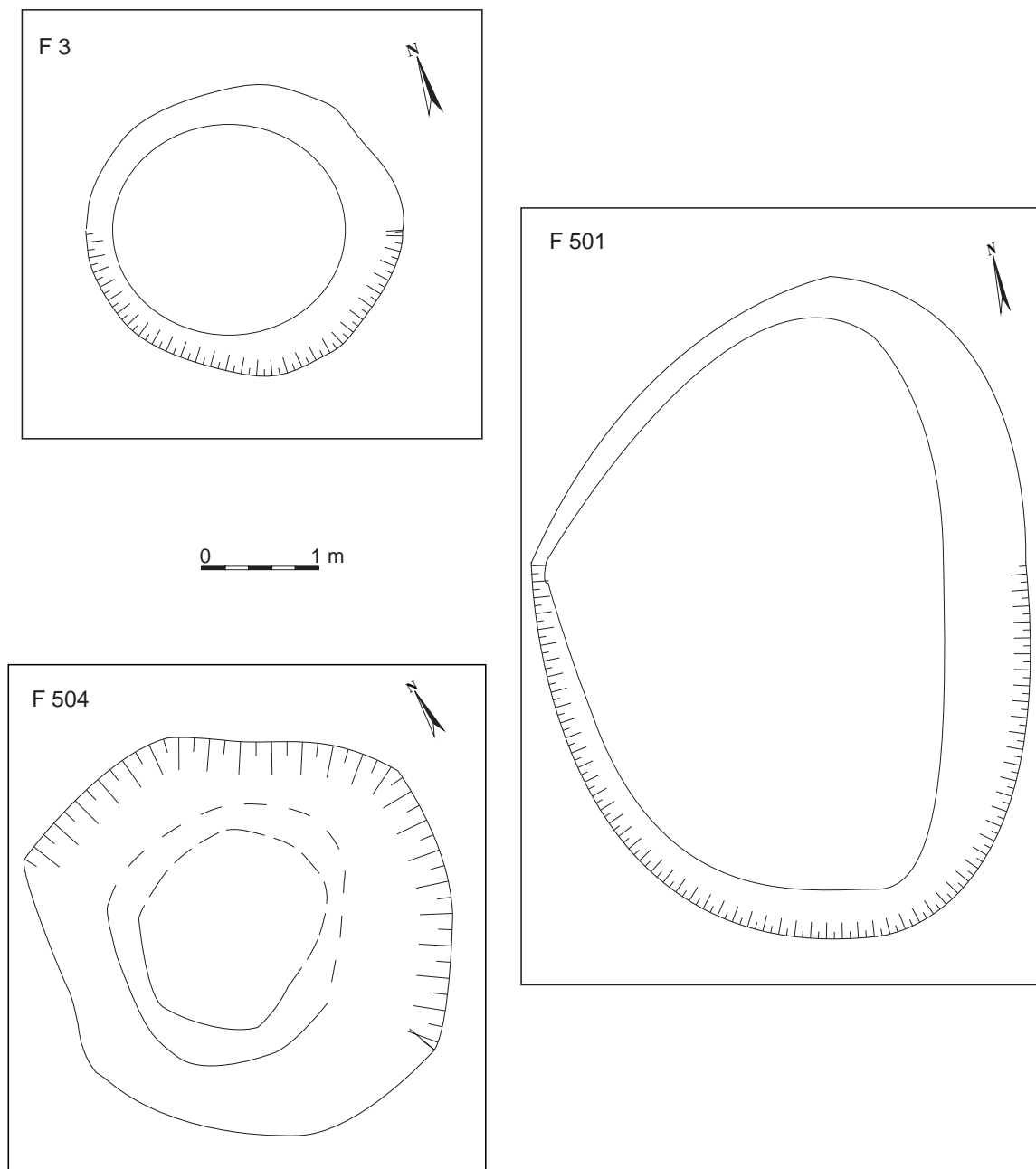


Fig. 32: Silos présentant une couronne de sédiment (F3, F501 et F504).

permettent d'approfondir un peu plus les modalités de gestion de ces fosses. Ainsi, le silo F501 pourrait avoir accueilli des déchets liés au nettoyage du site, tandis que le silo F504 aurait plutôt servi de dépotoir domestique, éventuellement lié à la proximité d'un habitat (cf. annexes 2 et 3).

Enfin, le silo F15 abrite deux dépôts particuliers avec, dans sa partie supérieure, des bas de patte en connexion et, dans sa partie inférieure, un squelette humain incomplet. Ces deux dépôts sont séparés par une épaisse couche de sédiment. Il est donc extrêmement difficile de dire qu'ils forment un seul ensemble. Il faut noter que

ces restes sont présents au sein de la sphère domestique, et que le squelette humain semble n'être qu'un élément parmi d'autres²⁹.

Les ultimes phases de comblement des silos

À trois reprises une couronne de sédiment a été observée en plan au niveau d'apparition des structures, sous les labours (F3, F501, F504). Cette couronne revêt différentes apparences : deux cercles concentriques ou une couronne « piégée » dans un comblement homogène (fig. 32).

Le sédiment correspondant à cette couronne

²⁹ Delattre *in* Baray, Boulestin 2010, p. 194.

est un limon de teinte variée, qui comporte des blocs de pierre, souvent calcaires. En coupe, il présente un profil en cuvette. Il pourrait s'agir d'un niveau de circulation (un sol?) qui s'est affaissé du fait de la nature meuble du terrain à cet endroit. Ainsi, dans certains cas, à l'instar du silo F504, un affaissement a pu faire l'objet d'un remblaiement de façon à rattraper ce niveau de circulation.

VII.4 – La Tène C2: une phase d'apogée dans l'occupation du site ?

VII.4.1 – Un enclos

Un enclos fossoyé est implanté sur un terrain en pente douce en bordure est de la RD 10. Bien que le tracé soit extrapolé à partir des deux-tiers dégagés et fouillés, le tiers restant se trouvant hors emprise, l'enclos est de forme trapézoïdale (fig. 33). Le fossé Fo200, qui le compose, est continu. Il mesure 100 m sur son plus long côté ouest, et 96 m sur son côté nord. Dans sa partie est, il a été reconnu et étudié sur 64 m de long pour seulement 28 m au sud. Malgré les incertitudes qui subsistent en l'absence de fouille exhaustive, le fossé pourrait, hors emprise, se refermer dans sa partie sud-est formant ainsi un quadrilatère, et délimitant une aire de 9 600 m².

En cumulant diagnostic et fouille, 45 sondages de 2 m de large, réalisés tous les 5 m perpendiculairement à l'axe du fossé, ont permis d'évaluer l'état de conservation de celui-ci et de suivre l'évolution de son profil.

De façon très générale il s'agit d'un fossé à profil en U avec évasement des parois vers le sommet du remplissage. Sa largeur moyenne est de 2,11 m pour une profondeur d'environ 1,20 m. Il est plus large et plus profond au sud qu'au nord, et présente fréquemment un fort rétrécissement vers le fond.

Creusé dans les limons de plateau, le fossé présente un remplissage à composante majoritairement limoneuse, le plus souvent composé de trois couches. La couche supérieure est constituée de limon avec de rares inclusions charbonneuses.

La couche sous-jacente, noire, est également limoneuse mais comporte de nombreux charbons. Elle est parfois très organique, en particulier sur la bordure nord, et s'épaissit d'ouest en est. Enfin, une couche de limons mélangés compose le remplissage au fond du fossé.

Les relevés des coupes ont été rassemblés en annexe (cf. annexe 11). Quelques coupes, sélectionnées parmi les plus représentatives, sont présentées dans la suite du texte.

VII.4.1.a – Sondage 1

Le sondage 1 a été pratiqué sur la bordure sud du fossé 200 (fig. 34). À cet endroit, le fossé mesure 2,50 m de large pour une profondeur de 1,58 m. Les niveaux les plus denses en vestiges ont été fouillés manuellement. En coupe, le profil du fossé, en U, est évasé vers le sommet contrairement à la base dont la largeur est fortement rétrécie.

La couche supérieure du remplissage a été identifiée dans la partie centrale du fossé. Son épaisseur varie de 10 cm aux extrémités à 40 cm au centre. Cet horizon se caractérise par un limon brun-gris comportant des nodules de charbon et de torchis. Quelques vestiges proviennent de cette couche : céramique, torchis, pierre brûlée. Malgré des mélanges, on note parmi les tessons retrouvés des formes du début de La Tène D1.

La couche sous-jacente, dont l'épaisseur oscille entre 10 et 50 cm, apparaît depuis le sommet de part et d'autre de la précédente. Il s'agit d'un limon brun-gris, dense en nodules de charbon et de torchis, qui recèle peu de vestiges en dehors d'un potin (cf. annexe 8). Les quelques vestiges céramiques évoquent des formes de La Tène C2. La troisième couche, qui enserre la précédente, a été identifiée, elle aussi, dès le sommet du remplissage. Elle s'épaissit dans sa partie centrale où elle peut atteindre 54 cm. C'est un limon brun-gris homogène comportant de nombreux nodules de charbon, et d'abondants vestiges : os, torchis, céramique, gastéropodes. Elle a livré les restes disloqués d'un squelette de suidés (fig. 35). La céramique y est absente au-delà de 90 cm de profondeur. Quelques formes sont ici plus anciennes (fin Tène C1 / début Tène C2).

Enfin, la couche disposée au fond du fossé, épaisse

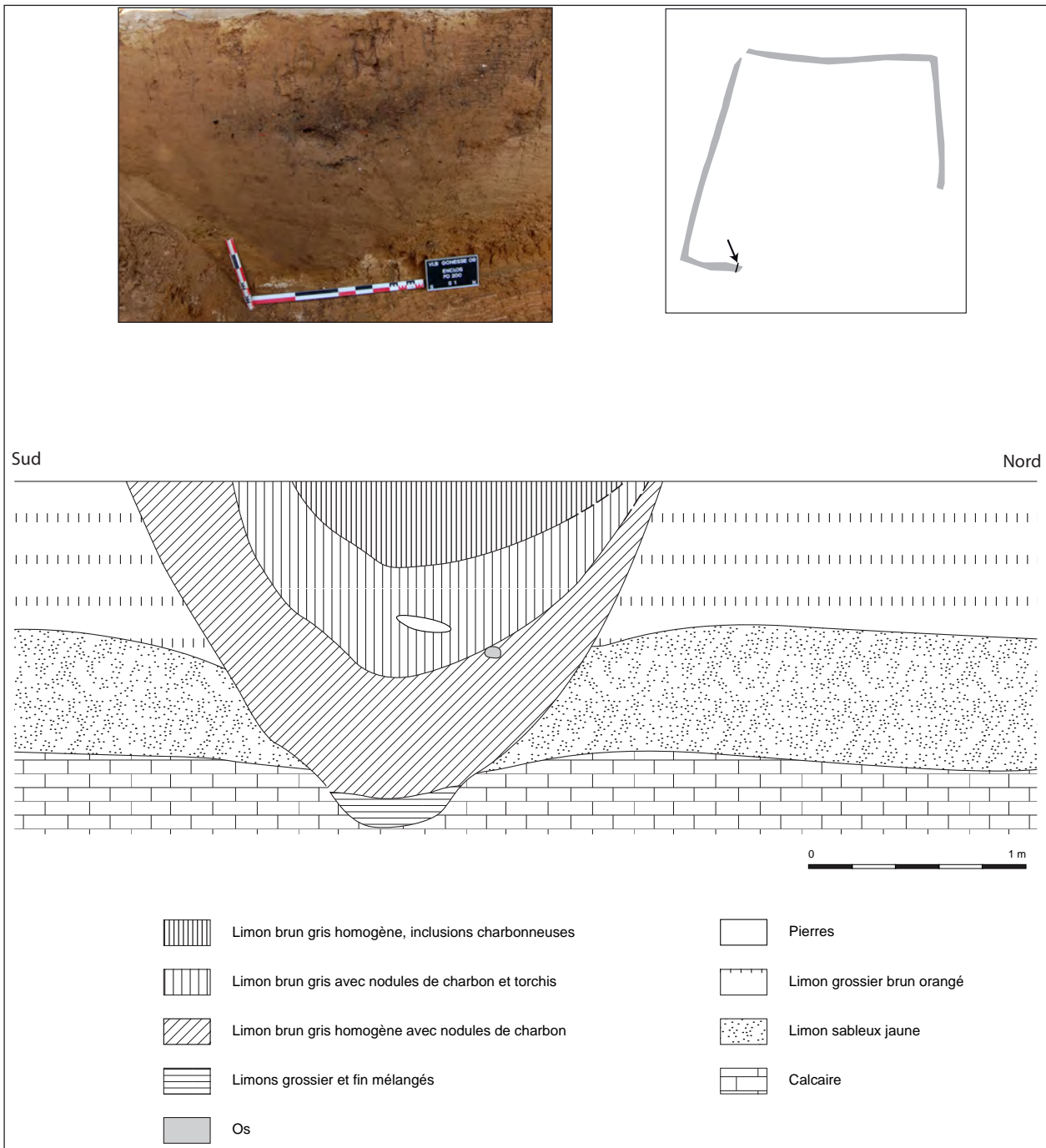


Fig. 34 : Fossé 200, sondage 1, coupe.

de 20 cm, est un mélange de limon brun foncé et jaune clair de granulométrie hétérogène.

VII.4.1.b – Coupe nord-ouest de l'angle sud-ouest

L'angle sud-ouest du fossé 200 a été entièrement sondé à la main. Sa largeur atteint 3,40 m pour une profondeur de 1,30 m (fig. 36). En coupe, le profil du fossé est à fond arrondi et à parois obliques (fig. 37). La couche supérieure, de 60 cm

d'épaisseur, est limoneuse brune grise avec de rares inclusions de charbon. Dans la partie sud-ouest de cette couche, une lentille très charbonneuse de 60 cm de large par 40 cm de haut a été identifiée.

La couche sous-jacente, de 50 cm d'épaisseur, se caractérise par un limon jaune peu dense. Les inclusions calcaires y sont rares. Il semble qu'il y ait eu un apport préférentiel de sédiment depuis l'est. Quelques tessons étaient présents. Nous avons noté la présence de nombreuses coquilles fragmentées de gastéropodes.

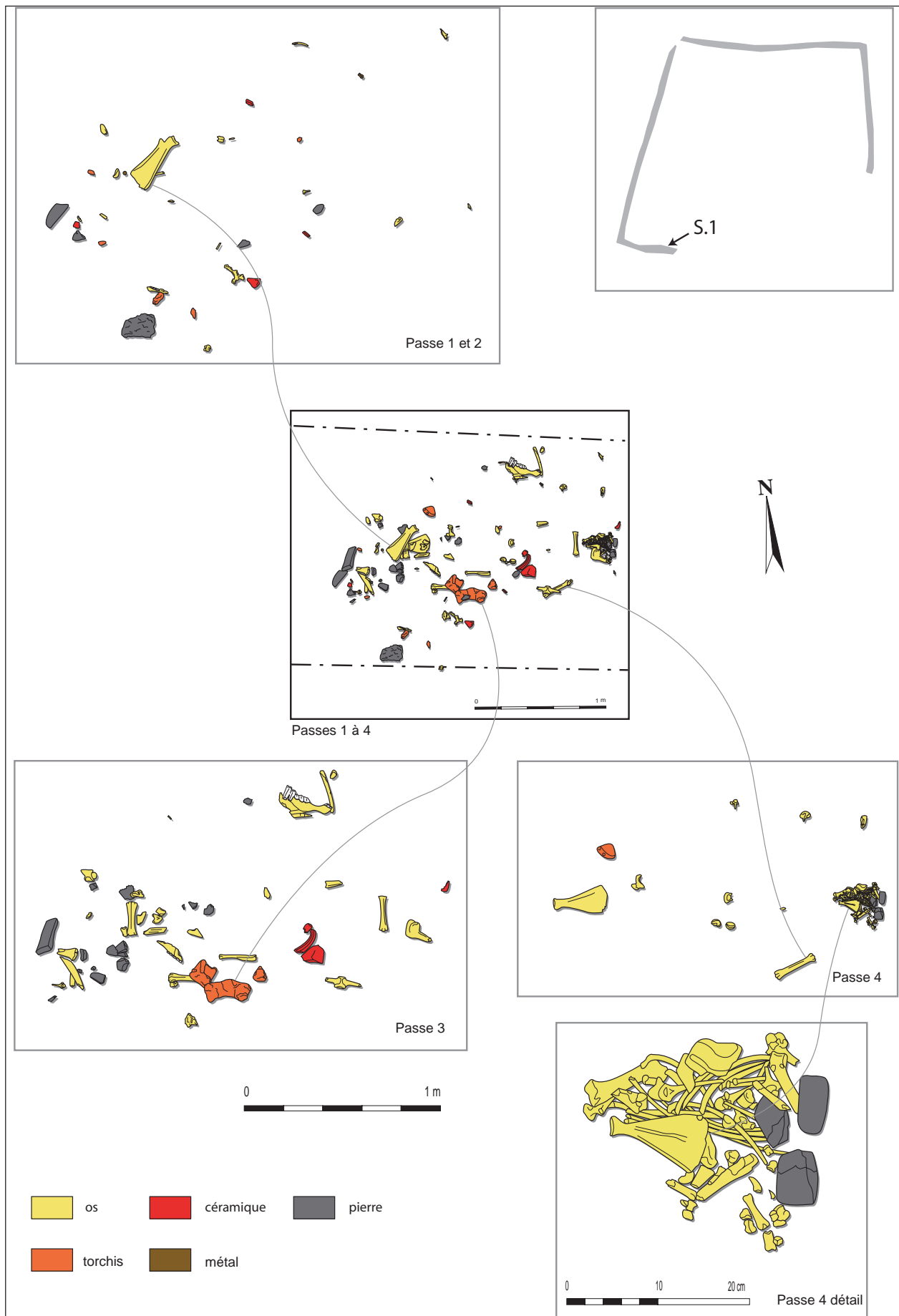


Fig. 35: Plan des restes disloqués d'un squelette de suidés apparus au niveau du sondage 1.

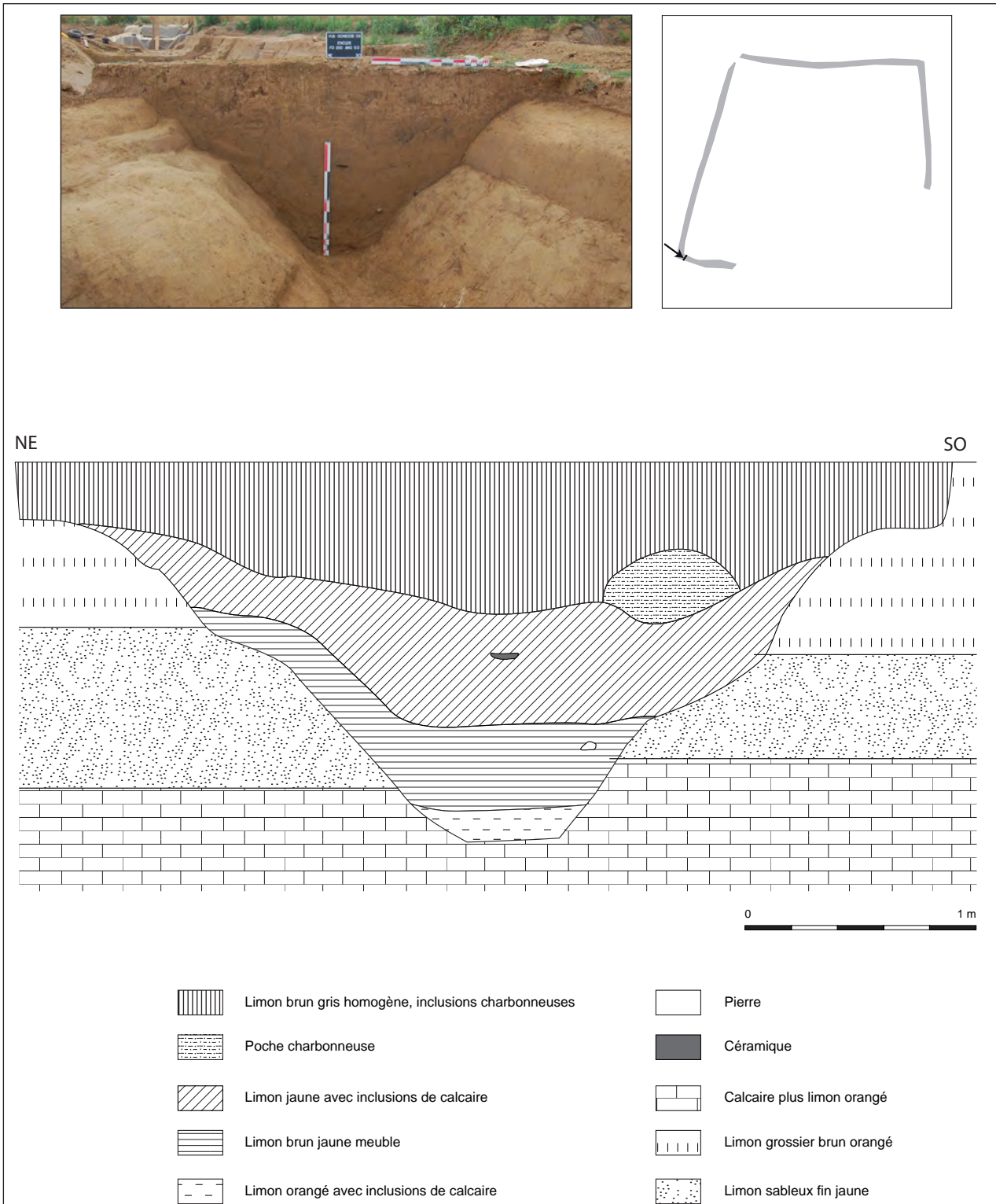


Fig. 36 : Vue générale de l'angle sud-ouest du fossé 200 après fouille (Cliché : G. Le Goïc).



Fig. 37 : Fossé 200, coupe nord-ouest de l'angle sud-ouest.

Le limon brun-jaune meuble qui caractérise la partie inférieure du remplissage semble provenir préférentiellement de l'est. Il a été repéré sur 40 cm d'épaisseur.

Enfin, la couche du fond, de 20 cm d'épaisseur, est un limon orangé comportant des inclusions calcaires.

Comme dans le cas du sondage 1, la répartition verticale des vestiges céramiques semble suivre une certaine progression. Malgré des mélanges, les formes les plus anciennes sont profondément enfouies tandis que les plus récentes sont des les niveaux supérieurs du comblement.

VII.4.1.c – Sondage 5

Le sondage 5, localisé au sud-ouest, a été exploré mécaniquement (fig. 38). À cet endroit, le fossé mesure 2 m de large pour 1,10 m de profondeur. Son profil, légèrement asymétrique, est en U évasé vers le sommet. La paroi est présente un ressaut.

Le comblement supérieur limoneux brun-gris, de 40 cm d'épaisseur, comporte des inclusions de calcaire et de charbon. À la base de celui-ci, des dallettes calcaires couvrent la partie centrale



Fig. 39 : Fossé 200, sondage E, vue oblique des dallettes calcaires issues du remplissage supérieur (Cliché : A. Battistini).

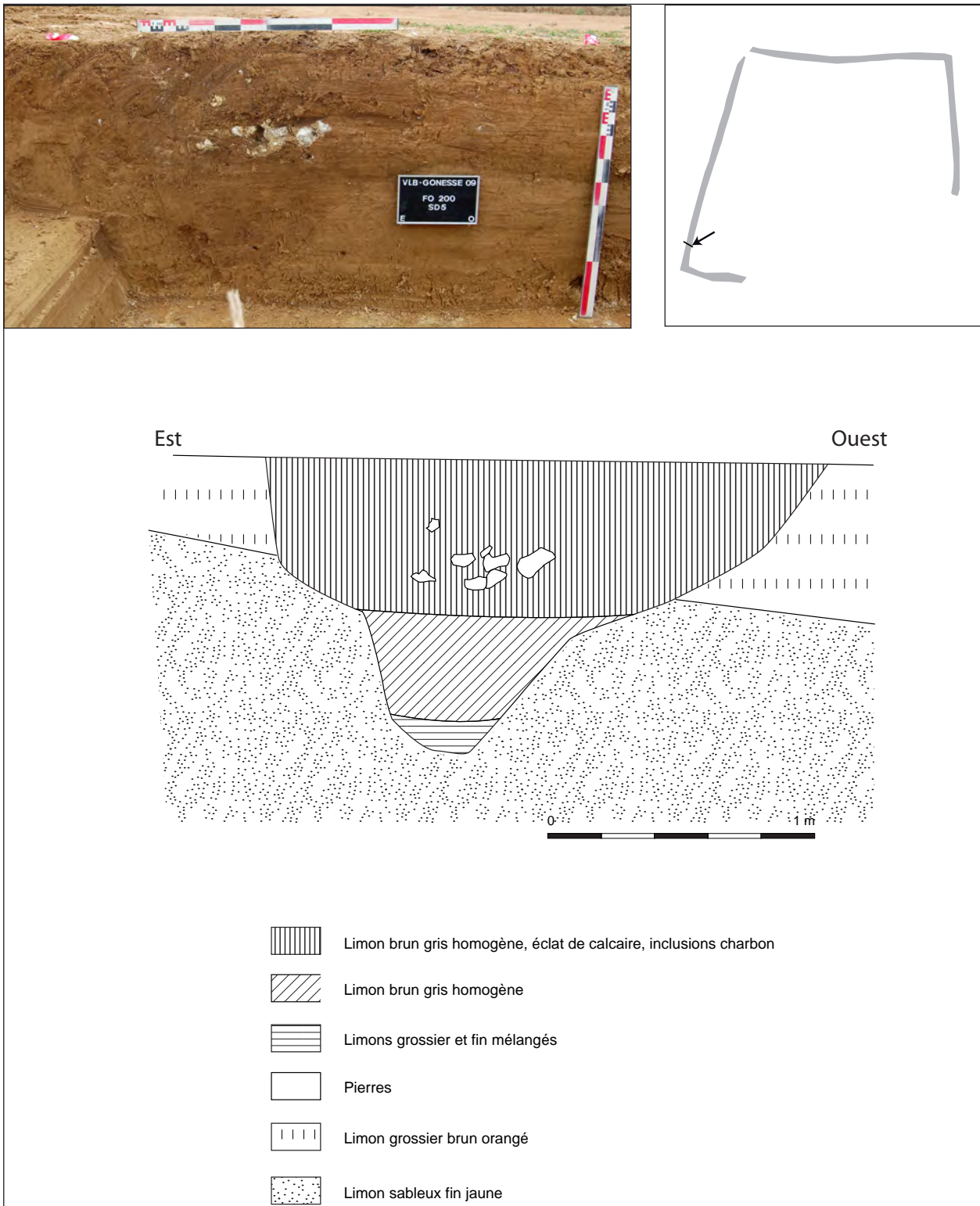


Fig. 38: Fossé 200, sondage 5, coupe.

du fossé, sans organisation apparente (fig. 39). La couche inférieure, épaisse de 50 cm, se caractérise par un limon brun-gris. Elle recouvre une couche où se mélangent des limons de granulométrie différente dont la teinte varie du brun au jaune.

VII.4.1.d – Sondage 13

Le sondage 13 a été pratiqué sur la partie septentrionale du côté ouest de l'enclos. Large de 2,30 m pour une profondeur de 1,24 m, le fossé présente un profil en U, les parois étant légèrement infléchies (fig. 40). Vers la base, la largeur se rétrécit considérablement.

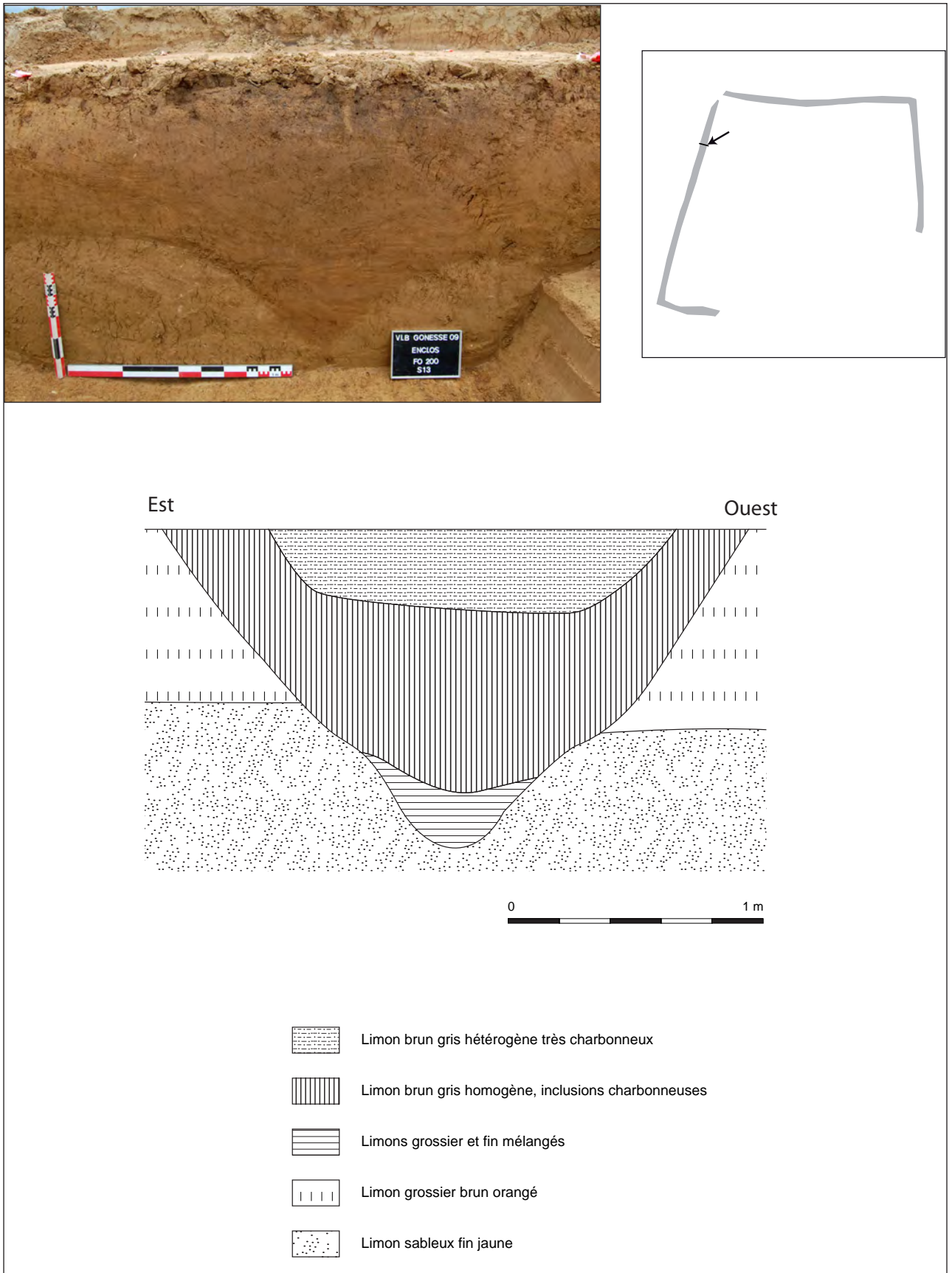


Fig. 40: Fossé 200, sondage 13, coupe.

La couche supérieure, épaisse de 30 cm, est limoneuse brun-gris. Elle est très charbonneuse et recèle des ossements brûlés. La couche intermédiaire de 70 cm d'épaisseur est limoneuse, brun-gris, avec quelques inclusions de charbon. Les vestiges y sont rares.

Enfin, le fond est recouvert d'un mélange de limons de granulométrie différente et de teinte plus ou moins claire sur les 24 cm restants.

VII.4.1.e – Sondage 22

Le sondage 22 est localisé au nord. À cet endroit, le fossé mesure 2,05 m de large pour une profondeur de 1,18 m (fig. 41). En coupe, le profil du fossé est en U et présente un évasement des parois vers le sommet. À la base, la largeur du fossé se réduit fortement sur les vingt derniers centimètres.

La couche supérieure, épaisse de 70 cm, a été reconnue sur la presque totalité de la largeur du fossé. Elle se caractérise par un remplissage argilo-limoneux organique noir au sein duquel la densité de vestiges est très élevée.

La couche intermédiaire, d'épaisseur inégale, est asymétrique. Elle se caractérise par un sédiment limoneux brun à inclusions charbonneuses dont l'épaisseur oscille entre 5 et 30 cm.

Enfin, la couche inférieure de 20 cm d'épaisseur par 30 cm de large est formée par un mélange de limons de granulométrie différente plus ou moins clair.

Les éléments céramiques retrouvés dans le remplissage renvoient pour l'essentiel à La Tène C2. Toutefois les niveaux supérieurs abritent des formes typiques du début de La Tène D1 (fin ^{re} siècle av. J.-C.).

VII.4.1.f – Sondage 24

Le sondage 24, également pratiqué au nord, a été réalisé mécaniquement et manuellement. En coupe, le fossé a un profil en U évasé vers le sommet, et mesure 2 m de large pour 1,10 m de profondeur (fig. 42).

Quatre couches successives composent le remplissage. Au sommet, la partie centrale du fossé est occupée par une couche en forme de cuvette dont la largeur est de 1,40 m pour 0,60 m

d'épaisseur. Cette couche noire est très dense en vestiges.

Une seconde couche, dont l'épaisseur oscille entre 10 et 70 cm, a été repérée sur les bords et passe sous la précédente. Elle correspond à un limon brun avec des charbons et recèle peu de matériel.

Une troisième couche, noire limono-charbonneuse, occupe la partie inférieure du remplissage sur 30 cm d'épaisseur. Le mobilier y abonde.

Une dernière couche, repérée au fond sur 30 cm d'épaisseur, est un mélange de limons de granulométrie variable, dont la teinte varie du brun foncé au brun jaune.

La répartition verticale de la céramique semble obéir aux mêmes règles que dans le cas du sondage 22, les formes anciennes étant plus souvent rencontrées dans les niveaux inférieurs du remplissage que les formes récentes (début Tène D1).

VII.4.1.g – Sondage 29

Lors de la fouille manuelle de l'angle nord-est, il a été difficile d'identifier les bords du fossé dans ce secteur. Par conséquent les coupes restituées dans cette zone sont moins fiables. La coupe pratiquée au niveau du sondage 29, jouxtant l'angle nord-est, sert donc ici pour décrire le profil du fossé (fig. 43).

Le fossé, à profil en U évasé vers le sommet, mesure 2,20 m de large pour 1,34 m de profondeur. Deux couches forment le remplissage. La couche supérieure, limoneuse brune grise homogène à inclusions de charbon contient peu de mobilier (céramique, faune, torchis) et mesure 1,10 m d'épaisseur. La couche inférieure, de 22 cm d'épaisseur, est un mélange de limons de granulométrie différente dont la teinte varie du brun foncé au brun clair.

VII.4.1.h – Sondage 34

Le sondage 34 a été pratiqué sur le côté ouest de l'enclos, entièrement à la pelle mécanique. Dans ce secteur, le fossé présente un profil en U évasé vers le sommet, et se resserre vers la base, mesurant 2,20 m de large à l'ouverture pour une profondeur de 1,12 m (fig. 44). La couche

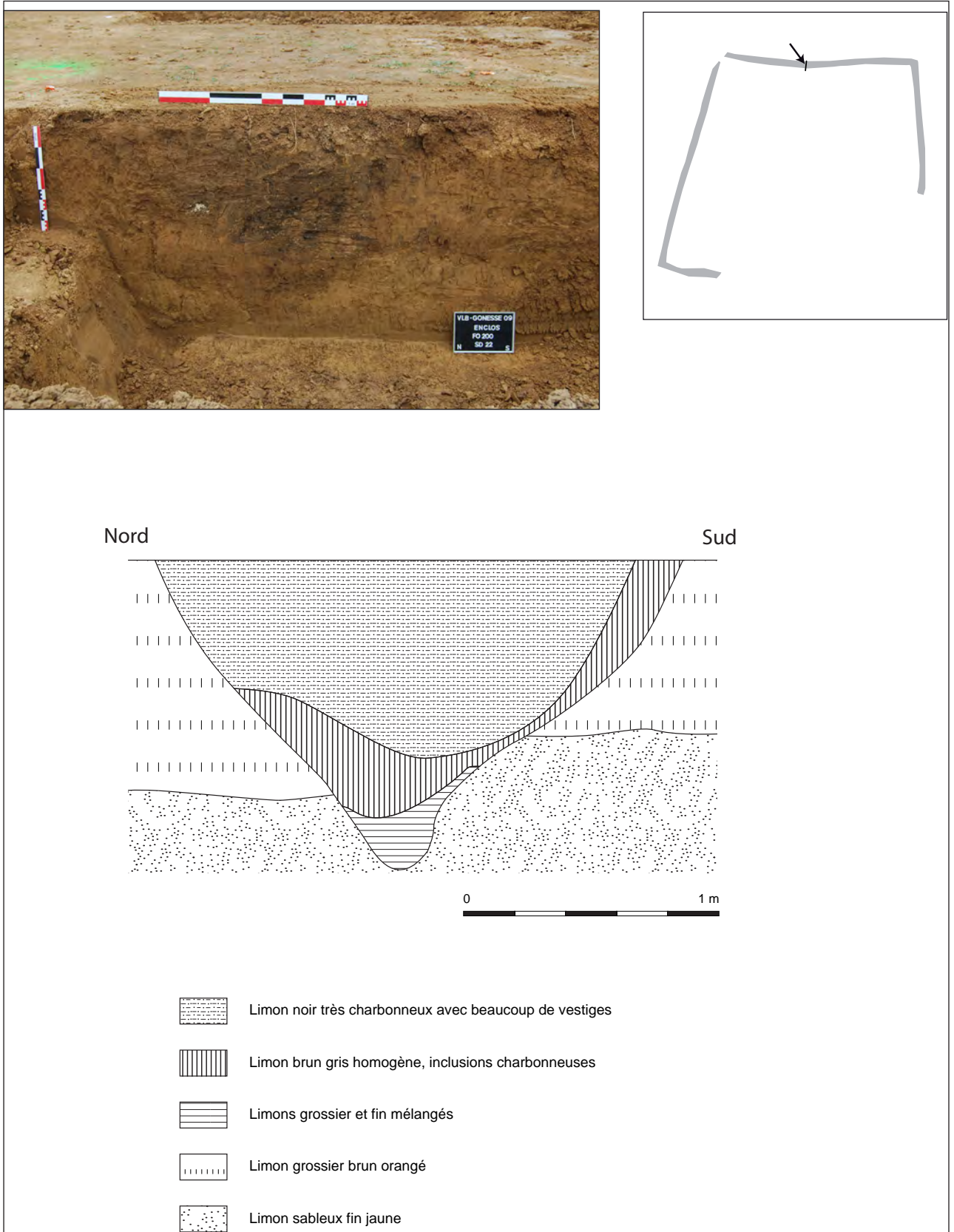


Fig. 41 : Fossé 200, sondage 22, coupe.

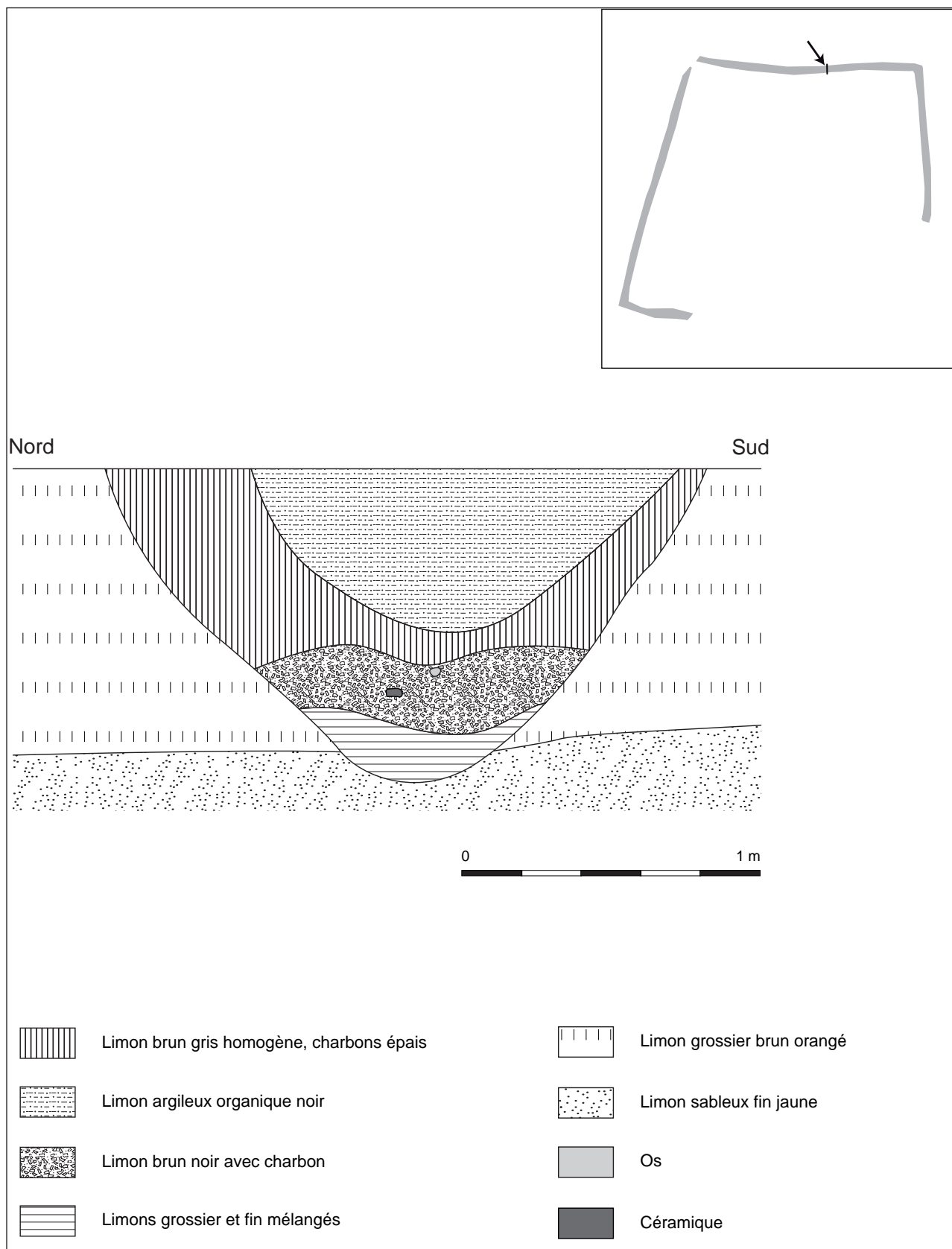


Fig. 42: Fossé 200, sondage 24, coupe.

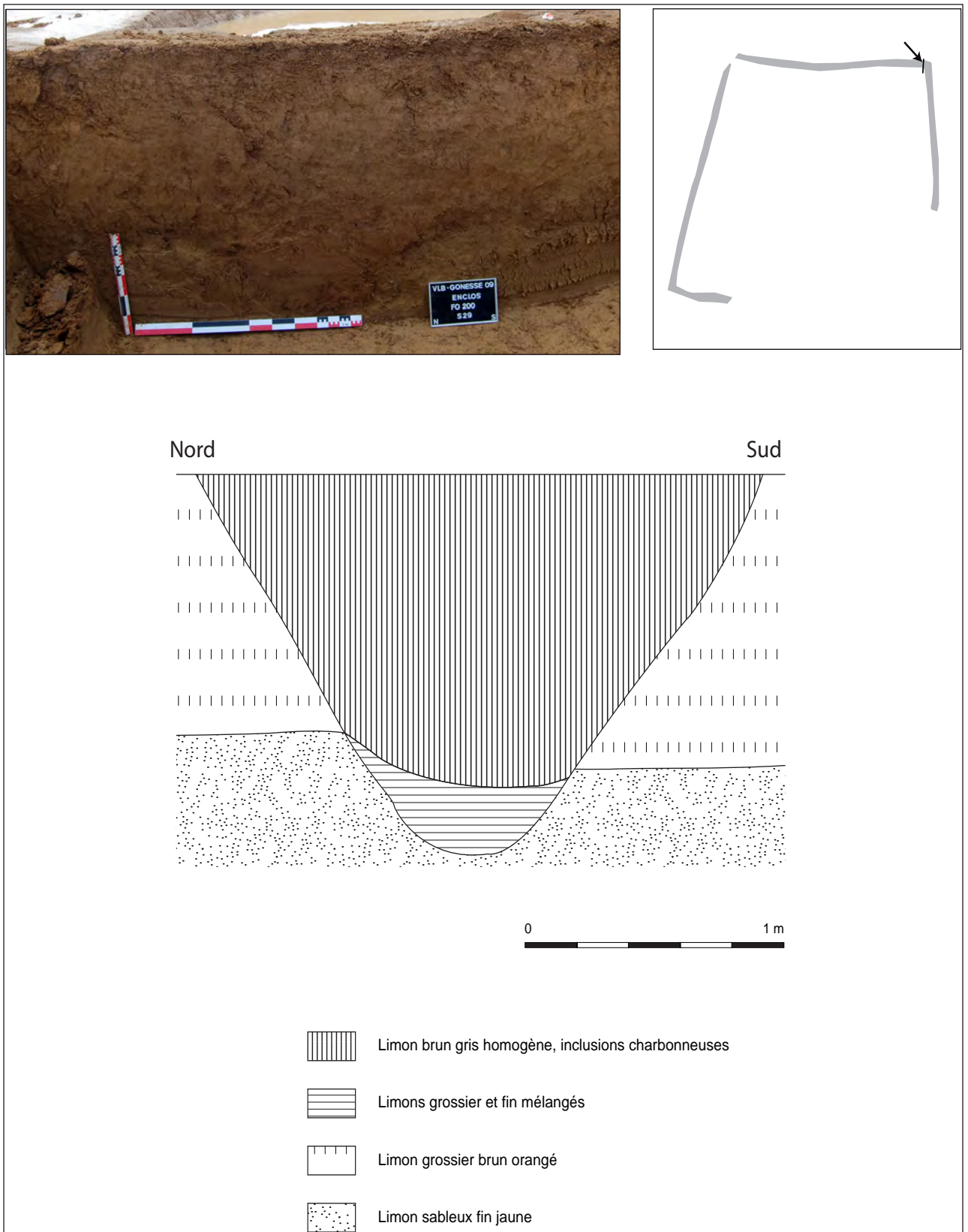


Fig. 43: Fossé 200, sondage 29, coupe.

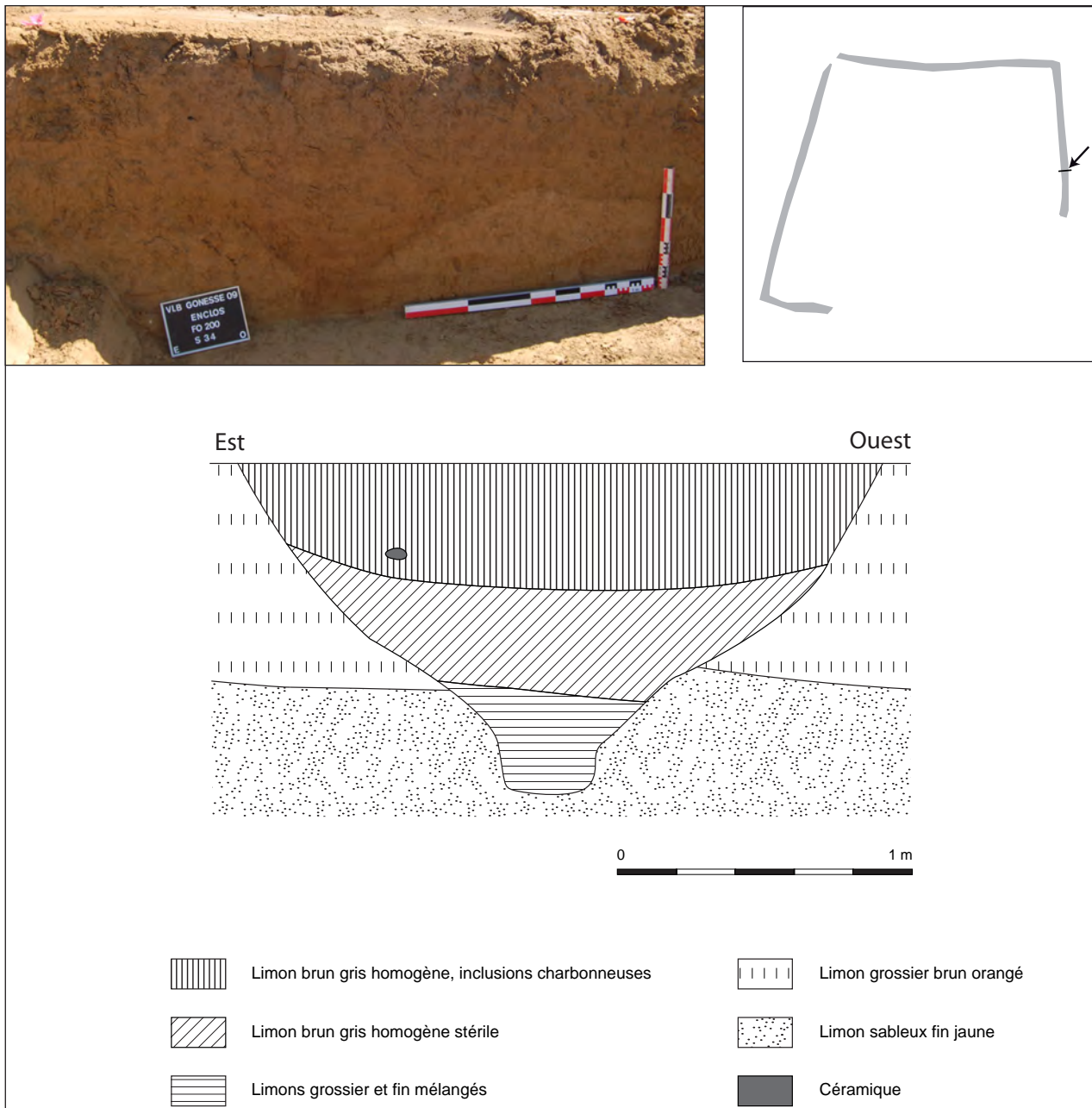


Fig. 44 : Fossé 20, sondage 34, coupe.

supérieure de 40 cm d’épaisseur est limoneuse brun-gris. Elle contient quelques nodules de charbon et des céramiques éparses. Sous celle-ci, une couche de même épaisseur est limoneuse brun-gris et stérile. Enfin, la couche qui recouvre le fond du fossé est un mélange de limons de granulométrie différente dont la teinte varie du brun foncé au brun clair.

VII.4.2 – Les vestiges matériels associés au fossé d’enclos

Les vestiges matériels issus du fossé 200 de l’enclos sont variés. Au total, 12 022 restes ont

été recensés, toutes catégories confondues, pour un poids total de 167 kg. Du point de vue spatial, trois concentrations de vestiges se distinguent horizontalement au sud-ouest, à l’ouest et au nord (fig. 45). Sur le plan vertical, deux couches principales, notamment identifiées sur le côté nord renferment l’essentiel du mobilier. Elles sont en général séparées l’une de l’autre par un horizon stérile plus ou moins épais.

VII.4.2.a – La céramique

4 988 vestiges céramiques, d’un poids total de 50 kg renvoyant à 465 individus, ont été recensés pour l’ensemble du fossé (cf. annexe 2). Leur état

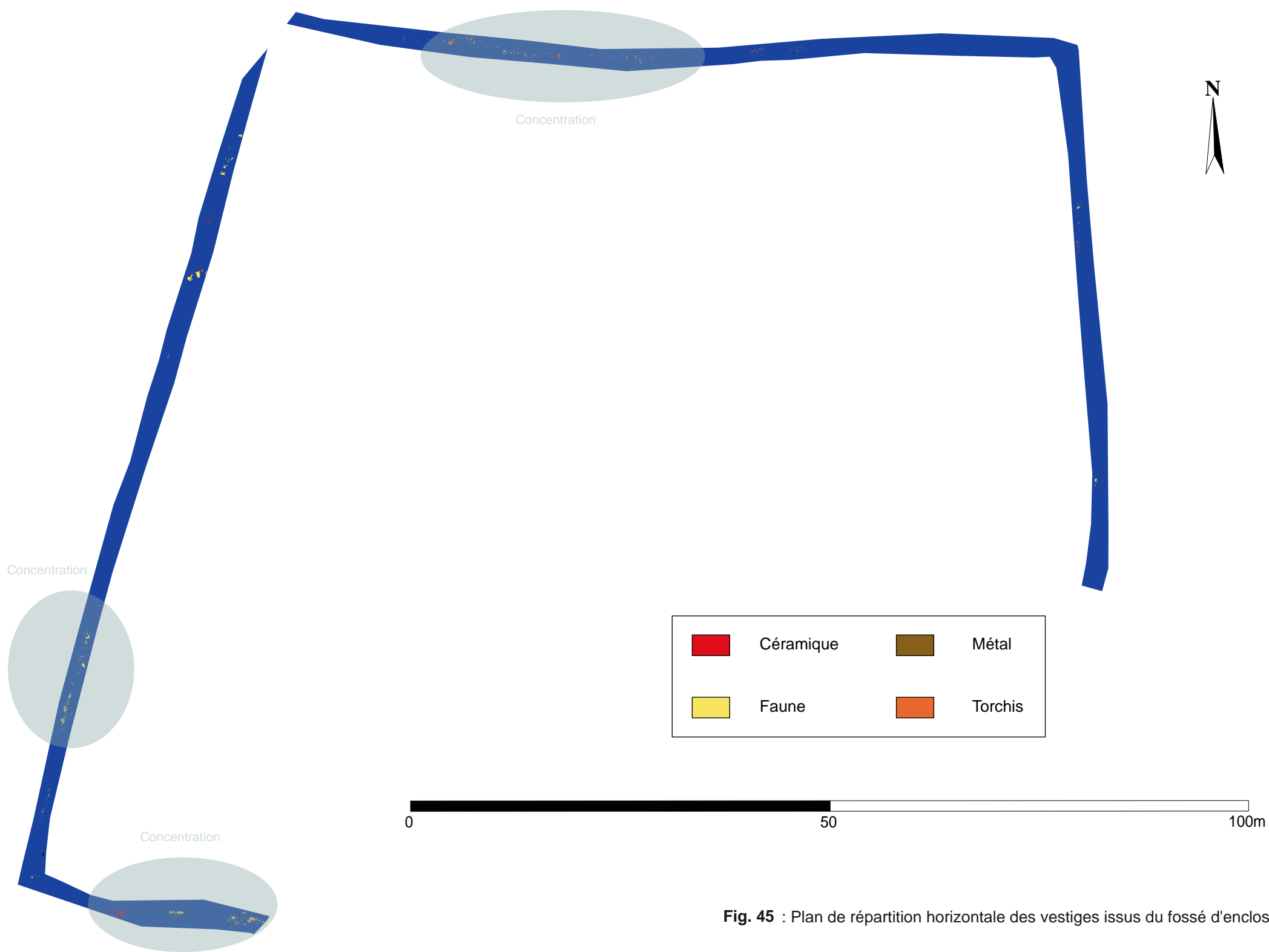


Fig. 45 : Plan de répartition horizontale des vestiges issus du fossé d'enclos.

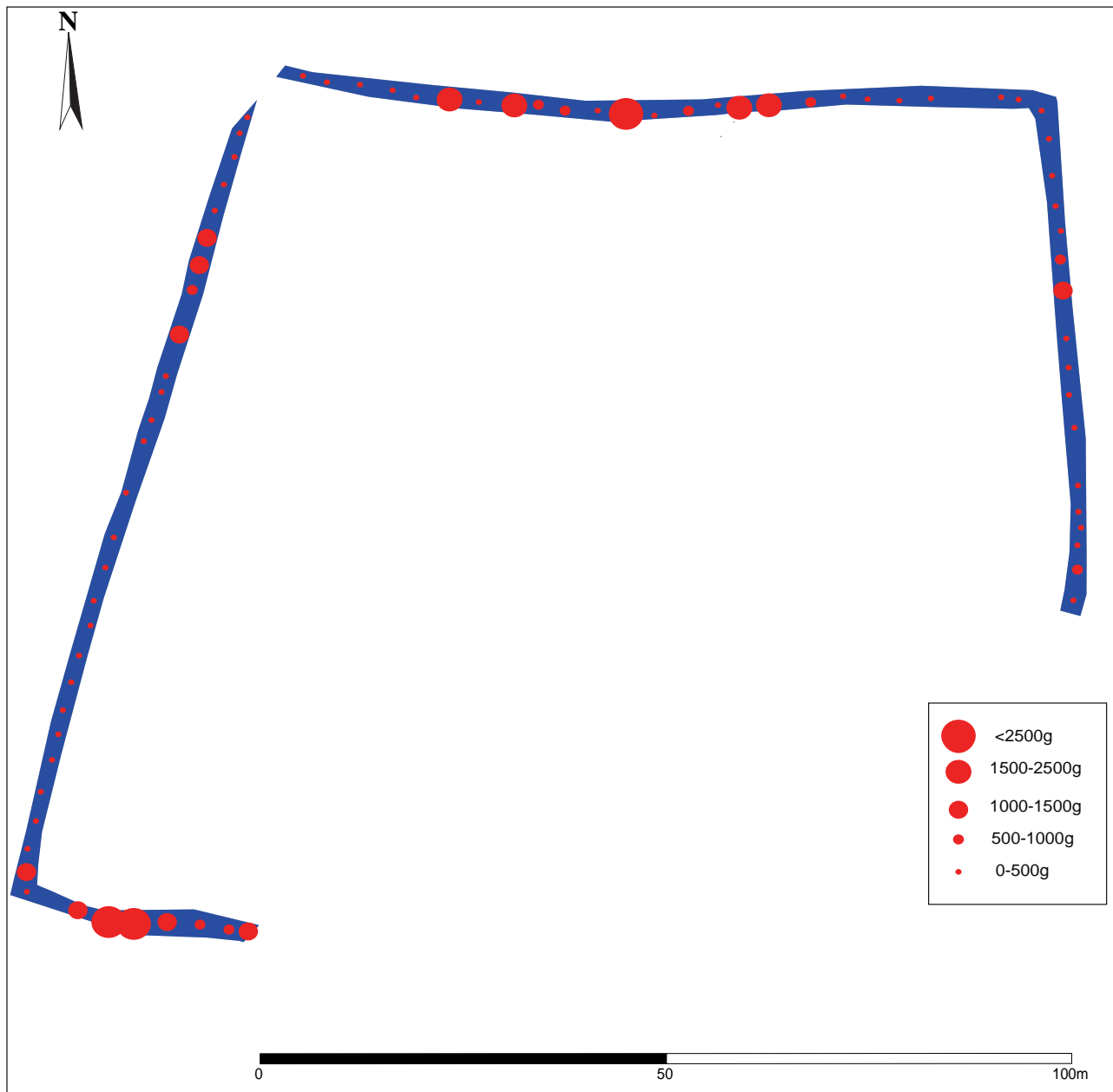


Fig. 46: Densité de céramique exprimée en poids.

de conservation est variable selon les secteurs. Outre une fragmentation poussée, les tessons sont parfois très friables avec des surfaces érodées, en particulier au niveau des sondages 3 et B. Dans d'autres secteurs, au niveau du sondage U par exemple, la céramique présente un meilleur état de surface. Ces différences sont sans doute la conséquence d'une plus grande profondeur d'enfouissement dans le cas du sondage U que dans celui du sondage 3.

Globalement, il ressort des disparités à l'issue de l'étude de la répartition horizontale des vestiges céramiques (fig. 46). Trois grandes concentrations apparaissent au sud-ouest, au nord-ouest et au nord. Une quatrième zone de densité, moins

dre, a également été repérée vers l'est.

Sur le plan vertical des tessons ont été retrouvés à différentes profondeurs. Toutefois la plupart des vestiges provient des 80 premiers centimètres du remplissage depuis la surface. Certains sondages, à l'instar du sondage 3, n'ont pas livré de tessons au-delà de 1,20 m de profondeur. On remarque par ailleurs que la céramique est préférentiellement apparue vers le sommet et à mi-hauteur des remplissages, comme dans le cas du sondage 24.

De façon générale, les tessons sont mélangés aux autres vestiges dans un contexte de rejet. C'est le cas d'une zone de la bordure nord située entre les sondages U et Ybis (fig. 47).

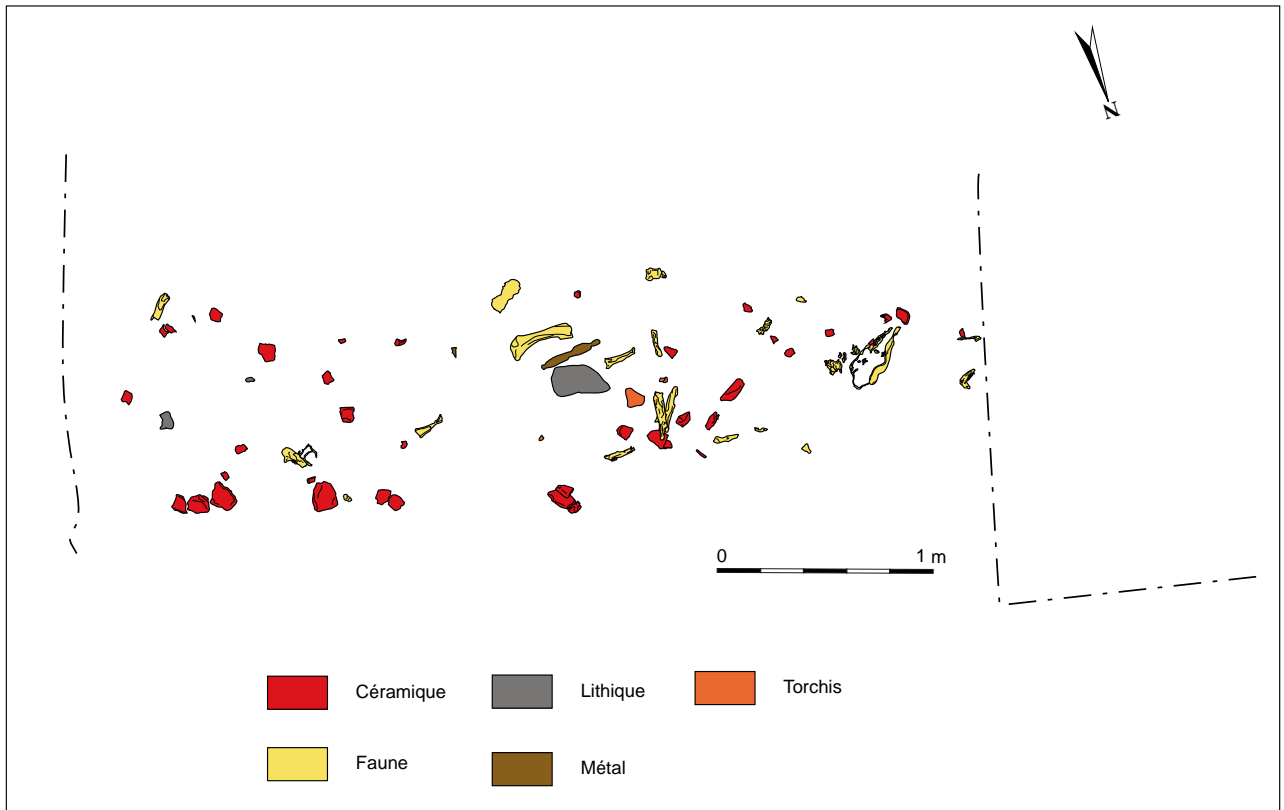


Fig. 47 : Sondage X entre 40 et 80 cm de profondeur (couche 1), concentration de tessons.

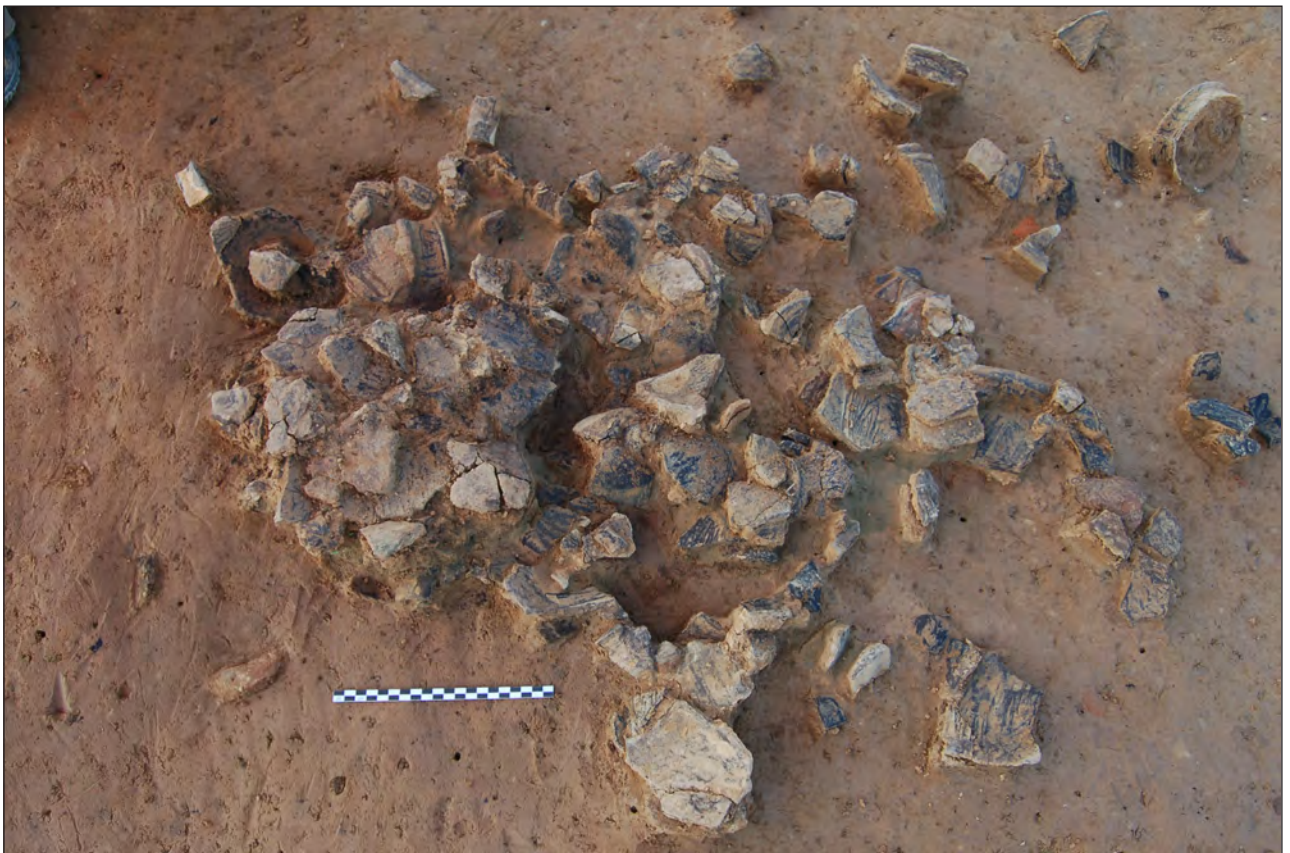


Fig. 48 : Sondages 3 et B, entre 0 et 40 cm de profondeur (couche 1), épandage de tessons (Cliché: C. Roy).

À deux endroits, les situations rencontrées s'écartent de ce schéma général. Sur le côté sud, au niveau des sondages 3 et B, un épandage de tessons recouvre les premiers centimètres du remplissage sur près de 3 m de long (fig. 48). Les restes céramiques sont pris dans la partie supérieure d'une couche limoneuse brun à brun-gris qui caractérise la majeure partie du remplissage. Cet amas a par ailleurs livré deux potins. Nous rejoignons ici l'hypothèse formulée dans le cadre de l'étude céramique : cet assemblage pourrait constituer le relief d'un repas communautaire (cf. annexe 2).

L'autre zone, localisée à l'ouest au niveau du sondage O, présente rigoureusement les mêmes caractéristiques que l'ensemble précédent. Un épandage céramique occupe la partie supérieure du fossé entre 0 et 20 cm et sur près de 3 m de longueur. Le sédiment qui accueille ces vestiges est limoneux brun. Un potin a également été retrouvé dans ce niveau. Cependant, ce secteur n'a pu être abordé aussi rigoureusement qu'au sud-ouest faute de temps et nous restons prudent quand à l'interprétation d'une telle concentration.

Du point de vue chronologique, des tessons renvoient à des formes de différentes périodes (fin de La Tène C1, La Tène C2 et début de La Tène D1) de telle sorte que l'ensemble du II^e siècle avant notre ère se trouve couvert. Les formes sont mélangées les unes aux autres, et ce malgré une très large majorité de tessons rattachés à La Tène C2.

L'étude approfondie de la céramique met en lumière une logique dans la répartition verticale de ces vestiges (cf. annexe 2). La tendance observée est la suivante : les formes anciennes (fin de La Tène C1 et début de La Tène C2) se retrouvent fréquemment à une plus grande profondeur que les plus récentes (La Tène C2 et début de La Tène D1).

D'un point de vue fonctionnel, 103 formes céramiques ont été différenciées (cf. annexe 2). Les assemblages repérés varient peu selon les secteurs de l'enclos. Ainsi, la zone de rejet de la bordure nord abrite 14 vases de consommation, 12 vases de préparation, 2 vases de préparation/présentation, 2 vases de préparation/consommation et 6 vases de stockage. La bordure sud-ouest

du fossé, au niveau du sondage 3B, recèle 14 vases de consommation, 5 vases de préparation, 2 vases de préparation/présentation et 2 vases de stockage. Enfin, la zone ouest, autour du sondage, a livré 1 vase de consommation, 2 vases de préparation/présentation, 1 vase de préparation et 1 vase de stockage. Ces assemblages sont connus et fréquents à cette époque.

VII.4.2.b – Les ossements animaux

6 088 ossements animaux d'un poids total de 81,2 kg ont été recensés pour l'ensemble de l'enclos (cf. annexe 3). D'un secteur à l'autre, l'état de conservation de la matière osseuse est très variable. Globalement, les ossements retrouvés dans les premiers horizons du remplissage sont assez fragmentés et les surfaces osseuses sont endommagées, tandis que les os retrouvés à mi-hauteur, voire au fond du fossé, sont peu fragmentés avec des surfaces souvent peu affectées par l'érosion.

Au niveau spatial, si l'on excepte deux concentrations très particulières sur lesquelles nous reviendrons plus loin (S38-1-A-2-B, F-6-G), les ossements sont présents régulièrement tant sur le plan horizontal que sur le plan vertical. Sur la bordure nord, par exemple, entre les sondages U et X, les vestiges osseux sont mélangés aux autres vestiges dans une couche dense en charbons (fig. 49).

Dans plusieurs segments de fossé, des crânes isolés ont été mis au jour (fig. 50). Leur répartition est irrégulière. Ces restes apparaissent presque systématiquement seuls dans un horizon du remplissage, à l'écart des autres vestiges et à différentes profondeurs. Ainsi, le sondage H pratiqué sur le côté ouest de l'enclos a livré un crâne de cheval surmontant un crâne de bœuf et des mandibules (fig. 51). Des analyses poussées pourraient être menées afin d'observer le type d'espèce représenté par ces pièces osseuses selon la profondeur d'enfouissement, les résultats obtenus pouvant avoir une portée chronologique dans le contexte présent.

Deux zones de concentration ont également attiré l'attention lors de la fouille. La première, repérée au niveau des sondages 38, 1, A, 2 et B

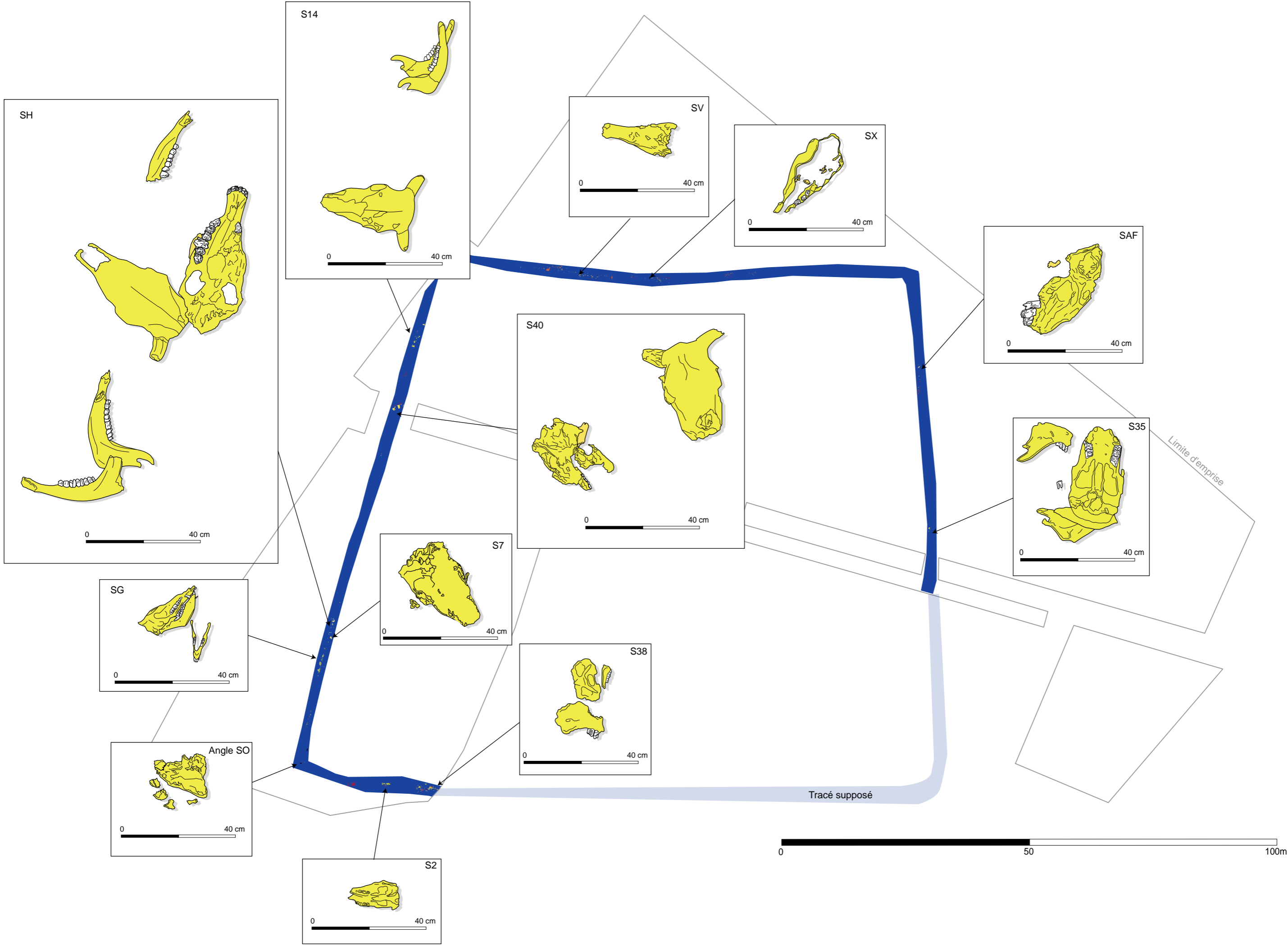


Fig. 50: Plan de répartition des crânes isolés de boeuf ou de cheval.

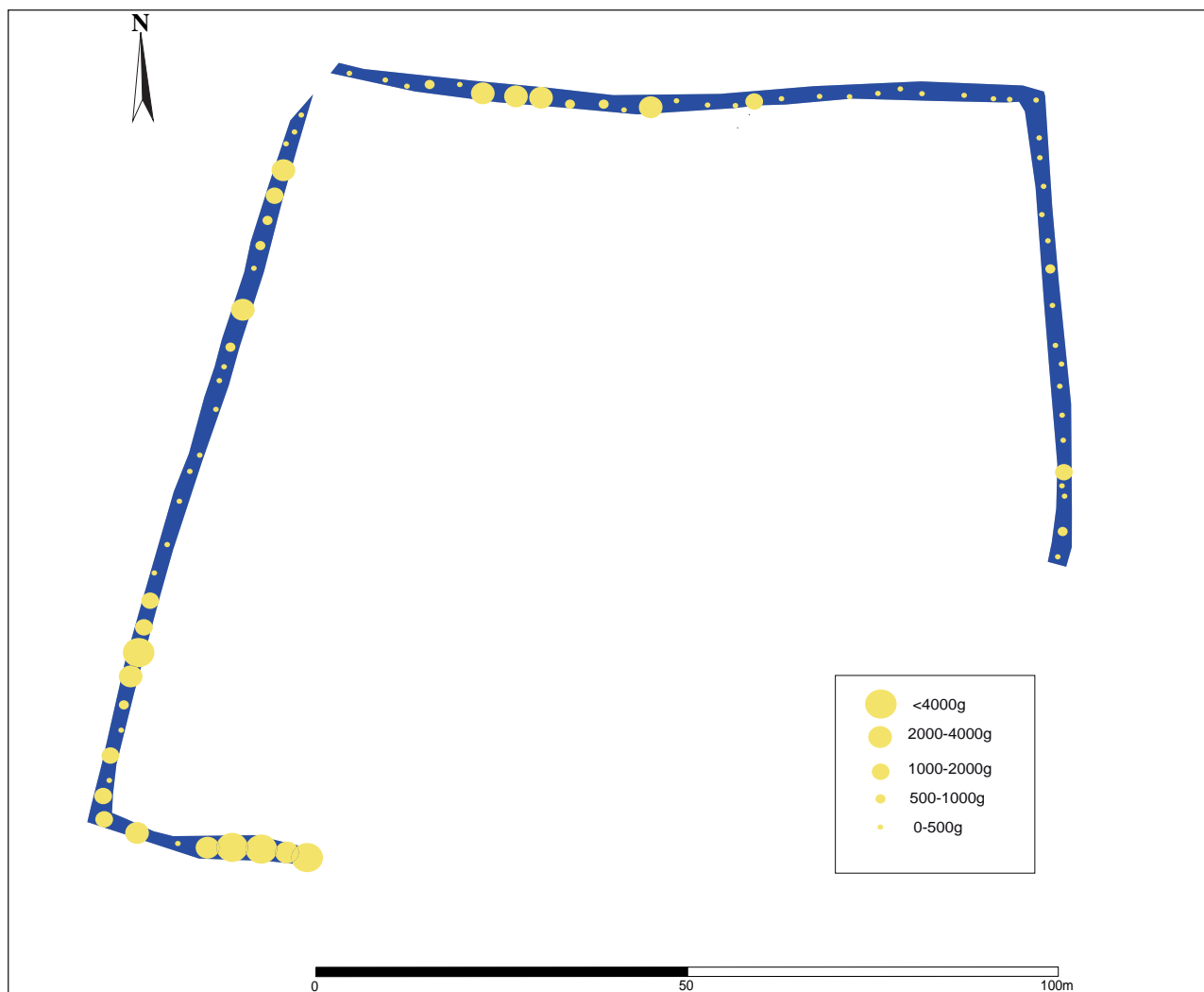


Fig. 49: Densité d'ossements animaux exprimée en poids.



Fig. 51: Sondage H, vue oblique des crânes de bœuf et de cheval (Cliché : C. Laporte-Cassagne).

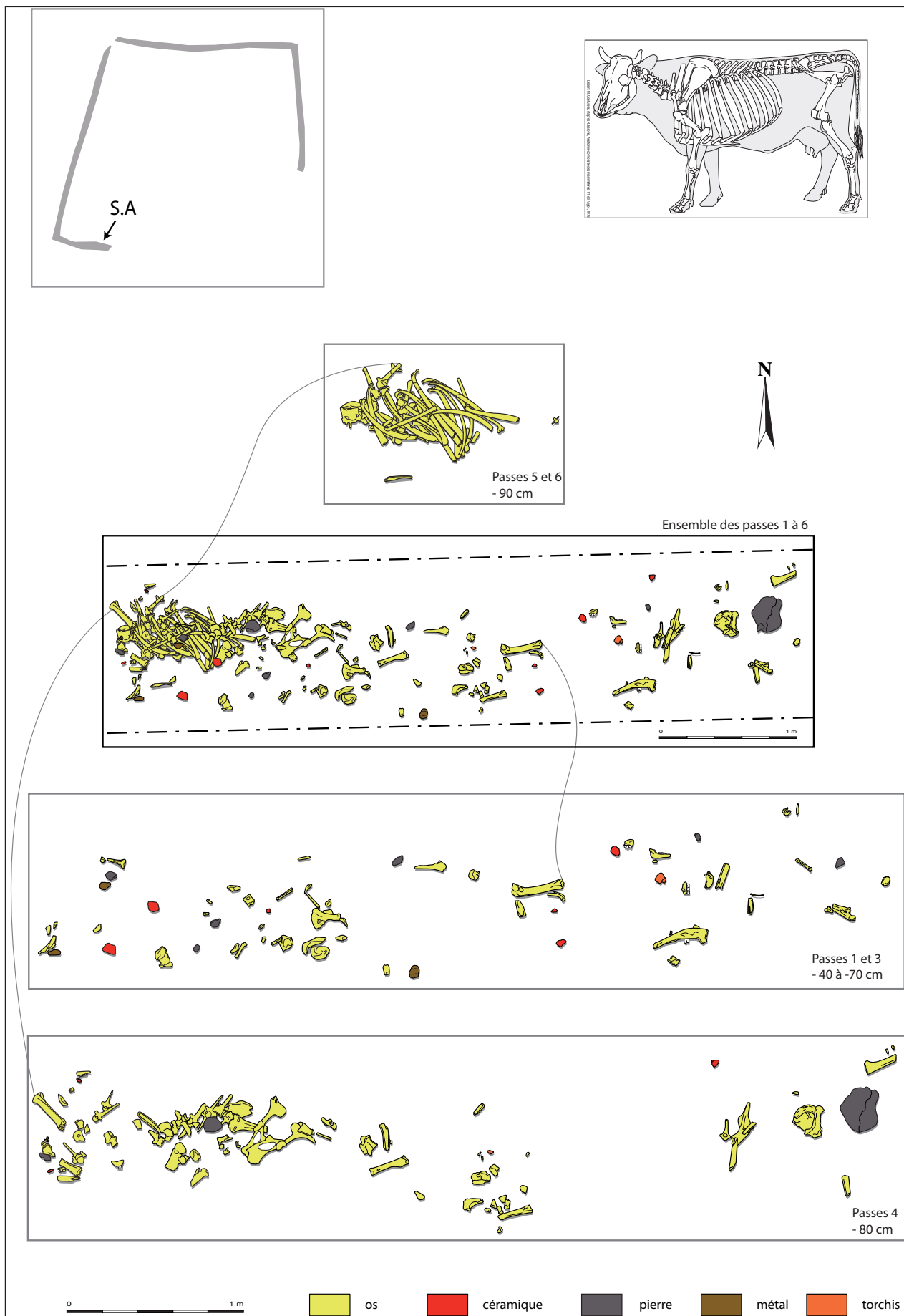


Fig. 52: Sondage A, amas osseux de bovins.

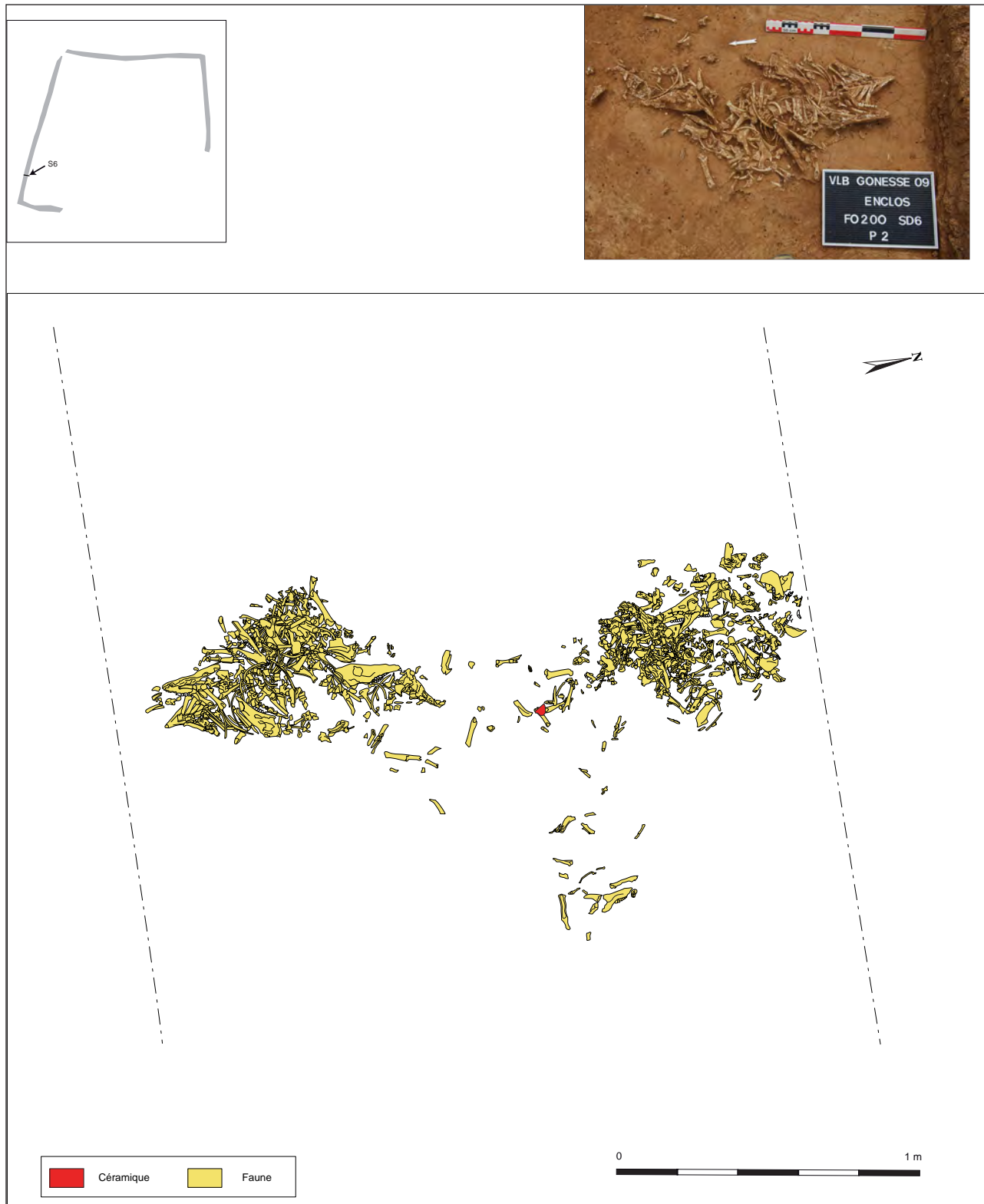


Fig. 53: Sondage 6, ossements disloqués de douze porcelets (DAO et cliché : A. Battistini).

sur le côté sud, correspond à un amas osseux constitué d’ensembles anatomiques de bovins, de porcs, de caprinés, de cheval, de chien, de sanglier et de passereau (cf. annexe 3, fig. 52). Le bœuf représente 80 % de cet assemblage, avec au moins quatre squelettes quasi-complets

correspondant à des bêtes de réforme. La seconde concentration, localisée sur la bordure ouest entre les sondages F et G, réunit les restes disloqués d’au moins douze porcelets (fig. 53). Cet assemblage a sans doute été constitué en une seule fois (cf. annexe 3).

La présence de ces concentrations de vestiges suggère différentes interprétations. Sur la bordure nord de l'enclos, il semble bien qu'elles correspondent à des rejets de consommation liés à une habitation proche. L'étude approfondie des comportements alimentaires fait apparaître la place réduite des caprinés au sein de l'alimentation carnée (cf. annexe 3).

L'analyse des restes osseux, hors concentration, fait par ailleurs clairement ressortir une exploitation productrice de viande ou de produits laitiers, et dans une moindre mesure de laine.

Les deux concentrations observées au sud et à l'ouest trahissent des dynamiques de rejet qui échappent au simple cadre de la consommation quotidienne. Bien que très différents par leur composition (l'un plutôt caractérisé par une viande de qualité, l'autre par des ossements appartenant à des animaux de réforme), les deux amas suggèrent la pratique de repas collectifs sur le site (cf. annexe 3).

À l'issue de l'examen des ossements, les différentes profondeurs d'enfouissement et la variété des assemblages en présence conduisent à émettre l'hypothèse d'épisodes de signification variée (rejets domestiques, repas collectifs) sans doute survenus à différentes périodes au cours de La Tène moyenne et au tout début de La Tène finale.

VII.4.2.c – Les ossements humains

Trois ossements humains, exclusivement des fragments crâniens, sont issus du fossé 200 de l'enclos (cf. annexe 4). Fortement dispersés sur le plan horizontal (deux os dans le fossé à l'ouest, un au nord), les restes humains sont moins éparpillés verticalement. Ils apparaissent en moyenne à 1 m de profondeur. Ils proviennent de couches abritant d'autres vestiges (ossements animaux, torchis, céramique, métal) qui ont pu être rattachés à l'extrême fin de La Tène C2, et au tout début de La Tène D1.

Malgré le faible effectif, il se dégage une forte homogénéité de l'ensemble. Ainsi, les ossements retrouvés appartiennent à trois adultes et pourraient avoir été l'objet d'une sélection préalable en un autre lieu que le fossé (cf. annexe 4).

Par contre, nous manquons d'indices pour déterminer si la mise en place de ces vestiges dans le fossé a été, ou non, l'objet d'une attention spécifique. La présence de ce genre de vestiges dans des contextes du même type est connue sur d'autres sites franciliens (Roissy, Nanterre, Bobigny etc.).

VII.4.2.d – Le torchis

611 restes de torchis, d'un poids total de 35 kg, ont été extraits du fossé d'enclos. Dans l'ensemble, les blocs sont très fragmentés.

Sans être forcément abondants, les éléments de torchis apparaissent à toutes les profondeurs. En plan, les blocs retrouvés ne sont pas très nombreux en dehors d'une concentration repérée sur le côté nord du fossé 200 suggérant la proximité d'unités domestiques (fig. 54). Entre les sondages U et W, ils se répartissent sur 40 cm d'épaisseur entre 60 cm et 1 m de profondeur. Tous ont été retrouvés dans une couche très charbonneuse (fig. 55).

Les fragments retrouvés dans l'enclos lors de la fouille ont été regroupés sous la même dénomination de «torchis». Des analyses approfondies indiquent qu'ils sont essentiellement constitués d'un mélange de terre parfois calcaire ou cendreuses à l'état plastique et auquel sont ajoutés des dégraissants végétaux, des fibres animales et végétales, ainsi que des graviers (cf. annexe 10). Les phytolithes sont rares mais présents. Ils peuvent provenir de bois ou d'écorces issus des clayonnages ou fuseaux.

Par ailleurs, leur analyse approfondie permet d'émettre l'hypothèse d'un fossé rarement nettoyé, au sein duquel des reprises de végétation sont possibles. Enfin, il semble que l'enclos ait pu être environné de champs.

VII.4.2.e – Le métal

Tous les éléments métalliques découverts sont pris en compte dans cette partie (objets en fer ou en alliage, monnaies, scories). 235 restes d'un poids total de 3 kg constituent un corpus relativement modeste. Le métal, fortement corrodé, a presque totalement disparu dans plusieurs cas.

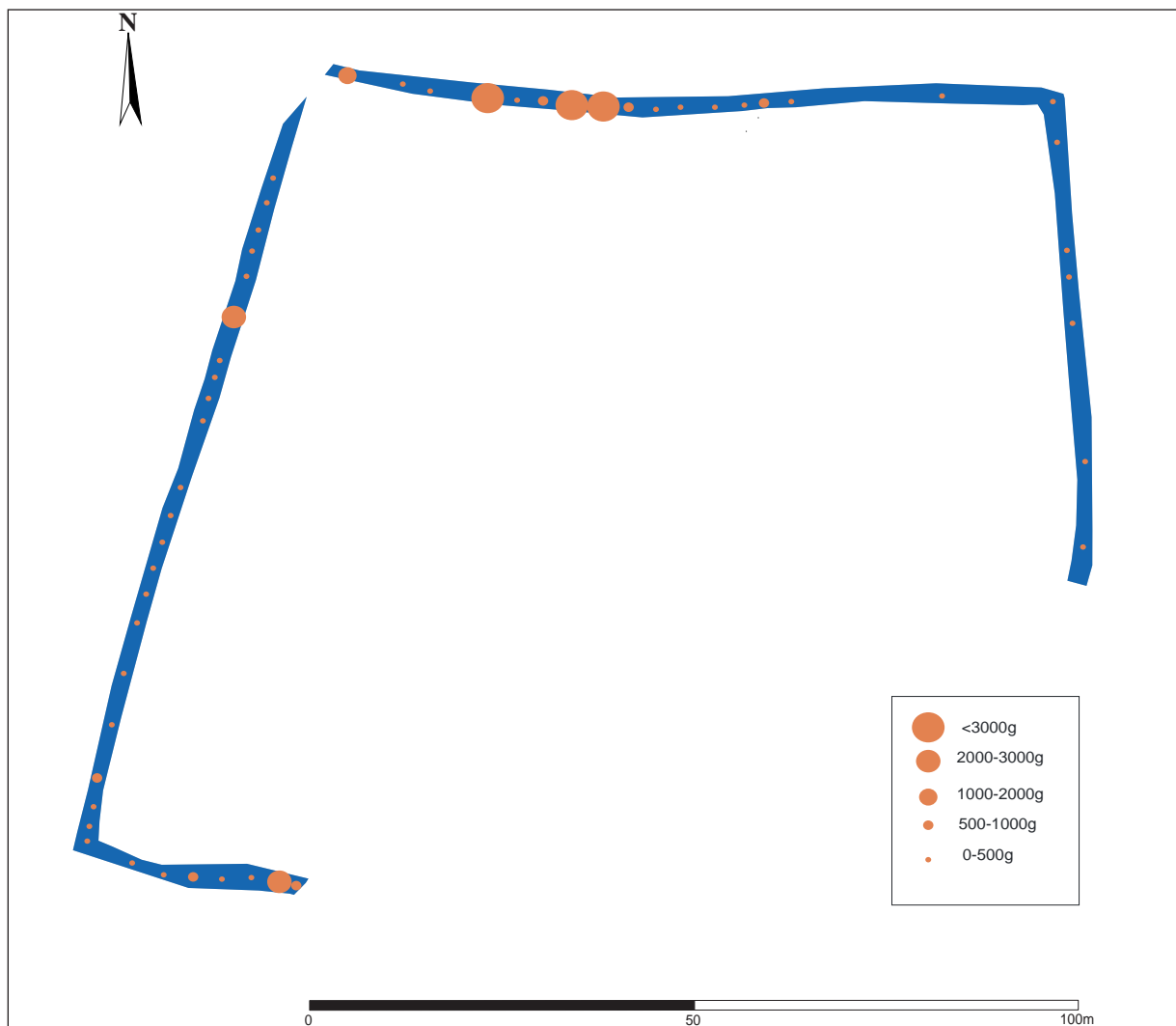


Fig. 54: Répartition du torchis exprimée en poids.

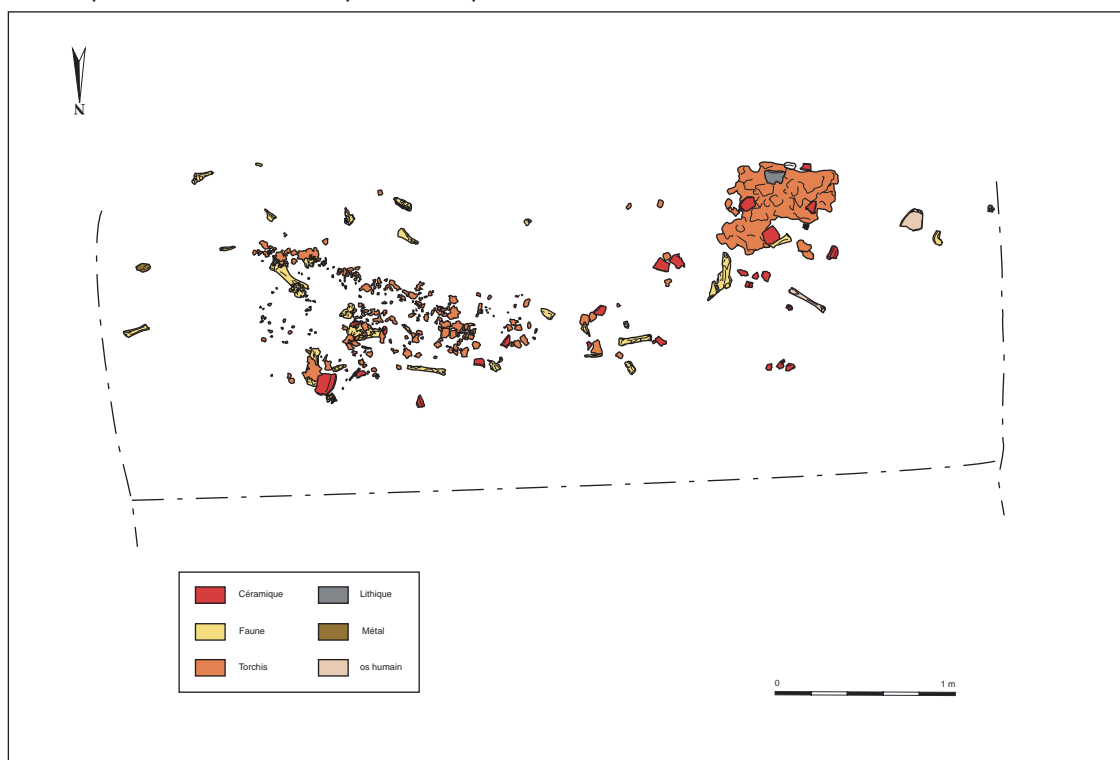


Fig. 55: Sondage U entre 80 cm et 1 m de profondeur, concentration de torchis.

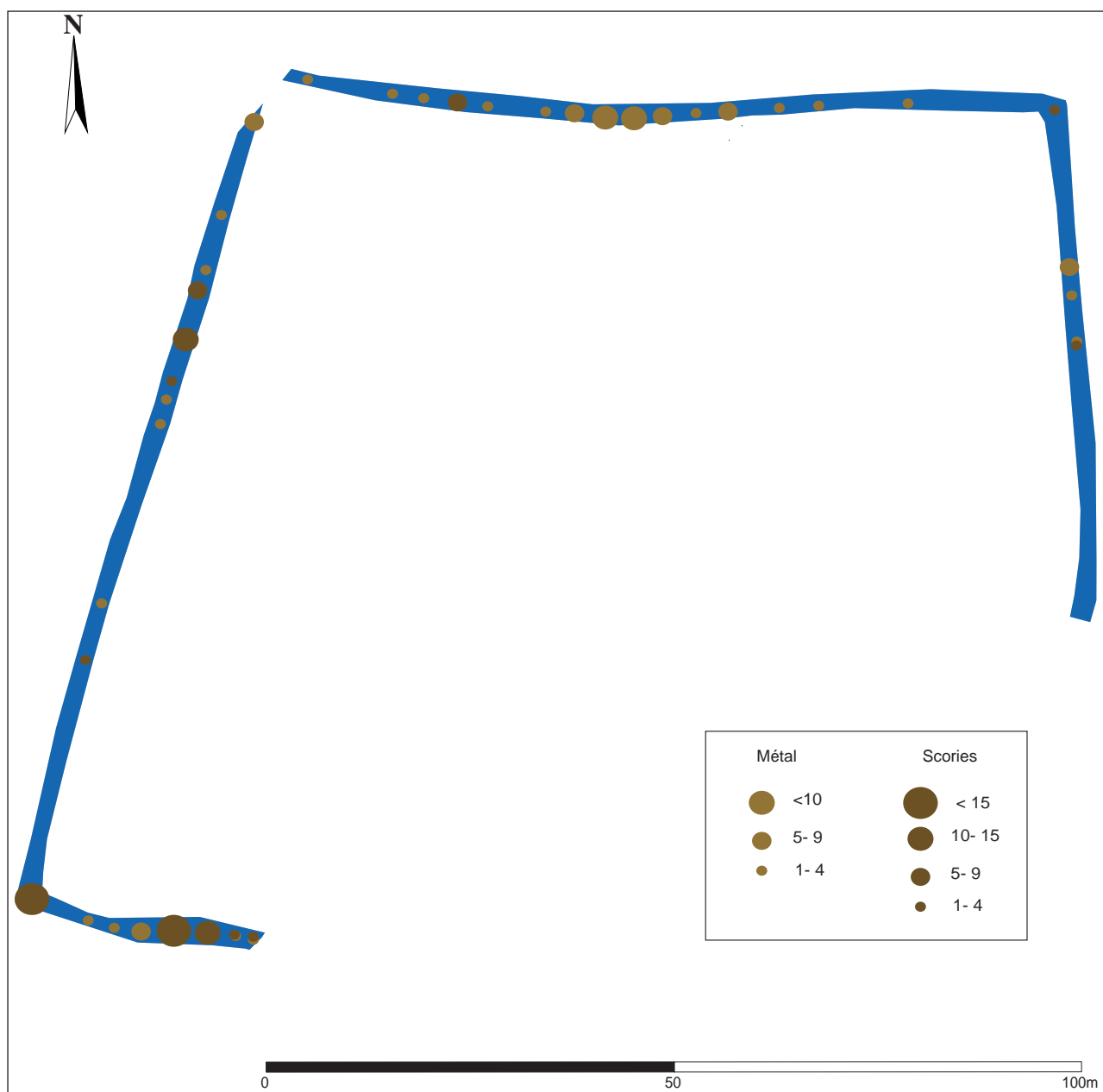


Fig. 56 : Densité de métal et de scories exprimée en nombre de restes.

Dans le fossé, les vestiges métalliques sont fréquents horizontalement (fig. 56). Dans certaines zones, les quantités recueillies peuvent être plus importantes, comme sur la bordure nord de l'enclos entre les sondages W et 24, ou au sud entre les sondages C et 38. Dans l'ensemble, les éléments métalliques sont mélangés à d'autres vestiges, plutôt en contexte détritique (cf. annexe 9). Un petit lot d'outillage (hache, serpette etc.) évoque des activités agricoles.

Par ailleurs, des concentrations de scories observées en deux points du fossé (angle sud-ouest et bordure ouest) pourraient trahir la proximité d'aires spécialisées dévolues au travail du métal (cf. annexe 6). Cette hypothèse est

corroborée par la présence de quelques vestiges métalliques susceptibles de renvoyer à l'artisanat de la métallurgie (cf. annexe 9).

Huit potins ont été retrouvés dans le fossé (Fo 200) et dans un silo (F 504). Plusieurs d'entre eux sont du type LT 9 180, qui circule couramment au II^e siècle av. J.-C. dans cette région de la Gaule³⁰. Parmi ces monnaies, quelques unes sont systématiquement associées à des épandages de céramique. Ce type d'assemblage semble peu fréquent sur les autres sites d'Ile-de-France (cf. annexe 8). Il reste difficile à interpréter d'un point de vue fonctionnel (simple rejet, dépôt ?).

³⁰ Bulard, Drouhot 2002, p. 11.

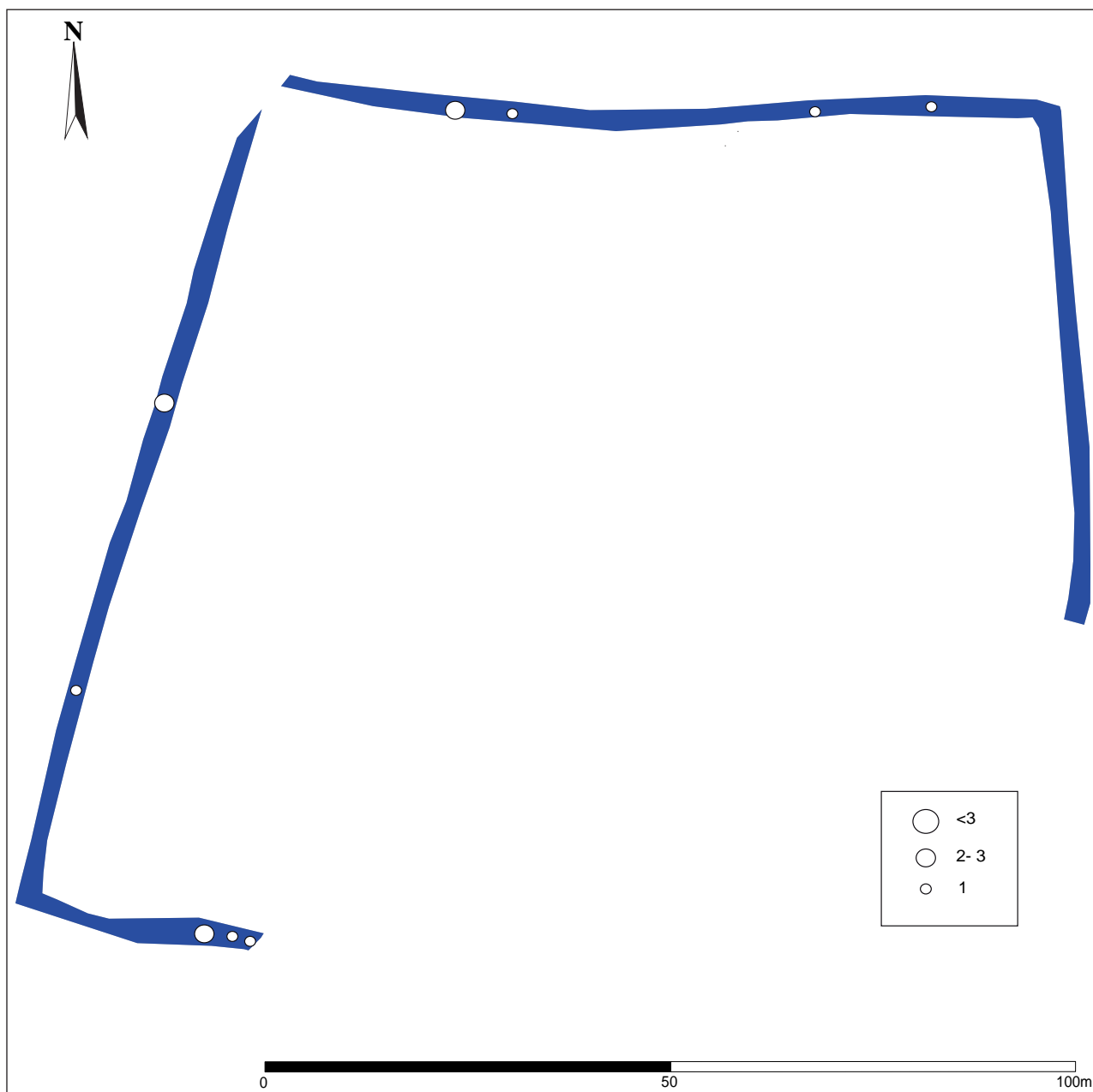


Fig. 57: Densité de meules exprimée en nombre de restes.

VII.4.2.f – Le matériel de mouture

Le matériel de mouture est représenté par 11 occurrences. L'état de conservation est bon malgré une fragmentation assez poussée.

Les vestiges de cette série sont relativement dispersés, des fragments de meule ayant été retrouvés sur trois des quatre côtés de l'enclos (fig. 57). Mais cette dispersion recouvre des disparités. Ainsi, deux zones de concentration apparaissent. La plus au sud se trouve entre les sondages A et 38, et la plus au nord se situe entre les sondages U et V.

Cette série est globalement dominée par des

catilus dont la majorité correspond à des blocs de meulière (cf. annexe 5).

VII.4.3 – Synthèse et comparaisons

VII.4.3.a – Caractéristiques de l'enclos

En l'état actuel de nos connaissances, l'enclos gaulois découvert à Villiers-le-Bel est de forme simple, trapézoïdale, et couvre une superficie estimée à 9 600 m². Il est continu, aucune ouverture ménageant un passage n'ayant été repérée dans l'emprise explorée.

Les multiples coupes transversales réalisées offrent une vision globale de la conservation du fossé. Sa largeur et sa profondeur sont plus grandes au sud qu'au nord, ce qui trahit une érosion différentielle du site. Cette interprétation est confirmée par l'état de conservation de certains vestiges qui varie considérablement selon la profondeur d'enfouissement. Ainsi, les restes animaux issus du comblement supérieur du fossé présentent un état de surface médiocre comparativement à ceux du remplissage inférieur.

Le fossé a trois caractéristiques majeures. Son profil en «U» présente un fort rétrécissement vers la base, qui pourrait résulter de la présence d'une palissade en matière périssable.

Le comblement du fossé se caractérise le plus souvent par trois séquences principales, la seconde recelant les vestiges les plus abondants. Plus rarement, un empierrément a été repéré au centre du fossé, en particulier au sud-ouest (entre les sondages E et F). La fonction de cet aménagement demeure énigmatique, ce d'autant qu'il n'a pas été repéré de façon continue. Peut-être était-il destiné à drainer une partie de l'enclos souvent mise en eau en cas d'inondation. À Verberie «La Plaine d'Herneuse», il semble que les micro-stratifications observées aient pu avoir un lien avec la gestion de l'eau³¹.

Cet enclos a connu une occupation centrée sur le I^{er} siècle av. J.-C. (fin de la Tène C1 à début de La Tène D1). Son plan trapézoïdal se démarque de celui d'enclos valdoisiens plus tardifs comme ceux d'Herblay «ZAC Olympium»³² et de Cergy «ZAC des Linandes»³³ dont l'histoire architecturale est plus complexe.

À l'inverse, il partage un certain nombre de caractéristiques avec l'enclos proche, bien que légèrement plus ancien, de Fontenay-en-Parisis «La Lampe»³⁴ (Val-d'Oise). Sur ce site, une portion d'enclos présente en effet une profondeur et un comblement comparables. Par ailleurs, les auteurs constatent une absence de structures en creux dans la zone interne.

Un autre enclos également proche, à Villiers-le-Sec «La Place de la Ville», daté de La Tène

moyenne, est de forme rectangulaire (fig. 58). D'une superficie de 0,7 ha, il est de la taille comparable ou presque à celui de Villiers-le-Bel. Le profil du fossé est en V avec une largeur de 1,80 m à 2,50 m pour une profondeur comprise entre 0,8 m et 1,20 m³⁵. La zone interne de cet enclos n'a guère livré plus de structure qu'à Fontenay-en-Parisis et Villiers-le-Bel.

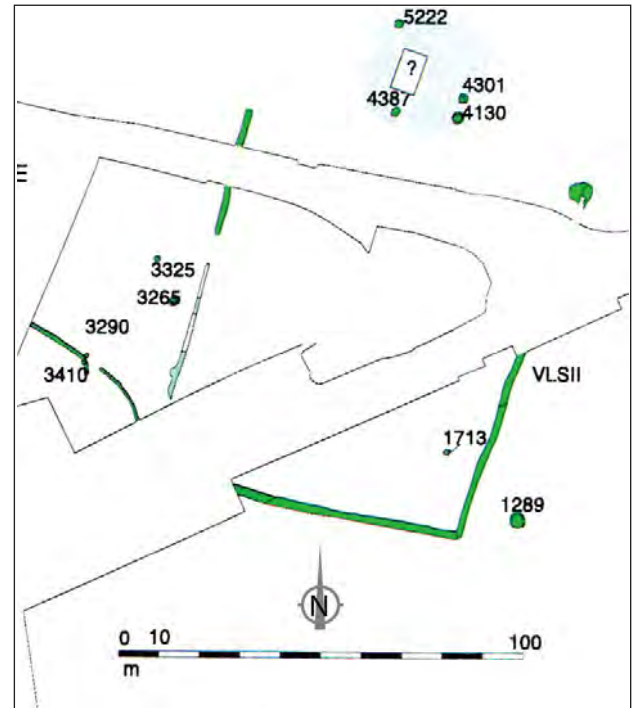


Fig. 58 : Plan de l'enclos de Villiers-le-Sec «La Place de la Ville» (d'après Gentili dir. 2000).

En Seine-et-Marne, à Souppes-sur-Loing, un enclos trapézoïdal de La Tène D1 délimitant une superficie de plus de 5 000 m² a été mis au jour au début des années 2000³⁶. La profondeur du fossé (1,50 m) et la largeur (3,50 m à 4 m) rappellent celles de l'enclos de Villiers-le-Bel.

Ces comparaisons semblent indiquer que les enclos de La Tène moyenne (C1-C2) présentent un plan relativement simple, comparativement à des sites fossoyés plus récents (Tène finale) dont le plan tend à se complexifier (plusieurs enclos imbriqués).

VII.4.3.b – Fonctionnement de l'enclos

L'analyse croisée de la stratigraphie et du mobilier issu du remplissage du fossé d'enclos

31 Malrain *et al.* 2002, p. 152.

32 Valais 1994.

33 Pariat dir. 2009.

34 Daveau, Yvenc 2001.

35 Gentili dir. 2000.

36 Séguier 2002.

offre l'image d'un site à l'histoire complexe. Trois grands cas de figure ont été rencontrés.

Dans la partie sud-ouest de l'enclos ainsi qu'à l'est, on observe une succession de couches riches en vestiges, séparées par des couches presque stériles. Au sud-ouest, les vestiges retrouvés évoquent plusieurs événements renvoyant à différentes phases d'occupation entre la fin de La Tène C1 et le début de La Tène D1. Outre une dynamique de comblement compatible avec une gestion détritique du fossé, un amas de restes animaux localisé près du fond du fossé évoque la pratique d'un repas collectif. Toujours dans le même secteur mais cette fois au sommet du comblement un type d'association plus énigmatique trouve peu de parallèles. Il s'agit d'un amas de céramique, au sein duquel ont été retrouvés plusieurs potins au niveau du sondage 3/B. Ces monnaies sont toujours du type LT 9180, et l'une d'entre elles correspond à un raté de frappe, ce qui est rarissime (cf. annexe 8). Ce genre d'assemblage a peut-être un lien avec la pratique de repas collectifs sur le site. La présence de cet amas de céramique pourrait trahir la volonté de détruire des récipients et des accessoires utilisés lors de ce type de rassemblement, afin de les rendre impropres à une utilisation ultérieure.³⁷

Dans la partie nord de l'enclos le comblement est tout aussi complexe, en particulier entre les sondages U et Z où l'on distingue exceptionnellement jusqu'à six couches, les témoins d'occupation du début de La Tène D1 paraissant un peu plus nombreux qu'ailleurs dans le fossé. Toutefois les formes céramiques attribuables à La Tène C2 restent majoritaires (cf. annexe 2). Les vestiges découverts, qu'il s'agisse de céramique, d'os animal ou bien encore de métal s'apparentent exclusivement à des rejets importants pouvant trahir la proximité d'unités d'habitation, qui n'auraient pas laissé de traces soit parce que leurs fondations étaient trop sommaires, soit parce qu'elles ont été détruites.

D'autres enclos contemporains, géographiquement proches de celui de Villiers-le-Bel, ont livré des vestiges qui renvoient à la sphère domestique. Au Mesnil-Aubry «Le Bois Bouchard», un

enclos simple trapézoïdal a fourni, outre des concentrations de torchis, de nombreux tessons de céramique ainsi que des vestiges métalliques renvoyant à la vie quotidienne³⁸. À Gonesse «ZAC des Tulipes Nord», un enclos fouillé durant l'hiver 2008 a également livré des vestiges de nature domestique³⁹.

Enfin, dans la partie ouest, on observe à plusieurs reprises un comblement unique compatible avec un curage total ou presque du fossé (S6 à S11) sans doute vers la fin de La Tène C2 ou au début de La Tène D1. C'est lors de cette phase que le fossé, en lieu et place du sondage 6, accueille un dépôt particulier constitué des restes d'au moins douze porcelets. Ces ossements illustrent une dynamique de rejet qui sort du simple cadre de la consommation quotidienne, et qui revêt un caractère événementiel. Ils pourraient être la conséquence d'un repas pris collectivement.

Ce type de configuration a déjà été rencontré sur d'autres sites. À Fontenay-en-Parisis «La Lampe» (Val-d'Oise), des dépôts animaux conséquents dominés par le bœuf ont conduit à émettre l'hypothèse de la pratique de repas abondants mais occasionnels⁴⁰.

À Chevrières «La Plaine du Marais» (Oise), ou bien encore à Verberie «Les Gâts» (Oise), des amas de bovins renvoient à ce même genre de pratique⁴¹.

Pour finir il semble que l'on soit loin de cette image d'Épinal selon laquelle tous les secteurs de l'enclos sont occupés simultanément. Bien au contraire il n'est pas du tout impossible que plusieurs zones fassent l'objet d'une occupation ponctuelle et de fait assez intensive.

En l'état actuel des connaissances, nous proposons une occupation «ancienne» de l'enclos plutôt dans la partie sud avec des unités domestiques aux abords du fossé à la fin de La Tène C1, puis à La Tène C2. Dès cette phase, la pratique de repas collectif est attestée parallèlement à une utilisation détritique du fossé.

Plus tard, vers la fin de La Tène C2 et au début de La Tène D1, la partie nord de l'enclos semble

38 Lefevre 2008, p. 28.

39 Granchon dir. à paraître.

40 Daveau, Yvinec 2001

41 Méniel 2001.

37 Poux 2002, p. 359.

investie; des curages ponctuels notamment à l'ouest révélant que le fossé était largement comblé à cet endroit. Principalement utilisé à des fins domestiques (rejets, abandon etc.) le fossé a accueilli ponctuellement des vestiges renvoyant à d'autres types d'évènements tels la pratique de la consommation collective (S6, S3/B) ou bien encore tels des gestes plus «symboliques» (crânes d'animaux isolés, restes humains éparés etc.).

VII.5 – La fin du second âge du fer: vers un abandon définitif du site

VII.5.1 – Le début de La Tène D1

Seul le fossé d'enclos a livré quelques céramiques témoignant d'une occupation du site se prolongeant au tout début de La Tène D1 (fig. 59). Mais cette phase d'occupation n'a rien à voir avec la période d'apogée qui précède (La Tène C2). Durant cet épisode, le fossé est largement comblé et fait, à certains endroits, l'objet d'un curage comme cela a été décrit précédemment.

VII.5.2 – L'époque gallo-romaine

Dès la fin du second siècle avant notre ère, le site semble définitivement abandonné. Il faut attendre la fin du 1^{er} siècle av. J.-C. pour avoir des indices très sporadiques de fréquentation du secteur au travers notamment de fragments d'amphores italiques découverts lors du diagnostic de 2008. Ces fragments appartiennent à une seule amphore partiellement complète, qui fut retrouvée hors contexte sur une bande de 1 m de longueur, au nord-ouest de l'actuelle RD 10 (fig. 59). Peut-être constitue-t-elle l'indice d'une occupation plus tardive de ce secteur au-delà de l'emprise explorée dans le cadre des opérations de 2008 et 2009.

VII.6 – Les structures d'époque protohistorique indéterminée

Quatre structures, deux trous de poteau et deux fosses, renvoient au second âge du fer sans pouvoir être attribuées à une période précise (fig. 60). Le trou de poteau TP7 se trouve au sud-ouest. Découvert lors du diagnostic, il a été fouillé à cette occasion. Il présente un plan circulaire et

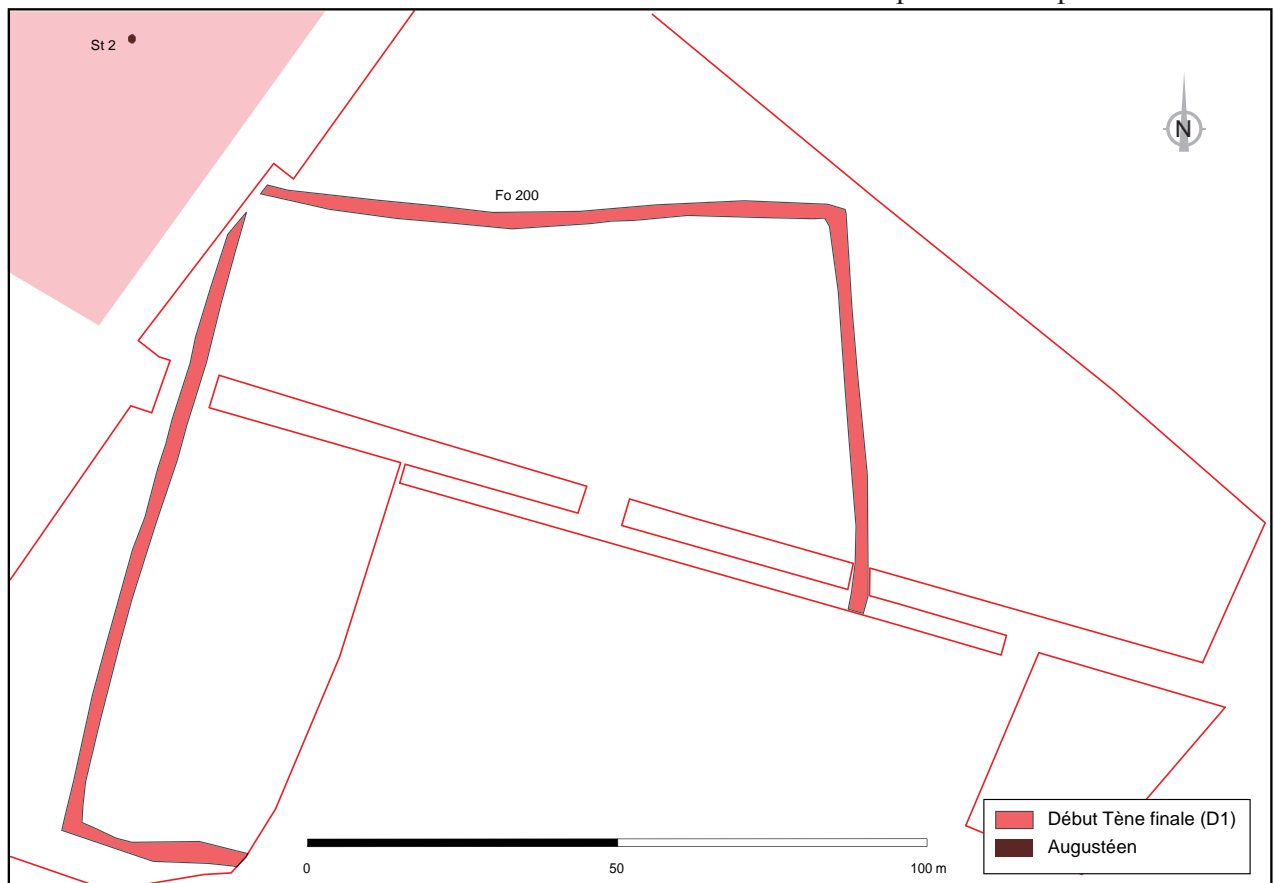


Fig. 59 : Plan de localisation des structures rattachées à La Tène finale et à l'époque gallo-romaine.

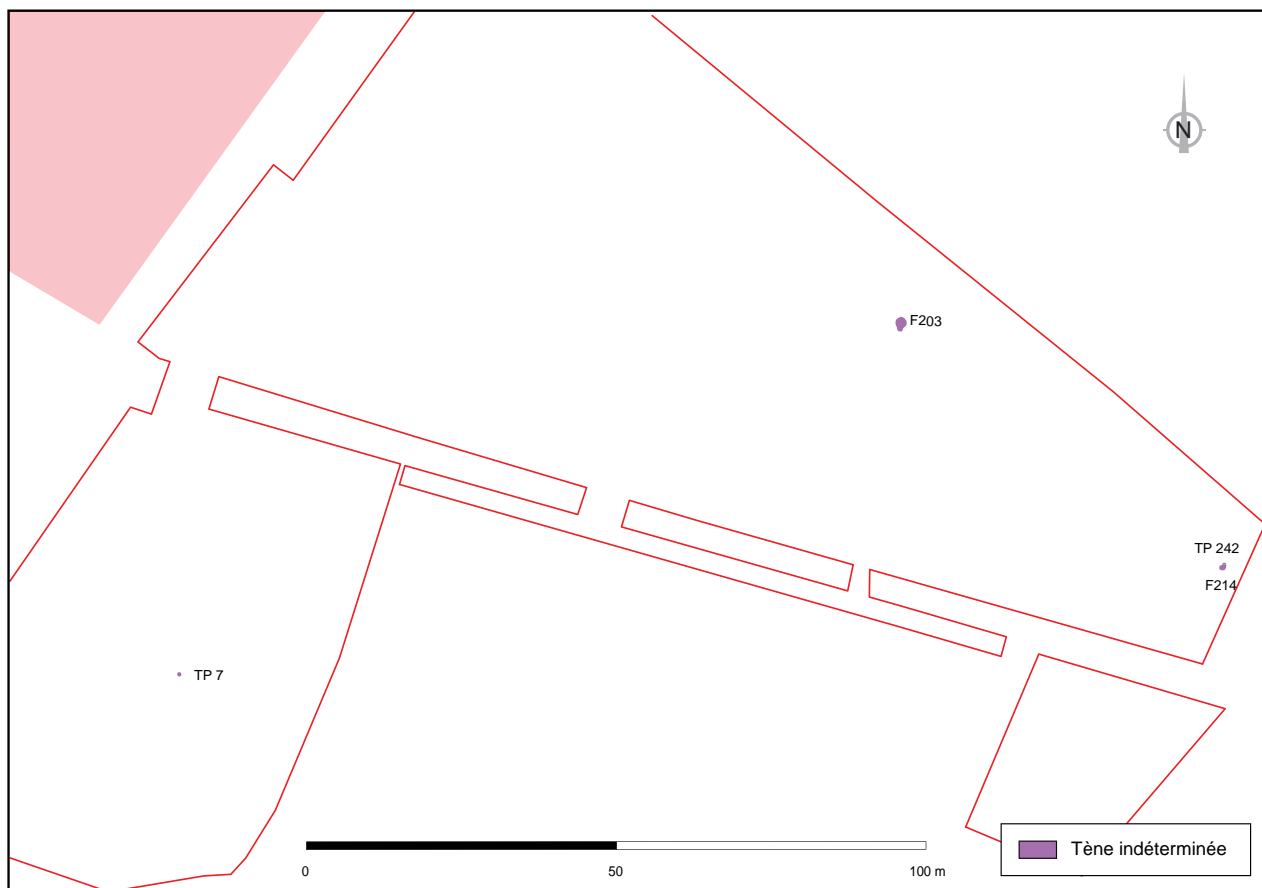


Fig. 60 : Plan de localisation des structures rattachées à la Protohistoire.

un profil en cuvette (fig. 61). Son diamètre est de 40 cm pour une profondeur de 4 cm. Il est donc très arasé. Son comblement limoneux noir recèle de rares charbons et des fragments de terre cuite. Aucun mobilier n'est issu de ce remplissage.

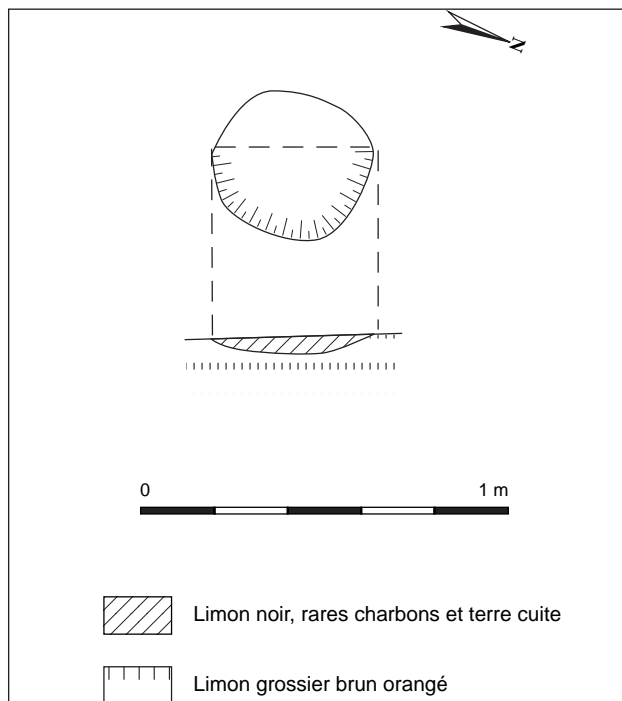


Fig. 61 : Plan et coupe du trou de poteau 7.

Comment interpréter la présence de ce trou de poteau isolé? L'érosion importante de cette structure induit la destruction possible d'autres creusements dans les environs immédiats. Peut-être existait-il un bâtiment dans ce secteur, bâtiment dont le trou de poteau TP7 serait l'ultime vestige?

Le trou de poteau TP242 découvert à l'est près de la limite d'emprise, mesure 40 cm de diamètre pour une profondeur de 14 cm (fig. 62).

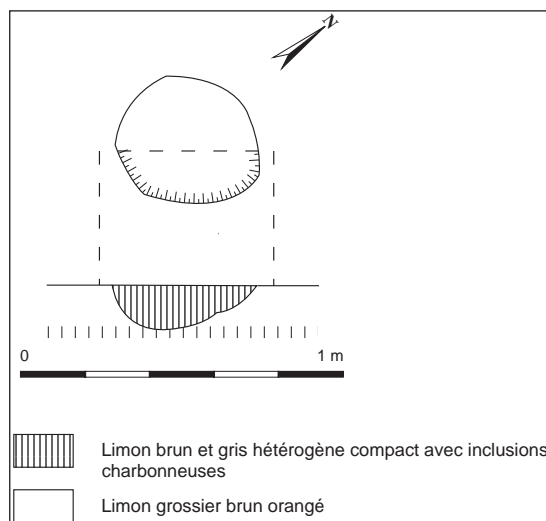


Fig. 62 : Plan et coupe du trou de poteau 242.

Comblé de limon brun-gris hétérogène compact à inclusions de charbon, il n'a livré aucun vestige. Isolé, il ne peut être relié à un bâtiment.

La fosse F203 se trouve au nord-est. Il s'agit d'une fosse allongée dont la longueur maximale est de 2,32 m pour une profondeur de 42 cm (fig. 63). Son profil forme une cuvette irrégulière à fond arrondi. Le remplissage principal est un limon sableux brun-gris hétérogène à inclusions de charbon. Deux poches de limon gris clair hétérogène, moins nombreuses, ont été identifiées dans ce comblement. Trois tessons de céramique d'un poids total de 28,5 g caractérisent les vestiges recensés pour cette structure. Le fonctionnement

de cette fosse est difficile à caractériser compte tenu des maigres informations dont on dispose.

Enfin la fosse F214 a été mise au jour non loin du TP242 près de la limite d'emprise à l'est. Cette fosse ovale de 1,30 m par 1,02 m est conservée sur 20 cm de profondeur (fig. 64). Son comblement est limoneux brun et jaune avec des inclusions de charbon. Peu de mobilier provient de cette structure : un tesson (9 g) et trois fragments de torchis (2 g). Elle a cependant pu être rattachée à La Tène sur la base de l'élément céramique présent. Cette structure recoupe le trou de poteau TP242.

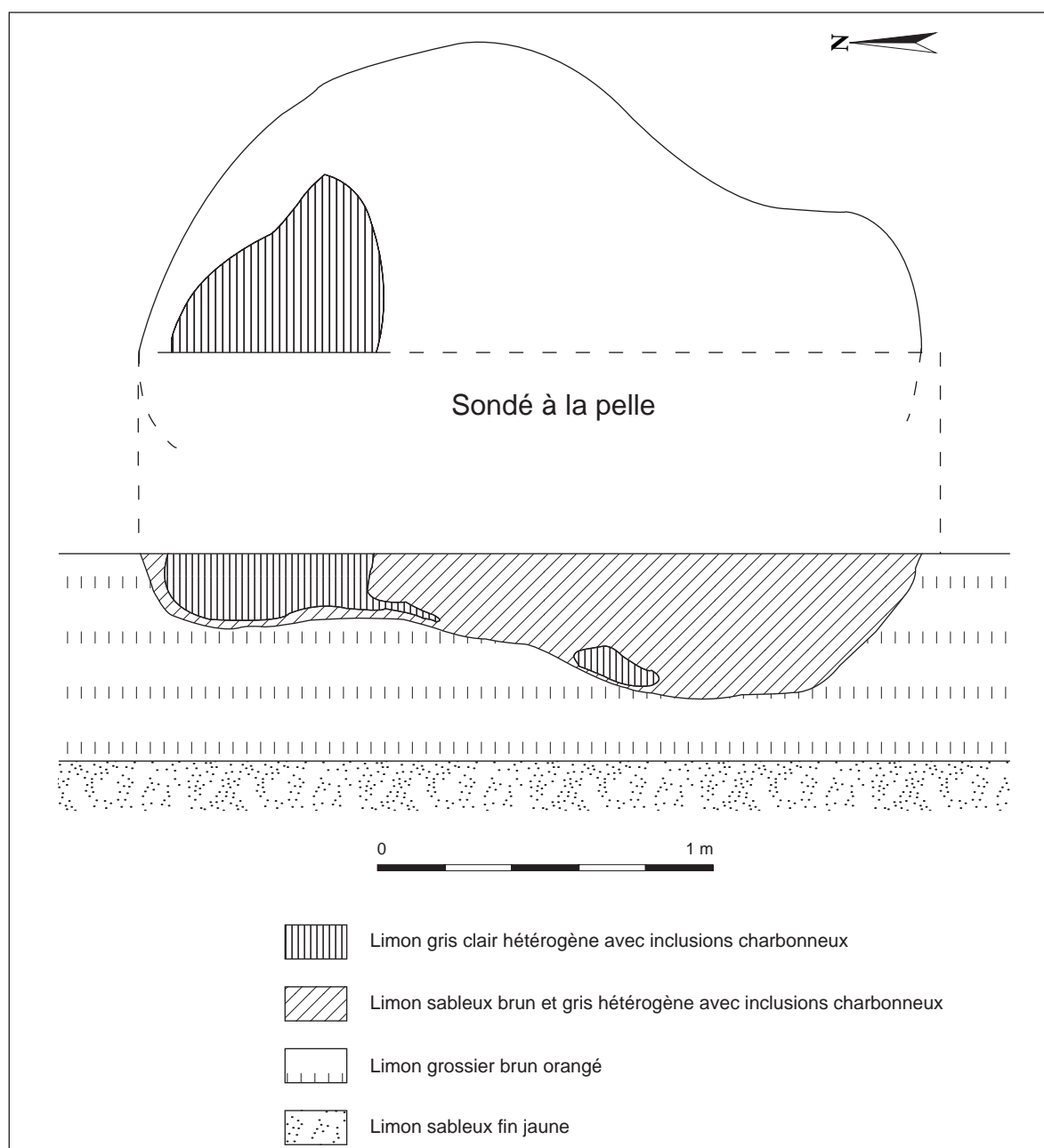


Fig. 63 : Plan et coupe de la fosse 203.

VII.7 – Les structures contemporaines

Deux structures figurent au registre des faits rattachés à l'époque contemporaine: la fosse F502 et la voie V233 (fig. 2).

La fosse F502, localisée dans la zone interne de l'enclos gaulois au sud-ouest, a largement perturbé des structures plus anciennes (F501 et F505). De forme ovale, elle mesure 2,44 m de long par 1,70 m de large pour une profondeur de 69 cm (fig. 65). Son profil, asymétrique, est en cuvette. Les couches du comblement vont en s'amincissant vers le nord-est.

Trois comblements distincts caractérisent le remplissage de cette fosse. La couche supérieure, limoneuse brun-gris, est hétérogène, meuble, et atteint 46 cm d'épaisseur. La couche intermédiaire contient les restes d'une bâche plastique en cours de décomposition sur 4 cm d'épaisseur. Enfin, la couche inférieure, de 19 cm d'épaisseur, est limoneuse, brune, homogène et compacte. Elle contient des vestiges détritiques du xx^e siècle (verre, métal, plastique).

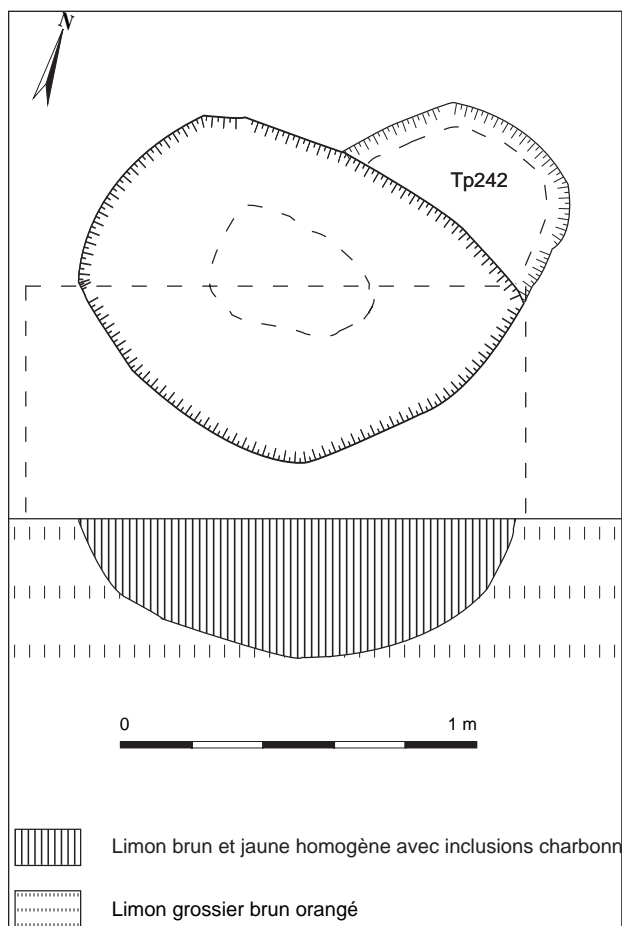


Fig. 64: Plan et coupe de la fosse 214.



Fig. 66: Extrait du plan d'Intendance (1790).

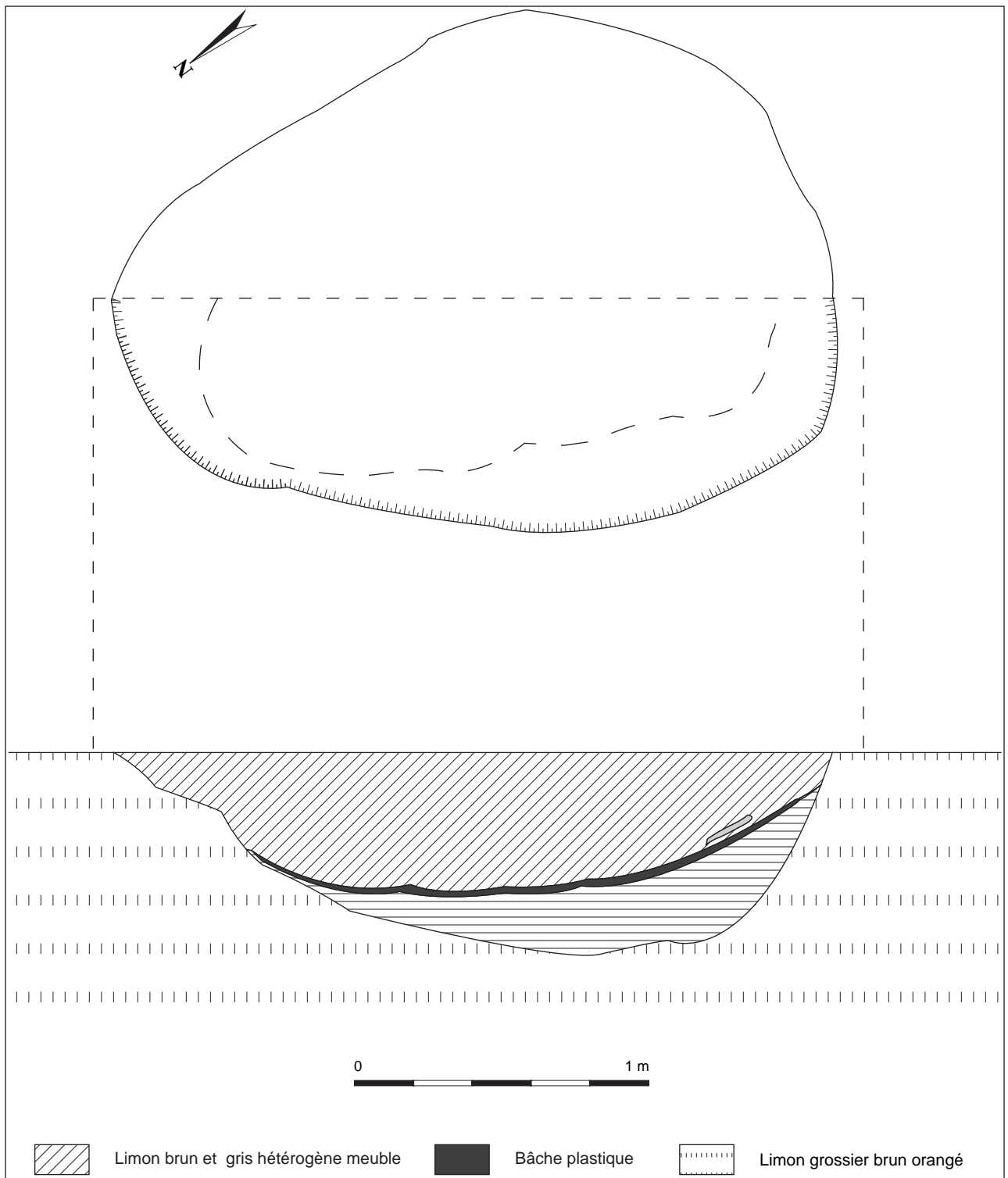


Fig. 65: Plan et coupe de la fosse 502.

La voie V233 a été identifiée en limite d'emprise à l'ouest (fig. 2). Elle n'a pu être dégagée entièrement car elle est, pour l'essentiel, recoupée par l'actuelle RD 10. Elle a été observée partiellement au niveau du sondage 16, pratiqué sur la bordure ouest de l'enclos. La coupe ne laisse apparaître que son état le plus récent (xx^e siècle). Il est donc difficile d'évaluer son ancienneté.

D'après plusieurs cartes anciennes, cette voie existait déjà au xviii^e siècle. L'examen du plan d'Intendance indique un axe de circulation d'orientation sud-ouest/nord-est, qui déborderait dans l'emprise de la fouille à l'ouest (fig. 66). Le reste de la surface fouillée était mis en culture à cette époque. D'après le cadastre napoléonien (fig. 67), le chemin de Launay, d'orientation sud-

ouest/nord-est, longe la zone fouillée à l'ouest. Un autre chemin agricole traverse l'emprise selon un axe nord-ouest/sud-est. Il est encore utilisé à l'heure actuelle, et la future RD 370 reprend en partie son tracé.

Ainsi, la voie V233 correspond sans doute au chemin repéré sur les plans anciens, sans pouvoir le vérifier par une approche archéologique.

VII.8 – Les structures indéterminées

16 structures réparties inégalement dans l'enclos n'ont pas livré de mobilier et sont de ce fait difficilement datables. Pour la plupart très arasées, une majorité d'entre elles se situe à l'est de l'enclos. Parmi elles, les creusements repérés dans la zone interne de l'enclos ne peuvent en aucun cas être rattachés de façon certaine à la Protohistoire, vu que certaines structures contemporaines viennent recouper des structures plus anciennes, à l'instar de la fosse F 502.

Les structures identifiées à l'est de l'enclos, en admettant qu'elles soient protohistoriques, pourraient être contemporaines des silos F12 et F15, et donc légèrement antérieures à l'enclos. En ce sens, elles renvoient peut-être à un état ancien de l'occupation du site.

En règle générale, l'indigence du mobilier recueilli dans ces structures ne permet pas de formuler d'hypothèse d'utilisation et de fonctionnement.

Le catalogue qui suit présente les structures de la zone interne de l'enclos puis celles de la zone externe.

– La zone interne de l'enclos

F201 : La fosse F201 se trouve au niveau de l'angle nord-ouest de l'enclos (fig. 2). Elle présente un contour sub-circulaire de 1,10 m de long par 0,90 m de large pour une profondeur de 0,18 m (fig. 68). Son profil est à fond arrondi,



Fig. 67 : Extrait du cadastre napoléonien (1807-1850).

irrégulier. Son comblement est limoneux brun-gris clair compact et hétérogène, avec de rares inclusions de charbon. Cette fosse ne contient pas de mobilier.

F220 : La fosse F220 se situe près de la bordure nord de l'enclos. Il s'agit d'un segment de fossé très arasé dont les limites se détachent difficilement du sédiment encaissant. Ce tronçon de fossé pourrait en fait appartenir à un diverticule de l'enclos. Repéré sur 2,97 m de long par 0,50 m de large, il est conservé sur 0,50 m de profondeur. Le profil du creusement est à fond plat. Le remplissage se caractérise par un limon brun-gris clair homogène. Il ne renferme pas de mobilier.

TP221 : Le trou de poteau TP221 est apparu près de l'angle nord-est de l'enclos. Il présente un contour irrégulier, sub-circulaire, et mesure 0,34 m de diamètre pour 0,36 m de profondeur. Cette structure présente un profil en U avec des parois verticales et un fond irrégulier. Le limon de remplissage est brun homogène et compact. Aucun vestige n'est issu de ce trou de poteau.

– La zone externe de l'enclos

F207 : Cette fosse est située à quelques mètres à l'est de l'angle nord-est de l'enclos. Elle est ovale, mesure 0,70 m de diamètre et 0,20 m de profondeur (fig. 69). Son profil est irrégulier et asymétrique, la base du creusement étant légèrement déjetée vers l'ouest. Le comblement est limoneux gris et jaune homogène, avec des inclusions charbonneuses. Aucun mobilier n'a été retrouvé dans cette fosse.

TP216 : Le trou de poteau 216 est situé à l'est de l'enclos, à quelques mètres du fossé. Le contour du creusement est irrégulier, et son profil en U présente un léger évasement vers le sommet. Le diamètre du trou est de 0,25 m pour une profondeur de 0,16 m. Le sédiment du comblement correspond à un limon gris sableux dépourvu de mobilier.

Fo239 : Le fossé Fo239 se trouve à l'est de l'enclos, en bordure du Chemin du Coudray, sous lequel il se poursuit. Il n'a pas été possible

de couper la circulation à cet endroit si bien que le fossé n'a pu être observé que sur une petite surface. D'orientation nord-sud, il mesure 1 m de large pour 0,60 m de profondeur. En surface, son contour est oblong et son profil en U présente un évasement vers le sommet. Le comblement est limoneux gris hétérogène avec des inclusions de charbon rares. Aucun vestige n'a été retrouvé dans ce tronçon de fossé.

F227 : Cette fosse est située à l'est de l'enclos. Elle présente un contour oblong et mesure 1,54 m de long par 1,20 m de large, pour une profondeur de 0,20 m. Son profil est en cuvette et son comblement est limoneux gris homogène stérile.

F226 : La fosse F226, également située à l'est de l'enclos, présente un contour très irrégulier. Elle mesure 1,20 m de long par 0,60 m de large pour une profondeur de 0,28 m. Son profil est en cuvette et elle est comblée par un limon sableux brun-gris homogène. Aucun vestige n'y a été retrouvé.

F219 : La fosse F219, à l'est de l'enclos, a un contour circulaire (fig. 70). Elle mesure 2,70 m de diamètre pour 0,78 m de profondeur. Son profil est asymétrique, la profondeur de la structure étant plus réduite à l'ouest qu'à l'est. Trois couches caractérisent le comblement de cette fosse. Elles s'organisent d'est en ouest. La couche 1, à l'est, correspond à un limon brun gris hétérogène recelant des poches de sédiment gris à inclusions charbonneuses. La couche 2, identifiée au centre, est limoneuse brune homogène et contient des nodules de charbon. Enfin, la couche 3, à l'ouest, est limoneuse brun-gris avec quelques nodules de charbon. Aucun mobilier n'a été retrouvé dans cette fosse.

Le sédiment, très hydromorphe, pourrait avoir un lien avec la fonction de la structure. Peut-être s'agissait-il d'un point d'eau.

F209 : La fosse F209 est située à l'est de l'enclos (fig. 71). Elle présente un contour ovale et mesure 1,90 m de long par 0,90 m de large et 0,12 m de profondeur. Son profil est en cuvette, et son comblement est limoneux brun homogène

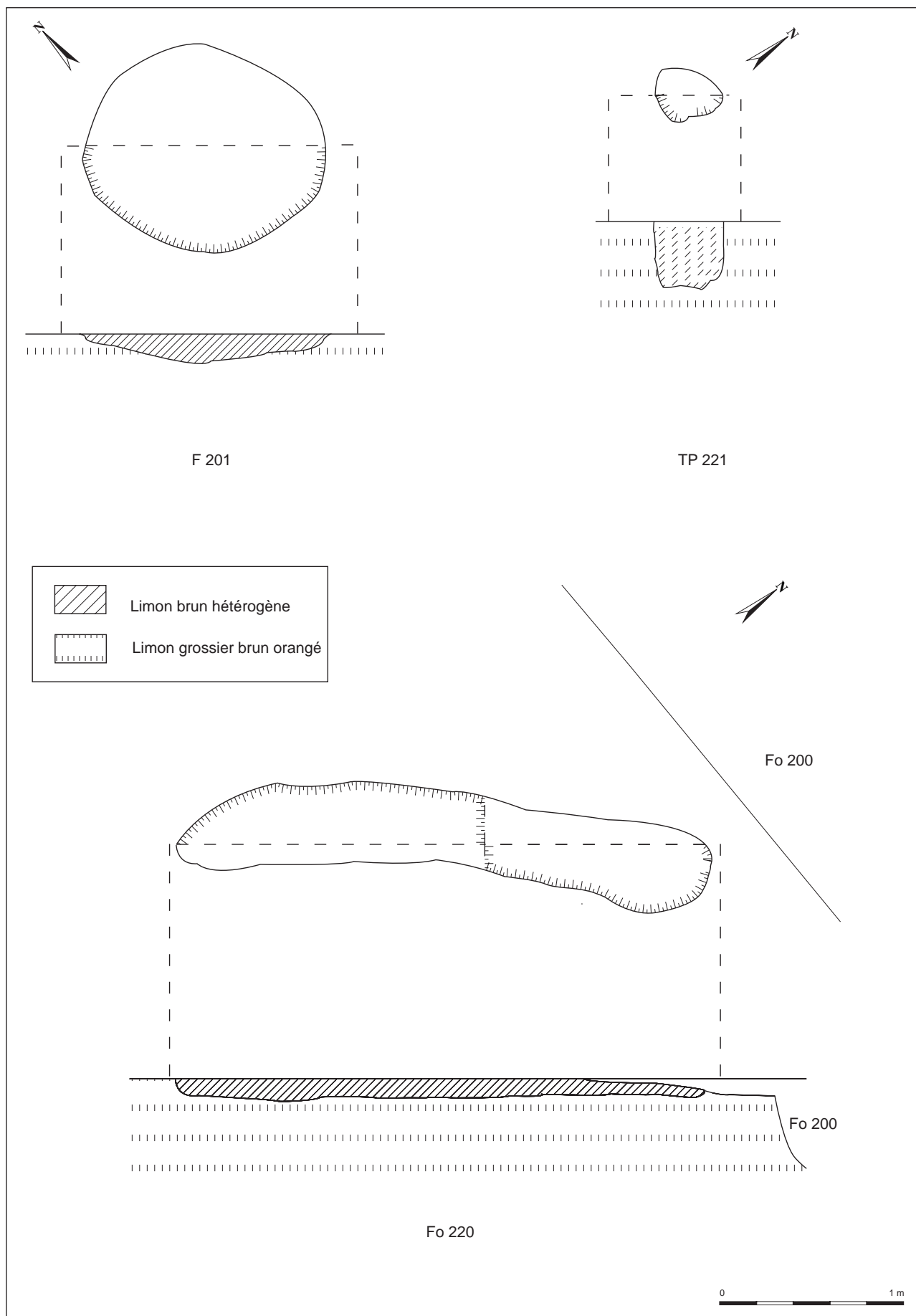


Fig. 68: Les structures non datées de la zone interne.

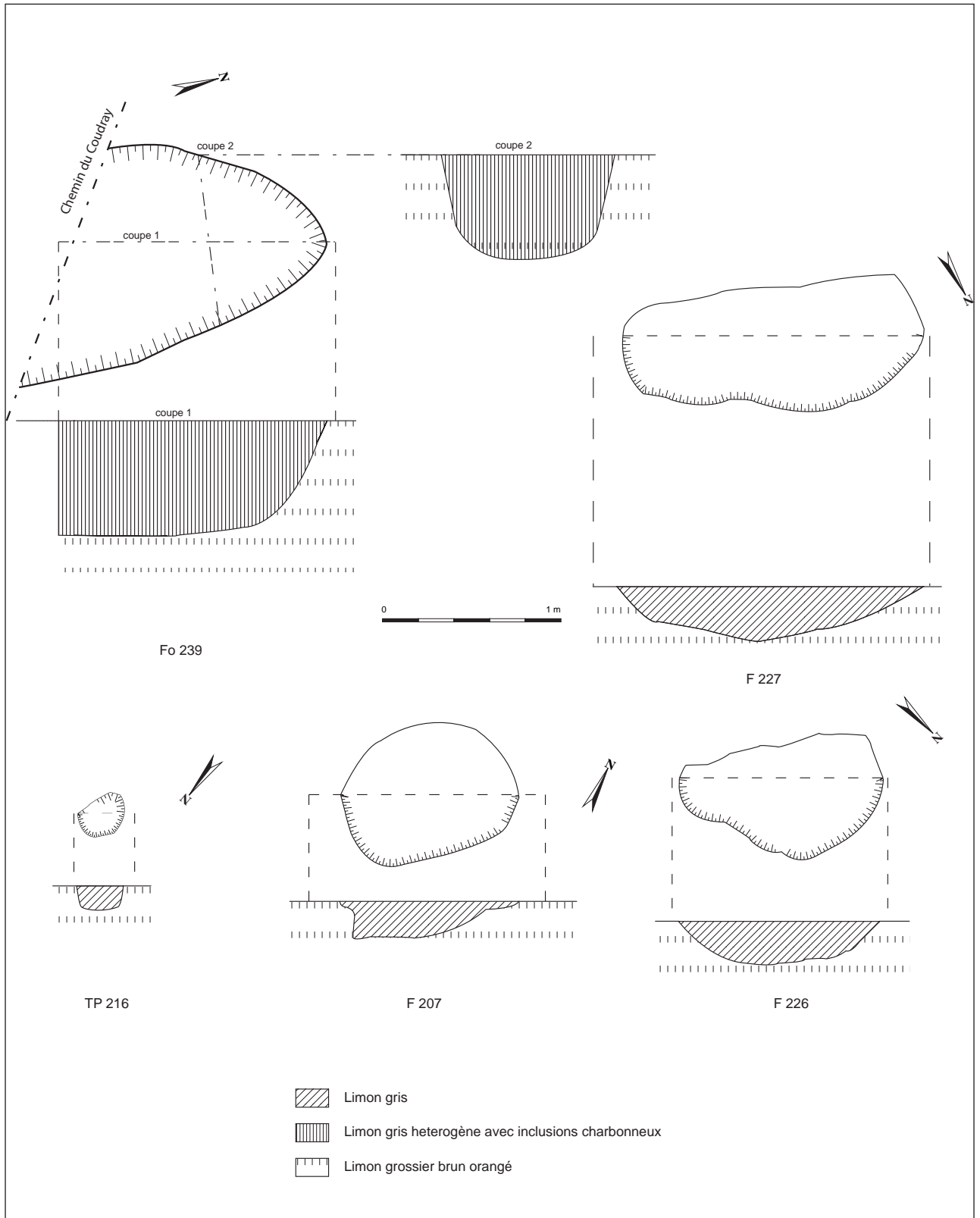


Fig. 69 : Structures non datées retrouvées hors de l'enclos.

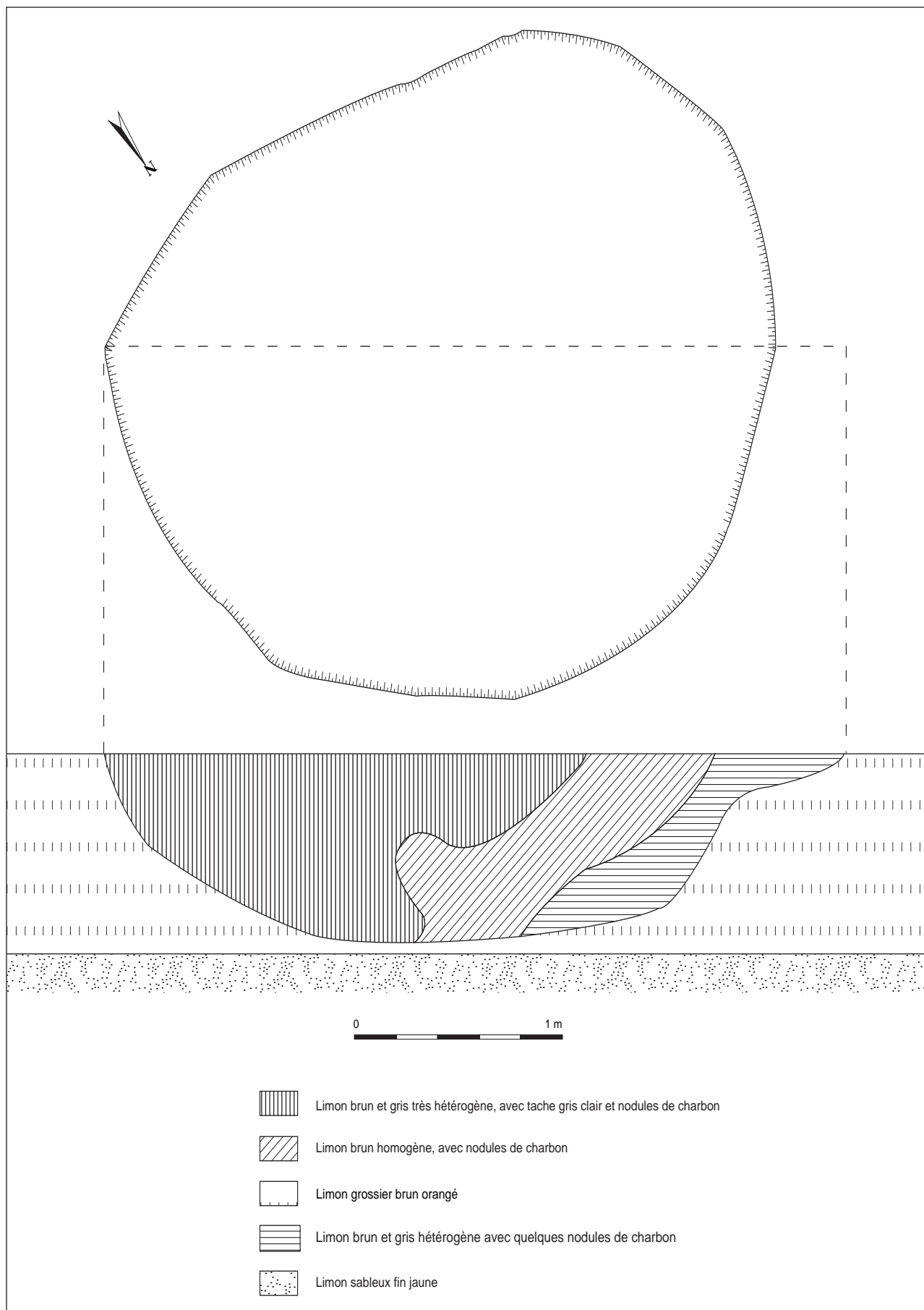


Fig. 70: Plan et coupe de la fosse F 219.

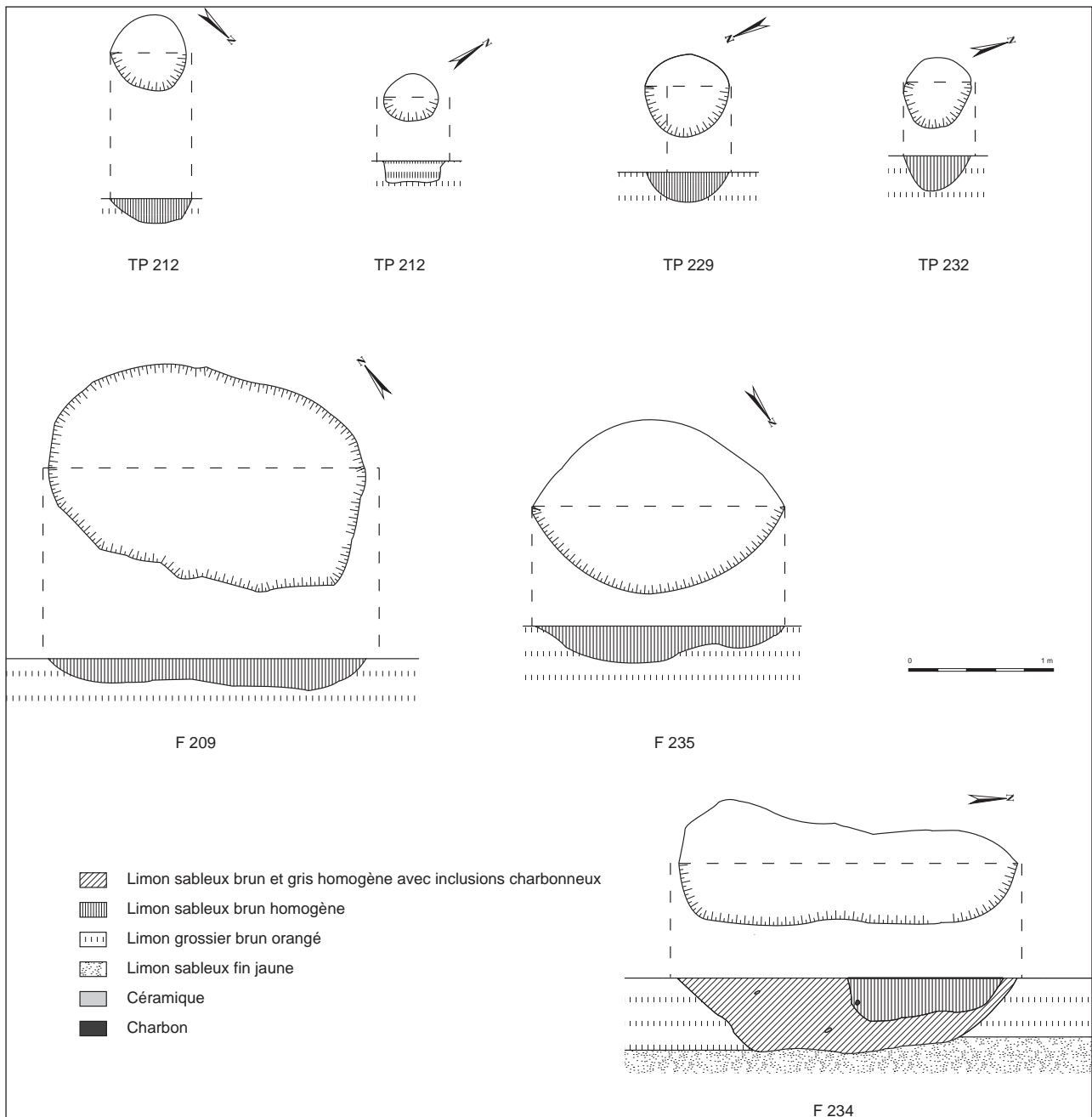


Fig. 71 : Structures non datées retrouvées hors de l'enclos (fin).

compact. Aucun mobilier n'a été découvert dans cette fosse.

TP210: Le trou de poteau TP210 est situé à l'est de l'enclos. Il présente un contour circulaire et mesure 0,26 m de diamètre pour 8 cm de profondeur. Le comblement est limoneux brun avec des inclusions de charbon et de pseudo-mycélium. Aucun vestige ne se trouve dans cette structure.

TP212: Le trou de poteau TP212 se trouve à l'est, près de la limite d'emprise. Il présente un contour circulaire et mesure 0,35 m de diamètre

pour 0,18 m de profondeur. Son profil est à fond plat et les parois sont sub-verticales. Le comblement, limoneux brun avec des nodules de charbon, est stérile.

TP229: Le trou de poteau TP229 se trouve à l'est, près de la limite d'emprise. Il présente un contour circulaire et mesure 0,47 m de diamètre pour 0,18 m de profondeur. Son profil est en cuvette. Son comblement est un limon orange avec de nombreux nodules de charbon. Aucun vestige ne s'y trouve.

TP232 : Ce trou de poteau est localisé à l'est, près de la limite d'emprise. Au contour circulaire, il mesure 0,44 m de diamètre pour 0,08 m de profondeur. Son profil est en cuvette et son comblement est limoneux brun-gris avec des inclusions charbonneuses. Aucun mobilier ne provient de ce remplissage.

F235 : La fosse F235 se trouve au sud du Chemin du Coudray dans la partie est de l'emprise. Elle mesure 1,10 m de long pour 2,74 m de large et 0,24 m de profondeur. Son contour est ovale et son profil est irrégulier à fond arrondi. Son comblement est un limon sableux brun homogène à inclusions de charbon, sans mobilier.

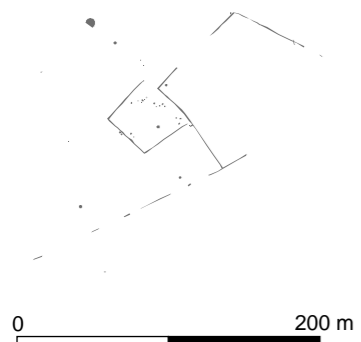
F234 : Cette fosse est localisée à quelques mètres au sud de la structure précédente. Il s'agit d'une fosse oblongue de 2,44 m de long par 0,42 m de large pour une profondeur de 0,50 m. Le profil est en cuvette et le comblement se caractérise par deux couches distinctes. Une première couche, superficielle, repérée uniquement dans la partie nord sur 25 cm d'épaisseur est limono-sableuse brun-jaune avec des inclusions de charbon. La

seconde couche correspond au remplissage principale de la fosse. Elle se caractérise par un limon sableux brun-gris homogène recelant des inclusions de charbon. Quelques rares tessons proviennent de cette fosse et ne permettent aucun rattachement chronologique.

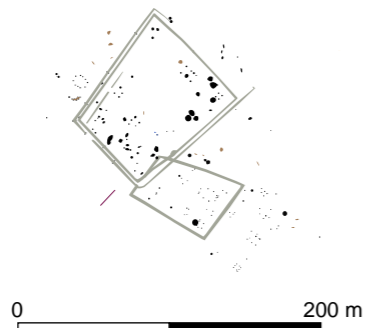


Fig. 73 : L'équipe de fouille. De gauche à droite : J.-G. Pariat, G. Le Goïc, P. Hamel, R. Marque, I. Najera Marcos, C. Laporte-Cassagne, A. Battistini, C. Roy, D. Chauvet, V. Maret.

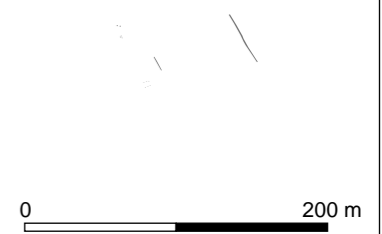
Le Mesnil-Aubry / Le Plessis-Gassot "Bois-Bouchard"
Phase 1 (diagnostic 2007, A. Lefeuvre)



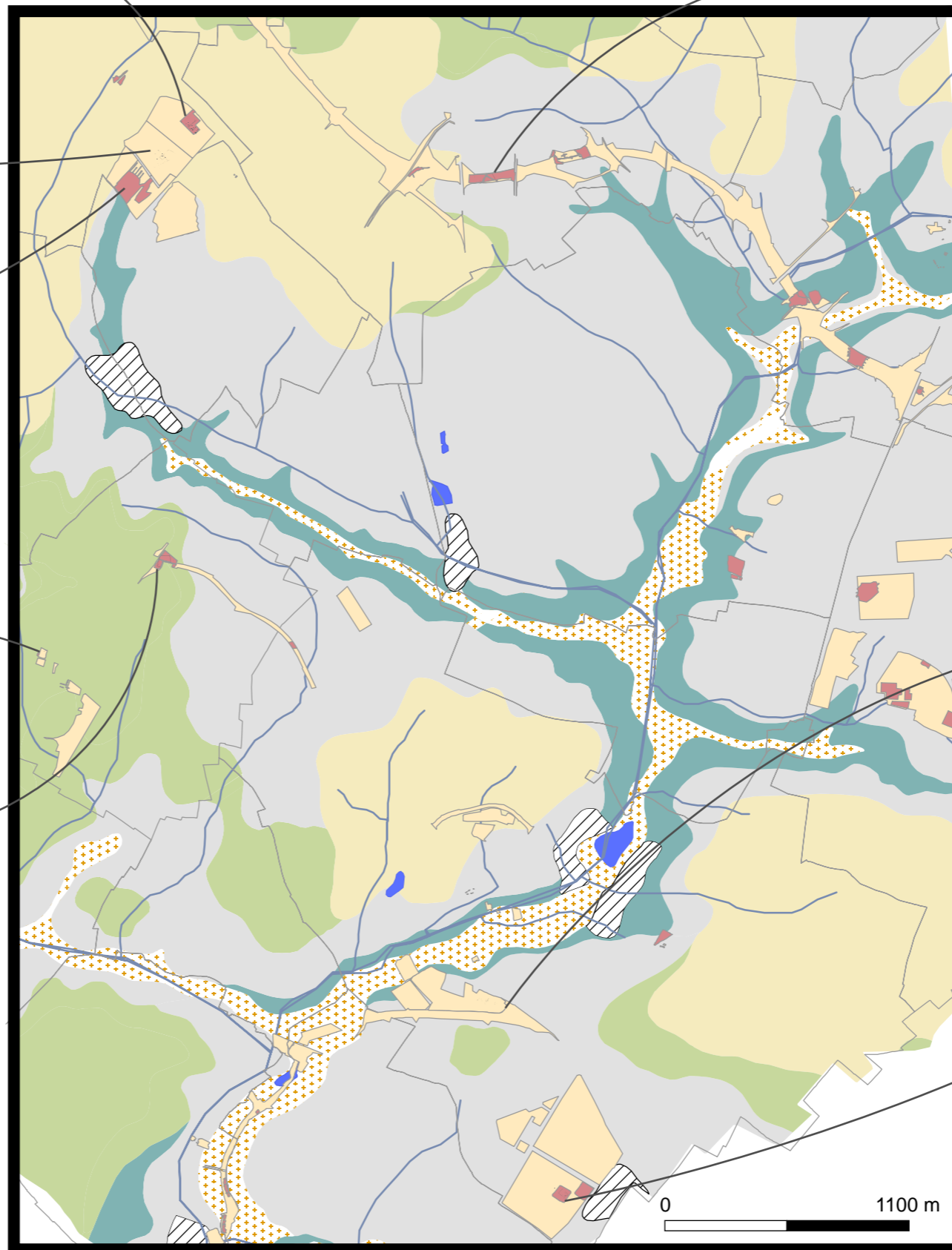
Le Mesnil-Aubry / Le Plessis-Gassot "Bois Bouchard"
Phase 2, plan provisoire (fouille 2010, C. Laporte-Cassagne)



Fontenay-en-Parisis "La Lampe"
(fouille 1995, I. Daveau)



Le Plessis-Gassot "Carrière REP"
(fouille N. Ginoux, 1998)



Gonesse "ZAC entrée sud"
(Diagnostic 2007, T. Kubiak)



Villiers-le-Bel "69-69 bis, rue Gambetta"
(fouille 2004, F. Gentili)



Villiers-le-Bel "Déviation RD 10 / Rd 370"
(fouille 2009, J.-G. Pariat)



Gonesse "ZAC Tulipes nord"
(Fouille 2009, A. Mondoloni)



Fig. 72 : Bassin du Croult, quelques sites contemporains de l'enclos de Villiers-le-Bel.

VIII – Conclusion

La fouille réalisée à Villiers-le-Bel a permis d'approfondir les recherches initiées par le diagnostic de 2008⁴² et de répondre aux questions restées alors en suspens.

Elle a conduit à la mise en évidence d'une fréquentation du site au Néolithique récent, mais l'unique structure de cette période, datée par radiocarbone sur charbon de bois, était très érodée, tandis que les vestiges lithiques ont été retrouvés en position secondaire. Les labours sont probablement responsables d'une érosion du site, mais aussi, sans doute, les occupations postérieures dès la Protohistoire.

Après un hiatus dans l'occupation le site est de nouveau occupé au début du second âge du fer. Dès La Tène ancienne (B2), trois silos et une fosse se répartissent sur une large surface. Ce type d'occupation en aire ouverte est courant dans la région à cette période. Souvent, et Villiers-le-Bel ne déroge pas à ce schéma, les sites se réduisent à un petit nombre de structures de type silo. Faut-il en déduire que les habitations sont trop légèrement fondées à cette période pour avoir laissé des traces, ou que l'érosion a conduit à leur disparition? À moins que les maisons n'aient jamais été proches des silos et qu'elles soient de fait hors de la limite d'emprise de la fouille?

L'occupation perdure à La Tène C1 mais il est impossible d'affirmer qu'il y ait une stricte continuité par rapport à la phase précédente. L'un des silos (F504) jusqu'alors dévolu au stockage semble connaître une utilisation secondaire détritique plutôt vers la fin de La Tène C1, tandis que trois nouveaux silos sont creusés (F3, F12, F501). L'occupation investit toujours une large surface durant cette phase.

À la fin de La Tène C1 le site connaît d'importantes mutations. L'espace est désormais clairement délimité par un enclos fossoyé qui va perdurer tout au long de La Tène C2. Ce type d'ouvrage est bien connu dans le secteur, en particulier dans le Bassin du Croult (fig. 72). Durant le début de La Tène C1, l'occupation pourrait

bien être située dans la partie sud si l'on en juge par les rejets qui caractérisent le remplissage du fossé. La céramique renvoie à un vaisselier typique de La Tène C2. Certains animaux, tels les moutons sont exploités pour leur pelage laineux. Outre ces activités laissant transparaître la vie quotidienne, des formes de rejet évoquent des événements plus ponctuels tels que la consommation collective. Parallèlement plusieurs silos de la phase précédente accueillent eux aussi les rejets des activités domestiques.

Vers la fin de La Tène C2, l'occupation semble se déplacer plus au nord et les activités pratiquées sur le site restent assez diversifiées (élevage, artisanat, agriculture, consommation collective, pratiques mortuaires, rites?). Tous les silos semblent abandonnés.

L'image offerte durant cette période, qui couvre le I^{er} siècle avant notre ère est donc celle d'un site rural à caractère agricole peu prospère, malgré des vestiges abondants.

Au début de La Tène D1, le site entre dans une phase de récession. Le fossé est sans doute largement comblé en plusieurs endroits et fait ponctuellement l'objet de curages avant de périr rapidement vers la fin du I^{er} siècle avant J.-C.

De rares indices évoquent une présence augustéenne dans les environs de la zone fouillée, sans pouvoir être plus précis.

Aucune trace de fréquentation n'est ensuite attestée jusqu'à l'époque contemporaine, ce qui peut être la conséquence d'une mise en culture prolongée de ce secteur.

La fouille de Villiers-le-Bel a ainsi permis de mieux cerner la nature de l'enclos gaulois et d'élargir nos connaissances sur l'occupation de ce secteur du Val-d'Oise au second âge du fer. L'histoire du territoire communal, largement documentée pour le Moyen-Âge, se trouve ainsi enrichie d'un passé depuis le Néolithique et sa vocation longtemps agricole pourrait trouver ses racines durant la Protohistoire.

42 Pariat, Garmond 2008, p.67.

Liste des figures

Fig. 1 : Localisation des opérations archéologiques.	20
Fig. 2 : Plan phasé de répartition des structures et implantation des sondages.	22
Fig. 3 : Fossé 200, Sondage 6, démontage d'après photo (A. Battistini).	23
Fig. 4 : Exemples de fichiers photos.	24
Fig. 5 : Catherine Brossais (ARPE) réalisant une prise de vue (Cliché : I. Lhomel).	25
Fig. 6 : Extrait de la carte géologique.	25
Fig. 7 : Coupe du sondage géologique pratiqué au nord de l'enclos (DAO : A. Battistini).	27
Fig. 8 : Voie de Saint-Denis connue à l'ouest de la zone « enclos » (extrait du cadastre napoléonien, 1807-1850).	28
Fig. 9 : Carte non exhaustive des opérations archéologiques réalisées autour des zones de fouille.	29
Fig. 10 : Sites archéologiques connus dans un rayon de 2 km autour des zones de fouille (M. Wabont).	30
Fig. 11 : Plan de la fosse 241.	32
Fig. 12 : Plan de localisation des structures rattachées à La Tène ancienne.	33
Fig. 13 : Plan et coupe du silo F15.	34
Fig. 14 : Coupe du silo F15 (Cliché : J.-G. Pariat).	35
Fig. 15 : Plan et coupe du silo F504.	36
Fig. 16 : Coupe du silo F504 (Cliché : J.-G. Pariat).	37
Fig. 17 : Coupe du silo F505 (Cliché : R. Marque).	38
Fig. 18 : Plan et coupe du silo F505.	39
Fig. 19 : Plan et coupes de la fosse 503.	40
Fig. 20 : Vue générale et en coupe de la fosse 503 (Cliché : A. Battistini).	41
Fig. 21 : RD 64.2 « Orly-Villeneuve-le-Roi », fosses EA 67 et 69 (Navarro-Mussy, Rodriguez 1998).	41
Fig. 22 : Plan de localisation des structures rattachées à La Tène moyenne.	42
Fig. 23 : Plan et coupe du silo F3.	43
Fig. 24 : Coupe du silo F3 (Cliché : N. Garmond).	44
Fig. 25 : Coupe du silo F12 (Cliché : S. Velardez).	45
Fig. 26 : Coupe du silo F12.	45
Fig. 27 : Plan et coupe de la fosse 500.	46
Fig. 28 : Plan et coupe du silo F501.	47
Fig. 29 : Coupe du silo F501 (Cliché : R. Marque).	47
Fig. 30 : Silo 501, plan des vestiges retrouvés entre 0 et 80 cm.	48
Fig. 31 : Silo 501, plan des vestiges retrouvés entre 80 cm et 1,40 m (DAO : A. Battistini).	49
Fig. 32 : Silos présentant une couronne de sédiment (F3, F501 et F504).	52
Fig. 33 : Plan de l'enclos et localisation des coupes.	51
Fig. 34 : Fossé 200, sondage 1, coupe.	54
Fig. 35 : Plan des restes disloqués d'un squelette de suidés apparus au niveau du sondage 1.	55
Fig. 36 : Vue générale de l'angle sud-ouest du fossé 200 après fouille (Cliché : G. Le Goïc).	56
Fig. 37 : Fossé 200, coupe nord-ouest de l'angle sud-ouest.	56

Fig. 38 : Fossé 200, sondage 5, coupe.	58
Fig. 39 : Fossé 200, sondage E, vue oblique des dalles calcaires issues du remplissage supérieur (Cliché : A. Battistini).	57
Fig. 40 : Fossé 200, sondage 13, coupe.	59
Fig. 41 : Fossé 200, sondage 22, coupe.	61
Fig. 42 : Fossé 200, sondage 24, coupe.	62
Fig. 43 : Fossé 200, sondage 29, coupe.	63
Fig. 44 : Fossé 20, sondage 34, coupe.	64
Fig. 45 : Plan de répartition horizontale des vestiges issus du fossé d'enclos.	65
Fig. 46 : Densité de céramique exprimée en poids.	66
Fig. 47 : Sondage X entre 40 et 80 cm de profondeur (couche 1), concentration de tessons.	67
Fig. 48 : Sondages 3 et B, entre 0 et 40 cm de profondeur (couche 1), épandage de tessons (Cliché : C. Roy).	67
Fig. 49 : Densité d'ossements animaux exprimée en poids.	70
Fig. 50 : Plan de répartition des crânes isolés de bœuf ou de cheval.	69
Fig. 51 : Sondage H, vue oblique des crânes de bœuf et de cheval (Cliché : C. Laporte-Cassagne).	70
Fig. 52 : Sondage A, amas osseux de bovins.	71
Fig. 53 : Sondage 6, ossements disloqués de douze porcelets (DAO et cliché : A. Battistini).	72
Fig. 54 : Répartition du torchis exprimée en poids.	74
Fig. 55 : Sondage U entre 80 cm et 1 m de profondeur, concentration de torchis.	74
Fig. 56 : Densité de métal et de scories exprimée en nombre de restes.	75
Fig. 57 : Densité de meules exprimée en nombre de restes.	76
Fig. 58 : Plan de l'enclos de Villiers-le-Sec « La Place de la Ville » (d'après Gentili dir. 2000).	77
Fig. 59 : Plan de localisation des structures rattachées à La Tène finale et à l'époque gallo-romaine.	79
Fig. 60 : Plan de localisation des structures rattachées à la Protohistoire.	80
Fig. 61 : Plan et coupe du trou de poteau 7.	80
Fig. 62 : Plan et coupe du trou de poteau 242.	80
Fig. 63 : Plan et coupe de la fosse 203.	81
Fig. 64 : Plan et coupe de la fosse 214.	82
Fig. 65 : Plan et coupe de la fosse 502.	83
Fig. 66 : Extrait du plan d'Intendance (1790).	82
Fig. 67 : Extrait du cadastre napoléonien (1807-1850).	84
Fig. 68 : Les structures non datées de la zone interne de l'enclos.	86
Fig. 69 : Structures non datées retrouvées hors de l'enclos.	87
Fig. 70 : Plan et coupe de la fosse F 219.	88
Fig. 71 : Structures non datées retrouvées hors de l'enclos (fin).	89
Fig. 72 : Bassin du Croult, quelques sites contemporains de l'enclos de Villiers-le-Bel.	91
Fig. 73 : L'équipe de fouille. De gauche à droite : J.-G. Pariat, G. Le Goïc, P. Hamel, R. Marque, I. Najera Marcos, C. Laporte-Cassagne, A. Battistini, C. Roy, D. Chauvet, V. Maret.	90

Bibliographie

Baray, Boulestin 2010: BARAY (L.), BOULESTIN (B.). – *Morts anormaux et sépultures bizarres. Les dépôts humains en fosses circulaires et en silos du Néolithique à l'âge du Fer*: actes de la II^e table-ronde interdisciplinaire, 29 mars–1^{er} avril 2006, Sens. Dijon: Éditions Universitaires de Dijon, 2010, p. 127–134.

Bedos 1980: BEDOS (B.). – *La châtelainie de Montmorency des origines à 1328, aspects féodaux, sociaux et économiques*. Pontoise: SHAPV, 1980.

Blazy 1982: BLAZY (J.-P.). – *Gonesse, la terre et les hommes des origines à la Révolution*. Gonesse: J.-P. Blazy, 1982.

Bulard, Drouhot 2002: BULARD (A.), DROUHOT (C.). – Monnaies en bronze des Gaulois d'Ile-de-France: question de territoire. *Archéologie 2002*: actes des journées archéologiques 2002. Paris: SRAIF, 2002, p. 9–24.

Casadéi 1998: CASADEI (D.) dir. – *Roissy-en-France (Val-d'Oise), Le Dessus-de-la-Rayonnette: document final de synthèse des fouilles menées du 1^{er} octobre au 31 décembre 1997*. Paris: AFAN, SRAIF, 1998.

Cecchini et al. 1977: CECCHINI (M.), GUADAGNIN (R.), LENGLET (P.). – *Fouille de sauvetage archéologique d'une sépulture de La Tène II au lieu-dit Fossé-à-Deux-Gueulles, Bouqueval (95): rapport de fouille*. Villiers-le-Bel: JPGF, 1977.

Daveau, Yvinec 2001: DAVEAU (I.), YVINEC (J.-H.). – L'occupation protohistorique du site de Fontenay-en-Parisis «La Lampe» (Val-d'Oise): un lieu de consommation collective à La Tène C1/C2. *Revue archéologique du centre de la France*, 40, 2001, p. 69–102.

Delattre et al. 2000: DELATTRE (V.), BULARD (A.), GOUGE (P.), PIHUIT (P.). – De la relégation sociale à l'hypothèse des offrandes: l'exemple des dépôts en silos protohistoriques au confluent Seine-Yonne (Seine-et-Marne).

Revue archéologique du centre de la France, 39, 2000, p. 5–30.

Delattre, Séguier 2007: DELATTRE (V.), SÉGUIER (J.-M.). – Du cadavre à l'os sec. In: BARRAL (P.), DAUBIGNEY (A.), DUNNING (C.), KAENEL (G.), ROULIERE-LAMBERT (M.-J.) dir. – *L'âge du Fer dans l'arc jurassien et ses marges: Dépôts, lieux sacrés et territorialité à l'âge du Fer*: actes du xxix^e colloque international de l'AFFEAF, Bienne, 5–8 mai 2005, vol. 2. Besançon: Presses Universitaires de Franche-Comté, 2007, p. 605–620.

Durand 2008: DURAND (J.-C.). – *Villiers-le-Bel (Val-d'Oise): ZAC des Tissonvilliers III, avenue des Érables: première tranche: rapport de diagnostic du 4 au 8 février 2008*. INRAP, SRAIF: 2008.

Durand, Durand 2009: DURAND (J.), DURAND (S.). – L'identification des sites du Néolithique ancien en contexte de plateau: le site de Lieusaint (77) «Centre Commercial 2», premiers résultats. In: *Actualité archéologique régionale*: actes des journées archéologiques d'Ile-de-France, 8–9 décembre 2007, institut d'art et d'archéologie, Paris. Saint-Denis: SRAIF, 2009, p. 9–21.

Durand et al. 2009: DURAND (J.-C.), GINOUX (N.), LECONTE (L.), PISSOT (V.), VISBECQ (A.). – *Villiers-le-Bel «ZAC des Tissonvilliers III», Avenue des Érables, deuxième tranche: rapport de diagnostic*. Paris: INRAP, SRAIF, 2009.

Fleury 1979: FLEURY (M.). – Informations archéologiques: circonscription de l'Ile-de-France. *Gallia*, 37, 2, 1979, p. 340–342.

Gentili 2000: GENTILI (F.) dir. – *Villiers-le-Sec (Val-d'Oise), La Place de la Ville: document final de synthèse de sauvetage urgent, du 1^{er} mars au 31 octobre 1995 et du 24 juin au 30 octobre 1996*. AFAN; SDAVO; SRAIF, 2000.

Gentili et al. 2006: GENTILI (F.) dir., LEFEVRE (A.), DURGEAU (S.), MATHIS (D.), WARME (N.), ABADIE (I.). – *Occupation de l'âge du Fer et village médiéval (ix^e-xii^e siècles), Villiers-*

le-Bel (Val-d'Oise), 69-69 bis, avenue Gambetta et 22, rue du Général Archinard : rapport final d'opération du 15 octobre au 31 décembre 2004. Paris : INRAP, SRAIF, 2006.

Giligny 2008 : GILIGNY (F.) dir. – *Le Néolithique de l'ouest parisien (Yvelines, Val-d'Oise) : rapport intermédiaire du projet collectif de recherches.* Nanterre : CNRS, MAE, UMR 7041, 2008.

Ginoux à paraître : GINOUX (N.). – *Le Plessis-Gassot, Le Mesnil-Aubry (Val-d'Oise), secteur nord de la carrière REP (95-492-005) : opération de fouille préventive sur la nécropole laténienne, évaluation de l'habitat protohistorique, du 17/08/98 au 25/03/99.* Paris : INRAP, SRAIF, à paraître.

Granchon à paraître : GRANCHON (P.). – *Gonesse «ZAC des Tulipes Nord» : rapport final d'opération.* Paris : INRAP, SRAIF, à paraître.

Guadagnin 1977 : GUADAGNIN (R.). – *Évolution de l'implantation humaine dans le Pays de France de son origine à l'époque carolingienne.* Paris : EHESS, 1977.

Guadagnin 1981 : GUADAGNIN (R.). – Évolution de l'implantation humaine : diachronie évolutive du peuplement dans le Pays-de-France, de la Préhistoire au Bas Empire romain. In : *Dix ans de recherches en Pays-de-France : archéologie, histoire, ethnographie, 1970-1980 : catalogue d'exposition.* Ermont : JPGF, 1981, p. 16-41.

Guadagnin 1984 : GUADAGNIN (R.). – La nécropole celtique de Bouqueval. *Bulletin annuel de la JPGF*, 8, 1984, p. 12-65.

Guadagnin 1985 : GUADAGNIN (R.). – La nécropole celtique de Bouqueval. *Les Dossiers : histoire et archéologie*, 98, 1985, p. 52-63.

Guadagnin 1988 : GUADAGNIN (R.). – La nécropole celtique de Bouqueval. *Celtic art* (Londres), 1988, p. 139-140.

Guadagnin 1991 : GUADAGNIN (R.). – Bouqueval : Les trésors des tombes gauloises. *Vivre en Val-d'Oise*, 6, 1991, p. 30-35.

Guadagnin, Renaux 1975 : GUADAGNIN (R.), RENAUX (D.). – *Histoire de Villiers-le-Bel.* [S.l.] : R. Guadagnin, 1975.

Hubert, Carpentier 1977 : HUBERT (B.), CARPENTIER (G.). – *Fouille de sauvetage au lieu-dit la Fauconnière, Gonesse (Val-d'Oise) : rapport 1977.* Vincennes : SRA Ile-de-France, 1978.

Kubiak et al. 2008 : KUBIAK (T.), PUCHEU-LASHORES (C.), LEFEVRE (A.), CLAUDE (C.). – *Gonesse «Bassins de la ZAC Entrée Sud» (Val-d'Oise, Ile-de-France) : rapport de diagnostic février 2008.* Paris : INRAP, SRAIF, 2008.

Laporte-Cassagne à paraître : LAPORTE-CASSAGNE (C.). – *Le Mesnil-Aubry (Val-d'Oise), Le Bois-Bouchard (carrière REP Véolia) : rapport final d'opération 2010.* Saint-Ouen-l'Aumône : SDAVO.

Lecalve, Eusèbe 2001 : LE CALVE (G.), EUSEBE (S.). – *Villiers-le-Bel (Val-d'Oise), rue des 9 Arpents – rue Gambetta, projet de médiathèque : rapport d'évaluation archéologique (07/11/2001 – 21/11/2001).* Paris : INRAP, SRAIF, 2001.

Lefevre 2008a : LEFEUVRE (A.). – *Le Mesnil-Aubry/Le Plessis-Gassot (Val-d'Oise), «Le Bois Bouchard», phase 1 : Rapport de diagnostic archéologique du 03/09/2007 au 21/09/2007.* Saint-Ouen-l'Aumône : SDAVO ; Saint-Denis : SRAIF, 2008.

Lefevre 2008b : LEFEUVRE (A.). – *Le Mesnil-Aubry, Le Plessis-Gassot (Val-d'Oise), Le Bois-Bouchard, phase 2 : rapport de diagnostic archéologique du 10 au 31 mars 2008.* Saint-Ouen-l'Aumône : SDAVO ; Saint-Denis : SRAIF, 2008.

Legriël 2010 : LEGRIEL (J.). – *Ile-de-France, Val-d'Oise (95), Champagne-sur-Oise «Les Basses Coutures» : Rapport de diagnostic du 13/09 au 22/09/2010.* Paris : INRAP, SRAIF, 2010.

Malrain et al. 1996 : MALRAIN (F.), GRANSAR (F.), MATTERNE (V.), LE GOFF (I.). – Une

ferme gauloise de La Tène D1 et sa nécropole : Jaux «Le Camp du Roi» (Oise). *Revue archéologique de Picardie*, n° 3-4, 1996, p. 245–306.

Malrain et al. 2002 : MALRAIN (F.), MATTERNE (V.), MÉNIEL (P.). – *Les paysans gaulois (III^e s. – 52 av. J.-C.)*. Paris : Errance, INRAP, 2002.

Méniel 2001 : MÉNIEL (P.). – *Les Gaulois et les Animaux : élevage, repas et sacrifice*. Paris : Errance, 2001.

Navarro-Mussy, Rodriguez 1998 : NAVARRO-MUSSY (M.), RODRIGUEZ (P.). – *Déviation de la RD 64.2 «Orly-Villeneuve-Le-Roi» : document final de synthèse*. Villejuif : Laboratoire départemental d'archéologie du Val-de-Marne ; Paris : SRAIF, 1998.

Pariat 2008 : PARIAT (J.-G.). – L'occupation Hallstatt moyen des «Flaches Ouest» à Frépillon (Val-d'Oise) : Funéraire ou domestique ? *Bulletin archéologique du Vexin français et du Val-d'Oise*, n° 40, 2008, p. 99–104.

Pariat, Garmond 2008 : PARIAT (J.-G.), GARMOND (N.). – *Villiers-le-Bel/Gonesse, déviation de la RD 10/RD 370 : rapport de diagnostic archéologique du 02/06/2008 au 21/06/2008*. Saint-Ouen-l'Aumône : SDAVO ; Paris : SRAIF, 2008.

Pariat 2009 : PARIAT (J.-G.) et al. – *Cergy «ZAC des Linandes» (95), un établissement rural de la fin de l'âge du Fer : rapport final d'opération du 01/09/08 au 29/11/08*. Saint-Ouen-l'Aumône : SDAVO ; Paris : SRAIF, 2009.

Poux 2002 : POUX (M.). – L'archéologie du festin en Gaule préromaine : acquis, méthodologie et perspectives. In : MÉNIEL (P.) dir., LAMBOT (B.) dir. – *Repas des vivants et nourriture pour les morts en Gaule, découvertes récentes de l'âge du Fer dans le massif des Ardennes et ses marges* : actes du xxv^e Colloque international de l'AFEAF, Charleville-Mézières, 24–27 mai 2001. *Mémoire de la Société archéologique champenoise*, n° 16, supplément au bulletin n°1, 2002, p. 345–374.

Séguier 2002 : SÉGUIER (J.-M.). – Un enclos «à banquet» de La Tène finale à Souppes-sur-Loing (Seine-et-Marne). *Archéologie 2002 : actes des journées archéologiques 2002*. Paris : SRAIF, 2002, p. 121–129.

Valais 1994 : VALAIS (A.). – *Herblay (Val-d'Oise). Opérations archéologiques sur l'emprise de la ZAC Olypium : Document Final de Synthèse*. Saint-Denis : SRA Ile-de-France ; Paris : AFAN, 1994.

Villes 2006 : VILLES (A.). – Pitié pour les silos. In : FRÈRE-SAUTOT (M.-C.) dir. - *Des trous... Structures en creux pré- et protohistoriques* : actes du colloque de Dijon et Baume-les-Messieurs, 24–26 mars 2006. Montagnac : Monique Mergoïl, 2006, p. 357–360. (Préhistoires ; 12)

Wabont et al. 2006 : WABONT (M.), ABERT (F.), VERMEERSCH (D.). – *Carte archéologique de la Gaule : Val-d'Oise (95)*. Paris : Académie des Inscriptions et Belles-Lettres, 2006.

Annexe 1

L'industrie lithique

Par

Nicolas Garmond,
Reims Métropole et UMR 7041 –
Équipe Protohistoire Européenne

L'industrie lithique

Par Nicolas Garmond
Reims Métropole
et UMR 7041 – Équipe Protohistoire Européenne

Une rare industrie en silex taillé a été retrouvée lors de la fouille, la plupart des pièces (29 sur 32) provenant de la zone de l'enclos laténien (tab. 1). Tous les éléments ont manifestement été piégés dans les fossés ou les silos. Ainsi, si le silex est frais et peu patiné, les pièces montrent des abrasions et traces de rouille, et sont surtout très fragmentées, signe de leur caractère intrusif dans les structures.

Qui plus est, différentes matières premières sont distinguables, puisque l'on trouve un silex secondaire gris mat à translucide, et un autre silex gris-rose (tertiaire?) de qualité plus médiocre. Ces différentes matières premières pourraient ainsi correspondre à deux industries.

Concernant les techniques de débitage, la « majeure » partie de la série correspond à un débitage d'éclats, par percussion dure, mais deux fragments de lame montrent des arêtes régulières pouvant correspondre à un débitage par percussion indirecte (les parties proximales ne sont malheureusement pas conservées).

L'outillage est également peu instructif (fig. 1). Un fragment de lame possède un émoussé d'utilisation, et on compte deux denticulés, un burin, un pic ou ciseau sur éclat naturel, et un éclat retouché.

Cette série, intrusive, est attribuable à un voir plusieurs horizons néolithiques, sans que les éléments ne soient suffisamment discriminants pour pouvoir en dire plus long. On peut cependant supposer l'existence d'un site néolithique dans les environs proche de l'enclos laténien.

Tab. 1 : Inventaire du mobilier lithique de Villiers-le-Bel

Structure	Sondage	Z	Matière première	Eclat	Type	Type outil	Commentaires
F200	Décapage bordure NO		Silex secondaire gris	Frais	Eclat		
F200	Décapage nord		Silex gris-rose (tertiaire?)	Frais	Esquille		
F200	Angle SO	10	Silex secondaire	Frais	Esquille		
F200		-60	Silex gris-rose (tertiaire?)	Frais	Eclat		
F200	1	40 à -50	Silex secondaire indet	Frais	Esquille		
F200	2	40 à -60	Silex secondaire gris	Frais	Casson		
F200	2	-50	Silex indet	Patiné	Esquille		
F200	4	60 à -80	Silex secondaire gris-bleu	Frais	Eclat		
F200	14	0 à -20	Silex secondaire gris	Frais	Eclat		
F200	14	60 à -80	Silex secondaire gris moucheté, cortex blanc	Frais	Casson	Polyèdre	
F200	25	Passé 1 démontage	Silex secondaire gris	Frais	Eclat		
F200	25	Passé 1 démontage	Silex indet	Patiné	Esquille		
F200	38	Passé 1 démontage	Silex gris-rose (tertiaire?)	Frais	Eclat		
F200	A	1 à 1,2m	Silex indet	Patiné	Eclat		
F200	AF	Passé 2 -30 à -35	Silex secondaire gris moucheté, cortex blanc	Frais	Eclat		
F200	I	20 à -40	Silex gris-rose (tertiaire?) - Cortex blanc	Frais	Proximal d'éclat		
F200	O	60 à -80	Silex secondaire gris	Patiné	Eclat		
F200	T	20 à -40	Silex indet	Brûlé	Débris thermique		
F200	Y	60 à -80	Silex secondaire indet	Patiné	Eclat	Pic ou ciseau	Distal cassé
F200	Y bis	0 à -20	Silex secondaire gris-bleu	Frais	Eclat	Denticulé	Manque proximal
Hors enclos zone nord		Redécapage 0 à -20	Silex gris-rose (tertiaire?)	Frais	Eclat		
Hors enclos zone nord		Redécapage 0 à -20	Silex gris-rose (tertiaire?)	Frais	Esquille		
Hors enclos zone nord		Redécapage 0 à -20	Silex indet	Patiné	Eclat		
Hors enclos zone nord		Redécapage 0 à -20	Silex indet	Frais	Esquille		
Décapage zone nord H.C.			Silex secondaire gris	Frais	Eclat	Denticulé	
Décapage zone nord H.C.			Silex secondaire gris	Frais	Eclat		Manque partie distale Retouche d'utilisation?
F501		60 à -80	Silex secondaire gris-bleu	Frais	Lame		Cassée- manque dist et prox Debitage par percu ind ou pression?
F504	Moitié nord	Passé 8 -1,4 à 1,6	Silex gris-rose (tertiaire?)	Frais	Eclat	Eclat utilisé	Retouche d'utilisation distale
F504	Moitié nord	-270	Silex secondaire gris-bleu	Frais	Lame	Lame utilisée	Cassée- manque dist et prox Debitage par percu ind ou pression? Retouche latérale d'utilisation et émoussé
Zone funéraire Silo		60 à -80	Silex indet	Brûlé	Débris thermique		
Zone funéraire H.C.			Silex gris foncé moucheté noir	Frais	Eclat		
Zone funéraire F702			Silex secondaire gris	Lustré	Casson		

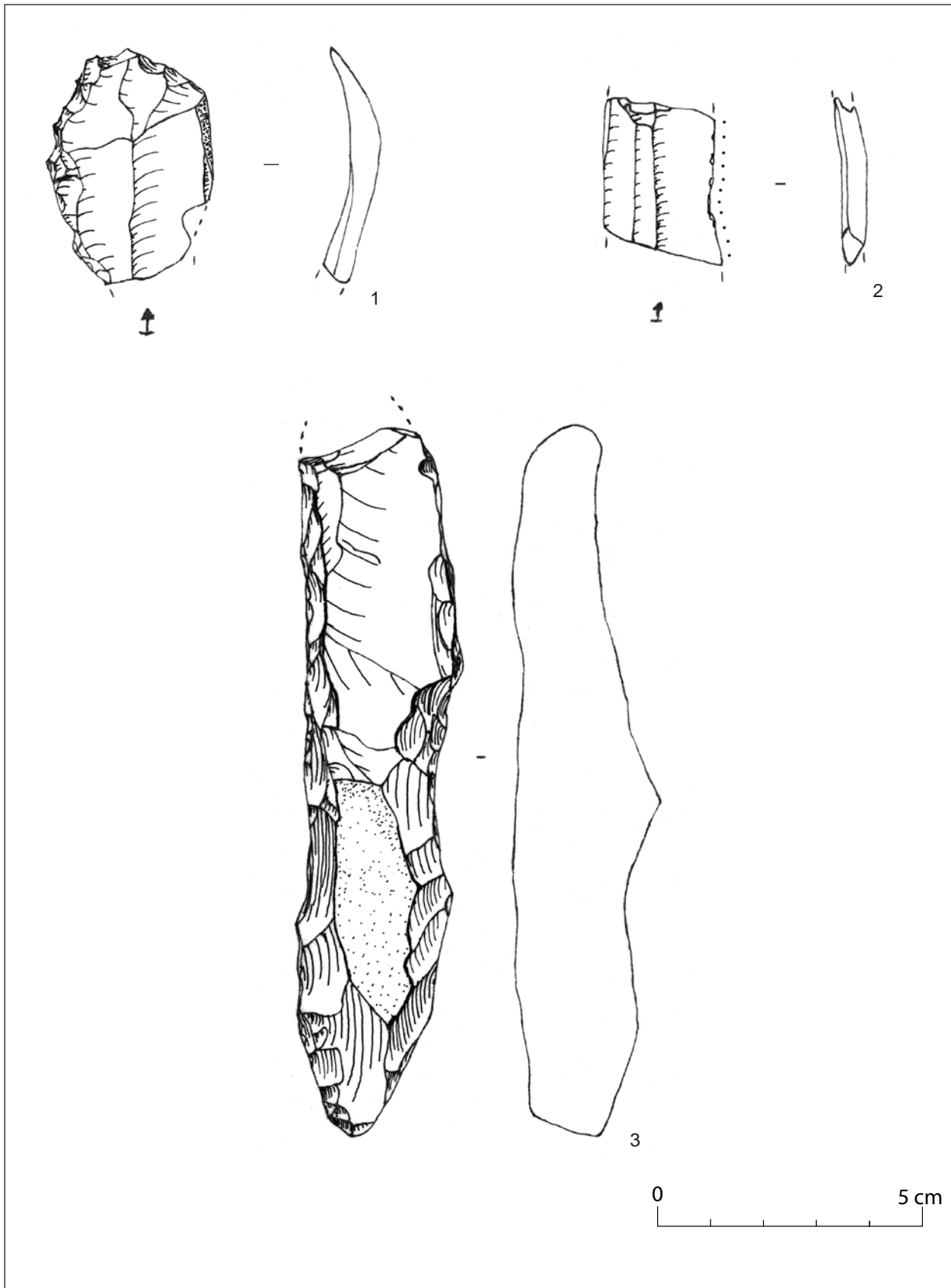


Fig. 1 : Industrie lithique (dessins N. Garmond)

n°1 : Denticulé (F200 S. Ybis. 0 à -20 cm), n°2 : Fragment de lame utilisée (F504 moitié nord, -200 cm),
n°3 : Pic ou ciseau (F200 S.Y -60 à -80 cm).

Annexe 2

Étude du mobilier céramique

Par

**Caroline Laporte-Cassagne
(SDAVO)**

1 Présentation générale du corpus

Le diagnostic et la fouille du site de Villiers-le-Bel «Déviation de la RD 10/RD 370» ont permis de recueillir 6245 fragments de céramique¹, pour un poids total de 59,771 kg et répartis dans 11 structures. Ils ont été inventoriés après remontage, en nombre de fragments (NFR) et en nombre minimum d'individus (NMI), calculés sur les bords additionnés d'éléments susceptibles d'individualiser un récipient non compté au préalable² (fond et anse), soit 567 individus. Le sédiment n'étant pas favorable à une bonne conservation des surfaces des vases, l'état des tessons est variable selon la profondeur de l'enfouissement; en effet, les fragments issus des niveaux supérieurs des structures sont généralement très mal conservés (friables, importante desquamation) tandis que les tessons issus des comblements inférieurs sont relativement moins érodés. Le corpus montre également un taux de fragmentation assez élevé³, soit 0.09. 15 planches réunissant 162 dessins accompagnent cette étude.

1.1 Répartition du mobilier par structures (fig. 1)

La répartition du mobilier est inégale. L'essentiel de la céramique provient du fossé délimitant un enclos de forme trapézoïdale (Fo 200). Il regroupe plus de 87 % du mobilier. De rares structures à fonctions variées, ont été mises au jour à l'intérieur de l'enclos. Trois silos (Si 3, Si 501 et Si 504) ont livré quantité de mobilier céramique bien conservé par rapport au reste du corpus ainsi qu'une fosse (Fs 500) qui a permis de recueillir un petit lot de vaisselle. À l'est de l'enclos, trois fosses (Fs 203, Fs 214 et Fs 241) et deux silos (Si 12 et Si 15) sont assez pauvres

1 Les 26 tessons datés de l'époque moderne ne sont pas pris en compte ici.

2 La comptabilisation des vases répond aux protocoles proposés lors de la Table-Ronde du Mont-Beuvray par P. Arcelin et M. Truffeau-Libre 1998.

3 Le taux de fragmentation est obtenu par la division du nombre d'individus (NMI) par celui du nombre de fragments (NFR).

en mobilier. Lors du diagnostic, le décapage situé à l'ouest de l'enclos a permis de mettre en évidence une structure à fonction indéterminée relativement riche en céramique (St 2).

1.2 Caractéristiques morphologiques (fig. 2, 5 et 6)

Plusieurs catégories de céramiques ont été identifiées; il s'agit de céramiques non tournées qui représentent 71,6 % du corpus, de céramiques tournées (7,4 %), et de céramiques d'importation, exclusivement représentées par des amphores d'origine italique (2,3 %). Un lot de tessons, par son mauvais état de conservation ou la petite taille des fragments, n'a pas pu être identifié et classé dans les catégories citées ci-dessus et a été inventorié en indéterminé; il représente 21,1 % sur l'ensemble du corpus.

La matrice commune aux productions locales est une argile sableuse avec des rajouts de dégraissants d'origine variée. Trois grandes catégories de pâtes ont ainsi été distinguées: les pâtes grossières qui représentent plus de 57 % du corpus⁴ et qui se caractérisent par des céramiques mal cuites et souvent friables avec des inclusions supérieures à 1 mm. Les pâtes mi-fines (plus de 43 % du corpus) sont représentées par des récipients dont la cuisson est peu ou bien maîtrisée et dont les inclusions sont inférieures à 1 mm mais encore visibles à l'œil nu. Enfin, les céramiques fines sont plus rares (2,5 %); elles sont caractérisées par des vases bien cuits et des inclusions invisibles à l'œil nu.

Au sein de ces catégories de pâtes, plusieurs groupes de productions ont été identifiés grâce à la nature et la densité des éléments non plastiques contenus dans la matrice. Ces inclusions sont de quatre origines distinctes, leurs tailles et leurs proportions variant d'un échantillon à l'autre.

Il s'agit de pâtes siliceuses de type quartz présentant des bords arrondis plaçant en faveur d'une présence naturelle de ces éléments dans la pâte⁵. Elles sont majoritaires sur le site (environ 87 %) et peuvent être fines (2 %), mi-fines (43 %) et grossières (48 %). Pour cette dernière catégorie,

4 Pourcentage calculé sur la base des productions locales (hors importations et indéterminés).

5 Durgeau 2005, p. 55.

N° Structure	Identification	NFR	NMI	Total	Total en % sur l'ensemble du corpus
200	fossé enclos	4988	465	5453	87,95%
203	fosse	2		2	0,03%
214	fosse		1	1	0,01%
241	fosse	1		1	0,01%
500	fosse	19		19	0,30%
501	silo	133	31	164	2,64%
504	silo	232	53	285	4,59%
2 (diag)	indéterminée	145		145	2,33%
3 (diag)	silo	75	9	84	1,35%
12 (diag)	silo	20	3	23	0,37%
15 (diag)	silo	20	3	23	0,37%
Total		5635	565	6200	100 %

Fig. 1 : Répartition du mobilier par structures (*les fragments hors contextes et modernes ne sont pas pris en compte, soit 71 tessons*).

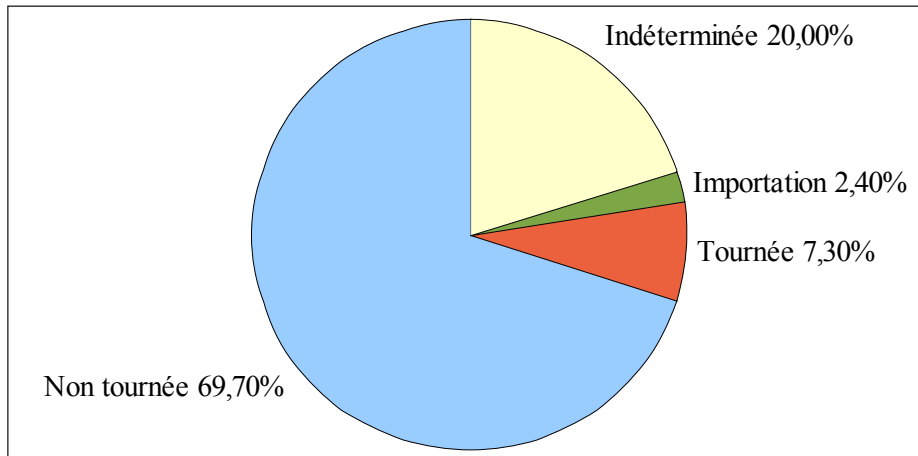


Fig. 2 : Répartition des catégories de céramiques.

certains fragments observés sous la loupe bino-culaire présentent également de nombreuses vacuoles (inférieures à 1 mm) correspondant à des éléments végétaux brûlés.

Le second groupe de production est caractérisé par des éléments de céramiques pilées, dits chamottes. La présence de chamotte facilite le séchage et évite les déformations et les fentes, qui se retrouvent souvent après la cuisson, lors de la réalisation d'objets plus ou moins volumineux. Cette pâte peut être grossière (7 %) ou plus rarement mi-fine (moins de 1 %). Certains fragments à pâte chamottée présentent également de nombreuses vacuoles de petites tailles (inférieures à 1 mm).

Le troisième groupe de production, faiblement représenté, est défini par la présence d'éléments blancs très friables au doigt et réactifs à l'acide. Il s'agit d'éléments calcaires dit coquillés. Les pâtes peuvent être grossières (0,7 %) ou mi-fines

(0,1 %).

Enfin, le dernier groupe de production est également rare dans le corpus. Il s'agit de pâte sableuse présentant des nodules blancs crayeux calcaires assez durs à l'ongle mais réactifs à l'acide. Les pâtes peuvent être grossières (0,4 %) ou mi-fines (0,3 %).

1.2.a La céramique non tournée

La céramique non tournée est représentée par 4354 tessons, soit un peu moins de 70 % de l'ensemble du corpus⁶. Elle est généralement montée aux colombins. En effet, la présence de changements d'épaisseur sur l'ensemble des récipients souligne l'utilisation de cette technique, ainsi que l'existence de cassures préférentielles au niveau des jonctions identifiées comme étant

⁶ Le nombre des fragments indéterminés et hors contextes sont pris en compte ici.

des zones de faiblesses. Néanmoins, la partie supérieure de certains vases a fait l'objet d'une reprise au tour rudimentaire, de type tournette, afin de régulariser la paroi et les bords.

Les vases non tournés sont essentiellement cuits en atmosphère réductrice de type B primitif (céramiques à cœur rouge, beige ou sombre et présentant de nombreuses traces de coup de feu sur les deux faces, elles-mêmes variant du sombre au marron et au beige/orangé).

Les deux principaux types de pâtes utilisés sont grossières et mi-fines sableuses. Elles représentent respectivement 45,8 % et 34 % des pâtes sur l'ensemble du corpus. Quatre autres types de pâtes faiblement représentées ont été distingués ; il s'agit de pâtes grossières (0,3 %) ou mi-fines (0,3 %) sablo-calcaires et de pâtes grossières (0,7 %) ou mi-fines (0,1 %) coquillées.

Les traitements de surfaces sont variables.

Les surfaces externes et internes des vases à pâte grossière sont généralement régularisées avant la cuisson à l'aide de touffes végétales qui laissent des traces caractéristiques dans la pâte (stries irrégulières). Ce traitement confère aux vases un aspect rugueux au toucher et mat à l'œil (fig. 3). De plus, certains vases à pâte grossière ont également été lissés sur leurs deux faces attribuant ainsi un aspect plus glabre au toucher. Enfin, quelques exemplaires présentent une face interne intégralement polie (fig. 3) accordant au récipient une certaine étanchéité, la surface ne présentant plus un aspect poreux (vocation fonctionnelle du vase). Quelques rares exemplaires de vases à pâte grossière présentent un décor « crépissé » très caractéristique (fig. 3). Il s'agit d'une surface externe présentant de nombreuses aspérités ainsi que quelques grains de quartz. Il ne semble pas s'agir d'une projection

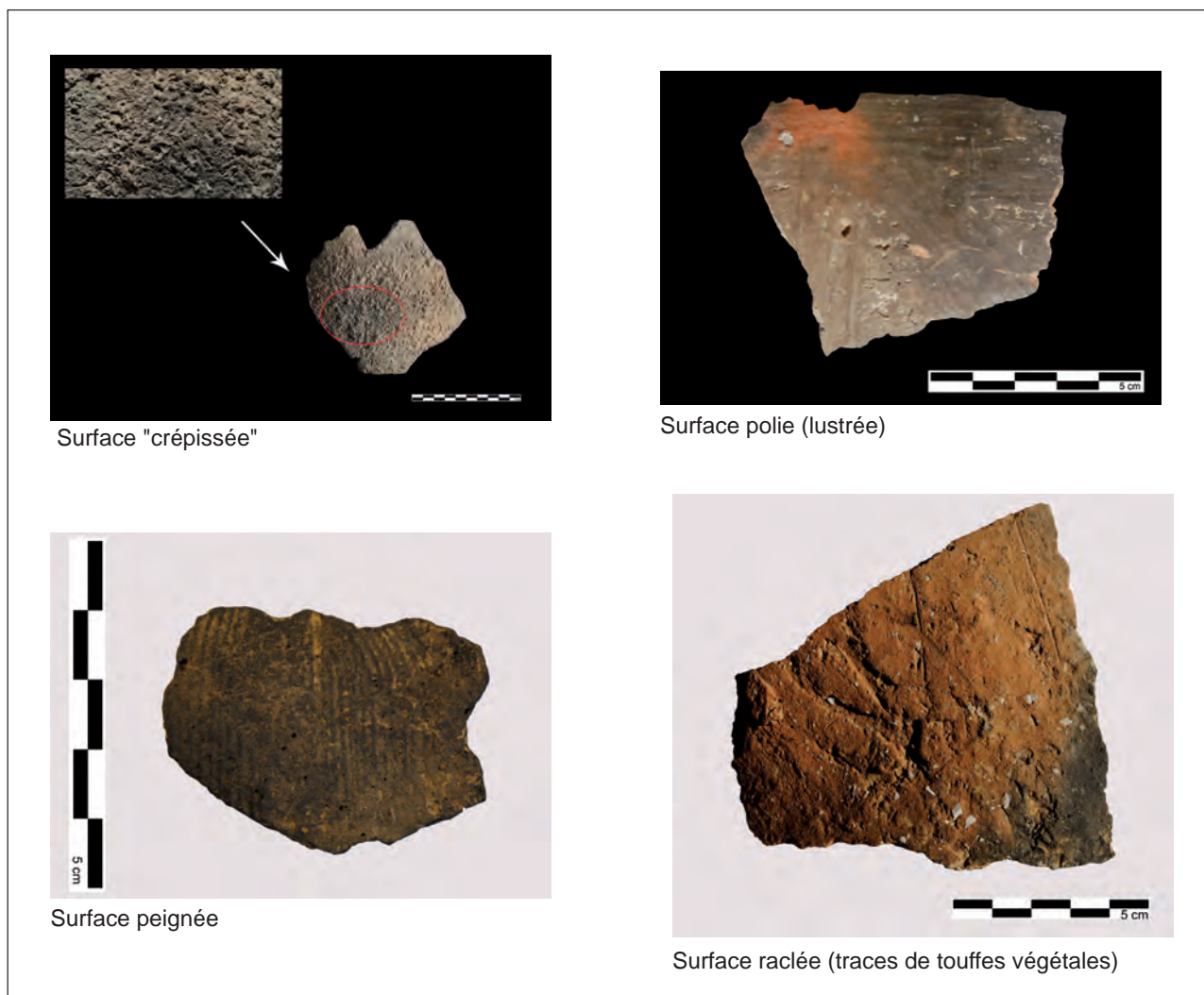


Fig. 3 : Quelques exemples de traitements de surfaces.

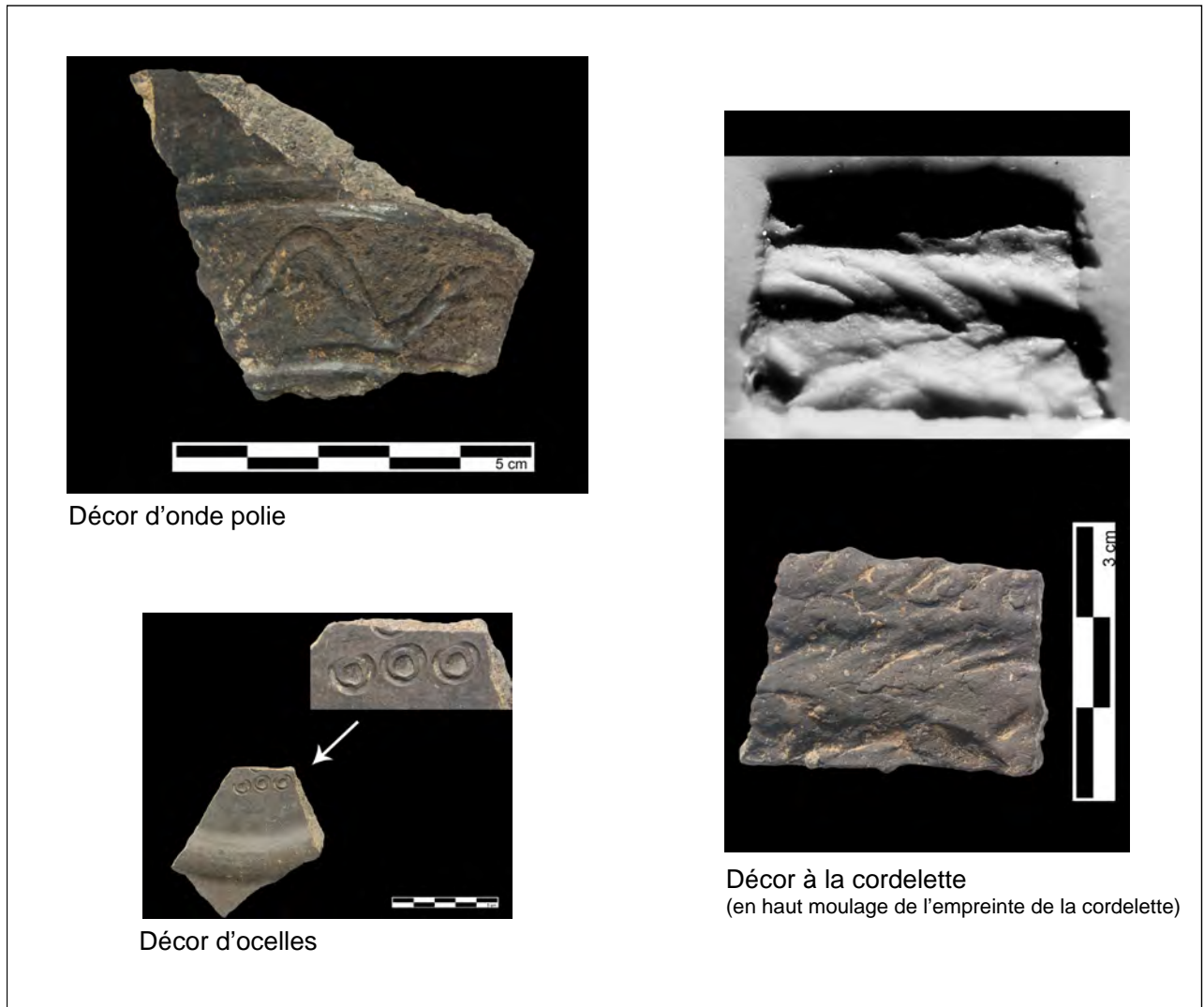


Fig. 4 : Quelques exemples de décor.

de barbotine sur le récipient⁷, mais nous ignorons encore cette technique de traitement de surface. Elle semble néanmoins être liée à l'impression du vase encore humide sur une surface très granuleuse type grès quartzites, abondant dans la région, et qui expliquerait la présence de grains de quartz piégés lors de cette impression.

Les vases à pâte mi-fine ont reçu des traitements de surfaces variés, ces derniers pouvant être à la fois à vocation décorative et fonctionnelle. En effet, certains vases ont été intégralement lustrés sur leurs deux faces (étanchéité du récipient). La partie supérieure des faces internes et externes de nombreux exemplaires (lèvre et col) est très souvent lustrée avec soin conférant au vase un aspect brillant à l'œil et très doux au toucher, quasi savonneux. La partie inférieure est généralement lissée voire raclée (assez frustre et

⁷ Durgeau 2005, p 83-84.

rugueux au toucher).

Les décors observés sont principalement des incisions ou des décors au brunissoir. Ces derniers sont réalisés après séchage des vases et consistent à frotter la paroi à l'aide d'un outil en pointe-mousse qui confère à la surface polie un aspect très doux et brillant. Les formes de ces décors sont de larges ou fines bandes polies horizontales, des ondes polies (fig. 4) et des lignes obliques. Les incisions sont quant à elle, réalisées sur pâte encore humide, après le montage du vase, à l'aide d'un outil pointu ou de l'ongle. Les formes sont oblongues ou arrondies et sont principalement situées à la liaison entre le col et la panse. Des décors au peigne ont également été identifiés, réalisés sur pâte humide (fig. 3). Enfin, deux décors d'impression réalisés par application d'un outil sur la paroi du vase avant cuisson ont été mis au jour. Le premier présente des petites lignes obliques de part et d'autre d'une

Catégorie	Sous-catégories (*)	NFR	Total catégorie	% (*) dans catégorie	% (*) dans corpus	% total dans corpus
Non tournée	grossière sableuse	2266	4354	52 %	36,50 %	69,7 %
	grossière coquillée	37		0,80 %	0,60 %	
	grossière chamotée	340		7,70 %	5,50 %	
	grossière sablo-calcaire	18		0,40 %	0,30 %	
	mi-fine sableuse	1670		38,35 %	27 %	
	mi-fine coquillée	6		0,10 %	0,09 %	
	mi-fine sablo-calcaire	17		0,40 %	0,30 %	
Tournée	grossière sableuse	5	456	1 %	0,08 %	7,3 %
	mi-fine sableuse	329		72 %	5,30 %	
	mi-fine chamotée	3		0,65 %	0,04 %	
	fine sableuse	113		24,80 %	1,80 %	
	noire à pâte rouge (NPR)	6		1,30 %	0,09 %	
Importation	Amphore italique		146			2,4 %
Indéterminée			1246			20 %

Fig. 5 : Répartition des groupes de productions de céramique.

large bande verticale et semble avoir été réalisé à l'aide d'un outil (de type peigne?) appliqué sur le vase encore humide. Le deuxième décor, très original et rare en Ile-de-France, représente une série d'ocelles situées sur un probable fond d'un vase repris à la tournette (fig. 4). Ce type de décor est largement répandu sur les sites de l'Armorique⁸ datés dès la transition de La Tène ancienne et de La Tène moyenne. Quelques exemples sont également connus sur le site de Bourges⁹ et datés de La Tène finale. Un fragment portant ce type de décor a cependant été mis au jour sur un site francilien, à La Grande Paroisse¹⁰ (77) «Les Rimelles Ouest», mais la chronologie n'a pu être précisément distinguée dans le *continuum* du Bronze final à La Tène finale.

1.2.b La céramique tournée

La céramique tournée est représentée par 456 tessons, soit un peu plus de 7 % sur l'ensemble du corpus. Elle est majoritairement cuite en atmosphère réductrice de type B assez bien maîtrisée (cœur et surfaces sombres à grises, ou cœur rougeâtre et surfaces noires).

Les principales pâtes utilisées sont mi-fines et fines sableuses. Les pâtes mi-fines sont caractérisées par l'emploi d'un dégraissant d'origine sableuse réparti de manière hétérogène dans la

pâte et dont les nodules sont supérieurs à 1 mm. Les pâtes fines utilisent un dégraissant sableux homogène, épuré et invisible à l'œil nu. Deux autres catégories de pâtes, rares dans le corpus, complètent les groupes de productions des vases tournés. Il s'agit de pâte grossière sableuse et mi-fine chamottée (moins de 1 %). Enfin, une autre sous-catégorie de pâte a été mise en évidence ici. Il s'agit de céramiques noires à pâte rougeâtre (NPR) très répandues en Ile-de-France¹¹ et caractérisées ici par une pâte mi-fine sableuse homogène (dégraissant plus gros et moins homogène que dans la NPR fine et parois plus épaisses). Les traitements de surfaces sont très souvent le lissage, en particulier pour les pâtes mi-fines et fines sableuses. Quelques exemplaires ont été polis sur leur face externe. Les céramiques NPR sont également lissées.

Les décors ne sont pas très variés. Ils consistent en un décor de baguette située principalement sur le haut de la panse, mais également des petites bandes polies horizontales ou parfois obliques. Un décor de rainure a également été identifié.

1.2.c Les importations

Les amphores représentent un peu plus de 2 % du corpus avec 146 fragments. Il s'agit d'amphores italiennes produites sur la côte tyrrhénienne de l'Italie et caractérisées par une pâte sableuse à inclusions noires d'origine volcanique. Cette

8 Giot 1976, p. 785 et Daire 1992, p. 178-180.

9 Augier 2008, p. 87.

10 Marion 2004, vol. 2, p. 881.

11 Jobelot, Vermeersch 1993, p. 45 et p. 49.

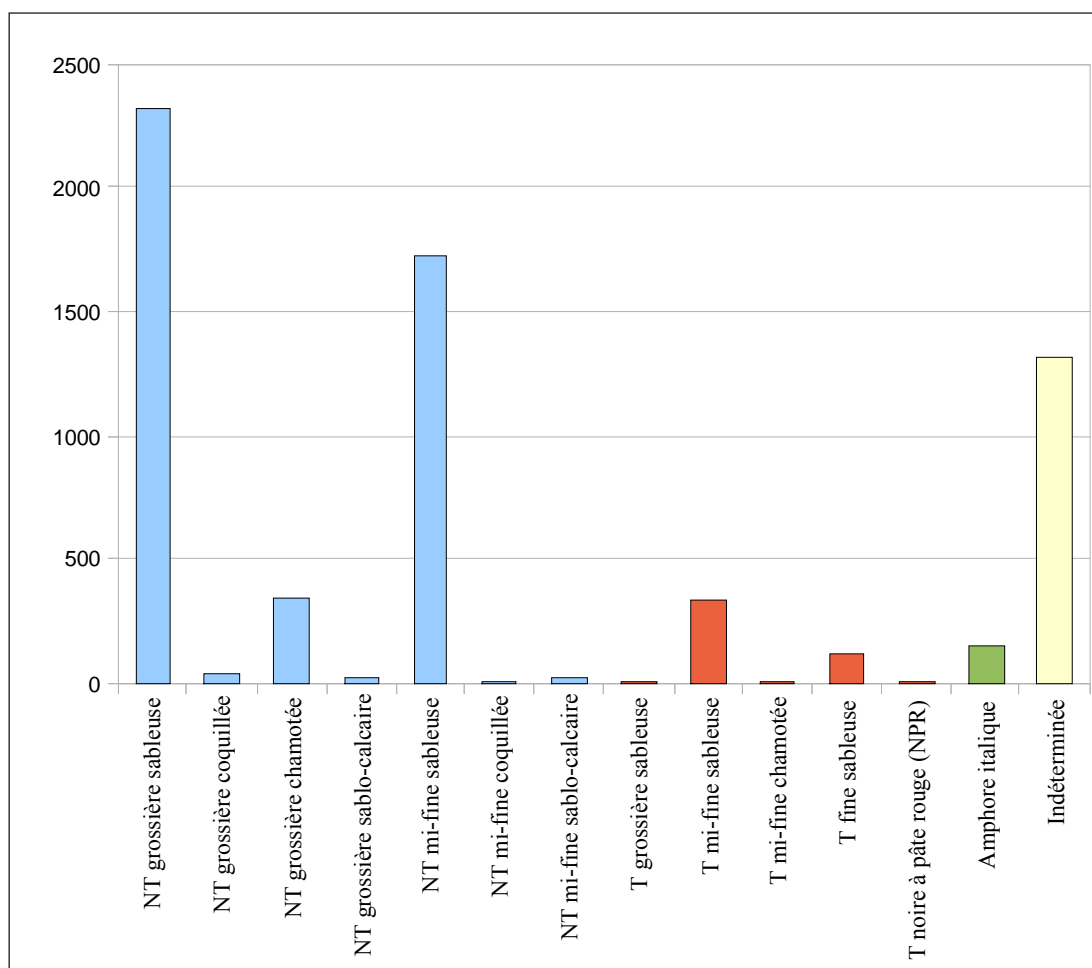


Fig. 6 : Répartition des groupes de productions en NFR.

catégorie est généralement considérée comme dévolue au transport du vin¹².

1.2.d Les traces d'utilisations (fig. 7 et 8)

Plusieurs traces d'utilisations ont été observées, permettant ainsi une première approche fonctionnelle des vases. Un faible lot de tessons présente des petites perforations pratiquées après la cuisson des vases. La question de savoir quelle était l'utilité de ces trous reste entière. Cependant, l'observation à la loupe binoculaire a permis de mettre en évidence des traces d'usure (sorte de polissage) autour des perforations permettant de suggérer le passage de liens (fixation d'un couvercle en bois, vannerie ou cuir?¹³). Cette technique est souvent identifiée comme de la réparation, qui peut marquer une volonté de réutiliser de la vaisselle à des fins économiques.

12 Py 1993, p. 20.

13 Daire 1992, p. 178-179 fig. 54.

Un second type de stigmatisme observé est caractérisé par une desquamation de la surface interne de certains récipients, essentiellement des vases à provisions. Ce type de trace peut correspondre au stockage de denrées acides telle que de la saumure. En effet, ce contenant provoque une exfoliation importante des surfaces se trouvant à son contact¹⁴.

Des dépôts d'origine calcaire (dépôt blanchâtre formant une fine pellicule friable à l'ongle) ont également été identifiés sur certaines faces internes des tessons et disposés sous la lèvre. Ces dépôts sont vraisemblablement liés au chauffage prolongé d'eau dont le calcaire forme une couche de calcin¹⁵. Ces traces demeurent néanmoins peu nombreuses.

Un dépôt de carbonisation a également été identifié (fig. 7). Il s'agit d'un dépôt de couleur noir à beige qui se détache en croûtes. Cette carbonisation n'est pas fixée dans la pâte mais

14 Malrain *et al.* 2006, p. 140, fig. 99.

15 Malrain, Pinard 2006, p. 138.

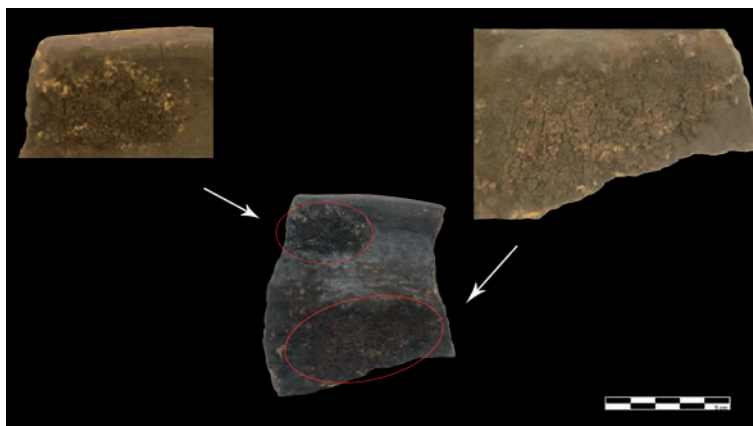


Fig. 7 - Traces de caramel alimentaire



Fig. 8 - Traces d'enduit noir (goudron? coulure alimentaire?)

elle résulte de la transformation d'une matière en charbon, sous l'effet de la chaleur. Elle est généralement appelée «caramel alimentaire», mais ces résidus peuvent également être des restes de matière non comestible telle de la résine¹⁶.

Enfin, la surface externe de certains tessons présente une fine couche de couleur noire, généralement située sur la partie supérieure des vases (fig. 8). La nature de cet enduit n'est pas pleinement identifiée, mais il pourrait s'agir d'un enduit résineux ou d'un goudron de bois conférant une certaine imperméabilité au vase¹⁷. Ces traces, lorsqu'elles se situent sur la partie

supérieure des parois extérieures, ont également été interprétées comme des phénomènes de coulées venant de l'embouchure. Ces dépôts, alors liés à la cuisson, pourraient être produits par le dépôt de carbone lessivé après débordement d'un liquide porté à ébullition¹⁸.

2 Étude typo-chronologique du corpus

Les diverses études céramologiques sur l'âge du fer s'accordent généralement à distinguer deux grands groupes de formes de vases; les formes ouvertes (récipients qui présentent un diamètre maximal de la panse égal ou inférieur à celui de

16 Gaodefroy *et al.* 2006, p. 138.

17 Malrain, Pinard 2006, p. 138-140.

18 Robert 1994, p. 311.

l'ouverture) et les formes fermées (récipients qui présentent un diamètre maximal de la panse supérieur à celui de l'ouverture). Au sein de ces deux familles, l'étude morphologique s'appuie également sur la hauteur des récipients par rapport à leur diamètre maximal. Ainsi, ont été distinguées les formes basses (hauteur du vase inférieure au diamètre maximal) et les formes hautes (hauteur du vase supérieure au diamètre maximal).

Il a donc été établi, à partir de ces catégories, une typologie des formes de vases en tenant compte de la morphologie des panses, des cols et des bords (voire des fonds lorsque le vase est complet). Ce classement prend en compte uniquement les formes qui sont clairement identifiables, certains fragments par leurs faibles dimensions ne permettant pas un regroupement typologique satisfaisant. Cette étude s'appuie donc sur 133 formes jugées acceptables au regard de notre démarche. Une fois les formes des vases déterminées, elles sont comparées aux sites régionaux et contemporains du corpus afin d'établir la chronologie du site.

2.1 Les formes basses ouvertes (fig. 9)

Les formes basses ouvertes sont les plus représentées dans le corpus avec 80 vases reconnus, soit 60 % sur l'ensemble des formes distinguées. Cinq grands types de formes basses ouvertes ont été identifiés. Il s'agit de formes basses ouvertes tronconiques (panse en forme de tronc de cône), convexes (panse courbe et arrondie vers l'extérieure), carénées (panse discontinue marquée par une carène plus ou moins anguleuse), cylindrique (panse en forme de cône) et cylindro-conique (partie supérieure de la panse en forme de cylindre et inférieure en forme de cône).

2.1.a Les formes basses ouvertes tronconiques (FBO 1)

16 vases appartenant à cette catégorie ont été mis au jour, soit 12 % sur l'ensemble du corpus dessiné. Il s'agit essentiellement de jattes, de

dimensions variables (entre 16 et 30 cm de diamètre) et d'une faisselle.

FBO tronconique à bord en bourrelet pincé FBO 1.1 : cinq exemplaires ont été recueillis. Il s'agit de vases non tournés à pâte grossière ou mi-fine sableuse dont quatre présentent les deux faces intégralement polies (le dernier exemplaire présentant les deux faces lissées). Le bord est pincé (traces de l'ongle sur la face interne) et forme parfois un petit bourrelet. Aucun décor particulier n'a été observé. Les diamètres varient entre 18 et 30 cm. Les vases identifiés correspondent à des jattes de moyens à gros volumes.

Ces jattes tronconiques sont bien connues sur les sites franciliens contemporains du site de Villiers-le-Bel. Des comparaisons peuvent être effectuées notamment sur le site de «La Vache à l'Aise» à Bobigny (93)¹⁹, en particulier dans le fossé de la phase 2 couvrant la fin de La Tène C1 et le début de La Tène C2. D'autres comparaisons peuvent être établies avec les sites de Meulan (78) «L'Île-Belle» ou de Villiers-le-Sec «La Place de la Ville» (95)²⁰ sur lesquels ces formes sont attestées jusqu'à la transition de La Tène C2/D1.

FBO tronconique à bord droit pincé FBO 1.2 : Trois exemplaires non tournés ont été mis au jour. Deux sont à pâte mi-fine sableuse et un à pâte grossière sableuse. Les deux faces sont soit polies, soit lissées. Aucun décor n'a été observé. Les diamètres varient entre 13 et 27 cm. Il s'agit de jattes de moyen à gros volume.

FBO tronconique à bord aplati FBO 1.3 : Trois exemplaires non tournés ont été identifiés. Deux sont à pâte grossière sableuse et un à pâte mi-fine sableuse et les deux faces sont toutes lissées. Aucun décor n'a été observé. Il s'agit de jattes de moyen à gros volume, les diamètres variant entre 17 et 27 cm.

FBO tronconique à bord droit arrondi FBO 1.4 : Trois vases non tournés ont été recueillis. Deux sont à pâte mi-fine sableuse, un à pâte grossière sableuse, et les surfaces sont toujours lissées.

¹⁹ Marion 2004, vol. 2, p. 695.

²⁰ Marion 2004, vol. 2, p. 957 et p. 1099.

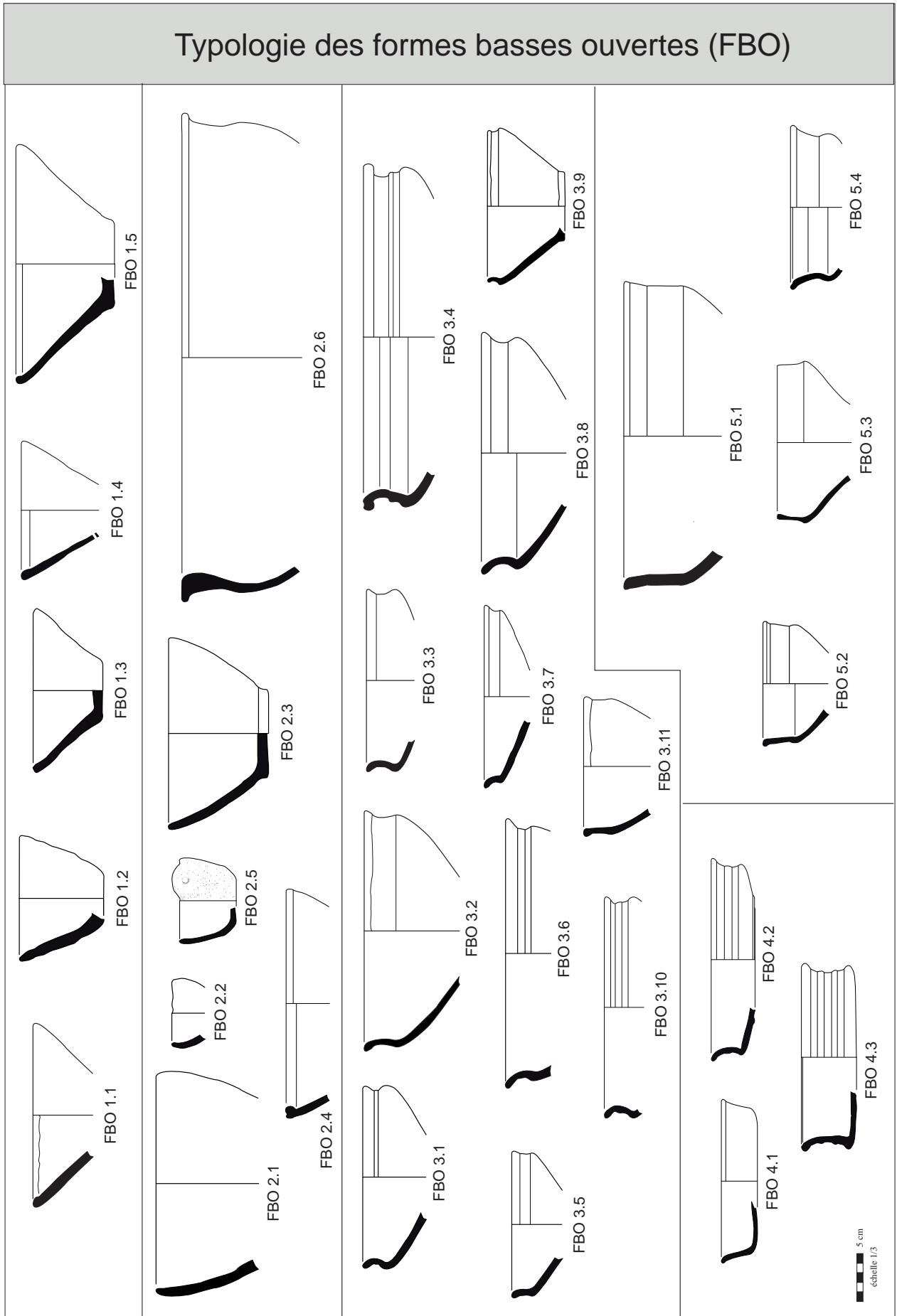


Fig. 9 : Typologie des formes basses ouvertes.

Aucun décor n'a été réalisé. Deux exemplaires correspondent à des jattes de gros volume (diamètre compris entre 28 et 30 cm) et le dernier correspond à une faisselle, identifiable aux perforations caractéristiques sur le fond du vase (diamètre de 11,5 cm).

FBO tronconique à bord rentrant en bourrelet arrondi FBO 1.5: Trois récipients non tournés ont été mis au jour, dont deux à pâte mi-fine sableuse et un à pâte grossière sableuse. Deux exemplaires présentent les surfaces lissées et le dernier a été poli sur ces deux faces conférant ainsi une certaine étanchéité. Les diamètres sont compris entre 13 et 25 cm, correspondant à des jattes de moyen volume.

Cette forme est comparable aux productions issues du site de «La Lampe» à Fontenay-en-Parisis²¹ (95) et datées de La Tène C1/C2.

2.1.b Les formes basses ouvertes convexes (FBO 2)

16 vases ont été identifiés, soit 12 % sur l'ensemble des formes reconnues. Il s'agit essentiellement de jattes et/ou écuelles, de tasses, de vases de stockage (jarre) et de probables couvercles, de dimensions variables (entre 5 et 52 cm de diamètre).

FBO convexe à bord droit pincé FBO 2.1: Trois exemplaires ont été observés. Il s'agit de vases non tournés à pâte mi-fine sableuse et surfaces lissées. Aucun décor n'a été réalisé. Deux exemplaires correspondent à des jattes de moyen volume (diamètre compris entre 20 et 23 cm); le dernier exemplaire correspond à une jatte ou écuelle miniature modelée au doigt (nombreuses traces de digitations) de très petit volume (5 cm de diamètre).

Ce type de jatte convexe est comparable aux productions franciliennes (Bobigny, «la Vache à l'Aise») et picardes de la vallée de l'Oise (Jaux, «Le Camp du Roi») datées dès La Tène moyenne mais semblent davantage se développer au cours de La Tène finale²².

FBO convexe à bord droit en bourrelet arrondi FBO 2.2: Quatre vases ont été identifiés. Ils sont tous non tournés, trois sont à pâte mi-fine sableuse et un est à pâte grossière sableuse. Trois exemplaires présentent des surfaces lissées et un vase possède des faces polies. Il s'agit de jattes de petits et moyens volumes, les diamètres étant compris entre 7 et 24 cm. Aucun décor n'a été réalisé.

FBO convexe à bord droit arrondi FBO 2.3: Quatre exemplaires de ce type ont été observés. Un seul récipient semble avoir été repris à la tournette (partie supérieure du vase). Un seul vase est à pâte grossière sableuse, les trois autres sont à pâte mi-fine sableuse. Cependant tous ont fait l'objet d'un polissage sur leurs deux faces, conférant ainsi un aspect brillant et une certaine étanchéité. Les modules sont peu variables, compris entre 17,5 et 20 cm de diamètre. Il s'agit d'écuelles (voire coupelles) destinées vraisemblablement à la présentation/consommation des aliments. Aucun décor n'a été ajouté au vase.

Le vase complet (pl. 7-1) est comparable aux productions trouvées dans le fossé de l'enclos principal du site «Les Fontaines» à Herblay²³ (95) daté de La Tène D1b/D2.

FBO convexe à bord en bourrelet à gorge sommitale FBO 2.4: Seuls deux exemplaires ont été mis au jour sur le site. Ils sont tous les deux non tournés, à pâte mi-fine sableuse et présentent un diamètre de 24 cm. Les deux faces internes ont été lissées et un exemplaire présente une surface externe polie. Il s'agit de jatte probablement destinée à recevoir un couvercle, elles-mêmes; cependant la fragmentation importante des tessons ne nous permet pas d'affirmer cette hypothèse. Ces deux formes de jattes ou couvercles sont connues sur les sites franciliens, en particulier à Bobigny²⁴, «La Vache à l'Aise» dans un fossé daté de LTC2.

FBO convexe à bord droit pincé et anse de préhension/suspension FBO 2.5: Un seul individu a été mis au jour dans le corpus. Il

21 Daveau, Yvinez 2001, p. 77.

22 Malrain *et al.* 1996, p. 267.

23 Marion 2002, vol. 2, p. 821.

24 Marion 2002, vol. 2, p. 714.

s'agit d'un récipient de petit module (9 cm de diamètre) non tourné à pâte mi-fine sableuse portant de nombreuses traces de digitations sur sa face interne (modelage). Les surfaces sont lissées et la caractéristique du vase demeure dans le renflement porté sur le bord et perforé d'un trou portant des traces d'usure (passage d'un lien ?). Il s'agit d'une petite tasse.

Cette forme, assez inédite, semble appartenir à un horizon plus ancien. En effet, la seule comparaison trouvée se situe dans la vallée de l'Aisne, à Villiers-en-Prayère «Les Mauchamps» et daté de La Tène ancienne²⁵.

FBO convexe à col cylindrique et bord triangulaire FBO 2.6: Deux récipients ont été distingués. Il s'agit de jattes/jarres de grandes dimensions (diamètres compris entre 46 et 52 cm), non tournées à pâte grossière sableuse. Les deux faces sont lissées et aucun décor n'a été observé. Il peut s'agir de vases destinés au stockage des denrées.

2.1.c Les formes basses ouvertes carénées (FBO 3)

Il s'agit des formes les plus représentées dans le corpus avec 41 individus identifiés, soit 30 % sur l'ensemble des formes reconnues. Deux types de formes carénées ont été identifiés; les profils en «S» et les profils anguleux. Les vases identifiés correspondent à des jattes et des jarres (jattes de grandes dimensions) dont les diamètres varient entre 5 et 34 cm.

FBO carénée à profil en «S», col court et bord en bourrelet déversé FBO 3.1: Huit individus ont été recueillis. Ils sont presque tous à pâte mi-fine sableuse, un seul exemplaire étant à pâte grossière sableuse. Sept sont non tournés, cinq formes ont fait l'objet d'une reprise à la tournette sur la partie supérieure de la panse et un seul exemplaire est tourné intégralement. Les traitements de surfaces sont en majorité le lissage; un seul vase est entièrement polie et présente un décor de baguette. Les volumes sont moyens, compris entre 17 et 24 cm de diamètre.

Cette forme de jatte, en particulier les exemplaires tournés, sont comparables aux productions

franciliennes et picardes de la vallée de l'Oise (Jaux, «Le Camp du Roi»²⁶) est sont datées de la fin de La Tène C2 et de La Tène D1. Un exemplaire appartient également aux productions de NPR et semble correspondre à la forme précoce du type 130²⁷ (jatte dérivée des formes laténiennes) qui apparaît dès la moitié du 1^{er} siècle av. J.-C. (pl. 11-4).

FBO carénée à profil en «S», col droit et haut et bord en bourrelet déversé FBO 3.2: Quatre vases ont été mis au jour. Un seul exemplaire a fait l'objet d'une reprise à la tournette, les autres étant non tournés. Les pâtes sont toutes mi-fines sableuses. Deux vases sont intégralement polis, un présente des faces lissées et le dernier exemplaire a fait l'objet d'un polissage interne et d'un lissage sur sa face externe. Ce dernier possède un décor de bandes, d'ondes et de chevrons polis réalisés à la point-mousse. Il s'agit de jattes de grands volumes, ou jarres, dont les diamètres varient entre 24 et 31 cm.

Ces types de grandes jattes, ou jarres, se rencontrent dès La Tène C1, en particulier sur le site de «La Lampe» à Fontenay-en-Parisis²⁸ (95) ou celui de «La Vache à l'Aise» à Bobigny²⁹ (93) et perdurent jusqu'à La Tène C2.

FBO carénée à profil en «S», col droit et bord déversé arrondie FBO 3.3: trois vases ont été mis au jour; ils ont tous non tournés, mais un exemplaire a été repris à la tournette. Les pâtes sont toutes mi-fines sableuses et les surfaces sont polies ou lissées intégralement. Un seul exemplaire présente un décor de chevrons et ligne horizontale polie à la pointe-mousse. Les diamètres varient entre 19 et 34 cm.

Cette forme de jatte carénée, en particulier la jatte décorée trouve également des comparaisons sur le site de «La Lampe» à Fontenay-en-Parisis³⁰ mais également sur les sites de l'Oise, en particulier sur la nécropole de Tartigny³¹ datée du III^e siècle av. J.-C.

26 Malrain *et al.* 1996, p. 270.

27 Jobelot, Vermeersch 1993, p. 38.

28 Daveau, Yvinec 2001, p. 80.

29 Marion 2004, vol. 2, p. 686.

30 Daveau, Yvinec 2001, p. 79.

31 Massy *et al.* 1986, p. 33.

25 Hénon *et al.* 2002, p. 51.

FBO carénée à profil en «S», col droit mouluré et bord déversé avec rainure sommitale FBO 3.4: Un seul individu a été mis au jour. Il s'agit d'un vase intégralement tourné, dont la cuisson a été assez bien maîtrisée (surfaces noires homogènes). La pâte est mi-fine sableuse et les surfaces sont polies. Un décor de baguette a été réalisé sur le col conférant un aspect mouluré et la lèvre présente une rainure sommitale. Il s'agit également d'un vase de grand volume, le diamètre étant de 36 cm à l'ouverture.

FBO carénée à carène peu anguleuse, col droit et bord déversé arrondi FBO 3.5: quatre vases non tournés ont été recueillis. Deux sont à pâte grossière sableuse et deux sont à pâte mi-fine sableuse. Les surfaces sont majoritairement lissées, un seul exemplaire présente des faces polies. Aucun décor n'a été observé. Il s'agit de jattes de petits volumes à très petits volumes, les diamètres étant compris entre 5 et 16 cm.

Cette forme apparaît sur les sites franciliens dès La Tène moyenne et perdure jusqu'au début de La Tène finale.

FBO carénée à carène peu anguleuse, col court et bord déversé arrondi FBO 3.6: Trois vases ont été identifiés. Deux sont non tournés et un vase a été repris à la tournette. Les pâtes sont mi-fines sableuses ou grossière sablo-calcaires et les surfaces sont lissées ou lissées sur la face interne et polies sur la face externe. Aucun décor n'a été réalisé. Il s'agit de jattes de moyens modules, les diamètres étant compris entre 26 et 28 cm.

FBO carénée à carène anguleuse, col court et bord déversé arrondi FBO 3.7: Quatre vases ont été recueillis. Trois sont non tournés et un seul exemplaire a été repris à la tournette. Les pâtes sont mi-fines sableuses ou grossière sableuse (1 individu). Les traitements de surfaces sont variés: lissage, polissage ou lissage sur face interne et polissage sur la face externe. Aucun décor n'a été observé. Il s'agit de jattes de volumes moyens à grands (entre 19 et 34 cm de diamètre).

FBO carénée à carène anguleuse, col haut concave et bord déversé arrondi FBO 3.8: il s'agit de la forme la plus représentée avec

9 individus. Ils sont tous non tournés, seuls trois récipients ont fait l'objet d'une reprise de leur partie supérieure à la tournette. Les pâtes sont mi-fines sableuses, un seul exemplaire est à pâte grossière sableuse. Les traitements de surfaces sont en majorité le lissage, certaines faces sont intégralement polies (2 vases) et un vase présente une face interne lissée et une face externe polie. Aucun décor supplémentaire n'a été réalisé. Il s'agit exclusivement de jattes de petits à moyens volumes (diamètres compris entre 15 et 27 cm).

FBO carénée à carène anguleuse, col court et petit bord en bourrelet arrondi FBO 3.9: Un seul vase, presque complet, non tourné à pâte grossière sableuse a été mis au jour. Les surfaces sont lissées et aucun décor n'a été réalisé. Il s'agit d'une jatte de moyen volume.

Cette jatte peut être comparée aux productions du site de Meulan³² (78), «L'Ile-Belle» daté de la fin de La Tène C1 et du début de La Tène C2.

FBO carénée à carène peu anguleuse, col haut et mouluré et bord déversé FBO 3.10: deux vases, un tourné et un non tourné mais repris à la tournette ont été mis au jour. Les pâtes sont mi-fines sableuses et les surfaces sont soit intégralement lissées, soit lissées interne/polies externe. Aucun décor n'a été réalisé. Il s'agit de jattes de moyens volumes (20 cm de diamètre à l'ouverture).

Cette forme de jatte est comparable aux productions issues du site de Villiers-le-Sec³³ daté de la fin de la fin de La Tène C1 et du début de La Tène C2.

FBO carénée à carène peu anguleuse, col droit et bord en bourrelet pincé FBO 3.11: un seul vase non tourné à pâte grossière sableuse a été identifié. Il s'agit d'une jatte de petit volume avec un diamètre de 13 cm à l'ouverture. Les faces sont lissées à l'intérieur et polies à l'extérieur. Aucun décor n'a été observé.

³² Marion 2004, vol. 2, p. 946.

³³ Marion 2004, vol. 2, p. 1106.

2.1.d Les formes basses ouvertes cylindriques (FBO 4)

Elles sont faiblement représentées avec seulement trois vases identifiés, soit 2 % sur l'ensemble des formes dessinées. Trois formes ont néanmoins été distinguées. Il s'agit de plats à fond très probablement ombiliqué, dont les dimensions varient entre 17 et 20 cm de diamètre.

FBO cylindrique à bord légèrement déversé arrondi FBO 4.1: un seul exemplaire tourné à pâte fine sableuse. Les surfaces sont polies et la cuisson réductrice est bien maîtrisée (surfaces sombres régulières). Le fond semble partir en ombilic. Aucun décor n'a été réalisé. Plat de volume moyen (diamètre de 17 cm à l'ouverture).

FBO cylindrique à panse moulurée et bord déversé FBO 4.2: Un seul vase tourné à pâte mi-fine sableuse a été identifié. Les deux faces ont été lissées et un décor de baguette a été réalisé sur la partie médiane de la panse. Le fond est absent et semble être ombiliqué. Il s'agit d'un plat de dimensions moyennes avec un diamètre de 20 cm à l'ouverture.

Ce plat trouve des comparaisons avec un récipient décoré mis au jour sur le site de Villiers-le-Sec³⁴ et daté de la transition de La Tène C2/D1.

FBO cylindrique à panse moulurée et bord déversé et rainure sommitale FBO 4.3: un seul vase a été recueilli lors du diagnostic. Il est tourné à pâte mi-fine sableuse et les surfaces sont polies. La panse présente une série de deux baguettes ainsi qu'un décor d'ondes et de chevrons polis à la pointe-mousse. Le fond très probablement ombiliqué a disparu. Il s'agit d'un plat de dimensions moyennes, avec un diamètre de 19,5 cm.

Ce plat de qualité technique est similaire au plat découvert à Bobigny «Hôpital Avicenne³⁵» ainsi qu'au plat découvert dans la vallée de l'Oise, sur le site de Verberie, «les Gâts³⁶», tous deux datés de La Tène finale.

34 Marion 2004, vol. 2, p. 1114.

35 Durgeau 2005, p. 98.

36 Gaudefroy *et al.* 2006, p. 135.

2.1.e Les formes basses ouvertes cylindro-coniques (FBO 5)

Quatre vases ont été mises au jour, soit 3 % sur l'ensemble des formes dessinées. Il s'agit de formes présentant une segmentation très distincte de leur profil. En effet, la partie supérieure est en forme de cylindre, et la partie inférieure est en forme de tronc de cône. Les vases identifiés correspondent à des jattes, voire des jarres (jatte de grandes dimensions) aux dimensions variées, comprises entre 13 et 32 cm.

FBO cylindro-conique à col droit et à bord biseauté FBO 5.1: Un seul exemplaire non tourné à pâte grossière sableuse a été mis au jour. La face interne est polie et la face externe a été polie sur sa partie supérieure et peignée sur sa partie inférieure. Il s'agit d'une jatte de grand volume avec un diamètre de 32 cm à l'ouverture. Cette forme unique trouve des comparaisons notamment sur le Plateau de Brie à Bussy-Saint-Georges, daté de la transition de La Tène C2/D1.

FBO cylindro-conique à col droit et bord en petit bourrelet déversé FBO 5.2: Un seul vase repris à la tournette et à pâte mi-fine sableuse a été identifié. Les deux faces sont lisses et aucun décor n'a été observé. Il s'agit d'une jatte de volume moyen avec un diamètre de 13 cm.

Cette jatte trouve des comparaisons avec un exemplaire issu des fouilles de l'Hôpital Avicenne à Bobigny³⁷ (93) daté de La Tène D1b.

FBO cylindro-conique à col légèrement concave et bord droit aplati FBO 5.3: Un seul vase non tourné à pâte mi-fine sableuse a été mis au jour. Les deux faces sont lisses et aucun décor n'a été réalisé. Il s'agit d'une jatte de volume moyen avec un diamètre à l'ouverture de 18 cm.

Cette jatte est comparable aux jattes cylindro-coniques mises au jour sur le site de Bobigny «Hôpital Avicenne³⁸», dans le remplissage de la fosse 122 datée de LTD1b.

37 Marion 2004, vol. 2, p. 668.

38 Marion 2004, vol. 2, p. 668.

FBO cylindro-conique à col concave et bord déversé arrondi et rainure sommitale FBO 5.4: Un vase tourné à pâte mi-fine sableuse a été mis au jour. Il s'agit d'une jatte de volume moyen (17 cm de diamètre) dont les surfaces ont été lissées. Aucun décor n'a été réalisé.

Cette unique forme est noire à pâte rougeâtre (NPR) mais elle ne trouve pas de forme similaire connue. Cependant, la nature du dégraissant indique qu'il s'agit des NPR précoces datées dès la seconde moitié du 1^{er} siècle av. J.-C.

2.2 Les formes basses fermées (fig. 10)

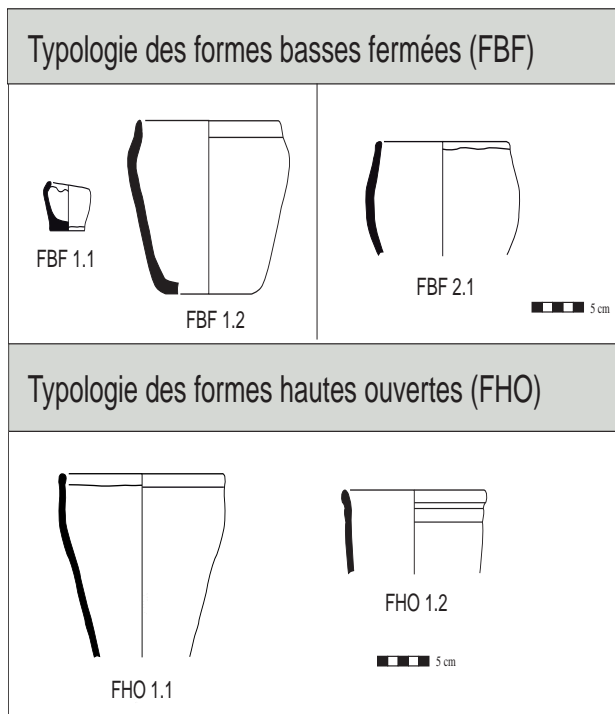


Fig. 10 : Typologie des formes basses fermées (FBF) et hautes ouvertes (FHO).

Les formes basses fermées sont faiblement représentées dans le corpus avec quatre vases reconnus, soit 3 % sur l'ensemble des formes distinguées. Deux types de formes ont été identifiés. Il s'agit de formes basses fermées carénées (panse discontinue marquée par une carène plus ou moins anguleuse) et convexes (panse courbe et arrondie vers l'extérieure).

2.2.a les formes basses fermées carénées (FBF 1)

Deux vases seulement ont été mis au jour soit 1,5 % sur l'ensemble des formes dessinées. Il s'agit d'une jatte miniature et d'une jatte ou pot à cuire de volume moyen.

FBF carénée à col rentrant et bord arrondi FBF 1.1 : un seul vase miniature a été mis au jour. Il s'agit d'une micro-jatte non tournée car modelée à la main caractérisée par de nombreuses traces de digitations. La pâte est mi-fine sableuse et les surfaces sont lisses. Le diamètre à l'ouverture est de 5 cm.

FBF carénée à col concave et bord droit arrondi FBF 1.2 : il s'agit d'un vase complet non tourné à pâte mi-fine sableuse et surfaces lissées. Aucun décor n'a été observé. La forme correspond probablement à un pot à cuire de volume moyen avec un diamètre à l'ouverture de 10 cm.

Ce pot est comparable aux productions issues du site de Magny-en-Vexin (95) «le Champ des Cosaques³⁹», trouvé dans un silo daté de La Tène moyenne.

2.2.b Les formes basses fermées convexes (FBF 2)

Un seul vase a également été mis au jour, soit 1,5 % sur l'ensemble du corpus. Il s'agit d'un bol de volumes moyens avec un diamètre à l'ouverture de 13 cm.

FBF convexe à bord droit aplati FBF 2.1 : le bol est non tourné à pâte grossière ou mi-fine sableuse. Les surfaces sont soit polies soit lissées. Aucun décor n'a été observé.

Cette forme de bol convexe est connue sur les sites de la vallée de l'Oise dès La Tène moyenne, en particulier sur le site de Chevrières «La Plaine du Marais»⁴⁰.

39 Marion 2004, vol. 2, p. 895.

40 Gaudefroy *et al.* 2006, p. 125.

2.3 Les formes hautes ouvertes (fig. 10)

Les formes hautes ouvertes sont très faiblement représentées dans le corpus avec seulement 2 vases reconnus, soit 1,5 % sur l'ensemble des formes distinguées. Une seule forme a été identifiée. Il s'agit d'une forme haute ouverte tronconique (panse en forme de tronc de cône).

2.3.a Les formes hautes tronconiques

Il s'agit de deux formes tronconiques de gabarit et de facture différente.

FHO tronconiques à bord en bourrelet pincé FHO 1.1: l'exemplaire recueilli ici est non tourné à pâte grossière sableuse. La face interne est polie, vraisemblablement dans un souci d'étanchéité du vase. La face externe a été lissée. Il s'agit d'un vase de volume important, si l'on considère le rapport entre sa hauteur et son diamètre maximal.

Cette forme unique dans le corpus peut être comparée aux formes mises au jour sur les sites de la vallée de l'Oise⁴¹ et datées dès la fin de La Tène ancienne (Houdancourt, «Les Esquillons») et qui semblent perdurer à La Tène moyenne (Verberie, «La Plaine d'Herneuse II»).

FHO tronconique à col court et mouluré et bord en bourrelet arrondi FHO 1.2: il s'agit d'une jatte tournée à pâte fine sableuse dont la cuisson réductrice est assez bien maîtrisée (surfaces sombres homogènes). Les surfaces sont lissées et aucun décor n'a été observé. Ce récipient semble être de volume moyen avec un diamètre à l'ouverture de 14 cm.

2.4 Les formes hautes fermées (fig. 11)

Les formes hautes fermées sont bien représentées dans le corpus avec 47 vases reconnus, soit 35 % sur l'ensemble des formes distinguées. Quatre grands types de formes ont été identifiés. Il s'agit

de formes hautes fermées situliformes, ovoïdes (profil en forme d'œuf), globulaires (panse très évasée en forme de globe) et tronconique (panse en forme de tronc de cône).

2.4.a Les formes hautes fermées situliformes (FHF 1)

12 vases appartenant à cette catégorie ont été mis au jour, soit 9 % sur l'ensemble du corpus dessiné. Il s'agit essentiellement de pots à cuire, de dimensions variables (entre 7,5 et 23 cm de diamètre).

FHF situliforme à col resserré droit et bord en bourrelet arrondi FHF 1.1: Six vases ont été mis au jour. Ils sont tous non tournés. Deux exemplaires sont à pâte grossière sableuse et les quatre autres sont à pâte mi-fine sableuse. Les surfaces peuvent être lissées, polies, et deux vases présentent des traitements de surface externe variés : polissage/raclage ou polissage/lissage. Un seul récipient possède un décor d'incisions oblongues situées à la liaison col/panse. Les dimensions sont variées : pots de petit et moyen volume (diamètre compris entre 7,5 et 21 cm). Ces formes de pots sont répandues sur les sites franciliens datés de La Tène moyenne, en particulier sur le site de «La Lampe» à Fontenay-en-Parisis (95)⁴² daté de La Tène C1/C2 et le site de «la Place de la Ville» à Villiers-le-Sec (95)⁴³ dans le fossé de l'enclos principal daté de la fin de La Tène C1 et de La Tène C2.

FHF situliforme à col resserré concave et bord en bourrelet arrondi FHF 1.2: il s'agit d'une variante des formes FHF 1.1. Quatre vases non tournés ont été recueillis. Ils sont en majorité à pâte mi-fine sableuse, un seul pot étant à pâte grossière sableuse. Deux exemplaires ont les deux faces lissées ; les deux autres ont leur face interne et la partie supérieure de la face externe polies. Les parties inférieures sont lissées ou raclées. Un individu présente un décor d'incisions oblongues porté sur le haut de la panse, à la liaison col/panse. Les gabarits sont

41 Gaudefroy *et al.* p. 106 et p. 122.

42 Daveau, Yvinec 2001, p. 78.

43 Marion 2004, vol. 2, p. 1102.

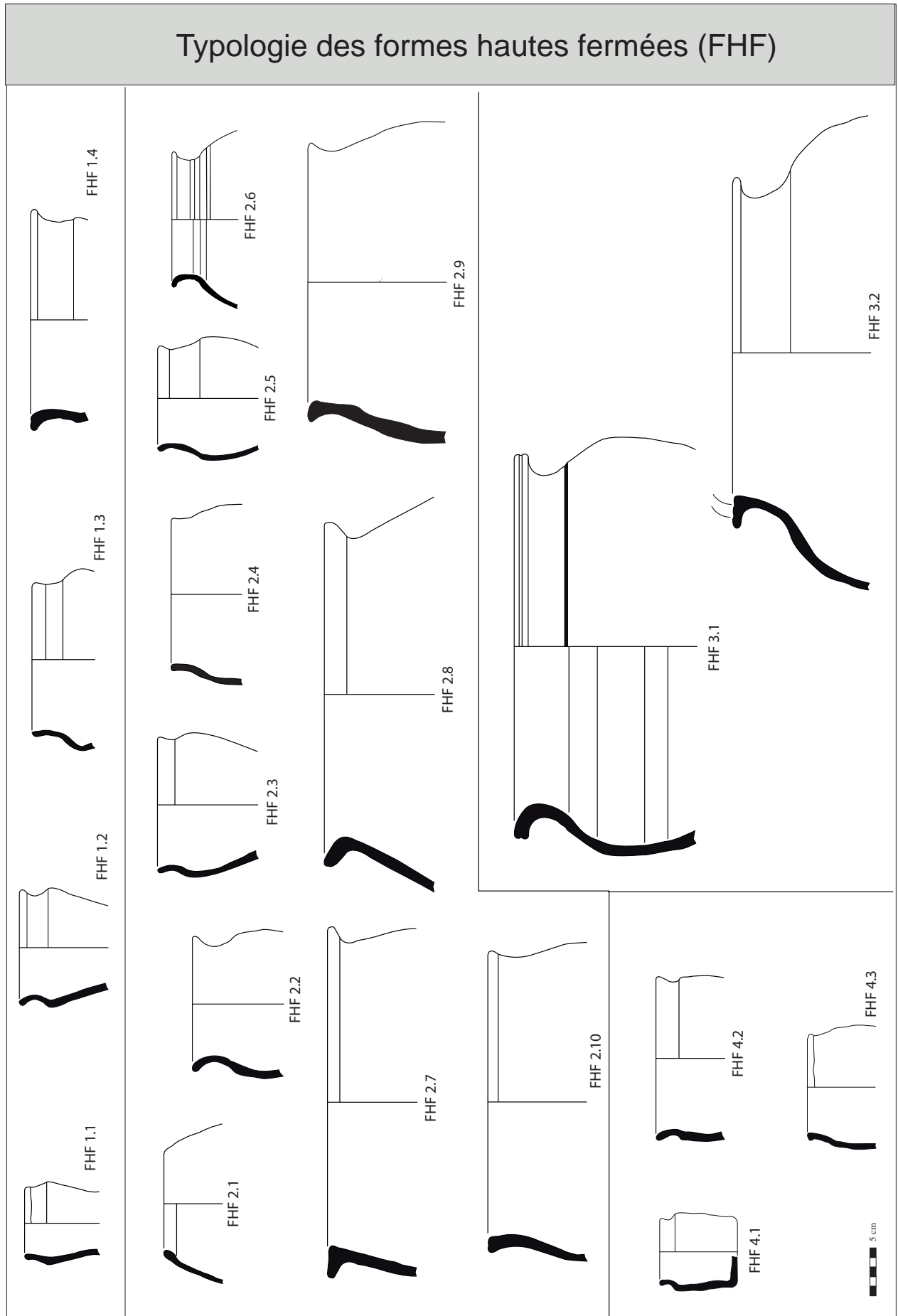


Fig. 11 : Typologie des formes hautes fermées.

assez homogènes, trois vases ayant un diamètre de 12 cm et un de 20 cm.

FHF situliforme à col resserré droit et bord droit pincé FHF 1.3 : un seul pot a été mis au jour. Il est non tourné à pâte mi-fine sableuse et les surfaces sont lissées. Un décor d'incisions oblongues a été réalisé sur le haut de la panse. Il présente un diamètre de 13 cm à l'ouverture.

FHF situliforme à col resserré et bord aplati triangulaire FHF 1.4 : un seul pot non tourné à pâte grossière sableuse a été mis au jour. Les deux faces sont lisses et aucun décor n'a été observé. Son diamètre à l'ouverture est de 23 cm.

2.4.b Les formes hautes fermées ovoïdes (FHF 2)

Il s'agit des formes hautes fermées les plus représentées avec trente vases identifiés, soit 64 % des formes hautes fermées et 22,5 % sur l'ensemble des formes dessinées. Les récipients sont variés, correspondant principalement à des pots à cuire ainsi que des vases de stockage. Les dimensions sont donc diverses, les diamètres étant compris entre 10 et 36 cm.

FHF ovoïde sans col à bord rentrant rentrant arrondi ou épaissi FHF 2.1 : deux vases ont été mis au jour. Ils sont tous les deux non tournés à pâte grossière coquillée ou sableuse. Les faces sont polies ou lissées. Les diamètres sont compris entre 10 et 17 cm, aucun décor n'a été observé.

Ce type de pot ovoïde sans col est connu sur les sites franciliens datés de La Tène moyenne. En effet, ils sont présents sur le site de Fontenay-en-Parisis⁴⁴, de Bobigny⁴⁵ et de Gonesse⁴⁶ «Zac des Tulipes Nord» sur lequel ils sont également faiblement représentés

FHF ovoïde à col resserré et bord déversé arrondi FHF 2.2 : Cinq pots à cuire ont été identifiés. Ils sont principalement non tournés à pâte grossière sableuse (3) ou mi-fine sableuse (2), seul un exemplaire est tourné à pâte mi-fine sableuse

et la cuisson réductrice est maîtrisée (surfaces grises homogènes). Les surfaces sont lissées ou polies, et deux récipients présentent deux traitements sur leurs faces externes (lissage/raclage ou lissage/peignage). Un seul exemplaire a été cuit en atmosphère réductrice bien maîtrisée (surfaces grises homogènes). Les diamètres sont variés, compris entre 10 et 24 cm.

L'exemplaire tourné présente un profil comparable aux formes trouvées dans le fossé de l'enclos principal du site «Les Fontaines» à Herblay⁴⁷ (95) daté de La Tène D1/D2.

FHF ovoïde à col resserré et bord droit arrondi ou en bourrelet (variante) FHF 2.3 : Il s'agit de la forme ovoïde la plus représentée sur l'ensemble avec sept individus identifiés. Ils sont exclusivement non tournés dont deux à pâte grossière sableuse ou chamottée, le reste étant à pâte mi-fine sableuse. Les traitements de surfaces sont multiples : lissage intégral (trois pots), lissage interne/polissage externe uniquement sur le col et le bord (quatre pots). Aucun décor n'a été réalisé. Les diamètres à l'ouverture sont homogènes compris entre 13 et 16 cm, un seul présentant un diamètre de 21 cm.

FHF ovoïde à col court resserré et bord droit arrondi FHF 2.4 : Deux formes ont été identifiées. Il s'agit de vases non tournés à pâte mi-fine sableuse. Les surfaces sont lissées intégralement ou lissées et polies sur la partie supérieure de la face externe. Aucun décor n'a été réalisé. Les diamètres sont compris entre 15 et 16 cm.

FHF ovoïde à col haut concave et bord déversé épaissi FHF 2.5 : trois vases ont été mis au jour. Ils sont tous non tournés, deux à pâte grossière sableuse et un à pâte mi-fine sableuse. Les traitements de surfaces sont le lissage intégral (1 pot) et le lissage/polissage sur la partie supérieure de la panse externe (2 pots). Tous les trois présentent également un décor d'incisions oblongues ou circulaires portées sur le haut de la panse, généralement à la liaison col/panse. Les dimensions sont souvent constantes, entre 11 et 12 cm de diamètre.

Cette forme de pot trouve des comparaisons

44 Daveau, Yvinec 2001, p.78.

45 Marion 2004, p. 666.

46 Laporte-Cassagne à paraître.

47 Marion 2004, vol. 2, p. 825.

sur des sites datés de La Tène C1 (Fontenay-en-Parisis, «La Lampe»⁴⁸), de La Tène C2 (Bobigny, «la Vache à l'Aise»⁴⁹), voire de La Tène D1 (Jaux, «Le Camp du Roi»⁵⁰, dans l'Oise).

FHF ovoïde à col droit et bord déversé ou en bourrelet (variante) FHF 2.6: Cinq vases ont été mis au jour. Deux sont tournés à pâte fine et mi-fine sableuse et trois sont non tournés à pâte grossière et mi-fine sableuse. Les surfaces sont en majorité lissées, deux vases présentent une face externe polie. Les décors sont multiples : baguette située sous le col, incisions circulaires à la liaison col/panse et bandes polies obliques. Les diamètres varient entre 14 et 20 cm.

Cette forme de pot est connue sur les sites franciliens, en particulier à Bobigny sur le site de «La Vache à l'Aise»⁵¹, dans le fossé de la phase 5, daté de la transition La Tène C2/D1. Les productions de Nanterre⁵² «les Guignons» (92), datées de La Tène D1 sont également proches des formes de Villiers-le-Bel.

FHF ovoïde à col resserré et bord aplati triangulaire FHF 2.7: un seul individu a été identifié. Il est non tourné voir repris à la tournette dans sa partie supérieure. La pâte est mi-fine sableuse et les surfaces sont lissées. Il s'agit d'un vase de grandes dimensions avec un diamètre à l'ouverture de 30 cm, correspondant à un vase à provisions.

Ce vase à provisions peut être comparé, en particulier dans la forme caractéristique de sa lèvre aux productions issues de Bobigny «Hôpital Avicenne» (93) et de Meulan «L'Ile-Belle» (78), toutes deux datées de la fin de La Tène C1 et du début de La Tène C2⁵³.

FHF ovoïde à col resserré et bord déversé arrondi FHF 2.8: une seule forme a été observée. Il s'agit d'un vase de grandes dimensions (36 cm de diamètre) non tourné à pâte grossière sableuse. Les faces sont lissées et aucun décor

n'a été observé. Les dimensions et l'allure général du vase confirment la fonction de vase à provisions.

Ce vase à provisions trouve des comparaisons avec les productions issues du site d'Herblay, «Les Fontaines» dans les fossés de l'enclos principal datés de La Tène D1/D2.

FHF ovoïde à col resserré et bord en bourrelet triangulaire FHF 2.9: Trois formes ont été identifiées. Il s'agit de vases à provisions non tournés à pâte grossière sableuse. Deux exemplaires présentent des faces internes intégralement polies avec d'importantes desquamations (sel ?). Les faces externes sont polies, lissées avec des traces d'enduit noir (type goudron) ou polies/raclées. Les dimensions varient entre 29 et 35 cm.

Cette forme de vases à provisions est connue sur les sites franciliens en particulier ceux de Bobigny «La Vache à l'Aise»⁵⁴ (93) ainsi qu'à Villiers-le-Sec⁵⁵ (95), «La Place de la Ville» datés respectivement de la fin de La Tène C1 et de La Tène C2, confirmant une continuité de la forme à cette période.

FHF ovoïde à col court droit et bord épaissi aplati FHF 2.10: une seule forme a été identifiée. Le diamètre (28 cm) et l'allure générale du vase indiquent qu'il s'agit d'un vase à provision non tourné à pâte mi-fine sableuse. Les deux faces ont été lissées et aucun décor n'a été observé.

2.4.c Les formes hautes fermées globulaires (FHF 3)

Il s'agit des formes faiblement représentées avec deux vases, soit 1,5 % sur l'ensemble des formes dessinées. Il s'agit essentiellement de vases de très grandes dimensions, correspondant à des vases de stockage.

FHF globulaire à col resserré et bord déversé en poulie FHF 3.1: une seule forme a été mise au jour. Il s'agit d'un vase à provisions tourné à pâte mi-fine sableuse et surfaces lissées. La liaison entre le col et la panse a été soulignée

54 Marion 2004, vol. 2, p. 678.

55 Amalou 1988, p. 63-8.

48 Daveau, Yvenc 2001, p. 77.

49 Marion 2004, vol. 2, p. 736.

50 Malrain *et al.* 1996, p. 264.

51 Marion 2004, vol. 2, p. 737.

52 Marion 2004, vol. 2, p. 1008.

53 Marion 2004, vol. 2, p. 678 et 951.

d'une rainure. Le diamètre à l'ouverture est de 40 cm.

FHF globulaire à col droit et bord triangulaire rainuré FHF 3.2: il s'agit d'un seul vase à provisions à pâte grossière sableuse possédant de nombreuses vacuoles. Les deux faces sont lissées et la face interne présente d'importantes desquamations probablement liées à la nature de son contenant (sel?). Le diamètre à l'ouverture est de 30 cm.

2.4.d Les formes hautes fermées tronconiques (FHF 4)

Il s'agit des formes faiblement représentées avec trois vases, soit 2 % sur l'ensemble des formes dessinées. Il s'agit essentiellement de pots à cuire ou de conservation, de dimensions variables, comprises entre 7 et 17 cm. Aucun décor n'a été observé et les traitements des surfaces demeurent assez simples (lissage exclusif).

FHF tronconique à col court resserré et bord en bourrelet arrondi FHF 4.1: Un seul individu a été mis au jour; il s'agit d'un pot complet non tourné à pâte grossière sableuse. Les deux faces sont lissées et la liaison col/panse est marqué par un épaulement relativement anguleux. Le volume est petit avec un diamètre à l'ouverture 7 cm, suggérant une utilisation autre que la cuisson (conservation de denrées en petite portion?).

FHF tronconique à col court et resserré et bord déversé arrondi FHF 4.2: un seul pot a été mis au jour; il est non tourné à pâte mi-fine sableuse et les deux surfaces sont lissées. La liaison col/panse est également soulignée d'un ressaut anguleux. Il s'agit d'un pot à cuire dont le diamètre est de 17 cm.

FHF tronconique à col haut et bord en bourrelet pincé FHF 4.3: un seul pot à cuire a été mis au jour. Il est non tourné à pâte grossière sableuse et les surfaces sont lissées. Le diamètre à l'ouverture est de 15 cm.

3 Approche fonctionnelle des vases

3.1 La classification fonctionnelle des vases

Cette approche fonctionnelle des vases de Villiers-le-Bel est abordée ici afin de tenter de soulever le maximum de points de réflexion sur l'apport de l'étude à la connaissance des modes de consommation des denrées des habitants du site. Elle ne prétend pas donner une réponse globale à ce questionnement, mais tente d'évaluer la composition du corpus céramique.

Les méthodes de classification fonctionnelle des récipients sont variées mais les auteurs tiennent compte généralement de certains critères technologiques ainsi que des traces et dépôts liés à une utilisation précise. Sont ainsi retenus les critères morphologiques obtenus à partir de données métriques telles que le rapport hauteur/largeur⁵⁶ et le volume. Cette méthode ne se trouve cependant pas adaptée à notre corpus car elle exige un nombre relativement important de vases complets (la plupart des analyses fonctionnelles étant réalisées à partir de corpus issus de sites funéraires). Les critères technologiques sont également retenus, tels que la méthode de façonnage, le type de pâte et les traitements de surface⁵⁷. Enfin les traces et dépôts liés à l'utilisation, tels les coups de feu, les traces de piquetage et les divers dépôts observés.

Sont donc conservés ici certains traits typologiques: le module général des vases (bas, évasé, haut). On retiendra également certains caractères techniques comme la nature de la pâte et la technique de montage. Les traces ou dépôts observés seront également pris en compte.

Le croisement de ces diverses données a ainsi permis de dresser un tableau des catégories fonctionnelles.

56 Meunier 2002, p. 82.

57 Robert 1994, p. 310.

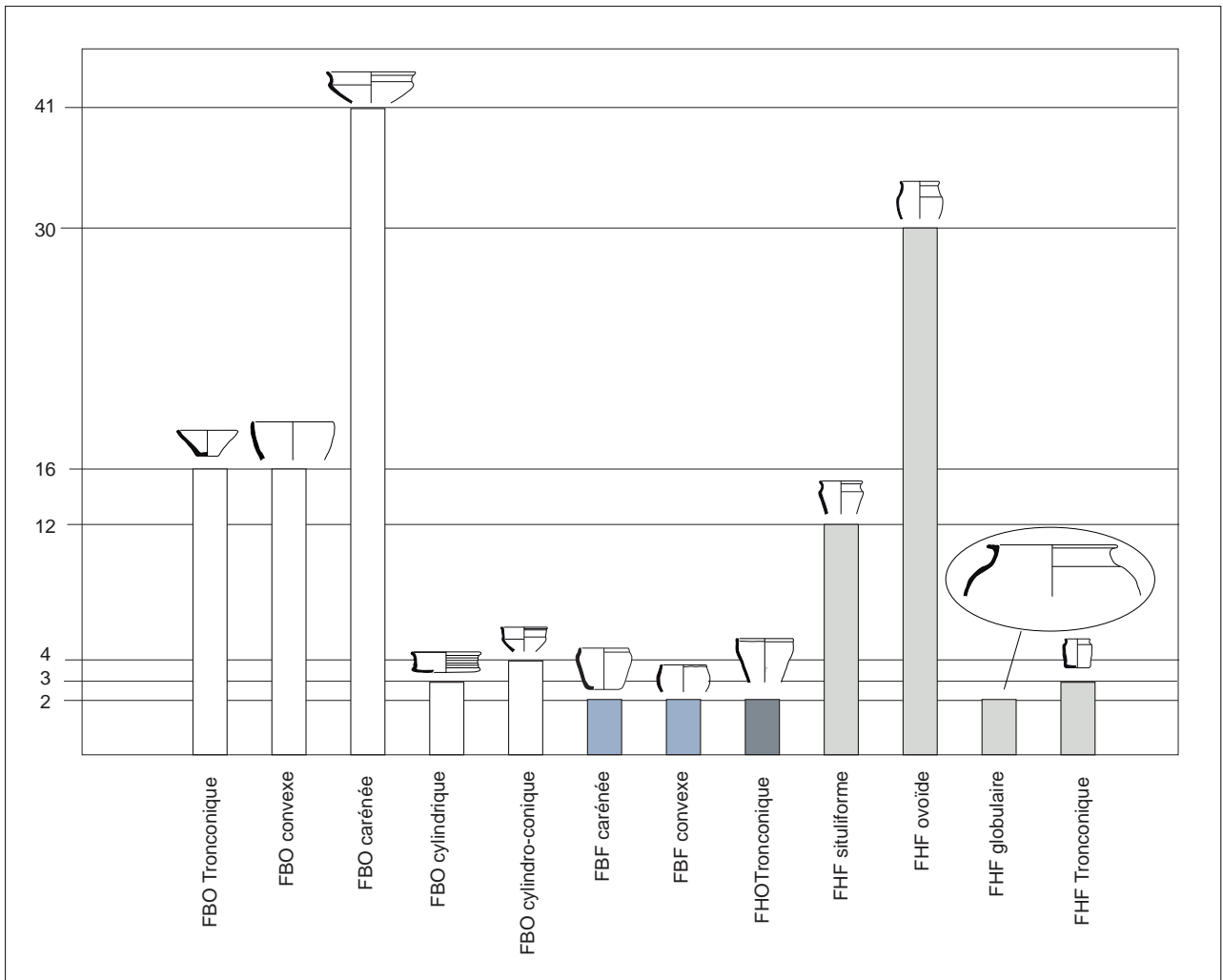


Fig. 12: Répartition des formes de vases en nombre.

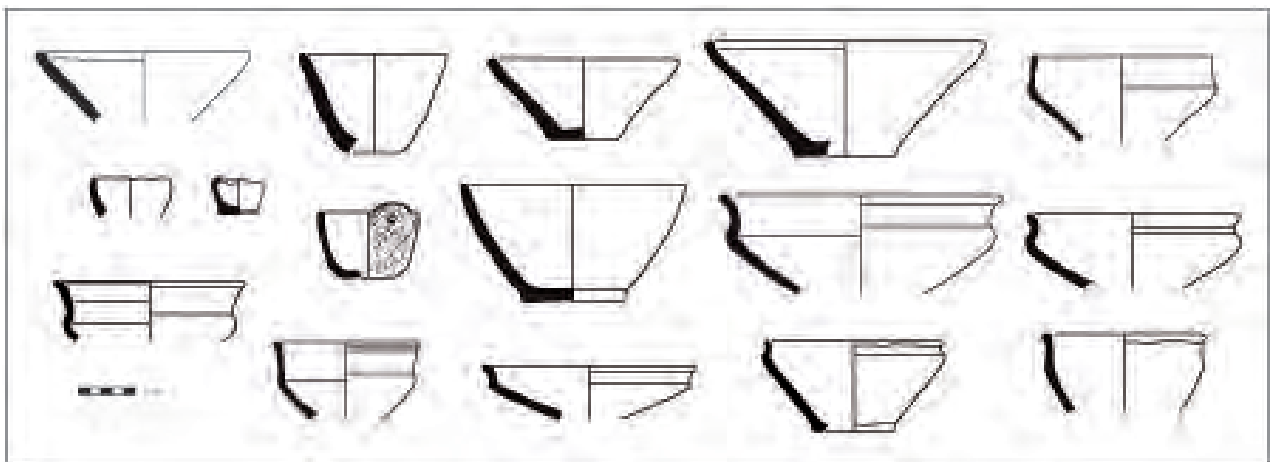


Fig. 13: Les vases de consommation : les jattes.

3.1.a Les vases de consommation (fig. 13)

Il s'agit principalement de formes basses ouvertes de petits (micro-vases) ou de moyens modules. Ce sont principalement des jattes tronconiques, convexes, carénées ou cylindro-coniques. Les vases de consommation sont les

plus représentés dans le corpus avec 55 formes identifiées sur l'ensemble des formes dessinées, soit 42 % environ.

La majorité des vases sont non tournés à pâte mi-fine sableuse et certains sont à pâte grossière sableuse. Les traitements de surfaces sont principalement le lissage, mais on observe parfois le polissage interne et externe. Les jattes à profil

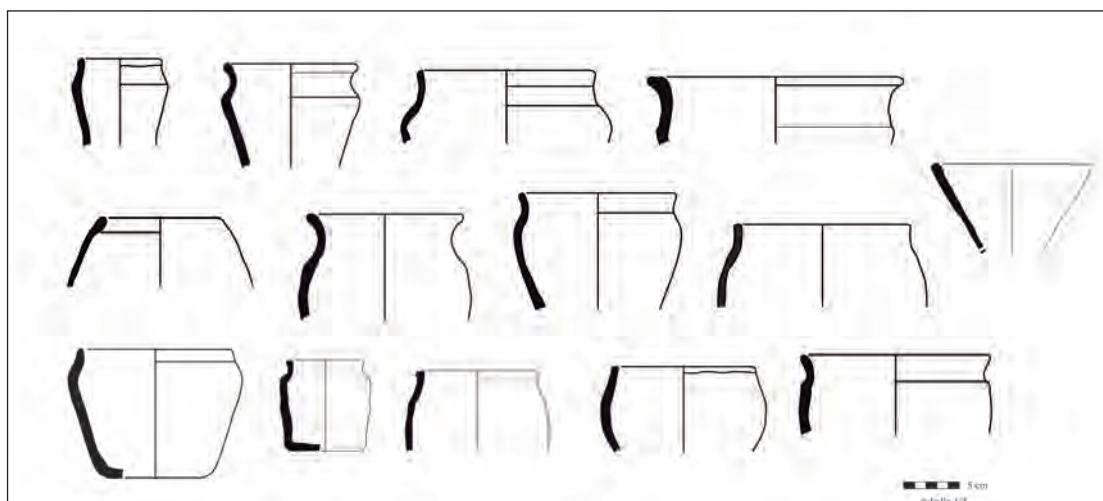


Fig. 14 : Les vases de préparation : les pots à cuire et faisselle.

en «S» sont en majorité tournées ou reprises à la tournette à pâte mi-fine sableuse. Les deux faces peuvent être polies avec soin ou simplement lissées.

Aucun décor particulier n'a été observé. Un seul individu (jatte tronconique) présente un dépôt de carbonisation de couleur noire à beige, se détachant en croûtes. Cette carbonisation peut être considérée comme du caramel alimentaire ou une substance semi-solide (bouillie, sauce)⁵⁸. Néanmoins, seule une analyse physico-chimique pourrait identifier la nature exacte de ce dépôt.

3.1.b Les vases de préparation (fig. 14)

Il s'agit principalement de formes hautes fermées de modules moyens, seules deux formes basses fermées et une forme basse ouverte ont été identifiées comme appartenant au groupe des vases de préparation. Ce sont des pots à cuire ainsi qu'une faisselle destinée à la fabrication laitière. Ils correspondent à la seconde catégorie de récipients les plus représentés avec 34 vases, soit un peu plus de 26 % sur l'ensemble des formes dessinées.

La majorité des vases sont non tournés à pâte grossière sableuse ou chamottée ou à pâte mi-fine sableuse. Un seul exemplaire est tourné à pâte mi-fine sableuse. Les traitements des surfaces sont multiples : lissage intégral, alternance intérieur/extérieur lissé/polé, raclage ou peignage de la face externe. Certains vases présentent également un polissage sur la partie supérieure de la

face externe (bande à vocation décorative?). Aucun décor supplémentaire n'a été observé. Quelques récipients présentent des traces d'enduit noir résineux (goudron ?) sur la partie supérieure de la face externe lié à un revêtement particulier ou à un débordement d'aliment en ébullition. Les fonds, lorsqu'ils sont conservés portent également des traces de coups de feu ou d'usure se manifestant par une surface périphérique érodée. Enfin, certaines traces, relativement discrètes, d'origines calcaires (friables à l'ongle) et disposées généralement sous la lèvre des pots témoignent également d'un chauffage répété sur le feu d'eau ou d'aliment bouilli⁵⁹.

Un exemplaire présente une perforation assez importante sur la panse (3 cm de diamètre environ) portant des traces d'usure autour du trou (passage d'un lien de suspension?). Ce même individu porte quelques traces d'enduit noir sur sa face externe. L'hypothèse d'une suspension au-dessus d'une source de chaleur peut-être émise, mais le vase n'est pas complet.

Enfin, un fond présentant une unique ouverture réalisée avant cuisson a été mis au jour ; il pourrait être interprété comme facilitant le démoulage d'un fromage ou filtrant d'autres matières⁶⁰. Des exemplaires a été mis au jour dans l'Oise, sur le site de Longueil-Sainte-Marie, «Le Vivier des Grès» daté de La Tène moyenne⁶¹, ainsi qu'à Jaux «Le Camp du Roi» daté de La Tène D1⁶².

59 Gaudefroy *et al.* 2006, p. 138–139.

60 Malrain *et al.* 2002b, p. 178.

61 Gaudefroy *et al.* 2006, p. 128.

62 Malrain *et al.* 1996, p. 268.

58 Gaudefroy *et al.* 2006, p. 138.

3.1.c Les vases de préparation/ présentation (fig. 15)

Ils sont représentés à la fois par des formes hautes fermées et des formes basses ouvertes. Un récipient haut ouvert a également été classé dans cette catégorie. Il s'agit de 14 vases soit 10 % de l'ensemble du corpus. Ce sont des pots à cuire de moyen module ou des jattes de grandes dimensions (jarres). Deux exemplaires de jatte convexes peuvent également être interprétés comme appartenant à une série de couvercle (gorge sommitale destinée à accueillir ou recouvrir un second récipient).

Les vases de préparation/présentation sont non tournés (en majorité) quelques exemplaires sont également tournés. Les pâtes sont grossières ou mi-fine sableuse. Les traitements des surfaces sont également variés : lissage ou polissage intégral, face interne lissée/externe polie, raclée ou peignée. Les pots sont généralement décorés de baguettes à la liaison col/panse ou d'incisions oblongues portées sur le haut de la panse et les jarres sont décorées de bandes ou d'ondes polies réalisées à la pointe-mousse.

Un seul individu présente des trous de réparations. Les traces ou dépôts se font plus discrets dans cette catégorie, suggérant une utilisation

davantage destinée à la présentation des denrées.

3.1.d Les vases de présentation/ consommation (fig. 16)

Douze vases de présentation/consommation ont été identifiés sur le site, soit 9 % sur l'ensemble des formes reconnues. Il s'agit de plat, souvent individuel, voire de jatte réalisés avec qualité et soin et de module moyens à grands. Les récipients sont en majorité tournés, exceptés deux exemplaires non tournés. Les pâtes sont toutes mi-fines sableuses et les cuissons réductrices sont bien souvent maîtrisées (surfaces noires ou grises homogènes). Les traitements des surfaces sont le lissage ou le lustrage intégral, ce dernier conférant un aspect brillant et très doux au toucher.

Les quelques décors observés sont principalement des baguettes portées sur la panse et des décors d'ondes ou chevrons réalisés à la pointe-mousse, ces derniers demeurant toutefois assez rares. Certaines formes semblent avoir reçu un fond ombiliqué mais l'absence de ces derniers ne confirme pas avec certitude cette hypothèse.

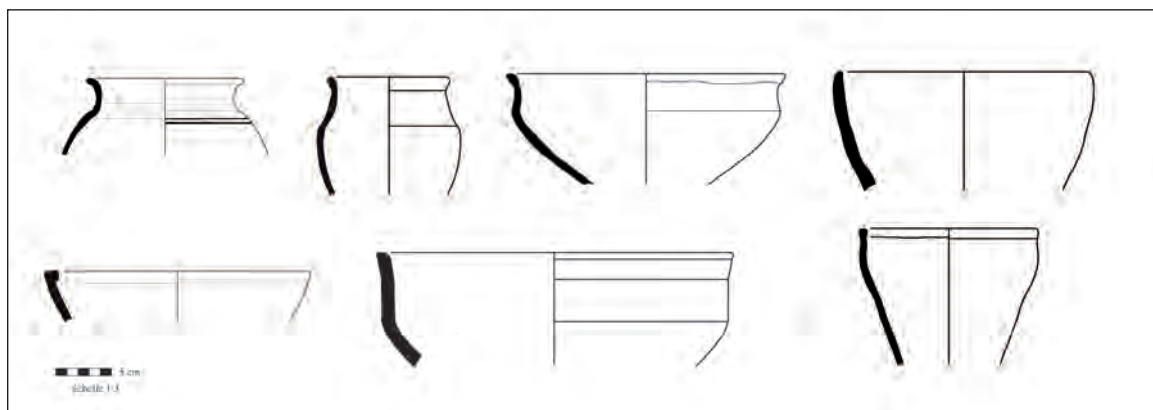


Fig. 15 : Les vases de préparation/présentation : les pots à cuire et les jarres.

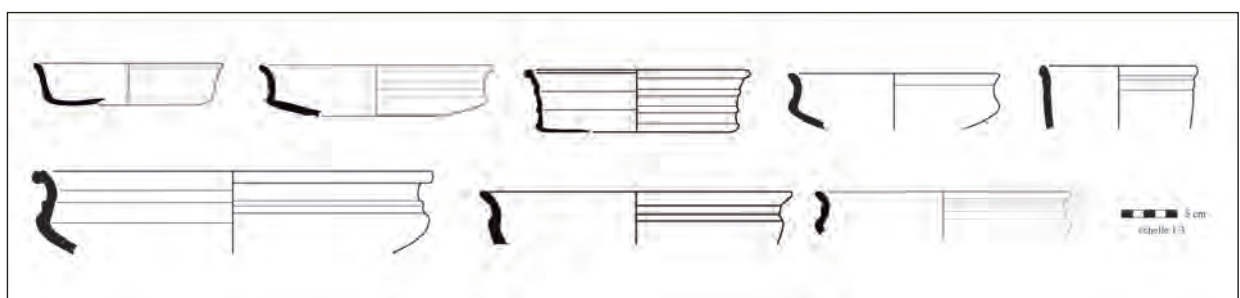


Fig. 16 : Les vases de présentation/consommation : les plats et jattes.

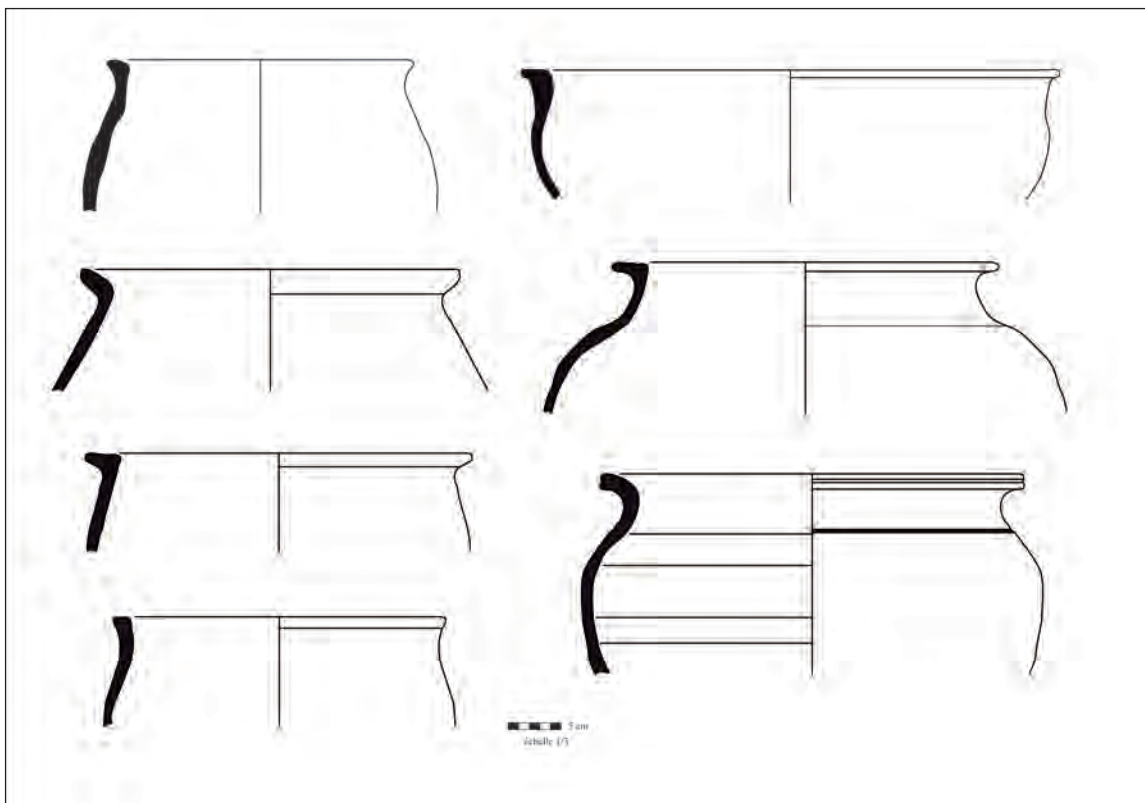


Fig. 17 : Les vases de stockage : pots et jarres.

3.1.e Les vases de stockage (fig. 17)

Les vases de stockage sont les plus faciles à classifier, leurs seules dimensions autorisant l'interprétation de leur fonction. Seuls neuf individus ont été identifiés auxquels nous pouvons ajouter trois autres exemplaires seulement identifiables par leur bord caractéristiques (ils n'entrent pas dans la typologie établie plus haut car seuls les bords sont conservés). Ils représentent donc environ 7 % du corpus. Il s'agit essentiellement de grands pots de stockage, mais deux grandes jattes convexes (ou jarres) rentrent également dans cette catégorie.

Ils sont en majorité non tournés à pâte grossière voire mi-fine sableuse, seuls deux exemplaires ont été tournés à pâte mi-fine sableuse. Les surfaces sont en général lissées, quelques récipients sont polis intégralement.

Les principales traces d'utilisations observées correspondent à d'importantes desquamations des faces internes liées à la nature acide du contenant, tel le sel. Elles portent sur trois vases.

3.1.f Synthèse

Les formes basses ouvertes sont très nettement majoritaires. En effet, elles constituent à elles seules 60 % du corpus (fig. 21). Elles ont généralement une fonction de consommation individuelle ou multiple (jatte de grand module). Certaines d'entre elles ont également pour vocation la préparation et présentation des aliments. Ces formes sont caractéristiques des vaisseliers de La Tène C2⁶³ et témoignent d'une grande diversité de techniques, de formes et de dimensions. L'ensemble du fossé se caractérise par une prédominance de ce type de forme parmi lesquelles se distinguent des formes carénées anguleuses ou à profil en «S». Les formes basses ouvertes cylindriques sont également bien représentées dans les ensembles de La Tène C2; elle sont généralement de bonne qualité technique et l'on note une recherche esthétique témoignant d'une vaisselle de table qui relève à la fois de l'utile et de l'ornemental (plats de présentation/consommation).

Les formes hautes fermées sont également bien représentées avec 35 % du corpus. Elles

63 Saurel 2002, p. 254.

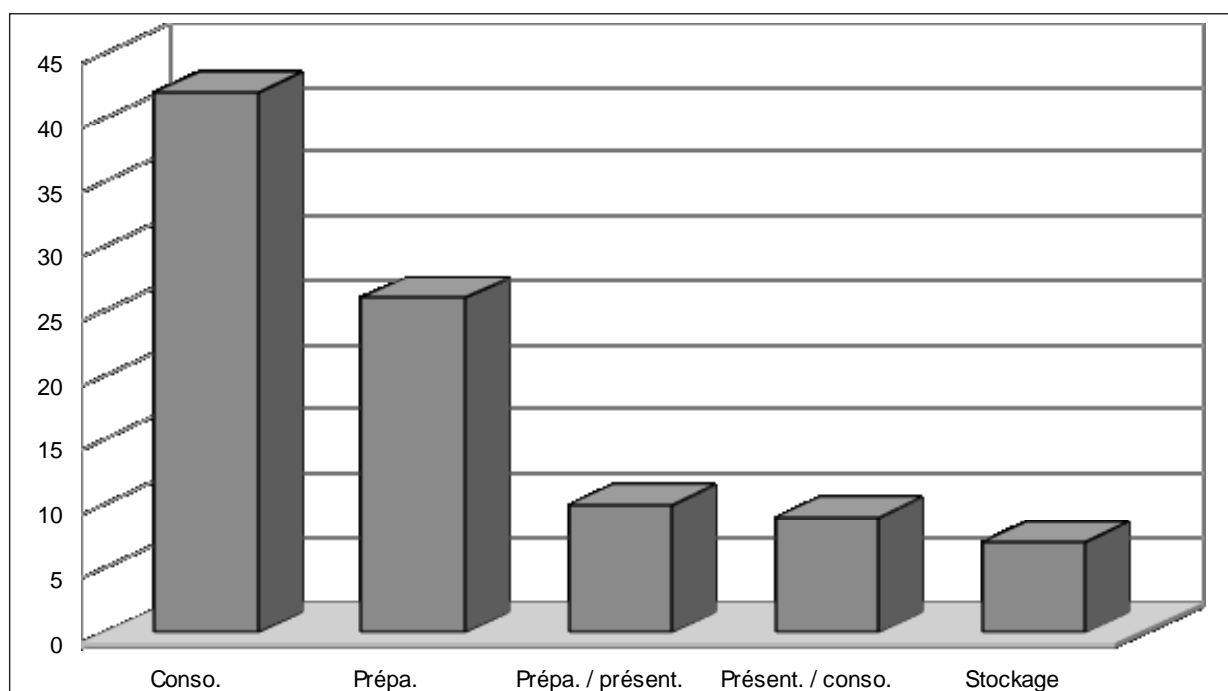


Fig. 18 : Répartition des fonctions des vases en pourcentage sur l'ensemble du site.

constituent la panoplie des pots à cuire (26 %) mais également des vases de stockages (7 %) qui demeurent cependant faiblement représentés. Il est intéressant de noter la présence de ce dernier type de récipient dans les comblements inférieurs des silos 3, 501 et 504, qui par définition sont eux-mêmes des structures de stockage. Peut-on alors y voir une certaine association fonctionnelle? La question demeure entière. Concernant le fossé de l'enclos, aucune zone de rejet de vases de stockage n'a été formellement identifiée; en effet, ces récipients se trouvent répartis de manière homogène dans les zones de rejets (5 vases au sud-ouest contre 4 au nord). Nous ne pouvons donc pas confirmer une aire de stockage réduite aux seuls récipients au sein de l'enclos.

Il résulte de cette approche fonctionnelle des récipients, une forte prédominance de vases de consommation, suivi de vases de préparation. La seule activité connexe à l'alimentation identifiée sur le site, correspond à une activité fromagère par la présence de faisselle. Néanmoins, la rareté de ces vases peut être interprétée comme une production à petite échelle (individuelle?). Le vaisselier de Villiers-le-Bel comporte une vaisselle de table simple mais également une vaisselle plus ornementale destinée peut-être à des journées ou des hôtes, ou encore des propriétaires particuliers (?). Il est intéressant de

noter le parallèle avec le site voisin de Gonesse «ZAC des Tulipes Nord»⁶⁴, daté de La Tène C2, sur lequel une vaisselle simple avec quelques récipients remarquables ont également été mis au jour.

4 Synthèse chronologique et répartition des catégories fonctionnelles

La zone sud-est de l'enclos n'ayant pas été prescrite, les résultats de l'analyse de répartition du matériel céramique sont tronqués. Une première approche a donc été réalisée, en espérant pouvoir disposer un jour des données complémentaires, si la fouille se poursuivait dans cette zone.

De même, l'absence de l'intégralité du site incite à proposer une chronologie non définitive. Néanmoins, les observations typologiques ont permis de proposer une chronologie fine pour certaines structures mises au jour lors des opérations de terrain. Toutefois, le manque de formes caractéristiques pour d'autres structures n'autorise parfois pas une datation précise.

⁶⁴ Laporte-Cassagne à paraître.

4.1 Le fossé de l'enclos

4988 NFR, 465 NMI : Le fossé de l'enclos a généré le plus de vestiges avec près de 88 % de matériel sur l'ensemble du corpus. En effet, il a permis de mettre au jour 3 850 tessons non tournés, 435 tessons de céramique tournée et 1 168 tessons indéterminés. 103 formes ont été identifiées, réparties dans 38 sondages. Cependant, la fouille de la totalité du fossé n'ayant pas été prescrite, l'image de répartition du mobilier et donc l'image des rejets n'est pas complète. Il a néanmoins été possible d'observer trois zones de rejets importantes (fig. 19 et 20) ; au nord entre les sondages U et Z, à l'ouest entre les sondages 40 et O et surtout au sud-ouest entre les sondages D et 38. Une petite zone à l'est a également été identifiée, comprenant les sondages AF et 32. Une carte de répartition du mobilier céramique issu du fossé de l'enclos a été réalisée (fig. 19), en s'appuyant sur le nombre de fragments recueillis dans les sondages. Six groupes ont ainsi été définis : de 300 tessons et plus (1), entre 200 et 300 tessons (2), entre 100 et 200 tessons (3), entre 50 et 100 tessons (4), entre 10 et 50 tessons (5) et entre 1 et 10 tessons (6).

4.1.a La zone sud-ouest

Le rejet situé dans la zone sud-ouest comprend les sondages D à 38 ainsi qu'un sondage effectué lors du diagnostic, les sondages B et 3 ayant été les plus riches (ils ont en effet permis à eux seuls de recueillir 1072 tessons, soit un peu plus de 19 % de l'ensemble des fragments issus du fossé de l'enclos).

La méthode de fouille mécanique a consisté à réaliser des passes tous les vingt centimètres, des passes manuelles étant réalisées en cas d'apparition de niveaux de concentrations de mobilier. Pour cette zone, six passes de vingt centimètres ont ainsi livré du mobilier céramique (de 0 à 120 cm). La méthode employée pour l'étude des céramiques a tenu compte, dans un premier temps, des niveaux de profondeur isolés dans les sacs, puis les fragments ont été confrontés entre les diverses unités autorisant souvent du remontage entre eux.

Ces neuf sondages ont permis de recueillir 1 633 fragments (environ 30 % sur l'ensemble du fossé de l'enclos) dont 1 125 tessons non tournés, 189 tessons tournés et 319 fragments indéterminés. Parmi les fragments indéterminés, un nombre important mis au jour entre les sondages B

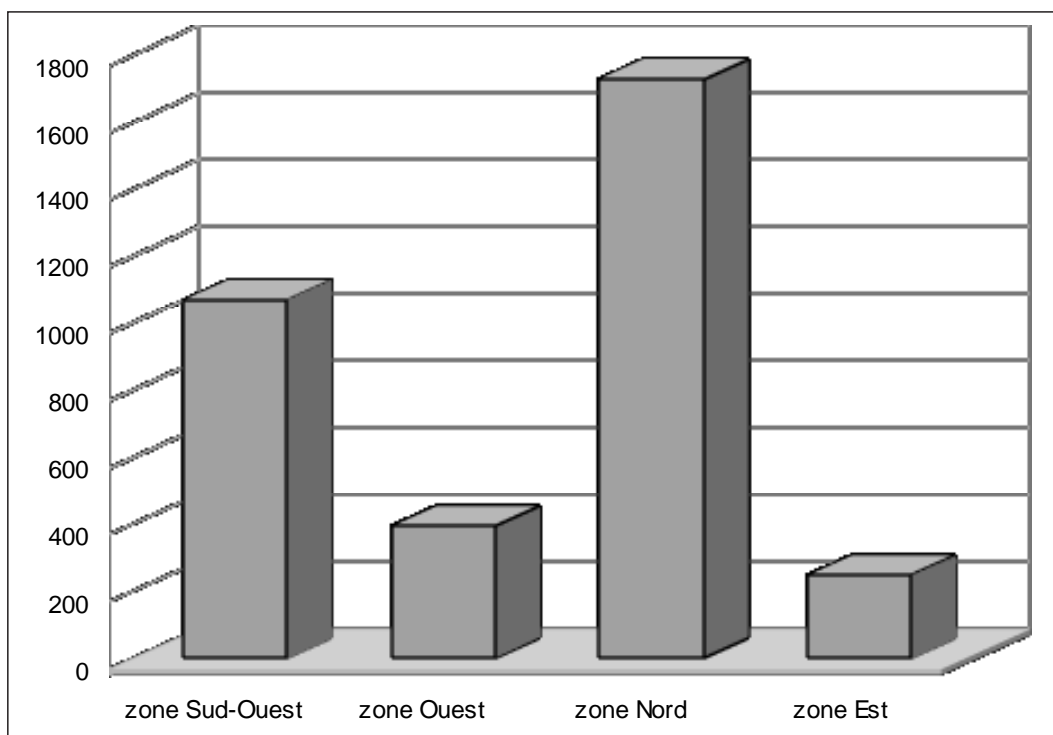


Fig. 19 : Répartition des nombres de fragments par zones de rejets du fossé 200.

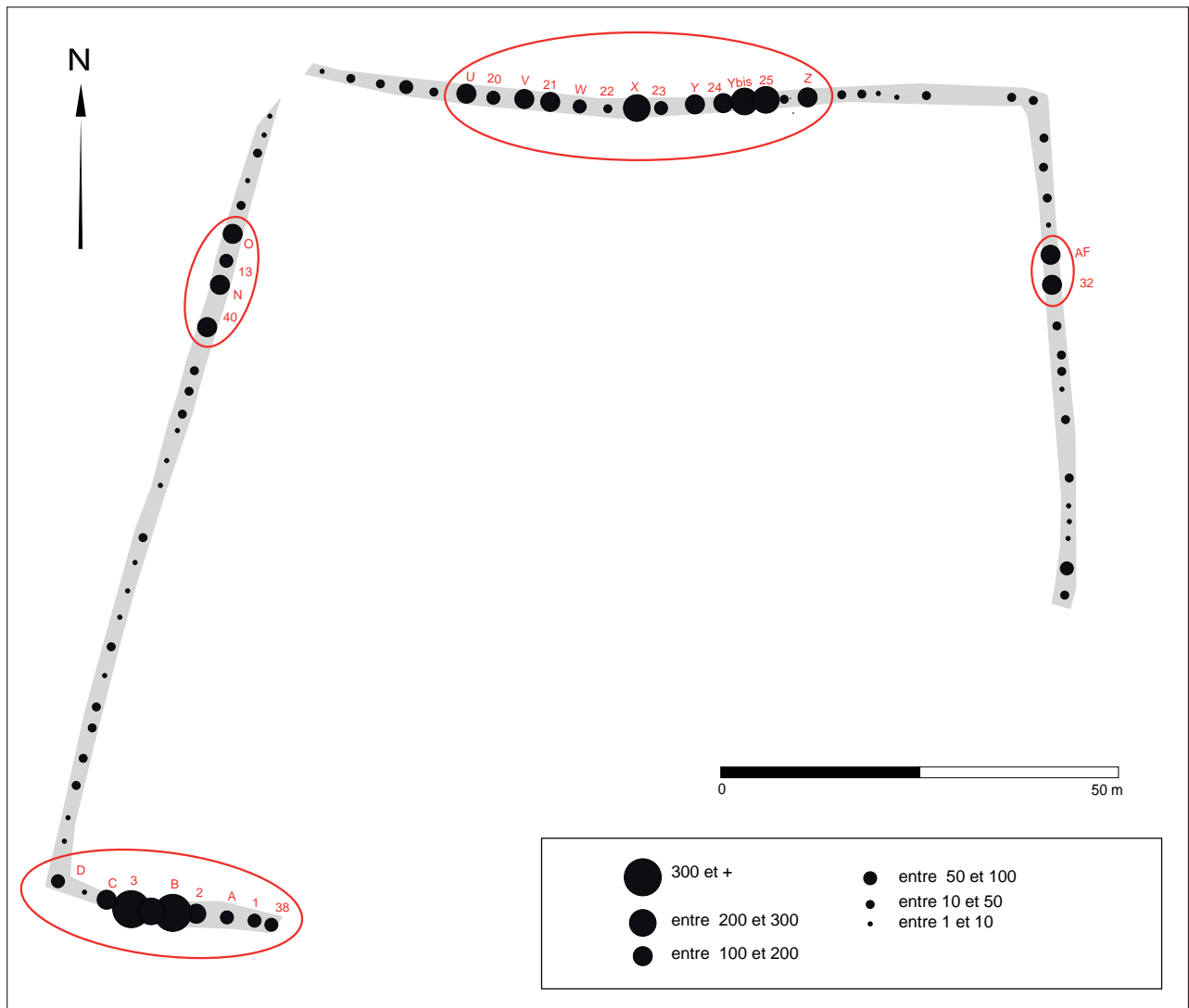


Fig. 20 : Répartition du mobilier céramique dans les fossés de l'enclos (NFR et NMI).

et 3 et dans les premiers quarante centimètres, sont dans un état très fragmentaire, usés et souvent «roulés» résultant d'une très mauvaise conservation ou d'une usure anthropique liée à l'utilisation quotidienne de ce type d'objet. Ces fragments ont alors été comptabilisés en terme de poids (en gramme) et non plus en nombre de fragments. L'hypothèse alors envisagée est celle d'un rejet resté longtemps à ciel ouvert, certaines traces de griffes de petits rongeurs sur les parois appuyant cette idée.

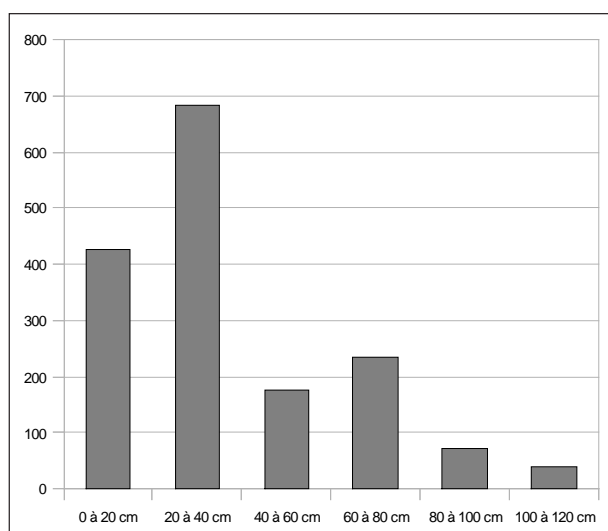
35 formes ont été identifiées correspondant à 23 formes basses ouvertes (5 jattes tronconiques, 7 jattes convexes, 10 jattes carénées et 1 jatte cylindro-conique). 12 formes hautes fermées ont également été mises au jour ; il s'agit de 6 pots ovoïdes, de 2 pots globulaires, de 1 pot tronconique et de 3 pots situliformes. Les

formes observées correspondent à 20 vases de consommation, 8 vases de préparation, 2 vases de préparation/présentation, 1 vase de préparation/consommation et 5 vases de stockage.

Trois phases de remplissage ont pu être observées sur le terrain (unités stratigraphiques) et confirmées par la répartition des vestiges mobiliers (restes osseux d'animaux et céramiques). La première phase de comblement de cette zone du fossé semble s'opérer entre 40 cm et 1,20 m. Les formes céramiques retrouvées dans cette unité correspondent à un horizon daté de la toute fin de La Tène C1/début de La Tène C2 (autour de 180 av. J.-C.) : vase à provisions ovoïde à bord aplati (pl. 7-9), pot situliforme grossier (pl. 7-6), grande jatte (jarre?) tronconique (pl. 8-8), etc. La seconde phase de comblement est concentrée dans les quarante premiers centimètres du fossé,

dans lesquels plusieurs formes datées de la fin de La Tène C1 jusqu'à La Tène D1 ont été mises au jour. La présence de céramiques datées de 180 av. J.-C. dans les niveaux supérieurs fait davantage songer à un phénomène de «mélange» résultant probablement d'un curage du fossé à cet endroit (en particulier entre les sondages B et 3 et correspondant alors à la troisième phase de comblement). Quoiqu'il en soit, les céramiques mises au jour entre la surface et 40 cm sont majoritairement datées de La Tène C2 jusqu'au début de La Tène D1 (autour de 150 – 100 av. J.-C.), aspect notamment confirmé par la présence de tesson d'amphore d'origine italique situé entre 20 et 40 cm. Les formes attribuables à La Tène finale correspondent notamment à des vases balustres (pl. 5-5 et 7), une jatte cylindro-conique tournée (pl. 6-7) et des vases à provisions tournés (pl. 9-1).

La forte concentration des fragments de céramique entre les sondages B et 3, nous amène à nous interroger sur cette forme de rejet. En effet, l'analyse fonctionnelle des récipients mis au jour dans ce secteur du fossé, permet de mettre en évidence une grande majorité de vases destinés à la consommation. Ce dépotoir isolé semble alors correspondre à un événement unique bien connu de type repas collectif. De plus, il est intéressant de noter la présence de monnaies dans ce même rejet (*cf.* annexe 8). L'association de monnaies et d'amas de tessons fragmentaires semble être récurrent sur certains sites contemporains de Villiers-le-Bel. Ainsi, sur le site de Gonesse «Zac des Tulipes Nord⁶⁵» un tel amas associé à une monnaie a été mis au jour dans les niveaux supérieurs d'un silo. Enfin, la fragmentation importante relevée dans ce rejet avec l'impossibilité de compter en nombre de fragments les tessons, révèle une brisure considérable des vases. L'étude visuelle n'a cependant pas permis d'isoler des cassures volontaires, mais cette forme de déchets mérite d'être soulignée.



Profondeur	Nombre de fragments	Datation
0 à 20 cm	425	LTC2 et LTD1
20 à 40 cm	684	LTC2 et LTD1
40 à 60 cm	177	LTC1/C2
60 à 80 cm	234	LTC1/C2
80 à 100 cm	73	LTC
100 à 120 cm	40	LTC

Fig. 21 : Répartition et datation des fragments de céramique de la zone sud-ouest selon la profondeur d'enfouissement.

4.1.b La zone ouest

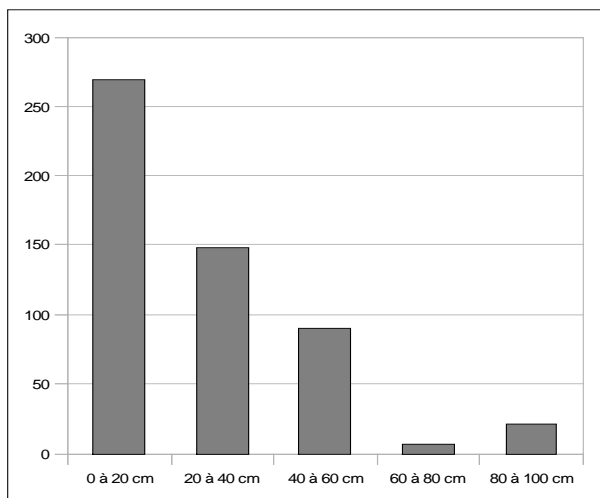
La zone de rejet située à l'ouest de l'enclos (4 sondages de 40 à O) a permis de recueillir 537 tessons soit 10 % environ de l'ensemble des restes du fossé de l'enclos. L'état de conservation est moyen avec encore un petit lot de tessons très érodés, comptabilisés en grammes. 262 tessons sont non tournés, 110 sont tournés et 165 sont indéterminés. Seules 8 formes ont été identifiées et correspondent à 4 formes basses ouvertes (2 jattes tronconiques et 2 jattes carénées), et 4 formes hautes fermées ovoïdes. Les fonctions correspondent à de la consommation (3 jattes), de la préparation/présentation (3), de la préparation (1) et du stockage (1).

Deux principaux comblements ont été observés dans cette zone du fossé. La couche supérieure, épaisse de 30 cm environ a révélé des formes attribuables à La Tène C2 mais également du début de La Tène D1 (vases balustres et pots globulaires tournés, pl. 9-11 et pl. 10-2). En

65 Granchon à paraître (silo 2004 daté de La Tène D1).

revanche la couche inférieure (de 30 cm à 1 m environ) a essentiellement livré des formes céramiques datées de La Tène moyenne.

Une monnaie a également été retrouvée dans le sondage O, associée à la céramique. Cependant, la proportion des catégories fonctionnelles des vases issus de ce secteur du fossé renvoie l'image d'une zone de consommation et de préparation, vraisemblablement liée à la proximité d'un habitat. En effet, ce type de rejets est traditionnellement plus proche d'une unité domestique.



Profondeur	Nombre de fragments	Datation
0 à 20 cm	270	LTC2 et LTD1
20 à 40 cm	148	LTC2
40 à 60 cm	91	LTC
60 à 80 cm	7	LTC
80 à 100 cm	21	LTC

Fig. 22 : Répartition et datation des fragments de céramique de la zone ouest selon la profondeur d'enfouissement.

4.1.c La zone nord

Le rejet situé au nord de l'enclos (sondages U à Z) a permis de recueillir près de 1 892 tessons soit 34 % de l'ensemble des fragments issus du fossé de l'enclos. Il s'agit donc d'une zone importante de rejet effectué sur une cinquantaine de mètres environ, soit sur une dizaine de mètres de plus que dans la zone sud-ouest⁶⁶. On observe une concentration importante au sein de cette

⁶⁶ La zone de rejet au sud-ouest est par ailleurs tronquée par l'absence de prescription de la totalité de l'enclos.

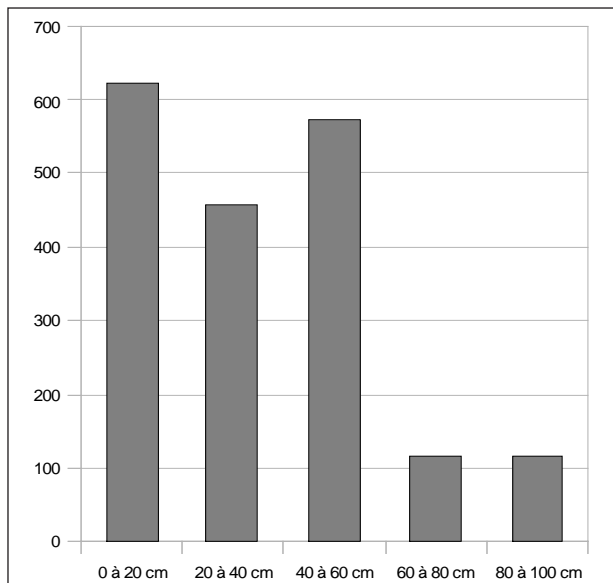
zone comprise entre les sondages Y à 25. L'état de conservation est dans l'ensemble moyen, avec quelques éléments «roulés» (comptabilisés en gramme).

1 469 tessons non tournés ont été mis au jour, 105 sont tournés et 318 sont indéterminés. 34 formes ont été identifiées, correspondant à 21 formes basses ouvertes (1 jatte et 1 faisselle tronconiques, 3 jattes convexes, 13 jattes carénées, 1 jatte cylindro-conique et 2 plats cylindrique), 12 formes hautes fermées (10 pots ovoïdes, 1 pot situliforme et 1 pot tronconique) et 1 forme haute ouverte (tronconique). Les fonctions correspondent à des vases de consommation (14), des vases de préparation (12), des vases de présentation/consommation (2), des vases de stockage (6) et des vases de préparation/consommation (2).

L'essentiel du mobilier céramique a été recueilli dans les soixante premiers centimètres, correspondant à la couche supérieure du fossé observée sur le terrain. La majorité des formes identifiées dans les niveaux inférieures correspondent à des vases datés de la fin de La Tène C1 – début de La Tène C2 (jatte carénée à col mouluré pl. 13-3 ou vase à provision à lèvre épaisse en bourrelet pl. 12-11). Cependant, de rares céramiques attribuables à La Tène finale ont également été mises au jour dans ces niveaux (plat à ombilic pl. 15-6, pot tourné à décor de baguette pl. 10-14) témoignant une fois de plus d'un probable curage du fossé. En effet, la couche supérieure des sondages a permis de mettre au jour de très nombreuses formes datées de La Tène C2 et de La Tène D1, cette dernière période étant caractérisée par la présence, entre autres, de fragments de céramique noire à pâte rougeâtre (pl. 11-4), de jatte moulurée tournée (pl. 12-7) et de vase à provision tourné (pl. 15-5).

L'analyse fonctionnelle des vases a permis de révéler une proportion quasi équivalente entre les vases de consommation et préparation des aliments, ainsi qu'un récipient lié à la présentation/consommation. Cette zone importante de rejet a également permis de mettre au jour une monnaie dans le sondage réalisé lors du diagnostic. Cette égale répartition des grandes familles de vases évoquent davantage les restes de repas liés à la

proximité d'un habitat, hypothèse confirmée par la présence plus importante dans cette zone du fossé de vases de stockage.



Profondeur	Nombre de fragments	Datation
0 à 20 cm	623	LTC2/D1
20 à 40 cm	458	LTC2/D1
40 à 60 cm	575	LTC2
60 à 80 cm	119	LTC
80 à 100 cm	117	LTC1/C2

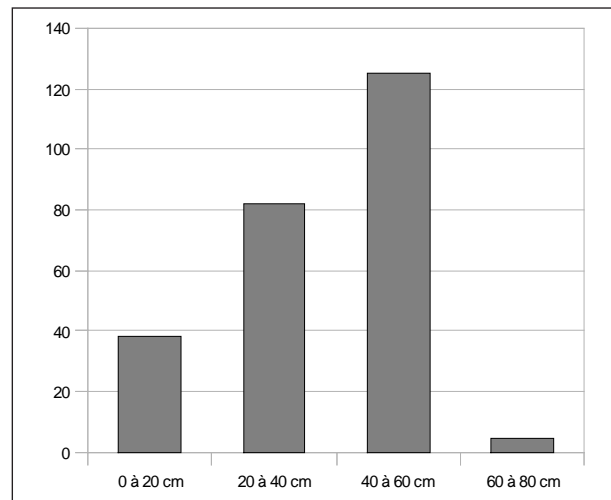
Fig. 23 : Répartition et datation des fragments de céramique de la zone nord selon la profondeur d'enfouissement.

4.1.d La zone est

Un petit ensemble situé à l'est a permis de recueillir un lot de tessons. Il s'agit des sondages AF et 32 qui ont livré 250 fragments de céramique. Huit formes ont été identifiées correspondant à six formes basses ouvertes (4 formes carénées et 2 formes tronconiques) et deux formes hautes fermées (2 pots ovoïdes). Les fonctions correspondent principalement à des vases de consommation (5 jattes individuelles) ou de préparation (1 jatte de grand volume). Un vase de stockage a également été identifié ainsi qu'un pot à cuire ou de présentation (présence d'un décor d'incisions et partie supérieure externe soigneusement polie).

Ces formes ont essentiellement été trouvées entre 20 et 60 cm et appartiennent à un horizon

chronologique daté entre la fin de La Tène C1 et La Tène C2 (pot à décor d'incision, jatte tronconique ou carénée à col droit, pl. 13 et 14).



Profondeur	Nombre de fragments	Datation
0 à 20 cm	38	LTC
20 à 40 cm	82	LTC2 – C1
40 à 60 cm	125	LTC2 – C1
60 à 80 cm	5	LTC

Fig. 24 : Répartition et datation des fragments de céramique de la zone est selon la profondeur d'enfouissement.

4.1.e Synthèse chronologique du fossé de l'enclos

À travers les zones de concentrations du mobilier, mais également les vestiges céramiques épars, trois phases de comblements, déjà observées lors de la fouille, sont attestées pour le fossé d'enclos.

Quelques éléments céramiques, principalement mis au jour dans les niveaux inférieurs du fossé, sont attribuables à la toute fin de La Tène C1 (autour de 180 av. J.-C.), autorisant l'hypothèse d'un creusement initial du fossé à cette époque, et correspondant aux premiers rejets détritiques de cette période.

Le fossé a ensuite été essentiellement comblé à La Tène C2, attestant alors de l'occupation « stricte » du site à cette période.

Enfin, deux zones de concentrations des vestiges mobiliers (zone sud-ouest et nord) ont permis de révéler des formes attribuables au début de

La Tène D1 (autour de 130–100 avant J.-C.) : présence de tessons de NPR datés à partir de la seconde moitié du 1^{er} siècle avant notre ère, vase à provisions repris à la tournette identiques aux productions du site voisin d’Herblay (pl. 13–5) daté de La Tène D1. La présence d’un unique tesson d’amphore constitue également un jalon appuyant une datation de la fin de La Tène C2 et du début de La Tène D1.

Ces rejets importants semblent avoir été réalisés après une phase de curage du fossé dans ces secteurs, induisant alors quelques mélanges de formes plus récentes dans les niveaux inférieurs. Cet aspect révèle également la continuité de l’occupation au début de La Tène finale, avec néanmoins l’obligation de recreuser une structure visiblement déjà comblée.

Enfin, certains éléments mis au jour au décapage et datés de La Tène D2 semblent davantage être intrusifs, correspondant à des éléments appartenant à une occupation de La Tène finale – gallo-romain précoce, située en dehors de l’enclos et probablement liée à la structure 2 qui a livré quantité de fragments d’amphore italique.

Pour finir, une forme atypique a été mise au jour dans le sondage 6, associée à un amas de porcs (cf. annexe 3). Cette forme semble appartenir à

un horizon plus ancien tel que le Hallstatt final/ La Tène ancienne. Peut-on alors y voir l’association d’un objet plus ancien avec un dépôt d’animal destiné à une consommation collective, ou s’agit-il simplement d’un objet intrusif? La question demeure entière mais l’association dans la même couche de rejet mérite d’être soulignée.

Concernant les fonctions des céramiques représentées dans le fossé, l’ensemble se caractérise par l’importance de la consommation (environ 50 %), suivi de la préparation des aliments (27 % environ). Il est intéressant de noter la faible proportion des vases de stockage (14 %), la céramique privilégiant les formes liées à la préparation et au service des repas. Les zones sud-ouest et nord se distinguent nettement par le nombre de restes céramiques. Le rejet de la zone sud-ouest est vraisemblablement dû à une consommation collective d’aliments dans un temps relativement court, tandis que les vestiges mis au jour dans la zone nord et ouest semblent davantage être liés à la proximité d’habitation.

La répartition du mobilier croisée avec l’analyse fonctionnelle du corpus illustrent alors deux images de rejets de la céramique dans le fossé : d’une part, celle d’une accumulation régulière

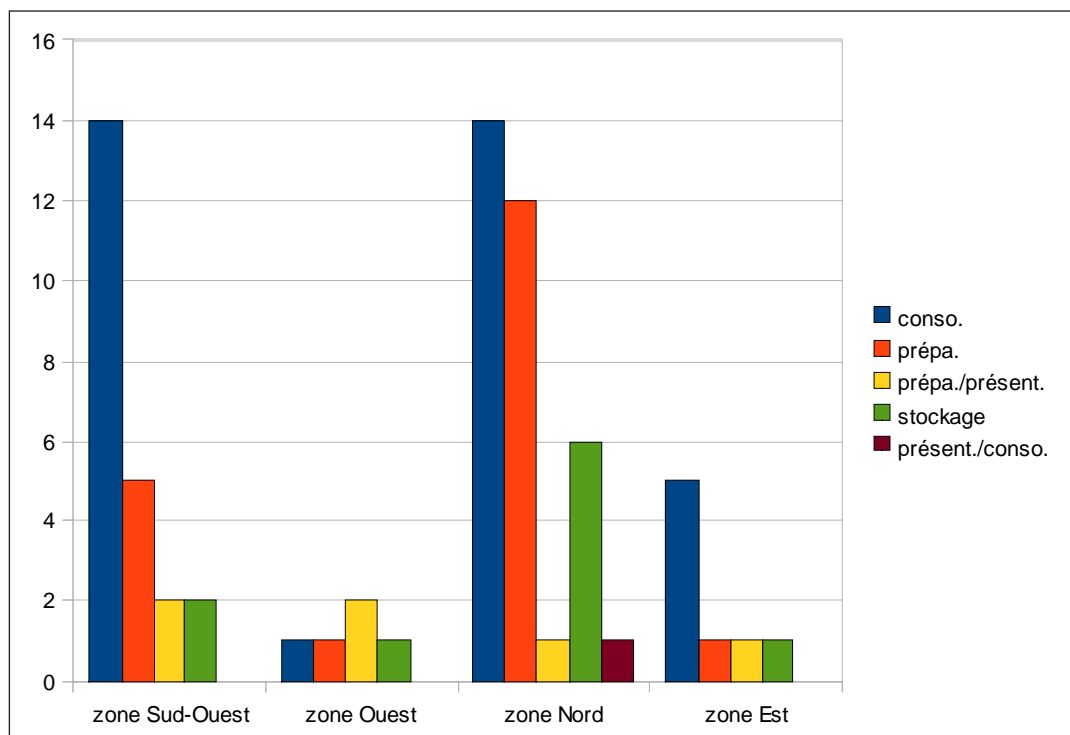


Fig. 25 : Répartition des fonctions de vases par zones de rejets du fossé 200.

de tessons liée à l'occupation du site (zone d'habitation, mobilier épars et/ou peu concentré) et d'autre part l'image d'évènements ponctuels tels que des repas collectifs illustrés par des zones d'importants dépotoirs.

4.2 Les structures internes à l'enclos

4.2.a Le silo 501

133 NFR et 31 NMI: Le silo 501 a permis de mettre au jour 136 fragments de céramique non tournée et 6 fragments tournés ou repris à la tournette; 22 fragments sont indéterminés. 11 formes ont été identifiées correspondant à 6 formes basses ouvertes (3 jattes tronconiques, 2 jattes convexes et 1 jatte cylindro-coniques) et 5 formes hautes fermées (2 pots situliformes et 3 pots ovoïdes). Les pots situliformes sont très proches des productions de Villiers-le-Sec datées de la fin de La Tène C1 et de La Tène C2. La majorité des jattes se situaient entre 35 et 60 cm. Un seul provient des niveaux inférieurs entre 2,30 et 2,50 m. Les pots situliformes ont plutôt été recueillis autour d'1m de profondeur et les pots ovoïdes entre 60 cm et 1 m. Un seul exemplaire de pot ovoïde (vase de stockage) se situe dans les niveaux inférieurs (entre 2,30 m et 2,50 m). Un fragment de fond de faisselle ainsi qu'un fond percé probablement destiné aussi à la fabrication de fromage ont été mis au jour dans cette structure.

Les formes observées correspondent à 5 jattes de consommation, 1 jatte de préparation/consommation, 4 pots de préparation et 1 vase de stockage.

4.2.b Le silo 504

232 NFR et 53 NMI. Le silo 504 a permis de mettre au jour 231 tessons non tournés et 16 tessons tournés ou repris à la tournette; 38 fragments sont indéterminés. 15 formes ont été identifiées correspondant à 9 formes basses ouvertes (2 jattes tronconiques, 1 jatte convexe et 6 jattes carénées), 5 formes hautes fermées (2 pots situliformes, 3 pots ovoïdes) et 1 forme haute ouverte (jatte tronconique). Trois formes

basses ouvertes sont d'ailleurs remarquables par leur décor et la technique de façonnage (pl. 4-9), dont une est proche des productions de Fontenay-en-Parisis et du site de Tartigny dans l'Oise (pl. 4-7), tous deux datés de la fin de La Tène C1 et du début de La Tène C2 (autour de 180 av. J.-C.). Les pots ovoïdes sont également similaires dans leur forme à ceux mis au jour à Fontenay-en-Parisis ou à Bobigny, datés de l'étape 7 sur les sites franciliens (La Tène C1/C2)⁶⁷. L'exemplaire décoré de motifs d'ocelles a été mis au jour dans cette structure. Les jattes carénées et convexes sont principalement situées au fond de la structure (entre 1,20 m et 1,80 m) alors que les pots sont variables dans la profondeur des rejets, compris entre 20 et 40 cm ou 1,40 et 1,60 m.

Les formes identifiées correspondent à 6 jattes de consommation, 1 jatte de préparation/consommation, 2 jattes et 1 pot de présentation, 5 pots de préparation, et 2 vases de stockage.

4.2.c Comparaison entre les silos 501 et 504

Ces deux silos datés dès la fin de La Tène C1/début de La Tène C2, présentent des catégories fonctionnelles de vases assez proches. Cependant, le silo 504 offre davantage l'image d'une vaisselle de qualité supérieure (récipients tournés, richement décorés, etc.) correspondant à la catégorie des récipients de présentation et/ou de consommation. Ils sont majoritairement rejetés au fond de la structure et semble répondre à un rejet de consommation directe, dans une vaisselle plus «haut de gamme», correspondant probablement aux reliefs d'un repas remarquable. En revanche, le silo 501 fournit une vaisselle plus commune liée aux diverses fonctions propres aux récipients. Il témoigne ainsi d'un rejet plus lent de déchets domestiques.

⁶⁷ Marion 2004, p. 678.

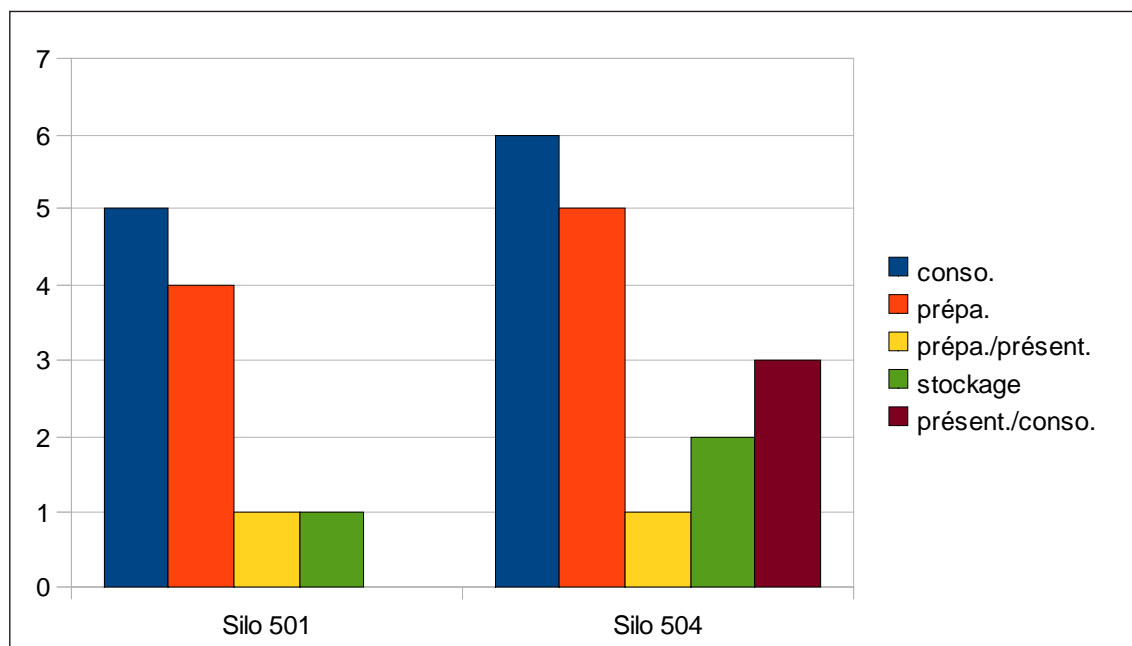


Fig. 26 : Répartition des fonctions de vases des silos 501 et 504.

4.2.d Le silo 3 (diagnostic 2008)

75 NFR et 9 NMI : Le silo 3 a permis de recueillir 76 tessons non tournés, 3 tessons tournés et 5 tessons indéterminés. Une seule forme a pu être identifiée correspondant à une jatte convexe de grande contenance (jarre de stockage pl. 16-7). Elle est issue des comblements inférieurs entre 1,30 m et le fond. Ce vase et l'étude des pâtes des divers fragments recueillis, permettent de dater ce silo de La Tène moyenne, sans plus de précisions chronologiques.

4.2.e La fosse 500

19 NFR : Aucune forme ne permettant d'établir une chronologie fine n'a été mise au jour dans cette structure. (La Tène C?).

4.3 Les structures hors enclos

4.3.a Le silo 15 (diagnostic 2008)

Le silo 15 a permis de mettre au jour 23 fragments non tournés dont un pot miniature fermé

(consommation) découvert à 15 cm en-dessous du niveau décapé. Cette unique forme ne permet pas d'affirmer une chronologie fine. En effet, ce type de récipient miniature est présent de La Tène ancienne jusqu'à La Tène moyenne. L'inhumation découverte dans les niveaux inférieurs, et datée de La Tène ancienne par C14 ne permet pas également d'affirmer une datation de cette période pour le vase (ce dernier ayant été recueilli dans les niveaux supérieurs pouvant correspondre à un rejet postérieur au squelette).

4.3.b Le silo 12 (diagnostic 2008)

Cette structure a permis de recueillir 23 fragments de céramique dont un individu. Le manque de formes ne permet pas une chronologie satisfaisante. Les pâtes observées s'apparentent aux productions de La Tène (moyenne?).

4.3.c La fosse 2 (diagnostic 2008)

Cette fosse a permis de recueillir 145 fragments d'amphore italique. La datation envisagée est La Tène D2/gallo-romain précoce (50-30 av. J.-C.).

4.3.d Les fosses 203, 214 et 241.

Le manque de formes ne permet pas de préciser une chronologie fine pour ces structures dont les pâtes s'apparentent néanmoins aux productions protohistoriques.

5 Conclusion

Avec plus de 6 200 tessons, le site de Villiers-le-Bel permet de compléter les données et de mettre en évidence un vaisselier typique de la fin de La Tène C1 et de La Tène C2/D1 du nord de l'Ile-de-France. Il permet également d'apprécier une production locale d'un établissement rural avec une prédominance de récipients impliqués dans la consommation et la préparation des aliments.

L'analyse typo-chronologique a permis de mettre en évidence une occupation dès la fin de La Tène C1 (180 av. J-C environ), correspondant aux silos 501 et 504 et à la mise en place de l'enclos. Néanmoins, les datations C14 réalisées dans les silos 15 (inhumation) et 504 (à 2,60 m) ont placé ces niveaux au cours de La Tène ancienne, révélant vraisemblablement une antériorité du site, que l'étude céramique n'a pas pu mettre en évidence en l'absence de fragments dans ces couches. De plus, le silo 15 peut être daté dès le début de La Tène C1, le vase miniature mis au jour dans les niveaux supérieurs pouvant être attribué à cette période.

Quoiqu'il en soit, le fossé est ensuite utilisé tout au long de La Tène C2 jusqu'aux premières décennies de La Tène D1.

Un attachement à acquérir de la vaisselle de qualité a été observé, permettant l'hypothèse de repas remarquables, par le mode de rejet direct dans une structure en creux (silo 504). Cette hypothèse est également confortée par la présence de zones de rejets plus importantes dans certains secteurs du fossé de l'enclos. La question des repas collectifs semble être à nouveau à prendre en compte ici. Par ailleurs, le rejet de vaisselle fine est très souvent privilégié dans les silos⁶⁸.

68 De nombreux exemples franciliens et contemporains de Villiers-le-Bel peuvent être cités ici : Gonesse «Zac des Tulipes Nord» (silo 2001) Granchon à *paraître*, Le Mesnil-Aubry «Le Bois-Bouchard» (silo 031) Laporte-Cassagne *en cours*.

Peut-on alors voir une association volontaire de rejet de vaisselle «notable» dans les structures de stockage? La question est ouverte.

Globalement, le vaisselier de Villiers-le-Bel correspond à une vaisselle simple et commune avec la présence d'une vaisselle remarquable, renvoyant ainsi l'image d'une occupation modeste à prospère.

Cette étude demeure néanmoins incomplète du fait de l'absence d'une partie du fossé sud, espérant alors une opération future afin de compléter les données

6 Descriptif des Illustrations

Dessin et DAO : C. Laporte-Cassagne (exceptée la Planche 15, © N. Garmond (Pariat, Garmond 2008). Seuls le dessin et la photo pl. 15-6, repris par C. Laporte-Cassagne/A. Battistini après restauration du vase).

Tous les vases ont été mis au net sur le logiciel Adobe Illustrator et réduits à l'échelle 1/3. Seuls les traitements de surfaces des faces externes ont été représentés ici ; les trames grisées (10 % de transparence) correspondent ainsi au polissage ou décors polis des faces externes. Les surfaces lissées ont été laissées neutres. Les surfaces raclées ont été représentées par des points (0,25) et les surfaces peignées par des stries (0,25). Les décors d'incisions sont représentés en trait plein de couleur noir.

Sont indiqués ici, le numéro de figure sur la planche, le numéro d'inventaire (numéro du sac) entre parenthèses, la profondeur d'enfouissement sous le niveau de décapage, la description du fragment et/ou du vase et la forme typologique.

Planche 1 : Silo 501

1 – (409) entre 36 et 50 cm : Bord et haut de panse de jatte convexe non tournée à pâte mi-fine sableuse cuite en atmosphère réductrice irrégulière. Les deux surfaces ont été lissées (aspect mat et plus ou moins rugueux au toucher). Lèvre droite pincée, diamètre à l'ouverture de 20 cm. *Forme typologique : FBO 2.1*

2 – (423) entre 35 et 50 cm : bord et haut de panse de jatte tronconique non tournée à pâte mi-fine sableuse, cuite en atmosphère réductrice irrégulière. Lèvre droite arrondie en forme de léger bourrelet et surfaces lissées. Diamètre à l'ouverture de 30 cm. **Forme typologique : FBO 1.4**

3 – (423) entre 35 et 50 cm : bord et haut de panse de jatte tronconique non tournée à pâte grossière sableuse cuite en atmosphère réductrice irrégulière. Les deux faces ont été lissées, la lèvre est droite légèrement aplatie. Diamètre à l'ouverture de 17 cm. **Forme typologique : FBO 1.3**

4 – (408) à 95 cm : bord et haut de panse de jatte tronconique non tournée à pâte mi-fine sableuse et cuite en mode réducteur irrégulier (B'). Les deux faces ont été lissées, la lèvre est droite en forme de léger bourrelet. Diamètre à l'ouverture de 28 cm. **Forme typologique : FBO 1.4**

5 – (430) entre 1,40 et 1,60 m : bord et panse de jatte carénée non tournée à pâte grossière sablo-calcaire et cuite en atmosphère réductrice irrégulière. La carène est peu anguleuse, le col est haut et droit et la lèvre est légèrement déversée et biseautée. La face interne est intégralement polie ; la face externe a été polie dans sa partie supérieure (col et lèvre). Un décor au peigne (récurrence du motif) a été réalisé sur la partie inférieure de la face externe, placé sous la carène. Diamètre à l'ouverture de 32 cm. **Forme typologique : FBO 5.1**

6 – (408) à 95 cm : Bord et haut de panse d'un pot situliforme non tourné à pâte mi-fine sableuse et cuit en atmosphère réductrice irrégulière. La face interne du vase est polie alors qu'une alternance polissage/lissage a été observée sur la face externe (partie supérieure polie, inférieure lissée). Carène anguleuse et placée sur la partie supérieure de la panse, col rentrant et lèvre droite arrondie légèrement épaissie. Diamètre à l'ouverture de 18 cm. **Forme typologique : FHF 1.1**

7 – (417) entre 40 et 60 cm : bord et haut de panse d'un pot situliforme non tourné à pâte mi-fine sableuse et cuit en atmosphère réductrice

irrégulière. Les deux faces ont été polies. La carène est anguleuse, le col est rentrant assez haut et la lèvre est déversée épaissie en forme de bourrelet arrondie. Diamètre à l'ouverture de 21 cm. **Forme typologique : FHF 1.1**

8 – (406) entre 2,30 et 2,50 m : Bord et panse de vase à provisions ovoïde non tourné à pâte grossière sableuse et cuit en mode réducteur primitif. La face interne a été polie intégralement mais présente de nombreuses desquamations (liées au contenant de type sel ?). La face externe a été polie dans sa partie supérieure (col et bord) et raclée sur la partie inférieure (aspect très rugueux, nombreuses traces de touffes végétales et de digitations). Le col est court, la lèvre est en forme de gros bourrelet biseauté. Diamètre à l'ouverture de 29 cm. **Forme typologique : FHF 2.9**

9 – (414) entre 60 et 80 cm : Bord et panse de pot ovoïde non tourné à pâte mi-fine sableuse et cuit en atmosphère réductrice irrégulière. La face interne est polie et la face externe présente l'alternance polissage/lissage. Le col est resserré, la lèvre est déversée et arrondie. Diamètre à l'ouverture de 21 cm. **Forme typologique : FHF 2.3**

10 – (411) entre 80 cm et 1 m : bord et haut de panse de pot ovoïde (?) non tourné à pâte mi-fine sableuse et cuit en atmosphère réductrice irrégulière. La face interne a été polie et la face externe présente l'alternance polissage/lissage. Le col est resserré et la lèvre est déversée en forme de léger bourrelet arrondi. Diamètre à l'ouverture de 16 cm. **Forme typologique : FHF 2.3**

Planche 2 : Silo 501

1 – (412) entre 2,30 et 2,50 m : fond plat de vase à provisions (même individu que Planche 2-8) non tourné à pâte grossière sableuse. Surface interne polie mais très érodée (importante desquamation) et surface externe raclée. Diamètre du fond de 20 cm.

2 – (406) entre 2,30 et 2,50 m : fond plat de récipient indéterminé non tourné à pâte grossière sableuse et cuit en atmosphère réductrice

irrégulière. Surfaces internes et externes polies. Diamètre du fond de 9 cm.

3 – (423) entre 35 et 50 cm : Fond plat de vase indéterminé non tourné à pâte grossière sableuse et cuit en atmosphère réductrice irrégulière. Surface interne lissée et externe peignée. Diamètre de 10 cm.

4 – (419) à 32 cm : Fragment de fond plat perforé avant cuisson (récipient utilisé pour égoutter/démouler le fromage ?), non tourné à pâte mi-fine sableuse et cuit en mode réducteur primitif. Les deux faces ont été lissées. Diamètre de 9 cm.

5 – (431) Fragment de fond plat de faisselle (perforations multiples avant cuisson destinées à égoutter le fromage) non tournée à pâte grossière sableuse et cuit en mode réducteur irrégulier. Les deux faces ont été lissées. Diamètre de 7 cm.

6 – (409) entre 36 et 50 cm : Bord et haut de panse de vase indéterminé (pot ?) non tourné à pâte mi-fine sableuse et cuit en mode B primitif (B[?]). Les deux faces ont été lissées et la face externe présente un décor de fines incisions oblongues. Lèvre droite et arrondie, diamètre indéterminé.

7 – (413) entre 1,40 et 1,60 m : fragment de panse de vase indéterminé non tourné à pâte grossière coquillée et cuit en mode B primitif. Surfaces lissées et décor d'incisions ovales sur la face externe.

8 – (422) à 1,10m : bord de vase indéterminé non tourné à pâte mi-fine sableuse et cuit en mode B primitif. Surfaces lissées et traces d'enduit noir sur la face externe soulignant deux pressions sur la pâte. Petite lèvre en bourrelet arrondi légèrement déversée. Diamètre indéterminé.

9 – (412) entre 2,30 et 2,50 m : bord de jatte convexe non tourné à pâte grossière sableuse et cuite en mode réducteur irrégulier. Les deux faces ont été polies. La lèvre est droite et aplatie, diamètre indéterminé. **Forme typologique : FBO 2.3**

10 – (426) à 60 cm : bord de vase indéterminé non tourné à pâte mi-fine sableuse et cuit en mode réducteur irrégulier. La face interne est polie et la face externe est lissée. Lèvre droite en forme de petit bourrelet arrondi, diamètre indéterminé.

Planche 3 : Silo 504

1 – (331) entre 60 et 80 cm : Bord et panse de jatte tronconique non tournée à pâte grossière sableuse et cuite en atmosphère réductrice irrégulière. La face interne est polie mais la face externe a été grossièrement raclée. La lèvre est légèrement pincée en forme de petit bourrelet arrondi. Diamètre à l'ouverture de 25 cm. **Forme typologique : FBO 1.1**

2 – (343) entre 1,40 et 1,60 m : bord et panse de jatte tronconique non tournée à pâte grossière sableuse et cuite en atmosphère réductrice irrégulière. Les deux faces ont été polies et la lèvre est légèrement pincée en forme de bourrelet arrondi. Diamètre à l'ouverture de 19 cm. **Forme typologique : FBO 1.1**

3 – (335) entre 1,40 et 1,60 m : profil archéologiquement complet d'une jatte convexe reprise à la tournette à pâte mi-fine sableuse et cuite en atmosphère réductrice assez bien contrôlée (les deux surfaces sont de couleur sombre régulière). Les deux faces ont été polies. Le fond est annulaire plat, la lèvre est arrondie légèrement pincée. Diamètre à l'ouverture de 17,5 cm. **Forme typologique : FBO 2.3**

4 – (330) entre 80 cm et 1 m : bord et haut de panse de jatte (?) carénée non tournée à pâte grossière sablo-calcaire et cuite en mode réducteur irrégulier. Les deux surfaces ont été polies, la carène est peu anguleuse, portée sur le haut de la panse, le col est resserré et la lèvre est légèrement déversée biseautée. Diamètre à l'ouverture de 26 cm. **Forme typologique : FBO 3.6**

5 – (343) entre 1,40 et 1,60 m : bord et haut de panse de jarre carénée à profil en «S» non tournée à pâte mi-fine sableuse et cuite en mode réducteur irrégulier. Les deux faces ont été polies,

le col est court et légèrement concave et la lèvre est déversée arrondie. Diamètre à l'ouverture de 28 cm. **Forme typologique : FBO 3.2**

6 – (343) entre 1,40 et 1,60 m : bord et haut de panse de jarre (?) carénée à profil en «S» non tournée à pâte mi-fine sableuse et cuite en atmosphère réductrice irrégulière. Les deux faces ont été polies, le col est court et légèrement droit et la lèvre est déversée pincée en forme de petit bourrelet irrégulier. Diamètre à l'ouverture de 31 cm. **Forme typologique : FBO 3.2**

7 – (336) entre 1,20 et 1,40 m : Bord et panse de jatte carénée non tournée à pâte mi-fine sableuse et cuite en mode réducteur assez bien contrôlé (surfaces noires régulières). Les deux faces ont été polies et la face externe a reçu un décor au brunissoir réalisé sous la carène. Il s'agit de décor de ligne horizontale en dessous de laquelle ont été réalisés des chevrons polis. La carène est basse, peu anguleuse. Le col est court et droit et la lèvre est déversée triangulaire. Diamètre à l'ouverture de 19 cm. **Forme typologique : FBO 3.3**

8 – (327) entre 1 et 1,20 m : Bord et panse de jarre carénée à profil en «S» non tournée à pâte mi-fine sableuse et cuite en atmosphère réductrice irrégulière. La face interne et la partie supérieure de la face externe ont été polies. La partie inférieure de la surface externe est lissée et présente un décor au brunissoir situé sous la carène. Il s'agit d'un décor de grandes lignes de chevrons en dessous desquelles se situe un décor d'onde polie enserrée entre deux lignes horizontales. La carène est peu anguleuse, le col est haut et légèrement concave et la lèvre est déversée pincée en forme de bourrelet épaissi. Diamètre à l'ouverture de 24 cm. **Forme typologique : FBO 3.2**

9 – (337) entre 1,60 et 1,80 m : Bord et panse de jatte carénée reprise à la tournette à pâte mi-fine sableuse et cuite en atmosphère réductrice assez bien maîtrisée (surfaces noires). Les deux faces ont été polies. La carène est peu anguleuse, portée sur le haut de la panse. Le col est haut et présente un décor de baguette. La lèvre est déversée arrondie et présente une rainure sommitale.

Récipient réalisé avec qualité (maîtrise de la cuisson et de la tournette). Diamètre à l'ouverture de 36 cm. **Forme typologique : FBO 3.4**

10 – (346) entre 1,20 et 1,40 m : Fragment de récipient (fond?) probablement repris à la tournette à pâte mi-fine sableuse et cuit en atmosphère réductrice assez bien maîtrisée (surfaces grises-sombres). Présence d'une sorte d'ombilic à l'intérieur duquel se développe un décor d'au moins quatre ocelles réalisés sur pâte humide (décor d'impression?) sur la face interne. Les deux faces sont polies.

Planche 4 : Silo 504

1 – (347) entre 1,80 et 2 m : Bord et haut de panse de pot situliforme non tourné à pâte grossière sableuse et cuit en atmosphère réductrice irrégulière. La face interne et la partie supérieure de la face externe sont polies. La partie inférieure de la face externe a été lissée. Un décor d'incisions oblongues est disposé au-dessus de la carène. Celle-ci est peu anguleuse, le col est resserré légèrement concave, la lèvre est en forme de petit bourrelet arrondi. Diamètre à l'ouverture de 12 cm. **Forme typologique : FHF 1.2**

2 – (333) entre 20 et 40 cm : Bord et haut de panse d'un probable même pot ovoïde non tourné à pâte mi-fine sableuse et cuit en atmosphère réductrice irrégulière. Les deux faces ont été lissées et un décor d'incisions oblongues a été appliqué à la jonction col-panse. Celle-ci est très évasée, le col est haut et concave, la lèvre est déversée épaissie. Diamètre à l'ouverture de 12 cm. **Forme typologique : FHF 2.5**

3 – (335) entre 1,40 et 1,60 m : Bord et haut de panse de pot situliforme non tourné à pâte mi-fine sableuse et cuit en atmosphère réductrice irrégulière. La face interne et la partie supérieure de la face externe ont été polies. La partie inférieure de la face externe a été lissée. Un décor d'incisions oblongues a été réalisé sur la carène. Cette dernière est anguleuse, le col est resserré, la lèvre est épaissie droite. Diamètre à l'ouverture de 12 cm. **Forme typologique : FHF 1.1**

4 – (333) entre 20 et 40 cm : Bord et haut de panse de pot ovoïde de grandes dimensions (vase à provision) non tourné à pâte grossière sableuse et cuit en mode B irrégulier. Les deux faces ont été polies. Absence de col, lèvre en bourrelet triangulaire aplati. Diamètre à l'ouverture de 35 cm. **Forme typologique : FHF 2.9**

5 – (331) entre 60 et 80 cm : Bord de pot de forme indéterminée mais de grandes dimensions (vase à provision) non tourné à pâte grossière sablo-calcaire et cuit en mode B irrégulier. Les deux faces ont été polies. Lèvre épaissie et pincée. Diamètre à l'ouverture de 32 cm.

6 – (331) entre 60 et 80 cm : Bord de pot de forme indéterminée non tourné à pâte mi-fine sableuse et cuit en mode B irrégulier. Les deux faces sont polies. Lèvre épaissie légèrement déversée. Diamètre à l'ouverture de 25 cm.

7 – (330) entre 80 cm et 1 m : Bord et col de pot de forme indéterminée probablement repris à la tournette à pâte mi-fine coquillée et cuit en mode B irrégulier. Les deux faces sont polies. Décor de rainure incisée sous le col, col légèrement concave, lèvre déversée arrondie. Diamètre à l'ouverture de 26 cm.

8 – (334) entre 80 cm et 1 m : Bord et col de pot de forme indéterminé, tourné à pâte fine sableuse et cuit en atmosphère réductrice assez bien maîtrisée. La face interne est lissée et la face externe a été polie. Le col est concave, la lèvre est déversée arrondie portant une rainure sur la face interne. Diamètre à l'ouverture de 19 cm.

9 – (334) entre 80 cm et 1 m : Bord et haut de panse de pot/jatte (?) tournée à pâte fine sableuse et cuit en atmosphère réductrice assez bien maîtrisée. La face interne a été lissée et la face externe est polie. Col court mouluré (large baguette) et petite lèvre arrondie légèrement déversée. Diamètre à l'ouverture de 14 cm. **Forme typologique : FHO 1.2**

10 – (334) entre 80 cm et 1 m : Bord et haut de panse de pot ovoïde non tourné à pâte grossière coquillée et cuit en mode B irrégulier. Les deux

faces ont été polies. Absence de col, bord rentrant arrondi. Diamètre à l'ouverture de 17 cm. **Forme typologique : FHF 2.1**

11 – (327) entre 1 et 1,20 m : Bord et haut de panse de pot ovoïde (?) non tourné à pâte mi-fine sableuse. La face interne et la partie supérieure de la face externe sont polies. La partie inférieure de la face externe est lissée et un décor d'incisions oblongues a été réalisé au-dessus du ressaut de la panse. Diamètre indéterminé.

Planche 5: Fossé 200, Sondage 3

1 – (125) entre 0 et 20 cm : bord et panse de jatte carénée non tournée à pâte grossière sableuse et cuite en atmosphère réductrice irrégulière. Les deux faces sont lisses. La carène est anguleuse, le col est haut et cylindrique et la lèvre est déversée arrondie. Diamètre à l'ouverture de 23 cm. **Forme typologique : FBO 3.8**

2 – (134) entre 30 et 40 cm : bord et panse de jatte carénée reprise à la tournette à pâte mi-fine sableuse et cuite en atmosphère réductrice assez bien maîtrisée (faces sombres homogènes). La carène est anguleuse peu marquée, le col est légèrement concave et la lèvre est fine déversée arrondie. Diamètre à l'ouverture de 18 cm. **Forme typologique : FBO 3.8**

3 – (139) entre 0 et 20 cm : Bord et haut de panse de jatte carénée à profil en «S», probablement reprise à la tournette à pâte mi-fine sableuse et cuite en atmosphère réductrice irrégulière. Les deux faces ont été lissées. Le col est cylindrique et la lèvre déversée arrondie. Diamètre à l'ouverture de 25 cm. **Forme typologique : FBO 3.3**

4 – (151) entre 30 cm et 40 cm : Bord et panse de pot ovoïde non tourné à pâte mi-fine sableuse et cuit en mode B irrégulier. Les deux surfaces ont été lissées. Le col est resserré concave, la lèvre est déversée arrondie. Diamètre à l'ouverture de 14 cm. **Forme typologique : FHF 2.2**

5 – (133) entre 0 et 20 cm : Bord et haut de panse de pot ovoïde tourné à pâte mi-fine sableuse et

cuit en atmosphère réductrice maîtrisée (surfaces grises). La face interne est lissée et la face externe a été polie mais est très érodée. Resserrement du col souligné par une rainure, lèvre déversée épaissie. Diamètre à l'ouverture de 10 cm. **Forme typologique : FHF 2.2**

6 – (123) entre 0 et 20 cm : Bord de pot de forme indéterminée mais de grandes dimensions (vase à provision). Pâte grossière chamottée non tournée et cuit en mode B irrégulier. Les deux surfaces semblent avoir été lissées. Lèvre épaissie déversée soulignée par deux rainures sur la face interne (sorte de lèvre en poulie). Diamètre à l'ouverture de 29 cm.

7 – (121) entre 0 et 20 cm : Fond plat annulaire et bas de panse de pot balustre tourné à pâte mi-fine sableuse et cuit en atmosphère réductrice irrégulière (ne semble pas appartenir au bord pl. 6-5). La face interne est lissée et la face externe a été polie. Diamètre du fond de 8 cm.

8 – (132) entre 0 et 20 cm : Fond plat et bas de panse de pot ovoïde (?) non tourné à pâte grossière sableuse et cuit en mode B irrégulier. Les deux faces ont été lissées. Diamètre du fond de 5,5 cm.

Planche 6 : Fossé 200, Sondage 3/B

1 – (143) entre 0 et 20 cm : Jatte convexe complète non tournée à pâte mi-fine sableuse et cuite en mode réducteur irrégulier. Les deux surfaces ont été polies (étanchéité). Lèvre droite arrondie et fond plat légèrement annulaire. Diamètre à l'ouverture de 20 cm. **Forme typologique : FBO 2.3**

2 – (142) entre 30 cm et 40 cm : Bord et panse de jatte convexe non tournée à pâte mi-fine sableuse et cuite en atmosphère réductrice irrégulière. Les deux surfaces ont été lissées. Lèvre droite pincée. Diamètre à l'ouverture de 23 cm. **Forme typologique : FBO 2.1**

3 – (173) entre 0 et 20 cm : Bord et haut de panse de jatte tronconique non tournée à pâte mi-fine sableuse et cuite mode B irrégulier. Les deux

surfaces ont été polies et la face interne présente un dépôt noirâtre correspondant probablement à du caramel alimentaire. La lèvre est en forme de bourrelet pincé (traces d'ongle à l'intérieur). Diamètre à l'ouverture de 18 cm. **Forme typologique : FBO 1.1**

4 – (142) entre 30 et 40 cm : Bord et panse de jatte carénée non tournée à pâte mi-fine sableuse et cuite en atmosphère réductrice irrégulière. Les deux faces ont été polies. La carène est anguleuse, le col est haut concave et la lèvre est déversée arrondie. Diamètre à l'ouverture de 25 cm. **Forme typologique : FBO 3.8**

5 – (142) entre 30 et 40 cm : Bord et panse de jarre carénée à profil en «S» non tournée à pâte mi-fine sableuse et cuite en atmosphère réductrice irrégulière. Les deux faces ont été lissées. Le col est cylindrique et la lèvre est déversée arrondie. Diamètre à l'ouverture de 34 cm. **Forme typologique : FBO 3.3**

6 – (142 et 194) entre 30 et 40 cm : Bord et panse de jatte carénée à profil en «S» probablement reprise à la tournette et cuite en mode B irrégulier. La face interne a été lissée et la face externe a été polie. Le col est court et resserré souligné d'une baguette, la lèvre est déversée arrondie. Diamètre à l'ouverture de 19 cm. **Forme typologique : FBO 3.1**

7 – (154) entre 20 et 40 cm : Bord et panse de jatte cylindro-conique tournée à la tournette à pâte mi-fine sableuse et cuite en atmosphère réductrice irrégulière. Les deux faces sont lissées. Le col est haut et droit, la lèvre est en bourrelet déversé et la jonction col/panse est souligné d'un ressaut. Diamètre à l'ouverture de 13 cm. **Forme typologique : FBO 5.2**

8 – (142) entre 30 et 40 cm : Bord et panse de pot ovoïde non tourné à pâte mi-fine sableuse et cuit en mode réducteur irrégulier. Les deux surfaces ont été lissées. Le col est resserré, la lèvre est en forme de bourrelet arrondi. Diamètre à l'ouverture de 16 cm. **Forme typologique : FHF 2.3**

Planche 7 : Fossé 200, Sondage B

1 – (161) à 40 cm : bord et panse de jatte tronconique non tournée à pâte grossière sableuse et cuite en atmosphère réductrice irrégulière. Les deux surfaces ont été lissées. La lèvre est droite pincée. Diamètre à l'ouverture de 13 cm. *Forme typologique : FBO 1.2*

2 – (180) entre 30 et 40 cm : Bord et haut de panse de jatte tronconique non tournée à pâte mi-fine sableuse et cuite en mode B irrégulier. Les deux faces sont lissées. La lèvre est droite pincée. Diamètre indéterminé. *Forme typologique : FBO 1.2*

3 – (201) entre 30 et 40 cm : Bord et panse de jatte convexe non tournée à pâte mi-fine sableuse et cuite en mode B irrégulier. Les deux faces ont été polies. Lèvre droite arrondie. Diamètre à l'ouverture de 16 cm. *Forme typologique : FBO 2.3*

4 – (209) entre 30 et 40 cm : Bord et panse de jatte carénée non tournée à pâte mi-fine sableuse et cuite en mode B irrégulier. Les deux surfaces ont été lissées. La carène est anguleuse, le col est court légèrement cylindrique et la lèvre est déversée arrondie. Diamètre à l'ouverture de 27 cm. *Forme typologique : FBO 3.8*

5 – (161) à 40 cm : Bord et panse de jatte carénée à profil en «S», non tournée à pâte grossière sableuse et cuite en mode B irrégulier. Les deux faces sont lissées. Le col est resserré, la lèvre est épaissie légèrement déversée. Diamètre à l'ouverture de 23 cm. *Forme typologique : FBO 3.1*

6 – (161) à 40 cm : Bord et panse de pot situliforme non tourné à pâte mi-fine sableuse et cuite en mode B irrégulier. La face interne et la partie supérieure de la face externe sont polies. La partie inférieure de la face externe a été grossièrement raclée à l'aide de touffe végétale (traces de nombreuses stries caractéristiques). Le col est resserré concave, la lèvre est épaissie arrondie. Diamètre à l'ouverture de 12 cm. *Forme typologique : FHF 1.2*

7 – (211) entre 20 et 40 cm : Bord et haut de panse de pot situliforme (?) non tourné à pâte grossière sableuse et cuite en mode B irrégulier. Les deux faces ont été lissées. Le col est resserré droit, la lèvre est aplatie en forme de triangle. Diamètre à l'ouverture de 23 cm. *Forme typologique : FHF 1.4*

8 – (161) à 40 cm : Bord et haut de panse de pot ovoïde tourné à pâte fine sableuse et cuite en atmosphère réductrice assez bien maîtrisée. La face interne est lissée et la face externe a été polie. Absence de col, lèvre rentrante en forme de bourrelet. Diamètre à l'ouverture de 10 cm. *Forme typologique : FHF 2.1*

9 – (161) à 40 cm : Bord et haut de panse de pot ovoïde de grandes dimensions (vases à provisions) probablement repris à la tournette pour la partie supérieure du récipient et cuite en mode B irrégulier. Absence de col, lèvre aplatie triangulaire. Diamètre à l'ouverture de 30 cm. *Forme typologique : FHF 2.7*

10 – (156 et 153) entre 0 et 20 cm : Fond plat légèrement annulaire et bas de panse de pot ovoïde (?) de grandes dimensions (vase à provisions) non tourné à pâte grossière sableuse et cuite en mode B irrégulier. Les deux surfaces sont polies. Diamètre du fond de 22 cm.

Planche 8 : Fossé 200, Sondages 1, 2, A et 38

1 – (9) Sd 1, à 65 cm : Bord et panse de jatte carénée non tournée à pâte mi-fine sableuse et cuite en mode B irrégulier. Les deux surfaces ont été lissées. Carène peu anguleuse, col resserré légèrement concave et lèvre arrondie déversée. Diamètre à l'ouverture de 23 cm. *Forme typologique : FBO 3.8*

2 – (473) Sd 1, entre 80 et 90 cm : bord et panse de jatte miniature carénée non tournée à pâte mi-fine sableuse et cuite en mode B irrégulier. Les deux surfaces ont été lissées. La carène est peu anguleuse, le col est droit, la lèvre est droite arrondie. Diamètre à l'ouverture de 5 cm. *Forme typologique : FBO 3.5*

3 – (27) Sd 1, à 80 cm : Bord et haut de panse de pot situliforme non tourné à pâte mi-fine sableuse et cuit en mode B irrégulier. Col cylindrique droit et lèvre droite pincée. Décor d'incisions oblongues porté sur le haut de la panse. Diamètre à l'ouverture de 16 cm. **Forme typologique : FHF 1.3**

4 – (1) Sd 1, à 80 cm : Bord et haut de panse de pot globulaire non tourné de grandes dimensions (vase à provision) à pâte grossière sableuse (avec de nombreuses vacuoles) et cuit en mode B irrégulier. Les deux faces ont été lissées et la face interne présente de nombreuses traces de desquamation liées à la nature du contenant (sel?). Col cylindrique, lèvre triangulaire présentant des rainures sommitales. Diamètre à l'ouverture de 30 cm. **Forme typologique : FHF 3.2**

5 – (22) Sd 2, à 40 cm : Bord et panse de jatte convexe miniature, non tournée à pâte mi-fine sableuse et cuite en mode B irrégulier. Les deux surfaces sont lissées. La lèvre est droite en forme de petit bourrelet. Diamètre à l'ouverture de 7 cm. **Forme typologique : FBO 2.2**

6 – (248) Sd A, entre 60 et 80 cm : Jatte tronconique complète non tournée à pâte grossière sableuse et cuite en mode B irrégulier. Les deux surfaces ont été lissées. Lèvre droite aplatie et fond plat. Diamètre à l'ouverture de 17 cm. **Forme typologique : FBO 1.3**

7 – (508) Sd A, entre 80 cm et 1 m : Bord et panse de jatte convexe miniature non tournée à pâte mi-fine sableuse et cuite en mode B irrégulier. Les deux surfaces ont été lissées. La lèvre est droite pincée. Nombreuses traces de digitations sur la face interne. Diamètre à l'ouverture de 5 cm. **Forme typologique : FBO 2.1**

8 – (92) Sd 38, à 70 cm : Bord et panse de jatte tronconique non tournée à pâte mi-fine sableuse et cuite en atmosphère réductrice irrégulière. Les deux surfaces ont été polies (étanchéité). La lèvre est rentrante en forme de bourrelet arrondi. Diamètre à l'ouverture de 23 cm. **Forme typologique : FBO 1.5**

9 – (92) Sd 38, à 70 cm : Bord et panse de bol convexe non tourné à pâte mi-fine sableuse et cuit en atmosphère réductrice irrégulière. Les deux faces ont été lissées. La lèvre est droite et pincée (digitations sur la face externe). Diamètre à l'ouverture de 13 cm. **Forme typologique : FBF 2.1**

10 – (92) Sd 38, à 70 cm : Bord et haut de panse jatte carénée non tournée à pâte mi-fine sableuse et cuite en mode B irrégulier. Les deux faces sont lissées. La carène est peu anguleuse, le col est court et souligné d'un renflement et la lèvre est déversée arrondie. Diamètre à l'ouverture de 28 cm. **Forme typologique : FBO 3.6**

11 – (92) Sd 38, à 70 cm : Bord et haut de panse de pot ovoïde tourné à pâte mi-fine sableuse et cuit en mode réducteur assez bien maîtrisé (surfaces sombres plus ou moins homogènes). Les deux surfaces sont lissées. La liaison col/panse est soulignée d'une baguette, le col est haut quasi cylindrique et la lèvre est déversée arrondie. Diamètre à l'ouverture de 14 cm. **Forme typologique : FHF 2.6**

12 – (487) Sd 38, à 70 cm : Bord et haut de panse de jarre convexe non tournée à pâte grossière sableuse et cuite en atmosphère réductrice irrégulière. Les deux faces ont été lissées. Le col est cylindrique épaissi et la lèvre est aplatie triangulaire. Diamètre à l'ouverture de 46 cm. **Forme typologique : FBO 2.6**

13 – (92) Sd 38, à 70 cm : Bord et panse de pot tronconique non tourné à pâte mi-fine sableuse et cuit en atmosphère réductrice irrégulière. Les deux surfaces ont été lissées. La liaison col/panse est souligné d'un ressaut, le col est court et resserré, la lèvre est déversée arrondie. Diamètre à l'ouverture de 17 cm. **Forme typologique : FHF 4.2**

Planche 9: Fossé 200, Sondages D,C,6,M,40 et O

1 – (258) Sd D, entre 20 et 40 cm : Bord et haut de panse de pot globulaire de grandes dimensions (vase à provisions) tourné à pâte mi-fine sableuse

et cuit en atmosphère réductrice irrégulière. Les deux surfaces ont été lissées. La liaison col/panse est souligné d'une rainure. Le col est court et resserré, la lèvre est déversée en forme de poulie. Diamètre à l'ouverture de 40 cm. **Forme typologique : FHF 3.1**

2 – (505) Sd C, entre 1 et 1,20 m : Bord et haut de panse de pot ovoïde non tourné à pâte grossière chamottée et cuit en atmosphère réductrice irrégulière. Les surfaces sont lissées. Le col est court, la lèvre est déversée en forme de bourrelet arrondi. Diamètre à l'ouverture de 12 cm. **Forme typologique : FHF 2.3**

3 – (221) Sd M, entre 40 et 60 cm : Profil archéologiquement complet de pot caréné non tourné à pâte mi-fine sableuse et cuit en mode B irrégulier. Les deux surfaces ont été lissées. Le fond est plat, la carène est peu marquée, le col est rentrant et la lèvre est droite pincée. Diamètre à l'ouverture de 10 cm. **Forme typologique : FBF 1.2**

4 – (19) Sd 6 entre 40 et 60 cm : Profil archéologiquement complet d'une jatte convexe non tournée à pâte mi-fine sableuse et cuite en mode B irrégulier. Les deux faces ont été lissées. La lèvre est droite légèrement pincée. Présence d'un trou de préhension et/ou de suspension à la jonction panse/lèvre. Fond plat irrégulier. Nombreuses traces de digitations sur la face interne du vase. Diamètre à l'ouverture de 9 cm. **Forme typologique : FBO 2.5**

5 – (89) Sd 40, entre 40 et 60 cm : Bord et panse de jatte tronconique non tournée à pâte mi-fine sableuse et cuite en atmosphère réductrice irrégulière. Les deux faces ont été lissées. La lèvre est droite aplatie. Diamètre à l'ouverture de 27 cm. **Forme typologique : FBO 1.3**

6 – (89) Sd 40, entre 40 et 60 cm : Bord et panse de jatte carénée non tournée et repris à la tournette (partie supérieure) à pâte mi-fine sableuse et cuite en atmosphère réductrice irrégulière. La face interne est lissée et la face externe a été polie. La carène est anguleuse, le col est concave et la lèvre est déversée arrondie. Diamètre à

l'ouverture de 23 cm. **Forme typologique : FBO 3.8**

7 – (89) Sd 40, entre 40 et 60 cm : Bord et haut de panse de pot ovoïde non tourné à pâte mi-fine sableuse et cuit en mode B irrégulier. Les deux surfaces ont été lissées. Le col est court resserré et droit, la lèvre est droite arrondie. Diamètre à l'ouverture de 16 cm. **Forme typologique : FHF 2.4**

8 – (251) Sd O, entre 20 et 40 cm : Bord et panse de jatte tronconique de grandes dimensions (jarre?) non tournée à pâte mi-fine sableuse et cuite en atmosphère réductrice irrégulière. Les deux surfaces ont été polies (étanchéité?). La lèvre est en forme de bourrelet arrondi et pincé (traces d'ongles sur les deux faces). Diamètre à l'ouverture de 30 cm. **Forme typologique : FBO 1.1**

9 – (251) Sd O, entre 20 et 40 cm : Bord, panse et départ de fond de jatte carénée non tournée à pâte grossière sableuse et cuite en atmosphère réductrice irrégulière. La carène est anguleuse portée haut sur la panse, le col est court et la lèvre est en forme de petit bourrelet arrondi. Le fond semble plat, légèrement annulaire. Diamètre du fond de 7 cm. **Forme typologique : FBO 3.9**

10 – (252) Sd O, entre 20 et 40 cm : Fragment de panse décorée de bandes obliques réalisées au brunissoir (décor à la pointe-mousse) sur pâte tournée mi-fine sableuse et cuite en mode B irrégulier.

11 – (251) Sd O, entre 20 et 40 cm : Bord et haut de panse de pot ovoïde tourné à pâte mi-fine sableuse et cuit en atmosphère réductrice assez bien maîtrisée (surfaces sombres homogènes). Les deux faces ont été lissées et la face externe présente un décor de lignes obliques polies sur le haut de la panse. Le col est droit quasi cylindrique et la jonction col/panse est souligné d'un décor de baguette. La lèvre est petite, déversée arrondie. Diamètre à l'ouverture de 14 cm. **Forme typologique : FHF 2.6**

Planche 10 : Fossé 200, Sondages 13, 17, P, T, 18, 19 et U

1 – (16) Sd 13, entre 20 et 40 cm : Bord et panse de pot ovoïde non tourné à pâte grossière sableuse et cuit en atmosphère réductrice irrégulière. Les deux surfaces ont été lissées. Le col est court et la lèvre est déversée arrondie. Diamètre à l'ouverture de 20 cm. *Forme typologique : FHF 2.2*

2 – (18) Sd 13, entre 0 et 20 cm : Bord et haut de panse de pot ovoïde non tourné mais partie supérieure reprise à la tournette, à pâte grossière sableuse (type Besançon ?) et cuit en atmosphère réductrice irrégulière. La face interne est lissée, la partie supérieure de la face externe est polie et la partie inférieure a été grossièrement raclée à l'aide de touffes végétales (stries caractéristiques). Le haut de la panse est mouluré, le col est resserré et la lèvre est déversée arrondie. Diamètre à l'ouverture de 13 cm. *Forme typologique : FHF 2.2*

3 – (474) Sd 17, entre 60 et 80 cm : Bord de récipient de forme indéterminée non tourné à pâte grossière sableuse. Les deux faces semblent avoir été polies mais sont mal conservées. La face externe présente également des traces d'enduit noir (type goudron ?). La lèvre est épaissie en forme de gros bourrelet déversé. Diamètre indéterminé.

4 – (287) Sd P, entre 0 et 10 cm : Bord, panse et une partie du fond d'une jatte cylindrique tournée à pâte fine sableuse et cuite en atmosphère réductrice assez bien maîtrisée (surfaces sombres quasi homogènes). La lèvre est en forme de petit bourrelet arrondi légèrement déversé. Le fond semble être ombiliqué. Diamètre à l'ouverture de 17 cm. *Forme typologique : FBO 4.1*

5 – (288) Sd T, entre 0 et 20 cm : Bord et panse de pot situliforme non tourné à pâte mi-fine sableuse et cuit en mode B irrégulier. Les deux faces ont été lissées. La carène est peu anguleuse, le col est court et droit, la lèvre est déversée arrondie. Diamètre à l'ouverture de 12 cm. *Forme typologique : FHF 1.2*

6 – (79) Sd 18, entre 40 et 60 cm : Bord et haut de panse de jatte convexe non tournée à pâte mi-fine sableuse et cuite en atmosphère réductrice irrégulière. Les deux faces ont été polies. La lèvre est droite en forme de petit bourrelet arrondi. Diamètre à l'ouverture de 16 cm. *Forme typologique : FBO 2.2*

7 – (65) Sd 18, entre 20 et 40 cm : Bord et panse de jatte convexe non tournée à pâte mi-fine sableuse et cuite en atmosphère réductrice irrégulière. Les deux faces ont été lissées. La lèvre est en forme de bourrelet arrondi. Diamètre à l'ouverture de 16 cm. *Forme typologique : FBO 2.2*

8 – (52) Sd 19, entre 80 cm et 1 m : Bord et panse de jatte carénée à profil en «S» tournée à la tournette et cuite en mode B irrégulier. Les deux surfaces ont été lissées. Le col est court et la lèvre est en forme de bourrelet arrondi déversé. Diamètre à l'ouverture de 17 cm. *Forme typologique : FBO 3.1*

9 – (482) Sd 19, à 85 cm : Bord et col de pot ovoïde non tourné à pâte grossière sableuse et cuit en atmosphère réductrice irrégulière. Les deux faces ont été lissées et la face externe présente des traces d'enduit noir (type goudron ?). La lèvre est épaissie légèrement triangulaire et pincée (traces de digitations sur la face externe). Diamètre à l'ouverture de 27 cm. *Forme typologique : FHF 2.9*

10 – (286) Sd U, à 30 cm : Bord, panse et départ de fond de jatte tronconique non tournée à pâte mi-fine sableuse et cuite en atmosphère réductrice irrégulière. Les deux faces ont été polies (étanchéité ?). La lèvre est droite et légèrement pincé, le fond semble être plat. Diamètre à l'ouverture de 27 cm. *Forme typologique : FBO 1.2*

11 – (271) Sd U, entre 80 cm et 1 m : Bord et haut de panse de jatte carénée à profil en «S» de grandes dimensions (jarre ?), non tournée mais partie supérieure reprise à la tournette. Pâte mi-fine sableuse et cuisson en mode B irrégulier. Les deux faces sont lissées. Le col est droit, quasi cylindrique, la lèvre est en forme de

petit bourrelet pincé. Diamètre à l'ouverture de 28 cm. **Forme typologique : FBO 3.2**

12 – (281) Sd U, à 1 m : Bord de pot de forme indéterminée mais de grandes dimensions (vase à provisions?) non tourné à pâte grossière sableuse et cuit en mode réducteur irrégulier. Les faces ont été lissées. La lèvre est en forme de gros bourrelet plus ou moins triangulaire. Diamètre à l'ouverture de 33 cm.

13 – (286) Sd U, à 30 cm : Bord et haut de panse de pot situliforme non tourné à pâte mi-fine sableuse et cuit en mode B irrégulier. Les deux faces ont été lissées. Le col est resserré, la lèvre est épaissie arrondie. Diamètre à l'ouverture de 11 cm. **Forme typologique : FHF 1.1**

14 – (284) Sd U, entre 80 cm et 1 m : Bord et col de pot de forme indéterminée tourné à pâte mi-fine sableuse et cuit en mode B assez bien maîtrisé (surfaces sombres homogènes). Les deux faces ont été lissées. La jonction col/panse a été souligné d'un décor de baguette, le col est court est resserré et la lèvre est déversée en forme de petit bourrelet arrondi. Diamètre à l'ouverture de 38 cm.

Planche 11 : Fossé 200, Sondages 20, V, 21 et W

1 – (481) Sd 20, entre 40 et 60 cm : Bord de récipient convexe (couvercle?) non tourné à pâte mi-fine sableuse et cuit en mode B irrégulier. Les surfaces sont lissées. Le bord est en forme de bourrelet présentant une rainure sommitale (gorge). Diamètre à l'ouverture de 24 cm. **Forme typologique : FBO 2.4**

2 – (540) Sd 20, entre 80 cm et 1 m : Bord et haut de panse de pot situliforme non tourné à pâte mi-fine sableuse et cuit en mode B irrégulier. Les deux faces ont été lissées. La carène est peu anguleuse, le col est haut et concave et la lèvre est en forme de petit bourrelet déversé. Diamètre à l'ouverture de 20 cm. **Forme typologique : FHF 1.2**

3 – (272) Sd V, entre 20 et 30 cm : Bord et panse de jatte carénée non tournée à pâte mi-fine sableuse et cuite en mode B irrégulier. Les deux faces ont été lissées. La carène est anguleuse, le col est cylindrique et la lèvre est grande est déversée arrondie. Diamètre à l'ouverture de 16 cm. **Forme typologique : FBO 3.8**

4 – (291) Sd V, à 50 cm : Bord et haut de panse de jatte carénée à profil en «S» tourné à pâte mi-fine sableuse et cuite en mode B (NPR). Les deux faces ont été lissées, le col est cylindrique et court et la lèvre est en forme de bourrelet arrondi. Diamètre à l'ouverture de 23 cm. **Forme typologique : FBO 3.1**

5 – (292) Sd V, à 60 cm : Bord et haut de panse de pot ovoïde non tourné à pâte grossière sableuse et cuit en mode B irrégulier. La face interne est lissée. La face externe a reçu plusieurs traitements de surfaces ; la partie inférieure a été peignée horizontalement et la partie supérieure a été lissée. Le col est souligné d'une large bande polie horizontalement. Le col est haut et quasi cylindrique, la lèvre est légèrement déversée arrondie. Diamètre à l'ouverture de 18 cm. **Forme typologique : FHF 2.6**

6 – (289) Sd V, à 45 cm : Bord et haut de panse de pot ovoïde non tourné à pâte grossière sableuse et cuit en mode B irrégulier. La face interne et la partie supérieure de la face externe ont été lissées. La partie inférieure de la face externe a été peignée horizontalement. Le col est resserré, la lèvre est épaissie et déversée arrondie. Diamètre à l'ouverture de 24 cm. **Forme typologique : FHF 2.2**

7 – (292) Sd V, à 60 cm : Fragment de haut de panse de vase de forme indéterminée mais de grandes dimensions (vase à provisions?) non tourné, à pâte grossière sableuse et cuit en mode B irrégulier. La face interne est lissée et la face externe a reçu deux traitements de surfaces. La partie inférieure est crépissée (surface très rugueuse au toucher présentant en surface de nombreuses aspérités et quelques grains de quartz) et la partie supérieure est polie.

8 – (289) Sd V, à 45 cm : Fragment décoré de panse de vase indéterminé non tourné à pâte grossière sableuse et cuit en mode B irrégulier. Il s'agit de bandes verticales incisées dans la pâte autour desquelles se développent de part et d'autres des bandes obliques également incisées dans la pâte (de la droite vers la gauche).

9 – (62) Sd 21, entre 40 et 60 cm : Bord et haut de panse de pot ovoïde non tourné à pâte mi-fine sableuse et cuit en atmosphère réductrice irrégulière. La face interne et la partie inférieure de la face externe ont été lissées. La partie supérieure de la face externe est polie. Le col est resserré, la lèvre est arrondie avec une légère inflexion externe. Diamètre à l'ouverture de 15 cm. *Forme typologique : FHF 2.4*

10 – (484) Sd 21, entre 40 et 60 cm : Bord et panse de pot ovoïde non tourné à pâte grossière sableuse et cuit en mode B irrégulier. La face interne et la partie inférieure de la face externe sont lissées ; seule la partie supérieure de la face externe est polie. Le col est resserré, la lèvre est arrondie avec une légère inflexion externe. Diamètre à l'ouverture de 15 cm. *Forme typologique : FHF 2.3*

11 – (50) Sd 21, à 50 cm : Bord et haut de panse de pot ovoïde non tourné à pâte mi-fine sableuse et cuit en mode B irrégulier. Seule la partie supérieure de la face externe a été polie, le reste est lissé. Le col est court et resserré, la lèvre est arrondie avec une légère inflexion externe. Diamètre à l'ouverture de 15 cm. *Forme typologique : FHF 2.3*

12 – (480) Sd 21, entre 65 et 70 cm : Fragment de panse décorée de vase indéterminé non tourné à pâte mi-fine sableuse et cuit en mode B irrégulier. La partie supérieure présente des incisions oblongues en dessous d'une bande polie horizontale.

13 – (311) Sd W, à 40 cm : Bord et haut de panse de jatte carénée à profil en «S» non tourné mais partie supérieure reprise à la tournette, à pâte mi-fine sableuse et cuite en mode B irrégulier. Les deux faces ont été polies. La carène est portée sur

le haut de la panse, le col est court et resserré, la lèvre est en forme de bourrelet déversé. Diamètre à l'ouverture de 21 cm. *Forme typologique : FBO 3.1*

14 – (311) Sd W, à 40 cm : Bord et haut de panse de jatte carénée non tournée à pâte mi-fine sableuse et cuite en mode B irrégulier. Les deux faces ont été lissées. La carène est peu anguleuse, le col est court et la lèvre est déversée arrondie. Diamètre à l'ouverture de 28 cm. *Forme typologique : FBO 3.7*

Planche 12: Fossé 200, Sondages X et Ybis

1 – (321) Sd X, à 10 cm : Bord et panse de jatte carénée non tournée à pâte grossière sableuse et cuite en mode B irrégulier. La face interne est lissée et la face externe a été polie. La carène est anguleuse, le col est court et resserré, la lèvre est déversée aplatie. Diamètre à l'ouverture de 34 cm. *Forme typologique : FBO 3.7*

2 – (315) Sd X, à 10 cm : Bord et panse de jatte carénée non tournée à pâte grossière sableuse et cuite en mode B irrégulier. La face interne est lissée et la face externe a été polie. La carène est peu anguleuse, le col est droit, la lèvre est arrondie quasi droite. Diamètre indéterminé. *Forme typologique : FBO 3.5*

3 – (310) Sd X, entre 10 et 20 cm : Bord et haut de panse de jatte convexe non tournée à pâte mi-fine sableuse et cuite en mode B irrégulier. La face interne est lissée et la face externe a été polie. La lèvre est en forme de bourrelet portant une rainure sommitale (gorge, couvercle?). Diamètre à l'ouverture de 24 cm. *Forme typologique : FBO 2.4*

4 – (312) Sd X, à 15 cm : Bord et haut de panse de jatte carénée non tournée à pâte mi-fine sableuse et cuite en mode B irrégulier. Les deux faces ont été lissées. La carène est peu anguleuse, le col est court et la lèvre est déversée arrondie pincée. Diamètre à l'ouverture de 22 cm. *Forme typologique : FBO 3.7*

5 – (309) Sd X, entre 0 et 20 cm : Bord et haut de panse de pot ovoïde de grandes dimensions (vase à provisions) non tourné à pâte grossière sableuse et cuit en mode B irrégulier. Les deux faces sont lissées. Absence de col, Lèvre épaissie, quasi triangulaire déversée. Diamètre à l'ouverture de 36 cm. **Forme typologique : FHF 2.8**

6 – (312) Sd X, à 15 cm : Bord et col de vase de forme indéterminée et très érodé, non tourné à pâte grossière sableuse et cuit en mode B irrégulier. Les deux faces ont été lissées. Le col est souligné de deux fines rainures, la lèvre est légèrement déversée arrondie/aplatie. Diamètre à l'ouverture de 33 cm.

7 – (304) Sd Ybis, entre 0 et 20 cm : Bord et haut de panse de jatte carénée tournée à pâte mi-fine sableuse et cuite en mode B irrégulier. Les deux faces ont été lissées. Haut de panse caréné, col court et mouluré, lèvre déversée épaissie. Diamètre à l'ouverture de 23 cm. **Forme typologique : FBO 3.1**

8 – (319) Sd Ybis, à 40 cm : Bord et haut de panse de vase de forme indéterminée, tourné à pâte mi-fine sableuse et cuit en mode B irrégulier. Les deux faces ont été lissées. Haut de panse caréné en «S», col court et resserré, lèvre déversée épaissie. Diamètre à l'ouverture de 15 cm.

9 – (298) Sd Ybis, décapage : Bord et haut de panse de jatte carénée repris à la tournette à pâte mi-fine sableuse et cuite en atmosphère réductrice irrégulière. La face interne est lissée et la face externe a été polie. Carène peu anguleuse, col court et concave, lèvre déversée en bourrelet arrondi. Diamètre à l'ouverture de 26 cm. **Forme typologique : FBO 3.6**

10 – (526) Sd Ybis, entre 30 et 40 cm : Bord et haut de panse de pot situliforme non tourné à pâte grossière sableuse et nombreuses vacuoles et cuit en mode B irrégulier. Les deux faces ont été lissées. La carène est anguleuse, le col est quasi cylindrique et la lèvre est en forme de petit bourrelet arrondi. Diamètre à l'ouverture de 17 cm. **Forme typologique : FHF 1.1**

11 – (523) Sd Ybis, entre 80 cm et 1 m : Bord de vase de forme indéterminée mais de grandes dimensions (vase à provision), non tourné à pâte grossière sableuse et cuit en mode B irrégulier. Les deux faces sont lisses. La lèvre est en forme de gros bourrelet pincé vers l'extérieur et présente une rainure digitée sur la face interne. Diamètre à l'ouverture de 46 cm.

12 – (526) Sd Ybis, entre 30 et 40 cm : Bord et haut de panse de forme indéterminée mais de grandes dimensions (vase à provision?), non tourné à pâte grossière sableuse, très mal cuit en mode B irrégulier (cœur rouge/beige irrégulier, surfaces avec de nombreux coups de feu, très mauvaise conservation, pâte feuilletée). Les deux faces ont été lissées. Le haut de la panse est marquée d'un léger ressaut, le col est haut et concave, la lèvre est en forme de gros bourrelet aplati. Diamètre à l'ouverture de 21 cm.

13 – (527) Sd Ybis, entre 20 et 30 cm : Bord et panse de pot tronconique non tourné à pâte grossière sableuse et cuit en mode B irrégulier. La face interne a été polie (étanchéité) et la face externe présente deux traitements de surface : polissage sur la partie supérieure et raclage sur la partie inférieure. Lèvre légèrement rentrante en forme de bourrelet pincé sur la face interne (traces d'ongle). Diamètre à l'ouverture de 16 cm. **Forme typologique : FHO 1.1**

Planche 13: Fossé 200, Sondages Y, Z, A, 26, 25 et AF

1 – (316) Sd Y, entre 40 et 60 cm : Bord et panse de pot ovoïde non tourné à pâte grossière sableuse cuit en mode B irrégulier. La face interne et la partie inférieure de la face externe ont été lissées. La partie supérieure de la face externe a été polie. Le haut de la panse est décoré d'incisions plus ou moins circulaires fait à l'outil type stylet (réurrence du motif). Le col est resserré, la lèvre est arrondie épaissie avec une légère inflexion externe. Diamètre à l'ouverture de 11 cm. **Forme typologique : FHF 2.5**

2 – (323) Sd Y, entre 60 et 80 cm : Bord et haut de panse de pot ovoïde non tourné à pâte grossière

sableuse et cuit en mode B irrégulier. Les deux faces sont lissées mais la partie supérieure de la face externe (col et bord) présente des traces d'enduit noir (type goudron). La jonction col/panse est marquée d'un léger ressaut, le col est droit cylindrique et la lèvre est en forme de bourrelet arrondi. Diamètre à l'ouverture de 20 cm.

3 – (301) Sd Y, entre 80 cm et 1 m : Bord et haut de panse de jatte carénée tournée à pâte mi-fine sableuse et cuite en atmosphère réductrice assez bien maîtrisée (surfaces sombres homogènes). Les deux faces ont été lissées. Carène peu anguleuse, col haut et mouluré, lèvre déversée arrondie. Diamètre à l'ouverture de 20 cm. **Forme typologique : FBO 3.10**

4 – (308) Sd Z, entre 40 et 60 cm : Bord et haut de panse de vase de forme indéterminé non tourné à pâte grossière sableuse et cuit en mode B irrégulier. La face interne est lisse et la face externe a été polie. Col droit, lèvre déversée arrondie, diamètre indéterminé.

5 – (556) Sd A, à 70 cm : Bord et panse de jatte carénée non tournée à pâte grossière sableuse et cuite en mode B irrégulier. La face interne a été lissée et la face externe est polie. Carène peu anguleuse, col droit et cylindrique, lèvre en bourrelet pincé sur l'extérieur (traces d'ongle). Diamètre à l'ouverture de 13 cm. **Forme typologique : FBO 3.11**

6 – (73) Sd 26, entre 0 et 20 cm : Bord, panse et départ de fond de jatte cylindrique tournée à pâte mi-fine sableuse et cuite en mode B irrégulier. Les deux faces sont lissées. La panse est moulurée avec un décor de baguette, la lèvre est déversée arrondie et le fond semble être ombiliqué (ressaut sur le fond). Diamètre à l'ouverture de 20 cm. **Forme typologique : FBO 4.2**

7 – (58) Sd 25, entre 0 et 40 cm : Bord et haut de panse de jatte convexe non tournée à pâte grossière sableuse et cuite en mode B irrégulier. Les deux faces ont été lissées. La lèvre est en forme de bourrelet arrondi. Diamètre à l'ouverture de 24 cm. **Forme typologique : FBO 2.2**

8 – (76) Sd 25, entre 40 et 60 cm : Bord et haut de panse de jatte carénée (ou pot situliforme?) non tournée mais partie supérieure reprise à la tournette, à pâte mi-fine sableuse. La face interne est lissée et la face externe a été polie. Carène peu anguleuse, légère carène portée sur le col, lèvre aplatie déversée. Diamètre à l'ouverture de 20 cm. **Forme typologique : FBO 3.10**

9 – (46) Sd 25, entre 40 et 60 cm : Bord et panse de jatte/faisselle tronconique non tournée à pâte grossière sableuse et cuite en mode B irrégulier. Les deux faces sont lissées. La partie inférieure de la panse présente des perforations pratiquées avant cuisson (faisselle, passoire?). La lèvre est droite légèrement épaissie. Diamètre à l'ouverture de 11,5 cm. **Forme typologique : FBO 1.4**

10 – (47) Sd 25, à 50 cm : Bord et panse de pot tronconique non tourné à pâte grossière sableuse et cuit en mode B irrégulier. Les deux faces ont été lissées. Col haut et petite lèvre en bourrelet pincé. Diamètre à l'ouverture de 15 cm. **Forme typologique : FHF 4.3**

11 – (46) Sd 25, entre 40 et 60 cm : Bord et haut de panse de pot ovoïde (?) non tourné à pâte mi-fine sableuse et cuit en mode B irrégulier. La face interne est lissée et la face externe a été polie. Celle-ci présente également des traces d'enduit noir (type goudron) à la liaison col/panse. Cette liaison est soulignée également par une baguette, le col est court et cylindrique, la lèvre est en forme de petit bourrelet arrondi. Un décor d'incisions circulaires a été réalisé sous la baguette. Deux petits trous pratiqués après cuisson du vase ont été réalisés sur le col et sous la baguette, correspondant vraisemblablement à des trous de réparations. Diamètre à l'ouverture de 20 cm. **Forme typologique : FHF 2.6**

12 – (393) Sd AF, entre 20 et 25 cm : Bord et haut de panse de jatte carénée à profil en «S» non tournée à pâte mi-fine sableuse et cuite en mode B irrégulier. Les deux faces sont lissées. Le col est court et droit, la lèvre est épaissie droite. Diamètre à l'ouverture de 24 cm. **Forme typologique : FBO 3.1**

13 – (370) Sd AF, entre 30 et 35 cm : Bord et panse de jatte carénée non tournée à pâte mi-fine sableuse et cuite en mode B irrégulier. Les deux faces sont lissées. La carène est peu anguleuse, le col et haut et quasi cylindrique, la lèvre est grande et fine arrondie déversée et pincée sur la face externe. Diamètre à l'ouverture de 15 cm. **Forme typologique : FBO 3.8**

14 – (370) Sd AF, entre 30 et 35 cm : Bord et haut de panse de pot ovoïde de grandes dimensions (vase à provision) non tourné à pâte mi-fine sableuse et cuit en mode B irrégulier. Les deux faces ont été lissées. Le col est court et droit, la lèvre est épaissie aplatie. Diamètre à l'ouverture de 28 cm. **Forme typologique : FHF 2.10**

Planche 14 : Fossé 200, Sondages 32, AK, Décapage Est, Angle SO et Angle NE

1 – (87) Sd 32, à 26 cm : Bord, panse et départ de fond de jatte tronconique non tournée à pâte mi-fine sableuse et cuite en mode B irrégulier. Les deux faces sont lissées. Le fond est plat, la lèvre est rentrante en petit bourrelet arrondi. Diamètre à l'ouverture de 25 cm. **Forme typologique : FBO 1.5**

2 – (99) Sd 32, entre 50 et 60 cm : Bord et panse de jatte tronconique non tournée à pâte grossière sableuse et cuite en atmosphère réductrice irrégulière. Les deux faces sont lissées. La lèvre est en forme de bourrelet arrondi pincé sur la face interne (trace d'ongle). Diamètre à l'ouverture de 13 cm. **Forme typologique : FBO 1.1**

3 – (90 et 390) Sd 32, entre 50 et 60 cm : Bord et panse de jatte carénée non tournée puis reprise à la tournette (partie supérieure) à pâte mi-fine sableuse et cuite en mode B irrégulier. Les deux faces sont polies. La carène est anguleuse, le col est court et concave, la lèvre est déversée arrondie. Diamètre à l'ouverture de 19 cm. **Forme typologique : FBO 3.7**

4 – (90) Sd 32, entre 50 et 60 cm : Bord et panse de jatte carénée non tournée à pâte grossière sableuse et cuite en mode B irrégulier. Les deux faces sont lissées. La carène est anguleuse, le col est

droit cylindrique et la lèvre est arrondie avec une légère inflexion externe. Diamètre à l'ouverture de 15 cm. **Forme typologique : FBO 3.5**

5 – (90) Sd 32, entre 50 et 60 cm : Bord et panse de pot ovoïde non tourné à pâte grossière sableuse et cuit en mode B irrégulier. La face interne et la partie inférieure de la face externe ont été lissées, la partie supérieure de la face externe est polie. Un décor d'incisions circulaires a été réalisé à la jonction col/panse marqué également d'un ressaut. Le col est haut et concave, la lèvre est en forme de bourrelet déversé. Diamètre à l'ouverture de 11 cm. **Forme typologique : FHF 2.5**

6 – (350) Sd AK, entre 20 et 40 cm : Profil archéologiquement complet d'un pot tronconique non tourné à pâte grossière sableuse et cuit en mode B irrégulier. Les deux faces sont lissées. Le fond est plat, la jonction col/panse est soulignée d'un ressaut, le col est court et la lèvre est droite en forme de bourrelet arrondi. Diamètre à l'ouverture de 7 cm. **Forme typologique : FHF 4.1**

7 – (388) Décapage Est : Bord, panse et départ de fond de pot situliforme non tourné à pâte grossière sableuse et cuit en mode B irrégulier. La face interne et la partie supérieure de la face externe ont été lissées. La partie inférieure de la face externe a été raclée. La carène est anguleuse, le col est cylindrique et la lèvre est droite en bourrelet pincé. Diamètre à l'ouverture de 7,5 cm. **Forme typologique : FHF 1.1**

8 – (532) Angle SO, à 85 cm : Bord et panse de jatte cylindro-conique tournée à pâte mi-fine sableuse et cuisson réductrice assez bien maîtrisée de type NPR. Les deux faces sont lissées. La carène est en forme de «S», le col est haut et cylindrique, la lèvre est légèrement déversée arrondie avec une rainure sur la face interne. Diamètre à l'ouverture de 17 cm. **Forme typologique : FBO 5.4**

9 – (351) Angle NE, entre 0 et 20 cm : Bord et haut de panse de jatte carénée non tournée puis reprise au tour (partie supérieure) à pâte mi-fine sableuse et cuite en mode B irrégulier. Les deux faces sont lissées. La carène est anguleuse, le col

est cylindrique et la lèvre est déversée arrondie. Diamètre à l'ouverture de 31 cm. **Forme typologique : FBO 3.8**

Planche 15 : Fossé 200 (Diagnostic 2008), Sondages FO4 et FO-SdC, et Silos 3 et 15

1 – (diag. 17) FO4 : Bord et haut de panse de pot ovoïde non tourné à pâte grossière sableuse et cuit en mode B irrégulier. Les deux faces sont lissées. Le col est court et cylindrique, la lèvre est en forme de bourrelet arrondi. Diamètre à l'ouverture de 21 cm. **Forme typologique : FHF 2.6**

2 – (diag. 37) Sd C niveau sup. : Bord et panse de jatte carénée non tournée à pâte mi-fine sableuse et cuite en mode B irrégulier. Les deux faces sont lissées. Carène anguleuse, col cylindrique et lèvre en bourrelet déversé. Diamètre à l'ouverture de 20 cm. **Forme typologique : FBO 3.1**

3 – (diag. 37) Sd C niveau sup. : Bord, panse et départ de fond de jatte carénée non tournée à pâte mi-fine sableuse et cuite en mode B irrégulier. Les deux faces sont lissées. Carène peu anguleuse, fond plat légèrement annulaire, col court et droit, lèvre droite pincée. Diamètre à l'ouverture de 13 cm. **Forme typologique : FBO 3.5**

4 – (diag. 37) Sd C niveau sup. Bord et panse de jatte cylindro-conique non tourné à pâte mi-fine sableuse et cuite en mode B irrégulier. Les deux faces sont lissées. Carène anguleuse, col droit et haut, lèvre droite aplatie. Diamètre à l'ouverture de 18 cm. **Forme typologique : FBO 5.3**

5 – (diag. 37) Sd C niveau sup. Bord et panse de pot ovoïde non tourné à pâte mi-fine sableuse et cuit en mode B irrégulier. Les deux faces sont lissées. Col haut est droit, lèvre arrondie avec une légère inflexion externe. Diamètre à l'ouverture de 13 cm. **Forme typologique : FHF 2.3**

6 – (diag. 24) Sd C niveau inf. : Bord, panse et départ de fond de jatte cylindrique tournée à pâte mi-fine sableuse et cuite en mode B assez bien

maîtrisée (surfaces sombres homogènes). Les deux faces ont été polies mais sont assez érodées. Panse moulurée, décorée de deux baguette. Fond plat annulaire présentant sur la face interne une ligne circulaire réalisée à la pointe-mousse. À la cassure du fond, se trouvait un probable ombilic (non conservé). La lèvre est déversée arrondie. Sous cette dernière se développe un décor d'ondes polies à la pointe-mousse. Au-dessus du fond, un décor de chevrons polis à la pointe mousse a également été réalisé. Des traces de griffes de rongeurs ont été observées au dessus du fond. Facture très soignée. Diamètre à l'ouverture de 19,5 cm. **Forme typologique : FBO 4.3**

7 – (diag. 11) Silo 3 : Bord et haut de panse de jarre convexe de grande dimensions (vase de stockage) non tournée à pâte grossière coquillée et cuite en mode B irrégulier. Les deux faces sont polies. Le col est droit épaissi, la lèvre est épaissie triangulaire aplatie. Diamètre à l'ouverture de 52 cm. **Forme typologique : FBO 2.6**

8 – (diag. 48) Silo 15 : jatte carénée miniature non tournée à pâte mi-fine sableuse et cuite en mode B irrégulier. Les deux faces sont lissées et la face interne présente de nombreuses traces de digitations dues au montage du récipient. La carène est portée sur le haut de la panse, la lèvre est rentrante arrondie. Diamètre à l'ouverture de 5 cm. **Forme typologique : FBF 1.1**

7 Bibliographie

Amalou 1988 : AMALOU (T.) – Inventaire et chronologie des sites de La Tène moyenne dans le Val-d'Oise, *Bulletin archéologique du Vexin Français*, n° 21, p. 53–69.

Arcelin, Truffeau-Libre 1998 : ARCELIN (P.), TRUFFEAU-LIBRE (M.) – La quantification des céramiques, Conditions et protocoles, *Bibracte 2*, Glux-en-Glenne, Centre archéologique du Mont-Beuvray.

Augier 2008 : AUGER (L.) – La céramique du site protohistorique de Bourges-Avaricum, In : Krausz S. dir. – *L'âge du fer dans la boucle de la Loire*, Catalogue des expositions présentées par les musées de Saint-Amand-Montrond, Bourges et Chateaufort (Cher) du 14 avril au 29 septembre 2008, éd. Archéa : p. 87–93.

Buchsenschutz, Méniel 1994 : BUCHSENSCHUTZ (O.), MÉNIEL (P.) – Les installations agricoles de l'âge du fer en Ile-de-France, éd. Presses de l'École Normale Supérieure. Paris : p. 71–96.

Casadéi 1997 : CASADÉI (D.) – Louvres (Val-d'Oise), «Le Vieux Moulin», Document final de Synthèse des fouilles préventives (17/02 au 15/03/1997). Saint-Denis : SRA Ile-de-France ; Paris : Afan, 1997.

Daire 1992 : DAIRE (M.-Y.) – Les céramiques armoricaines de la fin de l'âge du fer, *Travaux du laboratoire d'anthropologie de Rennes*, n°39 : p. 120–124 et p. 178–180.

Daveau, Yvinec 2001 : DAVEAU (I.), YVINEC (J.-H.) – L'occupation protohistorique du site de Fontenay-en-Parisis «La Lampe» (Val-d'Oise) : un lieu de consommation collective à La Tène C1/C2, *Revue archéologique du Centre de la France*, 40, 2001, p. 69–102.

Durgeau 2005 : DURGEAU (S.) – Mise en place de méthodes pour l'étude technique des céramiques de l'âge du fer en Ile-de-France, étude de cas : le matériel du site «le bâtiment hospitalier de l'Hôpital Avicenne» (Bobigny,

Seine-Saint-Denis), Mémoire de DEA, Université de Paris 1, U.F.R. de Préhistoire, d'ethnologie et d'anthropologie.

Durgeau 2006 : DURGEAU (S.) – Le mobilier céramique protohistorique, In GENTILI (F.) – Villiers-le-Bel, «69/69bis avenue Gambetta, 22 rue du Général Archinard, Rapport Final d'Opération (15/10 au 31/12/2004). Saint-Denis : SRA Ile-de-France ; Paris : INRAP Centre – IdF, 2006, p. 27–66.

Guadefroy et al. 2006 : GAUDEFFROY (S.), PINARD (E.), MALRAIN (F.) – Le vaisselier de La Tène ancienne à La Tène finale, In MALRAIN (F.), PINARD (E.) dir. – *Les sites laténiens de la moyenne vallée de l'Oise du v^e au i^{er} siècle avant notre ère*, *Revue archéologique de Picardie*, n° spécial 23, 2006, p. 101–146.

Gentili 2000 : GENTILI (F.) – Villiers-le-Sec, (Val-d'Oise) «La Place de la Ville», Vol. 1 : Présentation et données antérieures au haut Moyen-Âge, Rapport final d'opération. Saint-Denis : SRA Ile-de-France, Paris : Afan.

Gentili 2006 : GENTILI (F.) – Villiers-le-Bel, «69/69 bis avenue Gambetta, 22 rue du Général Archinard, Rapport Final d'Opération (15/10 au 31/12/2004). Saint-Denis : SRA Ile-de-France, Paris : INRAP Centre – IdF.

Giot 1976 : Giot (P.-R.) – Les civilisations de l'âge du fer en Armorique, In GUILLAUME (J.), dir. – *La Préhistoire française*, 2, p. 785.

Granchon, Pucheu-Lashores 2007 : GRANCHON (Ph.), PUCHEU-LASHORES (C.) – Gonesse, «ZAC des Tulipes Nord», Val-d'Oise, Ile-de-France, Rapport de diagnostic. Saint-Denis : SRA Ile-de-France, Paris : INRAP Centre – IdF.

Granchon et al. à paraître : GRANCHON (Ph.) et al. – Gonesse, «ZAC des Tulipes Nord», Val-d'Oise, Ile-de-France, Rapport final d'opération. Saint-Denis : SRA Ile-de-France, Paris : INRAP Centre – IdF.

Hénon et al. 2002 : HÉNON (B.), AUXIETTE (G.), BOULEN (M.), DESENNE (S.), GRANSAR (F.), LE GUEN (P.), POMMEPUY (C.), ROBERT (B.) – Trois nouveaux sites d’habitat du Hallstatt final/La Tène ancienne dans la Vallée de l’Aisne, Repas des vivants et nourriture pour les morts en Gaule, Actes du 25^{ème} Colloque de l’AFEAF, Supplément au Bulletin de la Société Archéologique Champenoise 1, 2002, p. 49–66.

Jobelot, Vermeersch 1993 : JOBELOT (N.), VERMEERSCH (D.) – La céramique noire à pâte rougeâtre : première approche, Les Cahiers de la Rotonde 14, p. 29–58.

Krausz dir. 2008 : KRAUZS (S.) – L’âge du fer dans la boucle de la Loire, Catalogue des expositions présentées par les musées de Saint-Amand-Montrond, Bourges et Chateaufort (Cher) du 14 avril au 29 septembre 2008, éd. Archéa.

Laporte-Cassagne à paraître : LAPORTE-CASSAGNE (C.) – Étude du mobilier céramique des structures protohistoriques (vaisselle et amphore), In GRANCHON (Ph.) *et al.* – Gonesse, «ZAC des Tulipes Nord», Val-d’Oise, Ile-de-France, Rapport final d’opération. Saint-Denis : SRA Ile-de-France, Paris : INRAP Centre – IdF.

Malrain et al. 1996 : MALRAIN (F.), GRANSAR (F.), MATTERNE (V.), LE GOFF (I.) – Une ferme gauloise de La Tène D1 et sa nécropole : Jaux «Le Camp du Roi» (Oise), Revue archéologique de Picardie, 3/4, 1996, p. 245–306.

Malrain et al. 2002a : MALRAIN (F.), PINARD (E.), GAUDEFROY (S.) – La vaissellerie de la Moyenne Vallée de l’Oise : de la typologie morpho-fonctionnelle aux statuts sociaux, Repas des vivants et nourriture pour les morts en Gaule, Actes du 25^{ème} Colloque de l’AFEAF, Supplément au Bulletin de la Société Archéologique Champenoise 1, 2002, p. 167–180.

Malrain et al. 2002b : MALRAIN (F.), MATTERNE (V.), MÉNIEL (P.) – Les paysans gaulois (III^e siècle – 52 av. J.-C.), Collection des Hespérides. Paris : éd. Errance.

Malrain, Pinard 2006 : MALRAIN (F.), PINARD (E.) – Les sites laténiens de la moyenne vallée de l’Oise du v^e au I^{er} siècle avant notre ère, Revue archéologique de Picardie, n^o spécial 23, 2006.

Marion 2000 : MARION (S.) – Le mobilier protohistorique, la céramique», In Gentili (F.) – Villiers-le-Sec, (Val-d’Oise) «La Place de la Ville», Vol. 1 : Présentation et données antérieures au haut Moyen-Âge, Rapport final d’opération. Saint-Denis : SRA Ile-de-France, Paris : Afan IdF, p. 43–63.

Marion 2004 : MARION (S.) – Recherches sur l’âge du fer en Ile-de-France, entre Hallstatt Final et La Tène finale. Analyse des sites fouillés, chronologie et société, BAR International Series, 1231, Oxford.

Massy et al. 1986 : MASSY (J.-L.), MANTEL (E.), MÉNIEL (P.), RAPIN (A.) – La nécropole gauloise de Tartigny (Oise), Revue Archéologique de Picardie, 3/4, 1986, p. 13–81.

Meunier 2002 : MEUNIER (N.) – Analyse fonctionnelle de la céramique de la nécropole de Bucy-le-Long «Le fond du Petit Marais» (Aisne, La Tène C1–D1), Repas des vivants et nourriture pour les morts en Gaule, Actes du 25^{ème} Colloque de l’AFEAF, Supplément au Bulletin de la Société Archéologique Champenoise 1, 2002, p. 81–85.

Paret 1982 : PARET (D.) – Jouy-le-Moutier, Site du Bois des Merisiers, Rapport final de sondage du 1^{er} au 15 juillet 1982. Saint-Denis : SRA Ile-de-France.

Pariat, Garmond 2008 : PARIAT (J.-G.), GARMOND (N.) – Villiers-le-Bel/Gonesse, Déviation de la RD 10/RD 370, Rapport de diagnostic archéologique, du 02/06/2008 au 21/06/2008. Saint-Denis : SRA Ile-de-France, Paris : service départemental d’archéologie du Val-d’Oise.

Py 1993 : PY (M.) – Amphores italiennes, Lattara 6, Dictionnaire des céramiques antiques en méditerranée nord-occidentale, éd. De l’Association pour le développement de l’archéologie en Languedoc-Roussillon. Lattes : p. 17–19.

Robert 1994: ROBERT (B.) – Chaînes opératoires et spécialisation de la production céramique à la fin de l'âge du fer», *Terre cuite et Société. La céramique, document technique, économique, culturel*, xiv^e Rencontres Internationales d'Archéologie et d'Histoire d'Antibes, Éd. APDCA, Juan-les-Pins, p. 310–312.

Saurel 2002: SAUREL (M.) – Boire et manger, questions de pots à Acy-Romance (Ardennes), Repas des vivants et nourriture pour les morts en Gaule, Actes du 25^{ème} Colloque de l'AFEAF, Supplément au Bulletin de la Société Archéologique Champenoise 1, 2002, p. 247–264.

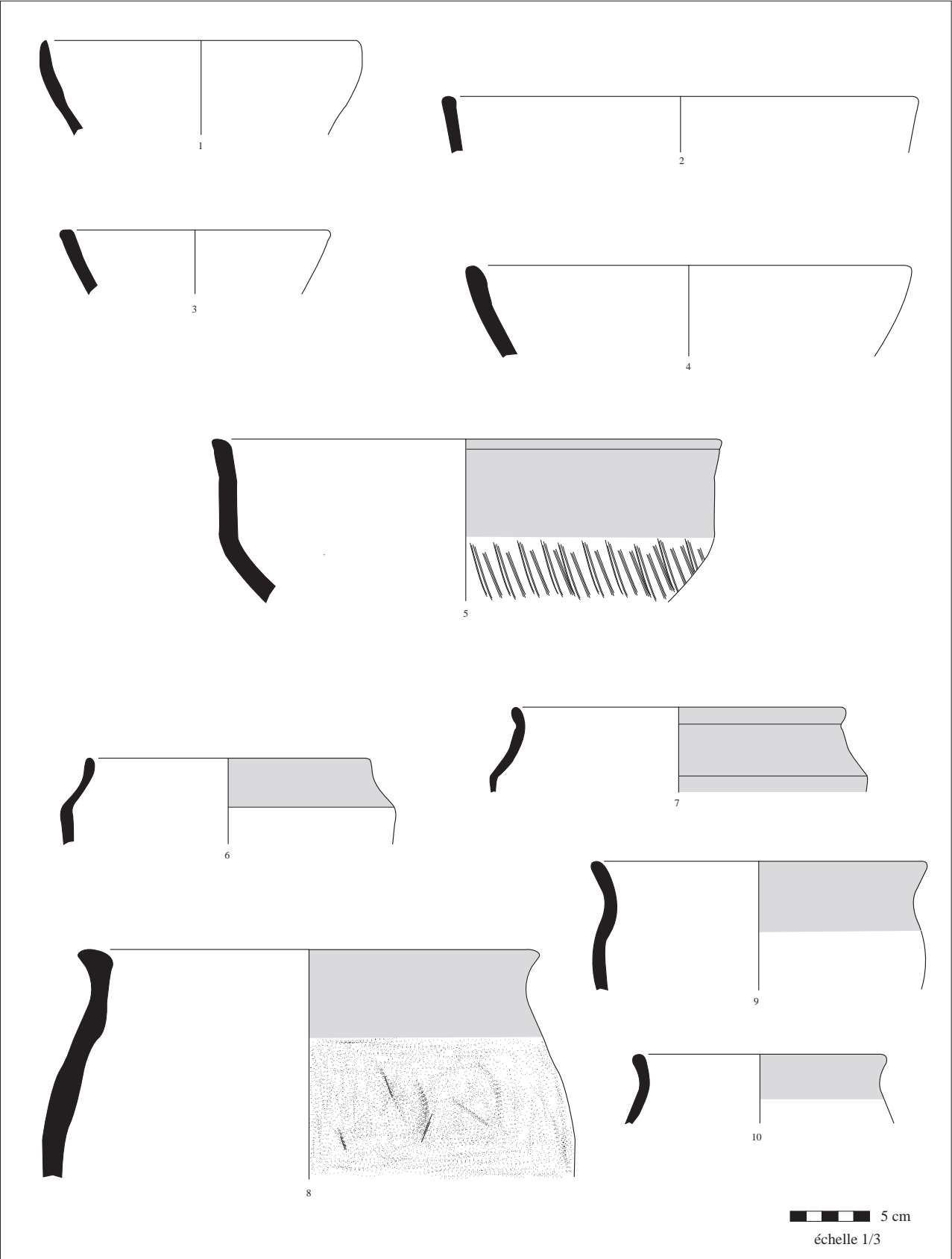


Planche 1 - Silo 501

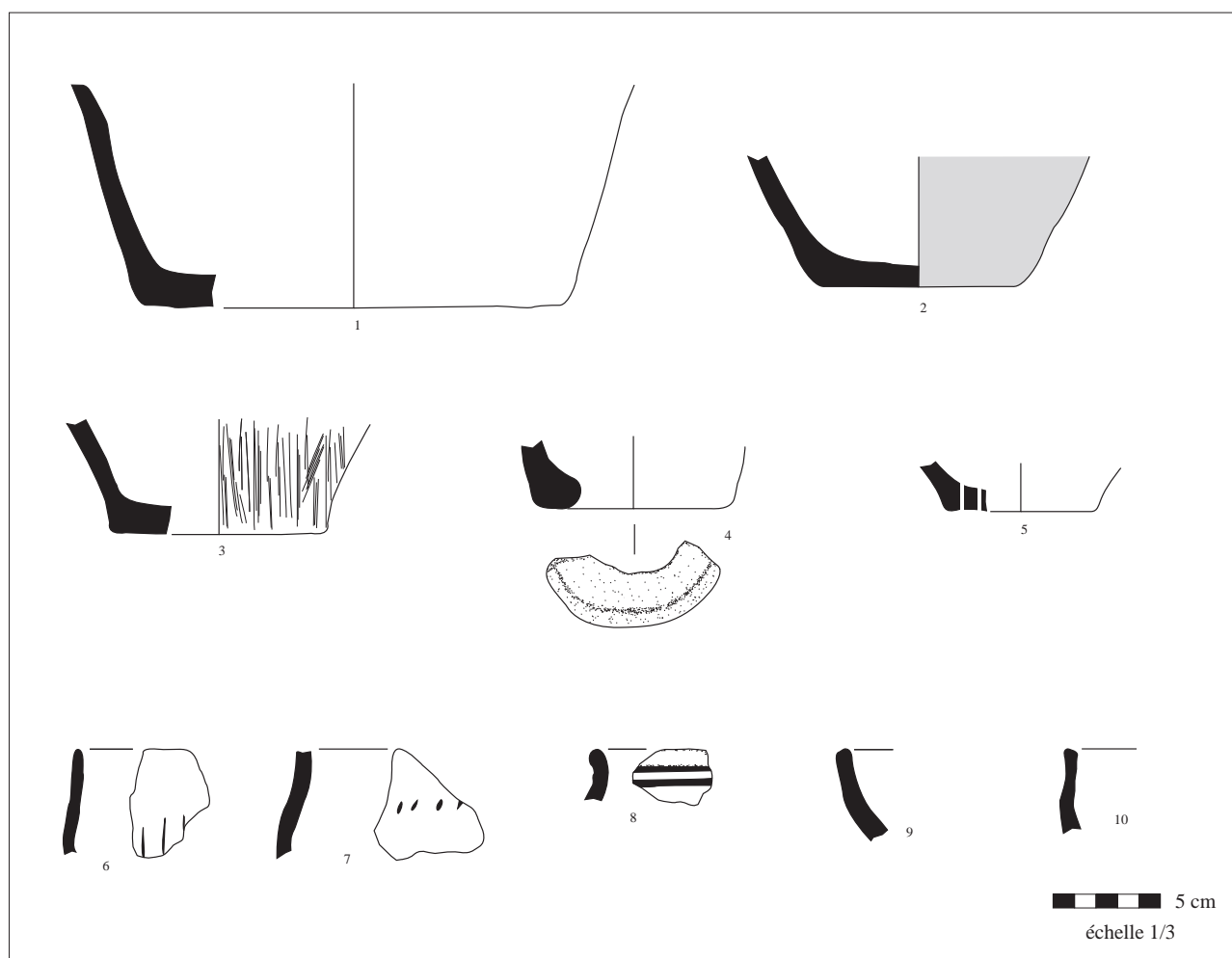


Planche 2 - Silo 501

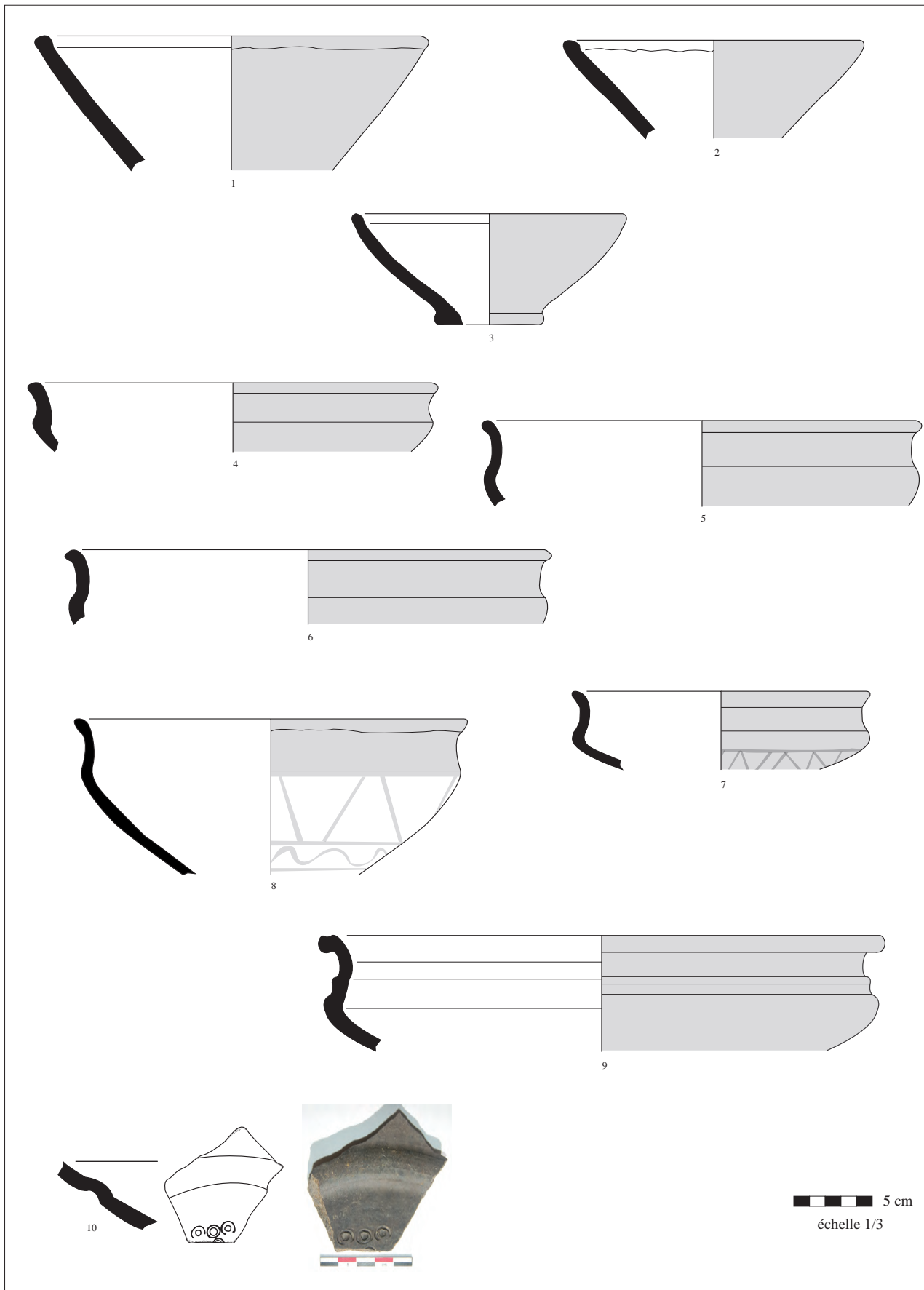


Planche 3 - Silo 504

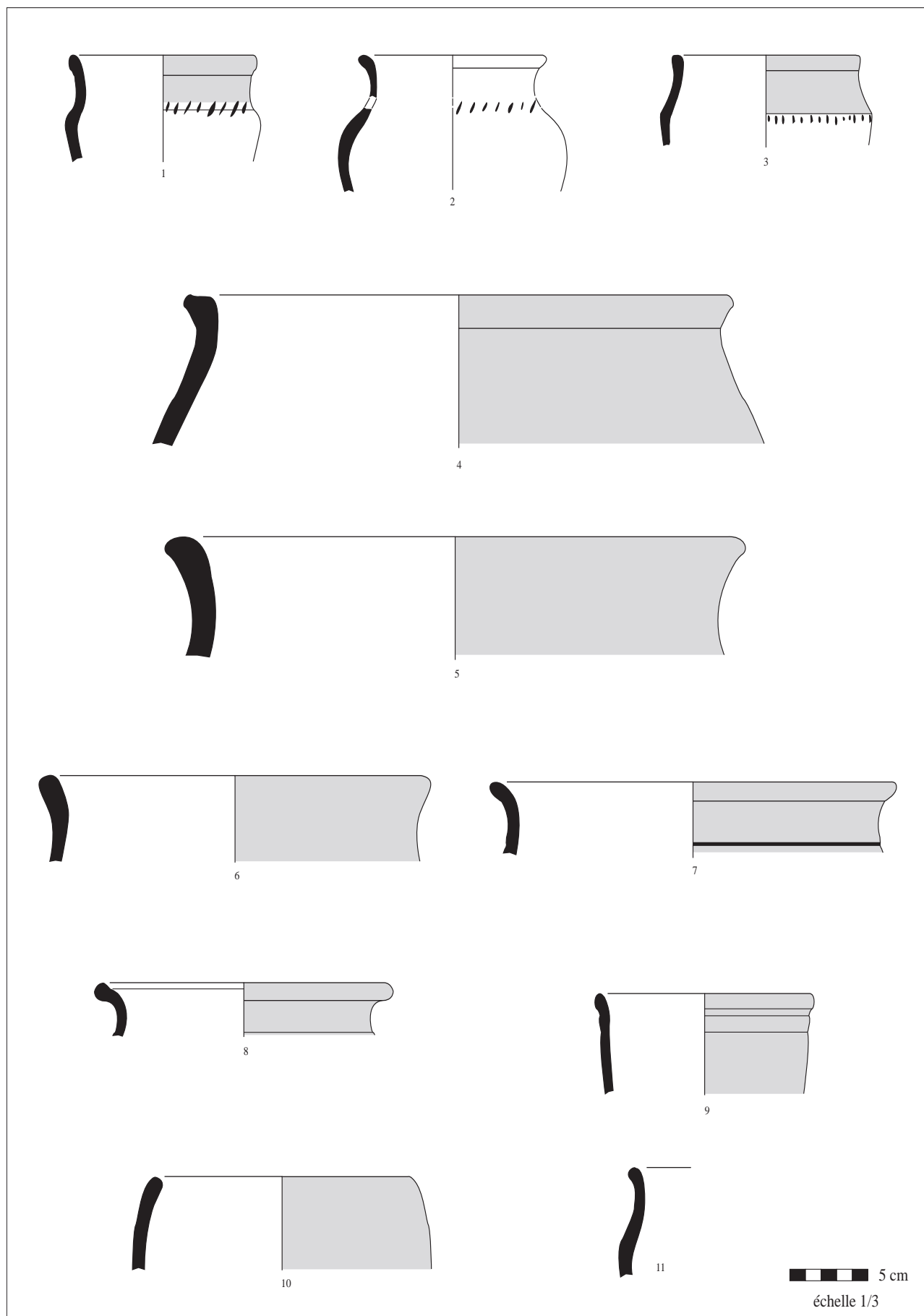


Planche 4 - Silo 504

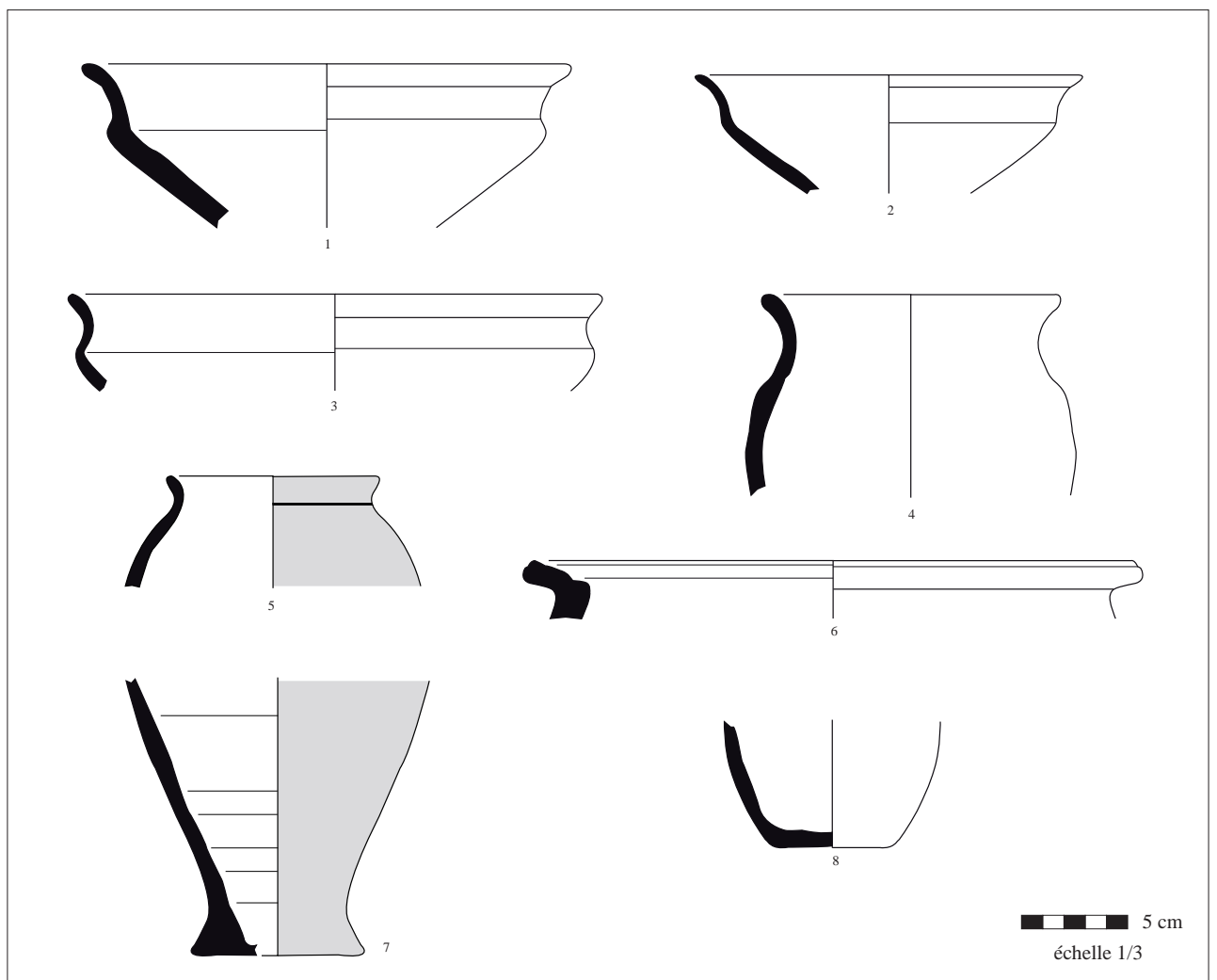


Planche 5 - Fo 200, Sondage 3

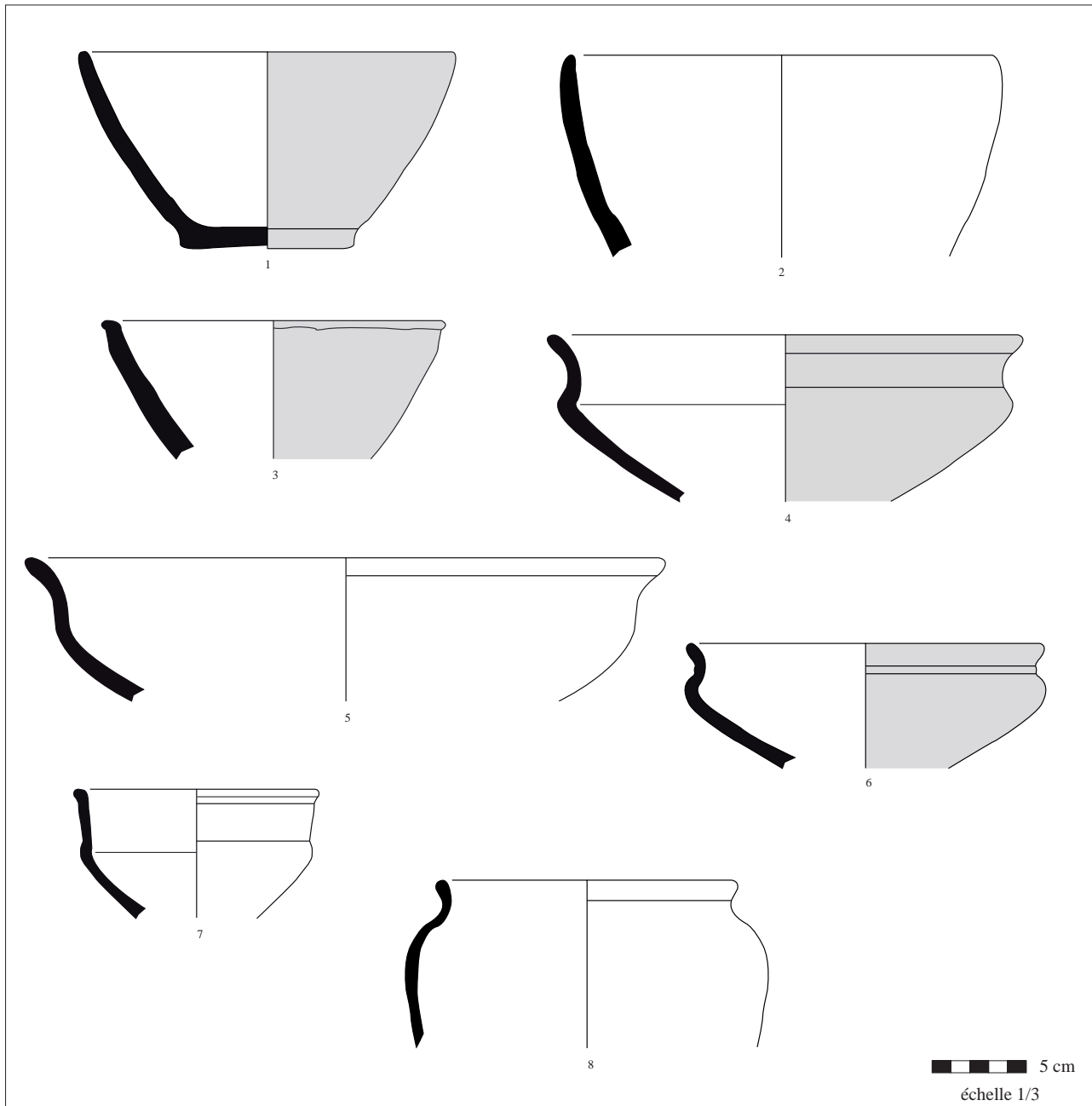


Planche 6 - Fo 200, Sondage 3/B

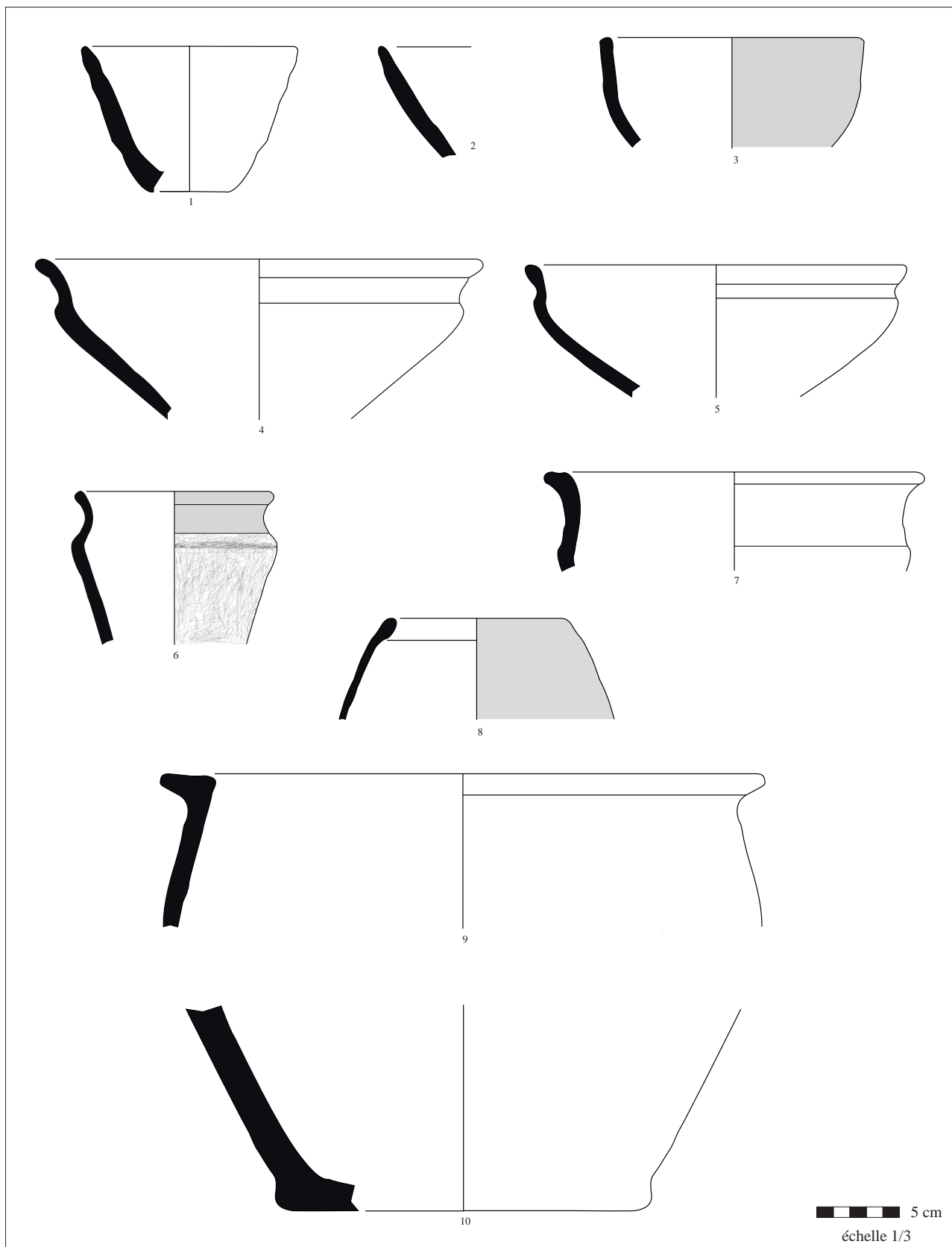


Planche 7 - Fo 200, Sondage B

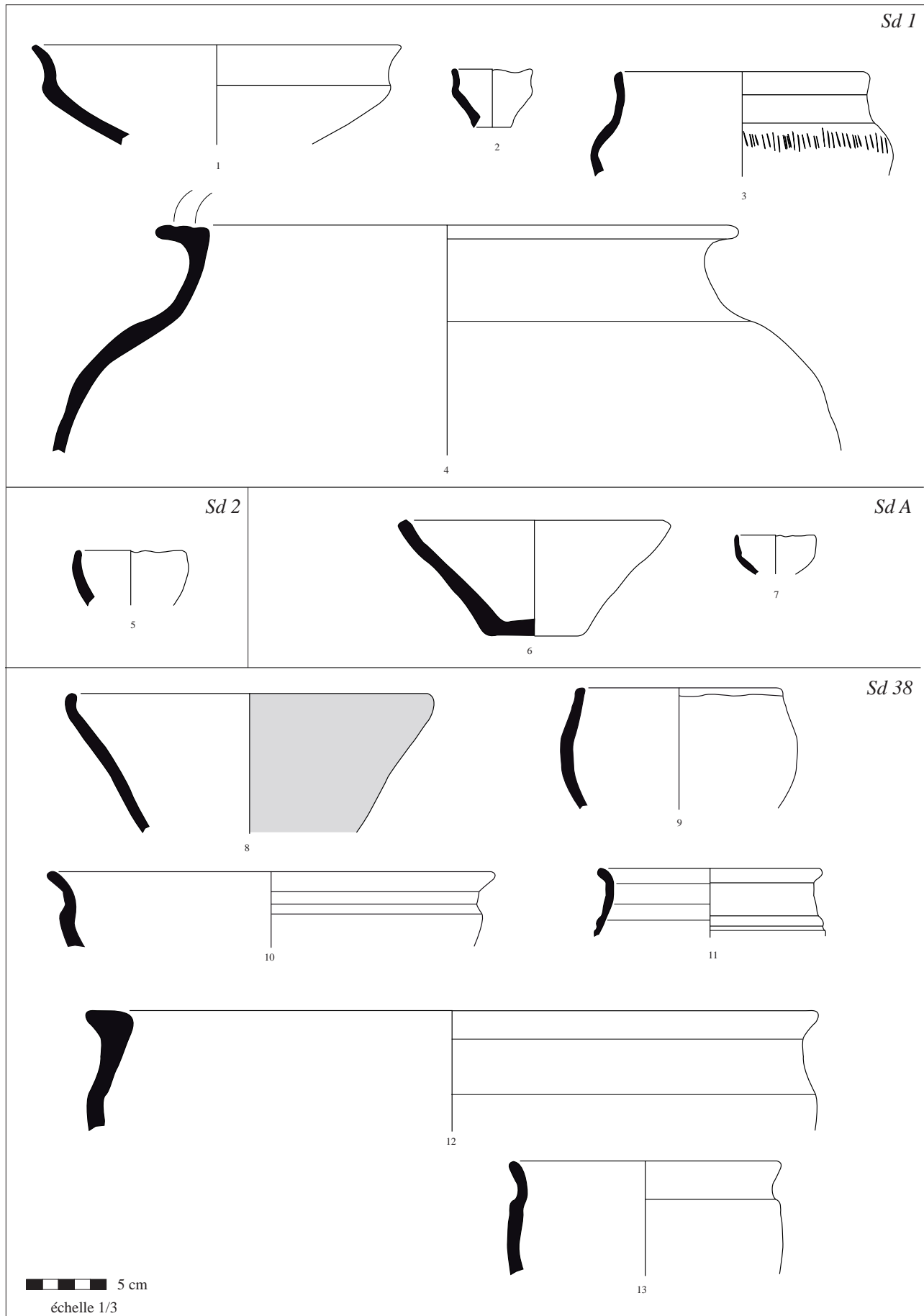


Planche 8 - Fo 200, Sondages 1, 2, A et 38

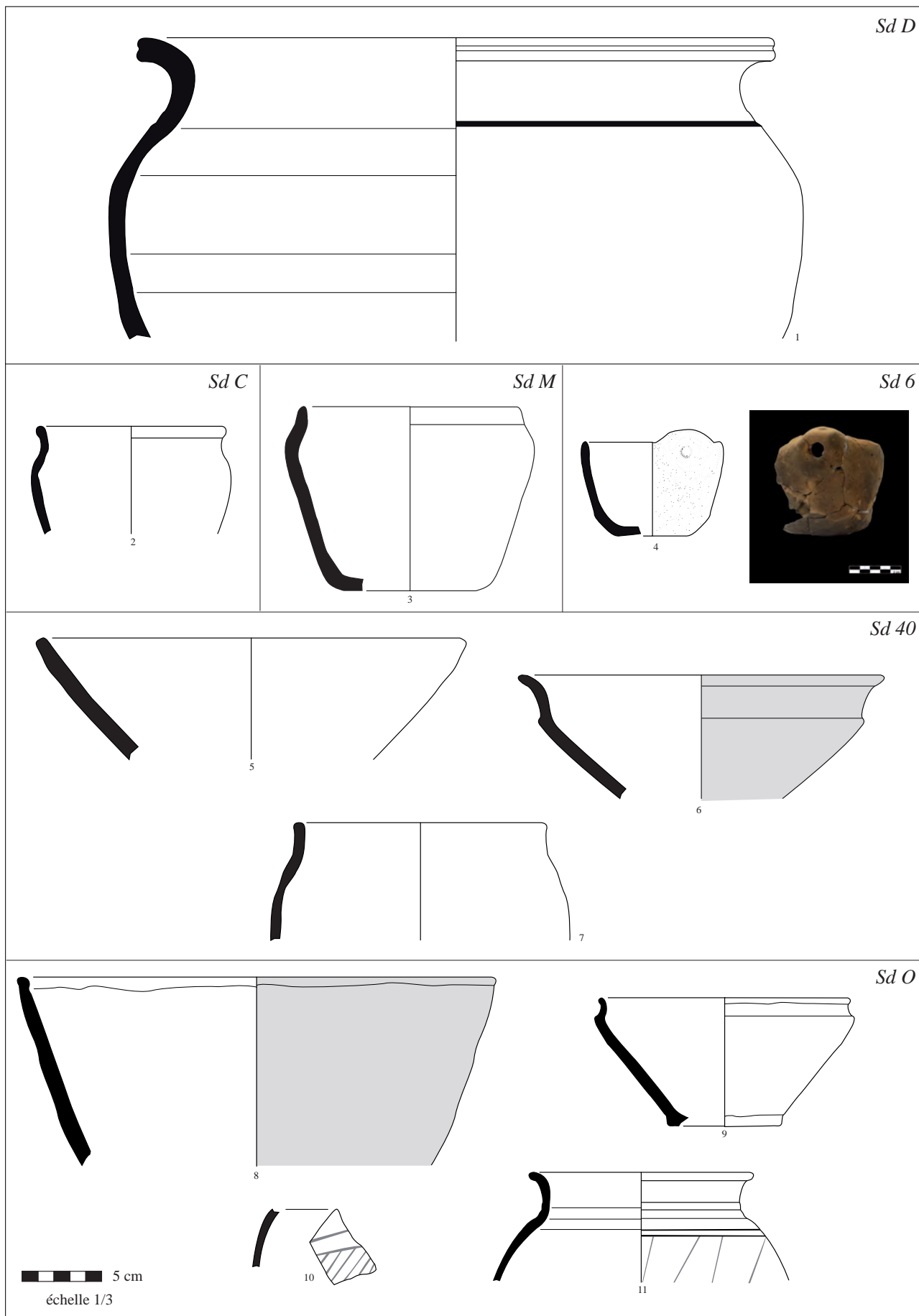


Planche 9- Fo 200, Sondages D, C, 6, M, 40 et O

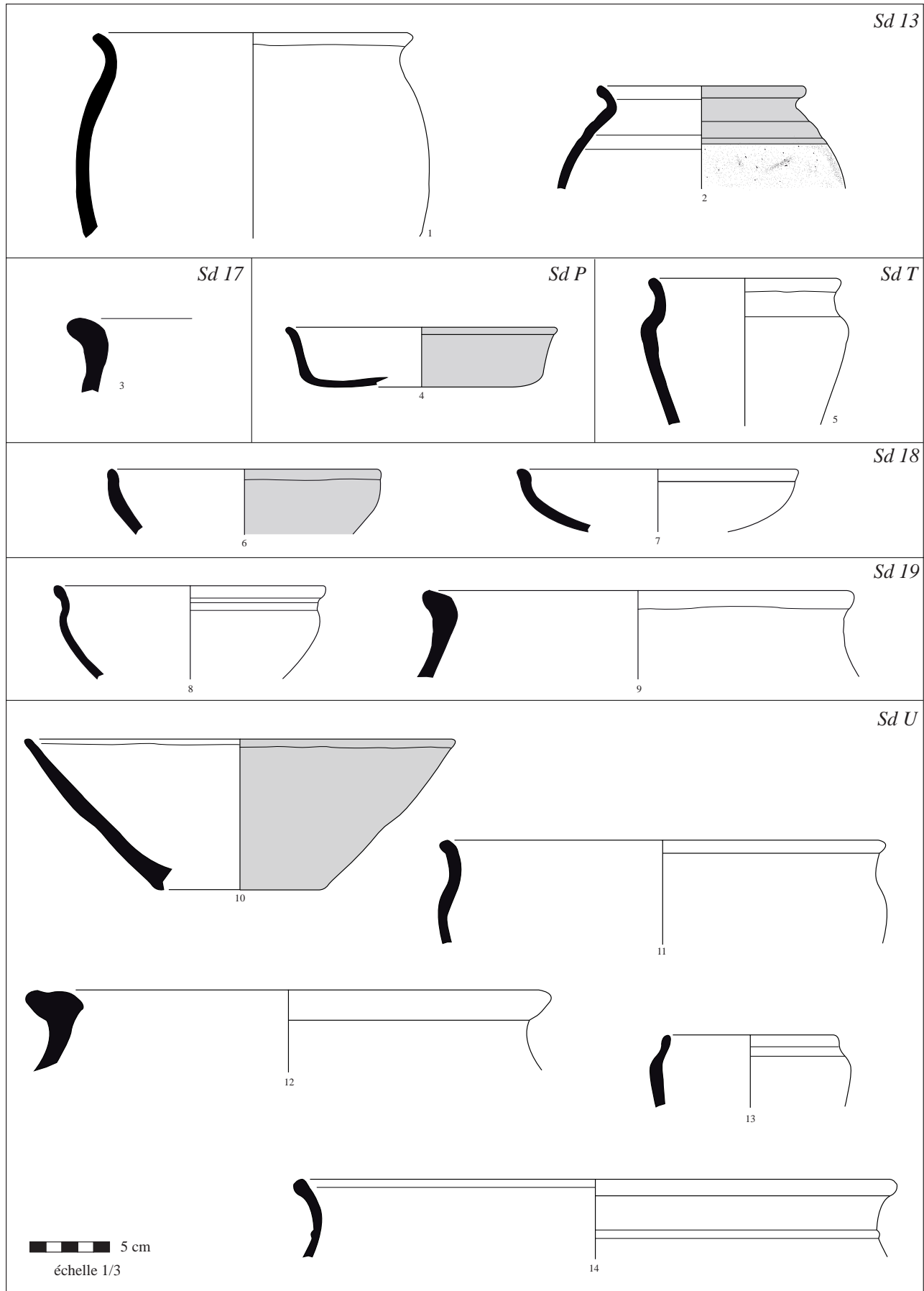


Planche 10 - Fo 200, Sondages 13,17,P,T,18,19 et U

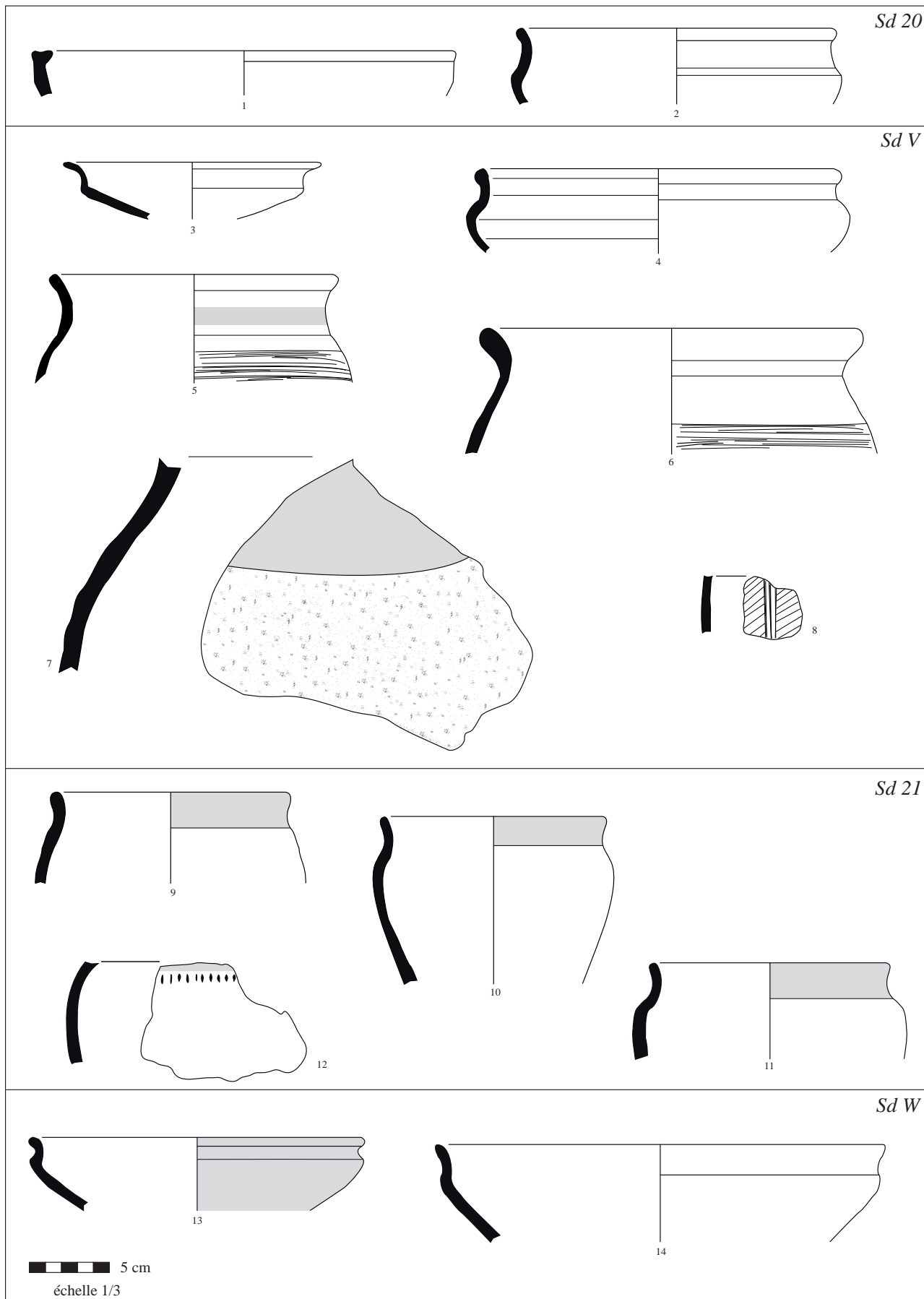


Planche 11 - Fo 200, Sondages 20, V, 21 et W

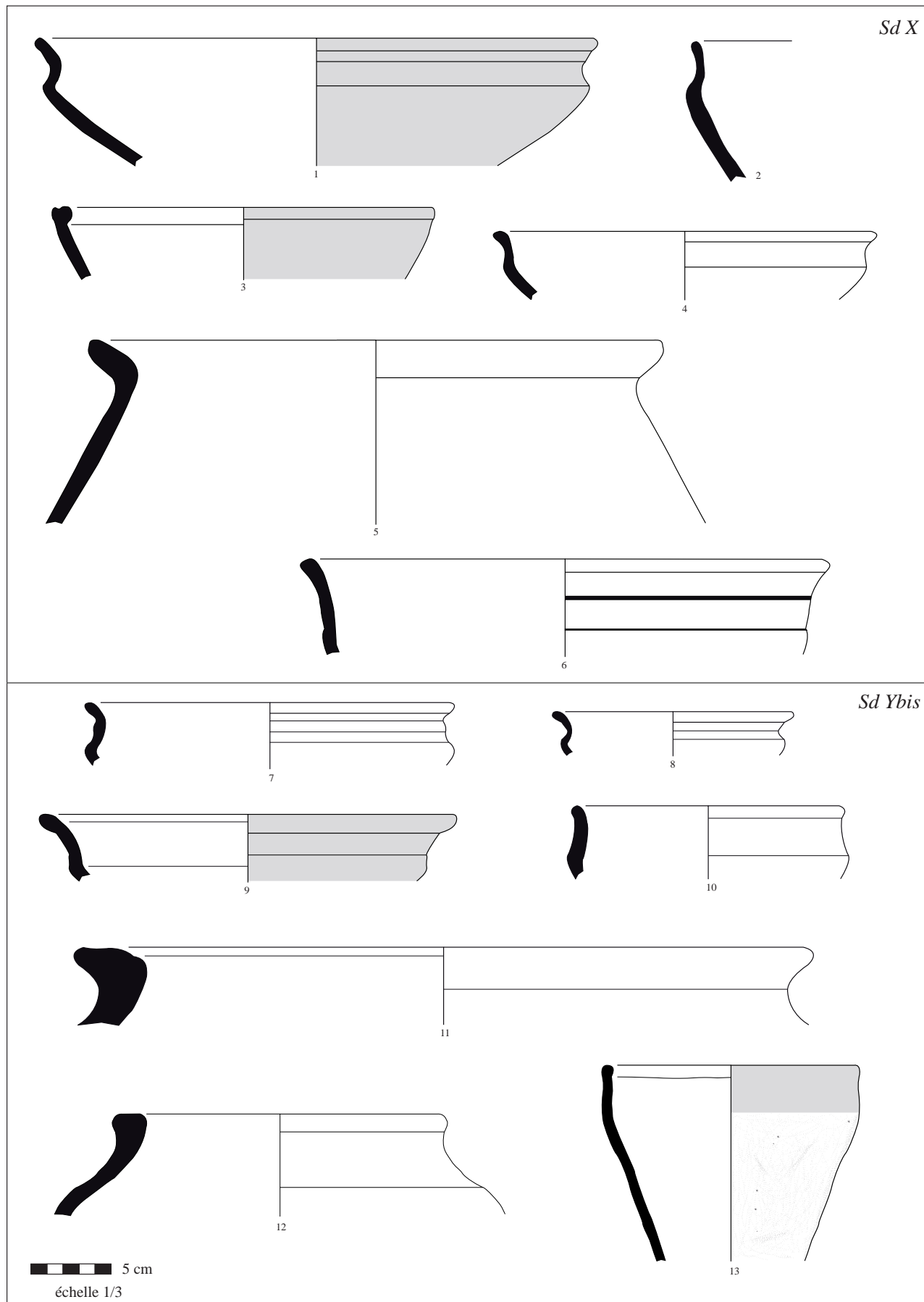


Planche 12 - Fo 200, Sondages X et Ybis

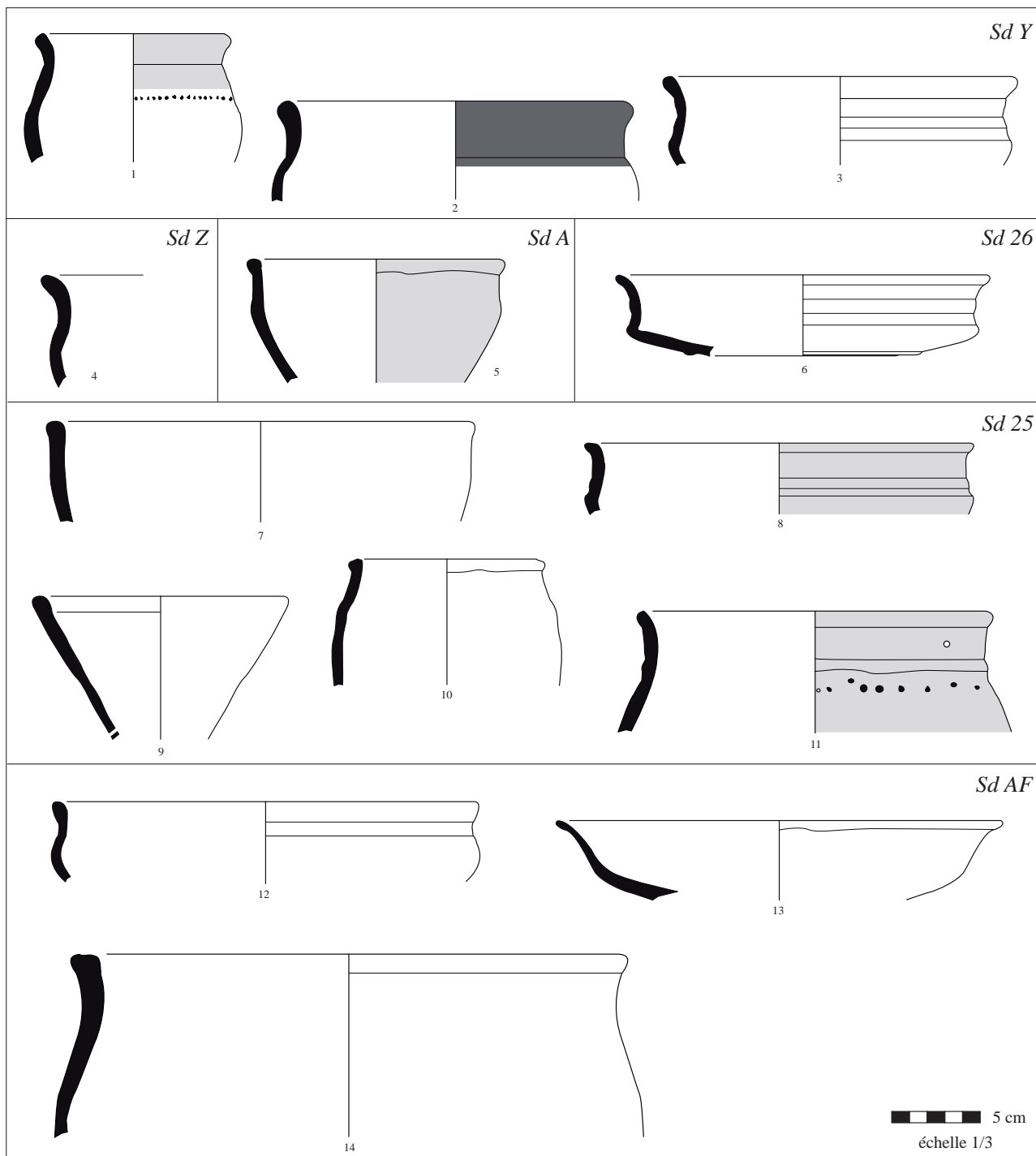


Planche 13 - Fo 200, Sondages Y, Z, A, 26, 25 et AF

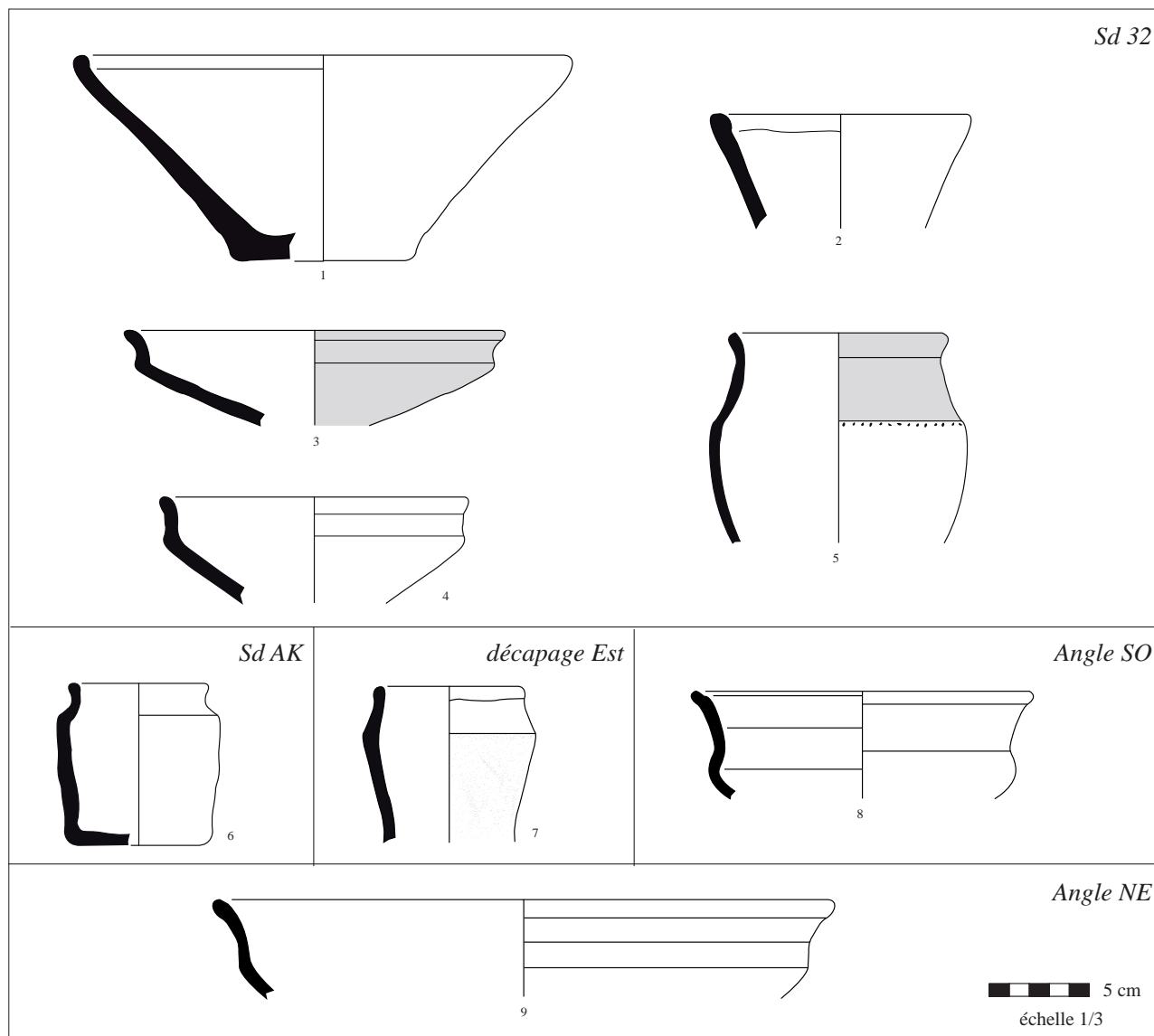


Planche 14 - Fo 200, Sondages 32, AK, décapage Est, Angle SO et Angle NE

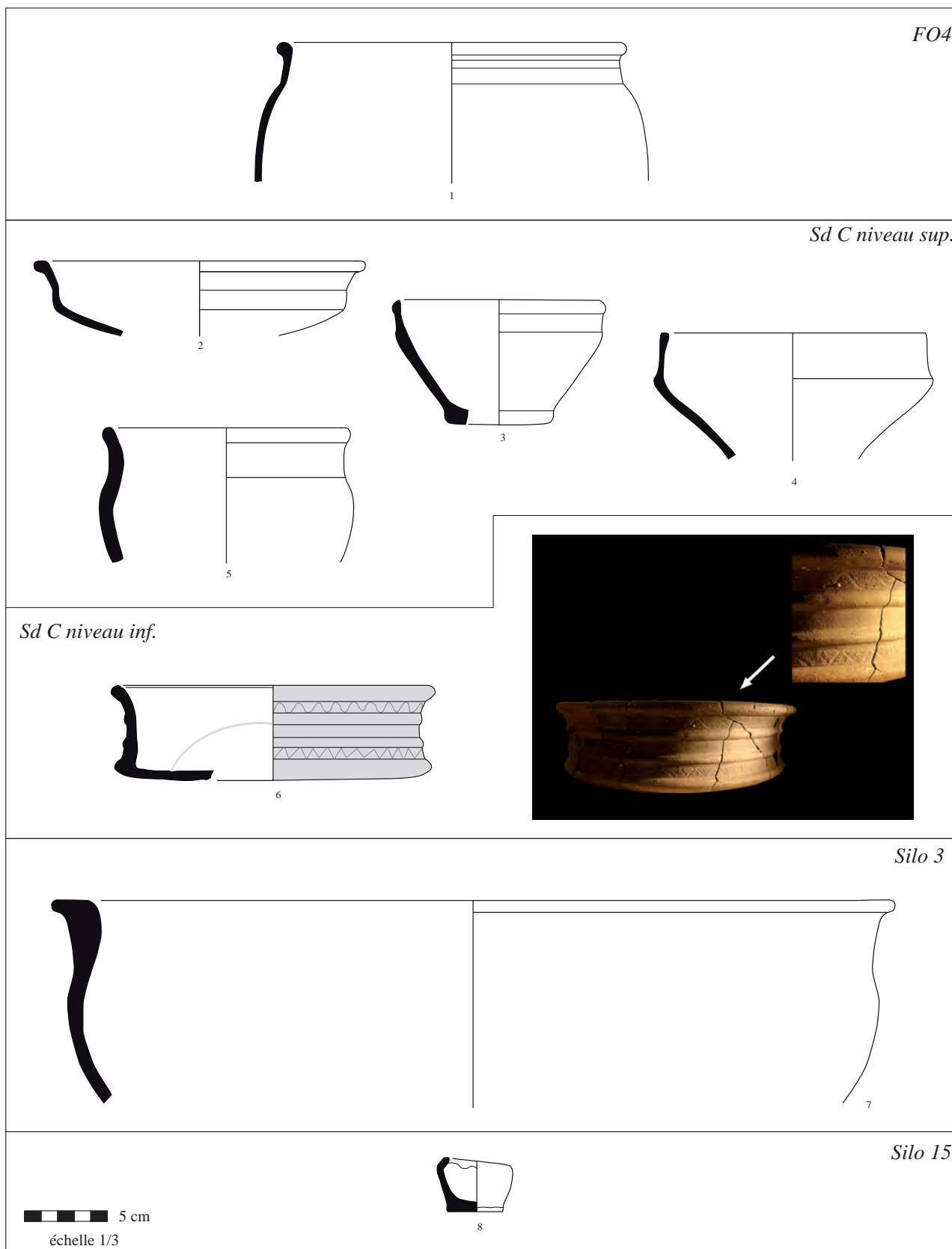


Planche 15 - Fo 200 (diagnostic 2008), Sondages FO4 et FO1-Sd C
Silo 3
Silo 15

COMPTAGE GÉNÉRAL DES CÉRAMIQUES

St.	Identif.	Sd	Description	Sac	Catégorie	Sous-catégorie	NFR	NMI	Elément	Forme	Illust.		
200	Fossé enclis	1	de 0 à -10 cm	3	non tournée	mi-fine sableuse		1	1 f	indéterminé			
			à - 30 cm	7	non tournée	indéterminée	4						
			de -40 à -50 cm	542	non tournée	mi-fine sableuse	3		1	1 b			
					non tournée	indéterminée	1						
			à - 50 cm	6	non tournée	mi-fine sableuse	3		3				
					non tournée	mi-fine sablo-calcaire	3						
			de -50 à -70 cm	537	non tournée	indéterminée	3		3				
			à - 60 cm	4	non tournée	mi-fine sableuse	3		3				
					non tournée	mi-fine sableuse	3						
			à -64 cm, démontage passe 2	5	non tournée	mi-fine sablo-calcaire	5		1	1 b			
					non tournée	indéterminée	5						
			à - 65 cm, démontage passe 1	9	non tournée	mi-fine sableuse	2		2	2 b		1 jatte carénée FBO 3.8	Pl.9-1
					non tournée	indéterminée	2						
					non tournée	grossière sableuse	10		10	1 b		1 VAP (pâte vacuoles) FHF 3.2	Pl.9-4
					non tournée	mi-fine sableuse	27		1	1 b		1 pot situiforme FHF 1.3	Pl.9-3
		non tournée	grossière sableuse	1		1							
		non tournée	mi-fine sableuse	1		1							
		463	à - 80 cm, passe 3		tournée	mi-fine sableuse		1	1 f	1 pied balustre			
					non tournée	indéterminée	2						
		40	à - 90 cm		non tournée	mi-fine sableuse	2						
		473	entre passe 3 et passe 4		non tournée	mi-fine sableuse		2	1 b, 1 f	1 jatte miniature carénée FBO 3.5	Pl.9-2		
		10	de 0 à - 20 cm		non tournée	mi-fine sableuse	5	2	1 b, 1 f				
					non tournée	grossière sableuse	2						
		11	de - 20 à - 40 cm		non tournée	mi-fine sableuse	1	2	2 b	2 jattes			
					non tournée	indéterminée	2						
		552			non tournée	indéterminée	1						
					non tournée	mi-fine sableuse	1		1 b	1 jatte miniature convexe FBO 2.2	Pl.9-5		
		22	à - 40 cm, démontage		tournée	mi-fine sableuse	1						
					non tournée	fine sableuse	5	1	1 f	f annulaire			
		14	à - 45 cm, passe 2		non tournée	indéterminée	7						
					non tournée	indéterminée	1						
		2	de - 40 à - 60 cm		non tournée	grossière sableuse	11			VAP du Sd 1 (sac 1)			
					non tournée	mi-fine sableuse	5	1	1 f	fond fragmenté			
					non tournée	indéterminée	7						
		12	à - 50 cm, passe 2		non tournée	grossière sableuse	5	2	1 b, 1 f	bord fragmenté, f plat			
					non tournée	grossière sableuse	8						
		15	de - 60 à - 80 cm		non tournée	mi-fine sableuse	3	2	2 b	2 pots			
					tournée	mi-fine sableuse	2						
					non tournée	indéterminée	16						

St. Identif. Sd	Description	Sac	Catégorie	Sous-catégorie	NFR	NMI	Elément	Forme	Illust.		
2	à - 80 cm, démontage	472	non tournée	mi-fine sableuse	1						
		471	indéterminée		4						
		468	tournée	mi-fine sableuse	1	1	1 b	1 pot ?			
		13	non tournée	grossière sableuse	24						
		8	non tournée	grossière sableuse	3						
		470	indéterminée		6						
		de 0 à - 20 cm, passe 1	de 0 à - 20 cm, passe 1	120	non tournée	grossière sableuse	9	1	1 f		
					non tournée	mi-fine sableuse	17	1	1 b		
				128	non tournée	grossière sableuse	19	2	2 b		
					non tournée	mi-fine sableuse	20			119 g	
140	non tournée			mi-fine sableuse		1	1 f	1 fond plat			
	tournée			mi-fine sableuse	1			1 jatte			
148	non tournée			grossière sableuse	4						
131	non tournée			grossière sableuse	1						
3	de 0 à - 20 cm (A), passe 1			121	non tournée	mi-fine sableuse	3	1	1 f	1 jatte carénée ?	
					tournée	mi-fine sableuse	5	1	1 f	1 fond plat	
		150	non tournée	mi-fine sableuse	3	2	1 b, 1 f	1 jatte, 1 f balustre	Pl.6-7		
			indéterminée		9						
		139	non tournée	mi-fine sableuse	4			52,5 g			
			tournée	mi-fine sableuse	7	2	1 b, 1 f	f plat enduit noir (int/ext)			
		127	non tournée	mi-fine sableuse	3				Pl.6-3		
			tournée	mi-fine sableuse	1						
		123	non tournée	grossière sableuse	16	1	1 f				
			tournée	mi-fine sableuse	9	1	1 f				
119	non tournée	mi-fine sableuse	1	1	1 b						
	tournée	mi-fine chamotée	2	1	1 b	1 VAP	Pl.6-6				
de 0 à - 20 cm (G), passe 1	de 0 à - 20 cm (G), passe 1	125	indéterminée				32,5 g				
			non tournée	grossière chamotée	26						
de 0 à - 20 cm (H), passe 1	de 0 à - 20 cm (H), passe 1	125	non tournée	mi-fine sableuse	20	6	3 b, 3 f	3 f plats			
			tournée	mi-fine sableuse	16						
de 0 à - 20 cm (I), passe 1	de 0 à - 20 cm (I), passe 1	125	indéterminée		7						
			non tournée	grossière sableuse	38	1	1 b	116,5 g	Pl.6-1		
fossé enclos	fossé enclos	125	non tournée	grossière chamotée	1						
			indéterminée	mi-fine sableuse	4	1	1 b	1 jatte carénée FBO 3.8			
200							53,5 g				

St.	Identif. Sd	Description	Sac	Catégorie	Sous-catégorie	NFR	NMI	Elément	Forme	Illust.		
200	3	de 0 à - 20 cm (J), passe 1	132	non tournée	grossière sableuse	1	1	1 f				
					grossière chamotée	3	1	1 b	1 frgt de type Besançon			
					mi-fine sableuse	6	1	1 f	1 fond plat	Pl.6-8		
					indéterminée				12 g			
					non tournée	grossière chamotée	11					
					138	non tournée	mi-fine sableuse	1	1	1 b	1 pot ovoïde FHF 2.2	Pl.6-5
					133	tournée	grossière sableuse	1				
					143	non tournée	mi-fine sableuse	10	1	1 b	1 jatte complète	
						non tournée	grossière sableuse	2				
						non tournée	mi-fine sableuse	4	3	1 b, 2 f	1 jatte ?	
					124	tournée	fine sableuse	11				
							indéterminée	12				
											13 g	
				de - 40 à - 60 cm	466	non tournée	mi-fine sableuse	2				
				n°1, passe 3	151	non tournée	mi-fine sableuse		1	1 b	1 pot ovoïde FHF.22	Pl.6-4
				n°3, passe 4	130	non tournée	mi-fine sableuse	1				
				n°4, passe 4	136	non tournée	grossière sableuse	1				
				n°6, passe 3	135	non tournée	mi-fine sableuse	3				
				n°7, passe 3	129	non tournée	mi-fine sableuse	2				
				n°32, passe 2	146	non tournée	mi-fine sableuse	4				
		n°33, passe 2	137	non tournée	mi-fine sableuse	1						
		n°34, passe 2	134	tournée	mi-fine sableuse		2	1 b, 1 f	1 jatte carénée FBO 3.8, 1 f annulaire	Pl. 6-2		
		n°35, passe 2	141	non tournée	grossière sableuse	2						
				non tournée	mi-fine sableuse	1						
				tournée	fine sableuse	1						
		n°37, passe 2	126	non tournée	grossière sableuse	4						
				non tournée	mi-fine sableuse	13	2	1 b, 1 f	1 pot, 1 f plat			
				tournée	mi-fine sableuse		1	1 f				
		en surface	149	non tournée	mi-fine sableuse	5						
			122	idem 204								
				non tournée	grossière sableuse	3						
		passe 3	147	tournée	mi-fine sableuse	11	1	1 b	1 jatte			
				tournée	mi-fine sableuse	4						
					indéterminée	12						
									16 g			
					grossière sableuse	9	1	1 f				
				non tournée	grossière chamotée	74						
					mi-fine sableuse	48	9	7 b, 2 f	4 jattes FBO 2.1/3.8/3.3/3.1	Pl.7-2,4,5,6		
					mi-fine sableuse	2	1	1 b	repris au tour			
		passe 2	142	tournée	fine sableuse	23	5	3 b, 2 f	1 bord terra nigra?			
					amphore italique	1						
					indéterminée	28			8,5 g			

fossé enclos

St. Identif. Sd	Description	Sac	Catégorie	Sous-catégorie	NFR	NMI	Elément	Forme	Illust.
4	de 0 à - 20 cm	465	indéterminée		4				
	de - 20 à - 40 cm	32	non tournée	grossière sableuse	1				
	de - 60 à - 80 cm	469	non tournée	grossière sableuse	1				
	de 0 à - 20 cm	28	non tournée	mi-fine sableuse	8	1	1 b	indéterminé	
	de - 20 à - 40 cm	34	non tournée	grossière sableuse	1				
	de - 40 à - 60 cm	24	non tournée	grossière coquillée	1				
	à - 20 cm, passe 2	467	non tournée	mi-fine sableuse	1			nombresuses vacuoles	
		475	non tournée	mi-fine sableuse	6	1	1 b	indéterminé	
	de - 40 à - 60 cm	464	non tournée	grossière sableuse	3				
		19	non tournée	mi-fine sableuse	6	1	1 b	1 jatte convexe à préhension FBO 2.5	Pl.10-4
		566	non tournée	indéterminée	1			7,5 g	
		29	non tournée	grossière sableuse	1			fond annulaire, mica noir	
	7	de 0 à - 20 cm	29	non tournée	grossière sableuse	9		1 f	
de 0 à - 20 cm		30	non tournée	grossière sableuse	5				
de - 60 à - 80 cm		31	non tournée	mi-fine sableuse	1				
de - 80 à - 100 cm		551	indéterminée		2				
de 0 à - 20 cm		26	non tournée	mi-fine sableuse	10				
11	moitié sud, surface décapage	43	non tournée	mi-fine sableuse	5	1	1 b	indéterminé	
	moitié sud, de - 20 à - 40 cm	36	non tournée	grossière sableuse	5				
	moitié sud, de - 40 à - 60 cm	42	indéterminée					indéterminé	
	de 0 à - 20 cm	44	non tournée	grossière sableuse	7				
12		45	non tournée	mi-fine sableuse	6				
	de - 20 à - 40 cm	45	non tournée	grossière sableuse	4	1	1 b	indéterminé	
			non tournée	mi-fine sableuse	9				
		20	non tournée	indéterminée				10,5 g	
	de - 40 à - 60 cm	20	non tournée	mi-fine sableuse	2				
13	à - 50 cm, passe 1	21	indéterminée		5				
			non tournée	grossière sableuse	4	1	1 f	1 fond de VAP	
			non tournée	mi-fine sableuse	4	2	2 b	2 jattes	
	de 0 à - 20 cm	18	non tournée	mi-fine sableuse	8	1	1 b	1 pot ovoïde FHF 2.2	Pl.11-2
			non tournée	fine sableuse	5				
			non tournée	indéterminée	13				
	de - 10 à - 20 cm, passe 2	41	non tournée	grossière sableuse	4			17 g	
			non tournée	indéterminée				indéterminé	
			non tournée	grossière sableuse	4	1	1 b		
	à - 20 cm, passe 1	17	non tournée	mi-fine sableuse	4				
		non tournée	mi-fine sableuse	5	1	1 b	1 pot		
		non tournée	indéterminée		1	1 b	91 g		

fossés enclos

Sl.	Identif. Sd	Description	Sac	Catégorie	Sous-catégorie	NFR	NMI	Elément	Forme	Illust.
13	de - 20 à - 40 cm		16	non tournée	grossière sableuse	6	1 1 b		1 pot ovoïde FHF 2.2	Pl.1.1-1
				tournée	mi-fine sableuse	8	2 1 b, 1 f		1 pot, 1 fond plat	
					mi-fine sableuse	1	2 2 b		2 pots dont 1 bague	
					indéterminée	5				
					mi-fine sableuse	8	1 1 b		40 g	
					mi-fine sableuse	5			1 pot	
					grossière sableuse	1				
					mi-fine sableuse	7				
					mi-fine sableuse	10				
					non tournée	5	1 1 b		1 jatte	
					non tournée	1	1 1 f		1 fond annulaire	
					indéterminée	12				
				14	de - 20 à - 40 cm		23	non tournée	grossière sableuse	
	mi-fine sableuse	10								
non tournée	grossière sableuse	5	1 1 b						1 jatte	
non tournée	grossière sableuse	1	1 1 f						1 fond annulaire	
	indéterminée	12								
non tournée	mi-fine sableuse	7								
non tournée	mi-fine sableuse	2								
non tournée	mi-fine sableuse	4								
non tournée	grossière sableuse	5	1 1 b							
non tournée	grossière sableuse	3								
15	de 0 à - 20 cm		33	non tournée	mi-fine sableuse	5	1 1 b		1 jatte convexe FBO 2.2	Pl.1.1-7
					indéterminée	4				
				non tournée	mi-fine sableuse	11				
				non tournée	grossière sableuse	7				
				non tournée	mi-fine sableuse	7				
				non tournée	mi-fine sableuse	1	1 1 b		1 jatte convexe FBO 2.2	
					indéterminée				10 g	
				non tournée	mi-fine sableuse	4				
				non tournée	mi-fine sableuse	9	1 1 f		fond plat, décor peigné	
				non tournée	grossière sableuse	1			nxses vacuoles	
16	de - 20 à - 40 cm		39	non tournée	grossière sableuse	1				Pl.1.1-6
					mi-fine sableuse	4				
				non tournée	mi-fine sableuse	4				
				non tournée	mi-fine sableuse	16				
				non tournée	grossière sableuse	5	1 1 b		1 jatte carénée FBO 3.1	
					indéterminée	16				
				non tournée	grossière sableuse	5	1 1 b		1 pot ovoïde FHF 2.9	
				non tournée	grossière sableuse	4			1 surface ext. crépissée	
				non tournée	mi-fine sableuse	3	1 1 b		1 jatte	
				tournée	mi-fine sableuse	1	1 1 f		1 fond annulaire	
17	de - 20 à - 40 cm		476	non tournée	indéterminée	1				Pl.1.1-8
					grossière sableuse	1				
					mi-fine sableuse	7				
				non tournée	indéterminée	10				
				non tournée	grossière sableuse	5	1 1 b		1 jatte	
				non tournée	grossière sableuse	1	1 1 f		1 fond annulaire	
					indéterminée	12				
				non tournée	mi-fine sableuse	10				
				non tournée	mi-fine sableuse	7				
				non tournée	indéterminée	12				
18	de - 20 à - 40 cm		543	non tournée	grossière sableuse	1				Pl.1.1-9
					mi-fine sableuse	4				
				non tournée	grossière sableuse	9	1 1 f		1 pot ovoïde FHF 2.9	
				non tournée	mi-fine sableuse	3	1 1 b		1 surface ext. crépissée	
				non tournée	mi-fine sableuse	1	1 1 f		1 jatte	
				non tournée	mi-fine sableuse	4				
				non tournée	mi-fine sableuse	16				
				non tournée	grossière sableuse	5	1 1 b		1 pot ovoïde FHF 2.9	
				non tournée	grossière sableuse	4			1 surface ext. crépissée	
				non tournée	mi-fine sableuse	3	1 1 b		1 jatte	
19	de - 80 à - 100 cm		52	non tournée	grossière sableuse	1				Pl.1.2-1
					mi-fine sableuse	4				
				tournée	mi-fine sableuse	4				
					indéterminée	16				
				non tournée	grossière sableuse	5	1 1 b		1 pot ovoïde FHF 2.9	
				non tournée	grossière sableuse	4			1 surface ext. crépissée	
				non tournée	mi-fine sableuse	3	1 1 b		1 jatte	
				tournée	mi-fine sableuse	1	1 1 f		1 fond annulaire	
				non tournée	indéterminée	1				
				non tournée	grossière sableuse	1				
20	de - 20 à - 40 cm		482	non tournée	mi-fine sableuse	7				Pl.1.2-2
					indéterminée	10				
				non tournée	grossière sableuse	12				
				non tournée	mi-fine sableuse	2	1 1 b		1 couvercle/jatte convexe FBO 2.4	
				non tournée	indéterminée	2				
				non tournée	grossière chamotée	1				
				non tournée	mi-fine sableuse	4	1 1 b		indéterminé	
				non tournée	indéterminée	2				
				non tournée	mi-fine sableuse	1	1 1 b		1 pot situiforme FHF 1.2	
				non tournée	mi-fine sableuse	2				

fossé enclos

Sl.	Identif. Sd	Description	Sac	Catégorie	Sous-catégorie	NFR	NMI	Elément	Forme	Illust.					
20	fossé enclou		71	non tournée	grossière sableuse indéterminée	4			frgts peignés						
				12											
			61	non tournée	grossière sableuse	3	1 1 b				même b que Sd V (292)				
				tournée	fine sableuse	1									
			66	de - 20 à - 40 cm	non tournée	grossière sableuse indéterminée	5					frgts peignés			
						mi-fine sableuse	2					1 fond plat			
					479	indéterminée	grossière sableuse	1	2 1 b, 1 f				1 bord indét., 1 fond plat		
							mi-fine sableuse	11	1 1 b				indéterminé		
			70	de - 40 à - 60 cm, passe 2	non tournée	mi-fine sableuse	2	1 1 b				terra nigra ?			
						grossière sableuse	2	1 1 b				même b que Sd V (292)			
					484	indéterminée	mi-fine sableuse	6							
							grossière sableuse	3							
21		50	non tournée	grossière sableuse	11	2 2 b			1 pot ovoïde FHF 2.4	Pl. 12-10					
			tournée	indéterminée	6										
		480	de - 65 à - 70 cm, passe 3	non tournée	grossière sableuse	13					même b que Sd V (292), type Besançon				
					mi-fine sableuse	5	1 1 b				1 pot ovoïde FHF 2.3	pl.12-11			
				541	indéterminée	mi-fine sableuse	10	1 1 b				1 b NPR, frgts terra nigra précocoe?			
						indéterminée	12								
		22		68	non tournée	grossière sableuse	6	1 1 d			décor incision	Pl. 12-12			
					tournée	mi-fine sableuse	1								
				82	de - 40 à - 60 cm	non tournée	mi-fine sableuse	2					repris au tour		
							indéterminée	1							
						72	de - 60 à - 80 cm	grossière sableuse	1						
								mi-fine sableuse	1						
478	de - 80 à - 100 cm			non tournée	indéterminée	6									
					grossière sableuse	10									
				83	non tournée	grossière sableuse	1								
						indéterminée	2								
23				477	non tournée	grossière sableuse	2								
					mi-fine sableuse	7									
		51	de - 20 à - 40 cm	non tournée	mi-fine sableuse	1									
					indéterminée	1									
				63	de - 40 à - 60 cm	grossière sableuse	1								
						mi-fine sableuse	41	1 1 b				1 pot			
		81	de - 60 à - 80 cm	mi-fine sableuse	2										
				indéterminée	2						indéterminé				
		81	de - 60 à - 80 cm	mi-fine sableuse	2										
				grossière sableuse	11	1 1 b				indéterminé					

St.	Identif.	Sd	Description	Sac	Catégorie	Sous-catégorie	NFR	NMI	Elément	Forme	Illust.				
20			fossé enclous	54	non tournée	grossière sableuse	13								
					tournée	mi-fine sableuse	5								
						mi-fine sableuse	7						4 g		
						indéterminée								1 pot	
						non tournée	grossière sableuse	4	1 1 b						
						non tournée	grossière chamotée	10							
						non tournée	mi-fine sableuse	6	3 3 b					1 jatte, 2 indéterminés	
						non tournée	grossière sableuse	19	1 1 b					1 pot	
						non tournée	grossière chamotée	14							
						tournée	mi-fine sableuse	2							
						non tournée	mi-fine sableuse	6	1 1 b					pot? Jatte ?	
					24			de - 60 à - 80 cm	non tournée	mi-fine sableuse	4				
non tournée	grossière sableuse	7	1 1 b									indéterminé			
	indéterminée												13 g		
	indéterminée														
	non tournée	indéterminée	2												
	tournée	grossière sableuse	5	2 2 b									1 faisselle, 1 jatte convexe FBO 2.2	Pl.14-7	
	non tournée	mi-fine sableuse	7	1 1 b									1 pot		
	non tournée	grossière sableuse	5												
	tournée	mi-fine sableuse	3	1 1 b									indéterminé		
	tournée	mi-fine sableuse	1										même bord que 76		
	non tournée	grossière sableuse	16	2 1 b, 1 f									1 faisselle tronconique FBO 1.4, 1 pot ovoïde FHF 2..6	Pl.14-9 et 11	
25			de - 40 à - 60 cm	non tournée					mi-fine sableuse	25	1 1 b				
				tournée	mi-fine sableuse	13	1 1 b					1 pot			
					indéterminée										
					non tournée	grossière sableuse	4								
					tournée	mi-fine sableuse	24	4 3 b, 1 f					1 jatte, 1 pot, 1 indéterminé, 1 fond plat, et même bord		
					tournée	mi-fine sableuse	5	1 1 b					indéterminé		
					tournée	mi-fine sableuse	2	1 1 d					rainures horizontales		
					tournée	indéterminée	12								
					tournée	mi-fine sableuse		1 1 b					1 pot situliforme ou jatte? FBO 3.10	Pl.14-8	
						indéterminée	12								
					non tournée	grossière sableuse	10	5 4 b, 1 f					1 pot tronconique FHF 4.3	Pl.14-10	
				26			à - 50 cm, passe 2	non tournée	grossière sableuse	4					
	grossière chamotée	3													
	indéterminée														
	non tournée	mi-fine sableuse	2					1 1 b					1 pot ?		
		indéterminée	11												
	non tournée	grossière sableuse	3					1 1 b					1 bord de VAP ?		
	non tournée	grossière sableuse	22					1 1 b					1 bord de VAP ?		
	non tournée	grossière sableuse						1 1 b					1 b cannelé, pot?		
	non tournée	mi-fine sableuse	2					1 1 b					1 jatte cylindrique FBO 4.2	Pl.14-6	
	non tournée	grossière sableuse	30												
	non tournée	indéterminée	1												
27			de - 20 à - 40 cm					non tournée	mi-fine sableuse	3	2 2 b			2 jattes	

St. Identif.	Sd	Description	Sac	Catégorie	Sous-catégorie	NFR	NMI	Elément	Forme	Illust.	
29		de - 20 à - 40 cm	74	non tournée	grossière sableuse	12					
		de - 60 à - 80 cm	536	non tournée	grossière sableuse	2					
	30	de 0 à - 20 cm	102	non tournée	grossière sableuse	1					
		de - 20 à - 30 cm	497	non tournée	mi-fine sableuse	6					
					indéterminée	5					
		de 0 à - 20 cm	96	non tournée	mi-fine sableuse	1					
	31		de 0 à - 20 cm	112	non tournée	grossière sableuse	1	1 1 b		indéterminé	
				113	non tournée	indéterminée	10				
					non tournée	mi-fine sableuse	3				
					non tournée	grossière sableuse	5				
		à - 26 cm, démontage	87	non tournée	grossière chamotée	1					
				non tournée	mi-fine sableuse	4	1 1 b		1 jatte tronconique FBO 1.5	Pl.15-1	
		de - 30 à - 40 cm	115	non tournée	grossière sableuse	7					
				non tournée	grossière chamotée	8					
		de - 40 à - 60 cm	489	non tournée	mi-fine sableuse	4	1 1 b		indéterminé		
				non tournée	mi-fine sableuse	6	1 1 b		1 jatte?		
32				non tournée	grossière sableuse	25	4 2 b, 2 f		1 jatte carénée FBO 3.5, 1 pot ovoïde FHF 2.5	Pl.15-4 et 5	
		de - 50 à - 60 cm, démontage	90	non tournée	grossière chamotée	15	1 1 f		1 frgt fond plat		
				tournée	mi-fine sableuse	5	1 1 b		indéterminé		
			99	non tournée	mi-fine sableuse	19	1 1 b		1 jatte carénée FBO 3.7	Pl.15-3	
			550	non tournée	mi-fine sableuse	1			1 jatte tronconique FBO 1.1	Pl.15-2	
		de - 60 à - 80 cm	98	non tournée	grossière sableuse	5					
		de 0 à - 20 cm	108	non tournée	grossière sableuse	1					
		de - 40 à - 60 cm	116	indéterminée		1					
		de 0 à - 20 cm	107	non tournée	mi-fine sableuse	2	1 1 b		indéterminé		
		de - 80 à - 100 cm	462		indéterminée	2					
33		surface décapage	93		indéterminée	10					
		de 0 à - 20 cm	94	non tournée	mi-fine sableuse	10	1 1 b		1 jatte		
		de - 20 à - 40 cm	95	non tournée	mi-fine sableuse	3					
				non tournée	indéterminée	1					
		pas 1	97	non tournée	mi-fine sableuse	6					
					indéterminée	2					
		de - 30 à - 50 cm, passe 2	104	non tournée	grossière sableuse		1 1 b		1 pot ?		
				non tournée	mi-fine sableuse	2	2 1 b, 1 f		1 fond fragmenté		
				non tournée	indéterminée	9					
			491	non tournée	grossière sableuse		1 1 b				
34			499	non tournée	indéterminée	1					
		de - 50 à - 70 cm, passe 3		non tournée	mi-fine sableuse	1					
				non tournée	grossière sableuse	5					
			485	tournée	mi-fine sableuse	5					
				indéterminée	2						

fossé enclos

St.	Identif.	Sd	Description	Sac	Catégorie	Sous-catégorie	NFR	NMI	Elément	Forme	Illust.		
200	Fossé enclous	38	passee 4	488	non tournée	mi-fine sableuse	8	1 1 f		1 fond plat			
			à - 70 cm, démontage, passe 3		grossière sableuse	2	1 1 b		1 jatte				
					mi-fine sableuse	2	5 5 b		1 jatte tronco FBO 1.5, 1 bol convexe FBF 2.1, 1 jatte	Pl.9- 8,9 10,11			
					mi-fine sableuse	2	1 1 b						
					indéterminée								
			de - 70 à - 90 cm	487	non tournée	grossière sableuse	2	1 1 b		1 jarre convexe FBO 2.6		Pl. 9-12	
					mi-fine sableuse	1							
					fine sableuse	1							
			à - 110 cm, passe 5	559	non tournée	grossière sableuse	5	1 1 b		1 VAP			
				555		indéterminée	2						
			de 0 à - 20 cm	486	non tournée	grossière sableuse	1						
				490		indéterminée	2	1 1 f		1 frgt fond			
			de - 20 à - 40 cm	498	non tournée	grossière chamotée	14	1 1 b		1 bord de VAP			
				492	non tournée	grossière sableuse	8						
			de - 40 à - 60 cm	493		indéterminée	5						
	496		indéterminée	1									
	496		indéterminée	7									
de - 60 à - 80 cm	494	non tournée	grossière sableuse	1									
de - 80 à - 100 cm	101	non tournée	grossière sableuse	2									
			indéterminée						5 g				
à - 90 cm	100	non tournée	grossière chamotée	31	1 1 f		1 frgt fond plat						
de - 100 à - 120 cm	118	non tournée	grossière sableuse	1									
sous chemin bord Est	111	non tournée	grossière sableuse	1	1 1 f		1 fond plat						
			indéterminée	5									
40			de 0 à - 20 cm	91	non tournée	grossière sableuse	5	1 1 f		1 fond plat			
					tournée	mi-fine sableuse	5						
						indéterminée	18						
			de - 20 à - 40 cm		grossière sableuse	15	1 1 f		1 fond plat				
					mi-fine sableuse	6	2 2 b		2 pots dont 1 bague				
						12							
					indéterminée						20 g		
					grossière sableuse	1							
					mi-fine sableuse	1							
						2							
					mi-fine sableuse	1	1 1 b		indéterminé				
					mi-fine sableuse	2							
					grossière sableuse	18							
			de - 40 à - 60 cm		grossière chamotée	16	1 1 b		indéterminé				
					mi-fine sableuse	4	3 3 b		1 jatte tronco FBO 1.3, 1 jatte carénée FBO 3.8, 1 pot	Pl.10-5,6 et 7			
	fine sableuse	1											
		indéterminée				26,5 g							
		mi-fine sableuse	26	1 1 f		1 fond annulaire plat							

St. Identif. Sd	Description	Sac	Catégorie	Sous-catégorie	NFR	NMI	Elément	Forme	Illust.		
40	de - 40 à - 60 cm	114	non tournée	grossière sableuse	3						
				indéterminée	2			6 g			
	à - 40 cm	500	non tournée	grossière sableuse	1						
		103	non tournée	mi-fine sableuse	1						
				indéterminée	2						
		106	non tournée	grossière sableuse	1						
		495	tournée	mi-fine sableuse	5	1	1 b		1 pot ?		
	de - 60 à - 80 cm	117		indéterminée	5						
				grossière sableuse	4						
		110	non tournée	mi-fine sableuse	2	2	2 b		2 bords indéterminés		
	de - 80 à - 100 cm			indéterminée	8						
				grossière sableuse	4						
	A	de 0 à - 20 cm	223	non tournée	grossière sableuse	4			1 jatte		
					mi-fine sableuse	1	1	1 b			
		de - 20 à - 40 cm	255	non tournée	grossière sableuse	7	2	2 b		1 b d'jatte	
					indéterminée	2				35,5 g	
		de - 40 à - 50 cm (n°4), passe 1	214	non tournée	mi-fine sableuse	2					
				grossière sableuse	3				1 jatte carénée		
de - 40 à - 60 cm, passe 1		224	non tournée	mi-fine sableuse	5	2	2 b		1 jatte carénée		
				mi-fine sableuse	11	1	1 b		indéterminé		
				mi-fine sablo-calcaire	6						
de - 40 à - 60 cm (n°4), passe 1		506	non tournée	mi-fine sablo-calcaire	1						
	510	non tournée	grossière sableuse	6							
	225	non tournée	mi-fine sableuse	1							
	248	non tournée	grossière sableuse	2	1	1 b		1 jatte tronconique complète FBO 1.3	pl.9-6		
			mi-fine sableuse	8	1	1 f		recolle avec 255			
			grossière sableuse	8	1	1 f		1 fond plat			
	556	non tournée	mi-fine sableuse	6	1	1 b		1 jatte carénée FBO 3.11	Pl.14-5		
à - 70 cm			indéterminée	6							
	558	non tournée	mi-fine sableuse	2							
	241	non tournée	mi-fine sableuse	1							
			indéterminée	1							
B	à - 80 cm, passe 4	247		indéterminée	1						
		508	non tournée	mi-fine sableuse	4	1	1 b		1 jatte convexe miniature FBO 2.1	Pl.9-7	
	512	non tournée	indéterminée	4							
	254	non tournée	mi-fine sableuse	3	1	1 b		1 pot ?			
			indéterminée	3							
de 0 à - 20 cm	196		indéterminée	1							
	155	non tournée	mi-fine sableuse	3	1	1 f					
	178	non tournée	grossière sableuse	8							
	206	non tournée	mi-fine sableuse	2	1	1 f					
	204	non tournée	grossière sableuse	1				frgt de VAP (= 186,122)			
			indéterminée	1							

St.	Identif.	Sd	Description	Sac	Catégorie	Sous-catégorie	NFR	NMI	Elément	Forme	Illust.			
200	fossé enclous	B	de 0 à - 20 cm (E), passe 1	153	non tournée	grossière sableuse		1	1 f	1 VAP	Pl.8-10			
					tournée	fine sableuse indéterminée	18	1	1 b	1 jatte				
						186	idem 204							
						156	idem 153							
						173	non tournée	grossière sableuse	10	1	1 f			
					mi-fine sableuse			1	1 b	1 jatte tronco traces caramel FBO 1.1	Pl.7-3			
					tournée	fine sableuse indéterminée	2		50,5 g					
						203	non tournée	mi-fine sableuse	10					
					tournée		fine sableuse indéterminée	2						
									20					
						211	non tournée	grossière sableuse	4	1	1 b	1 pot situiforme (?) FHF 1.4		Pl.8-7
					non tournée		grossière sableuse	3						
						154	non tournée	mi-fine sableuse	1					
							tournée	mi-fine sableuse		1	1 b	1 jatte cylindro-conique FBO 3.1	Pl.7-7	
											7g			
						202	non tournée	grossière sableuse		1	1 b	jatte (même que 161)		
							tournée	mi-fine sableuse	3					
									2					
									4					
						162	non tournée	grossière sableuse		11				8g
		tournée	mi-fine sableuse		1		1 f	1 fond plat						
					11									
					9									
		161	non tournée	grossière sableuse		2	2 b	1 VAP FHF 2.7, 1 jatte tronco FBO 1.2	Pl.8-1 et 9					
			tournée	mi-fine sableuse	5	3	3 b	1 pot situiforme FHF 1.2, 2 jattes?		Pl.8-6				
					9	1	1 b							
					9									
		165	tournée	fine sableuse	2									
			non tournée	mi-fine sableuse	6									
		200			3									
		516	non tournée	mi-fine sableuse	1									
		517	non tournée	mi-fine sableuse	6									
		554	non tournée	grossière sableuse		1	1 b	pot?						
		168			4									
		164	non tournée	grossière sableuse	9									
			mi-fine sableuse	9										
		207	non tournée	grossière sableuse	6									
			mi-fine sableuse	2										

St.	Identif. Sd	Description	Sac	Catégorie	Sous-catégorie	NFR	NMI	Elément	Forme	Illust.	
200	Fossé enclos	à - 80 cm	184	non tournée	grossière sableuse	6	2	2 f	2 f plats, 1 VAP (17cm)		
					mi-fine sableuse	1					
			160	non tournée	mi-fine sableuse	7					
			189	non tournée	mi-fine sableuse	1					
			176	non tournée	mi-fine sableuse	2					
			177	tournée	mi-fine sableuse		1	1 b	pot ?		
			167	tournée	mi-fine sableuse	2	1	1 f	1 fond plat		
			180	non tournée	mi-fine sableuse		1	1 b	1 jatte tronco FBO 1.2		Pl.8-2
			208	non tournée	grossière sableuse	4					
			205	tournée	mi-fine sableuse	1					
			197		indéterminée		1	1 b	indéterminé		
			212	non tournée	mi-fine sableuse	2					
			175		indéterminée		8				
			171	non tournée	grossière sableuse	1					
			193	non tournée	grossière sableuse	1					
							indéterminée	1			
							grossière sableuse	5			
							mi-fine sableuse	1			
			188				fine sableuse	6			
							indéterminée				20,5g
							grossière sableuse	2			
							mi-fine sableuse	4			
			172	n°13, passe 3		non tournée	grossière sableuse	2			
							mi-fine sableuse	4			
			192	n°14, passe 3		non tournée	grossière sableuse	2			
							indéterminée	5			
			183	n°15, passe 3		non tournée	mi-fine sableuse	1			
			170	n°16, passe 3		non tournée	mi-fine sableuse	1			
			187	n°17, passe 3		non tournée	grossière sableuse	5			
			169	n°18, passe 3		non tournée	mi-fine sableuse		1	1 b	1 jatte (= 191)
				mi-fine sableuse	3						
145	n°20, passe 3		non tournée	mi-fine sableuse							
				indéterminée							
191	n°22, passe 3		idem 169								
199	n°23, passe 3		non tournée	grossière sableuse	1						
182	n°24, passe 3		non tournée	grossière sableuse	1						
195	n°25, passe 3		non tournée	grossière sableuse	6						
				grossière chamotée	17						
185	n°26, passe 3		non tournée	indéterminée	3						
201	n°27, passe 3		non tournée	mi-fine sableuse	2	1	1 b	1 jatte convexe FBO 2.3			
152	n°28, passe 3		non tournée	grossière sableuse	9			fragments de VAP?			
				grossière chamotée	2						
181	n°29, passe 3		non tournée	mi-fine sableuse	5	1	1 b	1 jatte			
158	n°30A, passe 2		non tournée	mi-fine sableuse	1						

St.	Identif. Sd	Description	Sac	Catégorie	Sous-catégorie	NFR	NMI	Elément	Forme	Illust.		
200	fossé enclous	B	210	non tournée	mi-fine sableuse indéterminée	3	1 1 b		pot?			
			166	non tournée	grossière sableuse	7						
			179	non tournée	grossière sableuse indéterminée	8	1 1 b			pot		
			198	non tournée	grossière sableuse indéterminée	1				24,5 g		
			194	idem 169								
			163	idem 169								
			159	non tournée	grossière sableuse	1						
			157	passe 1	non tournée	grossière sableuse	8				1 jatte	
					tournée	mi-fine sableuse	7	1 1 b			dont 5 frgt repris au tour	
						mi-fine sableuse indéterminée	6					
					indéterminée	6						
		144	passe 2	non tournée	grossière sableuse	2						
					grossière chamotée	10						
					mi-fine sableuse	9	1 1 b					
					indéterminée	14						
		190	passe 4	non tournée	grossière sableuse	8				62,5 g		
					grossière chamotée	1						
				tournée	fine sableuse	1	1 1 b					
					indéterminée					30,5g		
		209	passe 4	non tournée	grossière sableuse	1						
	mi-fine sableuse			1	1 1 b			1 jatte carénée FBO 3.8	Pl.8-4			
tournée	mi-fine sableuse indéterminée			1				29 g				
	indéterminée			2								
174	sous passe 4	non tournée	mi-fine sableuse	2				indéterminé				
			indéterminée	2	1 1 b							
			indéterminée	3								
C		226	tournée	mi-fine sableuse	1	1 1 f		1 fond plat balustre ?				
		227		indéterminée	7							
		260	de - 40 à - 60 cm	non tournée	grossière sableuse	25	2 2 b		1 bord de VAP			
					mi-fine sableuse	9	1 1 f		1 fond plat			
		259	de - 60 à - 80 cm		indéterminée	12						
				non tournée	grossière sableuse	47	2 2 f		70 g			
					grossière sableuse	9			2 fonds plats			
				non tournée	grossière chamotée	2						
		511	de - 80 à - 100 cm	non tournée	grossière sableuse	1						
					indéterminée	1						
		513	de - 100 à - 120 cm	non tournée	grossière sableuse	1	1 1 b		indéterminé			
					mi-fine sableuse	1						
		514	non tournée	grossière sableuse	1							
		505	non tournée	grossière chamotée		1 1 b		1 pot ovoïde FHF 2.3	Pl.10-2			

St.	Identif. Sd	Description	Sac	Catégorie	Sous-catégorie	NFR	NMI	Elément	Forme	Illust.		
200	fossé enlcos		258	de - 20 à - 40 cm	mi-fine sableuse	5	1	1 1 b	1 VAP FHF 3.1	Pl.10-1		
			503	de - 40 à - 60 cm	indéterminée	2						
			238	de - 60 à - 80 cm	non tournée	grossière sableuse	33	1	1 1 b		1 pot	
			253	de - 80 à - 100 cm	non tournée	grossière sableuse	39	1	1 1 f		1 fond plat	
			507	de - 60 à - 80 cm	non tournée	grossière sableuse	2					
					mi-fine sableuse	mi-fine sableuse	3					
					indéterminée	indéterminée	1					
			250	bougé à la fouille	non tournée	grossière sableuse	1					
					indéterminée	indéterminée	3					
					non tournée	mi-fine sableuse	2					
			235	à - 8 cm, passe 1	non tournée	mi-fine sableuse	2					
					indéterminée	indéterminée	4					
indéterminée	indéterminée	1										
216	de - 20 à - 40 cm	non tournée	grossière sableuse	14	1	1 1 b	indéterminé					
		non tournée	mi-fine sableuse	2								
		indéterminée	indéterminée	7								
215	de - 60 à - 80 cm	non tournée	mi-fine sableuse	2								
		non tournée	mi-fine sableuse	14								
		indéterminée	indéterminée	2								
236	de 0 à - 20 cm	non tournée	mi-fine sableuse	14				9 g				
		non tournée	grossière sableuse	2								
		non tournée	mi-fine sableuse	13								
256	de 0 à - 20 cm	non tournée	mi-fine sableuse	10				20 g				
		non tournée	grossière sableuse	5								
		non tournée	mi-fine sableuse	1	1	1 1 b	1 pot ?					
515	de - 20 à - 30 cm	non tournée	grossière sableuse	4								
		non tournée	mi-fine sableuse	4								
		non tournée	indéterminée	4								
502	de 0 à - 20 cm	non tournée	grossière sableuse	4								
		non tournée	mi-fine sableuse	5								
		non tournée	mi-fine sableuse	10								
233	à - 25 cm	non tournée	grossière sableuse	3								
		non tournée	mi-fine sableuse	3	1	1 1 b	1 pot					
		non tournée	indéterminée	3								
504	de - 30 à - 35 cm	non tournée	mi-fine sableuse	3								
		non tournée	mi-fine sableuse	1								
		non tournée	indéterminée	2								
217	de - 20 à - 40 cm	non tournée	mi-fine sableuse	2								
		non tournée	mi-fine sableuse	2								
		non tournée	indéterminée	1	1	1 1 b	indéterminé					
242	de 0 à - 20 cm	non tournée	mi-fine sableuse	1								
		non tournée	grossière sableuse	8								
		non tournée	mi-fine sableuse	12								
218	de - 20 à - 40 cm	non tournée	mi-fine sableuse	8				indéterminé				
		non tournée	mi-fine sableuse	1								
		non tournée	grossière sableuse	3								
230	de - 40 à - 60 cm	non tournée	mi-fine sableuse	12								
		non tournée	mi-fine sableuse	1								
		non tournée	grossière sableuse	3								
228	de - 20 à - 40 cm	non tournée	mi-fine sableuse	1								
		non tournée	grossière sableuse	1								
		non tournée	indéterminée	3								

St.	Identif.	Sd	Description	Sac	Catégorie	Sous-catégorie	NFR	NMI	Elément	Forme	Illust.			
200	fossé enclous	L	surface	249	non tournée	mi-fine sableuse	5							
					indéterminée	12								
			de 0 à - 20 cm	246	non tournée	mi-fine sableuse	6	2	2 b		1 jatte, 1 jatte			
			de - 60 à - 80 cm	232	non tournée	mi-fine sableuse			1	1 b		1 jatte		
				229		indéterminée	2							
				245	de 0 à - 20 cm	non tournée	grossière sableuse	2	1	1 b		1 pot		
		M				tournée	mi-fine sableuse	4	1	1 b		pot avec décor baguette		
					239	tournée	mi-fine sableuse	1						
					221	de - 20 à - 40 cm	non tournée	mi-fine sableuse	2	1	1 b		1 pot caréné FBF 1.2	Pl.10-3
					220	de - 40 à - 60 cm	non tournée	grossière sableuse	4					
							non tournée	grossière sableuse	1					
					261	de - 60 à - 80 cm	non tournée	mi-fine sableuse	1				13 g	
					indéterminée									
	560			à - 65 cm	non tournée	grossière sableuse	1							
					non tournée	grossière sableuse	15	1	1 b		1 jatte			
	219			nettoyage de surface	tournée	mi-fine sableuse	2							
					indéterminée		15							
N						213	non tournée	mi-fine sableuse	6	1	1 b		indéterminé	
				non tournée	grossière sableuse	8	2	2 b		2 jattes				
			240	de - 20 à - 40 cm	tournée	mi-fine sableuse	27	2	2 b		2 pots dont 1 baguette			
					indéterminée		17							
			231	de - 40 à - 60 cm	non tournée	grossière sableuse	2							
					non tournée	grossière sableuse	2							
			222	à - 60 cm	tournée	mi-fine sableuse	3							
					indéterminée		1							
					non tournée	grossière sableuse	9	1	1 b		1 jatte			
					mi-fine sableuse	67	8	7 b, 1 f			1 jarre tronco FBO 1.1, 1 jatte carénée FBO 3.9 et 1 pot	Pl.10-8,9 et 11		
			251	de 0 à - 20 cm	tournée	mi-fine sableuse	9	1	1 b		1 pot			
		O					indéterminée		52			90,5 g		
				non tournée	grossière sableuse	1	1	f		indéterminé				
	252			de - 20 à - 40 cm	tournée	mi-fine sableuse	3			1 décor poli	Pl.10-10			
					mi-fine sableuse	3								
					indéterminée		11							
	549			de - 40 à - 60 cm	indéterminée		1							
					tournée	mi-fine sableuse		1	1 b		pot antique (pâte orangé)			
	287			de 0 à - 10 cm		fine sableuse		1	1 b		1 jatte cylindrique FBO 4.1	Pl.11-4		
	267			de 0 à - 20 cm	non tournée	grossière sableuse	2							
	519			de - 20 à - 40 cm	non tournée	grossière sableuse	1							
	522			de - 40 à - 60 cm	indéterminée		1							
P						562	non tournée	mi-fine sableuse	1					
			262	de - 60 à - 80 cm	non tournée	grossière sableuse	1			1 pot ?				

St.	Identif. Sd	Description	Sac	Catégorie	Sous-catégorie	NFR	NMI	Elément	Forme	Illust.			
Q		de - 40 à - 60 cm	273	non tournée	grossière sableuse	2	1	1 b	1 jatte				
			563	non tournée	mi-fine sableuse	1							
			266	non tournée	grossière sableuse	7							
			553	non tournée	mi-fine sableuse	5							
			280	non tournée	grossière sableuse	5	1	1 f		nxses vacuoles			
							mi-fine sableuse	2					
							indéterminée	2					
					de 0 à - 20 cm, passe 1	288	non tournée	mi-fine sableuse	7	1	1 b	1 pot situliforme FHF 1.2	Pl.11-5
							indéterminée	26					
			T		de - 20 à - 40 cm	263	non tournée	grossière sablo-calcaire	6	2	2 b	2 pots	
							mi-fine sableuse	1					
274	non tournée	grossière sableuse				3	1	1 f		1 décor peigné			
							mi-fine sableuse	3					
275	non tournée	grossière sableuse				9							
283	non tournée	indéterminée				3							
							grossière sableuse	1	1	1 f	fond plat recuit?		
		décapage surface				282	non tournée	mi-fine sableuse	2				
							indéterminée	9					
U		à - 5 cm				276	non tournée	indéterminée	6				
			525	non tournée	grossière sableuse	8				dont 1 frg peigné			
							mi-fine sableuse	3	1	1 f	1 fond plat		
							grossière sableuse	19	3	3 b	1 b Besaçon, 2 indét.		
			286	non tournée	mi-fine sableuse	12	8	7 b, 1 f		1 jarre carénée profil en "S" FBO 3.2, 1 pot situliforme	Pl.11-11 et 13		
							mi-fine sableuse	1					
							indéterminée	16					
					de - 30 à - 55 cm	279	non tournée	mi-fine sableuse	1				
							grossière sableuse	8			dont 1 frg mica noir		
			V		à - 40 cm, démontage passe 3	270	non tournée	mi-fine sableuse	7				
							mi-fine sableuse						
							mi-fine sableuse		1		1 décor rainure		
							fine sableuse		1	1 b	indéterminé		
265	non tournée	indéterminée								13 g			
277	non tournée	indéterminée				1							
							grossière sableuse	4					
284	non tournée	mi-fine sableuse				10	1	1 f		1 fond plat			
							mi-fine sableuse		1	1 b	indéterminé	Pl.11-14	
271	non tournée	grossière sableuse				1					repris au tour ?		
V		à - 100 cm, démontage	281	non tournée	mi-fine sableuse	2	1	1 b	1 bord de VAP	Pl.11-12			
							grossière sableuse	1		1 bord même que 271			
							mi-fine sableuse	2	1	1 b	1 b de VAP, 1 frg crépissé		
			285	non tournée	mi-fine sableuse	3				9, 5 g			
				indéterminée									

Fossé enclos

St. Identif. Sd	Description	Sac	Catégorie	Sous-catégorie	NFR	NMI	Elément	Forme	Illust.	
200	fossé enlcos	V	de - 15 à - 20 cm, passe 2	non tournée	mi-fine sableuse	2				
			tournée	NPR	1	1 d	1 décor rainure			
			passe 2	non tournée	grossière sableuse	4				
				mi-fine sableuse	1	1 b	1 jatte carénée FBO 3.8	Pl.12-3		
				mi-fine sableuse	1	1 f	1 fond plat			
				fine sableuse	1					
			de - 30 à - 40 cm	indéterminée	8					
				grossière sableuse	2					
				mi-fine sableuse	8	3	2 b, 1 f	2 b indét. 1 fond plat		
				NPR	1					
		indéterminée		13						
		mi-fine sableuse		1						
		à - 40 cm, démontage passe 3	non tournée	548	mi-fine sableuse	1				
			non tournée	268	grossière sableuse	5	1	1 b	1 b de VAP ?	
		à - 45 cm, démontage passe 3	non tournée	289	grossière sableuse	21	2	1 b, 1 f	1 pot ovoïde FHF 2.2	Pl.12-6
			non tournée	290	grossière sableuse	1				
		à - 50 cm, démontage passe 4	non tournée	8	mi-fine sableuse	8	2	2 b	1 pot ?, 1 jatte ?	
			indéterminée	10						
			grossière sableuse	2						
			mi-fine sableuse	1						
291	non tournée	291	mi-fine sableuse	1						
	tournée	291	NPR	2	1	1 b	1 jatte caréné profil en "S" FBO 3.1	Pl.12-4		
de - 50 à - 60 cm, passe 5	non tournée	518	grossière sableuse	1						
	non tournée	292	grossière sableuse	13	1	1 b	1 pot ovoïde FHF 2.6, 1 frgt de VAP crépissé	Pl.12-5 et 7		
à - 70 cm, démontage passe 6	non tournée	269	grossière sableuse	1						
	non tournée	278	mi-fine sableuse	18	1	1 b	indéterminé			
de - 80 à - 100 cm	non tournée	278	grossière sableuse	33	1	1 b	1 pot			
	non tournée	278	grossière sableuse	10	1	1 f	1 fond annulaire			
de 0 à - 20 cm	non tournée	297	mi-fine sableuse	3	1	1 b	1 jatte			
	tournée	297	NPR	1						
	non tournée	297	mi-fine sableuse	1	1	1 b	1 pot			
	fine sableuse	3								
de 0 à - 40 cm (berme)	indéterminée	294	indéterminée	10						
	tournée	294	NPR	2	1	1 b	1 pot ?			
de - 20 à - 40 cm	non tournée	318	grossière sableuse	2						
	tournée	318	mi-fine sableuse	2	1	1 b	1 jatte			
à - 40 cm, démontage passe 1	non tournée	311	fine sableuse	2						
	tournée	311	grossière sableuse	31						
			mi-fine sableuse	2	4	3 b, 1 f	traces de peignes			
			mi-fine sableuse	4	2	2 jattes carénées FBO 3.1 et 3.7	Pl.12-13 et 14			
			fine sableuse	2	1	1 f	1 fond plat			

St.	Identif. Sd	Description	Sac	Catégorie	Sous-catégorie	NFR	NMI	Elément	Forme	Illust.		
200	W	de - 40 à - 60 cm (berme) à - 60 cm	305	non tournée	grossière sableuse	9						
			303	non tournée	mi-fine sableuse	2	1	1 b	pot ou jatte ?			
		de - 60 à - 75cm, démontage	306	non tournée	grossière sableuse	1						
			302	non tournée	mi-fine sableuse	2	1	1 b	1 jatte ?			
		de - 80 à - 100 cm (berme)	302	non tournée	grossière sableuse	1						
			309	non tournée	grossière sableuse	8	1	1 b	1 bord de VAP FHF 2.8		Pl.13-4	
		de 0 à - 20 cm			indéterminée					52,5 g		
			314	non tournée	grossière sableuse	8	1	1 f	1 fond de VAP ?			
						mi-fine sableuse				1	1 b	
						grossière sableuse	37	4	3 b, 1 f	1 jatte carénée FBO 3.5		Pl.13-2
		à - 10 cm, démontage				mi-fine sableuse	4	3	3 b	2 pots, 1 jatte		
			315	ournée	mi-fine sableuse	4	1	1 b	indéterminé			
				indéterminée	20							
				grossière sableuse	11	3	2 b, 1 f	1 jatte carénée FBO 3.7		Pl.13-1		
				mi-fine sableuse				1	1 f			
	321	ournée	indéterminée		9							
				grossière sableuse	25	1	1 b	1 bord de VAP ?				
	310	ournée	mi-fine sableuse	1	3	2 b, 1 f	1 jatte carénée FBO 3.7			Pl.13-3		
				mi-fine sableuse	3							
				grossière sableuse	18	2	2 b	1 bord ?		Pl.13-5		
à - 15 cm				mi-fine sableuse	3	1	1 b	1 jatte				
	312	ournée	indéterminée		4							
				indéterminée	1							
	547	ournée	grossière sableuse	1								
de - 40 à - 50 cm				indéterminée								
	296	ournée	mi-fine sableuse	1				9 g				
				indéterminée								
	322	ournée	mi-fine sableuse	1								
				indéterminée	3							
	300	ournée	indéterminée		4							
de - 40 à - 60 cm				indéterminée					4,5 g			
	325	ournée	grossière sableuse	5				1 frgt peigné				
				mi-fine sableuse				3	3 b			
				mi-fine sableuse				1	1 d	1 décor de baguette		
de - 50 à - 80 cm				indéterminée	13							
	565	ournée	grossière sableuse	1								
de - 60 à - 80 cm				grossière sableuse	12							
	313	ournée	mi-fine sableuse	9								
				indéterminée					7 g			
				grossière sableuse	11	1	1 b	indéterminé				
de 0 à - 20 cm				mi-fine sableuse	37	1	1 b	1 pot				
	326	ournée	indéterminée					10 g				

Fossé enclos

200

St.	Identif.	Sd	Description	Sac	Catégorie	Sous-catégorie	NFR	NMI	Elément	Forme	Illust.	
200	Fossé enclos	Y	de - 20 à - 40 cm	299	non tournée	grossière sableuse	15	1 1 b		1 jatte		
						mi-fine sableuse	6	1 1 b		1 jatte		
						indéterminée	12			10 g		
			de - 40 à - 60 cm	316	non tournée	grossière sableuse	4	1 1 b		1 pot ovoïde FHF 2.5		Pl.14-1
						indéterminée	5					
			de - 60 à - 80 cm	323	non tournée	grossière sableuse	19	1 1 b		1 pot ovoïde		Pl.14-2
						mi-fine sableuse	3			5 g		
			de - 80 à - 100 cm	301	non tournée	mi-fine sableuse	7					
					tournée	mi-fine sableuse		2 2 b		1 jatte carénée FBO 3.10		Pl.14-3
			nettoyage surface	295	tournée	mi-fine sableuse	1	1 1 b		1 pot repris au tour		
						grossière sableuse	11	2 2 b		1 pot, 1 indéterminé		
						mi-fine sableuse	6	1 1 b		1 jatte carénée FBO 3.6		Pl.13-9
nettoyage après pelle	298		indéterminée	13								
		non tournée	grossière sableuse	7								
			mi-fine sableuse	2								
de 0 à - 20 cm, passe 1	304	tournée	mi-fine sableuse		1 1 b		1 jatte carénée FBO 3.1		Pl.13-7			
			indéterminée	9								
		non tournée	grossière sableuse	27	2 2 b		1 jatte, 1 VAP					
de - 20 à - 40 cm, passe 2	317	non tournée	mi-fine sableuse	19	2 2 b		1 jatte, 1 indéterminé					
			indéterminée	6								
		non tournée	grossière sableuse	2								
de - 40 à - 60 cm, passe 3	545	non tournée	mi-fine sableuse	3	1 1 b		indéterminé					
			indéterminée	4								
		non tournée	grossière sableuse	9								
Y bis	319	non tournée	grossière chamotée	12								
		tournée	mi-fine sableuse		2 2 b		2 pots					
			mi-fine sableuse	1	1 1 b		1 jatte reprise au tour		Pl.13-8			
de - 40 à - 60 cm	546	indéterminée	indéterminée	5								
			indéterminée	2								
		non tournée	grossière sableuse	1								
de - 60 à - 80 cm	307	non tournée	grossière chamotée	3								
			mi-fine sableuse		1 1 b		indéterminé					
			indéterminée	2								
de - 80 à - 100 cm	561	non tournée	mi-fine sableuse	1								
			grossière sableuse		1 1 b		1 VAP, enduit noir et nkses vacuoles		Pl.13-11			
		non tournée	grossière sableuse	5	1 1 b		1 pot tronconique FHO 1.1		Pl.13-13			
passe 1, démontage	527	non tournée	mi-fine sableuse	6	1 1 b		1 pot					
		tournée	fine sableuse		1 1 b		terra nigra indéterminé					
		non tournée	grossière sableuse		1 1 b		1 pot ?					
passe 2	524	non tournée	grossière sableuse		1 1 b							
			indéterminée	4								

St. Identif. Sd	Description	Sac	Catégorie	Sous-catégorie	NFR	NMI	Elément	Forme	Illust.	
Y bis	passe 2, démontage	526	non tournée	grossière sableuse	7	3 3 b		1 pot stutiforme FHF 1.1 et 1 VAP ?	Pl.13-10 et 12	
				grossière chamotée	8					
			tournée	mi-fine sableuse	10					
				fine sableuse		2 2 b		2 pots pâte claire		
				indéterminée	15					
	à - 20 cm	320		indéterminée				3 g		
	de - 20 à - 40 cm	324	non tournée	grossière sableuse	37	1 1 b		1 pot		
				mi-fine sableuse	42					
				indéterminée				16 g		
Z	de - 40 à - 60 cm	308	non tournée	grossière sableuse	18	1 1 b		indéterminé	Pl.14-4	
				grossière chamotée	14	1 1 b		indéterminé		
				mi-fine sableuse	19	2 2 b		1 jatte, 1 indéterminé		
				grossière sableuse		1 1 f		1 fond plat		
	nettoyage après curage	293	non tournée	mi-fine sableuse		1 1 b		indéterminé		
				indéterminée				4,5 g		
AA	de 0 à - 20 cm	391	non tournée	grossière sableuse	4					
				mi-fine sableuse	13					
				grossière sableuse	6					
				grossière sableuse	14					
AB	de - 20 à - 40 cm	365	non tournée	grossière sableuse	7					
				indéterminée	2					
			non tournée	mi-fine sableuse	22					
AC	de 0 à - 20 cm	362	non tournée	grossière sableuse	1					
				indéterminée	1					
AD	de 0 à - 20 cm	374	non tournée	grossière sableuse	20	1 1 f		1 frgt de fond		
				grossière sableuse	12	2 1 b, 1 f		1 pot, 1 fond plat		
				mi-fine sableuse	3					
AE	de 0 à - 20 cm	389	non tournée	grossière sableuse	11					
				mi-fine sableuse	1			traces de peigne (photo)		
				mi-fine sableuse	1					
				indéterminée	1					
	de 0 à - 20 cm	398	non tournée	mi-fine sableuse	3	1 1 f		1 frgt de fond		
				indéterminée	19					
				grossière sableuse	2					
AF	de - 20 à - 25 cm, passe 1	367	non tournée	mi-fine sableuse	2					
				mi-fine sableuse	2					
				grossière sableuse	5	1 1 b		1 jatte carénée profil en "S" FBO 3.1	Pl.14-12	
				mi-fine sableuse	1	1 1 b		indéterminé		
	de - 30 à - 35 cm, passe 1	372	non tournée	mi-fine sableuse	1	1 1 b		1 jatte ?		
	de - 30 à - 35 cm, passe 2	370	non tournée	indéterminée				10 g		
	de - 35 à - 40 cm, passe 3	380	non tournée	mi-fine sableuse	16	2 2 b		1 jatte carénée FBO 3.8 et 1 VAP FHF 2.10	Pl.14-13 et 14	
				grossière sableuse	12	1 1 b		indéterminé		
				mi-fine sableuse	5	2 2 b		1 jatte, 1 jatte		

Fossé enclos

200

St.	Identif.	Sd	Description	Sac	Catégorie	Sous-catégorie	NFR	NMI	Elément	Forme	Illust.				
200	fossé encls			377	non tournée	mi-fine sableuse	10								
				529	non tournée	mi-fine sableuse	1								
				AF	sous passe 3		non tournée	grossière sableuse	6	1	1 b		1 pot ?		
							non tournée	grossière chamotée	9						
							tournée	mi-fine sableuse	1						
								fine sableuse	2	2 b			2 pots ?		
									indéterminée	15					
				AG	de 0 à - 20 cm		non tournée	grossière sableuse			1	1 f		1 frgt de fond	
								mi-fine sableuse	8						
								indéterminée							6 g
							non tournée	grossière sableuse	12						
				AH	de - 20 à - 40 cm		non tournée	mi-fine sableuse	21						
								indéterminée							11 g
							non tournée	grossière sableuse	3	1	1 f			1 frgt de fond	
							non tournée	grossière sableuse			1	1 f		1 fond plat	
							non tournée	mi-fine sableuse	1	1	1 f			1 frgt de fond	
								indéterminée	4						
				AI	de - 40 à - 60 cm		non tournée	indéterminée	7						
							non tournée	indéterminée	5						
							non tournée	grossière sableuse	1						
	non tournée	grossière sableuse	4												
	non tournée	indéterminée	1												
AJ	de - 20 à - 40 cm		non tournée	grossière sableuse	11										
			non tournée	grossière sableuse				1	1 b		nxses vacuoles	Pl.15-6			
			tournée	mi-fine sableuse				1	1 b		1 jatte carénée FBO 3.8	Pl.15-9			
				indéterminée	4										
			non tournée	mi-fine sableuse				1	1 b		1 jatte				
			non tournée	grossière sableuse	5						frgts de VAP idem 395				
			non tournée	mi-fine sableuse	6	1	1 b				indéterminé				
			non tournée	grossière sableuse	1						frgts de VAP idem 401				
				indéterminée	1										
		AK	de - 20 à - 40 cm		non tournée	grossière sableuse	6								
	non tournée			grossière sableuse	2										
				indéterminée	10										
				indéterminée	16										
	non tournée			grossière sableuse	6	1	1 b				1 pot				
	non tournée			grossière sableuse	9	2	2 b				1 pot, 1 indéterminé				
	non tournée			mi-fine sableuse	2										
	tournée			NPR							1 jatte cylindro-conique FBO 5.4	Pl.15-8			
	non tournée			grossière sableuse	1										
	non tournée			grossière sableuse	12										
Angle Sud-Ouest	de - 110 à - 140 cm		de - 40 à - 60 cm												

St. Identif. Sd	Description	Sac	Catégorie	Sous-catégorie	NFR	NMI	Elément	Forme	Illust.			
13	Fossé enclos	côté Est	352	non tournée	mi-fine sableuse	2						
			375	non tournée	grossière sableuse	2	1 1 f					
			388	non tournée	grossière sableuse	5	1 1 b		1 pot situiforme FHF 1.1	Pl.15-7		
			440	non tournée	grossière sableuse	7						
			396	non tournée	grossière sableuse	2						
			392	non tournée	mi-fine sableuse	5	1 1 b		indéterminé			
			385	non tournée	mi-fine sableuse	3	1 1 f		1 frgt de fond annulaire			
			378	non tournée	grossière sableuse	2						
				décapage secteur enclos		indéterminée	3					
				bordure Nord Est	387	non tournée	grossière sableuse	7				
				décapage bordure Ouest	382	tournée	indéterminée	2				
				bordure Est-Ouest	358	non tournée	moderne	1				
				à - 60 cm au Sud-Est	357	non tournée	mi-fine sableuse	1	1 1 b		1 pot ?	
	Hors Contexte	383	non tournée	indéterminée	4							
		6	non tournée	mi-fine sableuse	1	1 1 b		1 pot ?				
			indéterminée				10 g					
	décapage surface	60	non tournée	grossière sableuse	1			1 fond plat				
		47	non tournée	mi-fine sableuse	1			traces de peigne				
		33	non tournée	grossière sableuse	5			indéterminé				
	de 0 à - 35 cm	52	non tournée	mi-fine sableuse	8	1 1 b						
	de - 35 à - 60 cm	53	non tournée	grossière sableuse	1							
	à - 60 cm, couche noire	1	non tournée	grossière sableuse	3							
		41	non tournée	grossière coquillée	1							
		29	non tournée	mi-fine sableuse	2	1 1 b		1 bord de pot?				
	SD B, de - 40 à - 110 cm	39	non tournée	grossière chamotée	1	1 1 b		1 jatte				
	SD C, de 0 à - 10 cm	38	non tournée	grossière sableuse	4							
		44	non tournée	grossière sableuse	3							
			grossière sableuse	3	1 1 b			indéterminé				
			mi-fine sableuse	3	1 1 b			1 bord de pot?				
	SD C, de 0 à - 20 cm		grossière sableuse	39								
			grossière sableuse	14								
			mi-fine sableuse	1	1 1 b			1 pot (fig. 30.6)				
			mi-fine sableuse	1	1 1 b			1 jatte terra nigra?				
			indéterminée	11								
		37	non tournée	grossière sableuse	6	2 2 b		1 jatte carénée FBO 3.5 et 1 jatte cylindro-conique FBO	Pl.16-3 et 4			
			grossière chamotée	1								
			mi-fine sableuse		1 1 b			1 pot ovoïde FHF 2.3	Pl.16-5			
			mi-fine sableuse		1 1 b			1 jatte reprise au tour (fig. 30.7)				

Sl.	Identif. / Sd	Description	Sac	Catégorie	Sous-catégorie	NFR	NMI	Elément	Forme	Illust.		
200	fossé enclos	SD C, de - 20 à - 35 cm	34	indéterminée		3						
		SD C à - 30 cm	non tournée		grossière sableuse	3			1 b indéterminé, 1 frgt f			
			tournée		mi-fine sableuse				1 jatte ?			
		SD C, de - 35 à - 60 cm	non tournée	54	non tournée	grossière sableuse	4		1 f	1 fond annulaire rouge		
			non tournée	56	non tournée	grossière sableuse	1		1 b	indéterminé		
			non tournée	57	non tournée	grossière sableuse	1			jeton?		
			tournée	24	tournée	fine sableuse			1 b	1 jatte cylindrique FBO 4.3	Pl.16-6	
			non tournée	25	non tournée	mi-fine sableuse	3					
		10	décapage	non tournée	42	indéterminée		1				
				non tournée	9	grossière sableuse	22			1 f, 1 d	1 fond plat, 1 d peigné	
				indéterminée	17	indéterminée		1				
				non tournée	40	mi-fine sableuse		1				
				indéterminée	31	tournée	grossière sableuse	4		1 b	1 pot ovoïde FHF 2.6	Pl.16-1
non tournée	8			non tournée	grossière sableuse	8						
non tournée	50			non tournée	mi-fine sableuse	3		1 b	1 jatte ?			
14	5	indéterminée		indéterminée		1						
		indéterminée	5	indéterminée	6							
		non tournée	59	grossière sableuse	30							
203	fosse	à - 20 cm	456	non tournée	grossière sableuse	2						
		surface	437	non tournée	grossière sableuse			1 b	pot?			
500	fosse	de 0 à - 10 cm	438	non tournée	mi-fine sableuse	4						
		de - 10 à - 18 cm	non tournée	441	grossière chamotée	3						
			non tournée	454	mi-fine sableuse	5						
		à - 18 cm	455	non tournée	indéterminée	3						
		nettoyage	404	non tournée	mi-fine sableuse	1						
501	silo	de 0 à - 20cm, moitié nord	non tournée	404	mi-fine sableuse	4						
			indéterminée		indéterminée	3						
		de - 10 à - 17 cm	non tournée	405	mi-fine sableuse	1		1 b	trou de rép.			
			tournée	418	grossière sableuse	1			décor crépissé			
			421	non tournée	mi-fine sableuse			1 b	déversé arrondi, pot?			
	533	non tournée	indéterminée	3								
	432	non tournée	mi-fine sableuse	12		1 b	indéterminé					
		tournée	grossière coquillée	1								
		non tournée	mi-fine sableuse	1								
		indéterminée	mi-fine sableuse	1				repris au tour				
		indéterminée	indéterminée	5								

St. Identif. Sd	Description	Sac	Catégorie	Sous-catégorie	NFR	NMI	Elément	Forme	Illust.	
501 silo	à - 17cm (couche gris foncé)	427	non tournée	mi-fine sableuse	2					
				indéterminée	3					
	à - 32cm	419	non tournée	grossière sableuse	1					
				mi-fine sableuse	4	2	1 b, 1 f	1 jatte, 1 fond percé	Pl. 3-4	
	de -35 à -50 cm, nettoyage				indéterminée	2				
				non tournée	grossière sableuse	13				
			non tournée	grossière chamotée	2					
			tournée	mi-fine sableuse	1	3	3 b	2 jattes, 1 pot (?), FBO 2.1 repris au tour	Pl. 2-1	
	de -35 à -50 cm, démontage	423			mi-fine sableuse	1	1	1 b, 1 f	1 jatte, 1 fond plat. FBO 1.3	Pl. 2-3/3-3
				non tournée	grossière coquillée	1				
	de 0 à -60 cm	426			mi-fine sableuse	3	2	2 b	1 jatte, 1 pot. FBO 1.4	Pl. 2-2
				non tournée	grossière sableuse	1				
	de -40 à -60 cm, moitié nord	417			grossière coquillée	1				
				non tournée	mi-fine sableuse	1	1	1 b	1 jatte carénée	Pl.3-10
	de -60 à -70 cm	415			grossière chamotée	2				
				non tournée	mi-fine sableuse	1	1	1 b	1 pot stitiliforme FHF 1.1	Pl. 2-7
	de -60 à -80 cm	429			mi-fine sableuse	1				
				tournée	mi-fine sableuse	1			repris au tour	
	de -80 à -90 cm	414			grossière chamotée	3	1	1 b	repris au tour	Pl. 2-9
				non tournée	mi-fine sableuse	3			1 pot ovoïde FHF 2.3	
de -80 à -100 cm, moitié nord	411			mi-fine sableuse	2					
			non tournée	mi-fine sableuse	4					
à - 95 cm, démontage	408			grossière sableuse	6					
			non tournée	mi-fine sableuse	1	1	1 b	1 pot ovoïde FHF 2.3	Pl. 2-10	
de -100 à -120 cm, moitié nord	422			grossière chamotée	3					
			non tournée	mi-fine sableuse	1	1	1 f	fond plat		
de -120 à -140 cm	425			mi-fine sableuse	1	2	2 b	1 jatte, 1 pot (?) FBO 1.4 et FHF 1.1	Pl. 2-4 et 6	
			non tournée	indéterminée	1					
de -140 à -160 cm, moitié nord	413			grossière sableuse	3					
			non tournée	grossière sableuse	3					
de -140 à -160 cm	430			mi-fine sableuse	1	1	1 b	trace enduit noir	Pl. 3-8	
			non tournée	grossière sableuse	2					
				mi-fine sableuse	3					
				mi-fine coquillée	1			1 décor d'incision	Pl. 3-7	
				grossière sableuse	1					
				grossière chamotée	2					
				grossière sablo-calcaire	1	2	1 b, 1 f	FBO 5.1	Pl. 2-5	

St.	Identif. Sd	Description	Sac	Catégorie	Sous-catégorie	NFR	NMI	Elément	Forme	Illust.
501	silo	de -220 à -240 cm, moitié nord	420	non tournée	mi-fine sableuse	3	1 1 b	1 jatte		
		de -230 à -250 cm	406	non tournée	grossière sableuse	5	2 1 b, 1 f	1 VAP FHF 2.9, 1 f plat		Pl. 2-8/3-2
		photo n°1	412	non tournée	grossière sableuse	4	2 1 b, 1 f	1 jatte FBO 2.3, 1 f VAP		Pl. 3-1 et 9
		relevé photo n°2	416	non tournée	mi-fine sableuse	1	1 1 f	1 frgt fond annulaire		Pl. 3-5
			431	non tournée	grossière sableuse	1	1 1 f	1 fond faisselle		
					mi-fine sableuse	1	1 1 b			
					indéterminée	1				
					moderne	1				
					moderne	1				
					moderne	2				
502	fosse		452	tournée	moderne	15				
			458	tournée	moderne	3				
			328	non tournée	grossière sableuse	2				
					mi-fine sableuse	2				
					indéterminée	1				
					grossière coquillée	2				
					mi-fine coquillée	4				
					mi-fine sableuse	5	1 1 b	pot?		
					mi-fine sableuse	10	2 1 b, 1 f	1 fond plat, 1 pot ovoïde FHF 2.5		Pl. 5-2
					grossière sableuse	9	1 1 b	1 VAP FHF 2.9, 1 tesson crépissé		Pl. 5-4
504	silo	de -20 à -40 cm, moitié sud	339	non tournée	mi-fine sableuse	12	3 2 b, 1 f			
			333	non tournée	grossière sableuse	1		1 décor de baguette		
					mi-fine sableuse	1				
					indéterminée	3				
					grossière sablo-calcaire	5				
					mi-fine sableuse	5	1 1 b	1 jatte		
					indéterminée	5				
					grossière coquillée	3				
					grossière sableuse	7				
					mi-fine sableuse	1	1 1 b	1 pot ?		
			grossière sableuse	10						
			mi-fine sableuse	11	1 1 b					
			indéterminée	13						
			grossière sableuse	3						
			mi-fine sableuse	4	1 1 b	1 décor de croisillon				
			grossière sableuse	3	2 2 b	2 jattes FBO 1.1		Pl. 4-1		
			grossière sablo-calcaire	1	1 1 b	1 VAP		Pl. 5-5		
			grossière coquillée	18	6 5 b, 1 f	1 pot		Pl. 5-6		
			mi-fine sableuse	3						
			indéterminée	9	1 1 f	fond plat				
			grossière sableuse		1 1 b	1 jatte carénée FBO 3.6		Pl. 4-4		
			grossière sablo-calcaire	2	1 1 f	fond annulaire				

St.	Identif. Sd	Description	Sac	Catégorie	Sous-catégorie	NFR	NMI	Elément	Forme	Illust.	
504	silo	de -80 à -100 cm, moitié nord			mi-fine coquillée	1	1 1 b		1 pot repris au tour?	Pl.5-7	
				non tournée	grossière sableuse	2	1 1 b		1 jatte		
				tournée	mi-fine sableuse	2			1 pot repris au tour?	Pl.5-8	
					indéterminée	2	2 2 b		2 pots ?		
			de -100 à -120 cm, moitié sud		non tournée	grossière sableuse	1				
			de -100 à -120 cm, moitié nord		non tournée	grossière sableuse	2	2 1 b, 1 f		1 jatte ?, 1 fond plat	
				tournée	mi-fine sableuse	1	4 4 b		1 jatte carénée profil en "S" FBO 3.2	Pl.4-8	
					indéterminée	4					
					indéterminée	7			1 jatte ?		
			de -120 à -140 cm, moitié sud		tournée	mi-fine sableuse	5	1 1 b		décor d'ocelles	Pl.4-10
			de -120 à -140 cm, moitié nord		non tournée	grossière sableuse	1	1 1 f		fond plat (galette)	
				non tournée	mi-fine sableuse	2	2 1 b, 1 f		1 jatte FBO 3.3, 1 fd annulaire	Pl.4-7	
			de -140 à -160 cm, moitié sud		non tournée	grossière sableuse	2				
				tournée	mi-fine sableuse	3	2 1 b, 1 f		1 pot situiforme FHF 1.1, 1 fond plat	Pl.5-3	
		indéterminée		2	1 1 b		1 jatte reprise au tour FBO 2.3	Pl.4-3			
		non tournée		mi-fine sableuse	1						
	de -140 à -160 cm, moitié nord		non tournée	grossière sableuse	1	1 1 b		1 jatte FBO 1.1	Pl.4-2		
			non tournée	grossière coquillée	2			frgts de VAP?			
			tournée	mi-fine sableuse	2	2 2 b		2 jattes carénées, FBO 3.2	Pl.4-5 et 6		
				non tournée	fine sableuse	1					
				non tournée	grossière sableuse	3	2 1 b, 1 f		1 pot, 1 fond annulaire		
				tournée	mi-fine sableuse	2	1 1 b		1 jatte carénée FBO 3.4	Pl.4-9	
	de -160 à -180 cm, moitié sud		non tournée	mi-fine sableuse	2			décor poli			
			non tournée	mi-fine sableuse	2						
			non tournée	mi-fine sableuse	1						
			non tournée	mi-fine sableuse	2	1 1 b		1 pot situiforme FBO 1.2	Pl.5-1		
	de -180 à -200 cm, moitié nord		non tournée	mi-fine sableuse	1			nombreuses vacuoles			
			non tournée	grossière sableuse	1			fragment de VAP			
	de -200 à -220 cm, moitié sud		non tournée	grossière sableuse	6						
			non tournée	mi-fine sableuse	7	2 2 b		indéterminées			
				indéterminée	4						
				tournée	moderne	1					
12	silo	de 0 à - 50 cm		non tournée	grossière sableuse	1	1 1 f		1 frgt de fond plat		
				non tournée	grossière sableuse	2					
					indéterminée	1					

St.	Identif. Sd	Description	Sac	Catégorie	Sous-catégorie	NFR	NMI	Elément	Forme	Illust.		
12	silo	de 0 à - 50 cm	28	non tournée	grossière sableuse	6						
			61	non tournée	mi-fine sableuse	5						
			18	non tournée	mi-fine sableuse	3	1 1 f			1 fond de jatte?		
3	silo	de - 40 à - 130 cm	36	non tournée	grossière sableuse	3						
					mi-fine sableuse	1						
					indéterminée	1						
			7	non tournée	mi-fine sableuse	1	1 1 b				1 jatte ?	
					indéterminée	4						
			11	non tournée	grossière sableuse	8	2 1 b, 1 f				1 jatte, 1 fond plat	
			45	non tournée	grossière sableuse	18	4 1 b, 2 f, 1 d				2 fonds plats, 1 b indéterminé, 1 décor d'incisions	
					grossière coquillée	4						
					mi-fine sableuse	2						traces de peigne
					grossière coquillée	11	1 1 b					1 jatte (fig.33.3)
15	silo	de - 130 cm au fond	16	non tournée	mi-fine sableuse	1						
					mi-fine sableuse	2	1 1 f				1 fond annulaire (fig. 33.2)	
			27	non tournée	grossière sableuse	8						
					grossière coquillée	3						
					mi-fine sableuse	7						
			48	non tournée	grossière sableuse	5	1 1 f				1 fond plat	
			49	non tournée	mi-fine sableuse	15	1 1 b				1 pot miniature (fig. 32.2)	
			12	tournée	amphore	145					1 pot lèvres plat	
					grossière sableuse	1						
				décapage	décapage nord	436	non tournée	grossière sableuse	1			
		mi-fine sableuse				2						
450	tournée	amphore				4						
		fine sableuse				2					fragments de cruche	
451	tournée	amphore				7						
		indéterminée				5						
		grossière chamotée				4						
		grossière sableuse				1						
		mi-fine sableuse				3						
		indéterminée				1						
	décapage	décapage extérieur enclos	448	non tournée	indéterminée	1						
			461	non tournée	grossière	11	1 1 f					
			439	non tournée	grossière sableuse	1	1 1 f				1 fond plat	
	ramassage surface	secteur Sud-Ouest	55	non tournée	indéterminée	2						
			23	non tournée	indéterminée	1						
			46	non tournée	tuile	2						
			58			1						
TOTAL						5704	567					

Annexe 3

Étude des ossements animaux

Par

Opale Robin, CRAVO –

Gaëtan Jouanin, CRAVO et UMR 7209

Introduction.

Suite à l'aménagement d'un axe routier entre Villiers-le-Bel et Gonesse (95), une fouille archéologique a été réalisée sur le tracé de cette infrastructure par le service départemental d'archéologie du Val-d'Oise. Ce dégagement a permis de mettre au jour un enclos daté de La Tène moyenne à La Tène finale ainsi qu'une zone funéraire appartenant essentiellement à La Tène ancienne. Quelques structures, proches de l'enclos ont également livré un matériel daté de La Tène ancienne. Cette étude concerne l'ensemble de la faune issue de la fouille du site protohistorique mis au jour à Villiers-le-Bel.

1 – Présentation des données.

Pour l'ensemble du site, sans tenir compte de la partition en deux zones, ce sont sans conteste les vestiges datant de La Tène moyenne qui sont les plus nombreux. Ils sont suivis par ceux du début de La Tène finale. Les ossements issus de structure datées de La Tène ancienne sont fort peu nombreux (fig. 1).

Villiers le Bel -Gonesse	NR	%NRd	PR	%PRd
La Tène ancienne	35	100,0	365	100,0
La Tène C1	1004	67,5	30971	98,2
La Tène C1-C2	177	81,9	8879	99,2
La Tène C2	2606	43,9	43945	94,0
La Tène D1	2744	56,4	12494	92,7

Fig. 1 : Répartition chronologique du matériel faunique du site de Villiers-le-Bel.

1.1 – La Tène ancienne

La structure ayant livré le plus de vestiges pour cette période est le silo 15, avec un total de 33 restes, tous déterminés spécifiquement (fig. 2)

Silo 15	NR	%NR	PR	%PR	PM
porc	1	3,03	19	5,81	19
caprinés	3	9,09	16	4,89	5,33
cheval	28	84,85	292	89,3	10,43
batracien	1	3,03	0	0	
Déterminés	33	100	327	100	9,91
Indéterminés	0	0	0	0	
TOTAL	33	100	327	100	9,91

Fig. 2 : Dénombrements en nombre (NR), poids (PR, en g.) et poids moyen (PM, en g.) de restes du silo 15, La Tène ancienne,

Le remplissage de ce silo semble se caractériser par une forte proportion des ossements de chevaux. Ce fait est à relativiser. En effet, nous avons pu dénombrer dans cette structure deux pieds arrière et un pied avant de cheval. Par souci de représentativité et afin de conserver la logique originelle du rejet, nous ne comptons que pour un reste l'ensemble des os composant un ensemble anatomique. Ainsi un bas de patte composé du métapode, et des trois phalanges ne comptera que pour un reste et non pour quatre.

Dans le cas de la structure 15 nous nous sommes tenus à cette méthode. Cependant, la mauvaise conservation du matériel a entraîné sa fragmentation et une difficulté d'attribution des fragments à un os entier. Aussi, alors que le rejet initial semble ne se composer que de trois éléments anatomiques (les bas de pattes), nous avons été obligé de dénombrer 29 restes.

Le nombre réel de restes d'équidés dans l'ensemble des silos devrait ainsi être de 3 et non de 29. Cette précision apportée, les ossements de chevaux ne dominent plus l'ensemble mais sont ramenés au même niveau que ceux des caprinés.

Le fait marquant touchant la structure 15 est que celle-ci a également livré, en plus des restes animaux, un squelette humain. Celui-ci, en inhumation primaire, se trouve séparé des bas de pattes mentionnés plus haut par une couche d'une épaisseur de 50 cm peu riche en vestiges. L'association d'une inhumation humaine en silo et de restes d'équidés, séparés par une couche de remblai, nous incite à nous interroger sur la spécificité de la structure 15. En effet, cette configuration est proche de celle observée sur d'autres sites du second âge du fer pour lesquels humains et chevaux sont associés dans des silos. Dans son récent ouvrage consacré à l'archéozoologie funéraire et sacrificielle, P. Méniel donne plusieurs exemples de ces sites livrant des sépultures communes d'hommes et de chevaux (Méniel 2008). Cependant, dans la majorité des cas observés, ce sont des squelettes complets ou sub-complets qui sont associés à la sépulture humaine. Ici nous n'avons que trois bas de pattes. Leur position, observée lors de la fouille, montre que ces restes ne sont en aucun cas en position anatomique. Ils semblent

plutôt avoir été déposés en sorte de fagot. Nous pouvons même noter que les deux bas de pattes arrière sont collés l'un à l'autre tête-bêche. Cette position tendrait à montrer que ces parties anatomiques n'ont pas été rejetées dans ce silo, mais bien déposées. Ces observations jouent en faveur de l'hypothèse d'une pratique funéraire particulière déjà rencontrée sur d'autres sites contemporains de celui de Villiers-le-Bel.

Les couches profondes du silo 504 n'ont livré qu'un fragment de scapula de bœuf et un fragment de tibia de caprinés.

1.2 – Les silos 504 et 501

Bien que la contemporanéité de ces deux silos ne soit pas avérée, nous avons choisi de les présenter ensemble car leur comparaison nous permet de mettre en évidence des modes de remplissage différents, découlant probablement d'une utilisation différente.

Le silo 504, dont le matériel se rattache à La Tène C1 ou à La Tène C2 selon la profondeur d'enfouissement (à l'exception bien sûr des deux restes cités précédemment), a livré 165 vestiges osseux, dont 123 ont été déterminés (fig. 3). La liste de faune se compose du boeuf, du porc, des caprinés, du cheval et du coq, tous animaux domestiques.

F504 LTC1	NR	%NR	PR	%PR	PM
boeuf	22	18,18	556	35,23	25,27
porc	53	43,8	641	40,62	12,09
caprinés	42	34,71	293	18,57	6,98
cheval	3	2,48	86	5,45	28,67
coq	1	0,83	2	0,13	
Déterminés	121	74,23	1578	89,1	13,04
Indéterminés	42	25,77	193	10,9	4,6
TOTAL	163	100	1771	100	10,87

Fig. 3 : Dénombrements en nombre (NR), poids (PR, en g.) et poids moyen (PM, en g.) de restes, silo F504, début La Tène C1,

Le porc, avec 45,7 % du NR5, occupe la première place parmi les mammifères domestiques (fig. 4). Il est suivi des caprinés (35,3 %) et du bœuf (16,4 %). Le cheval ne compte que pour 2,6 % du NR5. En terme de poids de restes, le porc conserve la première place (42,3 % du PR5), suivi du bœuf (32,9 %) et des caprinés (19,1 %). Le cheval

occupe toujours une place limitée.

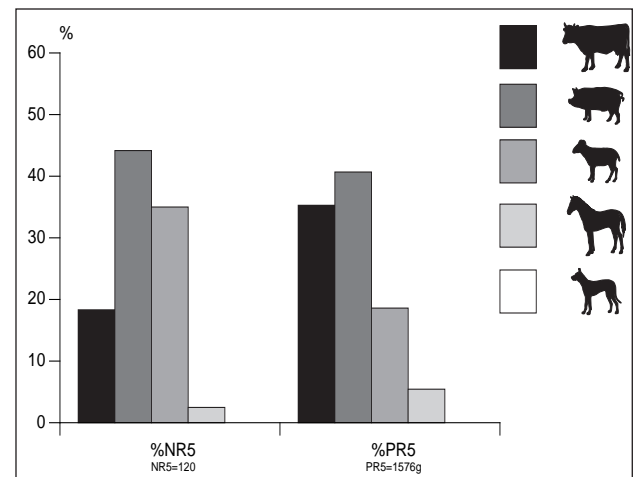


Fig. 4 : Proportions en nombre (N.R.5) et poids (P.R.5, en g) de restes des cinq principales espèces domestiques provenant de l'ensemble des restes du silo F504, début La Tène C1.

Le silo 501 (fin de La Tène C1 / La Tène C2) a livré un total de 177 vestiges osseux dont 82 % ont été déterminés (fig. 5). La liste de faune est composée des cinq mammifères domestiques les plus courants, à savoir le bœuf, le porc, les caprinés, le cheval et le chien. S'ajoute à eux un oiseau sauvage, le pigeon biset.

F501	NR	%NR	PR	%PR	PM
boeuf	62	42,76	5134	58,27	82,81
porc	36	24,83	2031	23,05	56,42
caprinés	33	22,76	278	3,16	8,42
cheval	7	4,83	446	5,06	63,71
chien	6	4,14	921	10,45	153,5
pigeon biset	1	0,69	1	0,01	
Déterminés	145	81,92	8811	99,23	60,77
Indéterminés	32	18,08	68	0,77	2,13
TOTAL	177	100	8879	100	50,16

Fig. 5 : Dénombrements en nombre (NR), poids (PR, en g.) et poids moyen (PM, en g.) de restes, silo F501, La Tène C1 ou C2,

Nous pouvons noter que parmi le matériel ostéologique de cette structure nous comptons trois squelettes sub-complets: deux de jeunes cochons (profondeurs de 100–120 cm et 140–160 cm) et un de chien adulte (profondeur 200–220 cm). L'absence d'os pénién ferait de ce canidé une femelle. Cependant, le squelette n'étant pas complet un doute persiste. Concernant son âge, l'épiphyssation totale des os du squelette et la forte usure de la carnassière inférieure (stade G de M.-P. Horard-Herbin 2000) montrent que nous

sommes face à un animal adulte. Concernant les cochons, celui issu de la passe 100–120 cm est âgé d'environ un an (d'après l'épiphyse) et celui issu de la passe 140–160 cm de 16–18 mois (d'après les données dentaires).

L'espèce la mieux représentée, en nombre comme en poids de restes, est le bœuf avec respectivement 43,1 et 58,3 % du nombre de restes (NR5) et du poids de restes (PR5) des cinq principales espèces (fig. 6). Il est suivi en nombre de restes, par le porc (25 % du NR5) et les caprinés (22,9 % du NR5). Cheval et chien sont largement minoritaires. En terme de poids de restes, le porc occupe toujours la seconde place mais les caprinés sont devancés par le chien et le cheval. Cette situation vient, pour le chien, de la présence du squelette de la passe 200–220 cm. Si nous excluons de nos décomptes les trois squelettes mentionnés plus haut, le bœuf reste amplement majoritaire (78,2 % du PR5) et est suivi du cheval (6,8 %), du chien (6 %), du porc (4,7 %) et enfin des caprinés (4,2 %). Cependant, cette exclusion n'est que peu pertinente dans la mesure où nous n'avons pas uniquement affaire à des cadavres mais à des rejets de carcasses. En effet, plusieurs os du jeune porc d'un an portent des traces de découpe attestant de leur consommation. Pour le chien, l'analyse est moins évidente puisque les marques observées relèvent d'une désarticulation entre les coxaux et les fémurs. Nous n'avons pas de preuve directe de la décarisation sur cet animal.

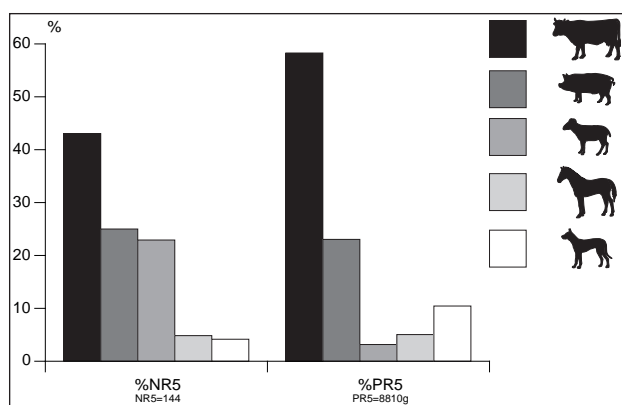


Fig. 6 : Proportions en nombre (N.R.5) et poids (P.R.5, en g) de restes des cinq principales espèces domestiques provenant de l'ensemble des restes du silo F501, La Tène C1 ou C2.

Le cas du cochon de 16–18 mois est intéressant.

En effet, les photos de fouille semblent montrer que la carcasse de cet individu a été déposée en deux parties, la moitié arrière par-dessus la moitié avant. Nous devons noter que la partie postérieure a été placée sur le dos. Cette présentation du dépôt se rapproche de celle observée sur le site de Cagny «Projet Décathlon»¹ (Calvados, mi V^e – fin V^e siècle avant notre ère), une fosse livrant le squelette sub-complet d'un grand sanglier mâle. De la même manière la carcasse est divisée en deux parties, la moitié postérieure étant située au-dessus de la moitié antérieure et sur le dos. Bien sûr les distances géographique et chronologique ne nous permettent pas de faire une comparaison directe de ces deux dépôts. Les animaux concernés sont également différents : d'un côté un jeune porc à peine arrivé à maturité pondérale, de l'autre un vieux sanglier. Cependant il est intéressant de noter la similitude dans la forme du dépôt.

Enfin, nous pouvons noter la présence de deux crânes complets de chiens. Ils se caractérisent par des traces de désarticulation au couteau sur les condyles occipitaux. Cela atteste clairement de la séparation de la tête et du corps, seuls ces crânes nous étant parvenus. Le parfait état de conservation de ces deux éléments nous permet, suite à la prise de mesures, de calculer l'indice palatin de ces animaux et de les comparer à une série d'indices permettant de faire la distinction entre les chiens à crâne court (type bouledogue) et les chiens à crâne long (type lévrier). Les deux individus du silo 501 entrent dans la catégorie des chiens à crâne intermédiaire. Comparativement à des races actuelles (Lepetz 1996), ces crânes offrent des proportions proches de celles de chiens de chasse tels que le briquet ou le barbet. Le calcul de l'indice palatin n'a pas pu être réalisé pour l'individu sub-complet du fond du silo, du fait de sa mauvaise préservation. Cependant les mesures prises sur les os longs nous permettent d'estimer sa hauteur au garrot à 56 cm. Cette taille, plutôt haute, correspond aux standards de grands chiens de chasse ou de berger actuels.

1.2.a – Comparaison entre les deux silos

Les deux silos offrent deux images très différentes dans les proportions des principales espèces.

¹ Jouanin 2009 a.

Alors que dans le silo 504, porc et caprinés dominent largement le bœuf en nombre de restes, ce dernier les surpasse dans le silo 501. Ce phénomène est essentiellement lié à une dynamique de remplissage ne sélectionnant pas les mêmes ossements. En effet, l'observation du poids moyen des os des trois principales espèces permet d'appréhender les deux situations (fig. 7). Dans le silo 501, les os de bœuf et de porc sont particulièrement lourds puisqu'ils pèsent en moyenne respectivement 82,8 et 56,4 grammes. Dans le silo 504, les os de ces deux mêmes espèces ont un poids moyen de seulement 25,4 et 12,1 grammes. Chez les caprinés, les poids moyens sont proches (8,4 g dans le silo 501 et 7 g dans le silo 504). Il apparaît donc que le silo 501 a capturé des os plus volumineux que le silo 504. Cette différence se rencontre fréquemment lors de la comparaison des remplissages des fossés et des fosses. Dans les premiers parviennent essentiellement des vestiges osseux erratiques, ayant subi de nombreuses destructions (intempéries, charognards, piétinement etc.). Ce sont donc les os les plus solides et les plus gros qui sont favorisés. Ceci se traduit par un poids moyen élevé des os et une domination des espèces de grande taille (bœuf et cheval). À l'inverse, les fosses sont le réceptacle de rejets beaucoup plus directs. Les os y parviennent peu de temps après la consommation et sont ainsi protégés des différents phénomènes pouvant amener à leur destruction. Le résultat est alors une meilleure préservation des os des espèces de petite taille.

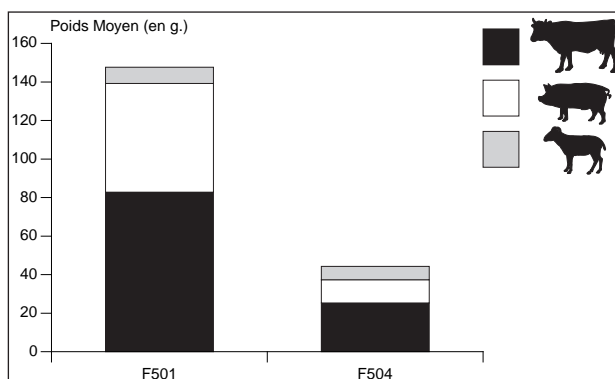


Fig. 7 : Comparaison des poids moyens en grammes des trois principales espèces domestiques provenant des silos F501 et F504,

Les silos 501 et 504 semblent donc nous offrir un exemple de la diversité des dynamiques de remplissage des structures en creux. Le silo 504 paraît avoir été utilisé comme une fosse-dépotoir classique, recevant les rejets directs de consommation. En revanche, le silo 501 a vu son comblement s'opérer probablement de manière moins rapide, à l'instar de ce que nous pouvons observer pour les fossés. Cette différence de dynamique de remplissage, et probablement de fonction, s'observe également par la présence dans le silo 501 de plusieurs carcasses presque complètes. La structure sert alors de réceptacle à des déchets de taille plus importante et encombrants. Ce type de pratique concerne fréquemment les puits, qui une fois taris ou hors d'usage offrent par leur volume une solution pratique pour se débarrasser des rebuts les plus volumineux.

Il semble donc que seul le silo 504 soit à même de réellement nous renseigner sur les choix alimentaires des occupants du site aux environs de 200 avant notre ère. Les indications livrées doivent cependant être considérées avec prudence puisqu'elles ne sont issues que d'une structure et d'un nombre de restes limité.

Nous l'avons vu lors de la présentation des données, le silo 504 se caractérise par une nette domination des restes de porc. Cette situation associée à la faible part du cheval et l'absence du chien peut laisser penser à une alimentation relativement riche. Les quelques données concernant les âges montrent chez le porc la présence d'animaux de boucherie (trois maxillaires appartiennent à des individus dont l'âge varie de 10 à 24 mois et une mandibule à un animal d'à peine 3 ans). Chez les caprinés, six mandibules permettent d'identifier un jeune de 6-12 mois, un individu de 1-2 ans, deux individus de 2-3 ans et enfin un adulte de plus de 4 ans. Ici aussi, ce sont les animaux de boucherie qui dominent. Sans être excellente, la qualité des viandes consommées apparaît donc bonne.

L'analyse des deux silos légèrement antérieurs à l'enclos livre donc deux types d'information. En premier lieu, les dynamiques de comblement de ces structures sont différentes. Le silo 501 semble avoir été remployé comme réceptacle des déchets issus du nettoyage du site. Ce sont essentiellement

des os de grande taille et des carcasses qui y ont été rejetés. À l'inverse le silo 504 semble plutôt avoir servi de dépotoir domestique, recueillant les déchets de consommation. C'est donc cette structure qui nous permet, dans un second temps, de toucher du doigt les choix alimentaires des occupants du site au milieu de La Tène moyenne. La viande apparaît de bonne qualité avec une préférence appuyée pour celle de porc. Ceci pourrait indiquer un statut un peu au dessus de la moyenne des habitants. Nous devons cependant rester prudents quant à cette dernière interprétation dans la mesure où elle ne repose que sur une structure n'ayant livré que 123 restes déterminés.

1.3 – Le fossé Fo200

Le fossé 200 a livré un total de 6088 restes (pour 82,1 kg), dont 52,3 % ont pu être déterminés (fig. 8). Ce matériel se répartit entre les trois phases de vie repérées : le creusement et les débuts de l'utilisation à la fin de La Tène C1, la pleine utilisation durant La Tène C2 et enfin

l'abandon au début de La Tène D1.

Fossé 200	NR	%NRd	PR	%PRd
LT C1 (fin)	841	66,2	29200	98,7
LT C2	2503	43,1	40413	93,6
LT D1 (début)	2744	56,4	12494	92,7
Total	6088	52,3	82107	95,3

Fig. 8 : Répartition chronologique du matériel faunique dans le fossé Fo200.

Avant de présenter les données recueillies pour chacune de ces phases, il est important de noter qu'il est apparu lors de la détermination, et cela s'est confirmé par l'observation des photos de fouilles, que deux amas fauniques originaux se distinguent (fig. 9, 10 et 11). De nombreux restes de bœuf, dont un certain nombre semble se regrouper en ensembles anatomiques, ont été accumulés de façon particulière dans les sondages S38, S1, SA, S2 et SB. Cet amas apparaît comme antérieur à la phase de comblement principal du fossé. Il peut donc être daté de la fin de La Tène C1 ou du tout début de La Tène C2. Il apparaît comme juste postérieur au creusement du fossé. De même, un nombre important de jeunes porcs



Fig. 9 : Vue du sondage S20, F0200, La Tène C2.

déposés singulièrement se retrouvent dans les sondages SF, S6 et SG. Cet ensemble se concentre sur les soixante premiers centimètres fouillés dans ces sondages et peut être daté de la phase d'abandon du site, soit la toute fin de La Tène C2 ou le début de La Tène D1.

Dans les deux cas, les restes sont alignés dans l'axe du fossé au centre de celui-ci. De prime abord, il est difficile de distinguer dans ces deux amas particuliers la part des restes issus de l'alimentation. Il est donc nécessaire de les extraire de l'étude du fossé 200, et de les analyser individuellement. Ainsi, pour la suite de l'étude et pour les phases La Tène C1 et La Tène D1, on appellera, fossé 200 sans amas, le fossé d'enclos sans les sondages concernés par ces deux ensembles particuliers.



Fig. 10 : Vue du sondage S6, passe 7, F0200, début La Tène D1,



Fig. 11 : Vue du sondage S2, F0200, fin La Tène C1.

1.3.a – La fin de La Tène C1

Les niveaux du fossé datant de cette phase ont livré un total de 841 vestiges osseux dont, 66,2 % de déterminés (fig. 12). La liste de faune est composée des cinq mammifères domestiques classiques, du coq, de l’oie et un petit passereau qui n’a pu être déterminé. Cet ensemble fait la part belle aux ossements de bœuf, mais ceci est dû à la présence du premier amas mentionné plus haut.

Fo200 C1	NR	%NR	PR	%PR	PM
boeuf	338 ⁺¹³	60,68	23009	79,84	68,07
porc	77 ⁺⁵	13,82	1401	4,86	18,19
caprinés	95	17,06	820	2,85	8,63
cheval	33 ⁺¹	5,92	3512	12,19	106,42
chien	10 ⁺¹	1,8	75	0,26	7,5
coq	2	0,36	0	0	
oie	1	0,18	2	0,01	
petit passereau	1	0,18	0	0	
Déterminés	557	66,23	28819	98,7	51,74
Indéterminés	284	33,77	381	1,3	1,34
TOTAL	841	100	29200	100	34,72

Fig. 12: Dénombrements en nombre (NR), poids (PR, en g.) et poids moyen (PM, en g.) de restes, Fo200, fin La Tène C1.
(*n = présence de n ensembles anatomiques par espèce)

Si nous excluons les ossements de cet amas, la part du bœuf diminue légèrement (fig. 13 et 14). La liste de faune perd également deux représentants que sont le coq et le petit passereau.

Fo200 C1 sans amas	NR	%NR	PR	%PR	PM
boeuf	81 ⁺³	55,48	3643	73,21	44,98
porc	24	16,44	197	3,96	8,21
caprinés	28	19,18	269	5,41	9,61
cheval	9	6,16	829	16,66	92,11
chien	3	2,05	36	0,72	12
oie	1	0,68	2	0,04	
Déterminés	146	76,84	4976	97,55	34,08
Indéterminés	44	23,16	125	2,45	2,84
TOTAL	190	100	5101	100	26,85

Fig. 13: Dénombrements en nombre (NR), poids (PR, en g.) et poids moyen (PM, en g.) de restes, Fo200 sans amas, fin La Tène C1.
(*n = présence de n ensembles anatomiques par espèce)

Les ossements de bœuf comptent pour 55,9 % du NR5 et 73,2 % du PR5. En nombre de restes, ils sont suivis des caprinés (19,3 %) et du porc (16,5 %). Le cheval et le chien ferment la marche avec respectivement 6,2 et 2,1 % du NR5. En poids de restes, le cheval occupe la deuxième place avec 16,7 % du PR5. Il est suivi des caprinés (5,4 %), du porc (4 %) et du chien (0,7 %).

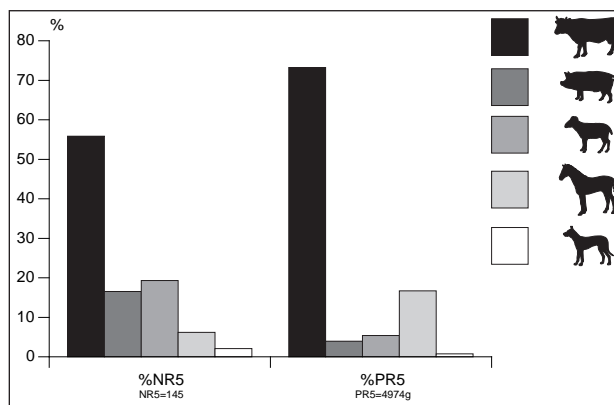


Fig. 14: Proportions en nombre (N.R.5) et poids (P.R.5, en g.) de restes des cinq principales espèces domestiques provenant de l'ensemble des restes, Fossé 200 sans amas, fin La Tène C1.

Les couches profondes (en dessous de 0,8 m) des sondages S38 à SB ont révélés 651 ossements dont 63,1 % ont pu être déterminés (fig. 15). On retrouve dans ce lot bœuf, porc, caprinés, cheval et chien. À ces mammifères domestiques s’ajoute le coq ainsi qu’un petit passereau de la taille du moineau.

Fo200 C1 amas Bœuf	NR	%NR	PR	%PR	PM
boeuf	257 ⁺¹⁰	62,53	19366	81,22	75,35
porc	53 ⁺⁵	12,9	1204	5,05	22,72
caprinés	67	16,3	551	2,31	8,22
cheval	24 ⁺¹	5,84	2683	11,25	111,79
chien	7 ⁺¹	1,7	39	0,16	5,57
coq	2	0,49	0	0,00	
petit passereau	1	0,24	0	0,00	
Déterminés	411	63,13	23843	98,94	58,01
Indéterminés	240	36,87	256	1,06	1,07
TOTAL	651	100	24099	100	37,02

Fig. 15: Dénombrements en nombre (NR), poids (PR, en g.) et poids moyen (PM, en g.) de restes du fossé 200 amas boeuf, fin La Tène C1,
(*n = présence de n ensembles anatomiques par espèce)

Cet ensemble est particulier de par la quantité importante d’ensembles anatomiques de bovins. Un nombre conséquent de ces regroupements osseux ont été remarqués d’après les photos de fouilles car ils se trouvaient en connexion ou associés lors du dégagement. Quatre de ces ensembles concernent des bas de pattes, cinq des appariements de vertèbres et un des membres antérieurs. Il est donc difficile d’estimer la part de l’alimentaire dans cet ensemble où le bœuf occupe une place inhabituelle.

Mis à part l'écrasante domination du bœuf attendue en poids et en nombre de restes (fig. 16), les porcs et les caprinés sont en proportion de NR5 équivalentes et occupent la seconde position. Cheval et chien sont relégués respectivement à la quatrième et cinquième place, avec un nombre de restes particulièrement faible. En poids de restes, la tendance est autre et ramène les équidés en seconde position, suivi du porc, des caprinés et du chien. Cependant, alors que le bœuf dépasse légèrement les 80 % du PR5, seul le cheval dépasse les 10 %.

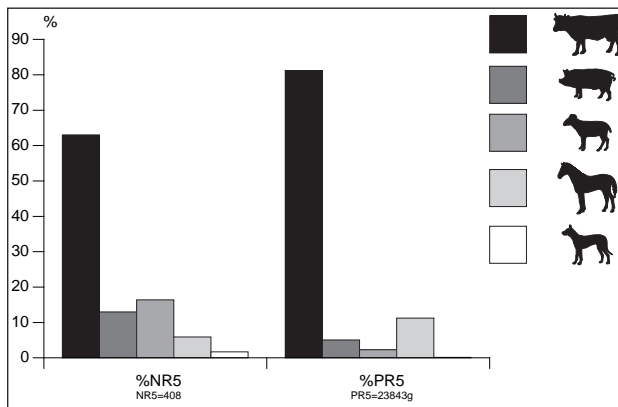


Fig. 16 : Proportions en nombre (N.R.5) et poids (P.R.5, en g) de restes des cinq principales espèces domestiques, fossé 200 amas boeuf, fin La Tène C1.

1.3.b – La Tène C2

La Tène C2 est la période durant laquelle le fossé est pleinement utilisé, notamment comme zone de rejet. C'est donc la phase qui livra le plus grand nombre de vestiges osseux, avec 2503 ossements dont 43,1 % de déterminés (fig. 17). La liste de faune compte les cinq mammifères domestiques entrant dans l'alimentation des Gaulois, ainsi que le coq, le chat sauvage et le sanglier.

Fo200 C2	NR	%NR	PR	%PR	PM
boeuf	512 ^{*16}	47,5	27710	73,23	54,12
porc	314 ^{*2}	29,13	2994	7,91	9,54
caprinés	184	17,07	1197	3,16	6,51
cheval	52 ^{*1}	4,82	5877	15,53	113,02
chien	13	1,21	55	0,15	4,23
coq	1	0,09	1	0,00	
chat	1	0,09	1	0,00	
sanglier	1	0,09	5	0,01	
Déterminés	1078	43,07	37840	93,63	35,1
Indéterminés	1425	56,93	2573	6,37	1,81
TOTAL	2503	100	40413	100	16,15

Fig. 17 : Dénombrements en nombre (NR), poids (PR, en g.) et poids moyen (PM, en g.) de restes, fossé 200, La Tène C2.
(*n = présence de n ensembles anatomiques par espèce)

Les ossements bovins dominent l'ensemble de os des cinq principales espèces, avec 47,6 % du NR5 et 73,2 % du PR5 (fig. 18). Il est, en nombre de restes, suivi du porc (29,2 % du NR5), des caprinés (17,1 %), du cheval (4,8 %) et du chien (1,2 %). En poids de restes, c'est une nouvelle fois le cheval qui occupe la deuxième place avec 15,5 % du PR5. Le porc vient ensuite avec 7,9 %, suivi des caprinés (3,2 %) et enfin du chien (0,2 %).

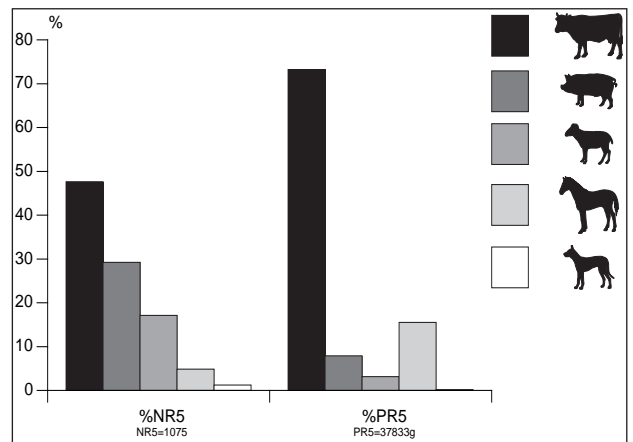


Fig. 18 : Proportions en nombre (N.R.5) et poids (P.R.5, en g) de restes des cinq principales espèces domestiques, fossé 200, fin La Tène C2.

1.3.c – Le début de La Tène D1

Le début de La Tène D1 semble clore l'utilisation du fossé 200. Les couches appartenant à cet horizon ont livré 2744 vestiges osseux, dont 56,4 % ont pu être déterminés (fig. 19). Les espèces présentes dans cet ensemble sont de nouveaux les cinq mammifères domestiques classiques et l'oie.

Fo200 D1	NR	%NR	PR	%PR	PM
boeuf	101 ^{*1}	6,52	4806	41,51	47,58
porc	1384 ^{*15}	89,41	5019	43,35	3,63
caprinés	51	3,29	240	2,07	4,71
cheval	8	0,52	1502	12,97	187,75
chien	2	0,13	5	0,04	2,5
oie	2	0,13	6	0,05	
Déterminés	1548	56,41	11578	92,67	7,48
Indéterminés	1196	43,59	916	7,33	0,77
TOTAL	2744	100	12494	100	4,55

Fig. 19: Dénombrements en nombre (NR), poids (PR, en g.) et poids moyen (PM, en g.) de restes, fossé 200, début La Tène D1. (*n = présence de n ensembles anatomiques par espèce)

Comme pour la phase fin La Tène C1, le début de La Tène D1 se caractérise par la présence d’un amas s’étendant sur les 50 premiers centimètres des sondages F, 6 et G. Cet amas, essentiellement composé de vestiges porcins, fausse les données pour la période qui nous intéresse ici. Aussi avons-nous extrait cet ensemble du reste du matériel de cette phase. Cette précaution prise, nous pouvons voir que les proportions entre les principales espèces sont plus équilibrées, tout particulièrement entre le bœuf et le porc (fig. 20).

Fo200 D1 sans amas	NR	%NR	PR	%PR	PM
boeuf	80 ^{*1}	36,87	3904	63,95	48,8
porc	78	35,94	675	11,06	8,65
caprinés	49	22,58	215	3,52	4,39
cheval	6	2,76	1300	21,29	216,67
chien	2	0,92	5	0,08	2,5
oie	2	0,92	6	0,10	

Fig. 20: Dénombrements en nombre (NR), poids (PR, en g.) et poids moyen (PM, en g.) de restes, fossé 200 sans amas, début La Tène D1. (*n = présence de n ensembles anatomiques par espèce)

En nombre de restes, le bœuf domine légèrement le porc avec 37,2 % contre 36,3 % du NR5 (fig. 21). Suivent les caprinés (22,8 %), le cheval (2,8 %) et le chien (0,9 %). En poids de restes, bœuf et cheval occupent les premières places, avec respectivement 64 et 21,3 % du PR5. Viennent ensuite le porc (11,1 %), les caprinés (3,5 %) et enfin le chien (0,1 %).

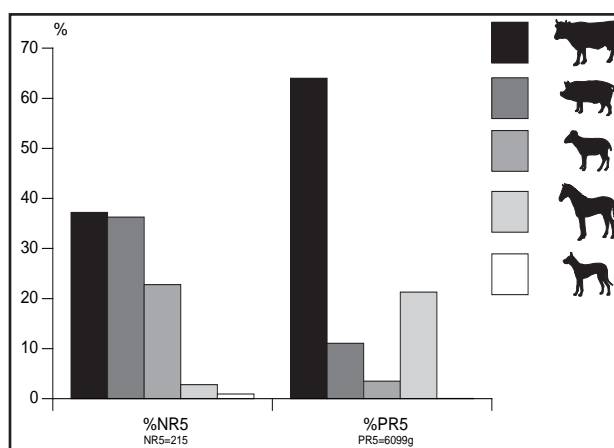


Fig. 21: Proportions en nombre (N.R.5) et poids (P.R.5, en g.) de restes des cinq principales espèces domestiques, fossé 200 sans amas, début La Tène D1.

L’amas des sondages F, 6 et G a la particularité d’être composé essentiellement d’ossements de porc (fig. 22). Des quatre autres mammifères domestiques jusqu’alors présents, seul manque le chien.

Fo200 D1 amas Porc	NR	%NR	PR	%PR	PM
boeuf	21	1,58	902	16,48	42,95
porc	1306 ^{*15}	98,12	4344	79,37	3,33
caprinés	2	0,15	25	0,46	12,5
cheval	2	0,15	202	3,69	101
Déterminés	1331	73,37	5473	97,42	4,11
Indéterminés	483	26,63	145	2,58	0,3
TOTAL	1814	100	5618	100	3,1

Fig. 22: Dombrements en nombre (NR), poids (PR, en g.) et poids moyen (PM, en g.) de restes, fossé 200 amas porc, début La Tène D1. (*n = présence de n ensembles anatomiques par espèce)

Le porc représente à lui seul 98,1 % du NR5, contre 1,6 % pour le bœuf, 0,2 % pour les caprinés et 0,1 % pour le cheval (fig. 23). En poids de reste, le bœuf offre une représentation plus importante mais n’atteint pas le quart du poids des cochons. Au vu du nombre particulièrement important d’ensembles anatomiques, on pouvait s’attendre à une telle représentation des suidés. Ces regroupements d’os concernent en majorité des têtes, des trains-arrières et des ensembles de vertèbres, la plupart du temps appartenant à des individus juvéniles.

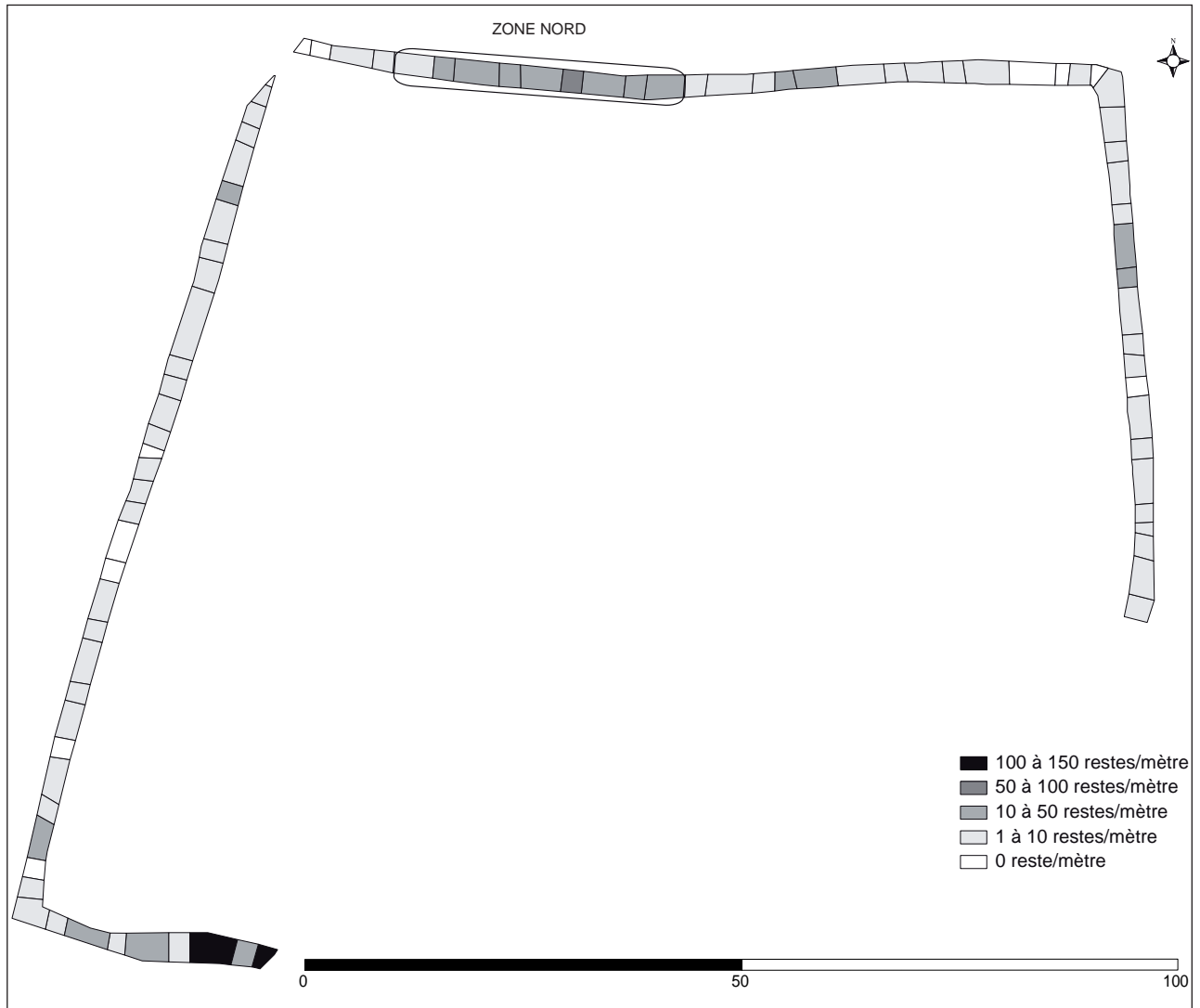


Fig. 24 : Répartition en nombre de restes du matériel faunique dans le fossé 200, La Tène C2.

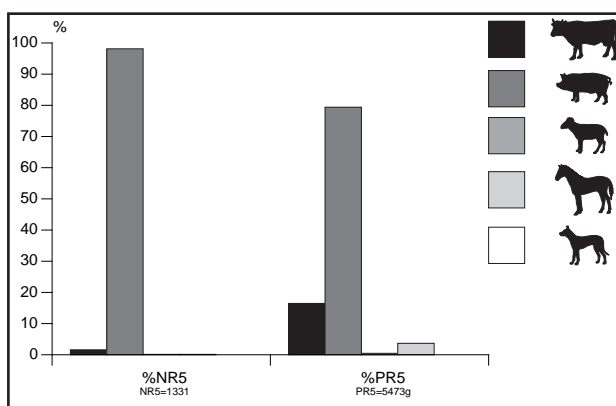


Fig. 23 : Proportions en nombre (N.R.5) et poids (P.R.5, en g) de restes des cinq principales espèces domestiques, fossé 200 amas porc, début La Tène D1.

2 - Analyse des données

Fossé 200 La Tène C2

2.1 - Répartition des vestiges

Une grande partie du fossé 200 a été fouillée, excepté dans la zone sud-est et l'angle nord-ouest. Afin d'effectuer une analyse spatiale du fossé vidé, le matériel faunique a été étudié sondage par sondage de différentes façons. À l'instar de P. Méniel pour le site d'Herblay «La Ferme des Fontaines»² (La Tène finale D2, Val-d'Oise) et de G. Jouanin pour Cergy «ZAC des Linandes»³ (La Tène finale D1, Val-d'Oise) et en

2 Méniel 1994.

3 Jouanin 2009 b.

connaissance de l'emprise des tronçons fouillés, nous avons calculé la densité en nombre et poids de restes par mètre linéaire (fig. 24 et 25). Les deux approches montrent des résultats assez similaires.

Les analyses en nombre et poids de restes font clairement apparaître deux zones de concentrations. La première se situe sur la petite portion fouillée du fossé sud, la seconde dans la moitié occidentale du fossé nord.

Cette dernière semble se distinguer, particulièrement en densité de poids de restes. En effet, les sondages ST, S19, SU, S20, SV, S21, SW, S22, SX et S23, regroupés ici sous l'appellation «zone nord», ont livré une masse plus importante de restes par mètre comparés aux tronçons qui les entourent. Cette remarque peut également se faire d'après la densité en nombre

de restes mais de façon moins conséquente. De plus, d'après la répartition spatiale du matériel archéologique qui nous a été donnée, ce secteur a également livré un nombre plus important de restes de métal, de torchis et de céramique. La zone nord fera donc l'objet d'une attention particulière dans la suite de l'étude.

Nous pouvons compléter l'analyse par l'étude des poids moyens des restes déterminés par mètre linéaire (fig. 26).

Dans le remplissage principal du fossé 200, la moyenne des poids moyens des ossements déterminés est d'environ 35,1 g. Dans cet ensemble, le bœuf domine largement en nombre comme en poids de restes (pour ce dernier critère, il est accompagné du cheval). Ces résultats concordent tout à fait avec des dépôts de type fossé. Après un séjour plus ou moins long sur

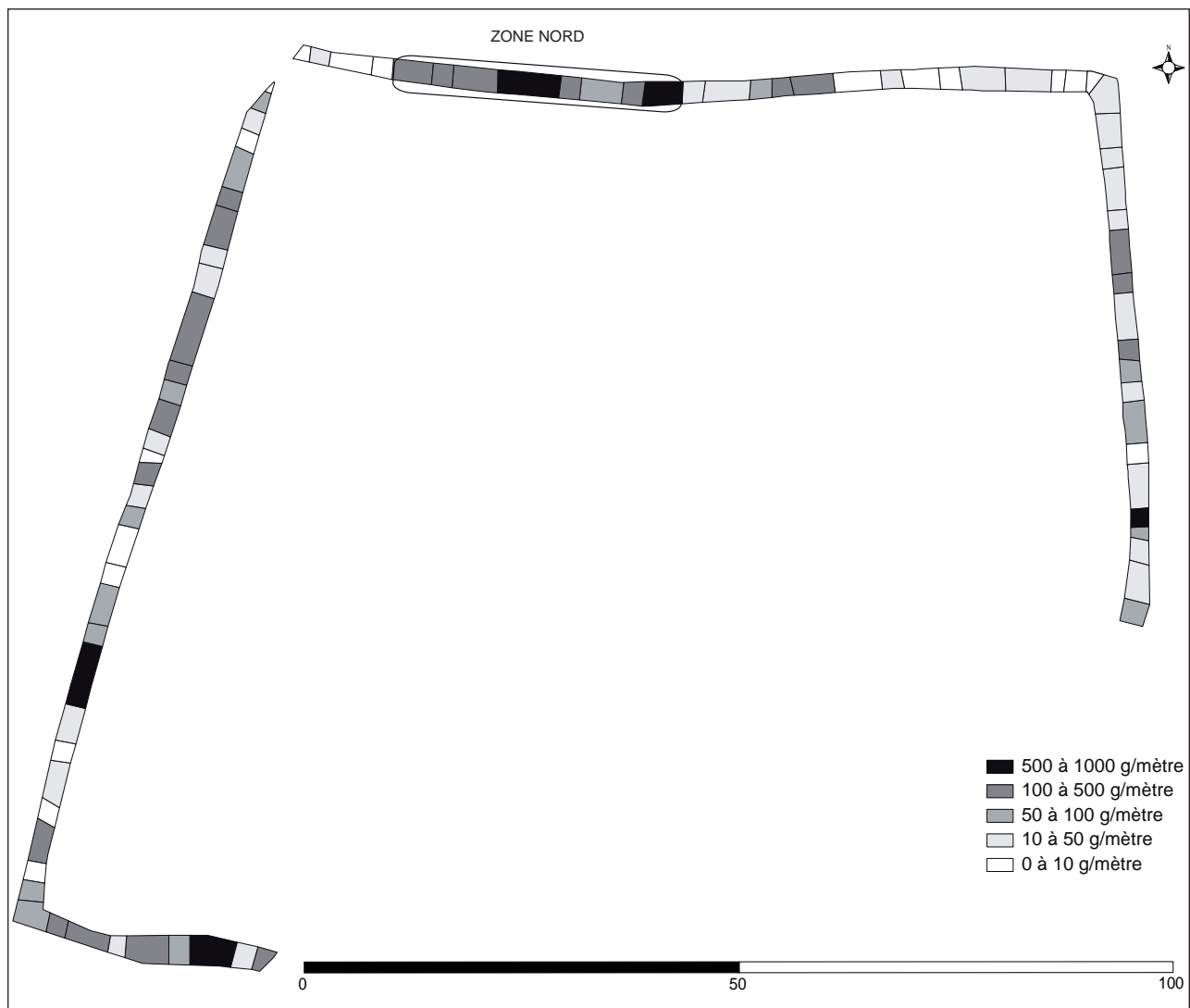


Fig. 25: Répartition en poids de restes du matériel faunique dans le fossé 200, La Tène C2.

le sol, à la merci de différents phénomènes destructifs (piétinement, charognage, intempéries etc.), les restes sont acheminés vers le fossé volontairement ou non et sont alors composés essentiellement des ossements les plus résistants, du fait de leur taille et/ou de leur densité (Méniel 1994).

La zone nord se démarque légèrement par des tronçons livrant des poids moyens de restes déterminés plus importants. Une partie de ce phénomène peut être expliqué par la présence, pour le bœuf et le cheval, d'un crâne et d'une mandibule chacun, ossements particulièrement lourds notamment par la présence des dents; cependant le taux de détermination et la moyenne des poids moyens restent équivalents à ceux observés pour la totalité du fossé sans amas.

Il se détache enfin deux autres secteurs présentant des poids et poids moyen des restes déterminés plus importants que l'ensemble du fossé 200 (délimités en pointillés sur la figure 26). Cette distinction ne se fait absolument pas en densité de nombre de restes; ces zones sont plutôt numériquement pauvres en matériel faunique. En regardant de plus près, il apparaît que le secteur situé à l'ouest a livré trois crânes et cinq mandibules de bœufs et une mandibule de cheval. Ces ossements étant particulièrement lourds, ils pourraient expliquer cette distinction en densité de PMd. La zone est moins limpide, elle concerne de nombreux os longs de bœuf et de cheval et la quasi-totalité du poids des restes indéterminés est représenté par des restes de gros bétails. La moyenne des poids moyens de ces deux secteurs est plus élevée que la globalité du

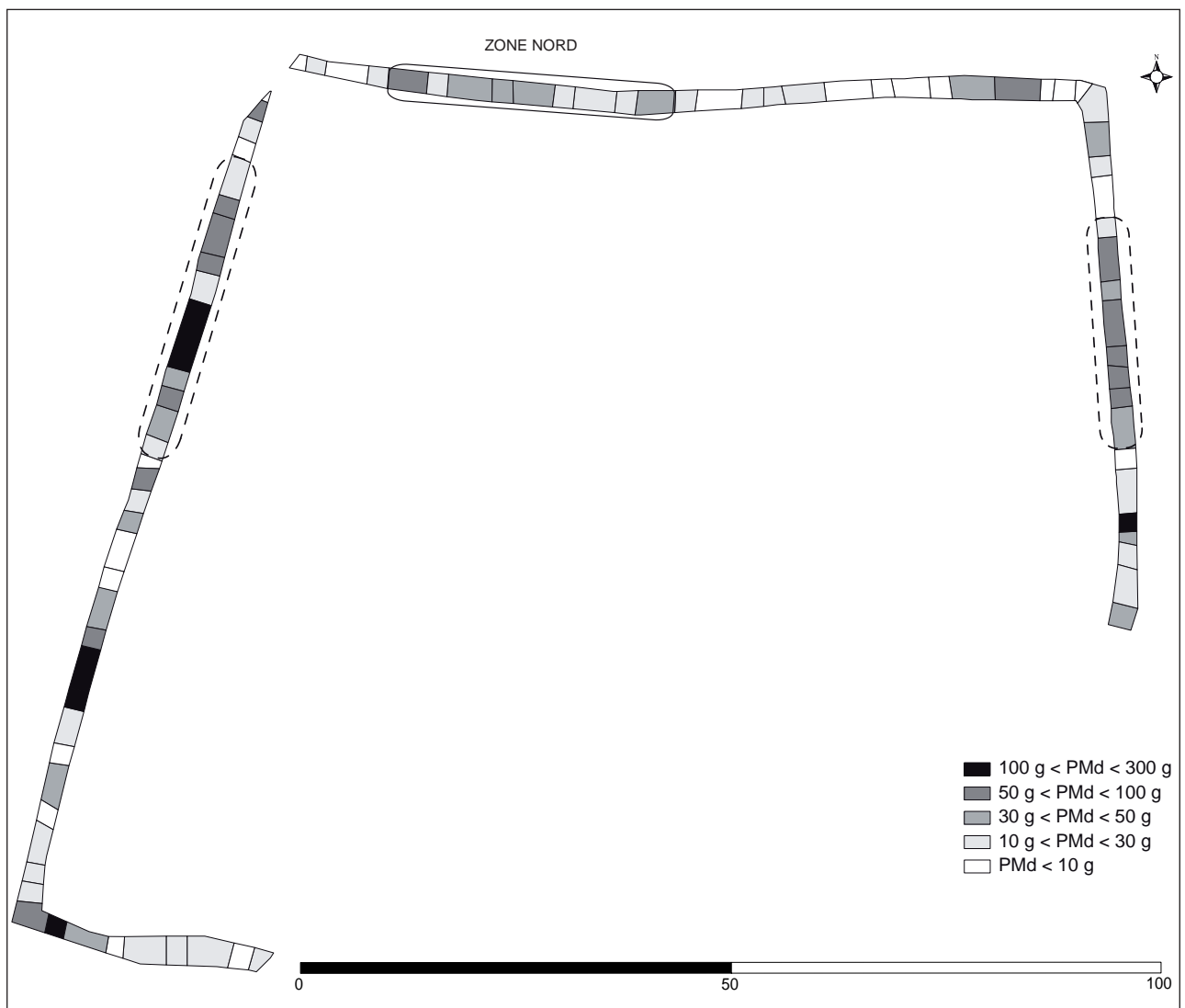


Fig. 26 : Répartition en poids moyen des restes déterminés dans le fossé 200, La Tène C2.

fossé sans amas ; seulement il est difficile d'évaluer réellement le poids moyens de ce dernier et donc de comparer, car il concerne des zones assez disparates que ce soit en nombre ou en poids de restes.

En revanche, le taux de détermination est équivalent où que l'on se situe sur le fossé 200. Il n'est donc pas pertinent de discerner les zones est et ouest dans la suite de l'étude, puisqu'elles sont en fait surtout représentatives d'un dépôt de type fossé. À l'inverse, la zone nord semble plus complexe et nécessite une étude de la représentation des espèces pour tenter de la caractériser.

2.2 – Représentation des espèces

Lorsque l'on parcourt les études de faunes issus des enclos du second âge du fer, et secondairement de La Tène moyenne, on observe une importante diversité dans l'alimentation carnée entre et au sein des établissements.⁴

Dans le fossé 200 à La Tène C2, le bœuf domine en nombre et de façon non équivoque en poids de restes. Cette observation a été réalisée pour d'autres sites, et nous retrouvons cette tendance dans les fossés de La Tène moyenne comme à Saint-Denis/Pierrefitte «Les Tartres»⁵ (La Tène moyenne et finale, Seine-Saint-Denis) et Longueuil-Sainte-Marie «L'Orméon»⁶ (La Tène moyenne, Oise).

Le porc est en seconde position, représentant un peu plus de la moitié de la proportion de bovins. Les caprinés sont relégués à la troisième place, aux deux-tiers des suidés. On observe la même tendance en poids de restes pour les trois principales espèces, excepté que le bœuf est en domination écrasante.

De nombreuses fermes gauloises d'Île-de-France montrent des proportions de bœuf majoritaires suivies du porc et des caprinés, ces derniers quelque fois en quasi-équivalence⁷.

Néanmoins, il a déjà été remarqué que l'alimentation des Gaulois de La Tène moyenne était plus

pauvre en mouton et en chien ; et le porc serait la viande la plus prisée en Gaule septentrionale⁸.

On ne peut pas attribuer ici la défaillance des moutons-chèvres à des différences de conservations puisque le fossé a également livré des ossements d'autres petits bétails et même de juvéniles. Il est difficile d'expliquer ces résultats, sachant qu'il ne faut pas oublier que l'on se situe dans un fossé qui a tendance à privilégier les os de gros bétails et surtout que cet ensemble concerne plusieurs secteurs complexes à définir et des dépôts différents.

La représentation des trois principales espèces de la zone ouest est sensiblement équivalente à celle du fossé, et prouve à nouveau son lien sans ambiguïté avec l'ensemble. La zone est a livré trop peu de restes pour être étudiée de façon plus fine. Ces observations montrent encore une fois l'inintérêt de distinguer ces deux secteurs.

La zone nord offre une autre vision (fig. 27 et 28). Il semble que les remarques faites pour l'ensemble du remplissage daté de La Tène C2 se retrouvent ici mais de façon plus marquée. En effet, bœuf et porc sont en nombre de restes quasi-équivalents, le second dépassant même légèrement le premier. Nous retrouvons cette tendance sur les sites de Bobigny/Avicenne (US 107), village daté de La Tène C2/D1⁹ (Seine-Saint-Denis) et Fontenay-en-Parisis «La Lampe», fossé de La Tène moyenne¹⁰ (Val-d'Oise). Les caprinés restent en troisième position, représentant 13,1 % des restes déterminés comme c'est le cas sur l'ensemble du site (pourcentage assez courant pour La Tène moyenne). En poids de restes, la part belle est faite aux gros bétails, reléguant porc et caprinés respectivement à la troisième et quatrième place. Cette zone reflète donc une augmentation importante des proportions en nombre de restes de porcs aux dépens des bœufs, comparativement au reste du fossé. À cela s'ajoute les remarques précédentes : les rejets semblent plus directs et liés dans le sédiment à une zone riche en torchis. De plus, ce secteur a livré un nombre plus important d'os brûlés qui ont subi en plus faible quantité l'action des charognards.

4 Malrain *et al.* 2006.

5 Frère 2010.

6 Méniel 2006.

7 Horard-Herbin *et al.* 2000.

8 *Ibid.* note 6 p.18.

9 Yvinec 1995.

10 Daveau, Yvinec 2001.

Zone nord	NR	%NR	PR	%PR	PM
boeuf	123 ^{*4}	37,39	6035	53,31	49,07
porc	137 ^{*2}	41,64	1485	13,12	10,84
caprinés	43	13,07	322	2,84	7,49
cheval	20	6,08	3468	30,63	173,4
chien	6	1,82	11	0,1	1,83
Déterminés	329	48,38	11321	94,32	34,41
Indéterminés	351	51,62	682	5,68	1,94
TOTAL	680	100	12003	100	17,65

Fig. 27: Dénombrements en nombre (NR), poids (PR, en g.) et poids moyen (PM, en g.) de restes de la zone nord, La Tène C2.
(*n = présence de n ensembles anatomiques par espèce)

Ces observations s'accordent donc pour définir la zone nord comme un dépotoir au sein du fossé, contenant des rejets plutôt domestiques, peu ou pas laissés sur le sol mais rejetés en majorité directement dans ce secteur du fossé. D'autres sites ruraux présentent des fossés comprenant des zones qui s'apparentent à des dépotoirs domestiques comme par exemple sur le site de Chambly «La Marnière» daté de La Tène finale¹¹ (Oise).

En admettant que la zone nord révèle donc l'alimentation, il semblerait que celle-ci soit principalement tournée vers le bœuf et le cochon, viande appréciée, en gardant en tête qu'une pièce de bovin fournit plus de viande qu'un morceau de porc. Les caprinés ne semblent pas être des éléments essentiels dans l'alimentation carnée, hypothèse récurrente pour l'alimentation carnée du second âge du fer¹².

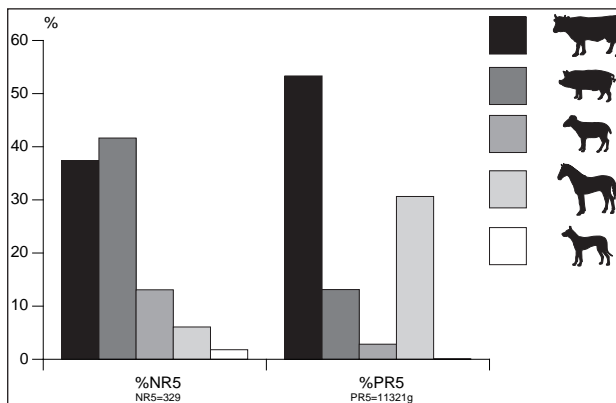


Fig. 28: Proportions en nombre (N.R.5) et poids (P.R.5, en g) de restes des cinq principales espèces domestiques, zone nord, La Tène C2.

11 *Ibid.* note 2 p. 15.

12 *Ibid.* note 4 p. 18.

Que ce soit pour l'ensemble du fossé 200 ou pour la zone nord, le cheval et le chien sont relégués aux quatrième et cinquième places en NR5. Par contre, en poids de restes, les équidés occupent systématiquement la seconde position, ce qui s'explique notamment par leur constitution en os plus lourds que ceux des petits bétails.

Quelque soit le secteur, le cheval a une proportion d'environ 6,1 % du NR5. Ce chiffre est proche de la proportion moyenne que l'on retrouve à La Tène moyenne en Gaule du Nord¹³. De plus, neuf ossements de chevaux sont décarnisés ou désarticulés et un crâne présente des traces de séparation d'avec le corps. La consommation d'équidés semble donc de mise, et est d'ailleurs connue dans le quart nord-ouest de l'Île-de-France¹⁴. D'après P. Méniel¹⁵, un tel pourcentage serait plutôt révélateur d'une hippophagie pratiquée de manière modérée. En générale, on associe une hippophagie importante aux milieux modestes, alors que le signe de richesse serait une faible consommation du cheval; le site serait donc plutôt révélateur d'un milieu intermédiaire.

Le chien, normalement mangé et apprécié à La Tène moyenne, n'est ici que très peu représenté. Sur l'ensemble du fossé et de la phase, il atteint 1,2 % du NR5 et 0,2 % du PR5 mais est représenté par différentes classes d'âges. Seuls deux ossements présentent des stigmates de décarnisation et de désarticulation; il est donc difficile d'évaluer une éventuelle cynophagie. Nous pouvons uniquement rappeler qu'à priori l'alimentation carnée des Gaulois du Nord comprenait une part non négligeable de chien mais qu'à partir de La Tène moyenne la cynophagie diminue au sein des sites ruraux¹⁶.

2.3 – Répartition anatomique

La représentation anatomique en nombre de restes des cinq principales espèces est assez semblable entre l'ensemble du fossé et la zone nord (fig. 29). Il semble globalement que les os de la

13 *Ibid.* note 7 p. 18.

14 Malrain *et al.* 2002.

15 *Ibid.* note 6 p. 18.

16 *Ibid.* note 6 p. 18.

Ibid. note 7 p. 18.

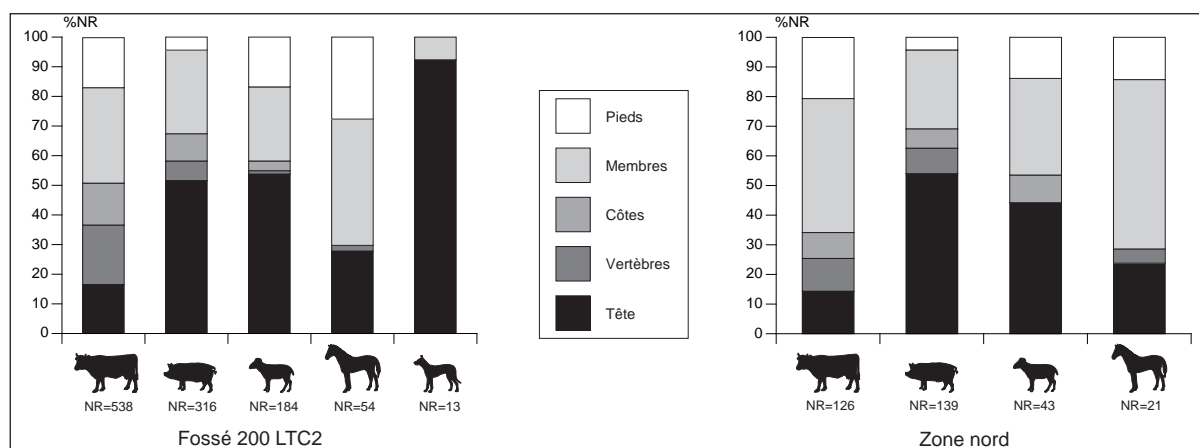


Fig. 29 : Distribution anatomique chez les cinq mammifères domestiques, en nombre de restes issus du fossé 200 et de la zone nord, La Tène C2.

tête et des membres (ossements les plus solides) sont les plus représentés. Tous les éléments de bœufs sont bien présents alors que le cheval montre des manques en ce qui concerne le rachis et les côtes. Sur treize os de chien dans le fossé 200, une grande majorité provient du crâne, mandibule et maxillaire.

La représentation des différentes parties du squelette en nombre de restes est fortement dépendante de la fragmentation. Un moyen de s'en affranchir et de mieux évaluer les proportions de chaque partie anatomique est de calculer les poids de restes combinés aux différentes portions du squelette et de les comparer à un modèle¹⁷.

Encore une fois, les résultats obtenus sont assez similaires que ce soit pour le fossé 200 ou la zone nord (fig. 30). Ces deux ensembles montrent, comme en nombre de restes, des surreprésentations des parties de la tête pour quasiment toutes les espèces. On pourrait associer ce phénomène au nombre important de dents, parties squelettiques particulièrement résistantes, qui serait alors inhérent à la taphonomie. Pourtant lorsque l'on retire les dents isolées de l'ensemble osseux, les pourcentages ne changent que très peu. Il y a donc réellement ici une surfiguration des ossements issus du crâne.

Le porc est relativement sous représenté pour l'ensemble de son squelette sauf le crâne. Quelque soit le secteur, les caprinés présentent moins de vertèbres et de côtes et montrent des

proportions des os de membres et de pieds (os longs solides et plus faciles à déterminer) proches de la référence. La répartition anatomique du bœuf est plus contrastée. Dans le fossé 200, les bovins sont surreprésentés par leur os de la tête mais sont pauvres en vertèbres et côtes. Dans la zone nord, ce sont les membres qui présentent une représentation plus importante aux dépens toujours des côtes et de vertèbres. Les os de la tête ont une proportion quasi-équivalente au modèle.

On peut noter la sous représentation des os les plus fragiles (côtes et vertèbres) pour souligner le biais taphonomique. Il apparaît ici la présence plus importante des ossements de la tête. Aux vues de la conservation et de la fragmentation, on ne peut totalement ôter la part taphonomique dans cette surreprésentation, mais elle n'est pas l'unique raison de cette sélection particulière des crânes et mandibules.

La zone nord semble différée de l'ensemble du fossé et appuie ainsi son caractère alimentaire par sa sélection plus importante des os de membres de bœufs qui représentent des pièces de viande. Quelques têtes de bovins sont présentes dans ce secteur mais en faible nombre comparé à l'ensemble du fossé.

En effet, en regardant de plus près les crânes complets ou quasi-complets sur la totalité de l'enclos fouillé, il apparaît une répartition non régulière le long du fossé de têtes de bœufs et de chevaux (fig. 31).

Crânes et mandibules complets de bovidés se concentrent sur l'ouest et le sud-ouest du fossé.

17 Lepetz, Oueslati 2003.

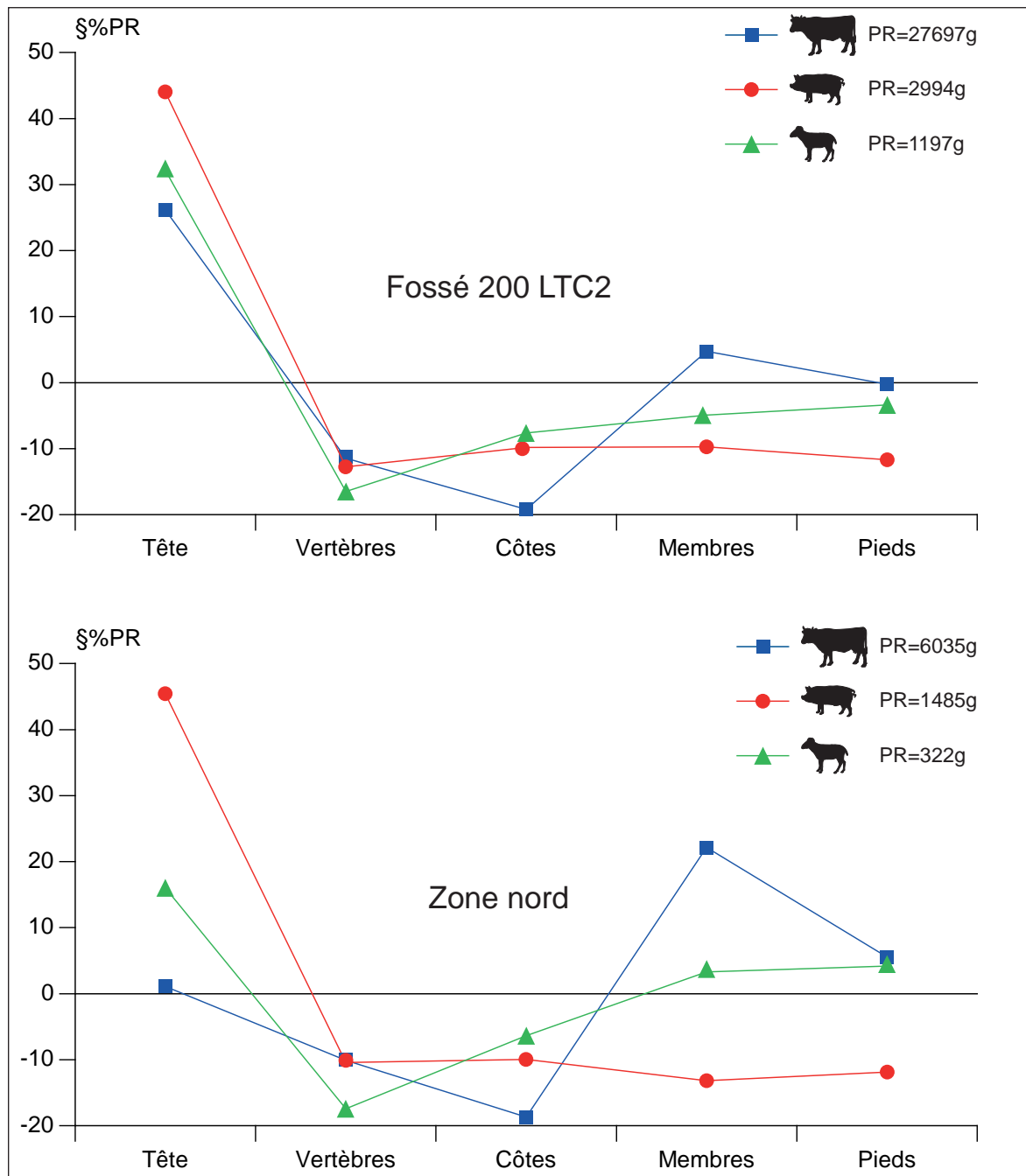


Fig. 30 : Distribution anatomique chez les cinq mammifères domestiques, en poids de restes issus du fossé 200 et de la zone nord, La Tène C2.

Les crânes de chevaux sont moins nombreux et plus épars. Il faut ajouter à ce schéma des mandibules, en majorité de bovins qui viennent compléter les crânes en place.

Le crâne présent sur la portion est du fossé porte les stigmates d'une décarnisation (coup de couteau sous le zygomatique). Un de ceux provenant du sondage SH a été associé à ses deux mandibules. La plupart des crânes de bœufs issus de la partie ouest du fossé portent encore

leurs dents et on a donc pu tenter d'estimer leurs âges d'abattage d'après les indices Ducos¹⁸ : les individus issus des sondages S35 et SH auraient été tués autour de 9 ans, celui du sondage S7 aurait 6-9 ans alors que le bœuf de S40 serait âgé d'environ 4 ans (âge souvent associé à une utilisation bouchère de l'animal). Le bœuf provenant du sondage SU (zone nord) serait le plus jeune, entre 1 et 3 ans.

¹⁸ Ducos 1968.

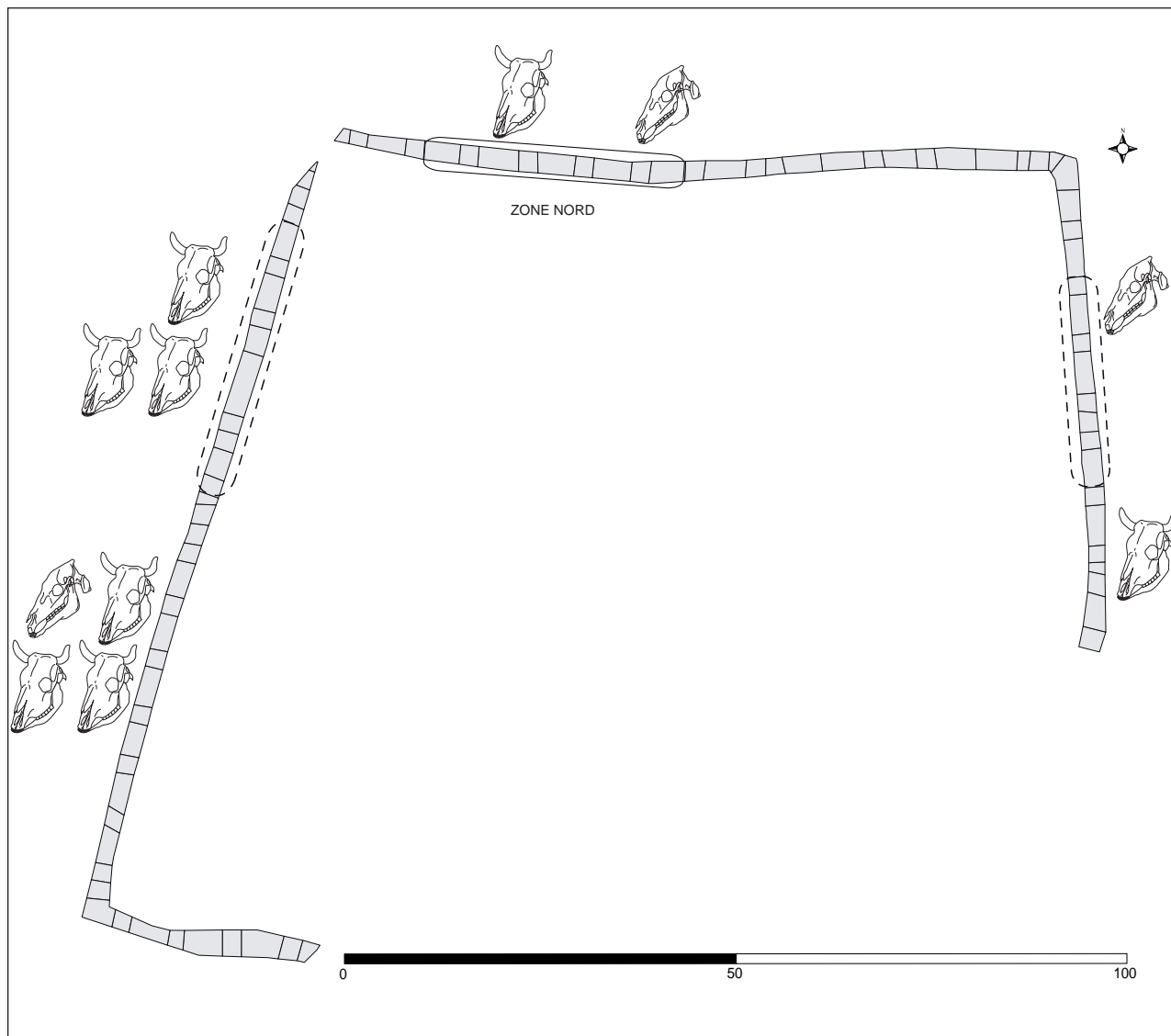


Fig. 31 : Distribution des crânes quasi-complets de bœuf et de cheval dans le fossé 200, La Tène C2.

En ce qui concerne le cheval, seul un crâne présente des particularités, montrant des traces de désarticulation d'avec le corps au couteau. Les crânes de bœuf et de cheval issus du sondage SH ont été retrouvés l'un sur l'autre, en position horizontale (fig. 32). La tête d'équidé repose à l'envers sur celle du bovidé. Les crânes ne suivent pas la même orientation, celui du cheval est dirigé vers le nord alors que celui du bœuf est orienté vers l'ouest, formant entre eux un angle de presque 90°.

Il est particulièrement délicat d'interpréter de tels dépôts. Des crânes groupés et dispersés sans rythme apparent le long d'un fossé rectiligne ont été observés à Braine «La Grange des

Moines»¹⁹ (La Tène finale, Aisne). Certaines pièces possèdent encore leurs dents, d'autres non et aucune ne montre des traces d'une exposition sur un poteau ou piquet.

Vue leur diversité, ces dépôts doivent être de fonction ou d'usage divers mais leur signification nous reste néanmoins toujours inconnue.

Il faut cependant noter la mauvaise conservation globale des crânes sur le site de Villiers-le-Bel, souvent réduits en esquilles une fois nettoyés, ce qui nous a fortement empêché d'observer des traces fines.

¹⁹ Auxiette 2000.



Fig. 32 : Photo du sondage H, Passe 2, Fossé 200, La Tène C2.

2.4 – Gestion des troupeaux

Après avoir considéré la représentation et la répartition anatomique des espèces au sein du remplissage principal du fossé 200, estimer les âges d'abattage permet de comprendre la gestion passée des troupeaux et ainsi appréhender leur utilisation dans cet établissement.

Les âges d'abattage ont pu être estimés pour quelques bœufs, porcs et caprinés du fossé 200, mais ce sont les suidés de la zone nord qui bénéficient d'une étude plus poussée.

L'étude des étapes d'épiphyssation des ossements bovins montre des abattages d'animaux de tous âges (fig. 33). Les données sont manquantes

pour la classe « 12–24 mois », ce qui explique le regroupement des individus âgés de 0 à 24 mois. Cependant il est intéressant de noter que le seul individu de moins de 24 mois est en fait un jeune veau de moins d'un an. D'après les données épiphysaires, au bout de 5 ans, les 4/5 des animaux ont été abattus. Ce serait donc 40 % du troupeau qui serait conservé dans un but autre que la viande. En effet, la maturité pondérale chez le bœuf est estimée aux alentours de 3 ans, 4 ans étant la limite habituellement utilisée pour faire sereinement la différence entre animal de boucherie et animal de réforme. Si la part d'animaux de réforme apparaît comme importante, nous devons tout de même noter que les animaux de boucherie sont présents. En effet, si l'abattage

Bornes d'épiphyssation	NS	S	%NS à la borne	% d'abattage par classe d'âge	Classes d'âges
24 mois	1	49	2,0	2,0	0-24 mois
36 mois	6	29	17,1	15,1	24-36 mois
48 mois	9	19	32,1	15,0	36-48 mois
60 mois	44	29	60,3	28,1	48-60 mois

Fig. 33 : Estimation des âges d'abattage des bovins d'après les étapes d'épiphyssation des ossements, Fossé 200, La Tène C2. (n = 186)

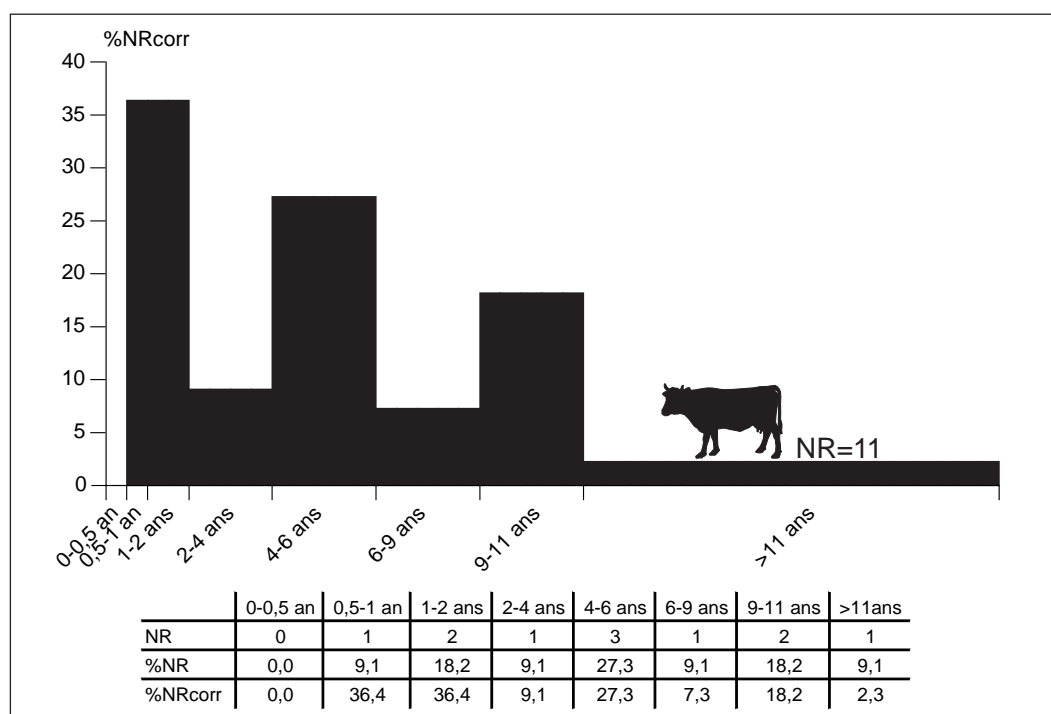


Fig. 34 : Profils d’abattage d’après les données dentaires des bovins pour le fossé 200, La Tène C2. (en haut : graphe en % NR corrigé ; en bas : tableau des données brutes).

semble ne pas commencer avant l’âge de 2 ans, entre cet âge et celui de 4 ans ce sont malgré tout 30 % des animaux qui sont abattus. La vocation bouchère d’une partie du troupeau bovin ne fait donc aucun doute. En revanche, nous noterons la faible présence de jeunes bovidés morts, pouvant représenter une viande de qualité, un élevage bovin sur place ou leur séparation d’avec la mère pour une production laitière.

Cette image d’une double visée de l’élevage bovin (l’une bouchère, l’autre laitière et/ou de la-beur) est nuancée aux regards des données dentaires corrigés. En effet, trois pics d’abattage apparaissent. Le premier touche les bovins âgés de 0,5–1 et 1–2 ans (fig. 34). Les premiers sont particulièrement jeunes mais dans les deux cas nous sommes face à des animaux fournisseurs d’une viande de bonne qualité. On remarque ici que c’est justement la fourchette 1–2 ans qui n’était pas représentée d’après les données épiphysaires. On ne pouvait donc obtenir des résultats équivalents d’après les deux types de données. Cependant, il faut noter que, alors que les dents sont solides dès le plus jeune âge, les ossements d’individus juvéniles sont plus fragiles et donc assujettis à la conservation.

Le deuxième pic touche des individus de première réforme, âgés de 4 à 6 ans. Nous pouvons associer ces animaux aux jeunes d’à peine un an et ainsi envisager une gestion des troupeaux dans un but de production laitière. En effet, les veaux d’environ 1 an feraient les frais d’un abattage *post* lactation, la vache ayant besoin de son petit près d’elle pour donner du lait. L’âge d’un an serait alors celui du sevrage et de la fin de la lactation.

Enfin le troisième pic d’abattage touche les bêtes de 9–11 ans, conservées pour la reproduction et la force de travail. Cependant les très vieux animaux sont fort peu présents.

Les données pour les bœufs issus du fossé 200 révèlent une gestion principale du troupeau tournée vers une boucherie fournisseuse d’une viande de bonne qualité et également vers une production de lait. On retrouve un même profil d’âges d’abattage à Marolles-sur-Seine²⁰ (Seine-et-Marne, La Tène C2/D1) et une telle gestion a été identifiée dans le Val-d’Oise sur le site de Cergy «ZAC des Linandes»²¹ (La Tène D1).

²⁰ *Ibid.* note 7 p. 18.

²¹ *Ibid.* note 3 p. 15.

Contrairement aux bœufs et caprinés, le porc ne peut être utilisé que pour sa viande et quelques individus pour la reproduction. D'après les données épiphysaires, la majorité des individus est abattue entre 2 et 3 ans, c'est-à-dire juste avant qu'ils atteignent leur maturité pondérale (fig. 35). Cependant, la proportion de jeunes porcs d'environ un an n'est pas négligeable et révèle une part alimentaire tournée vers de la viande tendre à l'inverse des individus âgés de 36 à 48 mois, caractéristiques d'une viande moins appréciée.

Les données dentaires corrigées exposent une forte proportion d'abattage de porcs âgés de 1,5 à 2 ans (fig. 36). Cet abattage est classique dans la gestion des porcs, et ce quelle que soit la période étudiée. Il est habituellement interprété comme ayant lieu au début du second hiver vécu par les animaux. Ces derniers fournissent alors

une viande abondante et de qualité destinée à être préparée sous forme de conserve (viande salée, fumée). Toutefois, il semblerait qu'il y ait également une consommation plus variée mais moindre de viande provenant d'individus âgés de 6-12 mois (donc de qualité) à 3 ans (moins réputée). Dans le fossé 200, aucun jeune cochon de moins de 6 mois n'a été retrouvé, cependant la présence d'individus de plus de 36 mois, plutôt voués à la reproduction, serait révélatrice d'un élevage sur place.

En ce qui concerne le cochon, les données dentaires et épiphysaires sont très proches. L'abattage touche essentiellement des animaux approchant l'âge de la maturité pondérale et offrant ainsi en quantité une viande de qualité.

Bornes d'épiphysation	NS	S	%NS à la borne	% d'abattage par classe d'âge	Classes d'âges
13 mois	4	12	25,0	25,0	0-13 mois
24 mois	3	0	100,0	75,0	13-24 mois
36 mois	0	0	manque de données		24-36 mois
48 mois	10	1	90,9		36-48 mois
84 mois	18	1	94,7	3,8	48-84 mois

Fig. 35 : Estimation des âges d'abattage des porcins d'après les étapes d'épiphysation des ossements, Fossé 200, La Tène C2, (n = 49)

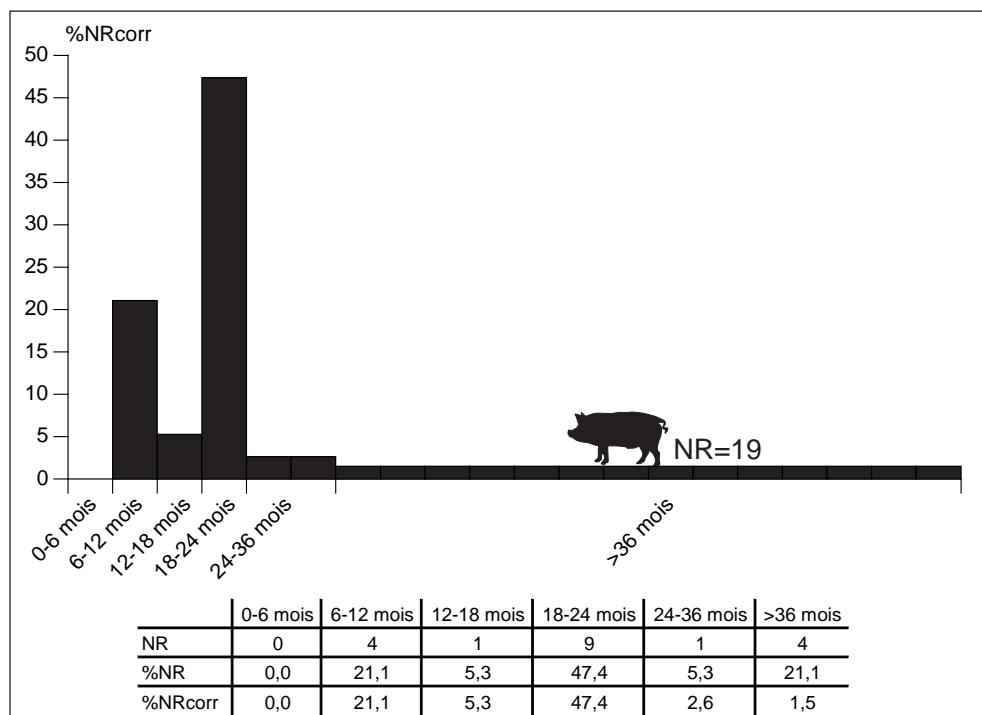


Fig. 36 : Profils d'abattage d'après les données dentaires des porcins pour le fossé 200, La Tène C2. (en haut : graphe en % NR corrigé ; en bas : tableau des données brutes).

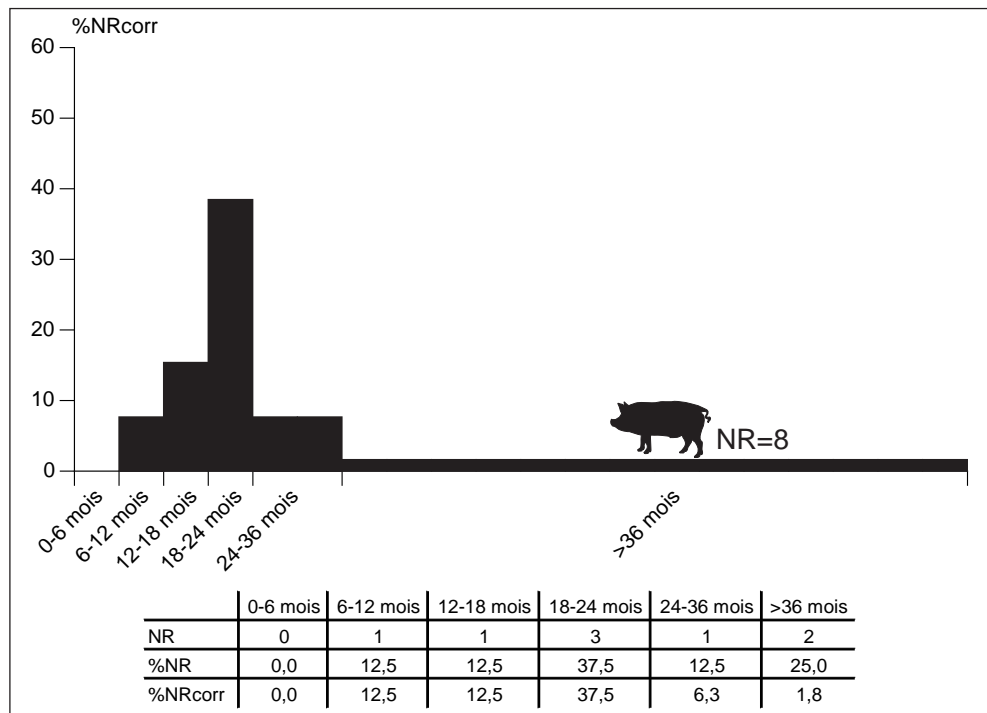


Fig. 37 : Profils d’abattage d’après les données dentaires des porcins pour la zone nord, La Tène C2.
(en haut : graphe en % NR corrigé ; en bas : tableau des données brutes).

Cependant, une autre part de la viande porcine est d’excellente qualité, étant issue de porcelets de moins d’un an. Globalement, la gestion des troupeaux porcins est assez similaire en Gaule, les différences sont surtout liées à des qualités de viande diverses²².

Nous ne retrouvons pas, pour la seule zone nord, les deux pics observés pour l’ensemble du remplissage principal du fossé (fig. 37). Les animaux consommés sont essentiellement ceux âgés de 18–24 mois. Cependant les animaux plus jeunes sont également présents et trahissent une alimentation de qualité.

Seules les données dentaires ont permis de réaliser des estimations d’âges pour les caprinés (fig. 38). Celles-ci montrent que la majorité des animaux est abattue entre 2 et 4 ans, c’est-à-dire à l’âge de la maturité pondérale de 2,5 ans²³. Ceci est d’autant plus vrai que les représentants de cette classe 2–4 ans sont surtout des animaux de 2–3 ans. Ces animaux sont caractéristiques d’une utilisation bouchère, le rapport qualité/quantité de viande étant le meilleur à cet âge. Les ovins abattus à 4–6 ans peuvent être révélateurs d’une production laitière mais ils sont en général

alors associés à de très jeunes individus de moins de 6 mois. Or aucun reste de jeune agneau n’a été identifié. Les animaux les plus précocement abattus le sont entre 6 et 12 mois. Il est difficile de les considérer comme des individus stimulant la production laitière, dans la mesure où ni la brebis ni la chèvre n’ont besoin de conserver leur petit avec elles pour produire du lait. Il semble que nous ayons plutôt affaire à des agneaux tués pour fournir une viande d’excellente qualité. Enfin, la production de laine pourrait également se retrouver ici sous la forme de bestiaux tués après leurs 4 ans. Cette dernière hypothèse est plus difficile à affirmer. En effet, la gestion du cheptel ovin dans un but de production lainière fait plutôt la part belle aux vieilles bêtes de plus de 6 ans, animaux très peu représentés dans nos données. Que la laine soit exploitée est plus que probable, mais il apparaît clairement ce n’est pas la fonction première du troupeau ovin.

Les quelques données touchant à l’âge des animaux nous laissent apercevoir une esquisse des choix de gestion des troupeaux par les occupants du site. Il est particulièrement intéressant de noter qu’aucune des espèces principales n’a livré de restes appartenant à de très jeunes individus. Aucune victime de mort périnatale ne nous est

22 *Ibid.* note 4 p. 18.

23 Lepetz 1996.

parvenue. Cette absence peut mettre en doute la présence sur le site d'un élevage touchant toutes les étapes de la vie. Nous pouvons en effet émettre l'hypothèse que les cheptels élevés ici sont composés d'animaux non nés sur le site même. Les vestiges mis au jour appartiendraient donc à des animaux acquis et non produits. Cependant il nous faut rester particulièrement prudents à ce sujet. L'état de conservation du matériel n'est bon que dans les strates profondes. Aussi les ossements de jeunes animaux ont-ils pu faire les frais d'une destruction due à la taphonomie. Le fait que les vestiges étudiés proviennent d'un fossé va dans le même sens. Ce type de structure ouverte ne favorise pas particulièrement les petits os. Une preuve en est la très faible représentation des autres espèces de petites tailles, tels que les oiseaux ou le lièvre, espèce sauvage la plus fréquente sur les sites laténiens.

3 – L'amas de bœuf, fin de La Tène C1

Nous l'avons vu lors de la présentation des données, les strates profondes de la section de fossés s'étendant des sondages 38 à B est largement dominée par les restes de bovins. Ceux-ci sont

essentiellement concentrés à une profondeur comprise entre 60 et 100 cm (fig. 39).

Cet ensemble est composé, d'après les mandibules, des ossements d'au moins quatre animaux dont un est assurément une femelle. L'âge de ces individus a pu être estimé à la fois grâce aux données épiphysaires et aux données dentaires. Les premières nous permettent de voir que ces individus ont plus de 2 ans. Les données dentaires sont plus précises. Sur les cinq mandibules permettant une estimation, deux appartiennent à des individus d'environ 5 ans (NMI=1) et trois à des individus d'environ 14 ans (NMI=2). Ce ne sont donc pas des animaux de boucheries mais plutôt des animaux de réforme (précoce et tardive) qui ont fait les frais de cet abattage particulier. Nous devons cependant noter la présence d'un maxillaire appartenant à un animal plus jeune, âgé d'à peine 2 ans. Cependant ce dernier n'est représenté que par un maxillaire, aucun autre vestige pouvant lui appartenir n'ayant été identifié. Il semble donc que cet animal n'est pas issu du même événement que les précédents.

L'analyse, en nombre comme en poids de restes, de la distribution anatomique de l'ensemble montre que les ossements mis au jour ne présentent pas de sélection particulière comparés à la

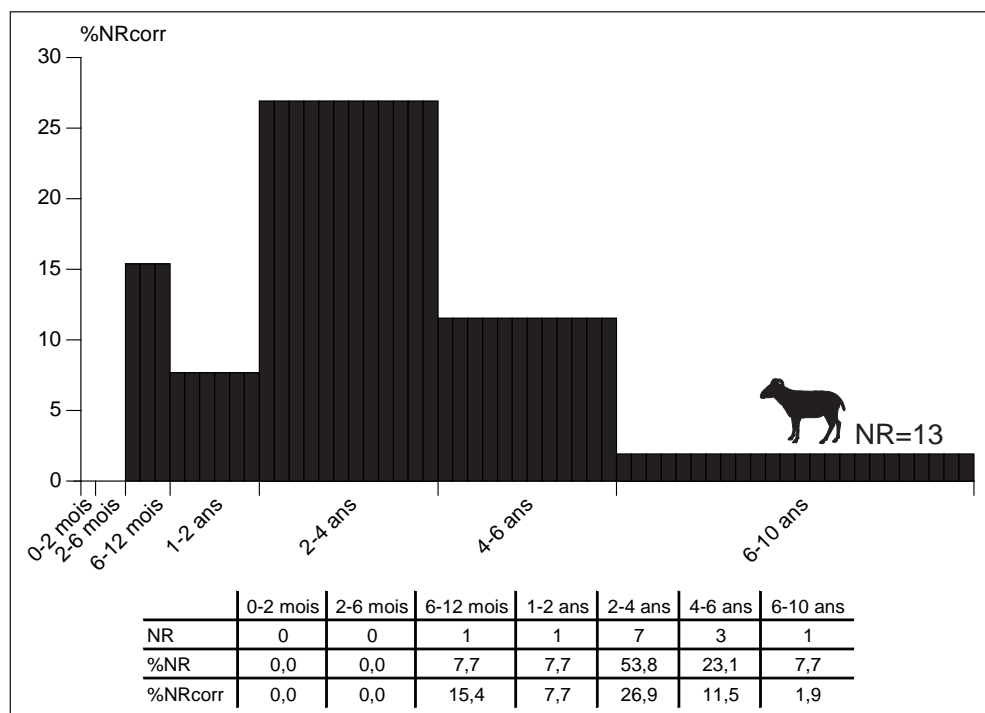


Fig. 38 : Profils d'abattage d'après les données dentaires des ovins pour le fossé 200, La Tène C2.
(en haut : graphe en % NR corrigé ; en bas : tableau des données brutes).

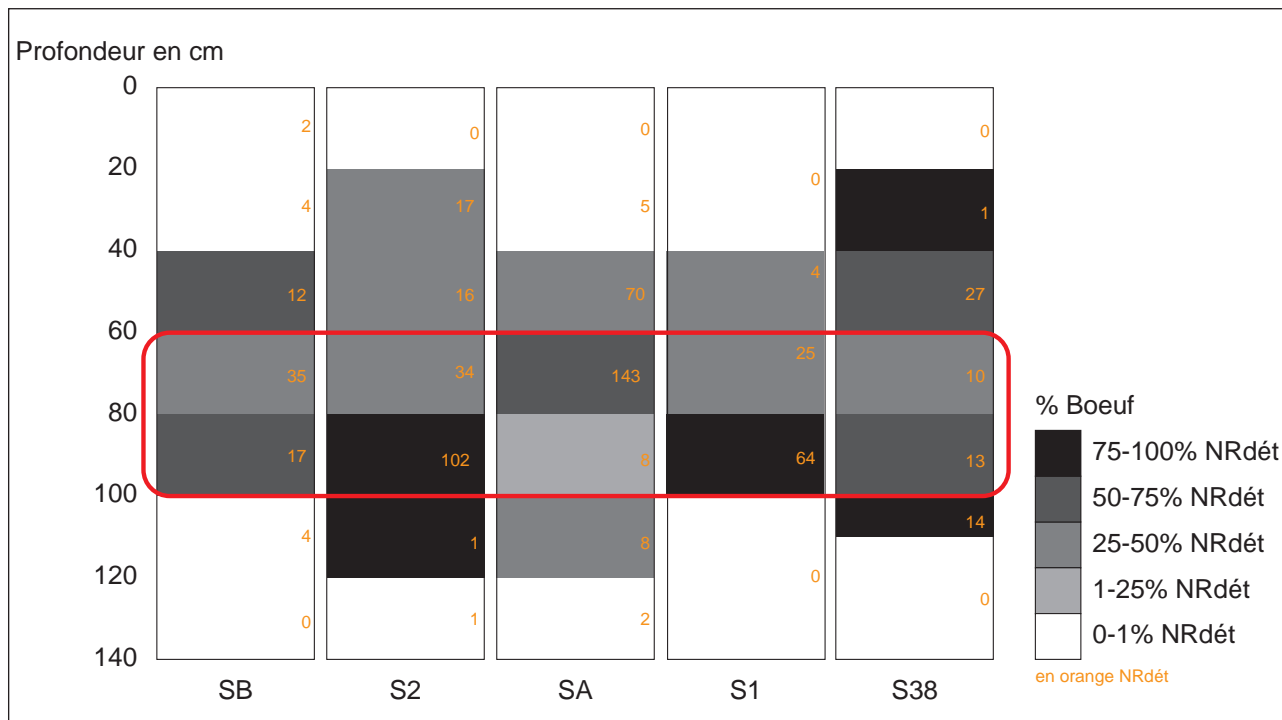


Fig. 39: Répartition stratigraphique des ossements de bovins, S38 à SB, Fossé 200, fin La Tène C1.

distribution normale dans un squelette de bovin, à l'exception d'une légère surreprésentation des vertèbres (fig. 40 et 41). C'est donc bien la quasi intégralité des quatre squelettes qui compose notre amas.

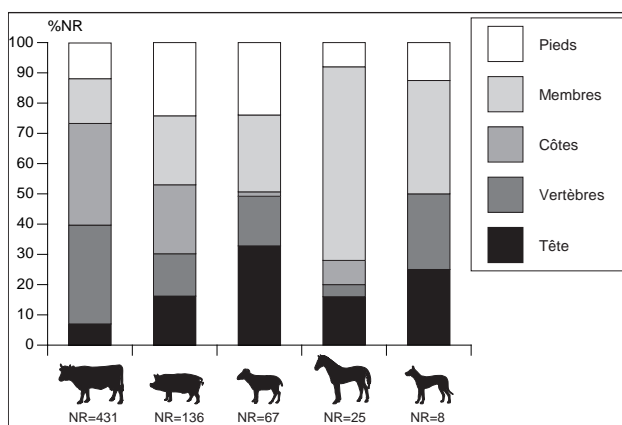


Fig. 40: Distribution anatomique chez les cinq mammifères domestiques, en nombre de restes issus de l'amas de bœuf, fin La Tène C1,

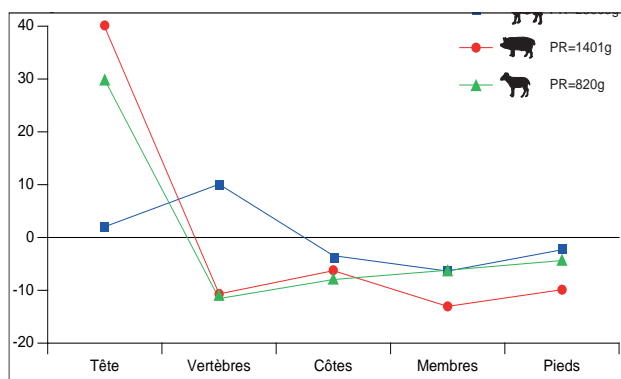


Fig. 41: Distribution anatomique chez les trois mammifères domestiques, en poids de restes issus de l'amas de bœuf, fin La Tène C1,

Plusieurs des ossements bovins portent des traces de découps relevant de toute la chaîne opératoire bouchère. Le prélèvement de la peau est attesté à la fois sur le crâne, les mandibules et les phalanges 1 et 2. Le crâne et l'atlas livrent les stigmates de leur désarticulation sous la forme de coups de couteau. Cette même action et ces mêmes traces touchent le coxal et le fémur. Enfin la décarnisation est visible sur chacun des os des membres antérieurs et postérieurs, de la scapula au radius et du coxal au tibia. Les

côtes ont également subi cette opération qui a été effectuée d'une manière particulière sur un certain nombre d'entre elles. En effet, deux lots de côtes, six droites et huit gauches, se caractérisent par de fines incisions laissées par un couteau dans le dernier tiers de l'os, sur sa face externe. L'interprétation de ces traces est peu évidente. Elles peuvent relever d'une préparation visant à séparer les côtes du sternum ou bien de la simple décarnisation des ces mêmes côtes. La présence d'autres incisions fines sur d'autres parties de ces dernières, tant sur leur face interne que sur leur face externe, donnerait la préférence à la seconde hypothèse. Même si nous ne pouvons l'affirmer de manière certaine, l'observation des traces inférieures nous laisse penser que l'action de découpe a été réalisée en une fois sur toute la longueur de la cage thoracique, dans un seul geste. Les traces nous montrent donc bien les étapes de la découpe de ces carcasses, depuis le prélèvement de la peau à la récupération de la viande. La seule action non renseignée est l'abattage des animaux. L'unique crâne complet appartenant à l'amas ne présente aucune trace de cette étape, régulièrement identifiée par l'impact laissé par la hache ou la cognée sur le frontal de l'animal tué.

Même si les âges d'abattage nous montrent une viande de piètre qualité, notamment pour les deux individus de plus de dix ans, il n'en reste pas moins que celle-ci a été récupérée et probablement consommée. Se pose alors la question de la destination de la viande issue de l'abattage de quatre animaux de grande taille. Ce type d'amas n'est pas inédit. Des ensembles ressemblants ont par exemple été mis au jour pour La Tène moyenne à Chevières «La Plaine du Marais» et Verberie «Les Gâts»²⁴. Dans le premier cas une fosse a livré les restes de six bœufs, dans le second ce sont ceux de quatre chevaux et quatre bœufs qui sont issus d'une structure similaire. Dans les fossés de l'établissement rural de Cergy «ZAC des Linandes», ce sont ceux d'un bœuf et de trois chevaux qui offrent un exemple pour La Tène finale²⁵. Pour chacun de ces sites, les dépôts sont interprétés comme les reliefs de repas

collectifs. Cette interprétation peut également être faite pour l'ensemble de Villiers-le-Bel.

Nous devons ajouter que le sondage 1 a livré à la même profondeur que l'amas de bœuf, un lot d'ossements de porc appartenant sans doute à un même animal de moins de un an. La disposition des os montre là encore que nous n'avons pas affaire à un cadavre mais plus probablement aux restes de la carcasse d'un individu consommé, et ce malgré l'absence de trace de découpe. Il est donc plus que probable que ce jeune cochon fasse partie des victimes du repas collectif.

4 – L'amas de porc, début de La Tène D1

Les couches supérieures de la section de fossé comprise entre les sondages F et G a livré elle aussi un amas osseux fortement sélectionné puisqu'il est composé quasi exclusivement de restes porcins. À l'instar de l'amas précédent, celui-ci couvre également une dizaine de mètres et se développe sur une profondeur d'une soixantaine de centimètres, dès les niveaux supérieurs de remplissage du fossé.

Nous avons pu dénombrer un minimum de 12 individus. Les données dentaires nous indiquent que la très grande majorité de ces animaux est âgée de 8-10 mois. Seuls deux individus font exception, un très jeune porcelet de 2-4 mois et un individu plus vieux dont l'âge n'a pu être estimé correctement du fait d'une pathologie touchant les dents.

L'analyse de la représentation des différentes parties du squelette ne montre qu'une légère sur-représentation de la tête, tous les autres éléments étant présents dans des proportions proches de la normale (fig. 42 et 43). Ceci peut en partie s'expliquer par l'état de conservation des ossements. En effet, nous avons pu voir que le substrat avait malmené l'intégralité des vestiges du site. Les os de ces cochons ont été touchés de la même manière avec pour effet aggravant la fragilité induite par la jeunesse des sujets. En résulte une destruction légèrement plus importante des différents os du squelette à l'exception des dents (et donc des mandibules et du crâne).

24 *Ibid.* note 6 p. 18.

25 *Ibid.* note 3 p. 15.

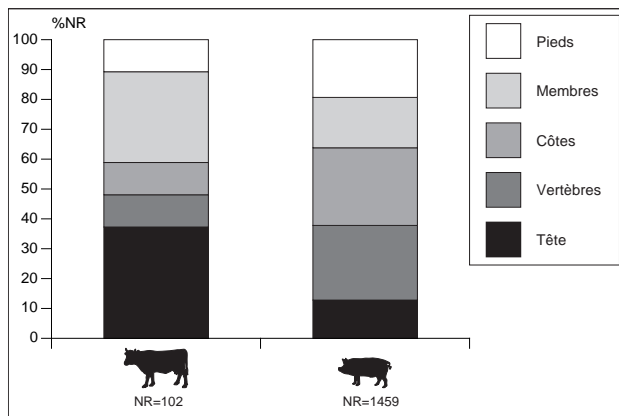


Fig. 42: Distribution anatomique chez le bœuf et le porc, en nombre de restes issus de l'amas de porc, début La Tène D1.

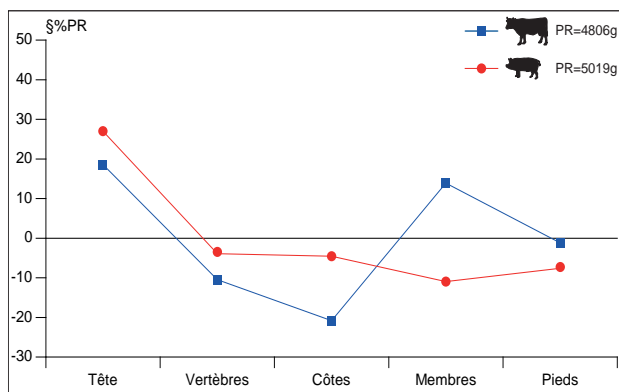


Fig. 43: Distribution anatomique chez le bœuf et le porc, en poids de restes issus de l'amas de porc, début La Tène D1.

Le jeune âge des individus concernés et une distribution anatomique proche de la normale pourraient faire penser à des cadavres d'animaux victimes de la mortalité juvénile ou d'une maladie. Hors comme pour les bovins précédents, les ossements de ces cochons ne forment pas des carcasses en connexion, même si un certain nombre d'ensembles anatomiques ont pu être repérés lors de la fouille. Il s'agit de l'épandage, probablement en une seule fois, de morceaux de carcasses et d'os désolidarisés. La similitude de dépôt entre cet ensemble et celui de bovins nous incite à émettre une hypothèse identique quant à l'origine de sa constitution. Il se pourrait que nous soyons là aussi face aux reliefs d'un repas collectif. Cependant, les choix sont bien différents. D'un côté de grands animaux adultes, de l'autre les jeunes d'une espèce de taille moyenne.

5 – Synthèse et comparaisons

Avec un total de 6535 restes osseux, dont 6088 pour le seul fossé d'enclos (toutes phases confondues), le site de Villiers-le-Bel fait partie des sites ruraux laténiens les mieux documentés. Pour un grand nombre de sites de ce type et de cette période, la moyenne du nombre de restes livrés est d'environ 2000 (pour le Nord de la Gaule²⁶ comme pour l'Ile-de-France²⁷). Cependant, des sites récemment fouillés ont livré des quantités plus importantes de vestiges. Nous pouvons notamment citer le site de Cergy «ZAC des Linandes»²⁸ (Val-d'Oise, La Tène D1, 4649 restes) ou bien celui de Saint-Denis «Le Haut du Tartre»/Pierrefitte-sur-Seine «Les Tartres»²⁹ (Seine-Saint-Denis, La Tène C2-D1, 15926 restes). Le site de Villiers-le-Bel rejoint donc ces sites fortement documentés.

Si l'emprise de fouille n'a pas permis la fouille intégrale de l'enclos mais seulement des ses trois-quarts, l'analyse spatiale des vestiges fauniques dans le fossé nous a tout de même permis plusieurs observations et une appréhension de l'organisation des rejets dans le comblement principale daté de La Tène C2.

Quatre zones de concentration apparente de mobilier ostéologique ont été mises en évidence. Deux d'entre elles, l'une dans le fossé ouest, la seconde dans le fossé est, n'ont pas livré de caractères facilement interprétables. Leur singularité réside dans la présence plus importante d'ossements appartenant aux deux grandes espèces du cheptel, le boeuf et le cheval. La zone ouest se distingue par une concentration en son sein de plusieurs crânes de bovins et d'équidés, ce qui explique un poids de restes élevé et remarquable en comparaison du reste du fossé.

Une troisième concentration de matériel touche la portion fouillée du fossé méridional. Cependant, hormis une quantité de restes plus importante, aucune caractéristique particulière n'a pu être mise en évidence.

26 Méniel 1996.

27 Auxiette *et al.* 2005.

28 *Ibid.* note 3 p. 15.

29 Elleouet 2009.

Enfin, la zone de concentration sise dans le fossé nord se caractérise par des proportions des principales espèces différentes de l'ensemble du fossé. Alors que dans ce dernier les ossements de bœuf dominant amplement en nombre comme en poids de restes, dans la zone de concentration nord les vestiges porcins font jeu égal en nombre. À cette différence dans les proportions s'ajoutent le plus grand nombre d'ossements présentant des traces de brûlure et la moindre part des os attaqués par les chiens. Tous ces éléments indiquent des rejets plus directs que sur les autres portions du fossé et très probablement en lien avec un dépôt de type domestique. Cette interprétation est renforcée par la concentration des autres matériels archéologiques, comme la céramique, les objets métalliques et surtout le torchis. Tout ceci suggère la présence, à proximité, d'un bâtiment d'habitation. Le fait que nous soyons face à des rejets ayant moins subi les sélections dues à la dynamique de remplissage classique d'un fossé, l'image qui ressort des ossements de cette zone est plus proche des choix alimentaires des occupants du site que celle ressortant de l'ensemble du fossé. Ces choix porteraient donc en priorité sur la viande de bœuf et de porc, tandis que les caprinés ne participeraient que de manière limitée à l'approvisionnement carné. La part du cheval et du chien, tous deux consommés, est encore plus restreinte.

L'analyse des âges d'abattage nous informe elle aussi sur les choix alimentaires, mais aussi d'élevage, des occupants. Chez le porc comme chez le mouton, ce sont les animaux de boucherie qui sont amplement privilégiés. La grande majorité est abattue entre 2 et 4 ans (plus précisément entre 2 et 3) et correspond à des animaux parvenus à maturité pondérale. Quelques sujets de 6-12 mois livrent une viande de très bonne qualité. Enfin, les individus de 4-6 ans, pouvant correspondre aux brebis laitières et/ou à des animaux exploités pour leur laine, sont également nombreux. Chez les cochons, les choix d'abattage se portent sur les individus âgés de 18-24 mois, soit là encore des animaux de boucherie.

Les choix d'abattage chez les bovins sont plus délicats à analyser. En effet, les animaux les mieux représentés sont ceux appartenant aux classes d'âges de 0,5-2 ans, 4-6 ans et 9-11 ans.

Or, la maturité pondérale chez le bœuf est atteinte aux environs de 3-4 ans. L'abattage préférentiel des animaux à la fin de leur seconde année indiquerait une activité bouchère tournée vers la recherche d'une viande de meilleure qualité. L'association des individus de moins de un an et de 4-6 ans peut quant à elle être l'indice d'une exploitation laitière de tout ou partie du troupeau. En effet, dans cette optique les veaux sont gardés auprès de leur mère afin d'assurer la lactation puis abattus au moment du sevrage, d'où la part non négligeable d'individus de moins d'un an (et éventuellement d'une partie des animaux de 1-2 ans). Les animaux âgés de 4 à 6 ans correspondraient alors à ces vaches allaitantes, issues de la réforme laitière. L'hypothèse d'une exploitation laitière du troupeau bovin a déjà été émise pour le site de Cergy «ZAC des Linandes», mais elle apparaît plus clairement à Villiers-le-Bel, déviation RD 10-370. De plus, si l'hypothèse laitière est la bonne pour les deux sites alors nous pouvons observer une gestion légèrement différente. En effet, la réforme des vaches serait plus précoce à Villiers-le-Bel qu'à Cergy, entre 4 et 6 ans pour le premier et entre 6 et 9 ans pour le second.

Il ressort de l'analyse des âges d'abattage des trois principales espèces une image relativement contrastée. D'un côté la gestion du troupeau bovin laisse apparaître une viande de bonne qualité issue d'animaux jeunes (1-2 ans et jeunes victimes de l'abattage post-lactation) associée à une viande moins fine issue de la réforme laitière. De l'autre, porcs et moutons sont consommés à l'âge de leur maturité pondérale, mais quelques individus sont prélevés plus tôt pour offrir une viande de meilleure qualité. Nous avons donc deux qualités de viande qui se côtoient : une viande bovine essentiellement jeune et des viandes porcine et ovine de qualité classique. La seule qualité des viandes ne peut évidemment pas être un critère infallible permettant d'évaluer le statut des occupants d'un site. Cependant, si nous nous basons sur cet élément il apparaît que pour Villiers-le-Bel les choix alimentaires portent sur une viande de qualité, sans pour autant être excellente et trahir un statut très élevé des habitants. Un autre fait intéressant résultant de l'analyse des âges d'abattage est

l'absence chez les trois principaux mammifères domestiques d'animaux de moins de 6 mois. Deux hypothèses s'offrent à nous pour expliquer ce phénomène : soit les vestiges des victimes de la mortalité juvénile ne nous sont pas parvenus du fait de destructions diverses, soit les animaux ne naissent pas sur le site mais y arrivent dans le but d'être exploités qui pour la viande, qui pour le lait, qui pour la laine. Bien sûr nous devons garder à l'esprit qu'un quart du site ne nous a pas été révélé et donc que les zones de rejet des petits cadavres peuvent nous échapper.

À l'instar de Cergy «ZAC des Linandes», le fossé de l'enclos de Villiers-le-Bel a livré deux exemples de pratiques mettant en œuvre l'animal dans un cadre autre que la simple alimentation quotidienne. Deux amas composés des ossements de plusieurs individus d'une même espèce ont été mis au jour sur le côté sud et dans la moitié sud du côté ouest du fossé.

Sur le côté sud, ce sont les restes de quatre bovins qui ont été rejetés dans les premiers temps d'utilisation du fossé (fin de La Tène C1 ou tout début de La Tène C2). L'un d'entre eux avait environ 5 ans, deux autres environ 15 ans. Une partie de la viande a été prélevée, mais l'organisation des ossements, notamment pour le squelette axial, laisse supposer que ce prélèvement n'a pas été aussi poussé que lors d'une découpe bouchère à visée purement alimentaire.

Sur le côté ouest, ce sont les restes d'au moins douze jeunes cochons âgés de 8-10 mois qui ont été identifiés dans les couches de remplissage final du fossé (début de La Tène D1). Là aussi, l'organisation des ossements laisse supposer la consommation d'une partie de la viande. Nous ne sommes pas face à des individus morts suite à une maladie.

Ces deux ensembles posent la question de l'origine de telles accumulations. L'hypothèse de repas collectif est celle qui est mise en avant, notamment par la quantité de viande fournie par ces différentes carcasses. Si ces deux amas relèvent bien de cette pratique, leur composition si différente trahit probablement des occasions elles aussi différentes. En effet, quel rapport entre la viande de quatre bovins de réforme précoce et tardive et celle issue d'une douzaine

de porcelets? De même, du point de vue du cheptel quel rapport entre l'abattage de quatre individus adultes et même âgés et celui de douze jeunes, base du futur troupeau? La question est identique concernant la symbolique.

Ce type de dépôt est généralement rencontré sur des sites à vocation communautaire. C'est en effet le cas des divers sanctuaires étudiés dans le Nord de la Gaule (Ribemont-sur-Ancre, Gournay-sur-Aronde, Saint-Just-en-Chaussée), de la place du village d'Acy-Romance ou encore de certaines nécropoles³⁰. Dans le cadre des établissements ruraux, les exemples sont plus rares ou du moins ont-ils moins attiré l'attention dans les différentes publications consultées. Aux exemples de Chevrières «La Plaine du Marais» et Verberie «Les Gâts» déjà mentionnés lors de l'étude de l'amas de bovins, nous pouvons ajouter celui de Longueil-Sainte-Marie «Le Vivier des Grès»³¹. Le fossé de cette résidence, qui apparaît de haut rang, a livré les rachis, côtes et bassins d'une vache et d'un veau, ainsi que le squelette d'une brebis adulte. Ces vestiges ont là encore été interprétés comme d'éventuelles traces d'un repas collectif.

La question de telles pratiques a également été posée pour le site de Fontenay-en-Parisis «La Lampe», situé à 6 km au nord de Villiers-le-Bel et lui aussi daté de La Tène moyenne³². Le statut du site n'a pas pu être défini de manière précise du fait du petit nombre de structures mises au jour (deux tronçons de fossés, deux silos et les trous de poteaux de deux bâtiments). Cependant le matériel est abondant et comporte certains éléments particuliers, tels des potins. Les vestiges fauniques proviennent pour la plus grande part du plus long des deux tronçons de fossés. Si des zones de concentrations apparaissent dans ce fossé, il n'est pas fait mention de carcasses ou de morceaux de carcasses. Cependant la quantité de matériel, la qualité des viandes (essentiellement issues d'animaux de boucherie) et celle des autres vestiges (céramique et métal) laissent penser que le site a pu être le lieu de rassemblements communautaires. Les données archéozoologiques montrent également des

30 Méniel 2001.

31 *Ibid.* note 6 p. 18.

32 *Ibid.* note 10 p. 19.

points de ressemblances avec les sites d'habitat groupé de Bobigny et Nanterre.

Si l'idée de repas communautaires est la plus à même d'expliquer ces dépôts particuliers, alors à quelle logique répondent-ils? En s'appuyant sur les textes d'auteurs antiques (à l'exemple du grec Posidonios), l'hypothèse de rassemblements organisés par les membres de l'aristocratie gauloise pour asseoir leur pouvoir est régulièrement évoquée. S'il apparaît, toujours d'après les textes, que des enclos étaient construits pour cette occasion, nous pouvons également penser qu'un certain nombre de ces manifestations avait lieu dans l'enceinte même des résidences de ces personnages de haut rang. Or, si nous reprenons les quelques exemples mentionnés plus haut, nous nous apercevons que des trois sites de la moyenne vallée de l'Oise livrant des vestiges de banquet, seul l'établissement de Longueil-Sainte-Marie «Le Vivier à Grès» est classé parmi les fermes de rang 1. Ceux de Chevrières «La Plaine du Marais» et de Verberie «Les Gâts» font partie des sites de rang 3³³. De la même manière, si le site de Cergy «ZAC des Linandes» a livré un certain nombre d'indices indiquant un statut de bonne tenue, il ne semble cependant pas pouvoir être classé parmi les sites les plus prestigieux. Il semble donc, d'après les données actuelles, que le lien entre vestiges de repas collectif et statut du site et de ses occupants n'apparaisse pas clairement. Une différence, à laquelle il faudra faire attention lors des études futures, concerne les structures ayant reçus ces vestiges. Pour les fermes de Verberie et Chevrières il s'agit de fosses, alors que sur les sites de Longueil-Sainte-Marie et Cergy ce sont les fossés. Une distinction peut-elle être effectuée sur cette base?

Une seconde hypothèse permettant de fournir une explication à ces rejets particuliers découle de leur rapprochement avec ce qui est rencontré sur les sanctuaires. Si les dépôts ne sont pas exactement identiques (présence des pieds des animaux sur les fermes, absence dans les sanctuaires), un certain nombre de points communs apparaissent, notamment dans le choix des espèces et l'âge des individus. Se pose alors la question de pratiques culturelles et/ou

rituelles à une échelle plus réduite que celle des sanctuaires. Elles toucheraient une cellule élargie, dépassant les seuls habitants du site, sans toutefois atteindre l'aura des sanctuaires. Nous toucherions alors un point plus «personnel» de la culture immatérielle gauloise.

Conclusion

Avec environ 2 600 restes (sur 6 535) appartenant à la seule phase La Tène C2, le site de Villiers apporte de nouvelles informations touchant à l'élevage et l'alimentation carnée des Gaulois du nord de l'actuelle Ile-de-France. Le site se caractérise par un nombre de vestiges osseux important, d'autant qu'un quart de l'enclos se trouvait hors emprise de fouille. Le site aurait donc pu livrer potentiellement près de 8 000 vestiges, ce qui en fait un des établissements ruraux laténiens les mieux documentés.

Les espèces présentes appartiennent en très grande majorité aux cinq mammifères domestiques entrant habituellement dans l'alimentation gauloise. Le bœuf domine le groupe suivi du porc et des caprinés. Cheval et chien sont particulièrement peu représentés puisqu'ils ne comptent respectivement que pour 3 et 0,9 % du nombre de restes déterminés. Ces proportions sont près de quatre fois plus faibles que sur le site de Cergy «ZAC des Linandes», légèrement postérieur. Une accumulation de matériel a pu être repérée dans la portion nord du fossé d'enclos pour La Tène C2 et mise en relation avec un bâtiment probablement proche mais non appréhendé. Les rejets de cette zone se distinguent du reste du fossé par un jeu égal, en nombre de restes, entre le bœuf et le porc. Ce sont les choix alimentaires des occupants du site qui sont ici illustrés.

L'analyse des âges d'abattage offre des types d'exploitation légèrement différents selon l'espèce considérée. Chez le porc, la préférence est largement donnée aux animaux de boucherie qui sont abattus dans la seconde moitié de leur deuxième année. Les animaux plus jeunes, livrant une viande de qualité supérieure, sont légèrement plus nombreux dans les rejets domestiques. Chez les caprinés (essentiellement le mouton), l'abattage touche en premier lieu les animaux de 2-4 ans (animaux de boucherie) puis ceux de

33 Malrain, Pinard 2006.

6-12 mois et enfin ceux de 4-6 ans. Enfin, chez le bœuf, il semble coexister deux productions principales : la première tournée vers une viande de qualité issue d'individus de 1-2 ans et la deuxième tournée vers une production laitière avec une réforme précoce des vaches à 4-6 ans. Quelques animaux utilisés pour leur force sont également présents. L'absence, chez ces trois espèces, de jeunes de moins de 6 mois pose la question des naissances sur le site. Les animaux y sont-ils produits ou seulement apportés pour être exploités ?

La présence de deux amas, non contemporain, dans la partie sud-est du site pose, comme à Cergy, la question de l'organisation de repas collectifs. En effet, ce sont quatre bovins et une douzaine de porcelets qui ont été victimes d'un abattage de masse. La quantité de viande prélevée lors de ces deux occasions est trop importante pour la simple cellule familiale. Ce genre de manifestation se rencontre de plus en plus fréquemment sur les sites d'établissements ruraux. La multiplication des cas et leur étude nous permettront peut-être de définir les circonstances amenant à ces repas communautaires.

La qualité de la viande de bœuf, la bonne place de celle de porc et la faible présence du cheval indiquent un statut relativement élevé. La gestion des caprinés et des porcs nuance légèrement l'idée de richesse, puisque pour ces deux espèces la viande est fournie essentiellement par des animaux parvenus à maturité pondérale. Cependant, de jeunes individus de 6 à 12 mois sont également consommés. L'image livrée par les données archéozoologiques est donc celle d'occupants bénéficiant d'une certaine aisance, mais il reste difficile de parler de richesse.

Bibliographie

Auxiette 2000 : AUXIETTE (G.), 2000 – Les rejets non domestiques des établissements ruraux du Hallstatt final à La Tène finale dans la vallée de l'Aisne et de la Vesle, *in* MARION (S.) et BLANCQUAERT (G.), 2000 – Les installations agricoles de l'âge du fer en France septentrionale, Éditions Rue d'Ulm, Paris, volume 6 : 169-180.

Auxiette et al. 2005 : AUXIETTE (G.), HORARD-HERBIN (M.-P.), FRÈRE (S.), MÉNIEL (P.) et YVINEC (J.-H.), 2005 – Les Gaulois d'Ile-de-France au second âge du fer et leur cheptel : état de la question. *Revue archéologique du centre de la France*, suppl. 26 (xxvi^e Colloque de l'AFEAF) : 261-272.

Daveau, Yvynec 2001 : DAVEAU (I.) et YVINEC (J.-H.), 2001 – L'occupation protohistorique du site de Fontenay-en-Parisis «La Lampe» (Val-d'Oise) : un lieu de consommation collective à La Tène C1/C2. *Revue archéologique du Centre de la France*, 40 : 69-102.

Ducos 1968 : DUCOS (P.), 1968 – L'origine des animaux domestiques en Palestine, Bordeaux. Elleouet (M.), 2009 – Étude archéozoologique de l'établissement rural du second âge du fer «Le Haut du Tartre» à Saint-Denis, Mémoire de Master 1 Archéologie et Histoire, Université Rennes 2.

Elleouet 2009 : ELLEOUE (M.), 2009. Étude archéozoologique de l'établissement rural du second âge du fer «Le Haut du Tartre» à Saint-Denis, Mémoire de Master 1 Archéologie et Histoire, Université Rennes 2.

Frère 2010 : FRÈRE (S.), 2010 – Rapport d'étude archéozoologique de l'établissement rural laténien des «Tartres» (Saint-Denis, Pierrefitte) Seine-Saint-Denis.

Horard-Herbin et al. 2000 : HORARD-HERBIN (M.-P.), MÉNIEL (P.) et SÉGUIER (J.-M.), 2000 – La faune de dix sites ruraux de la fin de l'âge du fer de La Bassée (Seine-et-Marne), *in* MARION (S.) et BLANCQUAERT (G.) (éd.),

2000 – Les installations agricoles de l'âge du fer en France septentrionale, *Études d'Histoire et d'Archéologie* 6 : 181–208

Jouanin 2009a : JOUANIN (G.), 2009 – Rapport d'étude archéozoologique du site de Cagny «Projet Décathlon», Calvados, Hallstatt final/La Tène ancienne.

Jouanin 2009b : JOUANIN (G.), 2009 – Cergy, ZAC des Linandes : étude de la faune. in : PARIAT (J.-G.) (dir.), 2009 – Cergy «ZAC des Linandes», Département du Val-d'Oise (95). Un établissement rural de la fin de l'âge du fer. Rapport final d'opération du 01/09/08 au 29/11/08. SDAVO, SRAIF, Saint-Ouen-l'Aumône.

Lepetz 1996 : LEPETZ (S.), 1996. L'animal dans la société gallo-romaine de la France du Nord, *Revue Archéologique de Picardie*, numéro spécial 12 : 174.

Lepetz, Oueslati 2003 : LEPETS (S.) et OUESLATI (T.), 2003 – La consommation de viande dans les villes romaines d'Île-de-France au I^{er} siècle. Les cas de Meaux et de Paris (Seine-et-Marne et Seine). *Revue archéologique du Centre de la France*, 42 : 41–59.

Malrain et al. 2002 : MALRAIN (F.), MATTERNE (V.), *et al.* (2002). Les paysans gaulois, éd. Errance (collection des Hespérides), Paris.

Malrain et al. 2006 : MALRAIN (F.), MATTERNE (V.) et MÉNIEL (P.), 2006 – Le second âge du fer, in FERDIÈRE (A.), MALRAIN (F.), MATTERNE (V.), MÉNIEL (P.) et NISSEN-JAUBERT (A.), 2006, – Histoire de l'agriculture en Gaule, Paris, éditions errance : 230.

Malrain, Pinard 2006 : MALRAIN (F.) et PINARD (E.) (dir.), 2006 – Les sites laténiens de la moyenne vallée de l'Oise du V^e au I^{er} s. avant notre ère. *Revue archéologique de Picardie*, numéro spécial 23 : 241–254.

Méniel 1994 : MÉNIEL (P.), 1994 – L'apport des restes animaux à l'analyse spatiale des sites fossoyés du second âge du fer, in AUXIETTE

(G.), HACHEM (L.), Robert (B.) et BOCQUET (A.) (éd.), *Espaces physiques espaces sociaux dans l'analyse interne des sites du Néolithiques à l'âge du fer*, 119^e congrès CTHS, Amiens.

Méniel 1996 : MÉNIEL (P.), 1996 – Les faunes des établissements ruraux de La Tène finale dans le nord de la France, *Revue Archéologique de Picardie*, numéro spécial 11 : 309–316.

Méniel 2001 : MÉNIEL (P.), 2001 – Les Gaulois et les Animaux : élevage, repas et sacrifice. Paris, éditions Errance.

Méniel 2006 : MÉNIEL (P.), 2006 – La faune, *Revue Archéologique de Picardie* numéro spécial 23 : 181–201.

Méniel et al. 2009 : MÉNIEL (P.), AUXIETTE (G.), GERMINET (D.), BAUDRY (A.) et HORARD-HERBIN (M.-P.), 2009 – Une base de données sur les études de faunes des établissements ruraux en Gaule, in BERTRAND (I.), DUVAL (A.), GOMEZ DE SOTO (J.) et MAGUER (P.), 2009 – Habitats et paysages ruraux en Gaule et regards sur d'autres régions du monde celtique, Actes du xxxi^e colloque international de l'Association Française pour l'Étude de l'Âge du Fer, Tome 2 : 413–442.

Yvinec 1995 : YVINEC (J.-H.), 1995 – Rapport préliminaire à l'étude archéozoologique du site de Bobigny «Avicenne », fin de La Tène moyenne.

Petite notice méthodologique.

L'étude archéozoologique a été menée au sein du Laboratoire d'Archéozoologie de Compiègne, au sein du Centre de Recherche Archéologique de la Vallée de l'Oise (CRAVO).

La collection de référence utilisée est celle de ce même laboratoire.

L'enregistrement a été réalisé de manière classique. Chaque fragment osseux a été identifié anatomiquement et spécifiquement, pesé (en grammes, sur balance à affichage digital au gramme près) et mesuré lorsque cela était possible. Ont également été enregistrées la fragmentation, la latéralisation et les données relatives à l'âge (épiphysation, éruption et usure dentaires). Les différentes traces observées ont également fait l'objet d'un enregistrement : traces de coupes, traces de brûlures, traces liées à la taphonomie et à la vie de l'os après son rejet (action des charognards, des intempéries, des radicales des plantes etc.). Cet enregistrement a été accompagné par une prise de vue numérique lorsque l'archéozoologue l'a jugé nécessaire.

Les tableaux de décompte présentés dans l'étude ne font pas mention des restes de poissons ni de coquillages. Ces derniers ont été exclus des décomptes dans la mesure où il ne s'agit que des restes issus de la collecte à la main et non du tamisage. Leur nombre n'est donc pas représentatif d'une quelconque réalité. Nous nous contentons de les citer dans le corps du texte. En revanche, ils apparaissent dans les tableaux d'inventaire.

Les ensembles anatomiques et squelettes complets sont comptés comme un seul reste et non comme l'addition des différents os les composant.

Estimations des âges d'abattage

- les âges d'abattages épiphysaires ont été réalisés à partir des âges d'épiphysation donnés par R. Barone en 1986.
- les âges d'abattages dentaires ont été réalisés à partir des méthodes de Grant 1976, de Payne en 1973 pour le mouton, de Rowley-Conwy en 1993

pour le porc et de Lepetz 1996. Ont également été utilisés les âges d'éruption dentaire de Schmidt

Estimations des hauteurs au garrot

- pour le bœuf : Matolcsi 1970
- pour le cheval : Kiesewalter 1888
- pour le porc : Teichert 1969
- pour le mouton et les caprinés indéterminés : Teichert 1975
- pour la chèvre : Schramm 1967
- pour le chien : Koudelka 1885
- pour le cerf : Godynicki 1965

Tous ces indices sont résumés dans le tableau page 58 du *Manuel d'archéozoologie* de L. Chaix et P. Méniel 2001.

Estimation de l'indice de taille de la poule

Clavel *et al.* 1996.

Ostéométrie

Les mesures ont été prises selon le train de mesure utilisé au sein du Laboratoire d'Archéozoologie de Compiègne. Ce train de mesure est adapté de celui mis en place par von den Driesch 1976. Seul le cheval fait exception. Dans son cas ce sont les mesures mises en place par Eisenmann *et al.* 1988 qui ont été utilisées. Les mesures sont prises dans la majorité des cas au pied à coulisse à affichage digital au 1/100 de mm. Ont également été utilisés le pied à coulisse au 1/10 de mm pour les grandes pièces anatomiques, ainsi que le mètre-ruban de couturière pour la mesure des circonférences (chevilles osseuses).

Les données ostéométriques ainsi que l'intégralité des tableaux de décomptes peuvent être fournis sur demande : jouanin_gaetan79@yahoo.fr

Nota : cette notice a été réalisée afin d'être intégrée à toutes les études archéozoologiques réalisées. Elle renseigne sur les méthodes systématiquement appliquées lors de ces études. Les méthodes mises en œuvre ponctuellement, suivant les nécessités de l'étude, sont mentionnées au sein du texte et en bibliographie.

Bibliographie méthodologique :

Barone 1986 : BARONE (R.), 1986 – Anatomie comparée des mammifères domestiques, Vigot Frères, Paris.

Chaix & Méniel 2001 : CHAIX (L.), MÉNIEL (P.), 2001 – Archéozoologie. Les animaux et l'archéologie, Errance, Paris.

Clavel *et al.* 1996 : CLAVEL (B.), LEPETZ (S.), MARINVAL-VIGNE (M.-C.), YVINE (J.-H.), 1996 – Évolution de la taille et de la morphologie du coq au cours des périodes historiques en France du Nord, *Ethnozootechnie*, 58 : 2-12.

Driesch (von den) 1976 : DRIESCH (VON DEN) (A.), 1976 – A guide to measurement of animal bones from archaeological sites, Peabody Museum, 1, Harvard University.

Eisenmann *et al.* 1988 : EISENMANN (V.), ALBERDI (M. T.), DE GIULI (C.) & STAESCHE (U.), 1988 – Studying fossil horses, Vol. 1 : Methodology, E. J. Brill, Leiden, New York, Kobenhavn, Köln.

Grant 1976 : GRANT (A.), 1976 – The use of tooth wear as a guide the age of domestic animals, a brief explanation, in Cunliffe B., Excavations at Portshester Castle, Reports of the Research Committee of the Society of Antiquaries of London : 437-450.

Lepetz 1996 : LEPETZ (S.), 1996 – L'animal dans la société gallo-romaine de la France du Nord, *Revue Archéologique de Picardie*, n° spécial 12, Amiens.

Rowley-Conwy 1993 : ROWLEY-CONWY (P.), 1993 – Season and reason: the case for a regional interpretation of mesolithic settlements patterns, *in* PETRKIN (G. L.), BRICKER (H.) & MELLARS (P.), Hunting and animal exploitation in later Paleolithic and Mesolithic of Eurasia : 179-188.

Annexe 4

Étude des restes humains

Par

Jean-Gabriel Pariat (SDAVO)

Les données anthropologiques collectées lors du diagnostic et de la fouille ont été rassemblées dans cette partie. Il s'agit de restes humains appartenant à des cadavres plus ou moins complets issus de deux types de structures : des silos et un fossé d'enclos.

Ces contextes d'apparition soulèvent différentes interrogations. Qui sont les inhumés représentés par les ossements découverts ? Dans quelles circonstances ont-ils trouvé la mort ? Enfin, quel sort a été réservé aux cadavres ?

Les silos découverts sur le site ne sont pas strictement contemporains les uns des autres et certains ont d'ailleurs une histoire longue qui commence bien avant La Tène moyenne, période à partir de laquelle le site est délimité par un enclos. Les ossements sont issus des remplissages des silos et du fossé d'enclos. La présente étude suit donc le découpage chronologique des différentes occupations.

I – La Tène ancienne

La mécanisation des travaux de terrain, en particulier lors du diagnostic, a rendu difficile la fouille en place des ossements isolés, ce d'autant qu'ils ont souvent été identifiés *a posteriori* lors des études faisant suite aux opérations de terrain.

Trois silos ont livré des vestiges humains (fig. 1). L'un d'entre eux, découvert en 2008 lors du diagnostic, abrite un squelette presque complet (F15) attribué à La Tène ancienne.

I.1 – Le silo F15 : contexte et répartition spatiale des restes

Le silo F15 se situe à l'est de l'enclos (Fo 200), à environ 5 m au nord de l'actuel chemin du Coudray (fig. 1).

Le diamètre à l'ouverture de cette fosse est de 1,90 m pour un diamètre à la base de 2,30 m. En plan, cette structure présente un contour circulaire (fig. 2). En coupe, son profil s'évase du haut vers le bas, et sa profondeur atteint 1,50 m. Le comblement se caractérise par une alternance de couches à composante limoneuse parmi lesquelles les vestiges abondent. Trois bas de

patte de cheval et un pot miniature proviennent du comblement supérieur. Les restes d'un squelette humain sont apparus à 1 m environ, sous le niveau de décapage, dans une couche de limon sableux gris de 0,60 m d'épaisseur. Ainsi, le défunt ne repose pas directement sur le fond de fosse dont il est distant de 0,40 m.

Seul un élément métallique, une possible fibule, est associé aux ossements. Son état de fragmentation rend difficile toute attribution chronologique. Un pot miniature issu de la partie supérieure du remplissage renvoie probablement à La Tène ancienne ou au plus tard à La Tène moyenne, mais il ne se trouve pas dans la même couche que le squelette, apparu 90 cm au-dessous (cf. annexe 2).

Une datation radiocarbone sur os humain a donc été entreprise afin d'obtenir une attribution chronologique pour le squelette : GrA 39969 – 2300 ± 25 BP soit 406–235 av. J.-C., avec un maximum de probabilité entre 406 et 357 av. J.-C. L'inhumation du corps daterait donc de La Tène ancienne.

I.2 – Orientation et position d'inhumation

Le sujet est orienté nord-est/sud-ouest, la tête au nord-est et la face regardant vers le nord (fig. 3 et 4). Il est en position fléchie. La moitié supérieure du corps repose sur le ventre, tandis que la moitié inférieure est fléchie sur le côté droit.

La main gauche, sous l'abdomen, se trouve dans le prolongement de l'avant-bras formant avec le bras un angle de 90°. À droite, l'avant-bras se trouve sur le bas du dos au niveau des vertèbres lombaires. Son degré de flexion par rapport au bras est d'environ 60°. Autrement dit, l'individu avait une main (la gauche) sous le ventre et l'autre (la droite) dans le dos.

La flexion des membres inférieurs n'est pas observable, les fémurs ayant été déplacés lors du décapage.

I.3 – Conservation et perturbations

L'état général de l'os est bon, bien qu'il soit très friable. Les surfaces osseuses sont présentes, et

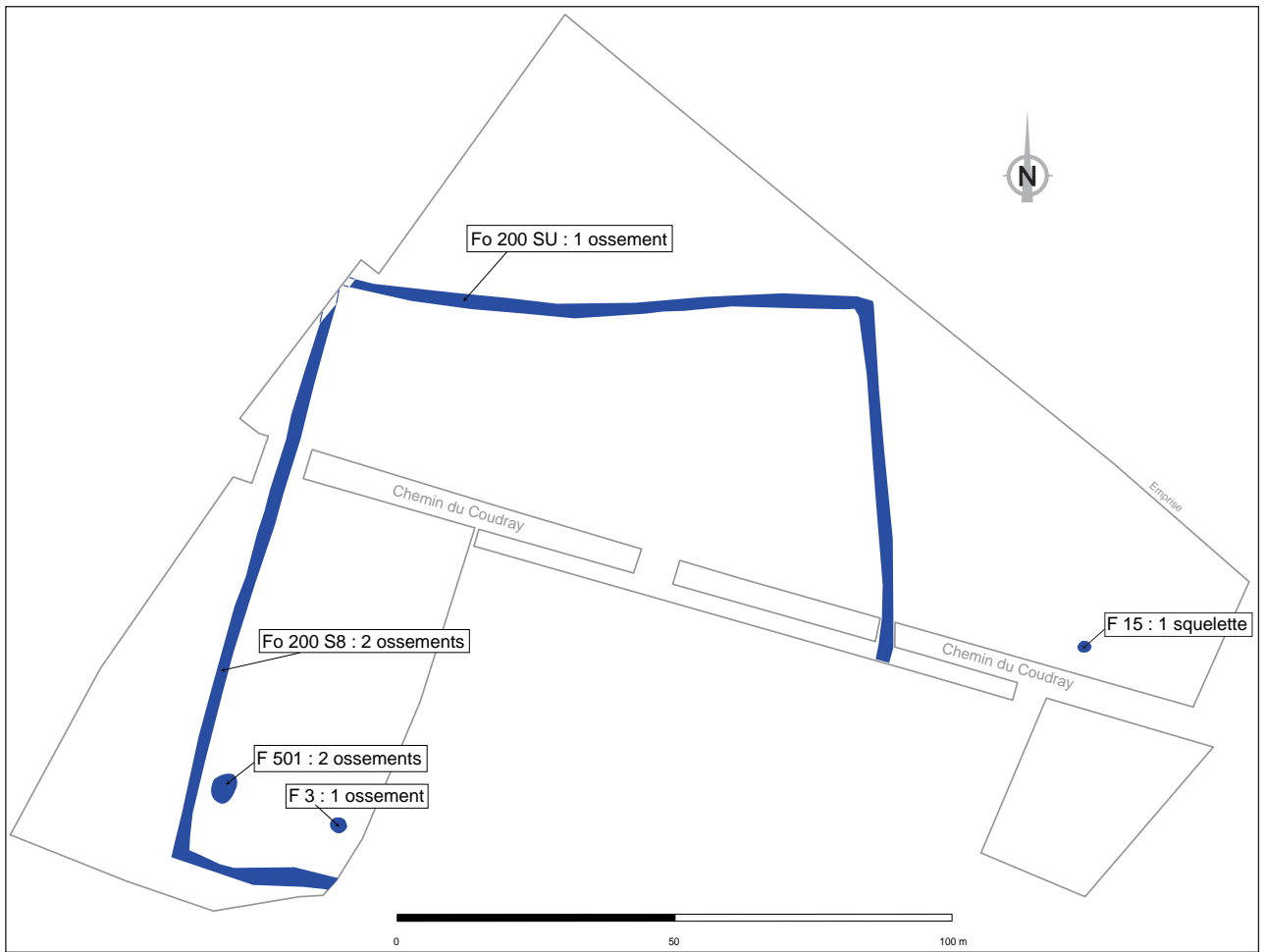


Fig. 1 : Localisation des ossements humains gaulois découverts sur le site.

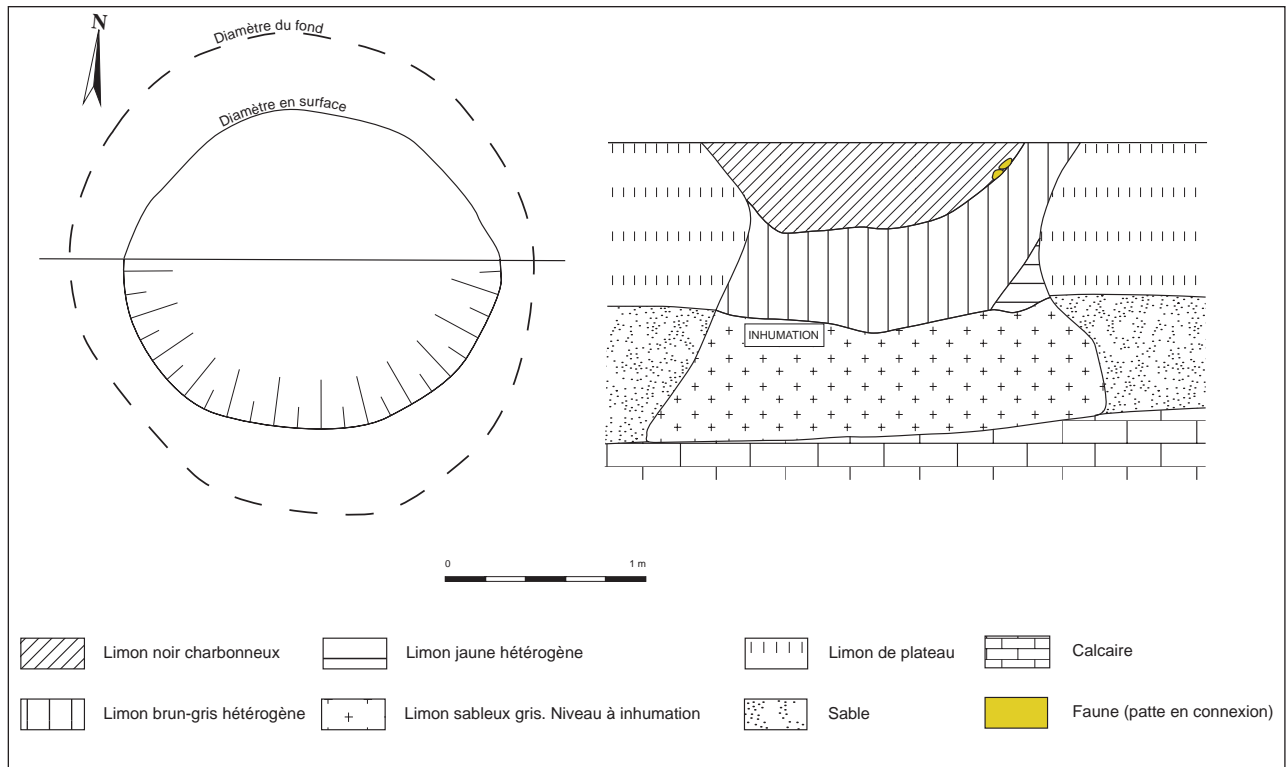


Fig. 2 : Plan et coupe du silo F15.



Fig. 3: Squelette humain découvert dans le silo F15 (Cliché : J.-G. Pariat).

ne sont qu'exceptionnellement altérées. Le tissu spongieux est toujours présent.

Le squelette axial est globalement complet. Aucun manque n'a été observé au niveau de la tête osseuse, les petits os des parois internes de l'oreille étant conservés. Les vertèbres cervicales sont présentes. Malgré une forte fragmentation,

il ne semble manquer aucune vertèbre des étages thoracique et lombaire. La plupart des côtes droites et gauches ont été retrouvées. Le manubrium et le corps du sternum figurent également parmi les restes conservés. En revanche, le processus xyphoïde ainsi que le sacrum manquent. De même, nous avons constaté l'absence du coccyx, exception faite de la première vertèbre.

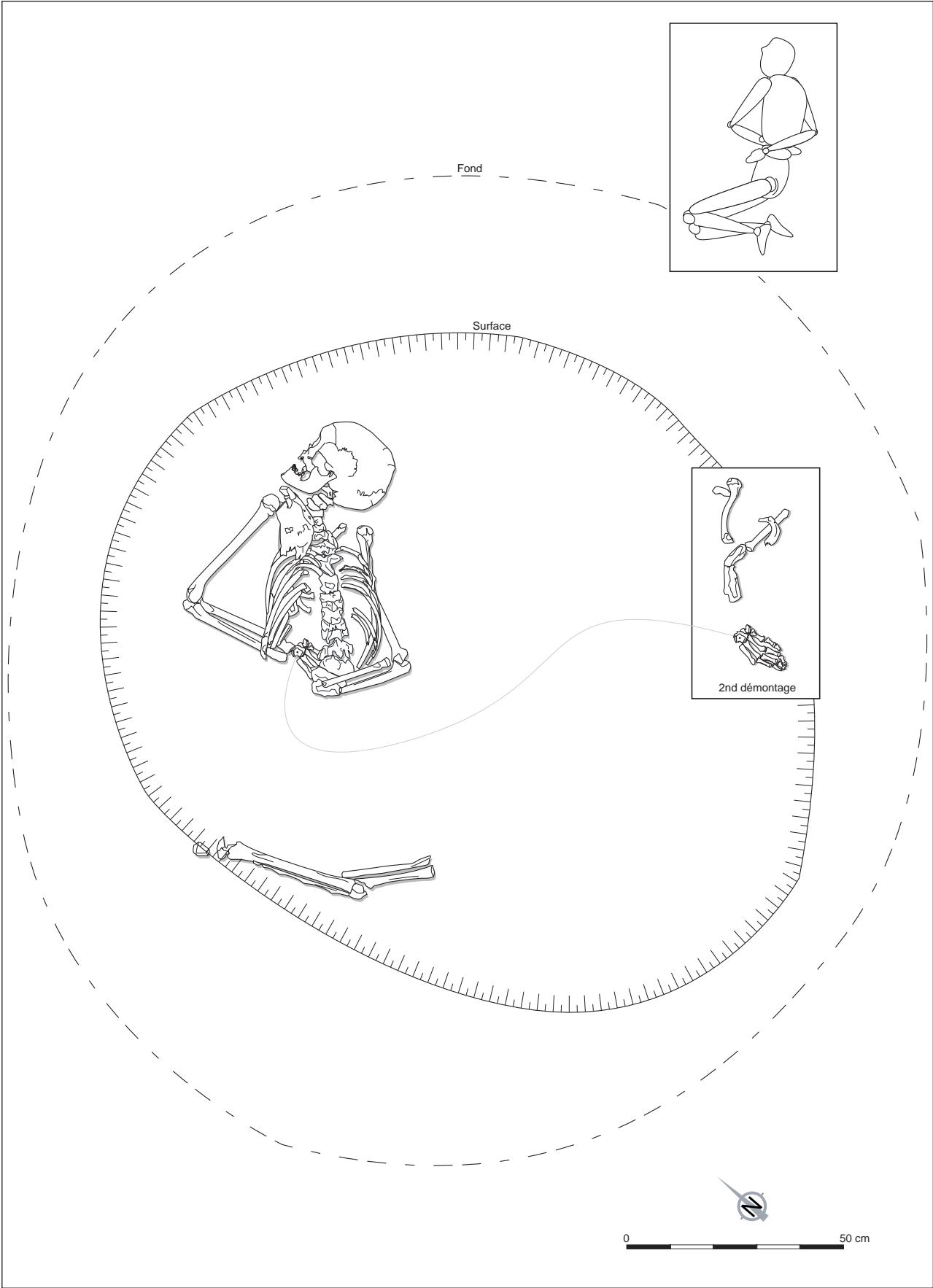


Fig. 4: Plan de l'inhumation découverte dans le silo F15.

En ce qui concerne le squelette appendiculaire, les membres supérieurs sont mieux représentés que les membres inférieurs. Les ceintures et les os longs sont présents ainsi que la majorité des os de la main gauche. On ne peut en dire autant de la main droite, absente. Le bassin est absent ainsi que les extrémités proximales des fémurs. La patella gauche est la seule des deux en présence. Tibias et fibulas sont attestés, sans leurs épiphyses proximales et distales. Enfin, il ne subsiste des os des pieds que le tiers supéro-latéral du talus gauche, et le quart supérieur du calcaneus gauche.

1.4 – Connexions et dislocations

À l'exception de la perturbation affectant le bassin, le squelette est en place. Le bloc crânio-facial, en face latérale gauche, est en connexion avec la mandibule. L'os hyoïde a été retrouvé sous cette dernière dans sa position d'origine.

Le rachis est dans l'ensemble peu remanié. La première vertèbre cervicale, en connexion avec le crâne ainsi qu'avec la seconde vertèbre cervicale, apparaît en face latérale gauche, la partie supérieure du corps orientée vers l'est. Les six autres vertèbres sont en place et présentent la même orientation, leur face d'apparition variant de latéral gauche à postéro-latérale gauche. L'étage thoracique est en connexion, les vertèbres apparaissant en face postérieure ; le plateau supérieur orienté vers l'est. Enfin l'étage lombaire, bien qu'incomplet, est en place dans le prolongement de l'étage thoracique.

Les côtes droites les plus hautes sont en connexion lâche avec les vertèbres et apparaissent en face inférieure. Les autres, en face interne et inférieure, sont déconnectées. À gauche, les côtes hautes en face inférieure sont en connexion stricte avec les vertèbres. En revanche, les basses sont déconnectées et se retrouvent en face externe légèrement inférieure.

Le sternum se trouve à sa place, sous les premières vertèbres thoraciques. Dans le détail le manubrium, en face latérale gauche, la partie supérieure orientée vers l'est, est en connexion lâche avec la clavicule droite, et déconnecté de la clavicule gauche. Le corps du sternum, également en face latérale gauche avec la partie

supérieure orientée vers l'est, est en connexion lâche avec le manubrium.

L'articulation de l'épaule droite est préservée. Sa position générale indique une torsion d'ouest en est. La scapula est en face médiale, le bord inférieur orienté vers l'ouest. L'humérus, sous la scapula, est en face antéro-médiale avec la partie proximale tournée vers l'est. Quant à la clavicule, elle repose en face postérieure avec l'extrémité latérale à l'est. Le coude droit est en connexion lâche, le radius se retrouvant au nord de l'ulna en face antéro-médiale, l'épiphyse proximale au sud. L'ulna, en face médiale, présente la même orientation. La main est détruite.

À gauche, l'épaule s'aligne sur un même axe que le bloc crânio-facial et la mandibule. La scapula se trouve en face postérieure, l'extrémité latérale au nord. La clavicule, en connexion, est en face inférieure avec la partie latérale à l'est. L'humérus s'est légèrement déplacé de face postérieure en face médiale, l'épiphyse distale étant à l'ouest. L'articulation du coude est maintenue. Le radius, à l'est de l'ulna, se trouve en face antérieure avec l'épiphyse proximale au nord. L'ulna est en face médiale, la partie proximale également au nord. La main passe sous les vertèbres lombaires. Les os du carpe sont en connexion stricte avec l'avant-bras pour la première rangée et les métacarpiens pour la seconde rangée. Ils apparaissent en face palmaire. Les trois premiers métacarpiens sont en face palmaire, la partie distale au sud. Le quatrième se distingue par son orientation, car la tête est à l'ouest. Les phalanges du premier rayon sont en place dans le prolongement du métacarpien. Au niveau du second rayon les phalanges proximale et moyenne sont en face palmaire, mais la partie distale de la première est au sud tandis que celle de la seconde est à l'ouest. Les phalanges du troisième rayon sont dans le prolongement du métacarpien. Enfin, la phalange proximale du quatrième rayon est en face latérale ou médiale, la partie distale au sud. La phalange moyenne, en connexion, est en face latérale ou médiale, la partie distale cette fois-ci à l'ouest. La phalange distale, déconnectée, est en face palmaire latérale ou palmaire médiale, la palette unguéale au sud. Le cinquième rayon est détruit.

La ceinture des membres inférieurs n'est pas conservée. La position des fémurs est illisible pour des raisons inhérente au décapage¹. La jambe droite apparaît sous la gauche, peu remaniée. L'épiphyse distale au sud, le tibia repose en face postérieure. La fibula, en face latérale, se trouve au nord du tibia, la partie distale au sud. Le pied est détruit.

À gauche, la patella est en place en face supéro-postérieure, la partie supérieure tournée vers le nord. Le tibia, en face postérieure, a sa partie supérieure au nord, tout comme la fibula en face postéro-latérale. L'articulation de la cheville est maintenue, le talus gauche apparaissant en face latérale de même que le calcaneus dont l'extrémité distale est au sud. Le reste du pied est absent.

1.5 – Nature du dépôt et milieu de décomposition

Il s'agit d'une inhumation primaire. Le squelette est en place. La cohérence anatomique de l'ensemble est bonne et les petits os sont nombreux. Malgré le hiatus affectant la région du bassin, il est possible de proposer une restitution de la position des membres inférieurs. D'après la position de la patella gauche et des os des jambes, on peut affirmer que les membres inférieurs n'étaient pas étendus mais fléchis. Toutefois, il n'est pas possible d'en restituer le degré de flexion.

Du point de vue du milieu de décomposition, le cadavre semble avoir évolué en espace colmaté. Les ossements ne sont pas sortis du volume initial du corps. Le bloc crânio-facial et la mandibule sont en connexion stricte, l'épaule gauche est en place, la main gauche est en connexion, la patella gauche est en équilibre instable. Les infimes mouvements d'os observés se résument à des phénomènes de rotation qui s'expliquent sans doute par la présence d'un vêtement ajusté au plus près du corps. Deux arguments confortent cette hypothèse : la présence d'une fibule très abimée retrouvée au niveau des vertèbres lombaires, et

un effet d'alignement remarqué sur un axe au nord du crâne, de la mandibule et de l'humérus gauche offrant l'image d'une contrainte.

Le soin apporté au dépôt lui-même fait peu de doute. Le corps ne donne pas l'impression d'avoir été jeté depuis le haut du silo, mais plutôt disposé avec une main, la gauche, sous le ventre et l'autre, la droite, sur le dos.

Ainsi, un sujet habillé a été soigneusement déposé et immédiatement enseveli.

Pour terminer, il convient de revenir sur l'absence de la main droite, du bassin et des pieds. Doit-on envisager la même explication pour chacune de ces parties anatomiques ?

La main et le bassin se trouvent dans la zone où nous avons observé un hiatus quant à la cohérence anatomique. Nous envisageons donc la même explication pour ces deux parties anatomiques. Il est peu probable que la conservation différentielle ait joué un rôle, car des os plus fragiles et moins denses que ceux de la main ou du bassin, tels le voile des scapulas ou les corps vertébraux sont présents. Nous proposons l'hypothèse d'une réintervention sur le cadavre, largement décomposé, sous forme de prélèvement. Ce type de pratique est couramment observé dans les silos du début du second âge du fer d'Ile-de-France².

Le prélèvement réalisé semble avoir été extrêmement méticuleux. Il n'a pas perturbé le reste du squelette, demeuré en connexion. Nous n'avons repéré aucune trace de découpe, de sciage ou de désarticulation intentionnelle sur les os. Autrement dit, les « fossoyeurs » savaient parfaitement ce qu'ils cherchaient et où cela se trouvait, ce qui suppose peut-être une forme de signalement de l'inhumation en surface, ou un laps de temps relativement court entre l'inhumation du corps et la réintervention.

L'absence des pieds est plus difficile à expliquer. Il se peut qu'ils aient été remaniés par des animaux fouisseurs, mais aucune trace de terrier n'a été repérée à la fouille et, il n'y aucune perturbation caractéristique. Peut-être faut-il également envisager un prélèvement.

1 Ce sont les fémurs qui ont été découverts lors du sondage mécanique de la moitié sud du silo. Malgré notre vigilance, ils ont été déplacés.

2 Delattre 2000, p. 19.

Au final, quel regard doit-on porter sur la structure dans laquelle repose le corps? A-t-elle été intentionnellement creusée pour accueillir les restes d'un cadavre? Ou a-t-elle joué un autre rôle, par exemple de stockage de denrées alimentaires? La couche située sous le cadavre n'a guère livré de vestiges. Rien ne semble évoquer une utilisation antérieure de la structure. Par contre, la partie supérieure du remplissage a livré les pattes en connexion d'un cheval ainsi qu'un micro-vase quadrangulaire. Ces deux vestiges pourraient résulter d'un dépôt intentionnel en lien avec l'inhumation, hypothèse que nous testerons ultérieurement par la réalisation d'une nouvelle datation sur les os de cheval.

1.6 – L'individu inhumé

L'individu inhumé est un adulte gracile. L'absence du bassin nous a conduit à réaliser une diagnose sexuelle à partir d'observations basées sur le crâne³. Nous avons donc travaillé à partir de la robustesse des lignes nuchales de l'os occipital, de la proéminence du bourrelet sus-orbital de l'os frontal, de la protubérance de l'os occipital, de la protubérance mastoïde et de quatre critères mandibulaires. Le résultat obtenu s'éloigne largement de l'écart à la moyenne: il s'agirait d'un sujet féminin.

Pour l'âge, nous avons procédé à une estimation à partir du degré de synostose des sutures crâniennes, malgré les problèmes posés par la méthode⁴. Le sujet serait âgé de 58 à 63 ans.

De nombreuses anomalies d'ordre pathologique ont été observées. Elles sont liées à la sénescence. Les alvéoles de l'os maxillaire sont résorbées, à l'exception de celle de la troisième molaire supérieure gauche. Les dents en place sur la mandibule sont plus nombreuses mais l'on observe la résorption de l'alvéole de la seconde molaire inférieure droite, ainsi que la résorption partielle de celle des première et seconde molaires inférieures gauches. Le degré d'usure des dents est prononcé. Quand l'exposition de la dentine n'est pas totale, elle se manifeste sur de larges plages.

3 Acsadi, Nemeskeri 1970.

4 Masset 1982.

En outre, le sujet est atteint d'arthrose au niveau de l'épiphyse proximale de l'humérus droit, des extrémités latérales des scapula et clavicule droites, ainsi que de la scapula gauche. Les facettes articulaires des vertèbres cervicales comportent de nombreuses entheses.

Sept vertèbres thoraciques et quatre vertèbres lombaires présentent un coulée osseuse au niveau du rachis sur les faces antérieures et latérales droites (fig. 5). Il s'agit d'une maladie hyperostotique⁵ nommée Diffuse Idiopathic Skeletal Hyperostosis (DISH) dans les pays anglophones, décrite pour la première fois par Forestier et Rotès-Querol (1950). Cette maladie affecte en général des sujets âgés. Même si la prudence reste de mise, des travaux récents semblent indiquer qu'il pourrait exister un lien entre une diète trop riche et cette maladie⁶. Le sujet du silo F15 aurait donc eu accès à de la nourriture en abondance, ce qui traduirait éventuellement un statut privilégié.



Fig. 5 : Anomalie osseuse : cas de DISH (Cliché : N. Garmond).

Enfin, la diaphyse de la fibula gauche présente un cal osseux consécutif à une fracture avec consolidation.

5 Merci à Carole Fossurier (INRAP) pour ses orientations bibliographiques.

6 Rogers, Waldron 2001 ; Jankauskas 2003 ; Kachi, Villotte 2006.

I.7 – Comparaisons

L'inhumation de cadavre en silo est connue pour l'âge du fer dans la moitié nord de la France, et en particulier en Ile-de-France. Dans le Val-d'Oise, il existe au moins trois sites potentiellement contemporains. Au Plessis-Gassot «Le Bois Bouchard», un silo abritait les restes incomplets d'un squelette⁷. L'individu reposait en position replié à mi-hauteur du remplissage. Un second cas, légèrement plus éloigné, est connu à Roissy-en-France «Le Dessus-de-la-Rayonnette»⁸. Deux silos renfermaient les restes de deux individus immatures, l'un inhumé en espace vide, l'autre en espace colmaté. Dans le premier cas, un squelette complet de porc fut retrouvé dans le remplissage supérieur. Enfin une inhumation en silo a été mise au jour à Saint-Brice-sous-Forêt au lieu-dit «La Chapelle Saint-Nicolas» (fig. 6). Les restes d'un enfant inhumé en position fœtale ont été retrouvés contre la paroi et au sommet du premier remplissage d'un silo. L'un des membres inférieurs de cet individu pourrait avoir été maintenu au moyen d'un lien⁹.

Ailleurs en Seine-et-Marne dans le secteur de la confluence Seine-Yonne, les découvertes répétées ont permis de réaliser des synthèses. Il semble que dans cette zone géographique une part non négligeable de la population féminine ait été déposée dans des structures d'ensilage¹⁰.

Sur ce sujet et dans le cadre d'une synthèse plus large, il pourrait être pertinent de confronter les cas de La Tène ancienne à ceux de La Tène moyenne et finale afin de mettre en évidence d'éventuelles différences.

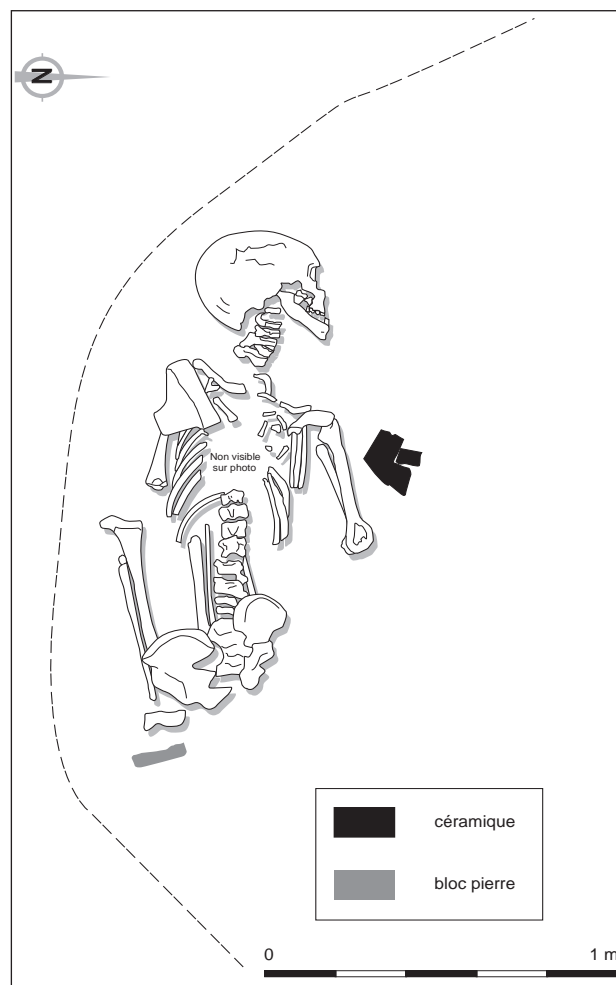


Fig. 6 : Plan de l'inhumation découverte à Saint-Brice-sous-Forêt «La Chapelle-Saint-Nicolas» (Pariat d'après Rouppert *et al.* 2009).

II – La Tène moyenne

Tous les restes humains isolés découverts dans le comblement de différentes structures proviennent d'horizons stratigraphiques attribués à La Tène moyenne.

II.1 – Le silo F3

Le silo F3 se trouve dans la zone interne de l'enclos vers le sud (fig. 1). D'un diamètre à l'ouverture de 2,50 m pour un diamètre à la base de 4 m, il présente un profil cylindrique s'évasant vers le fond. La profondeur sous décapage est de 1,70 m.

Au moins trois couches distinctes caractérisent le remplissage de ce silo. Rares dans le comblement

7 Ginoux à paraître.

8 Casadéi 1998.

9 Gaultier *in* Rouppert *et al.* 2009, p. 62.

10 Pinard *et al.* 2009, p. 109.

supérieur, les vestiges sont beaucoup plus abondants à une plus grande profondeur. C'est au fond qu'un os humain a été mis au jour. Dans cette partie du comblement, des tessons ont pu être attribués à la Tène moyenne.

Le fragment de crâne humain mis au jour se trouve directement sur le fond du silo, à peu près au centre. Sa position exacte n'a pu être repérée sur un plan compte tenu de la découverte de ce vestige lors d'un sondage mécanique.

Le fragment crânien mesure environ 7,5 par 6 cm. La partie en présence se compose d'un morceau d'os frontal comportant le sillon du sinus sagittal supérieur. Ce dernier est relié à deux fragments d'os pariétaux droit et gauche par la suture coronale, les os pariétaux étant quand à eux reliés par une portion de suture sagittale. Ce reste crânien humain appartient à un individu adulte. Le sexe ne peut être déterminé, aucune pathologie n'a été remarquée. L'état de conservation de l'os est bon. Les surfaces osseuses ne comportent aucune trace, et le tissu spongieux est présent.

Cet os est isolé et rien n'indique qu'il est contemporain du mobilier caractérisant le remplissage du silo. Il appartient à un corps dont la décomposition ne s'est pas faite sur place dans le silo, l'absence de la quasi-totalité du squelette constituant l'argument principal. D'après les observations de terrain, l'enfouissement de cette pièce osseuse semble avoir été rapide. L'aspect détritique revêtu par les vestiges provenant du remplissage militerait plutôt en faveur d'une arrivée accidentelle que d'un dépôt intentionnel, ce d'autant que la mise en place de cet os ne semble pas avoir été entourée de précaution.

II.2 – Le silo F501

Le silo F501 se trouve dans la zone interne de l'enclos, à environ 25 m au nord-ouest du silo F3 (fig. 1). Cette structure, de plan circulaire, mesure 3,80 m de diamètre à l'ouverture pour 4,60 m à la base. En coupe les parois s'évasent du sommet vers la base, le creusement atteignant une profondeur maximum de 2,40 m.

Le remplissage, complexe, est caractérisé par une alternance de couches limoneuses. Le

mobilier, de nature détritique, y abonde entre 0 et 80 cm de profondeur, puis entre 1,60 et 2,40 m de profondeur. La céramique en provenance de ces couches détritiques se rattache à La Tène moyenne (cf. annexe 2).

Parmi les vestiges, deux restes humains ont été découverts mélangés à d'autres vestiges autour de 1 m de profondeur. La présence à cette profondeur de pots situliformes incite à un rattachement au début du ^{II} siècle av. J.-C.

Le premier d'entre eux découvert entre 80 cm et 1 m, un radius droit immature, pèse 1 g. La surface osseuse et le tissu spongieux sont présents. Aucune trace n'a été observée sur l'os. D'après la longueur maximale de la diaphyse, il s'agit d'un individu de 9-10 mois¹¹.

Un second os, retrouvé entre 80 cm et 1 m, est un tibia gauche immature qui pèse 3,5 g. Malgré le bon état de la surface, aucune trace n'a été remarquée. Les mesures effectuées trahissent à nouveau le très jeune âge de ce sujet¹².

Les critères de maturation osseuse permettent d'affirmer que ces deux ossements appartiennent à un seul et même sujet, très incomplet. Par conséquent il est logique de supposer que l'individu auxquels appartiennent ces ossements ne s'est pas décomposé dans le silo. Aucun indice ne milite en faveur d'un dépôt intentionnel soigné. Ces vestiges ont donc pu se retrouver associés à un rejet de nature détritique, par hasard.

II.3 – L'enclos

L'enclos gaulois (Fo 200) a livré trois restes humains répartis en différents points (fig. 1).

II.3.1 – Le sondage 8

Le sondage 8 se situe au niveau de la bordure ouest de l'enclos. Deux ossements humains ont été retrouvés dans ce tronçon de fossé. Ils sont issus d'une seule et même couche limoneuse qui pourrait être consécutive à un curage du fossé vers la fin de La Tène moyenne.

11 Fazekas, Kósa 1978.

12 Fazekas, Kósa 1978.

Le premier d'entre eux est une partie de bloc crânio-facial constituée de l'os temporal avec l'angle de l'orbite droit et de la voûte pariétale. Les quatorze fragments de cette région anatomique pèsent 5 g et appartiennent tous à un individu adulte.

Le second ossement, retrouvé à 60 cm de profondeur, près de la paroi est du fossé est isolé des autres vestiges (fig. 7). Il s'agit d'un fragment de bloc crânio-facial apparu en face interne, la crête frontale se trouvant au nord. Ce fragment

est constitué des deux-tiers postérieurs de l'os frontal reliés aux os pariétaux droit et gauche par la suture coronale. L'état de surface de la table externe est bon, laissant apparaître une plage rugueuse et uniformément ponctuée de petits orifices. Il pourrait s'agir d'un cas d'hyperostose poreuse de la voûte crânienne. Il est impossible de réaliser ce type d'observation sur la table interne, tant la surface est érodée. D'après le degré d'oblitération des sutures et les traces d'hyperostose il s'agit d'un individu adulte, plutôt âgé.

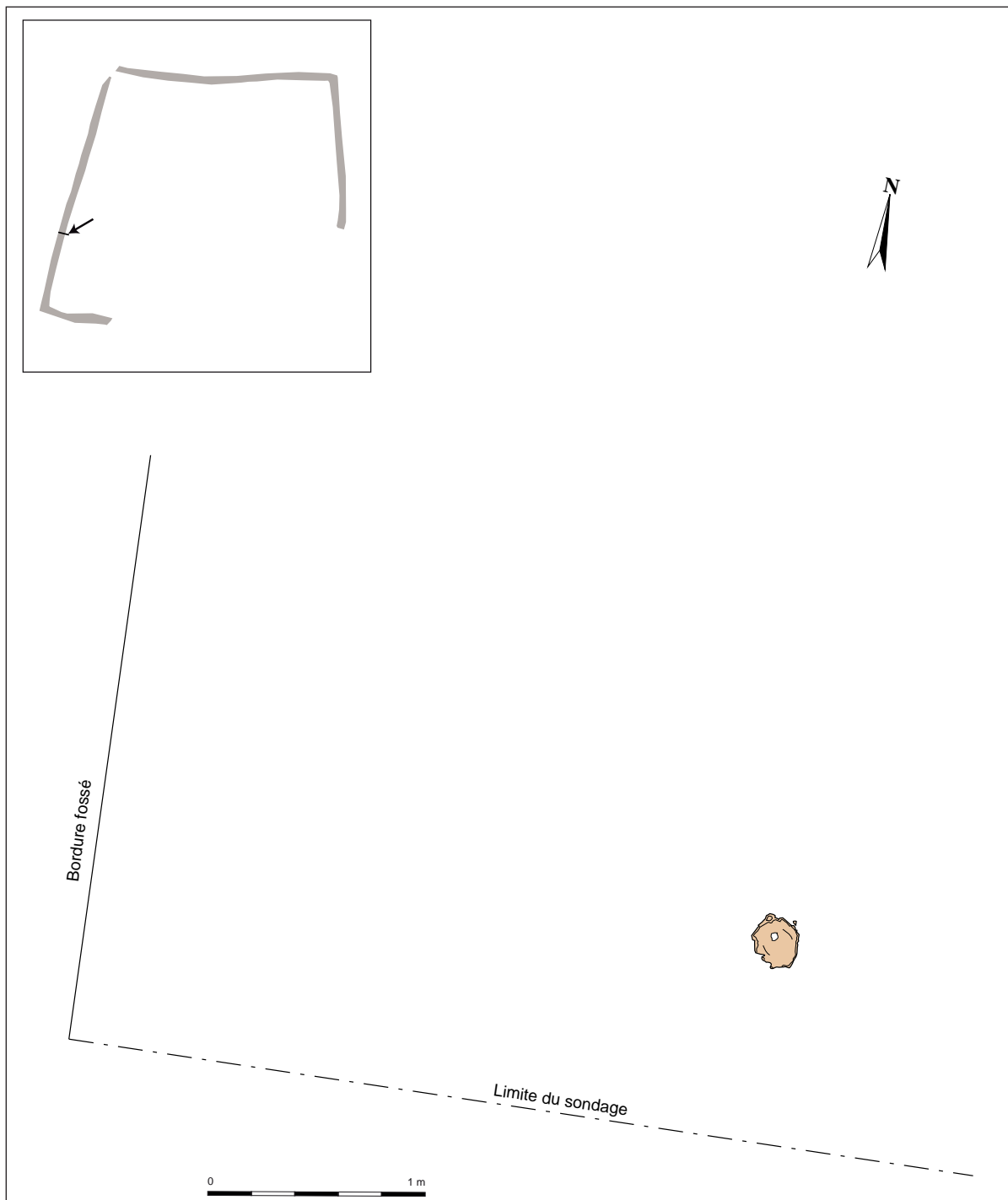


Fig. 7 : Vue en plan d'un des os humains issu du sondage 8 pratiqué dans le fossé 200.

Enfin, l'os comporte une trépanation située au niveau du sillon du sinus sagittal (fig. 8). De forme ovale, l'orifice mesure 1,97 par 1,81 cm. Un examen minutieux indique que la trépanation est résorbée, et donc que le sujet a survécu à l'intervention. Du côté postéro-latéral gauche, une légère dépression sub-circulaire précède ce stigmate. Peut-être la «cicatrisation» a-t-elle engendrée un remaniement osseux.

II.3.2 – Le sondage U

Le troisième ossement humain découvert se trouve sur le tracé nord de l'enclos, au niveau du sondage U. Il s'agit d'un fragment de crâne apparu en face interne, avec la partie postérieure orientée vers le nord-est, à 1 m sous la surface dans un niveau particulièrement dense associant fragments de torchis, restes animaux et vestiges céramiques rattachés à La Tène C2 (fig. 9). Ce fragment est constitué des deux-tiers postéro-latéral droit d'un os frontal relié à des fragments antérieurs d'os pariétal droit et gauche par la

suture coronale. De façon générale, les tables interne et externe sont bien conservées. Aucune altération «taphonomique» n'a été observée. Cet ossement appartient à un individu adulte.

Enfin, la table externe comporte un enfoncement ovale, repéré selon un axe médio-latéral à hauteur du sillon du sinus sagittal (fig. 10). Long de 2,06 par 1,80 cm de large un début d'esquillement sans arrachement de la surface a été remarqué. Au même endroit, la table interne s'est partiellement fragmentée. Il pourrait s'agir d'une fracture du crâne qui, sans consolidation postérieure, aurait rapidement engendré la mort de cet individu.

II.4 – Comparaisons

Les restes humains isolés découverts à Villiers-le-Bel sont associés à deux types de structures : des silos et un fossé d'enclos.

Après un bilan documentaire réalisé à l'échelle du Val-d'Oise, la présence d'ossements isolés

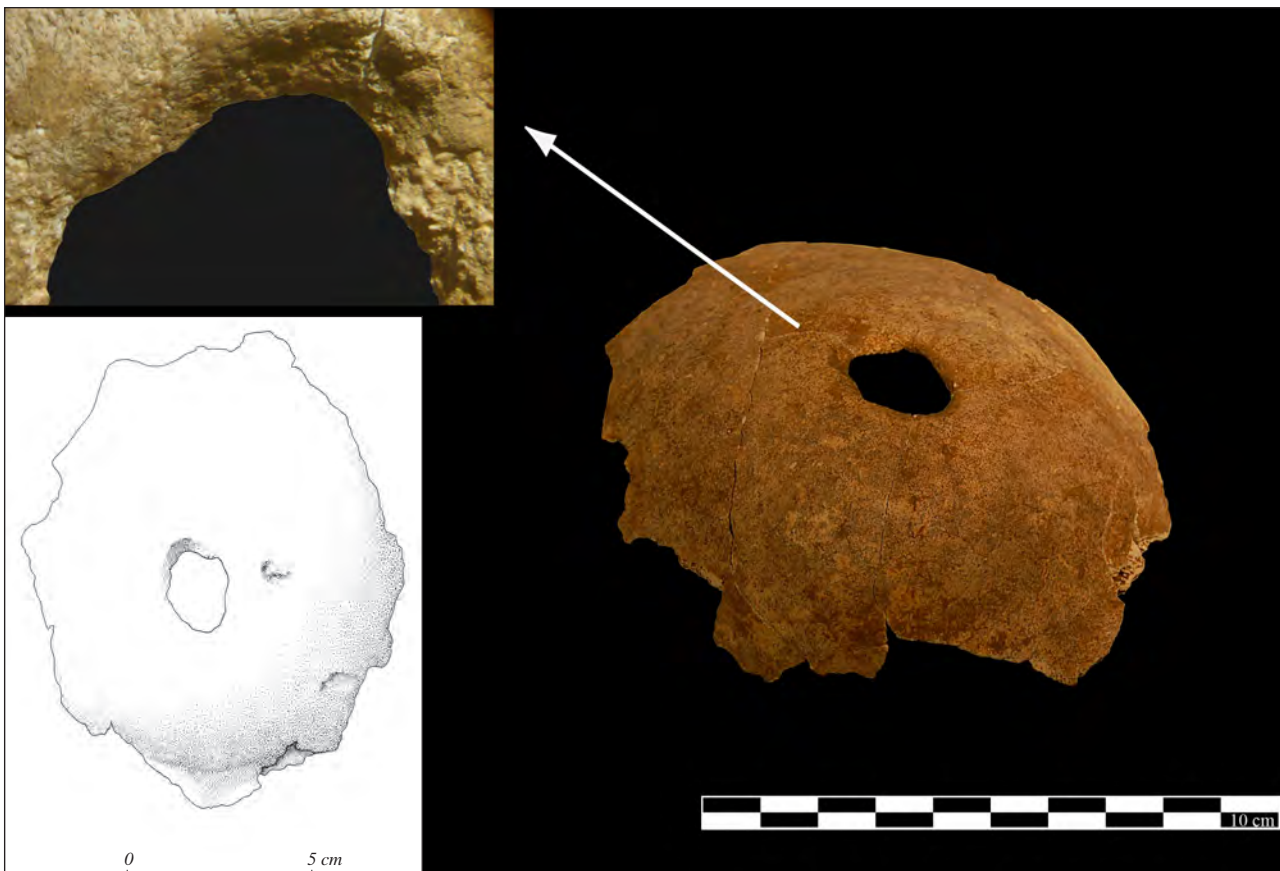


Fig. 8 : Fossé 200, S8, os n° 2 : fragment de bloc crânio-facial trépané (Cliché : V. Maret, illustration : A. Battistini) ; Anomalie osseuse : cas de DISH (Cliché : N. Garmond).

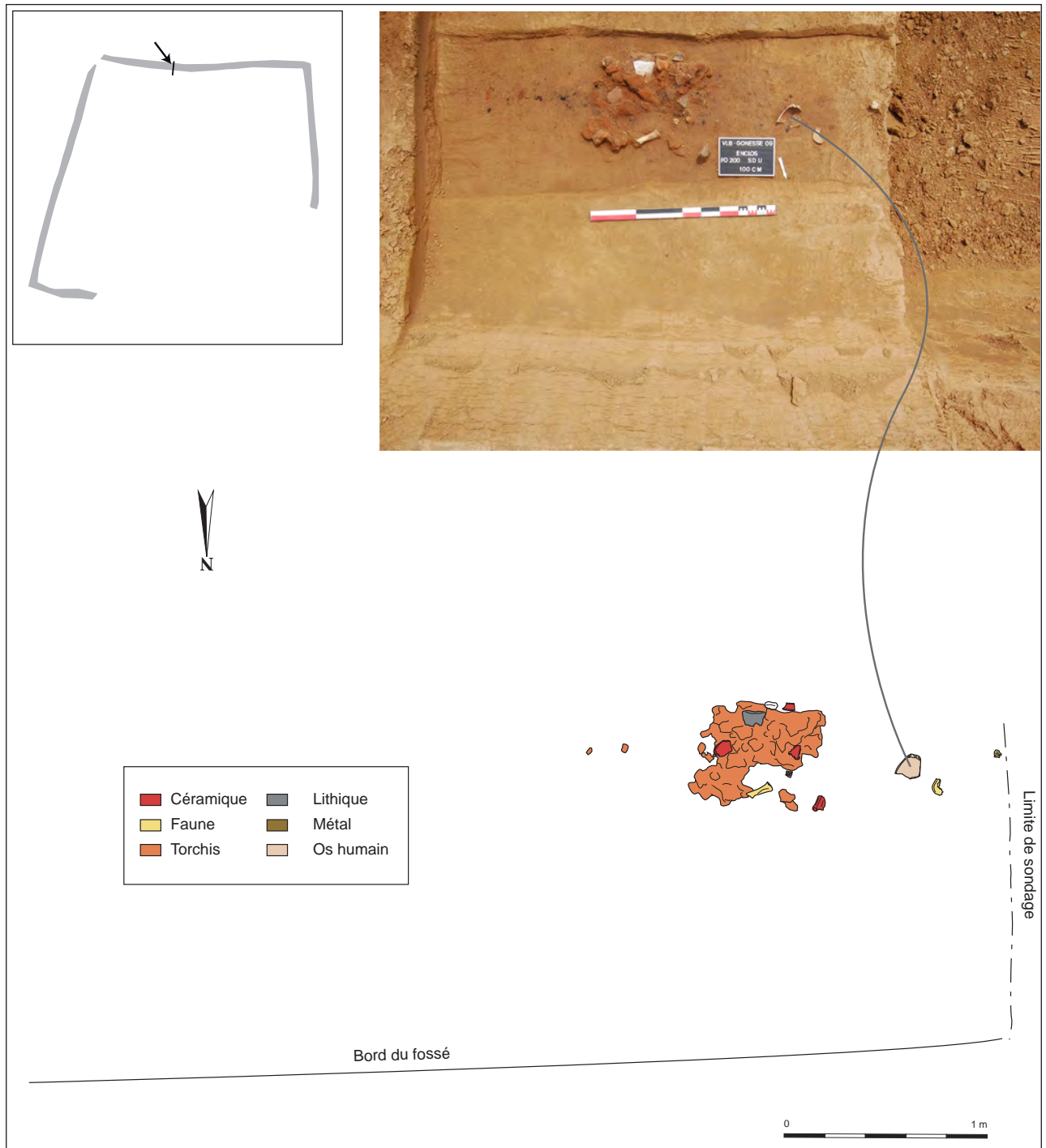


Fig. 9 : Vue de l'os humain issu du sondage U pratiqué dans le fossé 200

dans le remplissage de silos paraît peu fréquente. De ce point de vue le fragment crânien perforé issu d'un silo à Roissy «Château» est un des rares cas comparables¹³.

Quand au second contexte d'apparition, la présence de restes humains isolés dans un fossé d'enclos est récurrente sur les sites franciliens de la fin de l'âge du fer. Dans le Val-d'Oise,

une dizaine de restes humains a été découvert dans le fossé d'un enclos à Herblay¹⁴. Ils sont typologiquement variés et dispersés sur le plan spatial.

A Cergy «ZAC des Linandes», trois ossements humains sont issus des fossés de deux enclos fouillés récemment¹⁵. Là encore leur dispersion est forte et ils sont typologiquement variés.

¹⁴ Valais 1994.

¹⁵ Pariat dir. 2009.

¹³ Boulestin, Séguier 2000, p. 55.



Fig. 10: Fossé 200, SU, os : fragment de bloc crânio-facial fracturé
(Cliché : V. Maret, Illustration : A. Battistini).

Plus à l'ouest, dans l'Eure, à Authevernes «Les Mureaux», la dispersion des vestiges est plus faible mais la diversité reste de mise¹⁶. Enfin à Bobigny «La Vache à l'Aise» (Seine-Saint-Denis), on retrouve une forte dispersion qui s'accompagne d'une certaine diversité¹⁷.

Ces comparaisons sont loin d'être exhaustives et il est extrêmement difficile d'avoir une vision d'ensemble du phénomène, tant les sites mis au jour se sont multipliés au cours de ces dernières années. Les études entreprises ne sont pas toutes de qualité équivalente et il n'est pas sûr que les séries de restes animaux aient systématiquement été l'objet d'un tri à la fois par un archéozoologue et par un anthropologue, condition *sine qua non* pour s'assurer de disposer de l'intégralité d'une série.

¹⁶ Roudié 1999.

¹⁷ Le Forestier 2009.

III – Synthèse générale

III.1 – La population représentée

Au total, toutes périodes confondues, six individus sont représentés par les restes humains découverts à Villiers-le-Bel. Ce chiffre est difficile à manipuler car l'effectif est non seulement faible, mais également hétérogène d'un point de vue chronologique (tab. 1). Le groupe de restes humains découverts ne forme donc pas un ensemble homogène.

	N° Structure	Représentation squelettique	Âge
1	F15	1 squelette	Adulte
2	F3	1 os pariétal	Adulte
3	F501	1 radius droit 1 tibia gauche	Immaturo (nouveau-né)
6	Fo 200 SU	1 fragment d'os frontal	Adulte
4	Fo 200 S8	1 fragment d'os frontal	Adulte âgé
5	Fo 200 S8	1 fragment d'os frontal et d'os temporal	Adulte

Tableau 1 : Les sujets.

Le seul individu immature, un très jeune inhumé, est représenté par deux ossements issus d'un silo (F501).

Parmi les cinq autres sujets, un individu adulte est représenté par un squelette dans le silo F15. Enfin les quatre sujets adultes restants sont chacun représentés par un unique os retrouvé dans le remplissage d'un silo dans un cas (F3) et dans celui du fossé dans trois cas (Fo200 S8 et SU).

En conclusion, l'âge ne semble pas être un critère de sélection des défunts puisque les sujets de cette population se rangent dans au moins trois classes d'âge (individu immature, adulte, adulte âgé).

III.2 – Conditions d'ensevelissement et intentionnalité des dépôts

Les restes humains découverts à Villiers-le-Bel proviennent soit d'un silo, soit d'un comblement de fossé. Dans un cas comme dans l'autre, les structures ont accueilli des ossements isolés. Par contre la présence d'un squelette sub-complet est seulement attestée au sein du silo F15. S'agit-il là d'un choix délibéré ?

Le silo F15 est par ailleurs la seule structure pour laquelle le dépôt d'un cadavre relève d'un geste intentionnel clair. Un corps, habillé, a été soigneusement déposé au fond d'un silo.

Dans le cas des ossements isolés, les situations rencontrées indiquent que la décomposition des corps auxquels appartiennent les restes ne s'est pas opérée *in situ*. Les os sont mélangés à d'autres types de vestiges dans les complements des structures. Leur mise en place ne trahit pas de précaution particulière. Force est donc d'envisager l'hypothèse d'une arrivée accidentelle ; les ossements ayant pu se retrouver par hasard parmi d'autres vestiges rejetés.

Ce scénario offre une explication à l'ensevelissement ultime des restes mais pas au traitement qu'ils ont pu subir en amont. Les ossements issus du fossé d'enclos permettent peut-être d'entrevoir quelques pistes à ce sujet. En effet ils sont exclusivement représentés par des restes crâ-

niens qui ont de fait peut-être été l'objet d'une présélection à un moment donné, et dans un but précis dont le sens échappe totalement.

III.3 – Vers une chronologie des dépôts osseux

Tous les ossements découverts à Villiers-le-Bel sont hors contexte sépulcral. Leurs contextes d'apparitions, qu'il s'agisse d'un silo ou d'un fossé, s'apparentent à des ensembles ouverts au sein desquels de nombreux remaniements peuvent survenir. Par conséquent leur datation est délicate, en particulier quand il s'agit d'os isolé. Ainsi la présence d'un ou plusieurs tessons de La Tène C2 dans une couche recelant un os humain ne signifie pas nécessairement que l'os en est contemporain. En effet l'ossement peut avoir longuement séjourné sur le site avant d'être définitivement enseveli.

La chronologie des dépôts osseux est donc fragile et ne peut en aucun cas être considérée comme définitive. Elle s'appuie à la fois sur les données de la stratigraphie, sur les résultats des datations réalisées à l'aide de la céramique et sur une datation absolue.

Le squelette humain issu du silo F15 a fait l'objet d'une datation radiocarbone et peut être rattaché à La Tène ancienne, entre le IV^e et le III^e siècle av. J.-C. L'os isolé découvert dans le silo F3 renvoie plutôt à La Tène moyenne, sans plus de précision (*cf.* annexe 2). Quand aux deux ossements du silo F501, ils peuvent être rattachés à la transition fin Tène C1/Tène C2. L'os du sondage U du fossé d'enclos renvoie à La Tène C2. Enfin les deux ossements du sondage 8 datent de la fin de La Tène C2.

En somme il ne semble pas y avoir d'os isolé dans les structures avant La Tène moyenne. Ou, pour le formuler différemment, le seul squelette sub-complet a été retrouvé dans un silo attribué La Tène ancienne.

D'autre part la présence d'os isolé semble concerner différents types de structures ayant fonctionné durant La Tène moyenne. Ainsi, alors que l'occupation évolue d'un habitat

ouvert caractérisé par des silos vers un habitat ceinturé par un fossé, les pratiques mortuaires semblent perdurer en s'adaptant à ces nouveaux contextes. C'est donc bien une permanence des pratiques dans le temps que l'on observe.

Enfin les restes humains paraissent entretenir une relation particulière avec les structures liées à l'habitat. Qu'il s'agisse de lieux de stockage de plein champs, de lieux de stockage en périphérie des zones de vie¹⁸ tels que les silos ou du fossé d'enclos d'une ferme, les restes humains sont rarement éloignés des aires de vie, et ce comme si la mort était parfaitement intégrée par les vivants.

18 Bonnabel in Baray, Boulestin 2010, p. 177.

<i>NSTUS</i>	<i>N° sondage</i>	<i>NR</i>
F 501	1/2 nord	
<i>Poids (g)</i>		
1		
<i>Boîte n°</i>	<i>Sac n°</i>	
A1215	1585	
<i>Description</i>		
80 cm à 100 cm, radius droit immature, longueur : 5,08 cm		

<i>NSTUS</i>	<i>N° sondage</i>	<i>NR</i>
F 501	1/2 nord	
<i>Poids (g)</i>		
3,5		
<i>Boîte n°</i>	<i>Sac n°</i>	
A1215	1584	
<i>Description</i>		
120-140 cm, tibia gauche immature, longueur max = 6,35 cm		

<i>NSTUS</i>	<i>N° sondage</i>	<i>NR</i>
Fo 200	8	
<i>Poids (g)</i>		
56		
<i>Boîte n°</i>	<i>Sac n°</i>	
A1215	1376	
<i>Description</i>		
-60 cm, bloc crânio-facial, frontal fragment, pariétal D et G fragments avec suture, forte oblitération des sutures sagittale et coronale, présence d'une trépanation résorbée. Sujet adulte. En plan, forme de la trépanation est ovale. Longueur : 1,97 cm, largeur : 1,81 cm. Etat de surface de l'os : rugueuse et uniformément ponctuée d'une multitude de petits orifices. S'agirait d'une hyperostose poreuse de la voûte crânienne. Table interne : destruction surface traces peu lisibles.		

<i>NSTUS</i>	<i>N° sondage</i>	<i>NR</i>
Fo 200	8	14
<i>Poids (g)</i>		
5		
<i>Boîte n°</i>	<i>Sac n°</i>	
A1215	1088	
<i>Description</i>		
fragment de crâne, avec angle orbite et voûte		

<i>NSTUS</i>	<i>N° sondage</i>	<i>NR</i>
Fo 200	U	1
Poids (g)		
82		
Boîte n°	Sac n°	
A1215	1375	
Description		
<p>-100 cm, n°1 (démontage), bloc crânio-facial, fragment avec frontal et angle orbite droit, fragments pariétaux D et G avec suture. Sutures peu synostosées. Sujet adulte. Table externe : un enfoncement selon axe médio-latéral. Forme ovale. Longueur : 2,06 cm, largeur : 1,80 cm. Enfoncement qui a provoqué un début d'esquille sans que la table soit arrachée. Conséquence d'un coup reçu. Impossible de dire si c'est post-mortem ou ante-mortem. Table interne : artères méningées. Os peu altéré.</p>		

Annexe 5

Le matériel de mouture

Par
Jean-Gabriel Pariat (SDAVO)

Le matériel de mouture n'a pas bénéficié d'une étude approfondie. Les différentes informations relatives à ce type de matériau ont donc été réunies au sein de cette section.



Fig. 1 : Fragment n°1, meule découverte dans le silo F501 entre - 2 m et - 2,20 m
(Cliché : V. Maret).



Fig. 2 : Fragment n°2, meule découverte dans le silo F501 entre -2 m et -2,20 m (Cliché : V. Maret).



Fig. 3 : Fragment n°3, meule issue de la partie nord du silo F501 entre -2,20 m et -2,40 m (Cliché V. Maret).



Fig. 4 : Fragment n°4, meule issue de la partie nord du silo F501 entre -2,20 m et -2,40 m
(Cliché V. Maret)

Inventaire des fiches meules

BASE MEULES : FORMES & MATIÈRES

MEULE ROTATIVE

FICHE DESCRIPTIVE (octobre 2006)

FICHE ** Si vous remplissez cette fiche pour la première fois, merci de consulter la notice explicative ** page 1/2

Auteur aurelie battistini Date création 23/09/09 modification

Votre numéro de fiche 1392 Export base groupe meule

Document(s) join(t)s / nom du fichier dessin

1 DECOUVERTE 1-1, LOCALISATION Code INSEE (dép+ commu.) 680/277.....

Département (nom) VAL D'OISE Commune VILLIER-LE-BEL GONESSE.....

Lieu-dit ; nom du site archéo section Rd 10/ giratoire de la Fauconnière.....

Précisions

1-2, CIRCONSTANCES fouille ou sondage prospection découverte fortuite Autre...

Année 2009 Inventeur / Resp.fouille JG Pariat.....

1-3, CONTEXTE ARCHEOLOGIQUE

Site Villier-Le-bel, Tène finale.....
(type, datation)

Structure Fo.200, Sondage U, Passe 2, -30 cm.....
(type, datation)

2 LIEU DE CONSERVATION Dépôt, localisation, n° de référence de la meule ...

SDAVO dépôt boîte n°49, sac n°1385.....

Dernière date d'observation / mention
de la meule dans ce lieu

4 DESSINS

3 MORPHOLOGIE Ebauche

3-1, TYPE Meta Catillus Indéterminé

3-2, ETAT DE CONSERVATION Entier Secteur
 Demi Fragment

3-3, PRINCIPALES DIMENSIONS

A. Diamètre maxi. meule cm

B. Oeil : diam/écartement max cm

C. Hauteur maxi. meule cm

D. Hauteur du flanc cm

E. Oeil : épaisseur (hauteur) cm

3-4, OEIL DE LA MEULE

Forme de la section supérieure

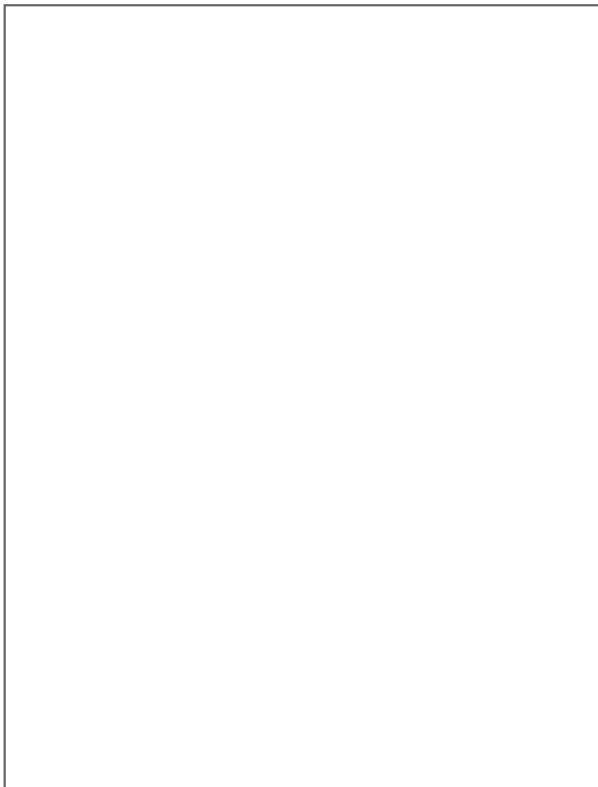
Circulaire Quadrangulaire Autre

Oeil catillus Oeil meta

avec logements d'anille Perforant

Précisions sur l'oeil

.....
.....
.....
.....



3-5. AMÉNAGEMENT(S) POUR L'ACTIONNEMENT DU CATILLUS absent non visible

1) ENCOCHE(S) sur le flanc "à ciel ouvert" (face sup.) trou vertical (face sup.) Autre...
 Précisions (nombre, position, forme, dimensions ...)

.....

2) AUTRE(S) TYPE(S) D'AMÉNAGEMENTS POUR L'ACTIONNEMENT (description, position, dimensions...)

.....

3-6. ÉLÉMENTS RAPPORTÉS

3-7. MORPHOLOGIE : OBSERVATIONS COMPLÉMENTAIRES

.....

5 MATIÈRE 5-1, ROCHE Grès

5-2, DESCRIPTION Couleur Aspect matière Poreux Vacuaire Massif

..... Grains taille maxi.(mm.)
 Visibles à l'oeil nu Non visibles à l'oeil nu

5-3, EXAMEN Vue par un géologue oui non Lame mince oui non

5-4, ORIGINE SUPPOSÉE local

6 TRACES 6-1, SUR LA SURFACE MEULANTE

Traitement,
 façonnage

Usure (degré,
 position)

6-2, SUR AUTRE FACE, FLANCS, OEIL (traces façonnage, usure ...)

Traces de chauffe

.....

7 SOURCES D'INFORMATION *Faire précéder d'un astérisque la ou les sources utilisée(s) pour la fiche*

Personne(s) ayant étudié la meule + date + n° de classement

.....
 Bibliographie, rapports, archives, témoins ...

.....

8 REMARQUES COMPLÉMENTAIRES

pas à dessiner

.....

BASE MEULES : FORMES & MATIÈRES

MEULE ROTATIVE

FICHE DESCRIPTIVE (octobre 2006)

FICHE

** Si vous remplissez cette fiche pour la première fois, merci de consulter la notice explicative **

page 1/2

Auteur aurelie battistini Date création 23/09/09 modificationVotre numéro de fiche 1393 Export base groupe meule

Document(s) join(t)s / nom du fichier dessin

1 DECOUVERTE 1-1, LOCALISATION Code INSEE (départ. comm.) 680/277Département (nom) VAL D'OISE Commune VILLIER-LE-BEL GONESSELieu-dit ; nom du site archéologique section Rd 10/ giratoire de la Fauconnière

Précisions

1-2, CIRCONSTANCES fouille ou sondage prospection découverte fortuite Autre...Année 2009 Inventeur / Resp. fouille J.G. Pariat

1-3, CONTEXTE ARCHEOLOGIQUE

Site Villier-Le-bel Tène finale
(type, datation)Structure Fo.200, sondage 38, -70 à -80 cm
(type, datation)**2** LIEU DE CONSERVATION

Dépôt, localisation, n° de référence de la meule ...

SDAVO dépôt boîte n°49, sac n°1386Dernière date d'observation / mention
de la meule dans ce lieu**4**DESSINS**3** MORPHOLOGIE Ebauche3-1, TYPE Meta Catillus Indéterminé3-2, ETAT DE CONSERVATION Entier Secteur
 Demi Fragment

3-3, PRINCIPALES DIMENSIONS

A. Diamètre maxi. meule cm

B. Oeil : diam/écartement max cm

C. Hauteur maxi. meule 9.51 cm

D. Hauteur du flanc cm

E. Oeil : épaisseur (hauteur) cm

3-4, OEIL DE LA MEULE

Forme de la section supérieure

 Circulaire Quadrangulaire Autre

Oeil catillus

Oeil meta

 avec logements d'anille Perforant

Précisions sur l'oeil

.....
.....
.....
.....

contact : groupe-meule@orange.fr

3-5. AMÉNAGEMENT(S) POUR L'ACTIONNEMENT DU CATILLUS absent non visible

1) ENCOCHE(S) sur le flanc "à ciel ouvert" (face sup.) trou vertical (face sup.) Autre...

Précisions (nombre, position, forme, dimensions ...)

.....
.....
.....

2) AUTRE(S) TYPE(S) D'AMÉNAGEMENTS POUR L'ACTIONNEMENT (description, position, dimensions...)

.....
.....
.....

3-6. ÉLÉMENTS RAPPORTÉS

3-7. MORPHOLOGIE : OBSERVATIONS COMPLÉMENTAIRES

.....
.....
.....

5 MATIERE 5-1, ROCHE Grès

5-2, DESCRIPTION Couleur Aspect matière Poreux Vacuaire Massif

Grains taille maxi.(mm.)

Visibles à l'oeil nu Non visibles à l'oeil nu

5-3, EXAMEN Vue par un géologue oui non Lame mince oui non

5-4, ORIGINE SUPPOSÉE Allochtone

6 TRACES 6-1, SUR LA SURFACE MEULANTE

Traitement, façonage

Usure (degré, position)

6-2, SUR AUTRE FACE, FLANCS, OEIL (traces façonage, usure ...)

Traces de chauffe

.....
.....

7 SOURCES D'INFORMATION Faire précéder d'un astérisque la ou les sources utilisée(s) pour la fiche

Personne(s) ayant étudié la meule + date + n° de classement

JL Maire (14/09/09)

Bibliographie, rapports, archives, témoins ...

.....
.....
.....
.....

8 REMARQUES COMPLÉMENTAIRES

pas à dessiner

.....
.....

BASE MEULES : FORMES & MATIÈRES

MEULE ROTATIVE

FICHE DESCRIPTIVE (octobre 2006)

FICHE

** Si vous remplissez cette fiche pour la première fois, merci de consulter la notice explicative **

page 1/2

Auteur aurelie battistini Date création 23/09/09 modificationVotre numéro de fiche 1394 Export base groupe meule

Document(s) join(t)s / nom du fichier dessin

1 DECOUVERTE 1-1, LOCALISATION Code INSEE (départ+ commu.) 680/277Département (nom) VAL D'OISE Commune VILLIER-LE-BEL GONESSELieu-dit ; nom du site archéologique section Rd 10/ giratoire de la Fauconnière

Précisions

1-2, CIRCONSTANCES fouille ou sondage prospection découverte fortuite Autre...Année 2009 Inventeur / Resp.fouille JG Pariat

1-3, CONTEXTE ARCHEOLOGIQUE

Site Villier-Le-bel Tène finale
(type, datation)Structure Fo.200 sondage 12...-20 à 40 cm
(type, datation)**2** LIEU DE CONSERVATION

Dépôt, localisation, n° de référence de la meule ...

SDAVO dépôt: boîte n°49, sac n°1387

Dernière date d'observation / mention
de la meule dans ce lieu**4**DESSINS**3** MORPHOLOGIE Ebauche3-1, TYPE Meta Catillus Indéterminé3-2, ETAT DE CONSERVATION Entier Secteur
 Demi Fragment

3-3, PRINCIPALES DIMENSIONS

A. Diamètre maxi. meule cm

B. Oeil : diam/écartement max cm

C. Hauteur maxi. meule cm

D. Hauteur du flanc cm

E. Oeil : épaisseur (hauteur) cm

3-4, OEIL DE LA MEULE

Forme de la section supérieure

 Circulaire Quadrangulaire Autre

Oeil catillus

Oeil meta

 avec logements d'anille Perforant

Précisions sur l'oeil

contact : groupe-meule@orange.fr

3-5. AMÉNAGEMENT(S) POUR L'ACTIONNEMENT DU CATILLUS absent non visible

1) ENCOCHE(S) sur le flanc "à ciel ouvert" (face sup.) trou vertical (face sup.) Autre...
Précisions (nombre, position, forme, dimensions ...)

.....
.....

2) AUTRE(S) TYPE(S) D'AMÉNAGEMENTS POUR L'ACTIONNEMENT (description, position, dimensions...)

.....
.....

3-6. ÉLÉMENTS RAPPORTÉS

3-7. MORPHOLOGIE : OBSERVATIONS COMPLÉMENTAIRES

.....
.....

5 MATIERE 5-1, ROCHE MEULIÈRE

5-2, DESCRIPTION Couleur Aspect matière Poreux Vacuaire Massif

..... Grains taille maxi.(mm.)
..... Visibles à l'oeil nu Non visibles à l'oeil nu

5-3, EXAMEN Vue par un géologue oui non Lame mince oui non

5-4, ORIGINE SUPPOSÉE locale

6 TRACES 6-1, SUR LA SURFACE MEULANTE

Traitement,
façonnage

Usure (degré,
position)

6-2, SUR AUTRE FACE, FLANCS, OEIL (traces façonnage, usure ...)

Trace de chauffe sur le flanc

.....
.....

7 SOURCES D'INFORMATION Faire précéder d'un astérisque la ou les sources utilisée(s) pour la fiche

Personne(s) ayant étudié la meule + date + n° de classement

.....
Bibliographie, rapports, archives, témoins ...

.....
.....
.....
.....

8 REMARQUES COMPLÉMENTAIRES

pas à dessiner

.....
.....

BASE MEULES : FORMES & MATIÈRES

MEULE ROTATIVE

FICHE DESCRIPTIVE (octobre 2006)

FICHE ** Si vous remplissez cette fiche pour la première fois, merci de consulter la notice explicative ** page 1/2

Auteur aurelie battistini Date création 23/09/09 modification

Votre numéro de fiche 1396 Export base groupe meule

Document(s) join(t)s / nom du fichier dessin

1 DECOUVERTE 1-1, LOCALISATION Code INSEE (départ. comm.) 680/277

Département (nom) VAL D'OISE Commune VILLIER-LE-BEL GONESSE

Lieu-dit ; nom du site archéol section Rd 10/ giratoire de la Fauconnière

Précisions

1-2, CIRCONSTANCES fouille ou sondage prospection découverte fortuite Autre...

Année 2009 Inventeur / Resp.fouille JG Pariat

1-3, CONTEXTE ARCHEOLOGIQUE

Site Villier-Le-bel Tène finale
(type, datation)

Structure F 504.0 à -20 cm
(type, datation)

2 LIEU DE CONSERVATION

Dépôt, localisation, n° de référence de la meule ...

SDAVO dépôt Boîte n°19 sac n°1389

Dernière date d'observation / mention de la meule dans ce lieu

4 DESSINS

3 MORPHOLOGIE

Ebauche

3-1, TYPE Meta Catillus Indéterminé

3-2, ETAT DE CONSERVATION Entier Secteur
 Demi Fragment

3-3, PRINCIPALES DIMENSIONS

A. Diamètre maxi. meule 21 cm

B. Oeil : diam/écartement max 8 cm

C. Hauteur maxi. meule 10 cm

D. Hauteur du flanc 10 cm

E. Oeil : épaisseur (hauteur) 5 cm

3-4, OEIL DE LA MEULE

Forme de la section supérieure

Circulaire Quadrangulaire Autre

Oeil catillus Oeil meta

avec logements d'anille Perforant

Précisions sur l'oeil

Raté de mise en forme?

.....

.....

.....

contact : groupe-meule@orange.fr

3-5. AMÉNAGEMENT(S) POUR L'ACTIONNEMENT DU CATILLUS absent non visible

1) ENCOCHE(S) sur le flanc "à ciel ouvert" (face sup.) trou vertical (face sup.) Autre...
Précisions (nombre, position, forme, dimensions ...)

.....
.....
.....

2) AUTRE(S) TYPE(S) D'AMÉNAGEMENTS POUR L'ACTIONNEMENT (description, position, dimensions...)

cerclage sur le flanc
.....
.....

3-6. ÉLÉMENTS RAPPORTÉS

3-7. MORPHOLOGIE : OBSERVATIONS COMPLÉMENTAIRES

.....
.....

5 MATIERE 5-1, ROCHE CALCAIRE

5-2, DESCRIPTION Couleur blanc jaune Aspect matière Poreux Vacuaire Massif

Grains taille maxi.(mm.)
 Visibles à l'oeil nu Non visibles à l'oeil nu

5-3, EXAMEN Vue par un géologue oui non lame mince oui non

5-4, ORIGINE SUPPOSÉE

6 TRACES 6-1, SUR LA SURFACE MEULANTE

Traitement,
façonnage

Usure (degré,
position)

6-2, SUR AUTRE FACE, FLANCS, OEIL_(traces façonnage, usure ...)

.....
.....

7 SOURCES D'INFORMATION Faire précéder d'un astérisque la ou les sources utilisée(s) pour la fiche

Personne(s) ayant étudié la meule + date + n° de classement

Bibliographie, rapports, archives, témoins ...

.....
.....
.....
.....

8 REMARQUES COMPLÉMENTAIRES

à dessiner

.....
.....

BASE MEULES : FORMES & MATIÈRES

MEULE ROTATIVE

FICHE DESCRIPTIVE (octobre 2006)

FICHE ** Si vous remplissez cette fiche pour la première fois, merci de consulter la notice explicative ** page 1/2

Auteur aurelie battistini Date création 23/09/09 modification

Votre numéro de fiche 1397 Export base groupe meule

Document(s) join(t)s / nom du fichier dessin

1 DECOUVERTE 1-1, LOCALISATION Code INSEE (dép+ commu.) 680/277.....

Département (nom) VAL D'OISE Commune VILLIER-LE-BEL GONESSE.....

Lieu-dit ; nom du site archéol section Rd 10/ giratoire de la Fauconnière.....

Précisions

1-2, CIRCONSTANCES fouille ou sondage prospection découverte fortuite Autre...

Année 2009 Inventeur / Resp.fouille JG Pariat.....

1-3, CONTEXTE ARCHEOLOGIQUE

Site Villier-Le-bel Tène finale.....
(type, datation)

Structure Fo 200 sondage A, passe 4, -80 cm, n°11 (n°de dém ontage).....
(type, datation)

2 LIEU DE CONSERVATION Dépôt, localisation, n° de référence de la meule ...

SDAVO dépôt boîte n°49, sac n°1390.....

Dernière date d'observation / mention de la meule dans ce lieu

4 DESSINS

3 MORPHOLOGIE Ebauche

3-1, TYPE Meta Catillus Indéterminé

3-2, ETAT DE CONSERVATION Entier Secteur
 Demi Fragment

3-3, PRINCIPALES DIMENSIONS

A. Diamètre maxi. meule cm

B. Oeil : diam/écartement max cm

C. Hauteur maxi. meule cm

D. Hauteur du flanc cm

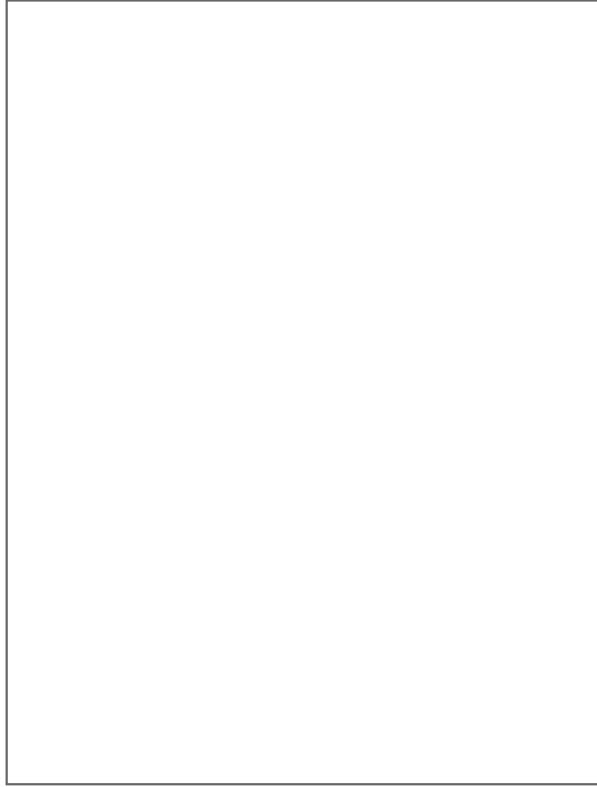
E. Oeil : épaisseur (hauteur) cm

3-4, OEIL DE LA MEULE

Forme de la section supérieure
 Circulaire Quadrangulaire Autre

Oeil catillus Oeil meta
 avec logements d'anille Perforant

Précisions sur l'oeil
.....
.....
.....
.....



3-5. AMÉNAGEMENT(S) POUR L'ACTIONNEMENT DU CATILLUS absent non visible

1) ENCOCHE(S) sur le flanc "à ciel ouvert" (face sup.) trou vertical (face sup.) Autre...
 Précisions (nombre, position, forme, dimensions ...)

.....

2) AUTRE(S) TYPE(S) D'AMÉNAGEMENTS POUR L'ACTIONNEMENT (description, position, dimensions...)

.....

3-6. ÉLÉMENTS RAPPORTÉS

3-7. MORPHOLOGIE : OBSERVATIONS COMPLÉMENTAIRES

.....

5 MATIERE 5-1, ROCHE CALCAIRE GRÉSEUX

5-2, DESCRIPTION Couleur Aspect matière Poreux Vacuaire Massif
 calcaire grossier luthétien Grains taille maxi.(mm.)
 Visibles à l'oeil nu Non visibles à l'oeil nu

5-3, EXAMEN Vue par un géologue oui non Lame mince oui non

5-4, ORIGINE SUPPOSÉE

6 TRACES 6-1, SUR LA SURFACE MEULANTE

Traitement,
 façonnage

Usure (degré,
 position)

6-2, SUR AUTRE FACE, FLANCS, OEIL (traces façonnage, usure ...)

sur le flanc traces de chauffe

7 SOURCES D'INFORMATION *Faire précéder d'un astérisque la ou les sources utilisée(s) pour la fiche*

Personne(s) ayant étudié la meule + date + n° de classement

.....
 Bibliographie, rapports, archives, témoins ...

8 REMARQUES COMPLÉMENTAIRES

pas à dessiner

BASE MEULES : FORMES & MATIÈRES

MEULE ROTATIVE

FICHE DESCRIPTIVE (octobre 2006)

FICHE

** Si vous remplissez cette fiche pour la première fois, merci de consulter la notice explicative **

page 1/2

Auteur aurelie battistini Date création 23/09/09 modificationVotre numéro de fiche 1398 Export base groupe meule

Document(s) join(t)s / nom du fichier dessin

1 DECOUVERTE 1-1, LOCALISATION Code INSEE (départ+ commu.) 680/277Département (nom) VAL D'OISE Commune VILLIER-LE-BEL GONESSELieu-dit ; nom du site archéologique section Rd 10/ giratoire de la Fauconnière

Précisions

1-2, CIRCONSTANCES fouille ou sondage prospection découverte fortuite Autre...Année 2009 Inventeur / Resp.fouille JG Pariat

1-3, CONTEXTE ARCHEOLOGIQUE

Site Villier-Le-bel Tène finale
(type, datation)Structure F.501 (silo), passe 6, -60 à -70 cm
(type, datation)**2** LIEU DE CONSERVATION

Dépôt, localisation, n° de référence de la meule ...

SDAVO dépôt, boîte n°49, sac n°1391Dernière date d'observation / mention
de la meule dans ce lieu**4**DESSINS**3** MORPHOLOGIE Ebauche3-1, TYPE Meta Catillus Indéterminé3-2, ETAT DE CONSERVATION Entier Secteur
 Demi Fragment

3-3, PRINCIPALES DIMENSIONS

A. Diamètre maxi. meule cm

B. Oeil : diam/écartement max cm

C. Hauteur maxi. meule 6,99 cm

D. Hauteur du flanc cm

E. Oeil : épaisseur (hauteur) cm

3-4, OEIL DE LA MEULE

Forme de la section supérieure

 Circulaire Quadrangulaire Autre

Oeil catillus

Oeil meta

 avec logements d'anille Perforant

Précisions sur l'oeil

contact : groupe-meule@orange.fr

3-5. AMÉNAGEMENT(S) POUR L'ACTIONNEMENT DU CATILLUS absent non visible

1) ENCOCHE(S) sur le flanc "à ciel ouvert" (face sup.) trou vertical (face sup.) Autre...
Précisions (nombre, position, forme, dimensions ...)

.....
.....

2) AUTRE(S) TYPE(S) D'AMÉNAGEMENTS POUR L'ACTIONNEMENT (description, position, dimensions...)

.....
.....

3-6. ÉLÉMENTS RAPPORTÉS

3-7. MORPHOLOGIE : OBSERVATIONS COMPLÉMENTAIRES

.....
.....

5 MATIERE 5-1, ROCHE GRÈS

5-2, DESCRIPTION Couleur Aspect matière Poreux Vacuaire Massif
..... Grains taille maxi.(mm.)
..... Visibles à l'oeil nu Non visibles à l'oeil nu

5-3, EXAMEN Vue par un géologue oui non Lame mince oui non

5-4, ORIGINE SUPPOSÉE local

6 TRACES 6-1, SUR LA SURFACE MEULANTE

Traitement,
façonnage

Usure (degré,
position)

6-2, SUR AUTRE FACE, FLANCS, OEIL (traces façonnage, usure ...)

traces de chauffe

7 SOURCES D'INFORMATION Faire précéder d'un astérisque la ou les sources utilisée(s) pour la fiche

Personne(s) ayant étudié la meule + date + n° de classement

JL Maire (14/09/09)

Bibliographie, rapports, archives, témoins ...

.....
.....
.....
.....

8 REMARQUES COMPLÉMENTAIRES

pas à dessiner

.....
.....

BASE MEULES : FORMES & MATIÈRES

MEULE ROTATIVE

FICHE DESCRIPTIVE (octobre 2006)

FICHE ** Si vous remplissez cette fiche pour la première fois, merci de consulter la notice explicative ** page 1/2

Auteur aurelie battistini Date création 23/09/09 modification

Votre numéro de fiche 1399 Export base groupe meule

Document(s) join(t)s / nom du fichier dessin

1 DECOUVERTE 1-1, LOCALISATION Code INSEE (départ. commu.) 680/277.....

Département (nom) VAL D'OISE Commune VILLIER-LE-BEL GONESSE.....

Lieu-dit ; nom du site archéol. section Rd 10/ giratoire de la Fauconnière.....

Précisions

1-2, CIRCONSTANCES fouille ou sondage prospection découverte fortuite Autre...

Année 2009 Inventeur / Resp.fouille JG Pariat.....

1-3, CONTEXTE ARCHEOLOGIQUE

Site Villier-Le-bel Tène finale.....
(type, datation)

Structure Fo.200 sondage 12. -40 à -60 cm.....
(type, datation)

2 LIEU DE CONSERVATION Dépôt, localisation, n° de référence de la meule ...

SDAVO dépôt boîte n°49 sac n°1392.....

Dernière date d'observation / mention de la meule dans ce lieu

4 DESSINS

3 MORPHOLOGIE Ebauche

3-1, TYPE Meta Catillus Indéterminé

3-2, ETAT DE CONSERVATION Entier Secteur
 Demi Fragment

3-3, PRINCIPALES DIMENSIONS

A. Diamètre maxi. meule cm

B. Oeil : diam/écartement max cm

C. Hauteur maxi. meule cm

D. Hauteur du flanc cm

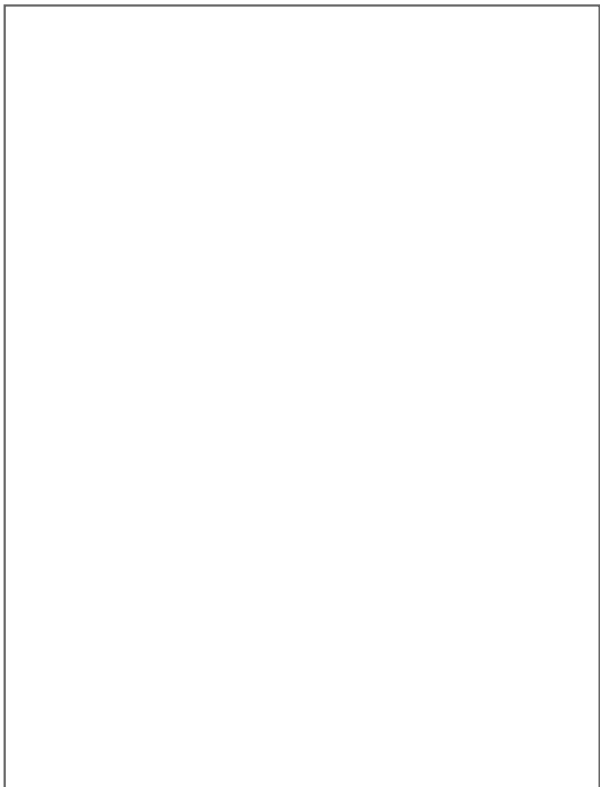
E. Oeil : épaisseur (hauteur) cm

3-4, OEIL DE LA MEULE

Forme de la section supérieure
 Circulaire Quadrangulaire Autre

Oeil catillus Oeil meta
 avec logements d'anille Perforant

Précisions sur l'oeil
.....
.....
.....
.....



3-5. AMÉNAGEMENT(S) POUR L'ACTIONNEMENT DU CATILLUS absent non visible

1) ENCOCHE(S) sur le flanc "à ciel ouvert" (face sup.) trou vertical (face sup.) Autre...

Précisions (nombre, position, forme, dimensions ...)

.....
.....

2) AUTRE(S) TYPE(S) D'AMÉNAGEMENTS POUR L'ACTIONNEMENT (description, position, dimensions...)

.....
.....

3-6. ÉLÉMENTS RAPPORTÉS

3-7. MORPHOLOGIE : OBSERVATIONS COMPLÉMENTAIRES

.....
.....

5 MATIERE 5-1, ROCHE MEULIÈRE

5-2, DESCRIPTION Couleur Aspect matière Poreux Vacuaire Massif

Grains taille maxi.(mm.)

Visibles à l'oeil nu Non visibles à l'oeil nu

5-3, EXAMEN Vue par un géologue oui non Lame mince oui non

5-4, ORIGINE SUPPOSÉE Locale

6 TRACES 6-1, SUR LA SURFACE MEULANTE

Traitement,
façonnage

Usure (degré, surface active émoussée
position)

6-2, SUR AUTRE FACE, FLANCS, OEIL (traces façonnage, usure ...)

traces de chauffe
.....

7 SOURCES D'INFORMATION Faire précéder d'un astérisque la ou les sources utilisée(s) pour la fiche

Personne(s) ayant étudié la meule + date + n° de classement

JL Maire (14/09/09)

Bibliographie, rapports, archives, témoins ...

.....
.....
.....
.....

8 REMARQUES COMPLÉMENTAIRES

pas à dessiner

.....
.....

BASE MEULES : FORMES & MATIÈRES

MEULE ROTATIVE

FICHE DESCRIPTIVE (octobre 2006)

FICHE

** Si vous remplissez cette fiche pour la première fois, merci de consulter la notice explicative **

page 1/2

Auteur aurelie battistini Date création 23/09/09 modification

Votre numéro de fiche 1401 Export base groupe meule

Document(s) join(t)s / nom du fichier dessin

1 DECOUVERTE 1-1, LOCALISATION Code INSEE (départ. comm.) 680/277

Département (nom) VAL D'OISE Commune VILLIER-LE-BEL GONESSE

Lieu-dit ; nom du site archéologique section Rd 10/ giratoire de la Fauconnière

Précisions

1-2, CIRCONSTANCES fouille ou sondage prospection découverte fortuite Autre...

Année 2009 Inventeur / Resp.fouille JG Pariat

1-3, CONTEXTE ARCHEOLOGIQUE

Site Villier-Le-bel Tène finale
(type, datation)

Structure Fo.200 sondage U. -60 à -80 cm
(type, datation)

2 LIEU DE CONSERVATION

Dépôt, localisation, n° de référence de la meule ...

SDAVO dépôt boîte n°49 sac n°1394

Dernière date d'observation / mention de la meule dans ce lieu

4 DESSINS

3 MORPHOLOGIE

Ebauche

3-1, TYPE Meta Catillus Indéterminé

3-2, ETAT DE CONSERVATION Entier Secteur
 Demi Fragment

3-3. PRINCIPALES DIMENSIONS

A. Diamètre maxi. meule cm

B. Oeil : diam/écartement max cm

C. Hauteur maxi. meule cm

D. Hauteur du flanc cm

E. Oeil : épaisseur (hauteur) cm

3-4. OEIL DE LA MEULE

Forme de la section supérieure

Circulaire Quadrangulaire Autre

Oeil catillus

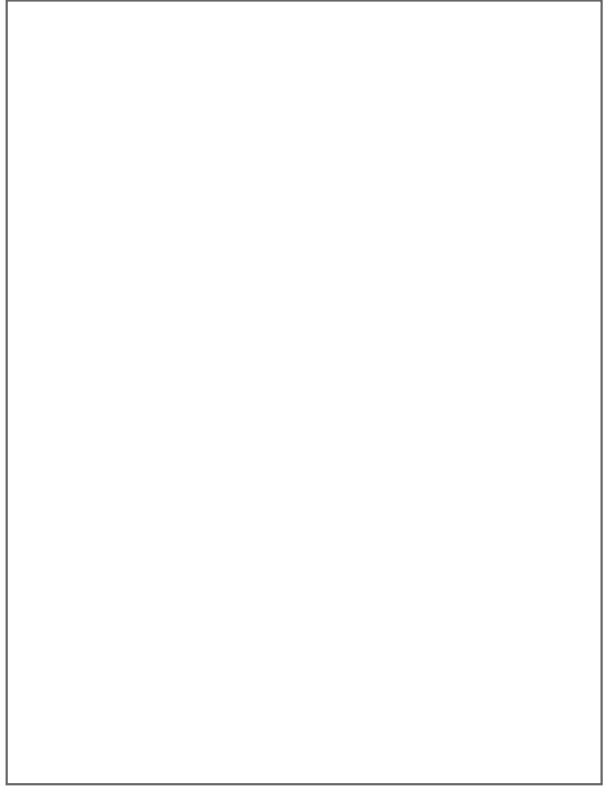
Oeil meta

avec logements d'anille

Perforant

Précisions sur l'oeil

.....
.....
.....
.....



3-5. AMÉNAGEMENT(S) POUR L'ACTIONNEMENT DU CATILLUS absent non visible

1) ENCOCHE(S) sur le flanc "à ciel ouvert" (face sup.) trou vertical (face sup.) Autre...
Précisions (nombre, position, forme, dimensions ...)

.....
.....

2) AUTRE(S) TYPE(S) D'AMÉNAGEMENTS POUR L'ACTIONNEMENT (description, position, dimensions...)

.....
.....

3-6. ÉLÉMENTS RAPPORTÉS

3-7. MORPHOLOGIE : OBSERVATIONS COMPLÉMENTAIRES

.....
.....

5 MATIERE 5-1, ROCHE POUDINGUE

5-2, DESCRIPTION Couleur Aspect matière Poreux Vacuaire Massif

Arkose de Breuillet Grains taille maxi.(mm.)
 Visibles à l'oeil nu Non visibles à l'oeil nu

5-3, EXAMEN Vue par un géologue oui non Lame mince oui non

5-4, ORIGINE SUPPOSÉE allochtone

6 TRACES 6-1, SUR LA SURFACE MEULANTE

Traitement,
façonnage

Usure (degré,
position)

6-2, SUR AUTRE FACE, FLANCS, OEIL_(traces façonnage, usure ...)

.....
.....

7 SOURCES D'INFORMATION *Faire précéder d'un astérisque la ou les sources utilisée(s) pour la fiche*

Personne(s) ayant étudié la meule + date + n° de classement

JL Maire (14/09/09)

Bibliographie, rapports, archives, témoins ...

.....
.....
.....
.....

8 REMARQUES COMPLÉMENTAIRES

pas à dessiner

.....
.....

BASE MEULES : FORMES & MATIÈRES

MEULE ROTATIVE

FICHE DESCRIPTIVE (octobre 2006)

FICHE

** Si vous remplissez cette fiche pour la première fois, merci de consulter la notice explicative **

page 1/2

Auteur aurelie battistini Date création 23/09/09 modificationVotre numéro de fiche 1402 Export base groupe meule

Document(s) join(t)s / nom du fichier dessin

1 **DECOUVERTE** 1-1, LOCALISATION Code INSEE (départ. comm.) 680/277Département (nom) VAL D'OISE Commune VILLIER-LE-BEL GONESSELieu-dit ; nom du site archéologique section Rd 10/ giratoire de la Fauconnière

Précisions

1-2, CIRCONSTANCES fouille ou sondage prospection découverte fortuite Autre...Année 2009 Inventeur / Resp.fouille JG Pariat

1-3, CONTEXTE ARCHEOLOGIQUE

Site Villier-Le-bel Tène finale
(type, datation)Structure Fo.200 sondage V. passe n5. -60 cm
(type, datation)**2** **LIEU DE CONSERVATION**

Dépôt, localisation, n° de référence de la meule ...

SDAVO dépôt boîte n°49 sac n°1395

Dernière date d'observation / mention
de la meule dans ce lieu**4****DESSINS****3** **MORPHOLOGIE** Ebauche3-1, TYPE Meta Catillus Indéterminé3-2, ETAT DE CONSERVATION Entier Secteur
 Demi Fragment

3-3, PRINCIPALES DIMENSIONS

A. Diamètre maxi. meule cm

B. Oeil : diam/écartement max cm

C. Hauteur maxi. meule cm

D. Hauteur du flanc cm

E. Oeil : épaisseur (hauteur) cm

3-4, OEIL DE LA MEULE

Forme de la section supérieure

 Circulaire Quadrangulaire Autre

Oeil catillus

Oeil meta

 avec logements d'anille Perforant

Précisions sur l'oeil

contact : groupe-meule@orange.fr

3-5. AMÉNAGEMENT(S) POUR L'ACTIONNEMENT DU CATILLUS absent non visible

1) ENCOCHE(S) sur le flanc "à ciel ouvert" (face sup.) trou vertical (face sup.) Autre...
Précisions (nombre, position, forme, dimensions ...)

.....
.....

2) AUTRE(S) TYPE(S) D'AMÉNAGEMENTS POUR L'ACTIONNEMENT (description, position, dimensions...)

.....
.....

3-6. ÉLÉMENTS RAPPORTÉS

3-7. MORPHOLOGIE : OBSERVATIONS COMPLÉMENTAIRES

.....
.....

5 MATIERE 5-1, ROCHE POUDINGUE

5-2, DESCRIPTION Couleur Aspect matière Poreux Vacuaire Massif

Arkose de Breuillet Grains taille maxi.(mm.)
 Visibles à l'oeil nu Non visibles à l'oeil nu

5-3, EXAMEN Vue par un géologue oui non Lame mince oui non

5-4, ORIGINE SUPPOSÉE Allochtone

6 TRACES 6-1, SUR LA SURFACE MEULANTE

Traitement,
façonnage

Usure (degré,
position)

6-2, SUR AUTRE FACE, FLANCS, OEIL (traces façonnage, usure ...)

.....
.....

7 SOURCES D'INFORMATION *Faire précéder d'un astérisque la ou les sources utilisée(s) pour la fiche*

Personne(s) ayant étudié la meule + date + n° de classement

JL Maire (14/09/09)

Bibliographie, rapports, archives, témoins ...

.....
.....
.....
.....

8 REMARQUES COMPLÉMENTAIRES

pas à dessiner

.....
.....

BASE MEULES : FORMES & MATIÈRES

MEULE ROTATIVE

FICHE DESCRIPTIVE (octobre 2006)

FICHE

** Si vous remplissez cette fiche pour la première fois, merci de consulter la notice explicative **

page 1/2

Auteur aurelie battistini Date création 23/09/09 modification

Votre numéro de fiche 1403 Export base groupe meule

Document(s) join(t)s / nom du fichier dessin

1 DECOUVERTE 1-1, LOCALISATION Code INSEE (départ. comm.) 680/277

Département (nom) VAL D'OISE Commune VILLIER-LE-BEL GONESSE

Lieu-dit ; nom du site archéologique section Rd 10/ giratoire de la Fauconnière

Précisions

1-2, CIRCONSTANCES fouille ou sondage prospection découverte fortuite Autre...

Année 2009 Inventeur / Resp. fouille JG Pariat

1-3, CONTEXTE ARCHEOLOGIQUE

Site Villier-Le-bel Tène finale
(type, datation)

Structure Fo.200.HC
(type, datation)

2 LIEU DE CONSERVATION

Dépôt, localisation, n° de référence de la meule ...

SDAVO dépôt boîte n°50 sac n°1396

Dernière date d'observation / mention de la meule dans ce lieu

4 DESSINS

3 MORPHOLOGIE

Ebauche

3-1, TYPE Meta Catillus Indéterminé

3-2, ETAT DE CONSERVATION Entier Secteur
 Demi Fragment

3-3, PRINCIPALES DIMENSIONS

A. Diamètre maxi. meule 36 cm

B. Oeil : diam/écartement max cm

C. Hauteur maxi. meule 13 cm

D. Hauteur du flanc cm

E. Oeil : épaisseur (hauteur) cm

3-4, OEIL DE LA MEULE

Forme de la section supérieure

Circulaire Quadrangulaire Autre

Oeil catillus

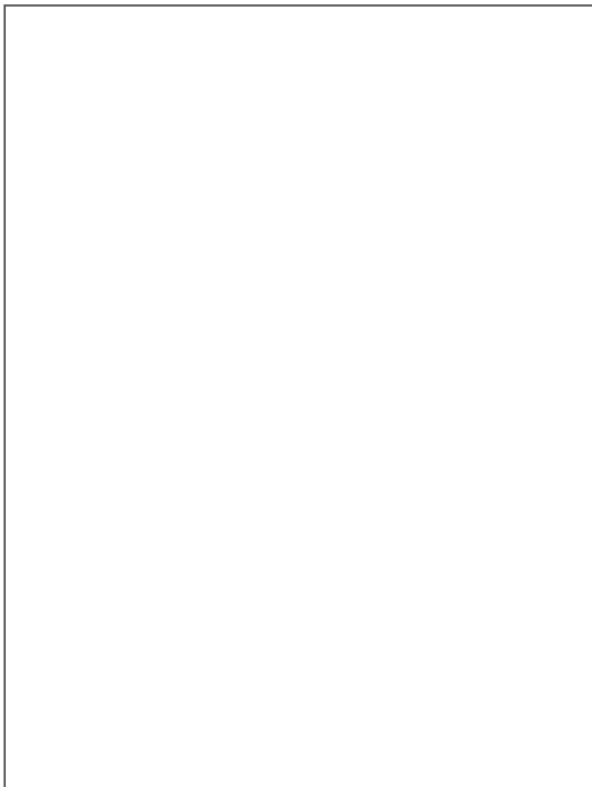
Oeil meta

avec logements d'anille

Perforant

Précisions sur l'oeil

.....
.....
.....
.....



3-5. AMÉNAGEMENT(S) POUR L'ACTIONNEMENT DU CATILLUS absent non visible

1) ENCOCHE(S) sur le flanc "à ciel ouvert" (face sup.) trou vertical (face sup.) Autre...

Précisions (nombre, position, forme, dimensions ...)

encoche latérale

2) AUTRE(S) TYPE(S) D'AMÉNAGEMENTS POUR L'ACTIONNEMENT (description, position, dimensions...)

3-6. ÉLÉMENTS RAPPORTÉS

3-7. MORPHOLOGIE : OBSERVATIONS COMPLÉMENTAIRES

5 MATIÈRE 5-1, ROCHE MEULIÈRE

5-2, DESCRIPTION Couleur Aspect matière Poreux Vacuaire Massif

Grains taille maxi.(mm.)

Visibles à l'oeil nu Non visibles à l'oeil nu

5-3, EXAMEN Vue par un géologue oui non lame mince oui non

5-4, ORIGINE SUPPOSÉE locale

6 TRACES 6-1, SUR LA SURFACE MEULANTE

Traitement, façonnage

Usure (degré, position)

6-2, SUR AUTRE FACE, FLANCS, OEIL (traces façonnage, usure ...)

traces de chauffe?

7 SOURCES D'INFORMATION Faire précéder d'un astérisque la ou les sources utilisée(s) pour la fiche

Personne(s) ayant étudié la meule + date + n° de classement

Bibliographie, rapports, archives, témoins ...

8 REMARQUES COMPLÉMENTAIRES

à dessiner

BASE MEULES : FORMES & MATIÈRES

MEULE ROTATIVE

FICHE DESCRIPTIVE (octobre 2006)

FICHE

** Si vous remplissez cette fiche pour la première fois, merci de consulter la notice explicative **

page 1/2

Auteur aurelie battistini Date création 23/09/09 modification

Votre numéro de fiche 1404 Export base groupe meule

Document(s) join(t)s / nom du fichier dessin

1 DECOUVERTE 1-1, LOCALISATION Code INSEE (dép+ commu.) 680/277

Département (nom) VAL D'OISE Commune VILLIER-LE-BEL GONESSE

Lieu-dit ; nom du site archéol section Rd 10/ giratoire de la Fauconnière

Précisions

1-2, CIRCONSTANCES fouille ou sondage prospection découverte fortuite Autre...

Année 2009 Inventeur / Resp.fouille JG Pariat

1-3, CONTEXTE ARCHEOLOGIQUE

Site Villier-Le-bel Tène finale
(type, datation)

Structure silo (diag 2008) -80 à 100 cm
(type, datation)

2 LIEU DE CONSERVATION

Dépôt, localisation, n° de référence de la meule ...

SDAVO dépôt boîte n°50 sac n°1397

Dernière date d'observation / mention de la meule dans ce lieu

4 DESSINS

3 MORPHOLOGIE

Ebauche

3-1, TYPE Meta Catillus Indéterminé

3-2, ETAT DE CONSERVATION Entier Secteur
 Demi Fragment

3-3, PRINCIPALES DIMENSIONS

A. Diamètre maxi. meule cm

B. Oeil : diam/écartement max cm

C. Hauteur maxi. meule 5,55 cm

D. Hauteur du flanc cm

E. Oeil : épaisseur (hauteur) cm

3-4, OEIL DE LA MEULE

Forme de la section supérieure

Circulaire Quadrangulaire Autre

Oeil catillus

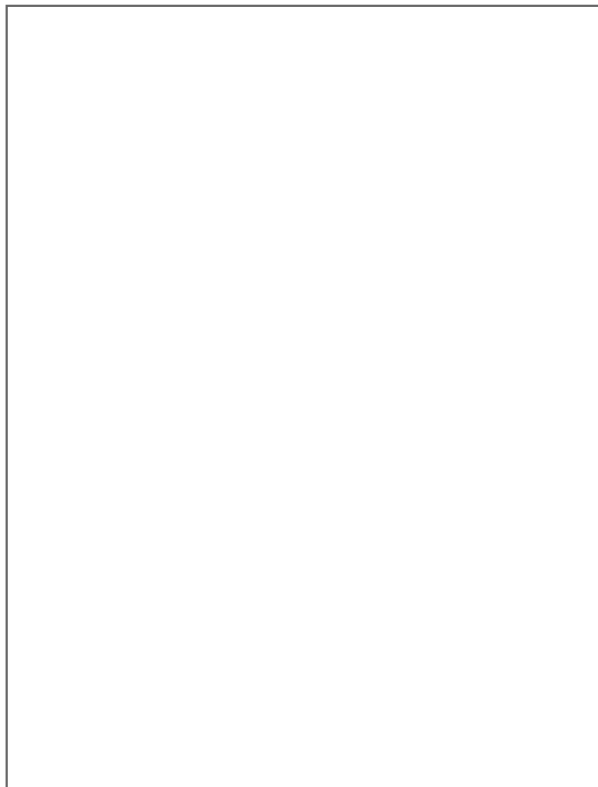
Oeil meta

avec logements d'anille

Perforant

Précisions sur l'oeil

.....
.....
.....
.....



3-5. AMÉNAGEMENT(S) POUR L'ACTIONNEMENT DU CATILLUS absent non visible

1) ENCOCHE(S) sur le flanc "à ciel ouvert" (face sup.) trou vertical (face sup.) Autre...
Précisions (nombre, position, forme, dimensions ...)

.....
.....

2) AUTRE(S) TYPE(S) D'AMÉNAGEMENTS POUR L'ACTIONNEMENT (description, position, dimensions...)

.....
.....

3-6. ÉLÉMENTS RAPPORTÉS

3-7. MORPHOLOGIE : OBSERVATIONS COMPLÉMENTAIRES

.....
.....

5 MATIERE 5-1, ROCHE GRÈS

5-2, DESCRIPTION Couleur Aspect matière Poreux Vacuaire Massif

Grains taille maxi.(mm.)
 Visibles à l'oeil nu Non visibles à l'oeil nu

5-3, EXAMEN Vue par un géologue oui non Lame mince oui non

5-4, ORIGINE SUPPOSÉE local

6 TRACES 6-1, SUR LA SURFACE MEULANTE

Traitement,
façonnage

Usure (degré, surface active émoussée
position)

6-2, SUR AUTRE FACE, FLANCS, OEIL (traces façonnage, usure ...)

.....
.....

7 SOURCES D'INFORMATION *Faire précéder d'un astérisque la ou les sources utilisée(s) pour la fiche*

Personne(s) ayant étudié la meule + date + n° de classement

Bibliographie, rapports, archives, témoins ...

.....
.....
.....
.....

8 REMARQUES COMPLÉMENTAIRES

pas à dessiner

.....
.....

BASE MEULES : FORMES & MATIÈRES

MEULE ROTATIVE

FICHE DESCRIPTIVE (octobre 2006)

FICHE

** Si vous remplissez cette fiche pour la première fois, merci de consulter la notice explicative **

page 1/2

Auteur aurelie battistini Date création 23/09/09 modificationVotre numéro de fiche 1405 Export base groupe meule

Document(s) join(t)s / nom du fichier dessin

1 DECOUVERTE 1-1, LOCALISATION Code INSEE (départ. comm.) 680/277Département (nom) VAL D'OISE Commune VILLIER-LE-BEL GONESSELieu-dit ; nom du site archéologique section Rd 10/ giratoire de la Fauconnière

Précisions

1-2, CIRCONSTANCES fouille ou sondage prospection découverte fortuite Autre...Année 2009 Inventeur / Resp.fouille J.G. Pariat

1-3, CONTEXTE ARCHEOLOGIQUE

Site Villier-Le-bel Tène finale
(type, datation)Structure Fo.200 sondage 1.-65 cm
(type, datation)**2** LIEU DE CONSERVATION

Dépôt, localisation, n° de référence de la meule ...

SDAVO dépôt boîte n°50 sac n°1398Dernière date d'observation / mention
de la meule dans ce lieu**4**DESSINS**3** MORPHOLOGIE Ebauche3-1, TYPE Meta Catillus Indéterminé3-2, ETAT DE CONSERVATION Entier Secteur
 Demi Fragment

3-3, PRINCIPALES DIMENSIONS

A. Diamètre maxi. meule 27 cm

B. Oeil : diam/écartement max cm

C. Hauteur maxi. meule cm

D. Hauteur du flanc cm

E. Oeil : épaisseur (hauteur) cm

3-4, OEIL DE LA MEULE

Forme de la section supérieure

 Circulaire Quadrangulaire Autre

Oeil catillus

Oeil meta

 avec logements d'anille Perforant

Précisions sur l'oeil

contact : groupe-meule@orange.fr

3-5. AMÉNAGEMENT(S) POUR L'ACTIONNEMENT DU CATILLUS absent non visible

1) ENCOCHE(S) sur le flanc "à ciel ouvert" (face sup.) trou vertical (face sup.) Autre...
Précisions (nombre, position, forme, dimensions ...)

.....
.....
.....

2) AUTRE(S) TYPE(S) D'AMÉNAGEMENTS POUR L'ACTIONNEMENT (description, position, dimensions...)

.....
.....
.....

3-6. ÉLÉMENTS RAPPORTÉS

3-7. MORPHOLOGIE : OBSERVATIONS COMPLÉMENTAIRES

.....
.....
.....

5 MATIERE 5-1, ROCHE MEULIÈRE

5-2, DESCRIPTION Couleur Aspect matière Poreux Vacuaire Massif

..... Grains taille maxi.(mm.)
..... Visibles à l'oeil nu Non visibles à l'oeil nu

5-3, EXAMEN Vue par un géologue oui non Lame mince oui non

5-4, ORIGINE SUPPOSÉE Locale

6 TRACES 6-1, SUR LA SURFACE MEULANTE

Traitement,
façonnage

Usure (degré,
position)

6-2, SUR AUTRE FACE, FLANCS, OEIL_(traces façonnage, usure ...)

.....
.....
.....

7 SOURCES D'INFORMATION Faire précéder d'un astérisque la ou les sources utilisée(s) pour la fiche

Personne(s) ayant étudié la meule + date + n° de classement

.....
Bibliographie, rapports, archives, témoins ...
.....
.....
.....
.....

8 REMARQUES COMPLÉMENTAIRES

pas à dessiner

.....
.....

BASE MEULES : FORMES & MATIÈRES

MEULE ROTATIVE

FICHE DESCRIPTIVE (octobre 2006)

FICHE

** Si vous remplissez cette fiche pour la première fois, merci de consulter la notice explicative **

page 1/2

Auteur aurelie battistini Date création 23/09/09 modificationVotre numéro de fiche 1406 Export base groupe meule

Document(s) join(t)s / nom du fichier dessin

1 DECOUVERTE 1-1, LOCALISATION Code INSEE (départ+ commu.) 680/277Département (nom) VAL D'OISE Commune VILLIER-LE-BEL GONESSELieu-dit ; nom du site archéologique section Rd 10/ giratoire de la Fauconnière

Précisions

1-2, CIRCONSTANCES fouille ou sondage prospection découverte fortuite Autre...Année 2009 Inventeur / Resp.fouille JG Pariat

1-3, CONTEXTE ARCHEOLOGIQUE

Site Villier-Le-bel Tène finale
(type, datation)Structure Fo 200, sondage 7, 0 à -70 cm
(type, datation)**2** LIEU DE CONSERVATION

Dépôt, localisation, n° de référence de la meule ...

SDAVO dépôt boîte n°50, sac n°1399Dernière date d'observation / mention
de la meule dans ce lieu**4****DESSINS****3** MORPHOLOGIE Ebauche3-1, TYPE Meta Catillus Indéterminé3-2, ETAT DE CONSERVATION Entier Secteur
 Demi Fragment

3-3, PRINCIPALES DIMENSIONS

A. Diamètre maxi. meule 20? cm

B. Oeil : diam/écartement max cm

C. Hauteur maxi. meule 11.50 cm

D. Hauteur du flanc cm

E. Oeil : épaisseur (hauteur) cm

3-4, OEIL DE LA MEULE

Forme de la section supérieure

 Circulaire Quadrangulaire Autre

Oeil catillus

Oeil meta

 avec logements d'anille Perforant

Précisions sur l'oeil

.....
.....
.....
.....

contact : groupe-meule@orange.fr

3-5. AMÉNAGEMENT(S) POUR L'ACTIONNEMENT DU CATILLUS absent non visible

1) ENCOCHE(S) sur le flanc "à ciel ouvert" (face sup.) trou vertical (face sup.) Autre...
Précisions (nombre, position, forme, dimensions ...)

.....
.....
.....

2) AUTRE(S) TYPE(S) D'AMÉNAGEMENTS POUR L'ACTIONNEMENT (description, position, dimensions...)

.....
.....
.....

3-6. ÉLÉMENTS RAPPORTÉS

3-7. MORPHOLOGIE : OBSERVATIONS COMPLÉMENTAIRES

.....
.....
.....

5 MATIERE 5-1, ROCHE MEULIÈRE

5-2, DESCRIPTION Couleur Aspect matière Poreux Vacuaire Massif

..... Grains taille maxi.(mm.)
..... Visibles à l'oeil nu Non visibles à l'oeil nu

5-3, EXAMEN Vue par un géologue oui non Lame mince oui non

5-4, ORIGINE SUPPOSÉE locale

6 TRACES 6-1, SUR LA SURFACE MEULANTE

Traitement,
façonnage

Usure (degré,
position)

6-2, SUR AUTRE FACE, FLANCS, OEIL_(traces façonnage, usure ...)

.....
.....
.....

7 SOURCES D'INFORMATION Faire précéder d'un astérisque la ou les sources utilisée(s) pour la fiche

Personne(s) ayant étudié la meule + date + n° de classement

.....
Bibliographie, rapports, archives, témoins ...
.....
.....
.....
.....

8 REMARQUES COMPLÉMENTAIRES

à dessiner

.....
.....

BASE MEULES : FORMES & MATIÈRES

MEULE ROTATIVE

FICHE DESCRIPTIVE (octobre 2006)

FICHE

** Si vous remplissez cette fiche pour la première fois, merci de consulter la notice explicative **

page 1/2

Auteur aurelie battistini Date création 23/09/09 modification

Votre numéro de fiche 1407 Export base groupe meule

Document(s) join(t)s / nom du fichier dessin

1 **DECOUVERTE** 1-1, LOCALISATION Code INSEE (départ. comm.) 680/277

Département (nom) VAL D'OISE Commune VILLIER-LE-BEL GONESSE

Lieu-dit ; nom du site archéologique section Rd 10/ giratoire de la Fauconnière

Précisions

1-2, CIRCONSTANCES fouille ou sondage prospection découverte fortuite Autre...

Année 2009 Inventeur / Resp. fouille JG pariat

1-3, CONTEXTE ARCHEOLOGIQUE

Site Villier-Le-bel, Tène finale
(type, datation)

Structure F 501 (silo), -220 à -220 cm
(type, datation)

2 **LIEU DE CONSERVATION**

Dépôt, localisation, n° de référence de la meule ...

SDAVO dépôt, caisse n°6, sac n°1400

Dernière date d'observation / mention de la meule dans ce lieu

4 **DESSINS**

3 **MORPHOLOGIE**

Ebauche

3-1, TYPE Meta Catillus Indéterminé

3-2, ETAT DE CONSERVATION Entier Secteur Demi Fragment

3-3, PRINCIPALES DIMENSIONS

A. Diamètre maxi. meule 30 cm

B. Oeil : diam/écartement max 5 cm

C. Hauteur maxi. meule 12 cm

D. Hauteur du flanc 11 cm

E. Oeil : épaisseur (hauteur) 8,5 cm

3-4, OEIL DE LA MEULE

Forme de la section supérieure

Circulaire Quadrangulaire Autre

Oeil catillus

Oeil meta

avec logements d'anille

Perforant

Précisions sur l'oeil

traces d'usure

3-5. AMÉNAGEMENT(S) POUR L'ACTIONNEMENT DU CATILLUS absent non visible

1) ENCOCHE(S) sur le flanc "à ciel ouvert" (face sup.) trou vertical (face sup.) Autre...
Précisions (nombre, position, forme, dimensions ...)

.....
.....
.....

2) AUTRE(S) TYPE(S) D'AMÉNAGEMENTS POUR L'ACTIONNEMENT (description, position, dimensions...)

.....
.....
.....

3-6. ÉLÉMENTS RAPPORTÉS

3-7. MORPHOLOGIE : OBSERVATIONS COMPLÉMENTAIRES

flanc asymétrique, surface plano active convexe.....
.....
.....

5 MATIERE 5-1, ROCHE CALCAIRE GRSOISSIER LUTHETIEN.....

5-2, DESCRIPTION Couleur Aspect matière Poreux Vacuaire Massif
..... Grains taille maxi.(mm.)
..... Visibles à l'oeil nu Non visibles à l'oeil nu

5-3, EXAMEN Vue par un géologue oui non Lame mince oui non

5-4, ORIGINE SUPPOSÉE local.....

6 TRACES 6-1, SUR LA SURFACE MEULANTE

Traitement,
façonnage

Usure (degré, usure autour de l'oeil
position)

6-2, SUR AUTRE FACE, FLANCS, OEIL (traces façonnage, usure ...)

.....
.....
.....

7 SOURCES D'INFORMATION Faire précéder d'un astérisque la ou les sources utilisée(s) pour la fiche

Personne(s) ayant étudié la meule + date + n° de classement

.....
Bibliographie, rapports, archives, témoins ...
.....
.....
.....
.....

8 REMARQUES COMPLÉMENTAIRES

à dessiner
.....
.....

BASE MEULES : FORMES & MATIÈRES

MEULE ROTATIVE

FICHE DESCRIPTIVE (octobre 2006)

FICHE

** Si vous remplissez cette fiche pour la première fois, merci de consulter la notice explicative **

page 1/2

Auteur aurelie battistini Date création 23/09/09 modificationVotre numéro de fiche 1408 Export base groupe meule

Document(s) join(t)s / nom du fichier dessin

1 **DECOUVERTE** 1-1, LOCALISATION Code INSEE (départ. comm.) 680/277Département (nom) VAL D'OISE Commune VILLIER-LE-BEL GONESSELieu-dit ; nom du site archéologique section Rd 10/ giratoire de la Fauconnière

Précisions

1-2, CIRCONSTANCES fouille ou sondage prospection découverte fortuite Autre...Année 2009 Inventeur / Resp. fouille J.G. Pariat**1-3, CONTEXTE ARCHEOLOGIQUE**Site Villier-Le-bel, Tène finale
(type, datation)Structure Fo.200, sondage A, passe 4
(type, datation)**2** **LIEU DE CONSERVATION**

Dépôt, localisation, n° de référence de la meule ...

SDAVO, dépôt, caisse n°6, sac n°1401Dernière date d'observation / mention
de la meule dans ce lieu**4****DESSINS****3** **MORPHOLOGIE** Ebauche3-1, TYPE Meta Catillus Indéterminé3-2, ETAT DE CONSERVATION Entier Secteur
 Demi Fragment**3-3, PRINCIPALES DIMENSIONS**

A. Diamètre maxi. meule cm

B. Oeil : diam/écartement max cm

C. Hauteur maxi. meule 16 cmD. Hauteur du flanc 16 cmE. Oeil : épaisseur (hauteur) 11 cm**3-4, OEIL DE LA MEULE**

Forme de la section supérieure

 Circulaire Quadrangulaire Autre

Oeil catillus

Oeil meta

 avec logements d'anille Perforant

Précisions sur l'oeil

3-5. AMÉNAGEMENT(S) POUR L'ACTIONNEMENT DU CATILLUS absent non visible

1) ENCOCHE(S) sur le flanc "à ciel ouvert" (face sup.) trou vertical (face sup.) Autre...

Précisions (nombre, position, forme, dimensions ...)

encoche latérale

2) AUTRE(S) TYPE(S) D'AMÉNAGEMENTS POUR L'ACTIONNEMENT (description, position, dimensions...)

3-6. ÉLÉMENTS RAPPORTÉS

3-7. MORPHOLOGIE : OBSERVATIONS COMPLÉMENTAIRES

5 MATIÈRE 5-1, ROCHE MEULIÈRE

5-2, DESCRIPTION Couleur Aspect matière Poreux Vacuaire Massif

Grains taille maxi.(mm.)

Visibles à l'oeil nu Non visibles à l'oeil nu

5-3, EXAMEN Vue par un géologue oui non Lame mince oui non

5-4, ORIGINE SUPPOSÉE locale

6 TRACES 6-1, SUR LA SURFACE MEULANTE

Traitement, façonnage

Usure (degré, position) usure au niveau de l'encoche

6-2, SUR AUTRE FACE, FLANCS, OEIL (traces façonnage, usure ...)

7 SOURCES D'INFORMATION Faire précéder d'un astérisque la ou les sources utilisée(s) pour la fiche

Personne(s) ayant étudié la meule + date + n° de classement

Bibliographie, rapports, archives, témoins ...

8 REMARQUES COMPLÉMENTAIRES

à dessiner

BASE MEULES : FORMES & MATIÈRES

MEULE ROTATIVE

FICHE DESCRIPTIVE (octobre 2006)

FICHE

** Si vous remplissez cette fiche pour la première fois, merci de consulter la notice explicative **

page 1/2

Auteur aurelie battistini Date création 23/09/09 modification

Votre numéro de fiche 1409 Export base groupe meule

Document(s) join(t)s / nom du fichier dessin

1 **DECOUVERTE** 1-1, LOCALISATION Code INSEE (départ. commu.) 680/277

Département (nom) VAL D'OISE Commune VILLIER-LE-BEL GONESSE

Lieu-dit ; nom du site archéologique section Rd 10/ giratoire de la Fauconnière

Précisions

1-2, CIRCONSTANCES fouille ou sondage prospection découverte fortuite Autre...

Année 2009 Inventeur / Resp. fouille J.G. Pariat

1-3, CONTEXTE ARCHEOLOGIQUE

Site Villier-Le-bel, Tène finale
(type, datation)

Structure F. 501 (silo), -220 à -240 cm
(type, datation)

2 **LIEU DE CONSERVATION**

Dépôt, localisation, n° de référence de la meule ...

SDAVO dépôt, caisse n°6, sac n°1402

Dernière date d'observation / mention de la meule dans ce lieu

4 **DESSINS**

3 **MORPHOLOGIE**

Ebauche

3-1, TYPE Meta Catillus Indéterminé

3-2, ETAT DE CONSERVATION Entier Secteur
 Demi Fragment

3-3, PRINCIPALES DIMENSIONS

A. Diamètre maxi. meule cm
B. Oeil : diam/écartement max cm
C. Hauteur maxi. meule cm
D. Hauteur du flanc cm
E. Oeil : épaisseur (hauteur) cm

3-4, OEIL DE LA MEULE

Forme de la section supérieure
 Circulaire Quadrangulaire Autre

Oeil catillus Oeil meta
 avec logements d'anille Perforant

Précisions sur l'oeil
.....
.....
.....
.....



3-5. AMÉNAGEMENT(S) POUR L'ACTIONNEMENT DU CATILLUS absent non visible

1) ENCOCHE(S) sur le flanc "à ciel ouvert" (face sup.) trou vertical (face sup.) Autre...
Précisions (nombre, position, forme, dimensions ...)

.....
.....

2) AUTRE(S) TYPE(S) D'AMÉNAGEMENTS POUR L'ACTIONNEMENT (description, position, dimensions...)

.....
.....

3-6. ÉLÉMENTS RAPPORTÉS

3-7. MORPHOLOGIE : OBSERVATIONS COMPLÉMENTAIRES

.....
.....

5 MATIERE 5-1, ROCHE CALCAIRE GROSSIER LUTHETIEN

5-2, DESCRIPTION Couleur Aspect matière Poreux Vacuaire Massif
Grains taille maxi.(mm.)
 Visibles à l'oeil nu Non visibles à l'oeil nu

5-3, EXAMEN Vue par un géologue oui non Lame mince oui non

5-4, ORIGINE SUPPOSÉE local

6 TRACES 6-1, SUR LA SURFACE MEULANTE

Traitement,
façonnage

Usure (degré,
position)

6-2, SUR AUTRE FACE, FLANCS, OEIL_(traces façonnage, usure ...)

.....
.....

7 SOURCES D'INFORMATION *Faire précéder d'un astérisque la ou les sources utilisée(s) pour la fiche*

Personne(s) ayant étudié la meule + date + n° de classement

.....
Bibliographie, rapports, archives, témoins ...
.....
.....
.....
.....

8 REMARQUES COMPLÉMENTAIRES

à dessiner

.....
.....

FICHE ** Si vous remplissez cette fiche pour la première fois, merci de consulter la notice explicative ** page 1/2

Auteur aurelie battistini Date création 23/09/09 modification

Votre numéro de fiche 1410 Export base groupe meule

Document(s) join(t)s / nom du fichier dessin

1 **DECOUVERTE** 1-1, LOCALISATION Code INSEE (départ. comm.) 680/277

Département (nom) VAL D'OISE Commune VILLIER-LE-BEL GONESSE

Lieu-dit ; nom du site archéol. section Rd 10/ giratoire de la Fauconnière

Précisions

1-2, CIRCONSTANCES fouille ou sondage prospection découverte fortuite Autre...

Année 2009 Inventeur / Resp.fouille J.G. Pariat

1-3, CONTEXTE ARCHEOLOGIQUE

Site Villier-Le-bel, Tène finale
(type, datation)

Structure F.504 (silo), passe 3, -40 à -60 cm
(type, datation)

2 **LIEU DE CONSERVATION** Dépôt, localisation, n° de référence de la meule ...

SDAVO dépôt, caisse n°6, sac n°1403

Dernière date d'observation / mention de la meule dans ce lieu

4 **DESSINS**

3 **MORPHOLOGIE** Ebauche

3-1, TYPE Meta Catillus Indéterminé

3-2, ETAT DE CONSERVATION Entier Secteur
 Demi Fragment

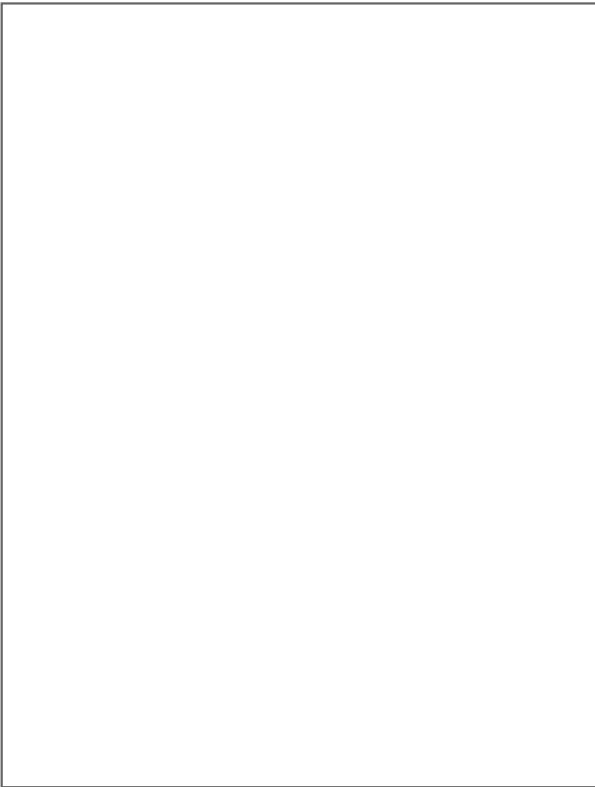
3-3, PRINCIPALES DIMENSIONS

- A. Diamètre maxi. meule cm
- B. Oeil : diam/écartement max cm
- C. Hauteur maxi. meule cm
- D. Hauteur du flanc cm
- E. Oeil : épaisseur (hauteur) cm

3-4, OEIL DE LA MEULE

Forme de la section supérieure
 Circulaire Quadrangulaire Autre
Oeil catillus Oeil meta
 avec logements d'anille Perforant

Précisions sur l'oeil
forme de la section losangique
S'agit-il d'une ébauche? Auquel cas, il s'agirait d'un
catillus



3-5. AMÉNAGEMENT(S) POUR L'ACTIONNEMENT DU CATILLUS absent non visible

1) ENCOCHE(S) sur le flanc "à ciel ouvert" (face sup.) trou vertical (face sup.) Autre...
Précisions (nombre, position, forme, dimensions ...)

.....
.....

2) AUTRE(S) TYPE(S) D'AMÉNAGEMENTS POUR L'ACTIONNEMENT (description, position, dimensions...)

.....
.....

3-6. ÉLÉMENTS RAPPORTÉS

3-7. MORPHOLOGIE : OBSERVATIONS COMPLÉMENTAIRES

.....
.....

5 MATIERE 5-1, ROCHE CALCAIRE

5-2, DESCRIPTION Couleur Aspect matière Poreux Vacuolaire Massif

..... Grains taille maxi.(mm.)
 Visibles à l'oeil nu Non visibles à l'oeil nu

5-3, EXAMEN Vue par un géologue oui non Lame mince oui non

5-4, ORIGINE SUPPOSÉE local

6 TRACES 6-1, SUR LA SURFACE MEULANTE

Traitement,
façonnage

Usure (degré,
position)

6-2, SUR AUTRE FACE, FLANCS, OEIL_(traces façonnage, usure ...)

.....
.....

7 SOURCES D'INFORMATION Faire précéder d'un astérisque la ou les sources utilisée(s) pour la fiche

Personne(s) ayant étudié la meule + date + n° de classement

.....
Bibliographie, rapports, archives, témoins ...

.....
.....
.....
.....

8 REMARQUES COMPLÉMENTAIRES

a dessiner?

.....
.....

BASE MEULES : FORMES & MATIÈRES

MEULE ROTATIVE

FICHE DESCRIPTIVE (octobre 2006)

FICHE

** Si vous remplissez cette fiche pour la première fois, merci de consulter la notice explicative **

page 1/2

Auteur aurelie battistini Date création 23/09/09 modificationVotre numéro de fiche 1411 Export base groupe meule

Document(s) join(t)s / nom du fichier dessin

1 **DECOUVERTE** 1-1, LOCALISATION Code INSEE (départ+ commu.) 680/277Département (nom) VAL D'OISE Commune VILLIER-LE-BEL GONESSELieu-dit ; nom du site archéologique section Rd 10/ giratoire de la Fauconnière

Précisions

1-2, CIRCONSTANCES fouille ou sondage prospection découverte fortuite Autre...Année 2009 Inventeur / Resp.fouille J.G. Pariat

1-3, CONTEXTE ARCHEOLOGIQUE

Site Villier-Le-bel, Tène finale
(type, datation)Structure F.501 (silo), -200 à -220 cm
(type, datation)**2** **LIEU DE CONSERVATION**

Dépôt, localisation, n° de référence de la meule ...

SDAVO dépôt, caisse n°6, sac n°1404Dernière date d'observation / mention
de la meule dans ce lieu**4****DESSINS****3** **MORPHOLOGIE** Ebauche3-1, TYPE Meta Catillus Indéterminé3-2, ETAT DE CONSERVATION Entier Secteur
 Demi Fragment

3-3, PRINCIPALES DIMENSIONS

A. Diamètre maxi. meule cm

B. Oeil : diam/écartement max cm

C. Hauteur maxi. meule 11.30 cm

D. Hauteur du flanc cm

E. Oeil : épaisseur (hauteur) cm

3-4, OEIL DE LA MEULE

Forme de la section supérieure

 Circulaire Quadrangulaire Autre

Oeil catillus

Oeil meta

 avec logements d'anille Perforant

Précisions sur l'oeil

contact : groupe-meule@orange.fr

3-5. AMÉNAGEMENT(S) POUR L'ACTIONNEMENT DU CATILLUS absent non visible

1) ENCOCHE(S) sur le flanc "à ciel ouvert" (face sup.) trou vertical (face sup.) Autre...

Précisions (nombre, position, forme, dimensions ...)

une encoche latérale

2) AUTRE(S) TYPE(S) D'AMÉNAGEMENTS POUR L'ACTIONNEMENT (description, position, dimensions...)

3-6. ÉLÉMENTS RAPPORTÉS

3-7. MORPHOLOGIE : OBSERVATIONS COMPLÉMENTAIRES

5 MATIERE 5-1, ROCHE GRÈS

5-2, DESCRIPTION Couleur Aspect matière Poreux Vacuaire Massif

Grains taille maxi.(mm.)

Visibles à l'oeil nu Non visibles à l'oeil nu

5-3, EXAMEN Vue par un géologue oui non lame mince oui non

5-4, ORIGINE SUPPOSÉE local

6 TRACES 6-1, SUR LA SURFACE MEULANTE

Traitement, façonnage

Usure (degré, position)

6-2, SUR AUTRE FACE, FLANCS, OEIL (traces façonnage, usure ...)

traces de chauffe

7 SOURCES D'INFORMATION Faire précéder d'un astérisque la ou les sources utilisée(s) pour la fiche

Personne(s) ayant étudié la meule + date + n° de classement

Bibliographie, rapports, archives, témoins ...

8 REMARQUES COMPLÉMENTAIRES

Remonte avec la meule n°1410

à dessiner

BASE MEULES : FORMES & MATIÈRES

MEULE ROTATIVE

FICHE DESCRIPTIVE (octobre 2006)

FICHE

** Si vous remplissez cette fiche pour la première fois, merci de consulter la notice explicative **

page 1/2

Auteur aurelie battistini Date création 23/09/09 modification

Votre numéro de fiche 1412 Export base groupe meule

Document(s) join(t)s / nom du fichier dessin

1 **DECOUVERTE** 1-1, LOCALISATION Code INSEE (départ+ commu.) 680/277

Département (nom) VAL D'OISE Commune VILLIER-LE-BEL GONESSE

Lieu-dit ; nom du site archéologique section Rd 10/ giratoire de la Fauconnière

Précisions

1-2, CIRCONSTANCES fouille ou sondage prospection découverte fortuite Autre...

Année 2009 Inventeur / Resp.fouille J.G. Pariat

1-3, CONTEXTE ARCHEOLOGIQUE

Site Villier-Le-bel Tène finale
(type, datation)

Structure F 501 (silo), -220 à -240 cm
(type, datation)

2 **LIEU DE CONSERVATION**

Dépôt, localisation, n° de référence de la meule ...

SDAVO dépôt caisse n°6 sac n°1405

Dernière date d'observation / mention de la meule dans ce lieu

4 **DESSINS**

3 **MORPHOLOGIE**

Ebauche

3-1, TYPE Meta Catillus Indéterminé

3-2, ETAT DE CONSERVATION Entier Secteur Demi Fragment

3-3. PRINCIPALES DIMENSIONS

A. Diamètre maxi. meule cm

B. Oeil : diam/écartement max cm

C. Hauteur maxi. meule cm

D. Hauteur du flanc cm

E. Oeil : épaisseur (hauteur) cm

3-4. OEIL DE LA MEULE

Forme de la section supérieure

Circulaire Quadrangulaire Autre

Oeil catillus

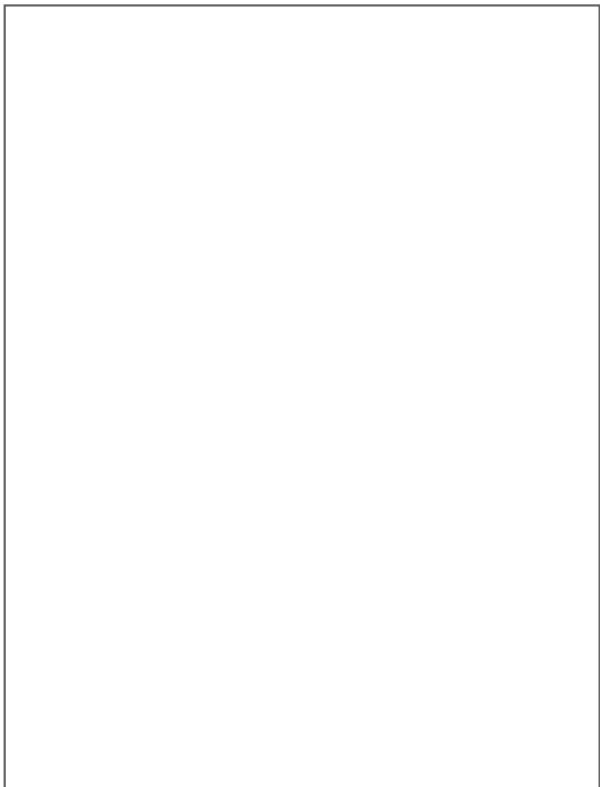
Oeil meta

avec logements d'anille

Perforant

Précisions sur l'oeil

.....
.....
.....
.....



3-5. AMÉNAGEMENT(S) POUR L'ACTIONNEMENT DU CATILLUS absent non visible

1) ENCOCHE(S) sur le flanc "à ciel ouvert" (face sup.) trou vertical (face sup.) Autre...
 Précisions (nombre, position, forme, dimensions ...)

.....

2) AUTRE(S) TYPE(S) D'AMÉNAGEMENTS POUR L'ACTIONNEMENT (description, position, dimensions...)

.....

3-6. ÉLÉMENTS RAPPORTÉS

3-7. MORPHOLOGIE : OBSERVATIONS COMPLÉMENTAIRES

.....

5 MATIÈRE 5-1, ROCHE CALCAIRE GROSSIER LUTHETIEN

5-2, DESCRIPTION Couleur Aspect matière Poreux Vacuaire Massif

..... Grains taille maxi.(mm.)
 Visibles à l'oeil nu Non visibles à l'oeil nu

5-3, EXAMEN Vue par un géologue oui non Lame mince oui non

5-4, ORIGINE SUPPOSÉE

6 TRACES 6-1, SUR LA SURFACE MEULANTE

Traitement,
 façonnage

Usure (degré,
 position)

6-2, SUR AUTRE FACE, FLANCS, OEIL_(traces façonnage, usure ...)

.....

7 SOURCES D'INFORMATION *Faire précéder d'un astérisque la ou les sources utilisée(s) pour la fiche*

Personne(s) ayant étudié la meule + date + n° de classement

.....

Bibliographie, rapports, archives, témoins ...

.....

8 REMARQUES COMPLÉMENTAIRES

même meule n°1406 et n°1408?

pas à dessiner

.....

BASE MEULES : FORMES & MATIÈRES

MEULE ROTATIVE

FICHE DESCRIPTIVE (octobre 2006)

FICHE

** Si vous remplissez cette fiche pour la première fois, merci de consulter la notice explicative **

page 1/2

Auteur aurelie battistini Date création 23/09/09 modificationVotre numéro de fiche 1413 Export base groupe meule

Document(s) join(t)s / nom du fichier dessin

1 DECOUVERTE 1-1, LOCALISATION Code INSEE (départ. commu.) 680/277Département (nom) VAL D'OISE Commune VILLIER-LE-BEL GONESSELieu-dit ; nom du site archéologique section Rd 10/ giratoire de la Fauconnière

Précisions

1-2, CIRCONSTANCES fouille ou sondage prospection découverte fortuite Autre...Année 2009 Inventeur / Resp. fouille J.G. Pariat

1-3, CONTEXTE ARCHEOLOGIQUE

Site Villier-Le-bel Tène finale
(type, datation)Structure F 501 (silo), -220 à -240 cm
(type, datation)**2** LIEU DE CONSERVATION

Dépôt, localisation, n° de référence de la meule ...

SDAVO dépôt caisse n°6 sac n°1406Dernière date d'observation / mention
de la meule dans ce lieu**4**DESSINS**3** MORPHOLOGIE Ebauche3-1, TYPE Meta Catillus Indéterminé3-2, ETAT DE CONSERVATION Entier Secteur
 Demi Fragment

3-3, PRINCIPALES DIMENSIONS

A. Diamètre maxi. meule 36 cm

B. Oeil : diam/écartement max cm

C. Hauteur maxi. meule 7 cmD. Hauteur du flanc 7 cmE. Oeil : épaisseur (hauteur) 6 cm

3-4, OEIL DE LA MEULE

Forme de la section supérieure

 Circulaire Quadrangulaire Autre

Oeil catillus

Oeil meta

 avec logements d'anille Perforant

Précisions sur l'oeil

contact : groupe-meule@orange.fr

3-5. AMÉNAGEMENT(S) POUR L'ACTIONNEMENT DU CATILLUS absent non visible

1) ENCOCHE(S) sur le flanc "à ciel ouvert" (face sup.) trou vertical (face sup.) Autre...

Précisions (nombre, position, forme, dimensions ...)

.....
.....
.....

2) AUTRE(S) TYPE(S) D'AMÉNAGEMENTS POUR L'ACTIONNEMENT (description, position, dimensions...)

.....
.....
.....

3-6. ÉLÉMENTS RAPPORTÉS

3-7. MORPHOLOGIE : OBSERVATIONS COMPLÉMENTAIRES

.....
.....
.....

5 MATIERE 5-1, ROCHE CALCAIRE GROSSIER LUTHETIEN

5-2, DESCRIPTION Couleur Aspect matière Poreux Vacuaire Massif

Grains taille maxi.(mm.)

Visibles à l'oeil nu Non visibles à l'oeil nu

5-3, EXAMEN Vue par un géologue oui non Lame mince oui non

5-4, ORIGINE SUPPOSÉE

6 TRACES 6-1, SUR LA SURFACE MEULANTE

Traitement,
façonnage

Usure (degré,
position)

6-2, SUR AUTRE FACE, FLANCS, OEIL (traces façonnage, usure ...)

Traces de chauffe

7 SOURCES D'INFORMATION Faire précéder d'un astérisque la ou les sources utilisée(s) pour la fiche

Personne(s) ayant étudié la meule + date + n° de classement

.....
Bibliographie, rapports, archives, témoins ...
.....
.....
.....
.....

8 REMARQUES COMPLÉMENTAIRES

Même meule que n°1405 et n°1408 ?

pas à dessiner

BASE MEULES : FORMES & MATIÈRES

MEULE ROTATIVE

FICHE DESCRIPTIVE (octobre 2006)

FICHE ** Si vous remplissez cette fiche pour la première fois, merci de consulter la notice explicative ** page 1/2

Auteur aurelie battistini Date création 23/09/09 modification

Votre numéro de fiche 1414 Export base groupe meule

Document(s) join(t)s / nom du fichier dessin

1 **DECOUVERTE** 1-1, LOCALISATION Code INSEE (départ. comm.) 680/277.....

Département (nom) VAL D'OISE Commune VILLIER-LE-BEL GONESSE.....

Lieu-dit ; nom du site archéol section Rd 10/ giratoire de la Fauconnière.....

Précisions

1-2, CIRCONSTANCES fouille ou sondage prospection découverte fortuite Autre...

Année 2009 Inventeur / Resp.fouille JG Pariat.....

1-3, CONTEXTE ARCHEOLOGIQUE

Site Villier-Le-bel Tène finale.....
(type, datation)

Structure F 501 (silo), -200 à -220 cm.....
(type, datation)

2 **LIEU DE CONSERVATION**

Dépôt, localisation, n° de référence de la meule ...

SDAVO dépôt caisse n°7 sac n°1407.....

Dernière date d'observation / mention de la meule dans ce lieu

4

DESSINS

3 **MORPHOLOGIE**

Ebauche

3-1, TYPE Meta Catillus Indéterminé

3-2, ETAT DE CONSERVATION Entier Secteur
 Demi Fragment

3-3, PRINCIPALES DIMENSIONS

A. Diamètre maxi. meule 28..... cm

B. Oeil : diam/écartement max cm

C. Hauteur maxi. meule 17..... cm

D. Hauteur du flanc 17..... cm

E. Oeil : épaisseur (hauteur) cm

3-4, OEIL DE LA MEULE

Forme de la section supérieure

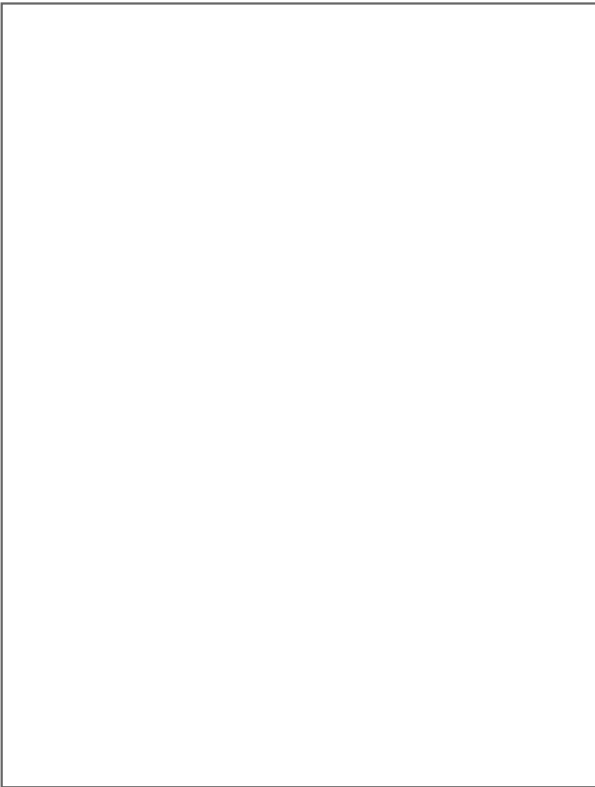
Circulaire Quadrangulaire Autre

Oeil catillus Oeil meta

avec logements d'anille Perforant

Précisions sur l'oeil

.....
.....
.....
.....



3-5. AMÉNAGEMENT(S) POUR L'ACTIONNEMENT DU CATILLUS absent non visible

1) ENCOCHE(S) sur le flanc "à ciel ouvert" (face sup.) trou vertical (face sup.) Autre...

Précisions (nombre, position, forme, dimensions ...)

encoche latérale

2) AUTRE(S) TYPE(S) D'AMÉNAGEMENTS POUR L'ACTIONNEMENT (description, position, dimensions...)

3-6. ÉLÉMENTS RAPPORTÉS

3-7. MORPHOLOGIE : OBSERVATIONS COMPLÉMENTAIRES

5 MATIÈRE 5-1, ROCHE MEULIÈRE

5-2, DESCRIPTION Couleur Aspect matière Poreux Vacuaire Massif

Grains taille maxi.(mm.)

Visibles à l'oeil nu Non visibles à l'oeil nu

5-3, EXAMEN Vue par un géologue oui non lame mince oui non

5-4, ORIGINE SUPPOSÉE locale

6 TRACES 6-1, SUR LA SURFACE MEULANTE

Traitement, façonnage

Usure (degré, position)

6-2, SUR AUTRE FACE, FLANCS, OEIL (traces façonnage, usure ...)

Traces de chauffe

7 SOURCES D'INFORMATION *Faire précéder d'un astérisque la ou les sources utilisée(s) pour la fiche*

Personne(s) ayant étudié la meule + date + n° de classement

Bibliographie, rapports, archives, témoins ...

8 REMARQUES COMPLÉMENTAIRES

à dessiner

BASE MEULES : FORMES & MATIÈRES

MEULE ROTATIVE

FICHE DESCRIPTIVE (octobre 2006)

FICHE ** Si vous remplissez cette fiche pour la première fois, merci de consulter la notice explicative ** page 1/2

Auteur aurelie battistini Date création 23/09/09 modification

Votre numéro de fiche 1415 Export base groupe meule

Document(s) join(t)s / nom du fichier dessin

1 DECOUVERTE 1-1, LOCALISATION Code INSEE (départ. commu.) 680/277

Département (nom) VAL D'OISE Commune VILLIER-LE-BEL GONESSE

Lieu-dit ; nom du site archéol. section Rd 10/ giratoire de la Fauconnière

Précisions

1-2, CIRCONSTANCES fouille ou sondage prospection découverte fortuite Autre...

Année 2009 Inventeur / Resp.fouille JG Pariat

1-3, CONTEXTE ARCHEOLOGIQUE

Site Villier-Le-bel Tène finale
(type, datation)

Structure F 501 (silo), -220 à -240 cm
(type, datation)

2 LIEU DE CONSERVATION

Dépôt, localisation, n° de référence de la meule ...

SDAVO dépôt caisse n°7 sac n°1408

Dernière date d'observation / mention de la meule dans ce lieu

4 DESSINS

3 MORPHOLOGIE

Ebauche

3-1, TYPE Meta Catillus Indéterminé

3-2, ETAT DE CONSERVATION Entier Secteur
 Demi Fragment

3-3, PRINCIPALES DIMENSIONS

A. Diamètre maxi. meule cm

B. Oeil : diam/écartement max cm

C. Hauteur maxi. meule cm

D. Hauteur du flanc cm

E. Oeil : épaisseur (hauteur) cm

3-4, OEIL DE LA MEULE

Forme de la section supérieure

Circulaire Quadrangulaire Autre

Oeil catillus

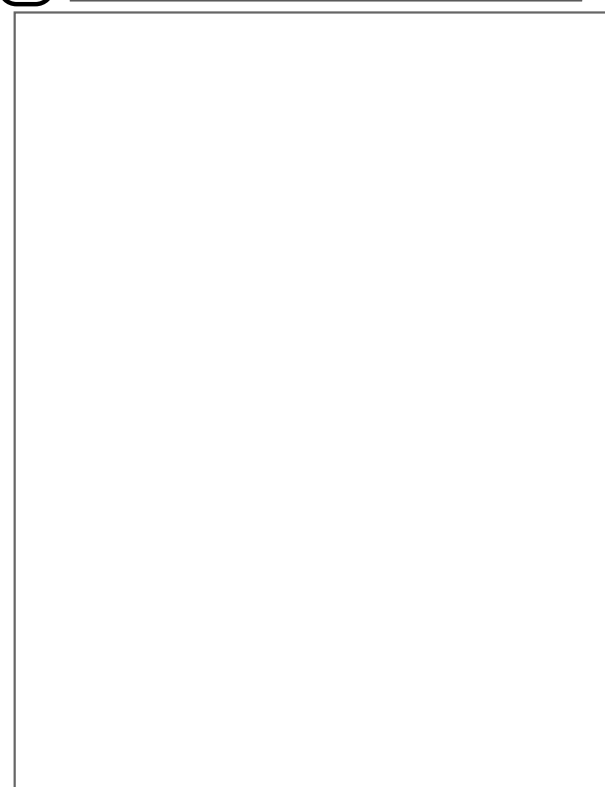
Oeil meta

avec logements d'anille

Perforant

Précisions sur l'oeil

.....
.....
.....
.....



3-5. AMÉNAGEMENT(S) POUR L'ACTIONNEMENT DU CATILLUS absent non visible

1) ENCOCHE(S) sur le flanc "à ciel ouvert" (face sup.) trou vertical (face sup.) Autre...

Précisions (nombre, position, forme, dimensions ...)

.....
.....

2) AUTRE(S) TYPE(S) D'AMÉNAGEMENTS POUR L'ACTIONNEMENT (description, position, dimensions...)

.....
.....

3-6. ÉLÉMENTS RAPPORTÉS

3-7. MORPHOLOGIE : OBSERVATIONS COMPLÉMENTAIRES

.....
.....

5 MATIERE 5-1, ROCHE CALCAIRE GROSSIER LUTHETIEN

5-2, DESCRIPTION Couleur Aspect matière Poreux Vacuaire Massif

..... Grains taille maxi.(mm.)

Visibles à l'oeil nu Non visibles à l'oeil nu

5-3, EXAMEN Vue par un géologue oui non Lame mince oui non

5-4, ORIGINE SUPPOSÉE local

6 TRACES 6-1, SUR LA SURFACE MEULANTE

Traitement,
façonnage

Usure (degré,
position)

6-2, SUR AUTRE FACE, FLANCS, OEIL_(traces façonnage, usure ...)

trace de chauffe?

7 SOURCES D'INFORMATION Faire précéder d'un astérisque la ou les sources utilisée(s) pour la fiche

Personne(s) ayant étudié la meule + date + n° de classement

.....
Bibliographie, rapports, archives, témoins ...
.....
.....
.....

8 REMARQUES COMPLÉMENTAIRES

même meule que les n° 1405 et 1406?

pas à dessiner

BASE MEULES : FORMES & MATIÈRES

MEULE ROTATIVE

FICHE DESCRIPTIVE (octobre 2006)

FICHE

** Si vous remplissez cette fiche pour la première fois, merci de consulter la notice explicative **

page 1/2

Auteur aurelie battistini Date création 23/09/09 modificationVotre numéro de fiche 1416 Export base groupe meule

Document(s) join(t)s / nom du fichier dessin

1 **DECOUVERTE** 1-1, LOCALISATION Code INSEE (départ+ commu.) 680/277Département (nom) VAL D'OISE Commune VILLIER-LE-BEL GONESSELieu-dit ; nom du site archéologique section Rd 10/ giratoire de la Fauconnière

Précisions

1-2, CIRCONSTANCES fouille ou sondage prospection découverte fortuite Autre...Année 2009 Inventeur / Resp.fouille JG Pariat

1-3, CONTEXTE ARCHEOLOGIQUE

Site Villier-Le-bel Tène finale
(type, datation)Structure F 501 (silo), -200 à -220 cm
(type, datation)**2** **LIEU DE CONSERVATION**

Dépôt, localisation, n° de référence de la meule ...

SDAVO dépôt caisse n°7 sac n°1409Dernière date d'observation / mention
de la meule dans ce lieu**4****DESSINS****3** **MORPHOLOGIE** Ebauche3-1, TYPE Meta Catillus Indéterminé3-2, ETAT DE CONSERVATION Entier Secteur
 Demi Fragment

3-3, PRINCIPALES DIMENSIONS

A. Diamètre maxi. meule cm

B. Oeil : diam/écartement max cm

C. Hauteur maxi. meule cm

D. Hauteur du flanc cm

E. Oeil : épaisseur (hauteur) cm

3-4, OEIL DE LA MEULE

Forme de la section supérieure

 Circulaire Quadrangulaire Autre

Oeil catillus

Oeil meta

 avec logements d'anille Perforant

Précisions sur l'oeil

contact : groupe-meule@orange.fr

3-5. AMÉNAGEMENT(S) POUR L'ACTIONNEMENT DU CATILLUS absent non visible

1) ENCOCHE(S) sur le flanc "à ciel ouvert" (face sup.) trou vertical (face sup.) Autre...
Précisions (nombre, position, forme, dimensions ...)

.....
.....
.....

2) AUTRE(S) TYPE(S) D'AMÉNAGEMENTS POUR L'ACTIONNEMENT (description, position, dimensions...)

.....
.....
.....

3-6. ÉLÉMENTS RAPPORTÉS

3-7. MORPHOLOGIE : OBSERVATIONS COMPLÉMENTAIRES

.....
.....
.....

5 MATIERE 5-1, ROCHE MEULIÈRE?

5-2, DESCRIPTION Couleur Aspect matière Poreux Vacuaire Massif
..... Grains taille maxi.(mm.)
..... Visibles à l'oeil nu Non visibles à l'oeil nu

5-3, EXAMEN Vue par un géologue oui non Lame mince oui non

5-4, ORIGINE SUPPOSÉE

6 TRACES 6-1, SUR LA SURFACE MEULANTE

Traitement,
façonnage

Usure (degré,
position)

6-2, SUR AUTRE FACE, FLANCS, OEIL (traces façonnage, usure ...)

Traces de chauffe
.....
.....

7 SOURCES D'INFORMATION Faire précéder d'un astérisque la ou les sources utilisée(s) pour la fiche

Personne(s) ayant étudié la meule + date + n° de classement

Bibliographie, rapports, archives, témoins ...

8 REMARQUES COMPLÉMENTAIRES

pas à dessiner

.....
.....

BASE MEULES : FORMES & MATIÈRES

MEULE ROTATIVE

FICHE DESCRIPTIVE (octobre 2006)

FICHE ** Si vous remplissez cette fiche pour la première fois, merci de consulter la notice explicative ** page 1/2

Auteur aurelie battistini Date création 23/09/09 modification

Votre numéro de fiche 1417 Export base groupe meule

Document(s) join(t)s / nom du fichier dessin

1 **DECOUVERTE** 1-1, LOCALISATION Code INSEE (départ. comm.) 680/277

Département (nom) VAL D'OISE Commune VILLIER-LE-BEL GONESSE

Lieu-dit ; nom du site archéol section Rd 10/ giratoire de la Fauconnière

Précisions

1-2, CIRCONSTANCES fouille ou sondage prospection découverte fortuite Autre...

Année 2009 Inventeur / Resp.fouille JG Pariat

1-3, CONTEXTE ARCHEOLOGIQUE

Site Villier-Le-bel Tène finale
(type, datation)

Structure F 501 (sillo) -200 à -220 cm
(type, datation)

2 **LIEU DE CONSERVATION**

Dépôt, localisation, n° de référence de la meule ...

SDAVO dépôt caisse n°7 sac n°1410

Dernière date d'observation / mention de la meule dans ce lieu

4 **DESSINS**

3 **MORPHOLOGIE**

Ebauche

3-1, TYPE Meta Catillus Indéterminé

3-2, ETAT DE CONSERVATION Entier Secteur
 Demi Fragment

3-3. PRINCIPALES DIMENSIONS

A. Diamètre maxi. meule cm

B. Oeil : diam/écartement max cm

C. Hauteur maxi. meule 13 cm

D. Hauteur du flanc 13 cm

E. Oeil : épaisseur (hauteur) cm

3-4. OEIL DE LA MEULE

Forme de la section supérieure

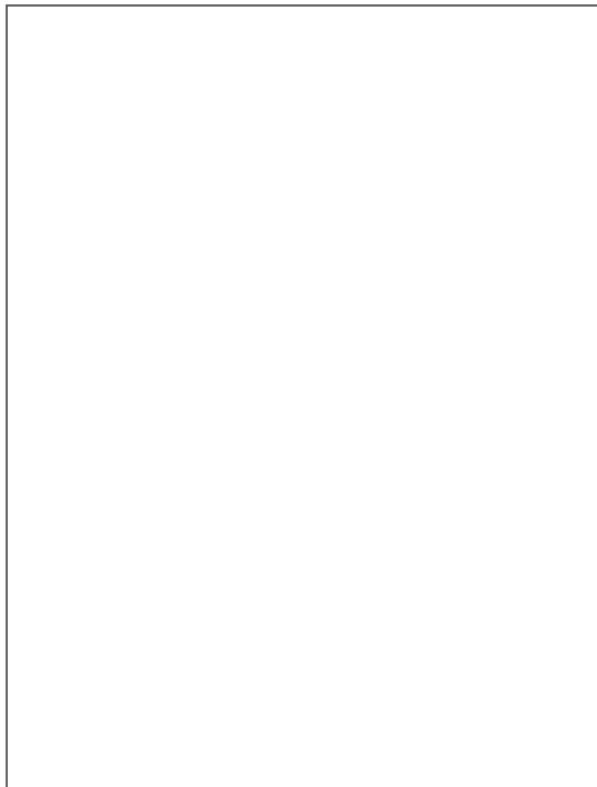
Circulaire Quadrangulaire Autre

Oeil catillus Oeil meta

avec logements d'anille Perforant

Précisions sur l'oeil

.....
.....
.....
.....



3-5. AMÉNAGEMENT(S) POUR L'ACTIONNEMENT DU CATILLUS absent non visible

1) ENCOCHE(S) sur le flanc "à ciel ouvert" (face sup.) trou vertical (face sup.) Autre...

Précisions (nombre, position, forme, dimensions ...)

encoche latérale

2) AUTRE(S) TYPE(S) D'AMÉNAGEMENTS POUR L'ACTIONNEMENT (description, position, dimensions...)

3-6. ÉLÉMENTS RAPPORTÉS

3-7. MORPHOLOGIE : OBSERVATIONS COMPLÉMENTAIRES

5 MATIÈRE 5-1, ROCHE GRÈS

5-2, DESCRIPTION Couleur Aspect matière Poreux Vacuaire Massif

Grains taille maxi.(mm.)

Visibles à l'oeil nu Non visibles à l'oeil nu

5-3, EXAMEN Vue par un géologue oui non lame mince oui non

5-4, ORIGINE SUPPOSÉE local

6 TRACES 6-1, SUR LA SURFACE MEULANTE

Traitement, façonnage

Usure (degré, position)

6-2, SUR AUTRE FACE, FLANCS, OEIL (traces façonnage, usure ...)

7 SOURCES D'INFORMATION Faire précéder d'un astérisque la ou les sources utilisée(s) pour la fiche

Personne(s) ayant étudié la meule + date + n° de classement

Bibliographie, rapports, archives, témoins ...

8 REMARQUES COMPLÉMENTAIRES

Remonte avec la meule n°1404

à dessiner

BASE MEULES : FORMES & MATIÈRES

MEULE ROTATIVE

FICHE DESCRIPTIVE (octobre 2006)

FICHE

** Si vous remplissez cette fiche pour la première fois, merci de consulter la notice explicative **

page 1/2

Auteur aurelie battistini Date création 23/09/09 modification

Votre numéro de fiche 1418 Export base groupe meule

Document(s) join(t)s / nom du fichier dessin

1 DECOUVERTE 1-1, LOCALISATION Code INSEE (départ+ commu.) 680/277

Département (nom) VAL D'OISE Commune VILLIER-LE-BEL GONESSE

Lieu-dit ; nom du site archéologique section Rd 10/ giratoire de la Fauconnière

Précisions

1-2, CIRCONSTANCES fouille ou sondage prospection découverte fortuite Autre...

Année 2009 Inventeur / Resp.fouille JG Pariat

1-3, CONTEXTE ARCHEOLOGIQUE

Site Villier-Le-bel Tène finale
(type, datation)

Structure F 501 (silo), -200 à -220 cm
(type, datation)

2 LIEU DE CONSERVATION

Dépôt, localisation, n° de référence de la meule ...

SDAVO dépôt, caisse n°7, sac n°1411

Dernière date d'observation / mention de la meule dans ce lieu

4 DESSINS

3 MORPHOLOGIE

Ebauche

3-1, TYPE Meta Catillus Indéterminé

3-2, ETAT DE CONSERVATION Entier Secteur Demi Fragment

3-3, PRINCIPALES DIMENSIONS

A. Diamètre maxi. meule 25 cm

B. Oeil : diam/écartement max cm

C. Hauteur maxi. meule 13,45 cm

D. Hauteur du flanc cm

E. Oeil : épaisseur (hauteur) cm

3-4, OEIL DE LA MEULE

Forme de la section supérieure

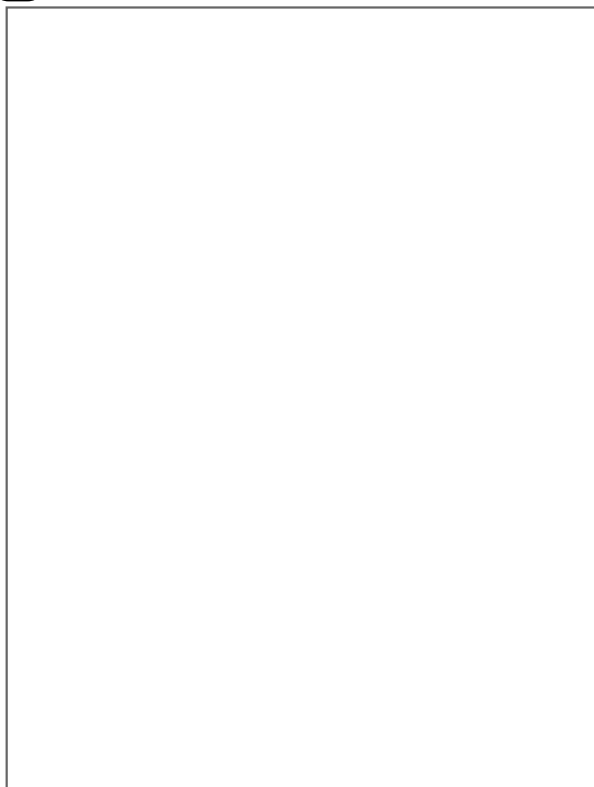
Circulaire Quadrangulaire Autre

Oeil catillus Oeil meta

avec logements d'anille Perforant

Précisions sur l'oeil

.....
.....
.....
.....



3-5. AMÉNAGEMENT(S) POUR L'ACTIONNEMENT DU CATILLUS absent non visible

1) ENCOCHE(S) sur le flanc "à ciel ouvert" (face sup.) trou vertical (face sup.) Autre...

Précisions (nombre, position, forme, dimensions ...)

.....
.....
.....

2) AUTRE(S) TYPE(S) D'AMÉNAGEMENTS POUR L'ACTIONNEMENT (description, position, dimensions...)

.....
.....
.....

3-6. ÉLÉMENTS RAPPORTÉS

3-7. MORPHOLOGIE : OBSERVATIONS COMPLÉMENTAIRES

.....
.....
.....

5 MATIERE 5-1, ROCHE MEULIÈRE

5-2, DESCRIPTION Couleur Aspect matière Poreux Vacuaire Massif

Grains taille maxi.(mm.)

Visibles à l'oeil nu Non visibles à l'oeil nu

5-3, EXAMEN Vue par un géologue oui non lame mince oui non

5-4, ORIGINE SUPPOSÉE locale

6 TRACES 6-1, SUR LA SURFACE MEULANTE

Traitement, façonnage

Usure (degré, position)

6-2, SUR AUTRE FACE, FLANCS, OEIL (traces façonnage, usure ...)

Traces de chauffe?

.....
.....

7 SOURCES D'INFORMATION Faire précéder d'un astérisque la ou les sources utilisée(s) pour la fiche

Personne(s) ayant étudié la meule + date + n° de classement

.....
Bibliographie, rapports, archives, témoins ...
.....
.....
.....
.....

8 REMARQUES COMPLÉMENTAIRES

à dessiner

.....
.....

BASE MEULES : FORMES & MATIÈRES

MEULE ROTATIVE

FICHE DESCRIPTIVE (octobre 2006)

FICHE

** Si vous remplissez cette fiche pour la première fois, merci de consulter la notice explicative **

page 1/2

Auteur aurelie battistini Date création 23/09/09 modificationVotre numéro de fiche 1419 Export base groupe meule

Document(s) join(t)s / nom du fichier dessin

1 DECOUVERTE 1-1, LOCALISATION Code INSEE (départ. comm.) 680/277Département (nom) VAL D'OISE Commune VILLIER-LE-BEL GONESSELieu-dit ; nom du site archéologique section Rd 10/ giratoire de la Fauconnière

Précisions

1-2, CIRCONSTANCES fouille ou sondage prospection découverte fortuite Autre...Année 2009 Inventeur / Resp. fouille JG. Pariat

1-3, CONTEXTE ARCHEOLOGIQUE

Site Villier-Le-bel Tène finale
(type, datation)Structure F.501 (silo), caisse n°7, sac n°1412
(type, datation)**2** LIEU DE CONSERVATION

Dépôt, localisation, n° de référence de la meule ...

SDAVO dépôt, caisse n°7, sac n°1412Dernière date d'observation / mention
de la meule dans ce lieu**4**DESSINS**3** MORPHOLOGIE Ebauche3-1, TYPE Meta Catillus Indéterminé3-2, ETAT DE CONSERVATION Entier Secteur
 Demi Fragment

3-3, PRINCIPALES DIMENSIONS

A. Diamètre maxi. meule 38 cm

B. Oeil : diam/écartement max cm

C. Hauteur maxi. meule 12 cmD. Hauteur du flanc 12 cm

E. Oeil : épaisseur (hauteur) cm

3-4, OEIL DE LA MEULE

Forme de la section supérieure

 Circulaire Quadrangulaire Autre

Oeil catillus Oeil meta

 avec logements d'anille Perforant

Précisions sur l'oeil

.....
.....
.....
.....

contact : groupe-meule@orange.fr

3-5. AMÉNAGEMENT(S) POUR L'ACTIONNEMENT DU CATILLUS absent non visible

1) ENCOCHE(S) sur le flanc "à ciel ouvert" (face sup.) trou vertical (face sup.) Autre...

Précisions (nombre, position, forme, dimensions ...)

.....
.....
.....

2) AUTRE(S) TYPE(S) D'AMÉNAGEMENTS POUR L'ACTIONNEMENT (description, position, dimensions...)

Trace de cerclage sur le flanc

.....
.....

3-6. ÉLÉMENTS RAPPORTÉS

3-7. MORPHOLOGIE : OBSERVATIONS COMPLÉMENTAIRES

.....
.....
.....

5 MATIERE 5-1, ROCHE MEULIÈRE

5-2, DESCRIPTION Couleur Aspect matière Poreux Vacuaire Massif

Grains taille maxi.(mm.)

Visibles à l'oeil nu Non visibles à l'oeil nu

5-3, EXAMEN Vue par un géologue oui non Lame mince oui non

5-4, ORIGINE SUPPOSÉE locale

6 TRACES 6-1, SUR LA SURFACE MEULANTE

Traitement,
façonnage

Usure (degré,
position)

6-2, SUR AUTRE FACE, FLANCS, OEIL_(traces façonnage, usure ...)

.....
.....
.....

7 SOURCES D'INFORMATION Faire précéder d'un astérisque la ou les sources utilisée(s) pour la fiche

Personne(s) ayant étudié la meule + date + n° de classement

.....
Bibliographie, rapports, archives, témoins ...
.....
.....
.....
.....

8 REMARQUES COMPLÉMENTAIRES

Même meule que n°1414?

à dessiner

.....

BASE MEULES : FORMES & MATIÈRES

MEULE ROTATIVE

FICHE DESCRIPTIVE (octobre 2006)

FICHE

** Si vous remplissez cette fiche pour la première fois, merci de consulter la notice explicative **

page 1/2

Auteur aurelie battistini Date création 23/09/09 modificationVotre numéro de fiche 1420 Export base groupe meule

Document(s) join(t)s / nom du fichier dessin

1 **DECOUVERTE** 1-1, LOCALISATION Code INSEE (départ. comm.) 680/277Département (nom) VAL D'OISE Commune VILLIER-LE-BEL GONESSELieu-dit ; nom du site archéologique section Rd 10/ giratoire de la Fauconnière

Précisions

1-2, CIRCONSTANCES fouille ou sondage prospection découverte fortuite Autre...Année 2009 Inventeur / Resp.fouille JG Pariat

1-3, CONTEXTE ARCHEOLOGIQUE

Site Villier-Le-bel Tène finale
(type, datation)Structure Fo 200, enclos ouest décapage
(type, datation)**2** **LIEU DE CONSERVATION**

Dépôt, localisation, n° de référence de la meule ...

SDAVO dépôt, caisse n°7, sac n°1413Dernière date d'observation / mention
de la meule dans ce lieu**4****DESSINS****3** **MORPHOLOGIE** Ebauche3-1, TYPE Meta Catillus Indéterminé3-2, ETAT DE CONSERVATION Entier Secteur
 Demi Fragment

3-3, PRINCIPALES DIMENSIONS

A. Diamètre maxi. meule cm

B. Oeil : diam/écartement max cm

C. Hauteur maxi. meule 14 cm

D. Hauteur du flanc cm

E. Oeil : épaisseur (hauteur) cm

3-4, OEIL DE LA MEULE

Forme de la section supérieure

 Circulaire Quadrangulaire Autre

Oeil catillus

Oeil meta

 avec logements d'anille Perforant

Précisions sur l'oeil

.....
.....
.....
.....

contact : groupe-meule@orange.fr

3-5. AMÉNAGEMENT(S) POUR L'ACTIONNEMENT DU CATILLUS absent non visible

1) ENCOCHE(S) sur le flanc "à ciel ouvert" (face sup.) trou vertical (face sup.) Autre...

Précisions (nombre, position, forme, dimensions ...)

encoche latérale

2) AUTRE(S) TYPE(S) D'AMÉNAGEMENTS POUR L'ACTIONNEMENT (description, position, dimensions...)

3-6. ÉLÉMENTS RAPPORTÉS

3-7. MORPHOLOGIE : OBSERVATIONS COMPLÉMENTAIRES

5 MATIÈRE 5-1, ROCHE CALCAIRE

5-2, DESCRIPTION Couleur Aspect matière Poreux Vacuaire Massif

Grains taille maxi.(mm.)

Visibles à l'oeil nu Non visibles à l'oeil nu

5-3, EXAMEN Vue par un géologue oui non lame mince oui non

5-4, ORIGINE SUPPOSÉE local

6 TRACES 6-1, SUR LA SURFACE MEULANTE

Traitement, façonnage

Usure (degré, position)

6-2, SUR AUTRE FACE, FLANCS, OEIL (traces façonnage, usure ...)

7 SOURCES D'INFORMATION Faire précéder d'un astérisque la ou les sources utilisée(s) pour la fiche

Personne(s) ayant étudié la meule + date + n° de classement

Bibliographie, rapports, archives, témoins ...

8 REMARQUES COMPLÉMENTAIRES

Pas à dessiner

BASE MEULES : FORMES & MATIÈRES

MEULE ROTATIVE

FICHE DESCRIPTIVE (octobre 2006)

FICHE

** Si vous remplissez cette fiche pour la première fois, merci de consulter la notice explicative **

page 1/2

Auteur aurelie battistini Date création 23/09/09 modificationVotre numéro de fiche 1421 Export base groupe meule

Document(s) join(t)s / nom du fichier dessin

1 **DECOUVERTE** 1-1, LOCALISATION Code INSEE (départ. comm.) 680/277Département (nom) VAL D'OISE Commune VILLIER-LE-BEL GONESSELieu-dit ; nom du site archéologique section Rd 10/ giratoire de la Fauconnière

Précisions

1-2, CIRCONSTANCES fouille ou sondage prospection découverte fortuite Autre...Année 2009 Inventeur / Resp. fouille JG Pariat

1-3, CONTEXTE ARCHEOLOGIQUE

Site Villier-Le-bel Tène finale
(type, datation)Structure F 501 (silo), -200 à -220 cm
(type, datation)**2** **LIEU DE CONSERVATION**

Dépôt, localisation, n° de référence de la meule ...

SDAVO dépôt, caisse n°7, sac n°1414Dernière date d'observation / mention
de la meule dans ce lieu**4****DESSINS****3** **MORPHOLOGIE** Ebauche3-1, TYPE Meta Catillus Indéterminé3-2, ETAT DE CONSERVATION Entier Secteur
 Demi Fragment

3-3, PRINCIPALES DIMENSIONS

A. Diamètre maxi. meule cm

B. Oeil : diam/écartement max cm

C. Hauteur maxi. meule cm

D. Hauteur du flanc cm

E. Oeil : épaisseur (hauteur) cm

3-4, OEIL DE LA MEULE

Forme de la section supérieure

 Circulaire Quadrangulaire Autre

Oeil catillus

Oeil meta

 avec logements d'anille Perforant

Précisions sur l'oeil

.....
.....
.....
.....

contact : groupe-meule@orange.fr

3-5. AMÉNAGEMENT(S) POUR L'ACTIONNEMENT DU CATILLUS absent non visible

1) ENCOCHE(S) sur le flanc "à ciel ouvert" (face sup.) trou vertical (face sup.) Autre...
Précisions (nombre, position, forme, dimensions ...)

.....
.....
.....

2) AUTRE(S) TYPE(S) D'AMÉNAGEMENTS POUR L'ACTIONNEMENT (description, position, dimensions...)

.....
.....
.....

3-6. ÉLÉMENTS RAPPORTÉS

3-7. MORPHOLOGIE : OBSERVATIONS COMPLÉMENTAIRES

.....
.....
.....

5 MATIERE 5-1, ROCHE MEULIÈRE

5-2, DESCRIPTION Couleur Aspect matière Poreux Vacuaire Massif

..... Grains taille maxi.(mm.)
..... Visibles à l'oeil nu Non visibles à l'oeil nu

5-3, EXAMEN Vue par un géologue oui non Lame mince oui non

5-4, ORIGINE SUPPOSÉE locale

6 TRACES 6-1, SUR LA SURFACE MEULANTE

Traitement,
façonnage

Usure (degré,
position)

6-2, SUR AUTRE FACE, FLANCS, OEIL_(traces façonnage, usure ...)

.....
.....
.....

7 SOURCES D'INFORMATION *Faire précéder d'un astérisque la ou les sources utilisée(s) pour la fiche*

Personne(s) ayant étudié la meule + date + n° de classement

.....
Bibliographie, rapports, archives, témoins ...

.....
.....
.....
.....

8 REMARQUES COMPLÉMENTAIRES

même meule que la n°1412?

Pas à dessiner

.....
.....

Annexe 6

Premier regard sur les scories¹

Par

Xavier Bernardeau,
Master 2 Pro (Paris1) –

Jean-Gabriel Pariat, Aurélien Lefeuvre,
(SDAVO)

¹ La présente contribution a été réalisée dans le cadre d'un stage de Master 2 Pro par l'un d'entre nous (X. Bernardeau) durant deux semaines au cours de l'année 2010, et dans les locaux du service départemental d'archéologie du Val-d'Oise. Ce stage visait à dresser un bilan documentaire des études existantes sur les scories en Ile-de-France, puis à entreprendre une approche préliminaire du matériau «scorie» à l'échelle d'un site récemment fouillé à partir de l'exemple de Villiers-le-Bel de manière à dégager des pistes de réflexion, voire d'envisager des études approfondies.

Introduction

En raison d'un aménagement routier entre Villiers-le-Bel et Gonesse (Val-d'Oise), le service départemental d'archéologie du Val-d'Oise (SDAVO) a procédé aux réalisations d'un diagnostic (2008) et d'une fouille archéologique (2009), sous la direction de Jean-Gabriel Pariat. Ils ont permis de mettre au jour un enclos daté du second âge du fer (fig. 1), et plusieurs structures de stockage. Bien qu'aucune structure de combustion n'ait pu être mise en évidence, une partie du mobilier issu de la fouille de 2009 est constituée de scories de fer.

Les scories étudiées ici proviennent uniquement de la fouille du fossé 200 de l'enclos. Elles ont été retrouvées dans différents horizons du remplissage, et peuvent donc renvoyer à plusieurs phases d'occupation du site au cours du II^e siècle avant notre ère.

Dans cette contribution les scories sont abordées uniquement du point de vue de leur aspect de surface, afin d'évaluer la pertinence d'engager d'éventuelles analyses complémentaires.

La problématique de recherche a été de tester l'intérêt d'une simple observation de l'aspect externe des scories, afin de tirer des informations sur l'activité métallurgique du site au cours de son occupation.

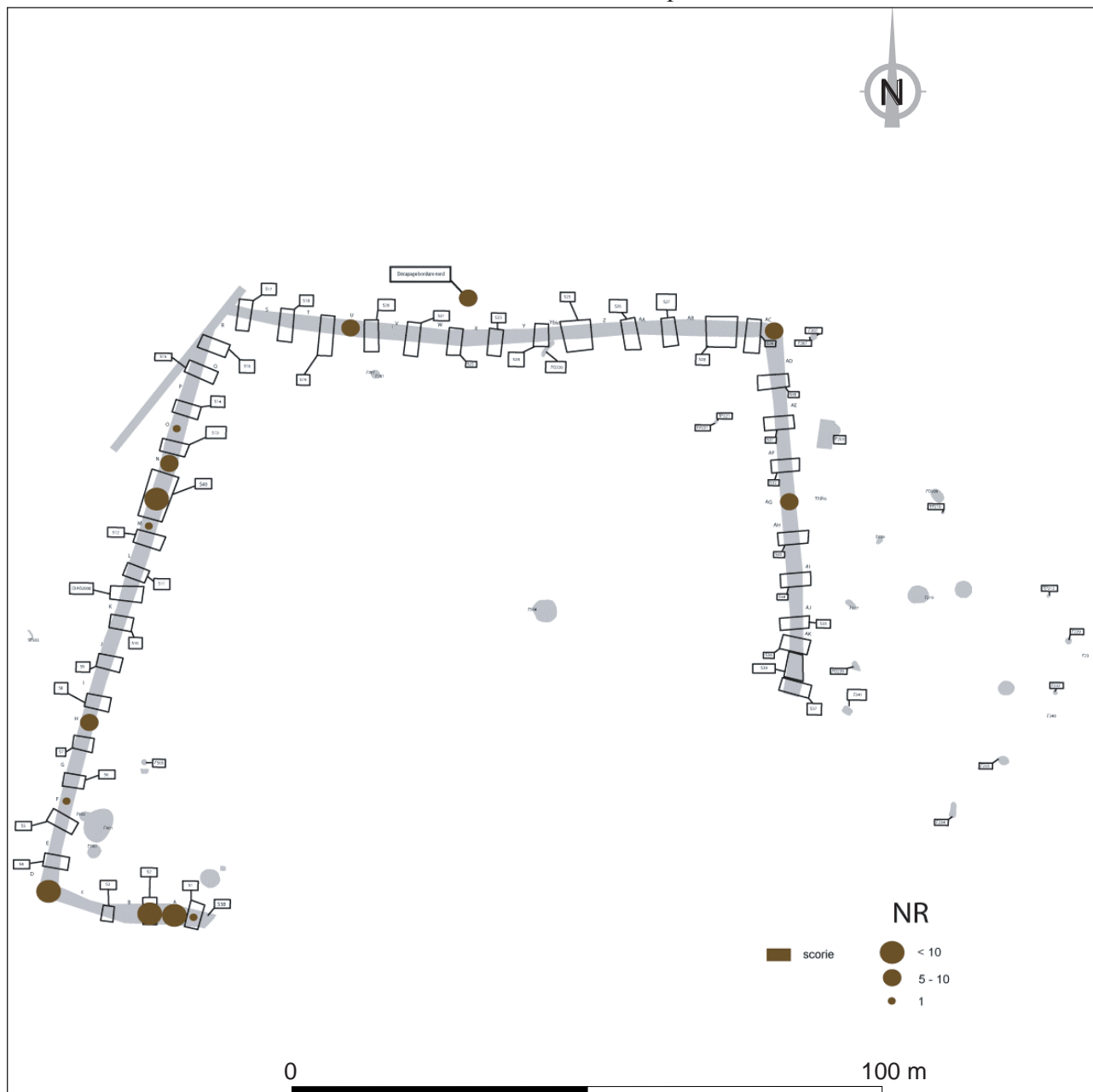


Fig. 1 : Plan de répartition des scories dans l'enclos.

I – Présentation

Le mobilier étudié provient exclusivement du fossé 200, qui par ses dimensions constitue la plus importante structure observée sur le site. La fouille de cette structure a livré 145 restes pour un poids total de 2,098 kg (tab. 1). Sept individus feront l'objet d'une étude approfondie, du fait de leurs grandes dimensions. Il est à noter que le poids est assez conséquent pour la période, sans être exceptionnel. En comparaison, le site contemporain de Fontenay-en-Parisis «La Lampe» (Val-d'Oise), bien que très partiellement fouillé recelait une quantité moindre de scories¹. De même un site majeur de La Tène finale localisé à Condé-sur-Suippe (Aisne) a livré seulement 2,340 kg de scories de fer². Dans l'Oise, à Ronchères, les scories pèsent au total 12,7 kg³. Toujours est-il que les comparaisons inter-sites sont difficiles à manipuler car les conditions de prélèvement ne sont pas toujours connues (protocole de prélèvement, maillage, exhaustivité de la fouille...).

N° Sondage	NR	%NR	PR (g)	%PR
Sondage 1	1	1	90	4
Sondage 2	55	37	511	25
Sondage 38	1	1	2	0
Sondage 40	13	8	41	2
Sondage A	13	9	499	25
Sondage AG	4	3	5	0
Sondage F	1	1	4	0
Sondage H	8	6	35	2
Sondage M	1	1	3	0
Sondage N	7	5	4	0
Sondage O	1	1	4	0
Sondage U	9	6	235	11
Sondage bordure nord	6	4	176	8
Sondage sud-ouest	17	11	449	21
Sondage angle nord-est	8	6	40	2
TOTAL	145	100	2098	100

Tab. 1 : Dénombrement en nombre (NR) et poids (PR, en g) des scories du fossé 200.

Par rapport au nombre total de scories retrouvées au cours de la fouille, le fossé 200 a livré 78 % de ce type de mobilier, pour un poids représentant 64 % du total. Ce corpus constitue donc une part majoritaire et représentative de l'ensemble des scories découvertes lors de la fouille. Du point

1 Daveau, Yvinec 2001.

2 Pion *et al.* 1994.

3 Malrain *et al.* 2010, p. 101

de vue de la répartition spatiale à l'intérieur du fossé 200, on note une forte concentration de scories au sud-ouest de l'enclos, en particulier dans la zone des sondages 2, A et dans l'angle sud-ouest. Ils totalisent, à eux seuls, 57 % du mobilier du fossé et 71 % du poids total.

Une seconde concentration peut être identifiée dans la partie ouest de l'enclos, au niveau des sondages successifs M, 40, N et O, qui ont livré 15 % des scories. Cependant, malgré leur importance numérique, ces éléments sont de petit gabarit. Ils représentent à peine 2 % du poids total du corpus étudié (fig. 2). Enfin, le reste du mobilier est très dispersé en différents points de l'enclos.

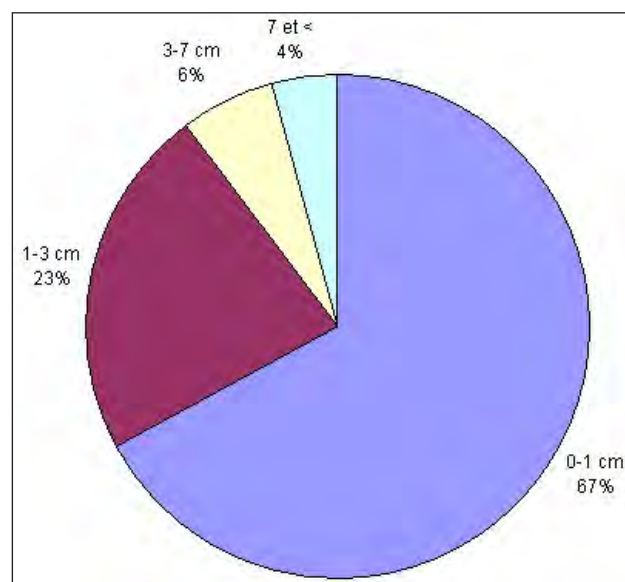


Fig. 2 : Graphique des différences de gabarits observées.

Au niveau stratigraphique, les principales zones de rejet de scories du fossé 200 sont associées à du mobilier métallique (principalement des clous, fragments de plaques de fer et objets non déterminés, fig. 3), de la céramique, et du torchis. Ce dernier pourrait avoir appartenu à des parois de bas fourneaux. Dans cette perspective, le torchis est un matériau qui nécessiterait un approfondissement des analyses.

Au niveau morphologique, la majorité du mobilier se présente sous la forme de nodules informes d'un centimètre de long pour 67 % du corpus (fig. 2). 23 % de l'ensemble regroupe des pièces de 3 cm, et seulement 4 %, soit six

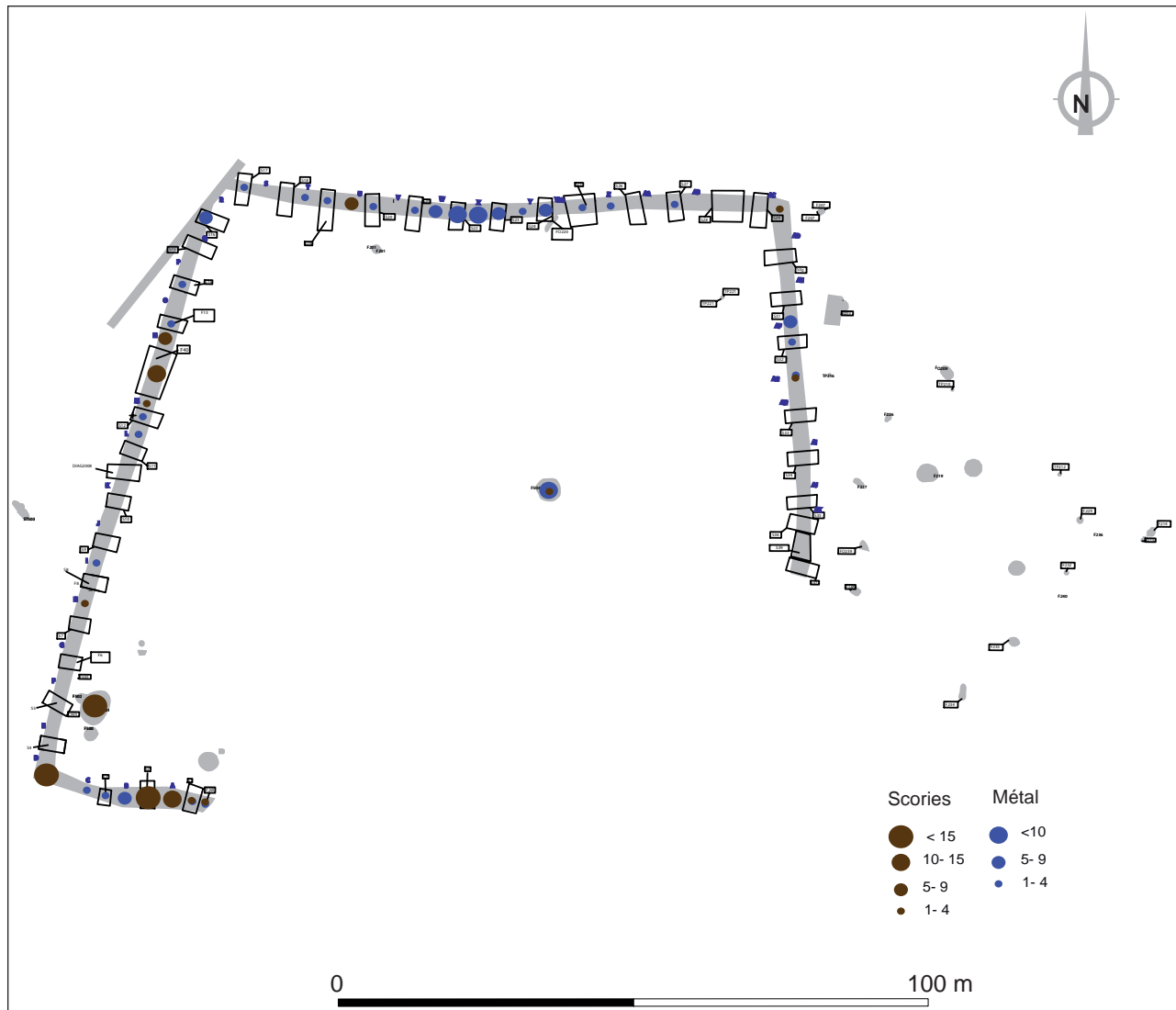


Fig. 3: Plan de répartition des scories et du mobilier métallique dans l'enclos.

individus, parmi les plus lourds, dépassent les 7 cm de long. En dessous de ces dimensions, les scories sont considérées comme des nodules, dont l'étude serait fastidieuse et apporterait peu d'informations supplémentaires⁴.

II – Inclusions et aspect de surface

Les inclusions observées en surface sont de natures assez diverses. Elles sont surtout remarquables sur les scories aux dimensions les plus importantes. On y relève principalement :

- des charbons de bois, en particulier pour les pièces de gros gabarit
- du calcaire (présent sur un individu)

- de la terre rubéfiée
- des gouttes de fer
- des résidus de mercure (?) : ils se présentent sous la forme de larges tâches rouges sur la surface de plusieurs individus. Une identification basée uniquement sur des observations à l'œil nu ne permet cependant pas d'affirmer la composition chimique exacte de ces inclusions.

En surface, les scories présentent, dans leur majorité, des bulles caractéristiques qui résultent du dégazage du minerai lors de la réduction. L'aspect globalement terreux des scories peut laisser supposer une réduction incomplète. La présence d'oxydes ferriques aurait facilité l'inclusion de minéraux argileux.

⁴ Bauvais, Fluzin 2005.

III – Étude de deux scories

Deux scories, parmi les plus volumineuses, ont été sélectionnées pour une étude approfondie. Elles proviennent respectivement de l'angle sud-ouest et de la bordure sud de l'enclos, c'est-à-dire de zones à forte densité.

La première, issue de l'angle sud-ouest du fossé 200, est une scorie en forme de calotte, présentant de nombreuses bulles piégées lors du dégazage (fig. 4). Elle ne comporte pas d'inclusions visibles en surface, hormis de larges taches grises, attestant de la présence d'oxydes ferreux. La couleur terreuse semble confirmer une forte proportion de fer dans la masse. Cette scorie a

été retrouvée parmi d'autres de tailles beaucoup plus modestes. Elle mesure environ 7 cm de diamètre. Il s'agit de la seule calotte identifiée avec certitude.

L'autre scorie, issue du sondage A pratiqué dans le fossé 200, possède le même gabarit que la précédente. Elle est de forme plus allongée et présente de très nombreuses inclusions d'oxydes de fer, de terre cuite et des taches rouges (du mercure?). La porosité y est beaucoup moins apparente, signe d'un dégazage plus complet (fig. 5). La présence de terre rubéfiée peut laisser penser que cette scorie a été en contact avec les parois du canal d'évacuation, et qu'une partie y est restée accrochée au moment du nettoyage du bas fourneau.

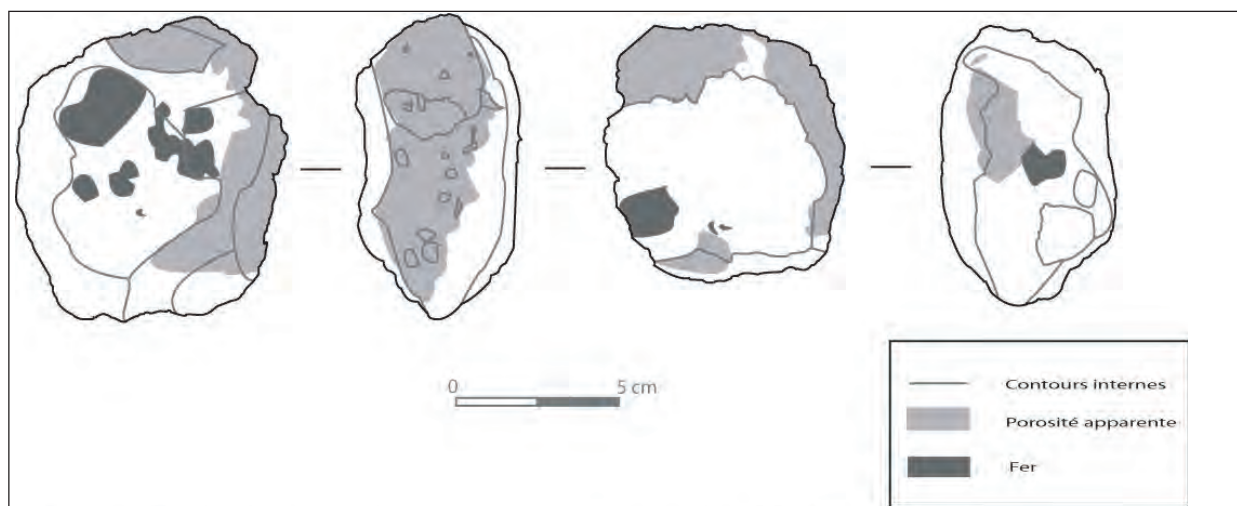


Fig. 4 : Fossé 200, angle sud-ouest, n° 1340 – Dessins de la scorie n° 1 (X. Bernardeau).

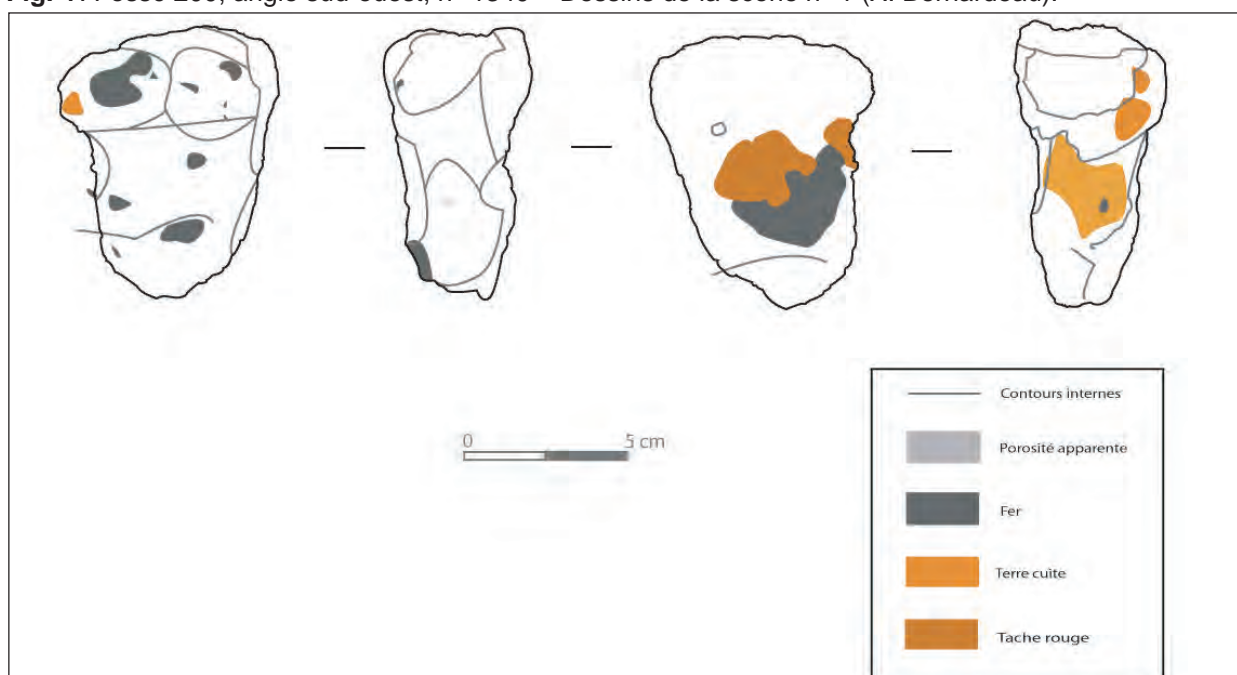


Fig. 5 : Fossé 200, sondage A, passe 3, n0 1339 – Dessin de la scorie n° 2 (X. Bernardeau).

Conclusion :

Cette première approche des scories de Villiers-le-Bel conduit à envisager plusieurs pistes de travail. Du point de vue de la chaîne opératoire, la présence de scories atteste d'une activité métallurgique se situant en fin de processus de réduction du minerai de fer. Il est probable que le début de la réduction s'opère sur d'autres sites.

Du point de vue spatial, il arrive souvent sur les sites de l'âge du fer que des différences de densité soient observées dans la répartition des scories. Elles peuvent alors indiquer, en négatif, des secteurs où les activités ne sont pas productrices de déchets. D'autres, à l'inverse, indiquent une coïncidence entre la localisation d'une activité et les déchets qu'elle occasionne, ceux-ci étant peut-être gérés de façon raisonnée.

Ainsi, dans le Bassin parisien à Condé-sur-Suippe (Aisne), les artisans semblent avoir volontairement rejeté leurs déchets près des aires de production⁵. Une véritable stratégie de remblaiement des structures en creux par les déchets de production a été mise en évidence.

À Jaux «Le Camp du Roi» (Oise), plusieurs structures de la zone interne de l'enclos ont fonctionné avec le fossé. Des zones d'activité artisanale coïncident ainsi avec des zones détritiques. Parmi celles-ci, un secteur a servi à la réfection d'objets métalliques et, en ce sens, a été particulièrement producteur de scories⁶.

L'analyse spatiale réalisée sur le site de Villiers-le-Bel fait apparaître une zone de concentration de scories. Ces dernières sont en contexte de rejet déritique. Leur présence dans le fossé d'enclos au sud-ouest pourrait trahir la proximité d'une aire dévolue à la métallurgie; la localisation exacte de cette zone n'étant pas connue.

Deux hypothèses peuvent être avancées. Le site pourrait avoir été le théâtre d'une forte érosion qui aurait engendré la destruction d'un bas fourneau. En effet les dispositifs de réduction sont des structures qui laissent peu de traces archéologiques⁷.

Dans un second cas de figure, un bas fourneau a pu exister dans la zone qui se trouve hors de l'emprise soumise à prescription, vers l'est de la zone de concentration observée, le plan de l'enclos n'étant pas intégralement connu dans ce secteur.

En dernier lieu ce premier regard porté sur les scories de Villiers-le-Bel conduit à revenir sur la méthodologie mise en œuvre pour la collecte des scories sur le terrain. Sur ce site ce matériau n'a pas fait l'objet d'un protocole de prélèvement spécifique. À défaut les scories ont été amassées le plus systématiquement possible. Il en va de même des sites de comparaisons les plus proches. Les modalités de prélèvement lors du terrain ne sont pas toujours exposées (mode de collecte par les archéologues, représentativité des séries etc.).

Malgré ces réserves, les éléments prélevés ouvrent des pistes de réflexion encourageantes au sujet de la chaîne opératoire métallurgique. Des analyses complémentaires pourraient conduire à relier ces scories à une étape du processus métallurgique ou à un type d'artisanat en particulier.

En tout état de cause, la difficulté de restitution des modes de production du minerai au produit fini est clairement mise en évidence par cette approche préliminaire.

5 Pion *et al.* 1994.

6 Gransar *et al.* 1994.

7 Bauvais, Fluzin 2005.

Bibliographie

Bauvais & Fluzin 2005 : BAUVAIS (S.), FLUZIN (P.), 2005 – Analyses métallographiques des déchets de forge du site de Bazoches sur Vesle (Aisne) *in* Revue Archéologique de Picardie, n° spécial 22 : p. 115–130.

Daveau & Yvinec 2001 : DAVEAU (I.), YVINEC (J.-H.), 2001 – L'occupation protohistorique du site de Fontenay-en-Parisis «La Lampe» (Val-d'Oise) : un lieu de consommation collective à La Tène C1/C2. *Revue Archéologique du Centre de la France*, 40, p. 69–102.

Gransar *et al.* 1994 : GRANSAR (F.), MALRAIN (F.), MATTERNE (V.), 1994 – Analyse spatiale d'un établissement rural à enclos fossoyés du début de La Tène Finale : Jaux (Oise), *in* Auxiette (G.) (dir.), *Espaces physiques, espaces sociaux dans l'analyse interne des sites du Néolithique à l'âge du fer*, 119^{ème} congrès CTHS : p. 159–181.

Malrain *et al.* 2010 : MALRAIN (F.), BAUVAIS (S.), HÉNON (B.), LEGROS (V.), SAUREL (M.), PISSOT (V.) avec les contributions de BOULEN (M.), FECHNER (K.), 2010 – Le site artisanal de La Tène finale et du gallo-romain de Ronchères (Aisne) «Le Bois de la Forge». *Revue Archéologique de Picardie*, 1–2, p. 41–165

Pion *et al.* 1994 : PION (P.), POMMEPUY (C.), AUXIETTE (G.), HÉNON (B.), GRANSAR (F.), 1994 – L'oppidum de Condé-Sur-Suipe/Variscourt (Aisne) (Fin II^e – début I^{er} siècle av. J.-C.) : Approche préliminaire de l'organisation fonctionnelle d'un quartier artisanal, *in* AUXIETTE (G.) (dir.), *Espaces physiques, espaces sociaux dans l'analyse interne des sites du Néolithique à l'âge du fer*, 119^{ème} congrès CTHS : p. 275–309.

Wabont *et al.* 2006 : WABONT (M.), ABERT (F.), VERMEERSCH (D.) – Carte archéologique de la Gaule : Val-d'Oise (95). Paris : Académie des Inscriptions et Belles-Lettres, 2006.

Annexe 7

Les bracelets en lignite

Par

Jean-Gabriel Pariat
(SDAVO)

Dans cette contribution, seules quelques remarques préliminaires sont consacrées à un fragment de bracelet en lignite, vestige qui mériterait des investigations plus approfondies. Les descriptions qui suivent portent sur des observations réalisées à l'œil nu.

I – Le fragment de bracelet du silo F501

Le seul fragment de bracelet en lignite découvert provient du silo F501 localisé dans la zone interne de l'enclos, au sud-ouest (fig. 1). Cette structure a pu être rattachée à la Tène moyenne. L'élément en lignite a été découvert dans la moitié nord du remplissage entre 1,20 m et 1,40 m de profondeur, parmi les autres vestiges détritiques issus de cette couche plutôt attribués à la fin de La Tène C1 (fig. 2).

Ce fragment, en lignite noire, est formé d'un jonc simple à section ovale (fig. 3 et 4). Le bracelet est poli sur toutes les faces. La face interne présente quelques stries, qui s'organisent perpendiculairement à l'axe du jonc. La largeur conservée est de 40 mm. Le diamètre externe est de 49 mm pour un diamètre interne de 37 mm. La hauteur du jonc est de 4 mm pour une largeur de 7 mm.



Fig. 3 : Fragment de bracelet issu du silo F501 (Cliché : A. Battistini).

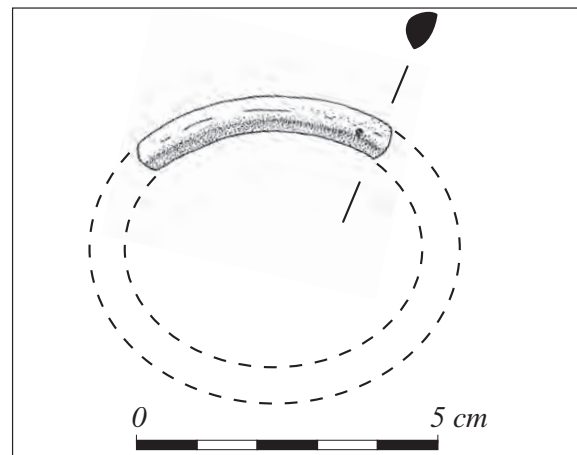


Fig. 4 : Bracelet en lignite issu du silo F501 (Illustration : A. Battistini).

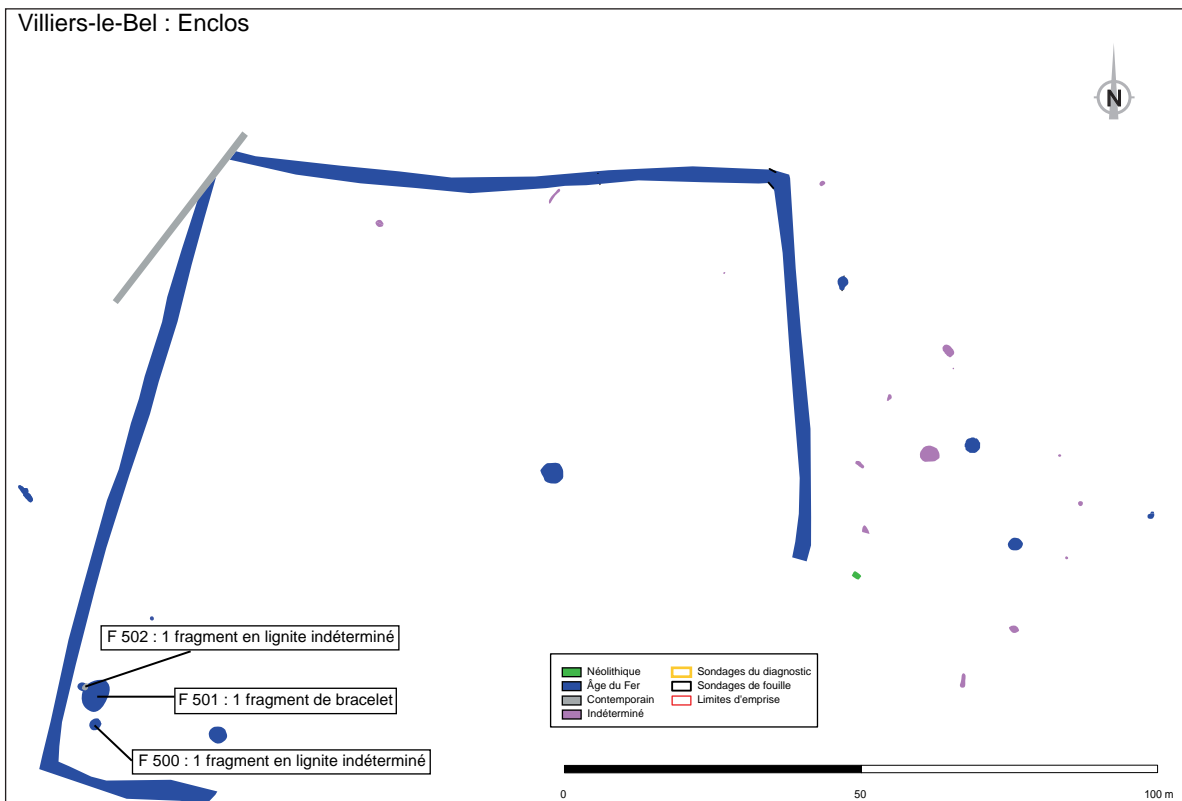


Fig. 1 : Localisation des vestiges en lignite retrouvés sur les sites de Villiers-le-Bel.

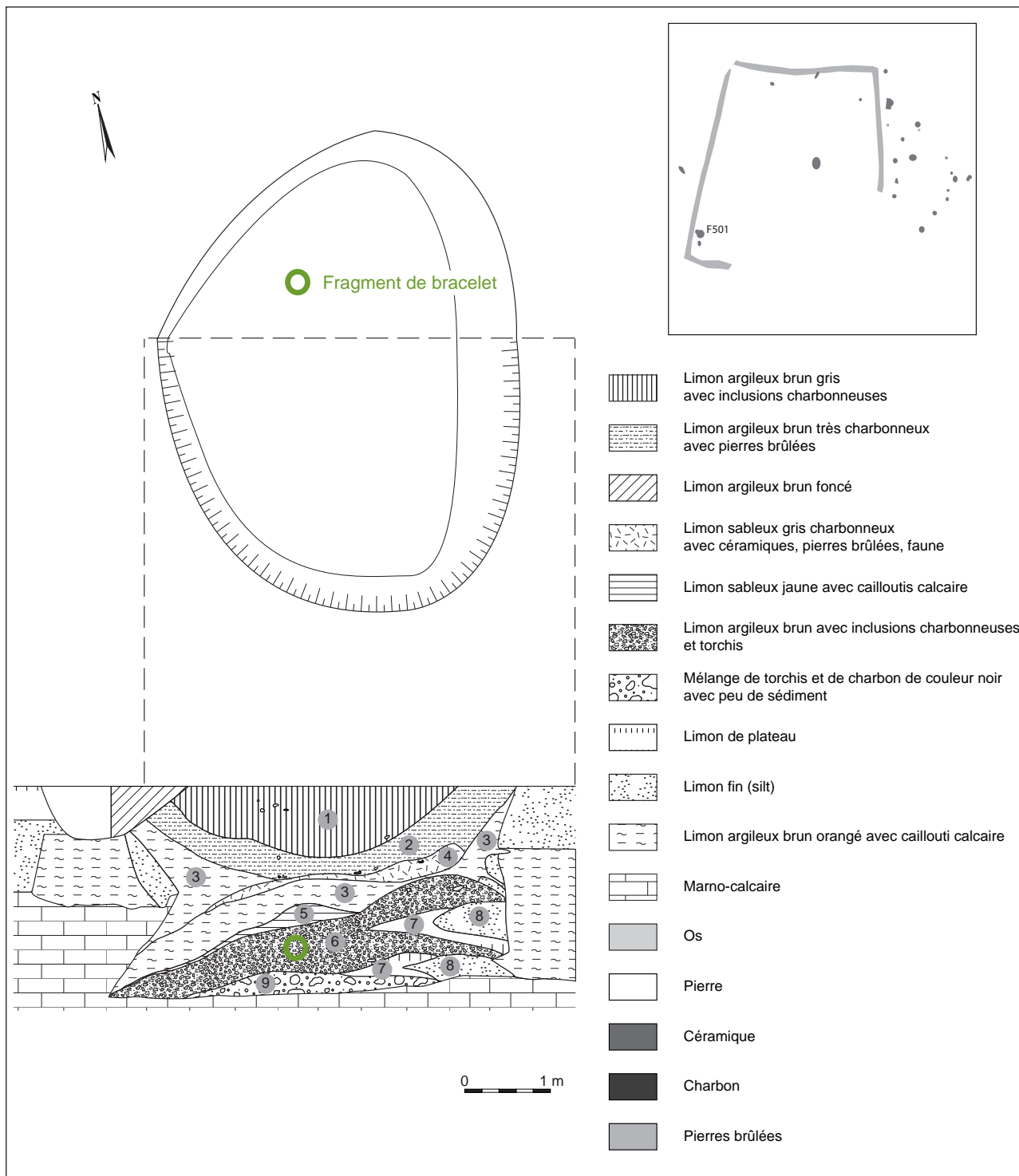


Fig. 2 : Position du fragment de bracelet dans le silo F501.

II – Les fragments indéterminés Bibliographie

Deux fragments indéterminés ont été découverts dans différentes structures. Le premier d'entre eux est issu du comblement d'une fosse contemporaine (F502), localisée dans la zone interne de l'enclos au sud-ouest. Ce fragment n'a pas résisté aux opérations de lavage. Cependant, compte tenu de la proximité de structures protohistoriques (les silos F501 et F505), cet élément pourrait être intrusif donc gaulois, la fosse F502 recoupant les silos F501 et F505.

Le second fragment a été découvert dans la partie supérieure du remplissage de la fosse F500, entre 0 et 20 cm de profondeur, localisé dans la zone interne de l'enclos au sud-ouest. Cette fosse a pu être attribuée au second âge du fer au sens large. Ce vestige mesure 23 mm de large pour une épaisseur de 5 mm. Il est en lignite noire, et ne présente aucune trace de mise en forme.

III – Synthèse et comparaisons

Les vestiges en lignite découverts sur le site se scindent en un objet fini, rejeté dans un silo (un bracelet) et deux fragments qui ne semblent pas avoir été travaillés mais dont la présence et l'état ne peuvent être expliqués par de simples phénomènes d'érosion du site.

À Villiers-le-Bel, les fragments de bracelet ont exclusivement été retrouvés dans le comblement des silos. Ce constat corrobore les observations effectuées sur le site de Bobigny où les structures de grandes taille qui présentent des volumes importants, à l'instar des silos, sont souvent celles qui abritent des fragments de bracelet en lignite¹.

Le site d'habitat du «Bâtiment de Radiothérapie» à Bobigny a livré des bracelets comparables à ceux de Villiers-le-Bel. La plupart comporte des stries qui pourraient résulter de la découpe de la rondelle centrale lors de la mise en forme de l'objet².

Marion *et al.* 2005: MARION (S.), LE BÉCHENNEC (Y.), LE FORESTIER (C.) avec la participation de FRÈRE (S.), DURGEAU (S.), 2005 – Bobigny (Seine-Saint-Denis), Bâtiment Hospitalier, Bâtiment de Radiothérapie. Rapport final d'opération du 01/08/2002 au 30/09/2003. Département de la Seine-Saint-Denis, INRAP, SRAIF, 2 vol.

1 Marion *et al.* 2005, p. 60.

2 Marion *et al.* 2005, p. 58.

Annexe 8

Les monnaies gauloises

Par

Jean-Bernard Guillaume
(archéologue bénévole) –

Jean-Gabriel Pariat
(SDAVO)

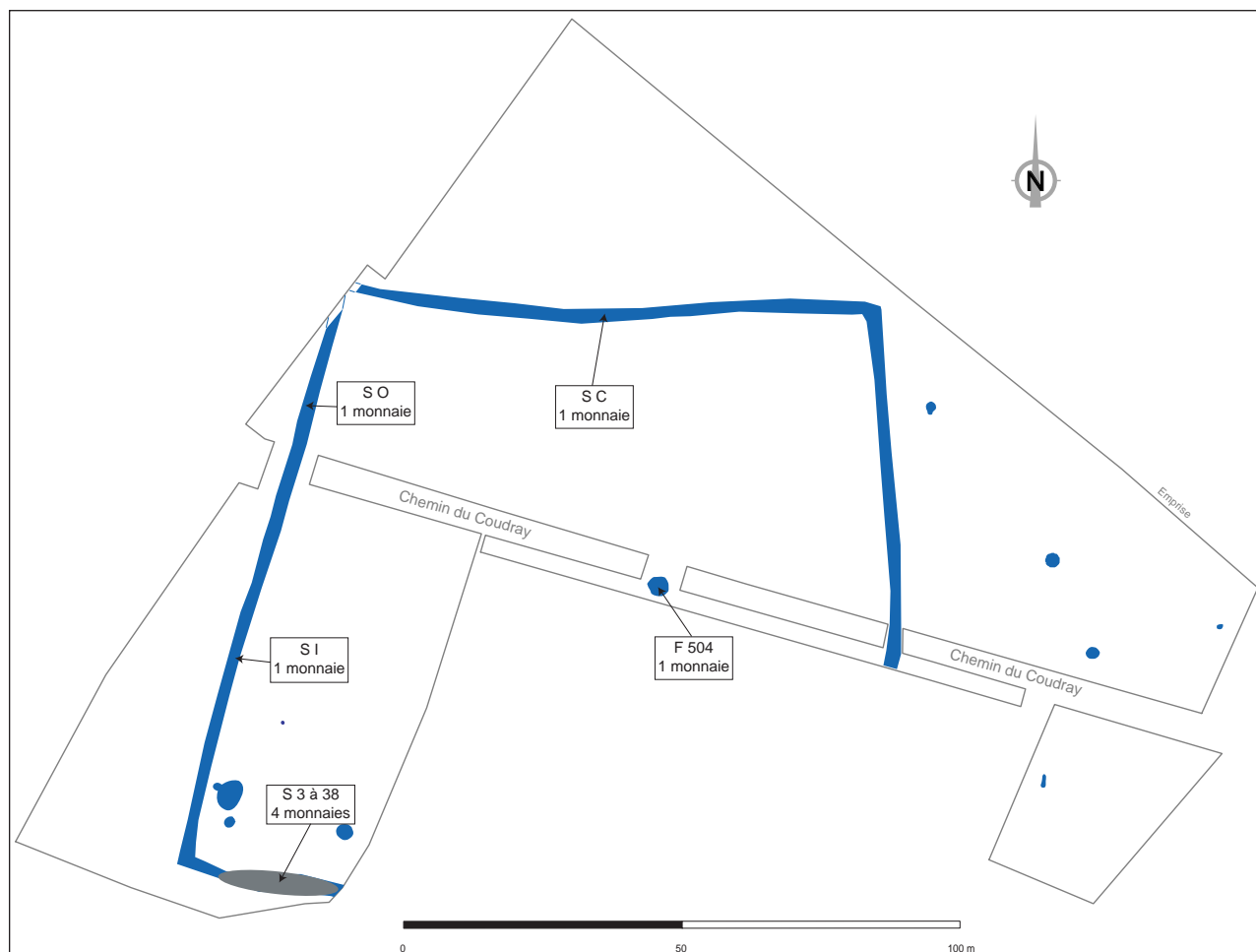


Fig. 1 : Localisation des vestiges en lignite retrouvés sur les sites de Villiers-le-Bel.

Huit monnaies ont été découvertes lors du diagnostic et de la fouille du site de la « déviation de la RD 10/370 ». Toutes sont issues de l'enclos ou des silos de Villiers-le-Bel. Elles ont été découvertes en fouille manuelle, en sondage mécanique et, dans une moindre mesure, à l'aide d'un détecteur de métaux, systématiquement passé sur les déblais.

1 – Répartition spatiale

Une monnaie provient d'un silo (F 504) et les sept autres sont issues du comblement des fossés d'enclos (Fo 200). Celle qui provient du silo a été découverte dans la moitié sud de celui-ci, dans la partie supérieure du comblement dans un horizon limoneux, recelant des vestiges en contexte de rejet.

Les sept monnaies provenant des fossés de l'enclos sont apparues, pour quatre d'entre elles, dans le fossé de la bordure sud entre les sondages 3 et 38 (fig. 1). Parmi elles, trois monnaies étaient

associées à un épandage de tessons (fig. 2). À l'ouest deux monnaies ont été retrouvées à distance l'une de l'autre. Enfin c'est au niveau du sondage C, sur la bordure nord, qu'a été retrouvée la septième monnaie.

Toutes ces pièces sont issues du comblement supérieur limoneux du fossé.

Les associations de monnaies à des amas de tessons sont peu nombreuses en Ile-de-France. Récemment sur le site de Pierrefitte « Les Tartres » (93), des assemblages similaires semblent avoir été observés¹.

2 – Typologie

Toutes les monnaies n'ont pas pu être identifiées car leur état de conservation diffère. Ainsi celle qui provient du silo F 504 est peu lisible, tout comme l'exemplaire issu du sondage S38 du fossé d'enclos.

Six monnaies ont donc été déterminées. Il s'agit

¹ Lafage, communication personnelle.

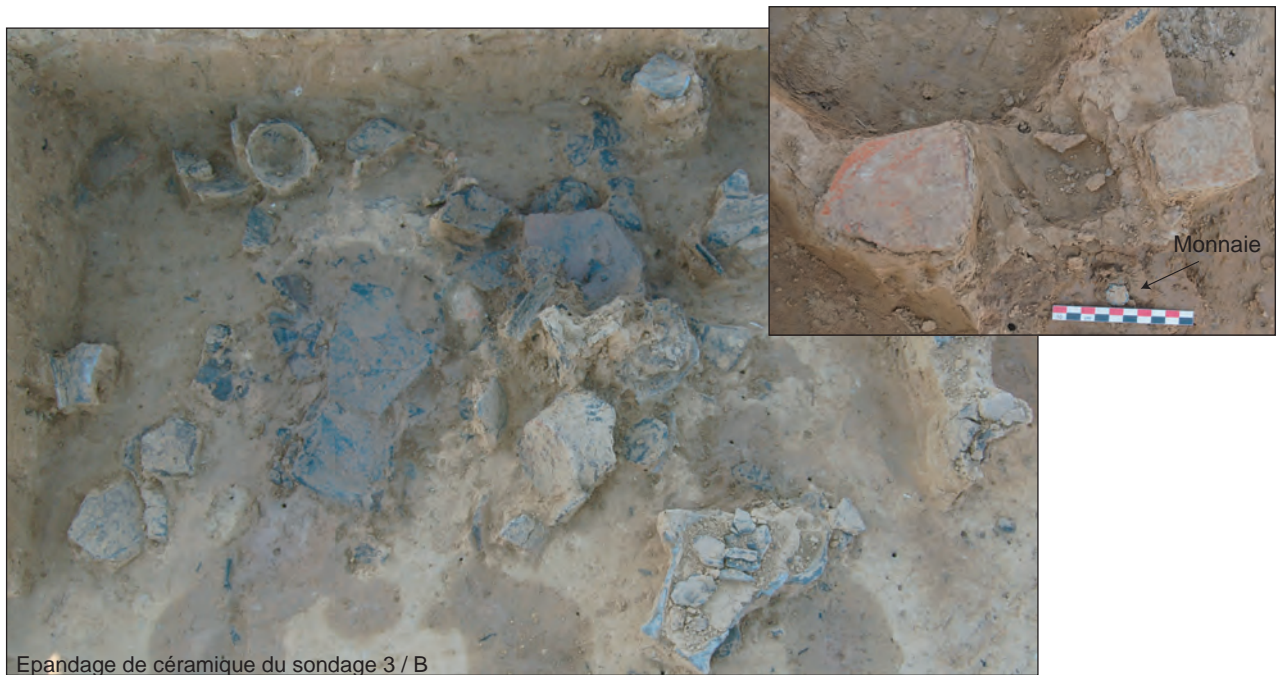


Fig. 2 : Monnaie retrouvée dans un amas de tessons (Fo 200 S 3B, cliché : C. Roy).

exclusivement de potins coulés du type LT 9180 issus du fossé Fo 200. Ce genre de potin, très reconnaissable, présente sur son revers un sanglier statique en vue latérale, l'abdomen rentrant, à la crête dorsale hypertrophiée et à l'oreille très développée (fig. 3). Entre les pattes de l'animal, un personnage humain à tête coupée apparaît frontalement.

Ce type est en fait la déclinaison d'un grand ensemble de potins dits «au sanglier» dont la diffusion couvre une vaste zone allant de la rive gauche du Rhin à l'Epte² (fig. 4).

Parmi les six potins identifiés, l'un d'eux n'est en fait qu'un demi potin comportant des marques de cassure, vraisemblablement dues à un accident. Un autre comporte une double perforation. Il s'agit là sans doute d'un exemplaire rare de raté de coulée³. La présence de cet objet dans la série soulève la question des lieux de production des monnaies. A-t-on pu couler des potins à proximité de l'enclos, alors qu'il est admis que les *oppidums* accueillent ce genre d'activité⁴? C'est peu probable dans la mesure où aucun moule en terre cuite n'a été découvert sur le site, mais l'enclos n'est pas intégralement fouillé.

2 Bulard, Drouhot 2005, p. 11.

3 Bulard, communication orale.

4 Delestrée, Tache 2002.

3 – Conclusion

Les potins de type LT 9180 circulent dans cette partie de la Gaule dès la première moitié du I^{er} siècle av. J.-C. Leur présence dans le comblement supérieur du fossé permet de les rattacher au début de La Tène D1 d'après le mobilier céramique associé (cf. annexe 2).

Ce rattachement chronologique est cohérent puisque ce type monétaire est attesté jusqu'au premier quart du I^{er} siècle av. J.-C.

D'autres sites ont d'ailleurs livré des potins de ce genre dans le nord-est de l'Île-de-France : le Mesnil-Aubry «Carrières REP, Véolia»⁵, Bobigny «La Vache à l'Aise» (Seine-Saint-Denis)⁶, Pierrefitte «Les Tartres»⁷ (Seine-Saint-Denis, fig. 5). Par contre le site, pourtant contemporain, de Fontenay-en-Parisis «La Lampe» (Val-d'Oise) ne semble pas en avoir livré⁸. Les fossés et les silos découverts sur ce site recelaient exclusivement des potins de type LT 5284, par ailleurs absent à Villiers-le-Bel.

Dans un cas comme dans l'autre, l'absence de ces monnaies a une signification très limitée puisque les deux sites en question n'ont pas été entièrement fouillés.

5 Fouille C. Laporte-Cassagne 2010, étude en cours.

6 Le Béchenec, Marion 1998.

7 Étude en cours.

8 Daveau, Yvinec 2001.

Bibliographie

Bulard, Drouhot 2005 : BULARD (A.), DROUHOT (C.), 2002 – Monnaies en bronze des Gaulois d'Ile-de-France : questions de territoires. Commerce, échanges et diffusion en Ile-de-France, Actualité régionale, Actes des Journées Archéologiques d'Ile-de-France, 30 novembre et 1^{er} décembre 2002, SRAIF, Saint-Denis, p. 9–23.

Daveau, Yvinec 2001 : DAVEAU (I.), YVINEC (J.-H.), 2001 – L'occupation protohistorique du site de Fontenay-en-Parisis «La Lampe»

(Val-d'Oise) : un lieu de consommation collective à La Tène C1/C2. Revue Archéologique du Centre de la France, 40, p. 69–102.

Delestrée, Tache 2002 : DELESTRÉE (L.-P.), TACHE (M.), 2002 – Nouvel Atlas des Monnaies gauloises I de la Seine au Rhin. Commios, Saint-Germain-en-Laye.

Le Béchenec, Marion 1998 : LEBÉCHENEC (Y.), MARION (S.), 1998 – Bobigny «La Vache à l'Aise (Seine-Saint-Denis). Document Final de Synthèse de sauvetage (10/10/95 – 30/09/97). Conseil général de la Seine-Saint-Denis, SRA Ile-de-France.

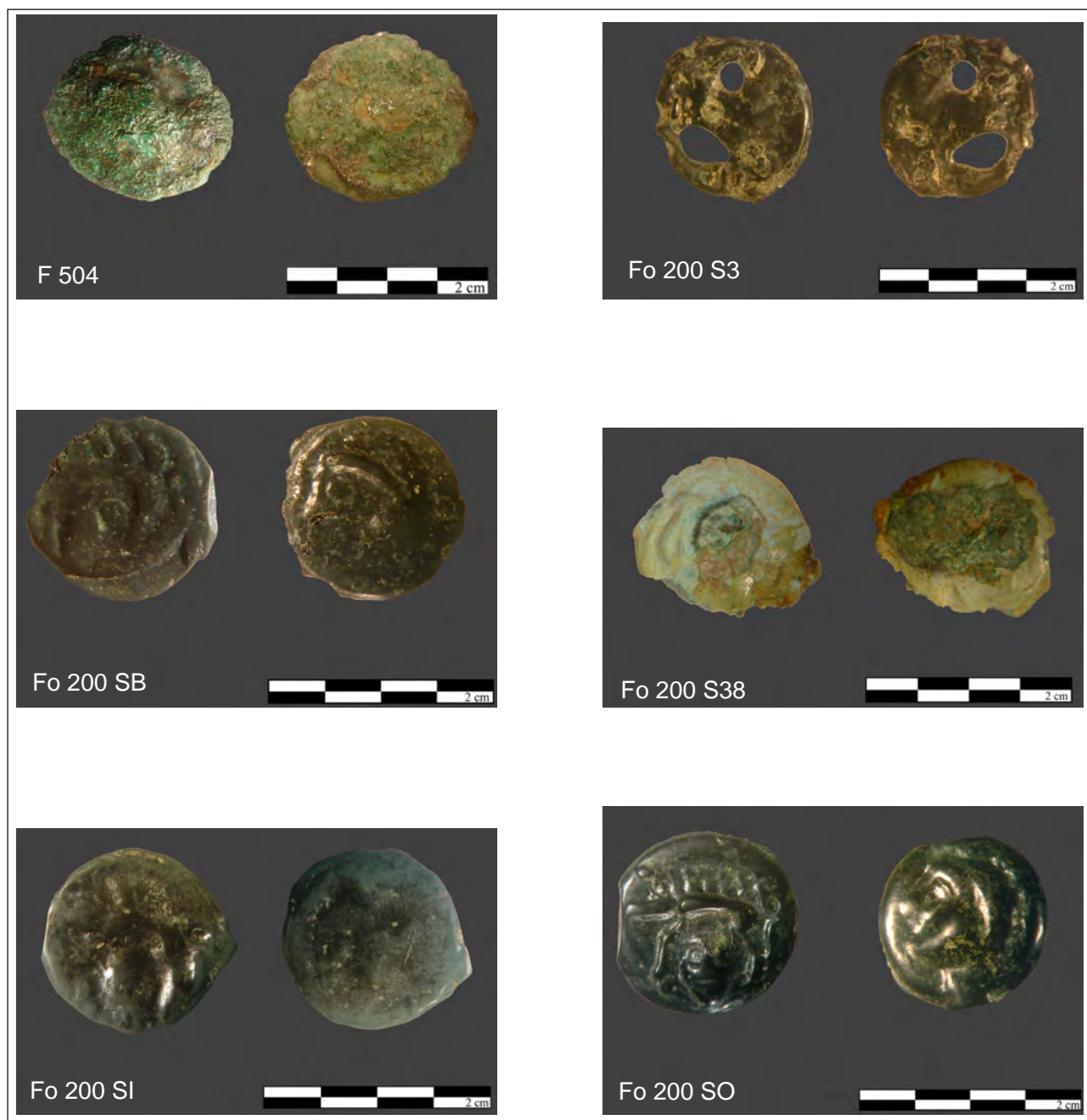


Fig. 3 : Photographies des potins retrouvés à Villiers-le-Bel (Clichés : V. Maret).

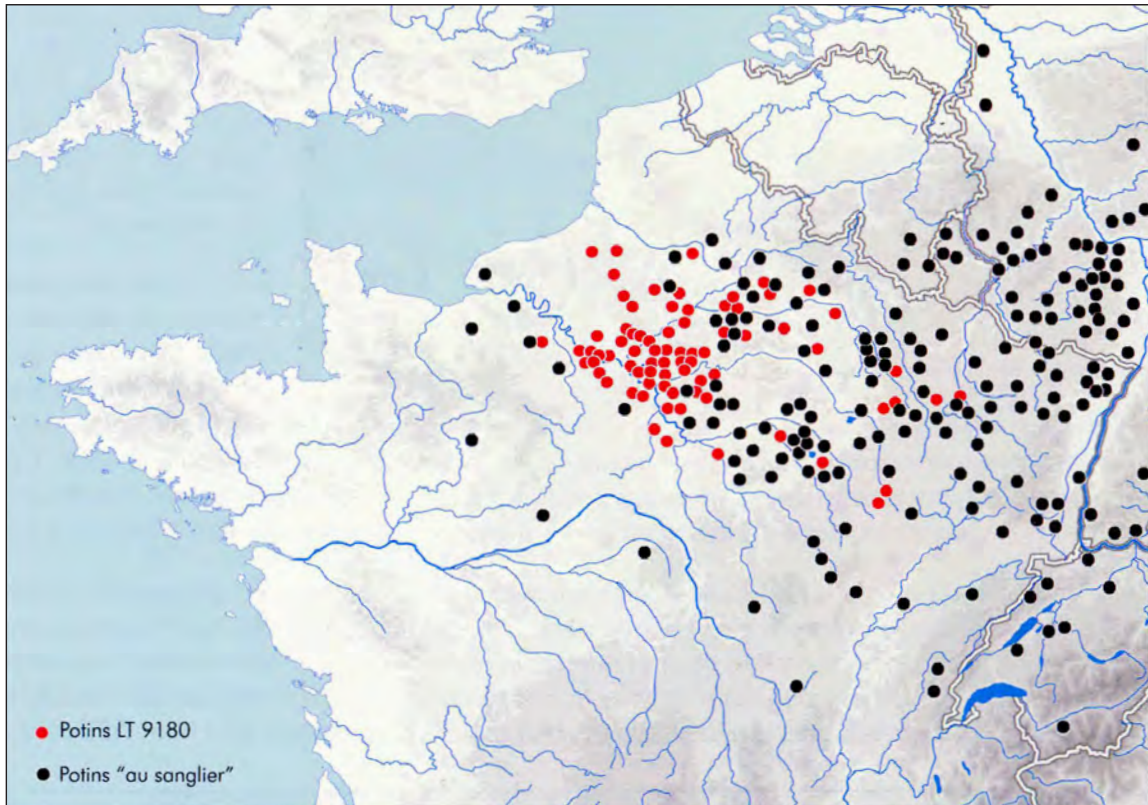


Fig. 4 : Répartition générale des potins « au sanglier » (Scheers 186, d'après Fichtl 2004) et des potins « à la tête coupée ».

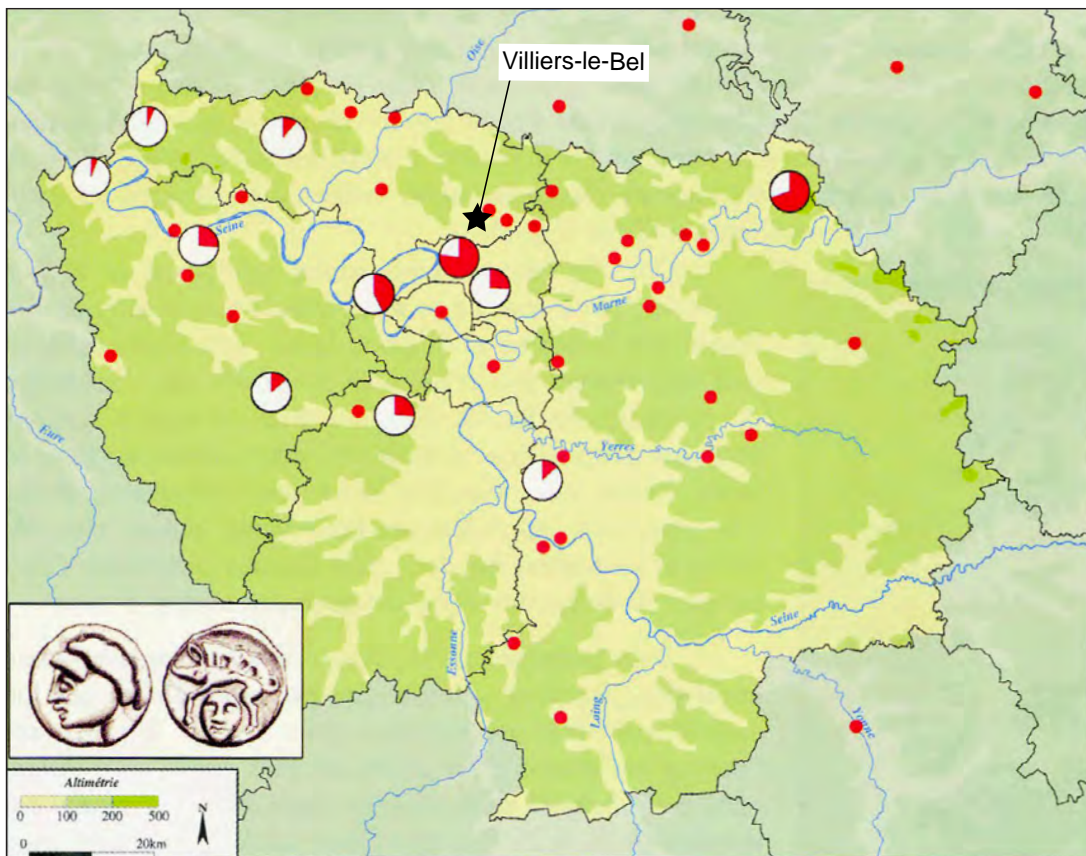




Fig. 5 : Répartition des potins « à la tête coupée » en Ile-de-France (d'après Bulard, Drouhot 2002).

Catalogue des monnaies (J.-B. Guillaume)

FICHE D'IDENTIFICATION NUMISMATIQUE

SRA ILE-DE-FRANCE SDAVO	SITE: VILLIERS-LE-BEL FICHE: N° 1
----------------------------	--------------------------------------

OBJET		MATÉRIAU	
Monnaie	X Médaille	AU	CU
Méreau	Sceaux	AR	ALL CU
Jeton	Cachet	AE	X LT
Dénéral	Bouton	BILLON	PB
		CIRE	

DROIT	PHOTO
Type TÊTE À DROITE	
Légende:	
Différent:	
REVERS	PHOTO
Type:	
Légende:	
Exergue:	

Pays	ROME	Autorité	
Espèce	AS	Datation monnaie	
Atelier		Graveur/Maître	
État de conservation	M	Titre	
Diamètre	18 MM	Épaisseur	1.5MM
Couche	F504 ½ SUD	N° d'iso	1528



BIBLIOGRAPHIE / REMARQUES	PHOTO RÉFÉRENCE

Traitement	MÉCA	Auteur	J.-B. Guillaume
------------	------	--------	-----------------


FICHE D'IDENTIFICATION NUMISMATIQUE

SRA ILE-DE-FRANCE SDAVO	SITE : VILLIERS-LE-BEL FICHE : N°2 Date : 2009
----------------------------	--

OBJET		MATÉRIAU			
Monnaie	X	Médaille	AU	CU	
Méreau		Sceaux	AR	ALL CU	
Jeton		Cachet	AE	LT	
Dénéral		Bouton	BILLON	PB	
			CIRE	POTIN	X

DROIT	PHOTO
Type : Anépigraphe. Tête stylisée à gauche, la chevelure ? retenue dans un filet.	
Légende :	
Différent :	
REVERS	PHOTO
Type : Anépigraphe. Sanglier enseigne à gauche, entre les pattes, petite tête humaine dont on aperçoit les traits.	
Légende :	
Exergue :	

Pays	RÉGION DE PARIS	Autorité	PARISII BELLOVACI ou MELDI
Espèce	Potin à la tête humaine	Datation monnaie	180-80 BC
Atelier		Graveur/Maître	
État de conservation	B	Titre	
Diamètre		Épaisseur	
Couche	Fo 200 S B P 1	N° d'iso	SAC 1419

BIBLIOGRAPHIE/REMARQUES	PHOTO RÉFÉRENCE
Henri de La Tour; Planche XXXVII	

Traitement	SDAVO	Étude par	J.-B. Guillaume
------------	-------	-----------	-----------------


FICHE D'IDENTIFICATION NUMISMATIQUE

SRA ILE-DE-FRANCE SDAVO	SITE : VILLIERS-LE-BEL FICHE : N°3 Date : 02/2009
----------------------------	---

OBJET		MATÉRIAU	
Monnaie	X Médaille	AU	CU
Méreau	Sceaux	AR	ALL CU
Jeton	Cachet	AE	LT
Dénéral	Bouton	BILLON	PB
		CIRE	POTIN X

DROIT	PHOTO
Type: Anépigraphe. Tête stylisée à gauche, la chevelure? retenue dans un filet.	
Légende:	
Différent:	
REVERS	PHOTO
Type: Anépigraphe. Sanglier enseigne à gauche, entre les pattes, petite tête humaine dont on aperçoit les traits.	
Légende:	
Exergue:	

Pays	RÉGION DE PARIS	Autorité	PARISII BELLOVACI ou MELDI
Espèce	Potin à la tête humaine	Datation monnaie	180-80 BC
Atelier		Graveur/Maître	
État de conservation	B	Titre	
Diamètre		Épaisseur	
Couche	Fo 200 S O (0-20 cm)	N° d'iso	SAC 1423

BIBLIOGRAPHIE/REMARQUES	PHOTO RÉFÉRENCE
Henri de la Tour planche XXXVII	

Traitement	SDAVO	Étude par	J.-B. Guillaume
------------	-------	-----------	-----------------


FICHE D'IDENTIFICATION NUMISMATIQUE

SRA ILE-DE-FRANCE SDAVO	SITE : VILLIERS-LE-BEL FICHE : N°4 Date : 05/2009
----------------------------	---

OBJET		MATERIAU	
Monnaie	X Médaille	AU	CU
Méreau	Sceaux	AR	ALL CU
Jeton	Cachet	AE	LT
Dénéral	Bouton	BILLON	PB
		CIRE	POTIN X

DROIT	PHOTO
Type: Anépigraphe. Tête stylisée à gauche, la chevelure? retenue dans un filet.	
Légende:	
Différent:	
REVERS	PHOTO
Type: Anépigraphe. Sanglier enseigne à gauche, entre les pattes, petite tête humaine dont on aperçoit les traits.	
Légende:	
Exergue:	

Pays	RÉGION DE PARIS	Autorité	PARISII BELLOVACI ou MELDI
Espèce	Potin à la tête humaine	Datation monnaie	180-80 BC
Atelier		Graveur/Maître	
État de conservation	M	Titre	
Diamètre	16 mm	Épaisseur	
Couche	Fo 200 S I	N° d'iso	SAC 1424



BIBLIOGRAPHIE / REMARQUES	PHOTO RÉFÉRENCE
Henri de la Tour ; planche XXXVII	

Traitement	SDAVO	Étude par	J.-B. Guillaume
------------	-------	-----------	-----------------


FICHE D'IDENTIFICATION NUMISMATIQUE

SRA ILE-DE-FRANCE SDAVO	SITE: VILLIERS-LE-BEL FICHE: N°5 Date: 01/2009
----------------------------	--

OBJET		MATÉRIAU	
Monnaie	X Médaille	AU	CU
Méreau	Sceaux	AR	ALL CU
Jeton	Cachet	AE	LT
Dénéral	Bouton	BILLON	PB
		CIRE	POTIN X

DROIT Type: Anépigraphe. Tête stylisée à gauche, la chevelure? retenue dans un filet. Légende: Différent:	PHOTO 
REVERS Type: Anépigraphe. Sanglier enseigne à gauche, entre les pattes, petite tête humaine dont on aperçoit les traits. Légende: Exergue:	PHOTO 

Pays	RÉGION DE PARIS	Autorité	PARISII BELLOVACI ou MELDI
Espèce	Potin à la tête humaine	Datation monnaie	180-80 BC
Atelier		Graveur/Maître	
État de conservation	M	Titre	
Diamètre	16 mm	Épaisseur	
Couche	Fo 200 S B	N° d'iso	SAC 1420



BIBLIOGRAPHIE/REMARQUES	PHOTO RÉFÉRENCE
Henri de la Tour planche XXXVII (variante)	

Traitement	SDAVO	Étude	J.-B. Guillaume
------------	-------	-------	-----------------


FICHE D'IDENTIFICATION NUMISMATIQUE

SRA ILE-DE-FRANCE SDAVO	SITE : VILLIERS-LE-BEL FICHE : N°6 Date : 03/2009
----------------------------	---

OBJET		MATÉRIAU	
Monnaie	X Médaille	AU	CU
Méreau	Sceaux	AR	ALL CU
Jeton	Cachet	AE	LT
Dénéral	Bouton	BILLON	PB
		CIRE	POTIN X

DROIT Type: [Anépigraphie. Tête stylisée à gauche, la chevelure? retenue dans un filet.] Légende : Différent :	PHOTO 
REVERS Type: Anépigraphie. Sanglier enseigne à gauche, entre les pattes, petite tête humaine dont on aperçoit les traits. Légende : Exergue :	PHOTO 

Pays	RÉGION DE PARIS	Autorité	PARISII BELLOVACI ou MELDI
Espèce	Potin à la tête humaine	Datation monnaie	180-80 BC
Atelier		Graveur/Maître	
État de conservation	TM	Titre	
Diamètre	16 mm	Épaisseur	
Couche	Fo 200 S 3	N° d'iso	SAC 1422



BIBLIOGRAPHIE / REMARQUES	PHOTO RÉFÉRENCE
Henri de la Tour planche XXXVII	

Traitement	SDAVO	Étude	J.-B. Guillaume
------------	-------	-------	-----------------

FICHE D'IDENTIFICATION NUMISMATIQUE

SRA ILE-DE-FRANCE SDAVO	SITE : VILLIERS-LE-BEL FICHE : N°7 Date : 06/2009
----------------------------	---

OBJET		MATÉRIAU	
Monnaie	X Médaille	AU	CU
Méreau	Sceaux	AR	ALL CU X
Jeton	Cachet	AE	LT
Dénéral	Bouton	BILLON	PB
		CIRE	POTIN

DROIT	PHOTO
Type : <i>Fruste</i>	
Légende :	
Différent :	
REVERS	PHOTO
Type : <i>Fruste</i>	
Légende :	
Exergue :	

Pays	Gauloise ?	Autorité	
Espèce		Datation monnaie	
Atelier		Graveur/Maître	
État de conservation	TM	Titre	
Diamètre	15 mm	Épaisseur	
Couche	Fo 200 S 38	N° d'iso	SAC 1421



BIBLIOGRAPHIE / REMARQUES	PHOTO RÉFÉRENCE

Traitement	SDAVO+ JBG EDTA+MÉCA	Étude	J.-B. Guillaume
------------	-------------------------	-------	-----------------


FICHE D'IDENTIFICATION NUMISMATIQUE

SRA ILE-DE-FRANCE SDAVO	SITE: RD 370.08 Plaine de France (diag) N°1 Date: 14/07/08
----------------------------	--

OBJET		MATÉRIAU	
Monnaie	X Médaille	AU	CU
Méreau	Sceaux	AG	ALL CU
Jeton	Cachet	AE	LT
Dénéral	Bouton	BILLON	PB
		CIRE	X POTIN

DROIT	
Type: [Anépigraphe. Tête stylisée à gauche, la chevelure ? retenue dans un filet.]	
Légende: Différent:	
REVERS	
Type: Anépigraphe. Sanglier enseigne à gauche, entre les pattes, petite tête humaine dont on aperçoit les traits.	
Légende: Différent:	

Pays		Autorité	PARISII BELLOVACI ou MELDI
Espèce	Potin à la tête humaine	Datation monnaie	180-80 BC
Atelier		Graveur/Maître	
État de conservation	M	Titre	
Diamètre	17 mm	Épaisseur	
Couche	Fo 13 S C (= Fo 200)	N° d'iso	

BIBLIOGRAPHIE / REMARQUES	PHOTO RÉFÉRENCE
Henri de la Tour planche XXXVII	

Traitement	EDTA + MÉCA	Auteur	J.-B. Guillaume
------------	-------------	--------	-----------------

Annexe 9

Le mobilier métallique

Par

Aurélien Lefeuvre
(SDAVO)

Introduction

La création d'un nouvel axe routier entre les communes de Villiers-le-Bel et Gonesse (Val-d'Oise – 95) a engendré une prescription de diagnostic en 2008¹ puis de fouille en 2009. Ces deux opérations

ont révélé un petit groupe de tombes de La Tène moyennesitué à faible distance d'un établissement fossoyé de La Tène moyenne et finale. Cette étude s'applique uniquement à l'étude des vestiges métalliques recueillis lors des travaux concernant l'établissement agricole localisé sur la commune de Villiers-le-Bel. Seuls les éléments attribués aux périodes protohistoriques seront pris en compte à l'exclusion des scories et monnaies qui font l'objet d'études spécialisées dans ce volume (cf. annexes 6 et 8).

I – Le corpus

Le mobilier métallique issu du diagnostic et de la fouille préventive est constitué de **181** restes représentant une masse de **2 079** grammes.

La majeure partie de l'échantillon provient des niveaux de comblement du fossé d'enclos avec 155 restes (85,6 % du total) pour un poids de 1 184 grammes (61,8 % du total). Ce lot est extrêmement fragmenté, la masse moyenne des restes étant de seulement 7,6 grammes. De plus, l'état de corrosion est très important. La médiocre conservation des objets a nécessité une campagne de radiographie et de nettoyage/stabilisation en préalable à la détermination².

Les échantillons proviennent également de deux silos nommés 501 et 504, tous deux datés de La Tène moyenne.

L'étude du mobilier est présentée selon des rubriques fonctionnelles inspirées de celles utilisées par M. Feugère dans la collection *Lattara* et des méthodes préconisées par J.-P. Guillaumet³. Le principe primordial étant de coupler l'identification factuelle des objets avec une caractérisation de leur domaine fonctionnel. L'ensemble mobilier sera d'abord abordé par

1 Pariat, Garmond 2008.

2 Travaux réalisés au laboratoire du SDAVO par F. Dussère.

3 Guillaumet 2003.

structure puis des regroupements fonctionnels seront opérés afin de tenter de déterminer les activités pratiquées sur le site.

I.1 – Le silo 501

Le silo 501 a livré 14 objets ou fragments en fer. La liste est composée de 12 éléments indéterminés et de deux objets.

On note la présence d'une petite hache à douille d'une longueur totale de 90 mm. Le tranchant, légèrement convexe est large de 33 mm et mesure 40 mm jusqu'au raccordement avec la douille. Cet outil probablement emmanché perpendiculairement à la poignée connaît des emplois variés dans les activités d'une ferme de l'époque gauloise. En l'absence du manche, il n'est pas possible de définir si cet objet était utilisé comme herminette ou en tant qu'outil de coupe pour le petit entretien des végétaux (ébranchage, écorçage, débitage voire dégrossissement de pièces d'architecture).

Cette même structure contenait une barre de fer massive. L'objet se présente comme un parallélépipède de 221 mm de long et 25 mm de large pour une hauteur de 16 mm. La masse et de 338 grammes. Nous proposons d'interpréter cet élément comme un demi-produit de la métallurgie du fer⁴. Cette découverte isolée ne saurait présupposer d'une activité métallurgique permanente et de grande ampleur dans cet établissement.

Le domaine indéterminé comprend, outre un fragment de tige de section quadrangulaire et une masse informe, un ensemble de 10 fragments de tôle de fer. Ces restes de dimensions très variables peuvent atteindre plusieurs dizaines de millimètres de longueur pour une largeur moyenne de 40 mm. L'épaisseur est de 3 à 4 mm. Sur plusieurs fragments des indices de découpe sont visibles.

I.2 – Le silo 504

Cette structure a livré un lot plus modeste que la précédente du point de vue pondéral et qualitatif. On dénombre un clou de menuiserie à tête plate

4 Berranger 2007.

rectangulaire et 5 fragments de tige de section quadrangulaire probablement issu de la clouterie. 6 restes de plaque de tôle très fragmentaires complètent l'échantillon pour un poids total de 30 grammes.

I.3 – Le fossé 200

Cette structure a, sans surprise, pourvu la large majorité du mobilier métallique. Dans un souci d'exhaustivité les éléments recueillis lors du diagnostic ont été ajoutés à ceux découverts lors de l'opération de fouille préventive.

Le domaine domestique est très faiblement présent. On remarque cependant la présence de 4 fragments de tiges de section circulaire (7 mm de diamètre). Ils correspondent à deux individus fragmentaires. L'état de ces objets rend leur interprétation difficile. Nous proposons néanmoins de les identifier comme des barres de gril (fig. 1).

Le domaine de la production est également présent à travers un petit lot d'outillage. Un petit élément conique (Longueur : 53 mm) à emmanchement à douille présente un trou de fixation lacunaire. La forme et les dimensions de cet objet permettent une interprétation probable en tant que soc pour les petits travaux de la terre (tracer un sillon avant la plantation, griffage léger ...), voire de plantoir (fig. 2). Une deuxième douille de dimension légèrement supérieure pourrait avoir eu une fonction équivalente, malheureusement le bris de l'objet au niveau de la partie active ne permet pas d'être affirmatif.

Un anneau méplat de section rectangulaire et un fragment d'anneau de section circulaire appartiennent à l'outillage général sans fonction précise.



Fig. 1 : Villiers-le-Bel, fossé 200, barre de gril (Cliché : J.-G. Pariat).

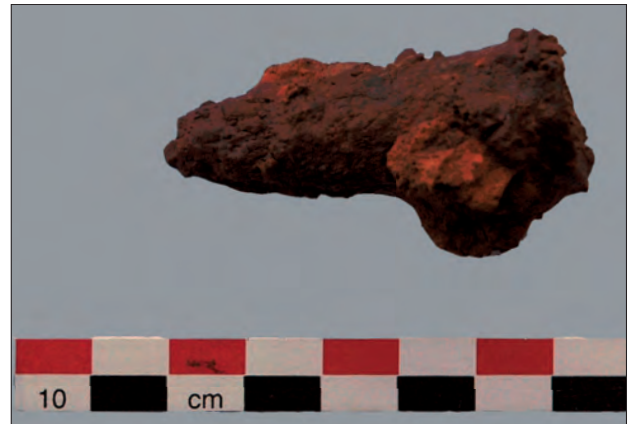


Fig. 2 : Villiers-le-Bel, fossé 200, soc ou plantoir (Cliché : J.-G. Pariat).

Enfin une serpette de petite dimension se rapporte aux petits travaux agricoles (entretien des plantations, débroussaillage...). La lame au profil triangulaire présente une largeur de 36 mm à la base et de 20 à 25 mm avant la pointe. L'état fragmentaire de l'objet ne permet pas de définir la longueur d'arc avec précision. Celle-ci peut cependant être estimée à plus ou moins 200 mm. Le raccord avec le manche disparu s'effectue par une douille ouverte de 80 mm de long maintenue par un clou discernable sur cliché Rx.

La quincaillerie est peu représentée. On comptabilise 5 clous de dimensions variées se rapportant à l'assemblage de menuiserie. Le seul artefact particulièrement remarquable dans cette catégorie est un clou de ferrure dit «en clé de violon» de type 2.

Les fragments indéterminés découverts dans le fossé 200 sont au nombre de 140, soit 90 % des restes. Cette très importante proportion s'explique en partie par un ramassage exhaustif et l'utilisation systématique du détecteur de métaux. Cependant, la fragmentation très poussée de cet ensemble se rapporte à des dépôts de nature

détritique également constatés à travers les analyses de la céramique et de la faune.

II – Analyse des données

II.1 – Répartition des domaines d'activité

Le mobilier métallique protohistorique issu de cette fouille permet de classer les vestiges en 4 domaines d'activité inégalement représentés.

Le domaine domestique est représenté par seulement 4 fragments, soit 2 % de l'échantillon correspondant à un NMI de deux individus. Nous parlerons donc plus d'indices que d'un ensemble permettant de définir le spectre des activités pratiquées dans cette ferme. Il s'agit de deux probables barres de grill à destination culinaire.

De même, le secteur de la production est faiblement représenté avec 7 restes (3,8 % du total). On dénombre une hache à douille, une serpe, et deux éléments aratoires à douille. Tous ces éléments renvoient à une exploitation agricole de petite envergure. Ils évoquent plus des tâches d'entretien courant (taille, petite plantation...) qu'une mise en culture généralisée. Il s'agit d'objets couramment retrouvés sur ce type d'établissement qui renvoie à l'outillage minimum, et en grande partie polyvalent de la vie rurale.

La quincaillerie est rare avec 8 restes (4,2 % du total) attribués à la clouterie de menuiserie, et pour un seul cas au transport par un clou de ferrure. La très faible proportion de clouterie à l'échelle du site, même en position secondaire (dépotoir), atteste d'une architecture par assemblage bois sur bois.

Enfin, les éléments indéterminés, souvent de très petite taille, sont au nombre de 163 (90 % du total). La fragmentation très poussée est typique des contextes détritiques, cependant l'absence d'éléments de grande taille ou pondéreux indique une récupération systématique des métaux.

Au sein de cette catégorie, le nombre de fragments

de plaques de tôle en fer plaide pour une industrie de transformation (fig. 3). Plusieurs marques de découpe ont été repérées. Malheureusement, la nature de la production nous est inconnue. De surcroît, l'analyse de répartition des restes dans l'enceinte de la ferme et son fossé (fig. 4) ne présente pas d'indice franc de concentration. Il n'est donc pas possible de localiser un éventuel atelier de production ou de transformation par un regroupement des déchets. Il est possible que ces plaques soient les résidus d'objets devenus inutilisables, jetés sans distinction avec les déchets d'autres sortes. Il convient ici de déplorer l'absence de fouille du quart sud-est de l'enclos qui nous prive d'une vision globale du site.



Fig. 3 : Villiers-le-Bel, fossé 200, fragments de plaque de tôle en fer (Cliché : J.-G. Pariat).

II.2 – Répartition des vestiges dans le fossé 200 (fig. 5)

L'analyse de la distribution par masse des éléments métalliques permet une approche spatiale des rejets dans le fossé 200. On distingue clairement quatre zones bien délimitées correspondant aux aires de rejets identifiées par les études de la céramique et de la faune.

La zone nord présente la concentration la plus importante sur une distance d'une cinquantaine de mètres. Les zones ouest, est et sud totalisent des masses plus modestes mais également très limitées dans l'espace.

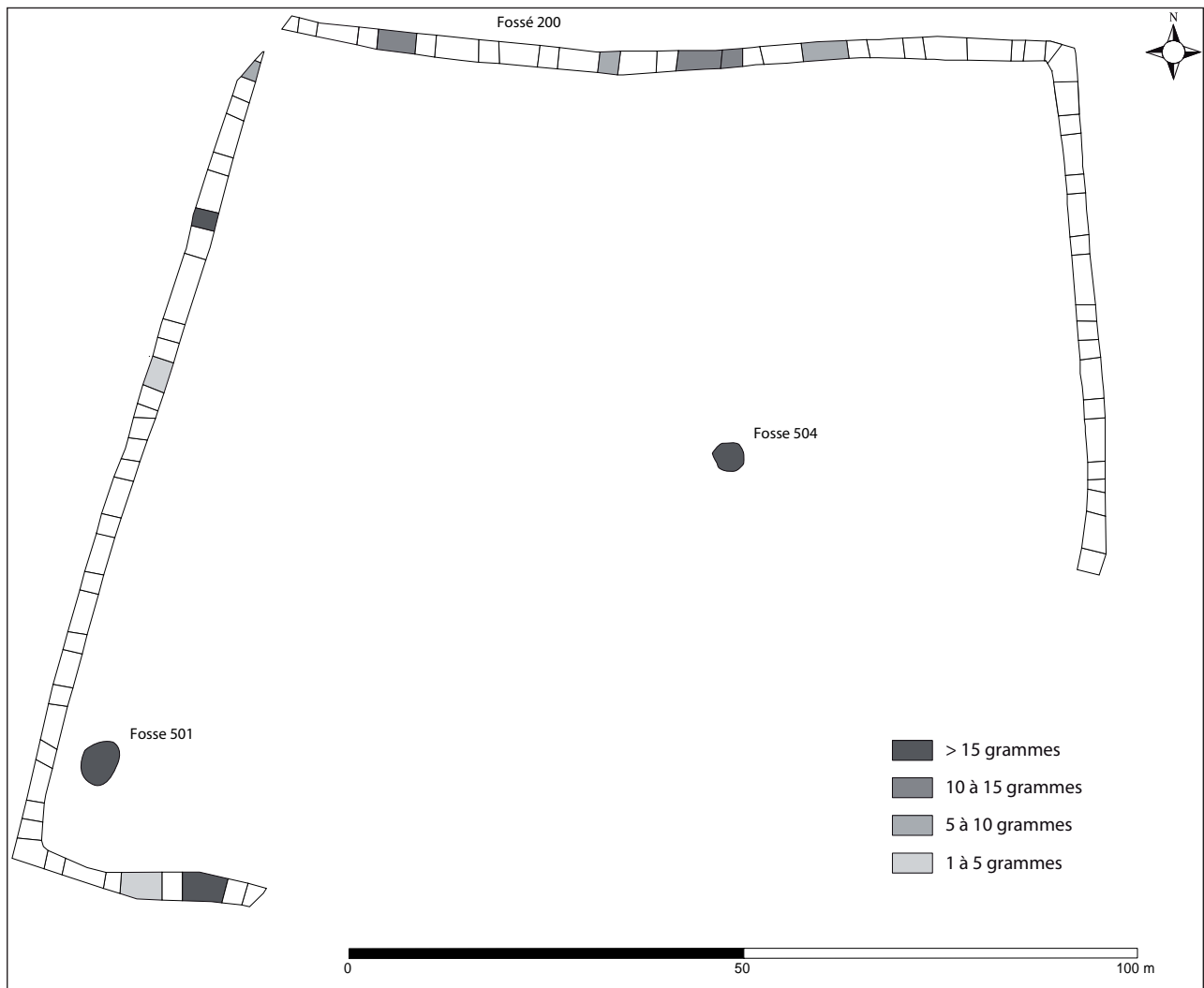


Fig. 4 : Villiers-le-Bel, enclos, plan de répartition des masses métalliques (DAO : A. Lefeuve).

La vision globale est celle de rejets détritiques non organisés, classiques dans ce type d'établissement.

III – Synthèse

Le site laténien de Villiers-le-Bel a livré un corpus métallique relativement modeste. Cette caractéristique est couramment relevée lors de l'étude des fermes gauloises de La Tène moyenne. L'importante fragmentation et la faible masse de l'ensemble indiquent respectivement une origine déritique et une récupération poussée des métaux.

Le spectre des activités révélés par l'étude est peu étendu. On notera la présence d'activités domestiques à travers des fragments de barres de gril. La production agricole transparaît par la présence d'un petit lot d'outillage comprenant une hache, une serpette, un instrument aratoire

et deux anneaux. Cet assemblage indique une activité d'entretien courant des cultures et/ou du paysage agricole. Enfin, les éléments à la fonction indéterminée, souvent de très petite taille, recèlent un lot de plaques de tôles (présentant parfois des traces de découpe) qui pourrait indiquer soit un artisanat métallurgique, soit le rejet d'objets inutilisables dont la fonction nous est inconnue.

Le niveau de richesse de la population occupant cette ferme est difficilement abordable par l'angle des restes métalliques. On se contentera de mettre l'accent sur la faiblesse de l'échantillon, l'absence d'objets de parure (fibules notamment) et *a fortiori* de prestige, pour rejeter un niveau de vie aisé.

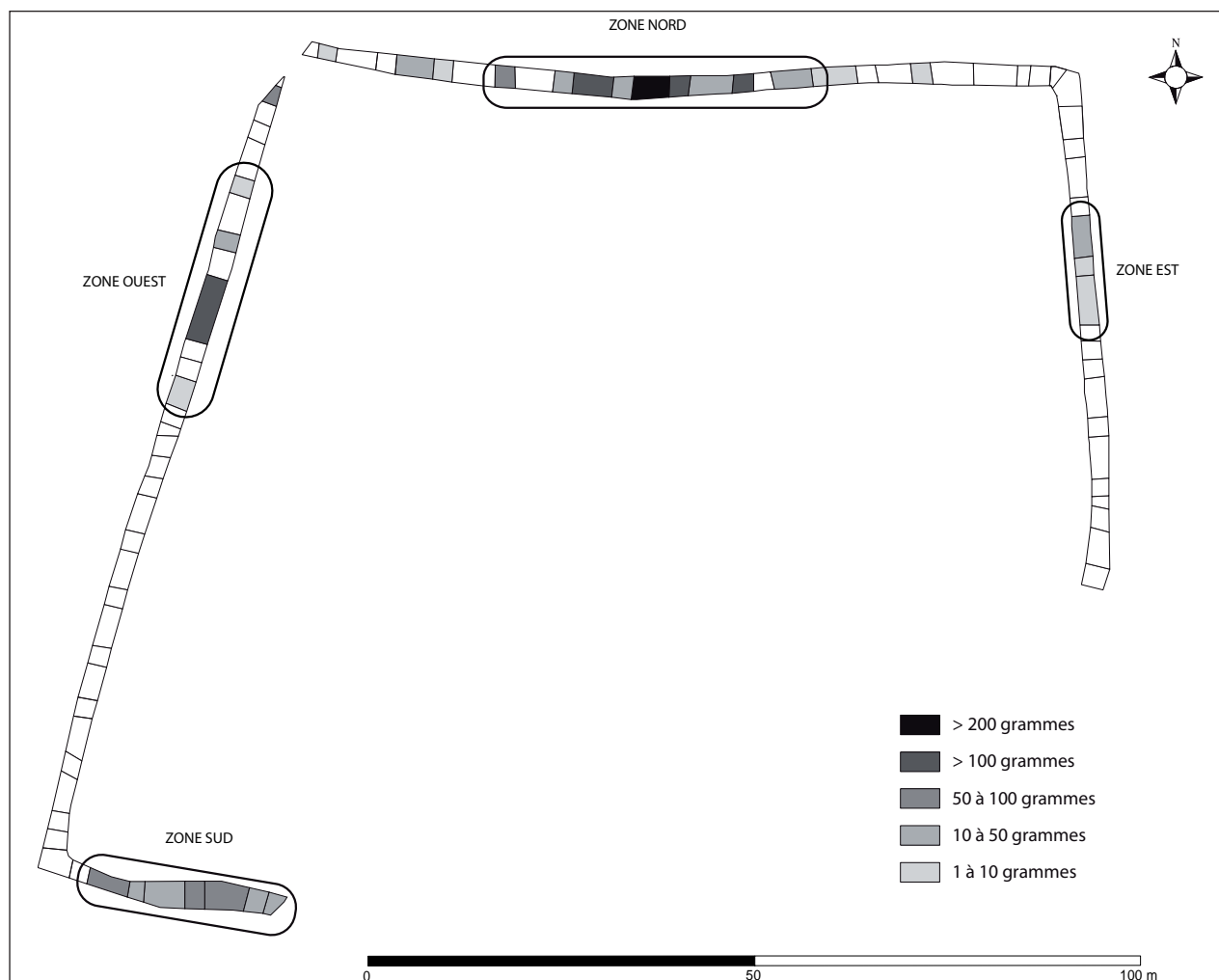


Fig. 5 : Villiers-le-Bel, fossé 200, plan de répartition des masses métalliques (DAO : A. Lefeuvre).

Bibliographie

Berranger 2007 : BERRANGER (M.) – Les demi-produits de fer au I^{er} millénaire a.C. En Europe continentale: potentialité d'études. In MILCEN (P.-Y.) (dir.) – L'économie du fer protohistorique: de la production à la consommation du métal: xxviii^e colloque de l'AFEAF, Toulouse, 20–23 mai 2004. Aquitania, suppl. 14/2, p. 133–143

Guillaumet, Nillesse 2000 : GUILLAUMET (J.-P.), NILLESSE (O.), 2000 – Les petits objets de quelques fermes gauloises: approche méthodologique. In: MARION (S.), BLANCQUAERT (G.) (éd.) – Les installations agricoles de l'âge du fer en France septentrionale. Éd. Rue d'Ulm, Presses de l'ENS

Guillaumet 2003 : GUILLAUMET (J.-P.), 2003 – Paléomanufacture métallique. Méthode d'étude. Coll. Vestigia, éd. Gollion

Leconte 2007 : LECONTE (L.), 2007 – Étude du mobilier métallique du site de Mareuil-le-Meaux

«La Grange du Mont». in: BET (Ph.) (dir.), 2008 – Mareuil-les-Meaux (77) «La Grange du Mont». Rapport Final d'Opération, Saint-Denis: SRA Ile-de-France; Pantin: INRAP.

Leconte 2009 : LECONTE (L.), 2009 – Étude du mobilier métallique. In: DAMOUR (V.), SENG (CH.), 2009 – Roissy-en-France «Zac du Moulin – La Vignolle». Rapport Final d'Opération, Saint-Denis: SRA Ile-de-France; Pantin: INRAP, p. 290–309.

Lefeuvre 2008 : LEFEUVRE (A.) – Le Mesnil-Aubry (Val-d'Oise). Rapport de diagnostic archéologique du 10/03/2008 au 31/03/2008. Saint-Denis: SRA Ile-de-France; Saint-Ouen-l'Aumône: SDAVO, 2008.

Pariat, Garmond 2008 : PARIAT (J.-G.), GARMOND (N.) – Villiers-le-Bel/Gonesse. Déviation de la RD 10/RD 370. Rapport de diagnostic archéologique du 02/06/2008 au 21/06/2008. Saint-Denis: SRA Ile-de-France; Saint-Ouen-l'Aumône: SDAVO, 2008.

Annexe 10

Étude des phytolithes

Par

Aline Emery-Barbier
CNRS, UMR 7041 –
Équipe Ethnologie préhistorique

À Villiers-le-Bel, l'extraction des phytolithes a été réalisée sur cinq échantillons de torchis et les résultats de lecture des lames sont communiqués dans le tableau (tab. 1).

Les phytolithes identifiés appartiennent essentiellement à l'ensemble des Monocotylédones, plantes qui constituent l'un des deux grands groupes parmi les Phanérogames-Angiospermes (l'autre regroupement étant les Dicotylédones) et plus particulièrement à la famille des Poaceae (poacées ou graminées).

Chez les poacées, les phytolithes de l'appareil végétatif se distinguent des phytolithes des inflorescences et parmi ces derniers les spodogrammes issus des enveloppes (glumes et glumelles) des caryopses des poacées peuvent permettre une détermination de ces dernières au genre et parfois à l'espèce.

I – L'échantillon du silo F 501

Un bloc de torchis d'un poids total de 1 229 g a été prélevé à 1 m de profondeur, dans le comblement du silo.

L'échantillon a réagi longuement au contact de l'acide chlorhydrique et contient donc une quantité importante de calcaire.

Les éléments de l'appareil végétatif des poacées y sont les plus représentés. Les morphotypes trapézoïformes polylobés (21 %) proviennent des feuilles des poacées de type céréales mais également d'autres poacées telles que le brome (*Bromus*) ou l'ivraie (*Lolium*).

19 % de cellules dendritiques attestent la présence d'inflorescences. L'étude expérimentale des phytolithes contenus dans la balle des céréales montre un taux élevé de cellules dendritiques (90 %), probablement a-t-elle été ajoutée comme dégraissant.

VILLIERS le BEL 2009	F 501	Fo 200 S3	Fo 200 S L	F 200 S14	Fo 200 SM
	100-120 cm	passé 3	20-40 cm	40-60 cm	60-80 cm
POACEAE appareil végétatif					
rectangulaires	37,60 %	**	50,70 %	34 %	70 %
trapézoïformes polylobés	21 %		6,40 %	3,20 %	2,80 %
côniques			1 %	5,80 %	3,20 %
trichomes	6,40 %	*	12,80 %	10,30 %	16 %
cellules à pointes courtes			0,20 %	1,00 %	
POACEAE inflorescences					
cellules dendriformes	19,20 %		15,35 %	20,40 %	8,50 %
spodogrammes indéterminés			1 %	4,20 %	
spodogrammes <i>Triticum</i> sp				0,10 %	
spodogrammes <i>Hordeum</i> sp				0,30 %	
phytolithes altérés	1,80 %		6 %		
bois / écorce	0,90 %		1,00 %		
fibres végétales	10 %	**	4,60 %	9,70 %	
TOTAL phytolithes	109	48	280	304	280
Diatomées				*	
fibres animales (poils)	***			**	
micro-charbons			***		

Tab. 1 : Lecture des lames.

De nombreuses fibres végétales accompagnent les phytolithes de poacées.

II – L'échantillon du sondage 3 du fossé d'enclos

Un fragment de torchis de 214 g a été prélevé sur la bordure sud du fossé, au niveau du sondage 3, à une profondeur comprise entre 20 et 40 cm sous la surface du décapage, dans une couche où les vestiges céramiques abondent. Ce bloc est considéré comme stérile avec une faible concentration de phytolithes, essentiellement des cellules rectangulaires, des trichomes, et des fibres végétales.

III – L'échantillon du sondage L du fossé d'enclos

Le sondage L occupe la bordure ouest de l'enclos. Un fragment de torchis d'un poids de 279 g a été prélevé entre 20 et 40 cm de profondeur dans une couche où les vestiges de ce genre sont très nombreux.

L'analyse révèle des phytolithes de poacées et des fibres mélangées à de nombreux micro-charbons. Ce sédiment est particulièrement riche en graviers.

IV – L'échantillon du sondage 14 du fosse d'enclos

Le sondage 14 a été pratiqué sur la bordure ouest de l'enclos. L'échantillon, d'un poids de 97 g, provient d'une passe de fouille manuelle réalisée entre 40 et 60 cm de profondeur dans une couche dense en vestiges.

La forte réaction de ce sédiment avec l'eau oxygénée traduit sa teneur importante en matière organique.

Dans ce sédiment les phytolithes issus des inflorescences sont bien représentés, et le blé (*Triticum* sp) et l'orge (*Hordeum* sp) déterminables. Toutefois, les spodogrammes sont en nombre insuffisant pour que l'on puisse tenter une détermination à l'espèce.

De nombreuses fibres végétales sont présentes et comme dans l'échantillon F 501, des fibres d'origine animale – parfois colorées – sont identifiées.

Des algues microscopiques ont été apportées avec l'eau utilisée pour plastifier la terre.

V – L'échantillon du sondage M du fossé d'enclos

L'échantillon issu du sondage M pratiqué sur la bordure ouest du fossé d'enclos, entre 60 et 80 cm de profondeur, était associé à d'autres fragments de torchis.

Plus riche en graviers, ce bloc de 880 g contenait presque uniquement des phytolithes d'appareil végétatif de poacées et des algues unicellulaires (Diatomées).

Conclusion

Les différents blocs de torchis découverts à Villiers-le-Bel apportent plusieurs types d'informations.

On retrouve dans ces sédiments les éléments constitutifs des torchis: un mélange de terre parfois calcaire ou cendreuse à l'état plastique et auquel sont ajoutés des dégraissants végétaux (poacées, résidus de traitement des céréales), des fibres animales et végétales ayant le rôle de renfort ainsi que des graviers. Quelques rares phytolithes de bois ou d'écorce peuvent provenir des clayonnages ou des fuseaux.

Par ailleurs, leur analyse approfondie offre l'image d'un lieu environné de cultures, mais également celle d'un fossé nettoyé peu fréquemment, une reprise de végétation étant possible.

Notice méthodologique

Traitement à l'acide chlorhydrique (HCl, 37 %) de 30 g de sédiments pour éliminer les particules carbonatées.

Traitement à l'eau oxygénée (H₂O₂, 30 % vol) pour éliminer les particules organiques résiduelles.

Tamisage des échantillons à 100 μ .

Décantation des échantillons (colonnes de 30 cm de haut, 1 000 ml) pour éliminer les particules d'argile très fines (< 5 microns).

Concentrations de phytolithes à la liqueur dense (liqueur de Thoulet ou Polytungstate de sodium ; $d = 2,35$).

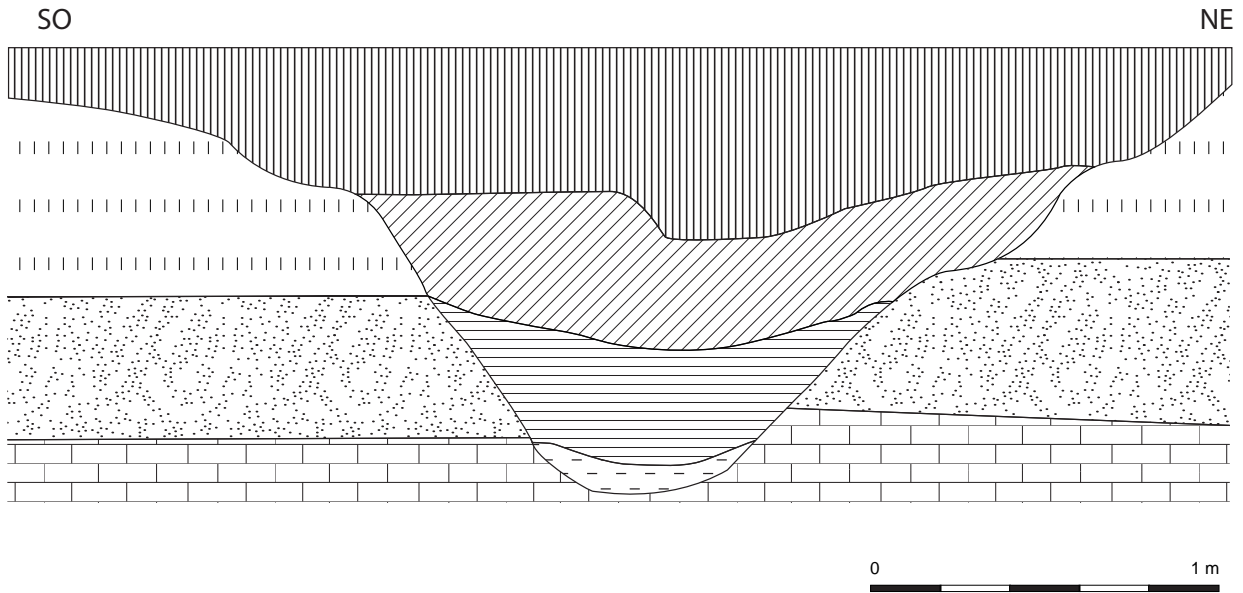
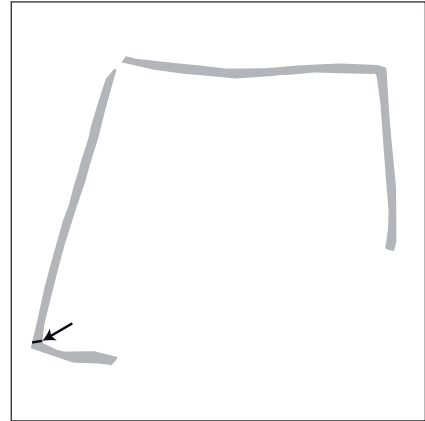
Montage des lames dans un milieu solide (gélatine glycéinée ou baume du Canada).



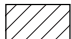
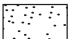
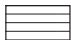

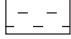
Observation au microscope à transmission en lumière polarisée / analysée à des grossissements de 200 à 600 fois.

Annexe 11

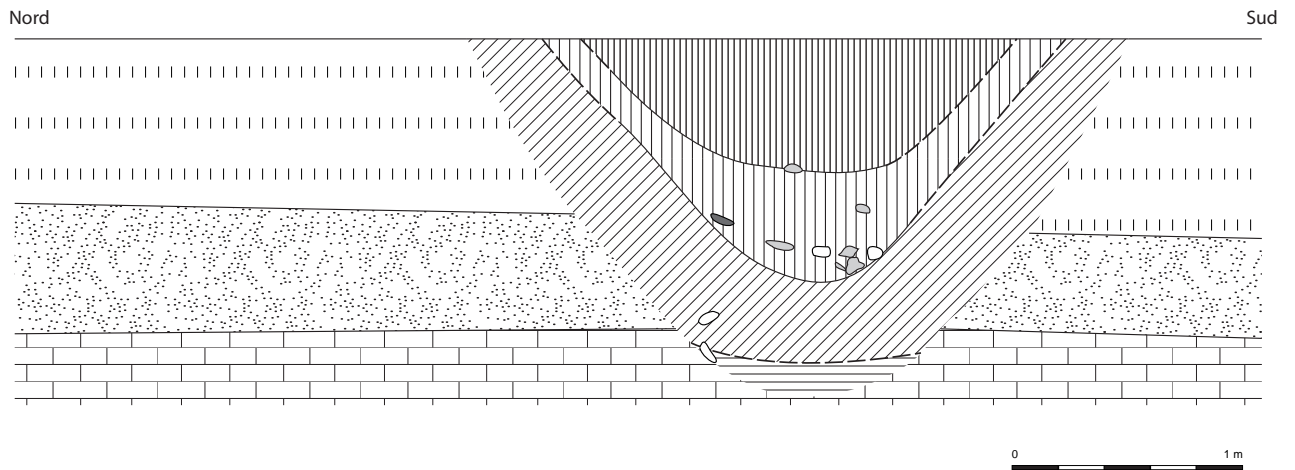
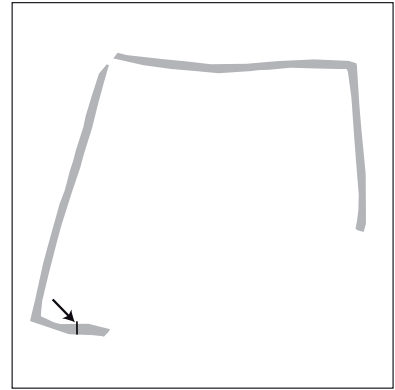
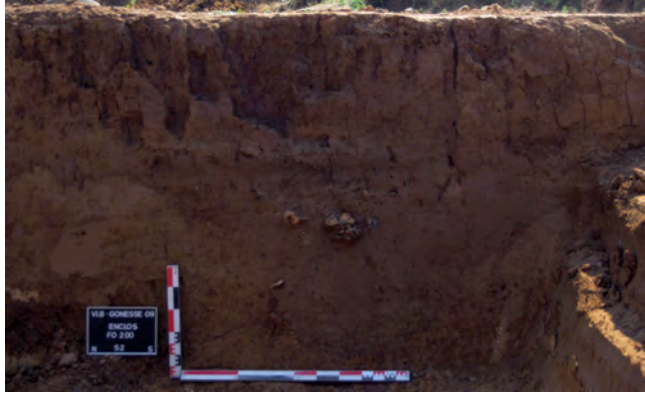
Catalogue des coupes réalisées sur le fossé de l'enclos gaulois

Dans cette section, les coupes stratigraphiques du fossé 200, non présentées dans le corps du texte, ont été rassemblées en un unique fichier documentaire.



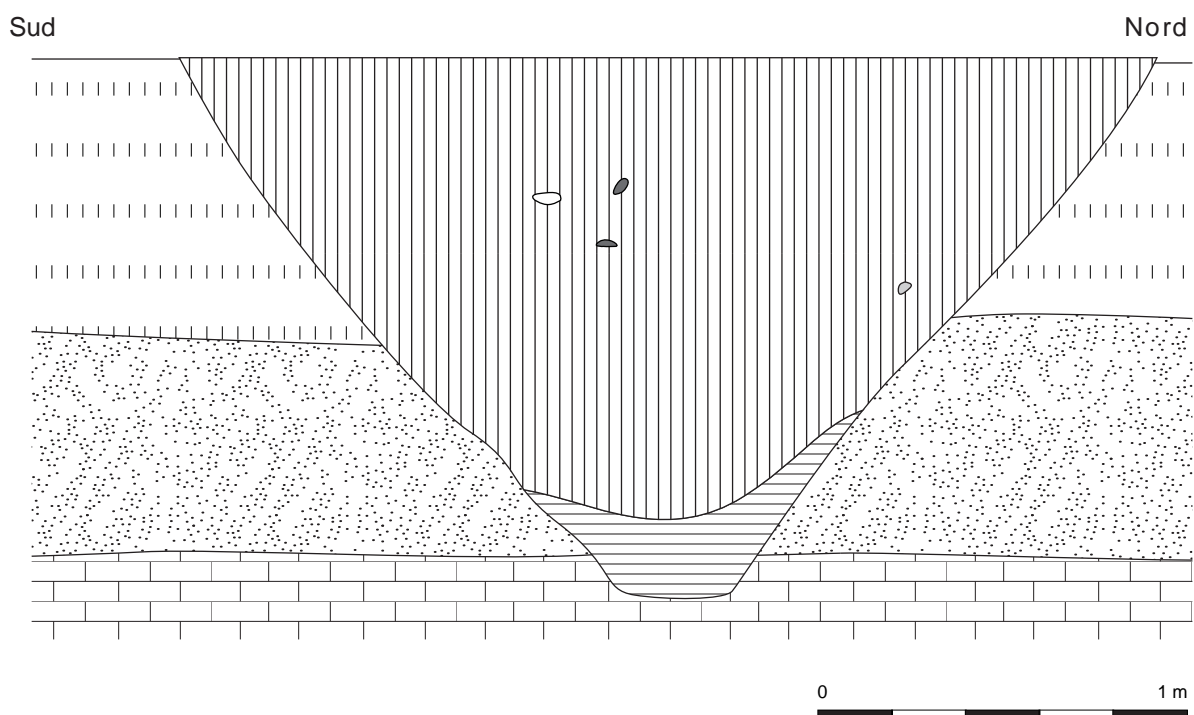
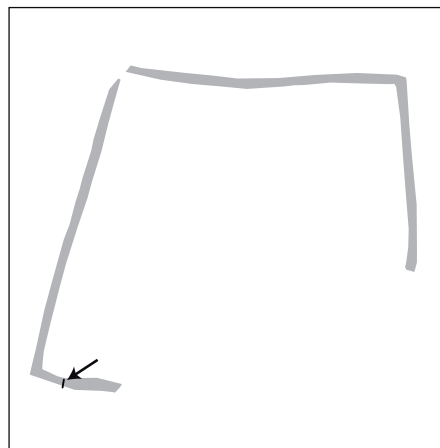
	Limons brun gris homogène, inclusions carbonneuses		Limons de plateau
	Limons jaunes avec inclusions de calcaire		Silts
	Limons brun jaune meuble		Calcaire
	Limons orangés avec inclusions de calcaire		






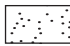

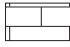
Pl. 1 : Fossé 200 , angle sud-ouest, coupe est.



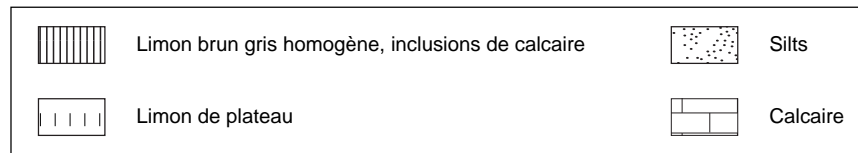
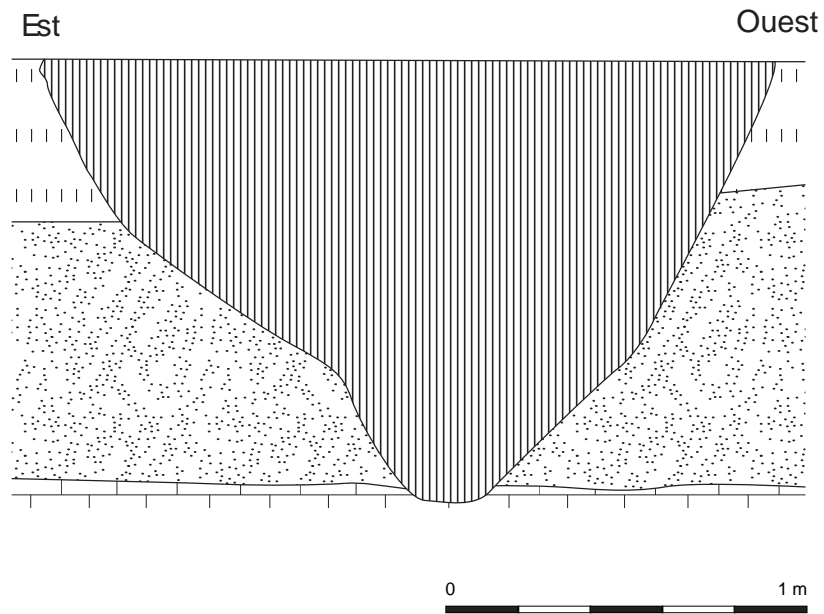
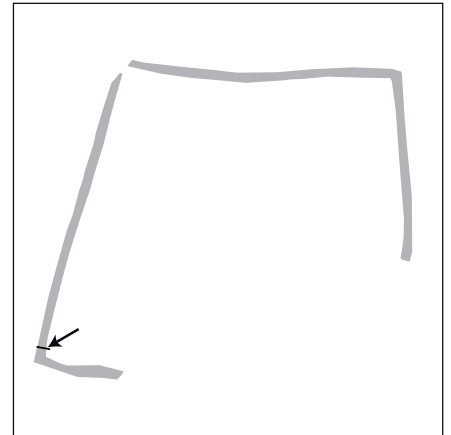
	Limon brun gris homogène, inclusions charbonneuses		Céramique
	Limon brun gris avec nodules de charbon en plus grande quantité et squelette de bovidé		Pierres
	Limon brun gris homogène sans charbon		Limon de plateau
	Limon brun gris avec quelques traces de silts		Silts
	Os		Calcaire

Pl. 2 : Fossé 200, sondage 2.

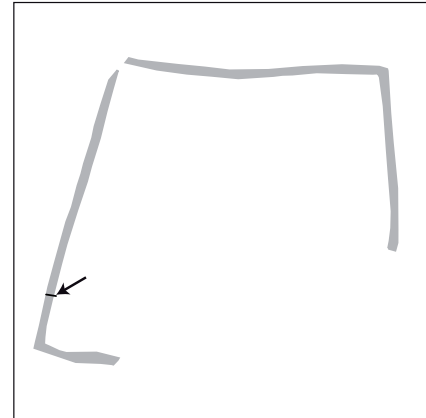
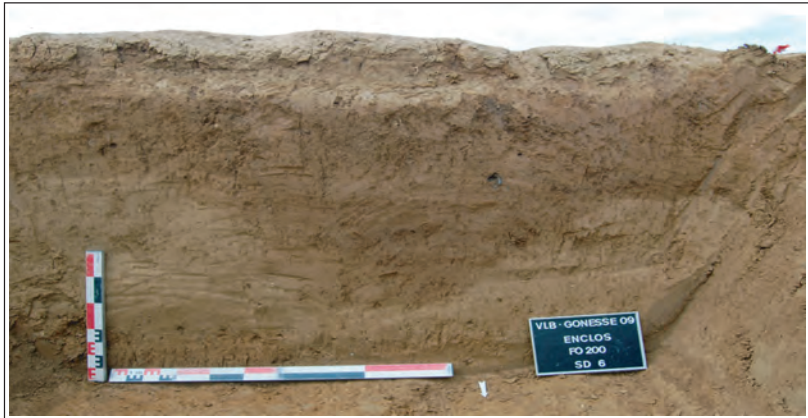


	Limon brun gris avec nodules de charbon en plus grande quantité et squelette de bovidé		Pierres
	Limon brun gris avec quelques traces de silts		Limon de plateau
	Os		Silts
	Céramique		Calcaire

PI. 3 : Fossé 200, sondage 3.

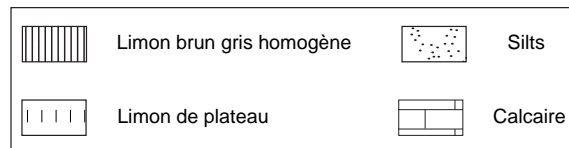
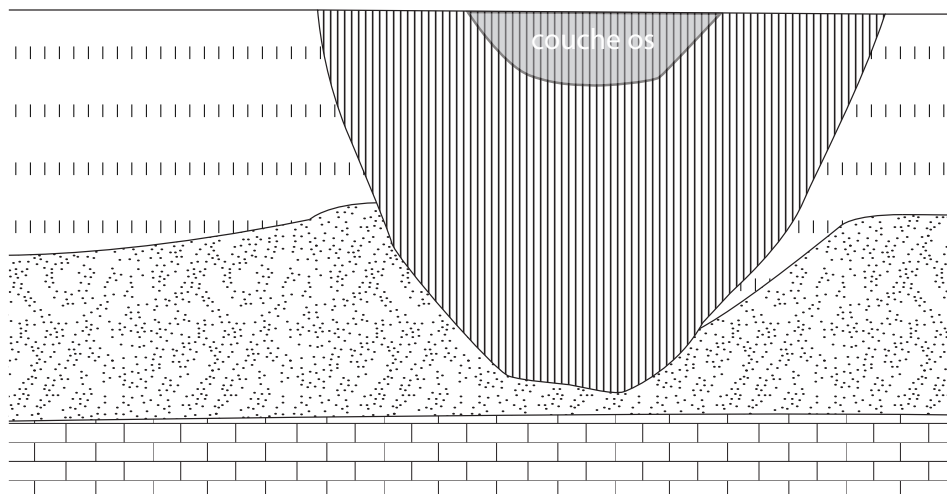


PI. 4 : Fossé 200, sondage 4.

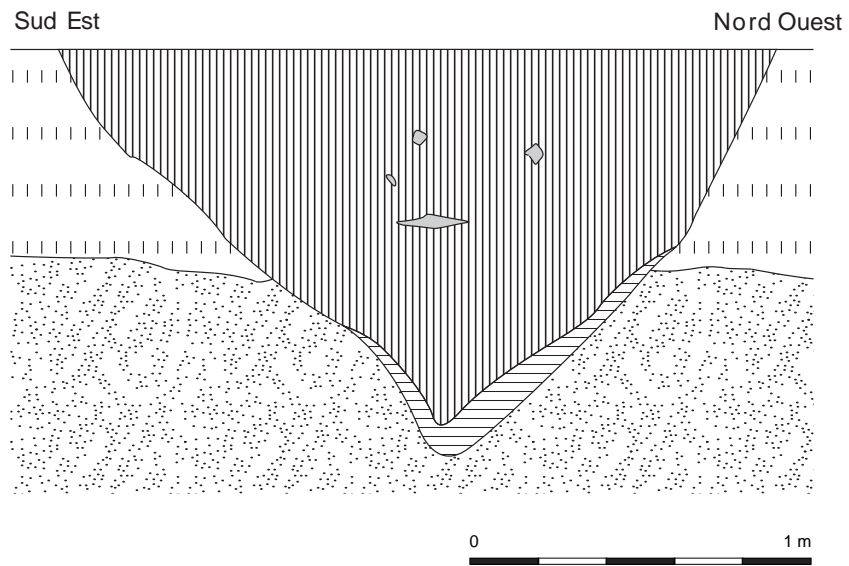
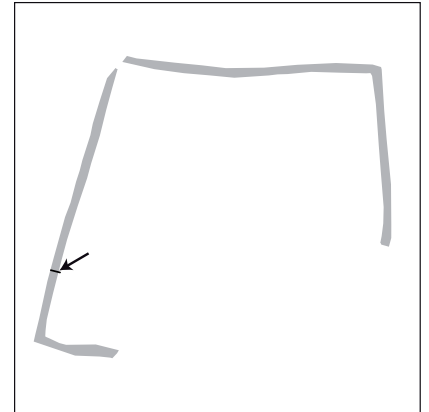
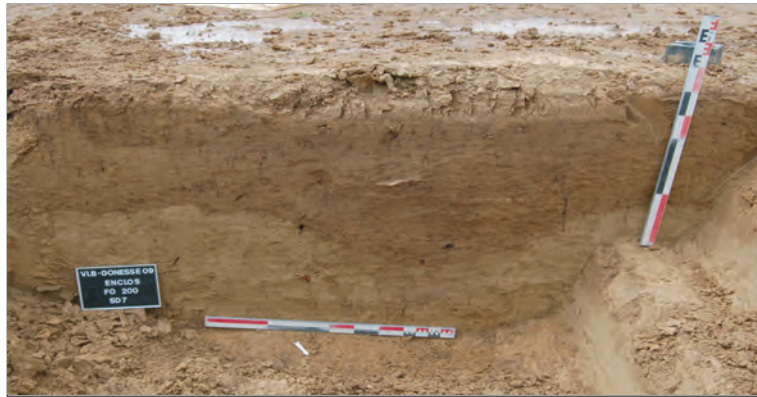



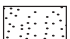
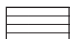

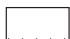
Nord Est

Sud Ouest

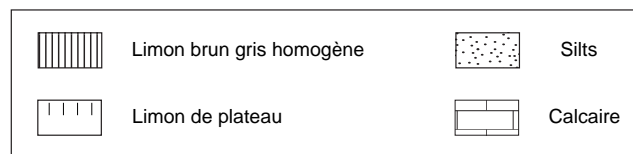
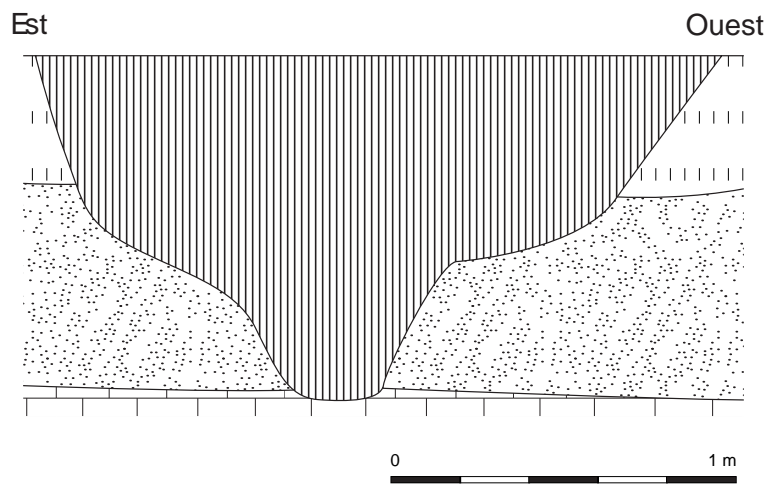
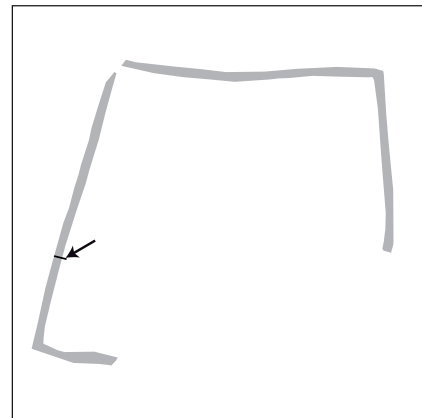


Pl. 5 : Fossé 200, sondage 6.

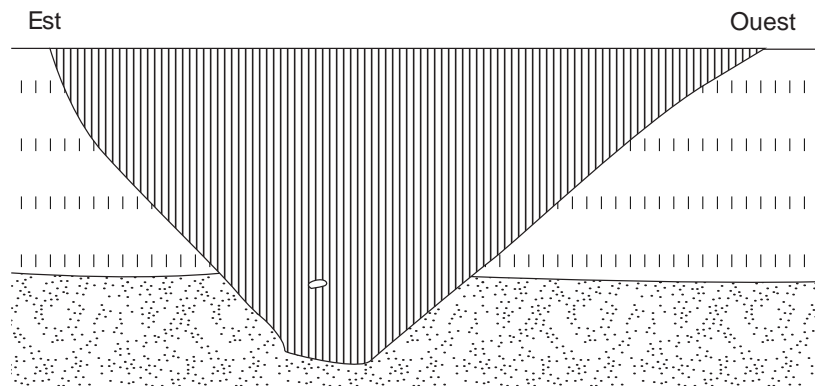
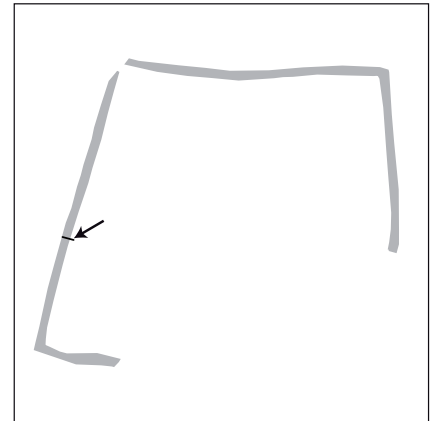


	Limon brun gris homogène, nombreux ossements		Silts
	Limon et silts (effondrement de paroi?)		Os
	Limon de plateau		


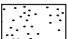


Pl. 6 : Fossé 200, sondage 7.



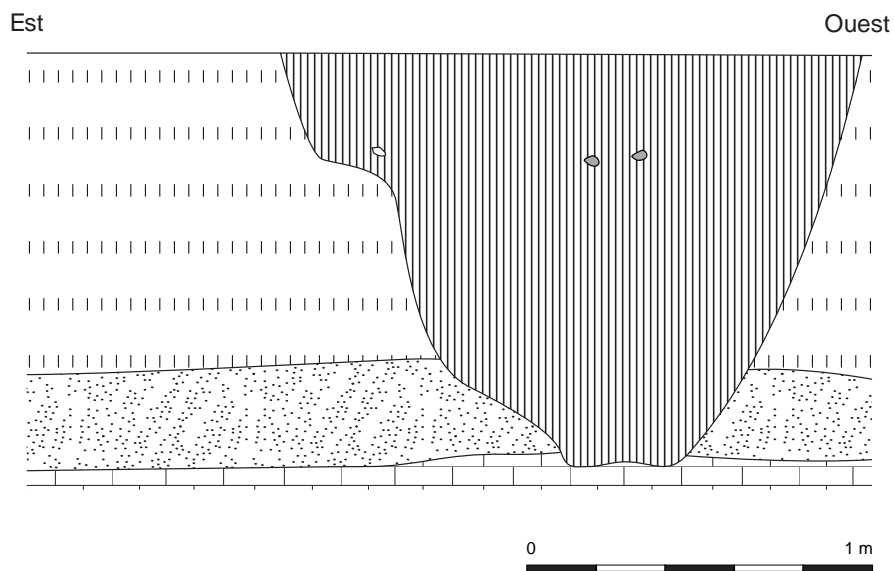
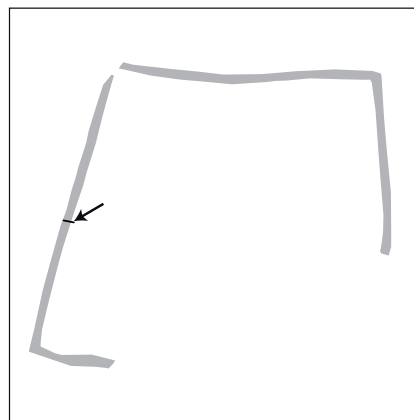
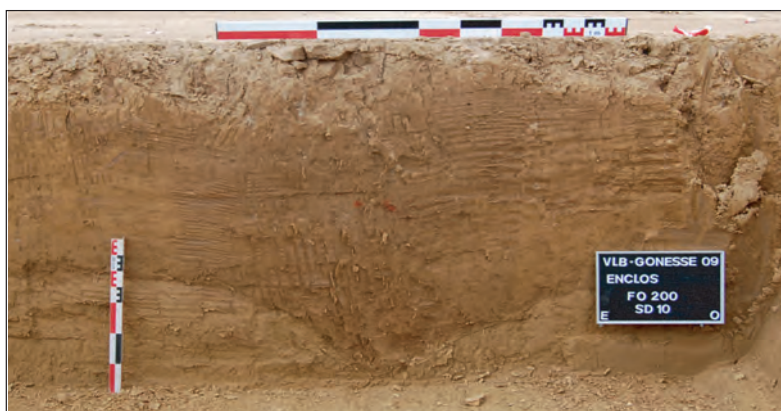
Pl. 7 : Fossé 200, sondage 8.






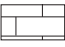


0 1 m

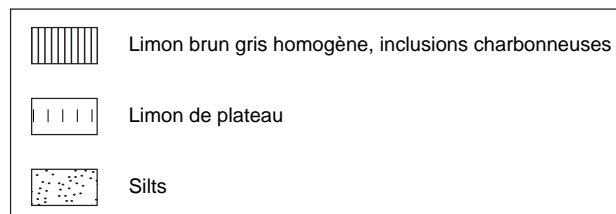
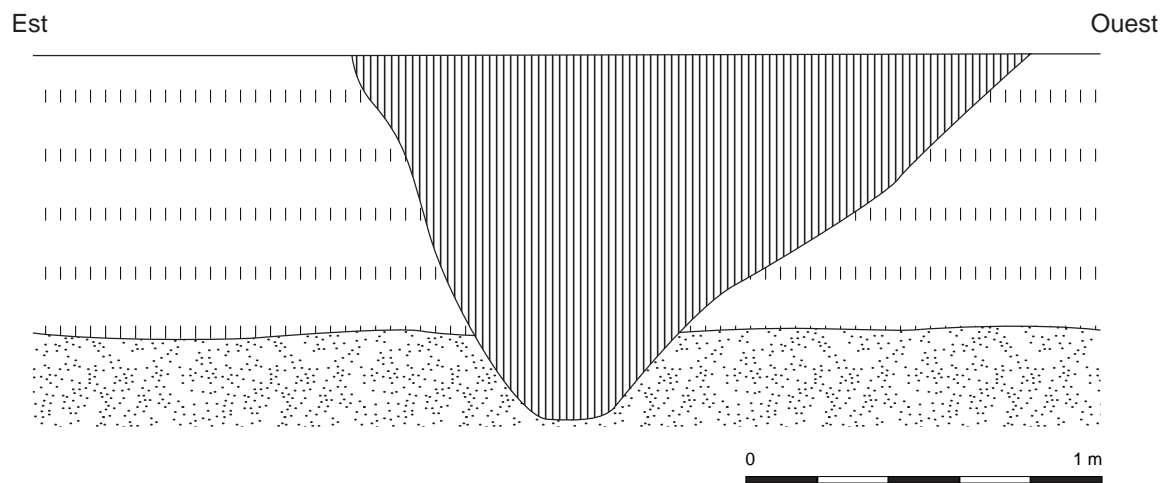
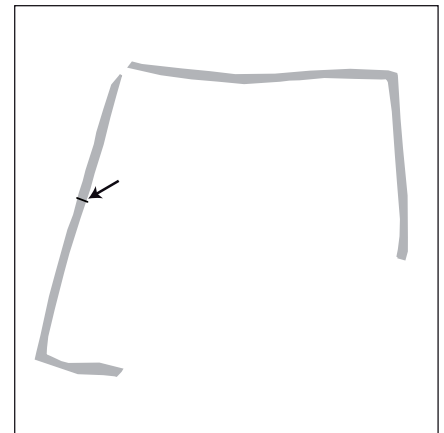
	Limons brun gris homogène		Silts
	Limons de plateau		Pierre

PI. 8 : Fossé 200, sondage 9.

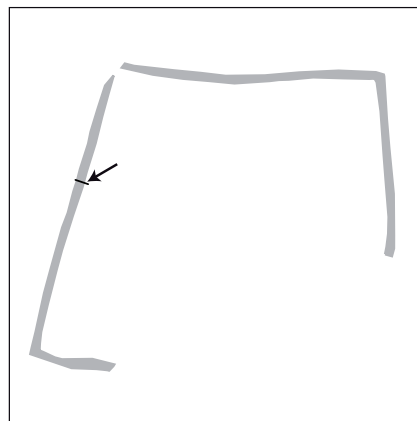
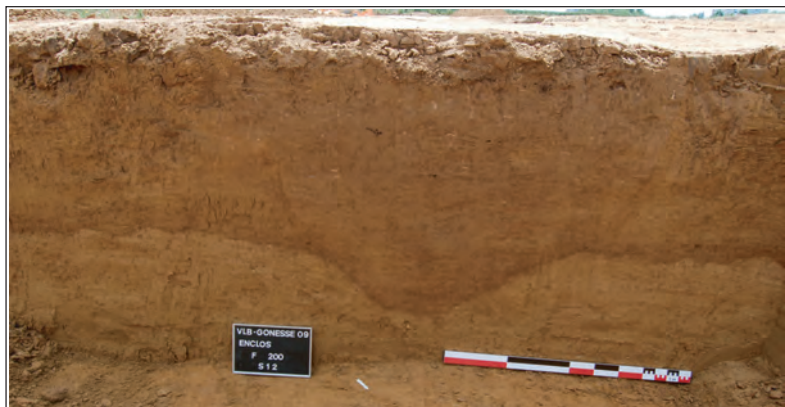


	Limon brun gris homogène		Limon de plateau
	Pierre		Silts
	Torchis		Calcaire

Pl. 9 : Fossé 200, sondage 10.

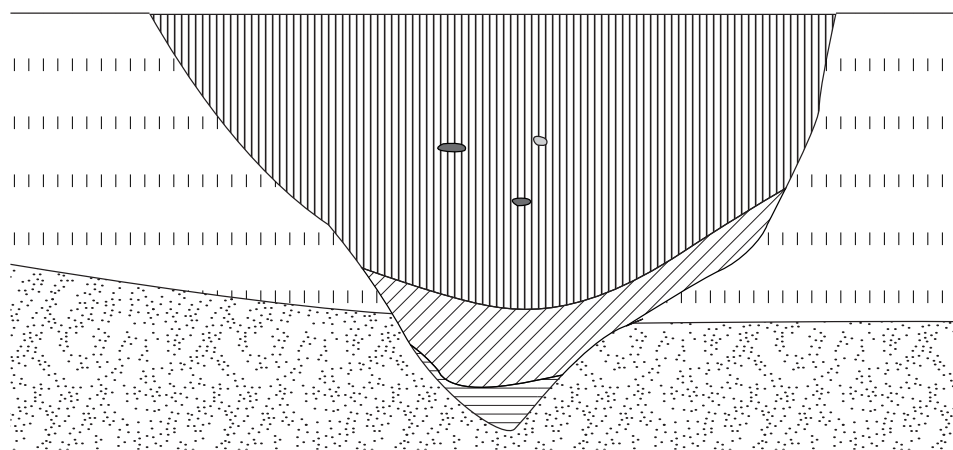


Pl. 10 : Fossé 200, sondage 11.



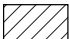


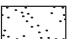



Sud Est

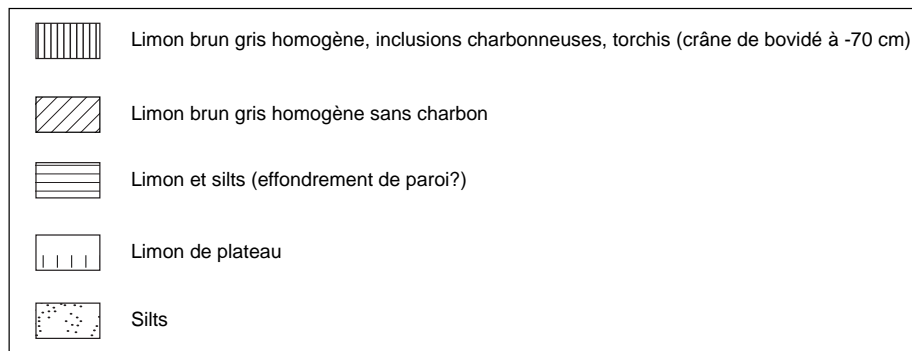
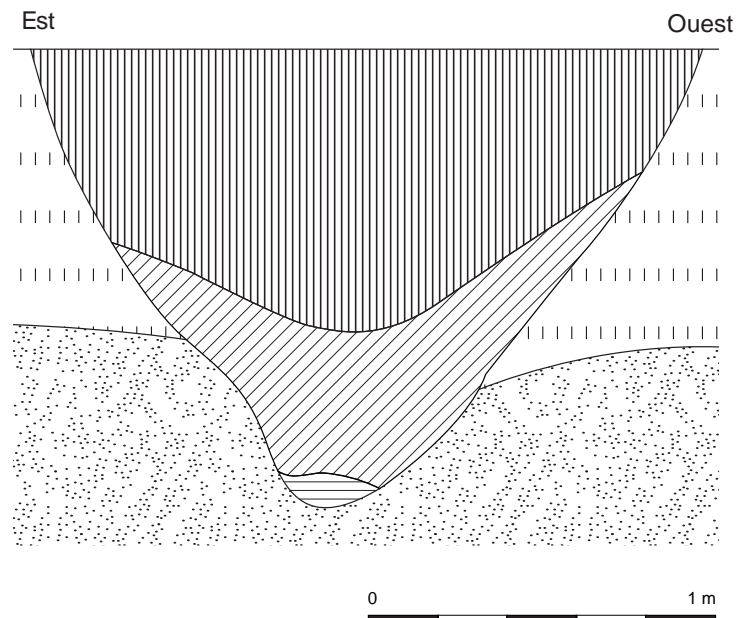
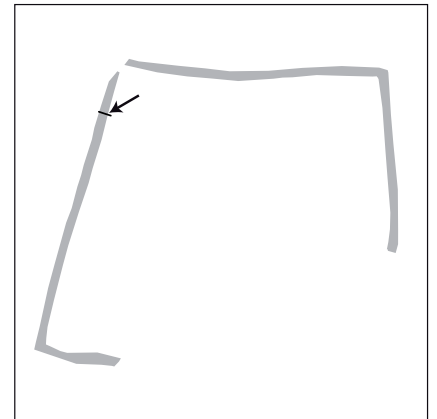
Nord Ouest



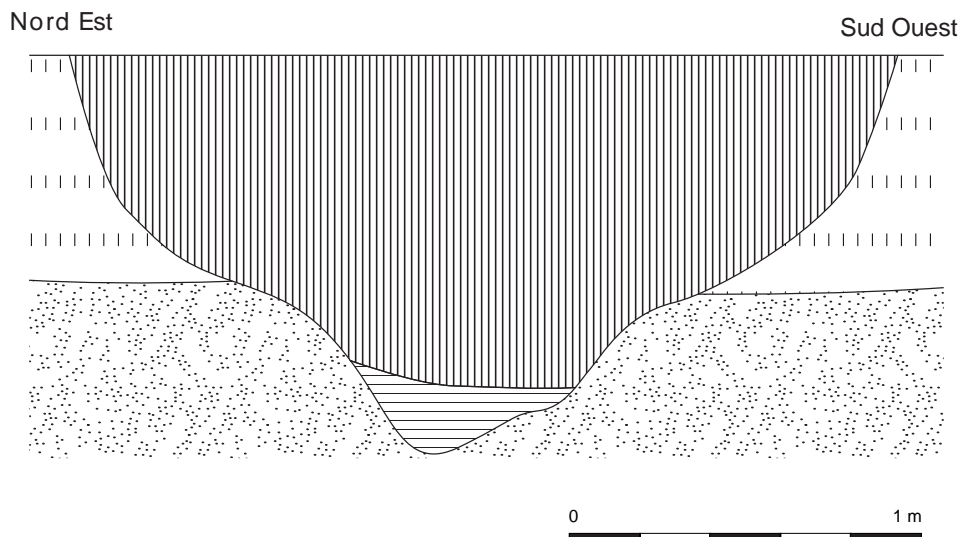
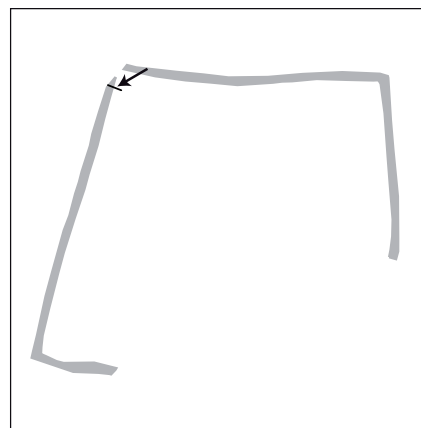
0 1 m

	Limon brun gris homogène avec mobilier (niveau d'ossupation)		Céramique
	Limon brun gris homogène sans mobilier		Limon de plateau
	Limon et silts (effondrement de paroi?)		Silts
	Pierre		

PI. 11 : Fossé 200, sondage 12.

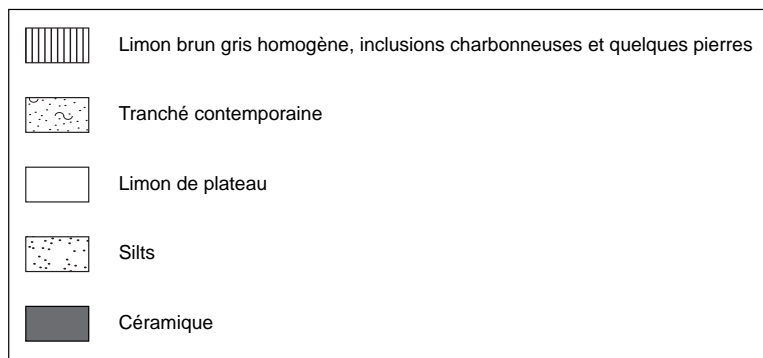
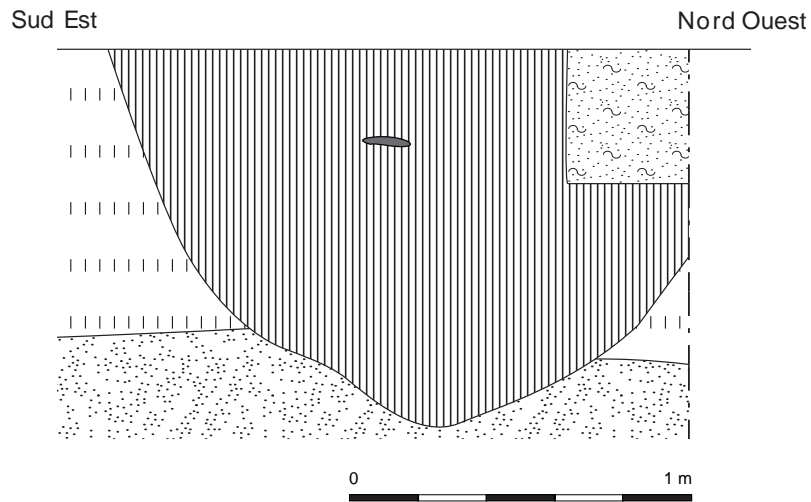
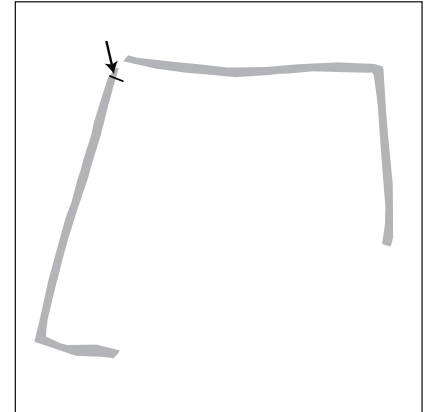
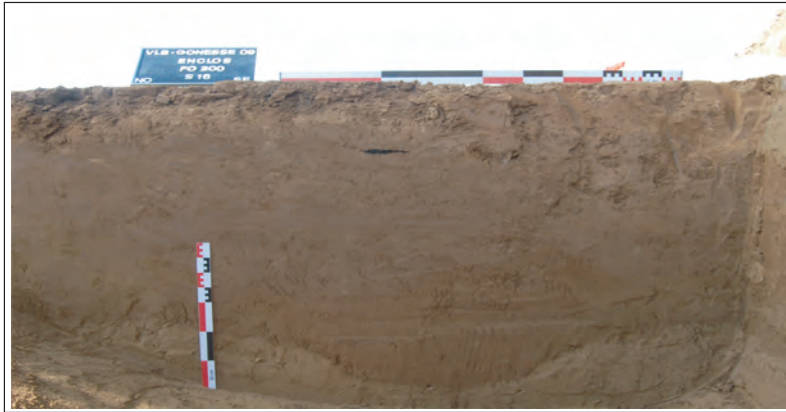


Pl. 12 : Fossé 200, sondage 14.

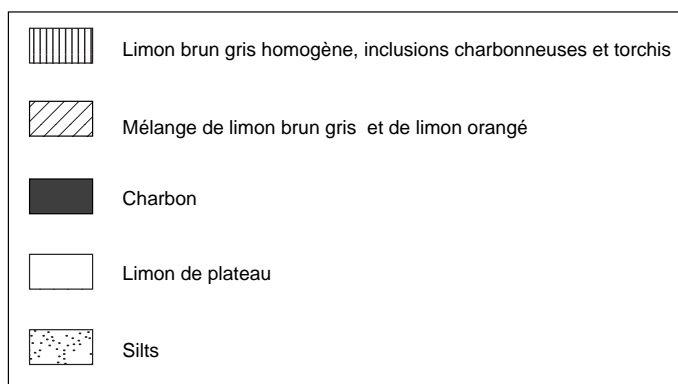
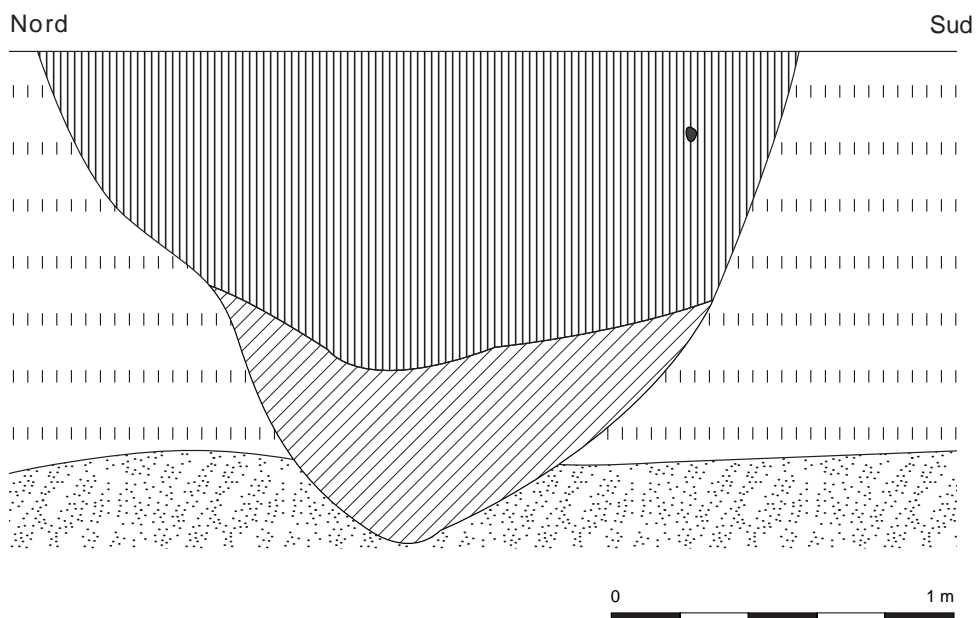
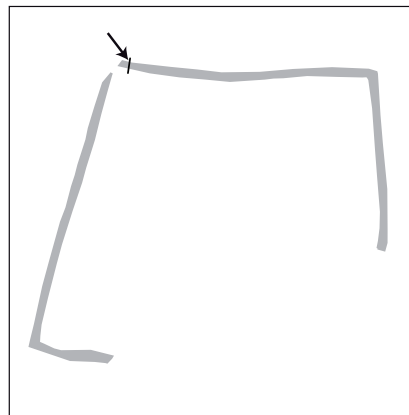
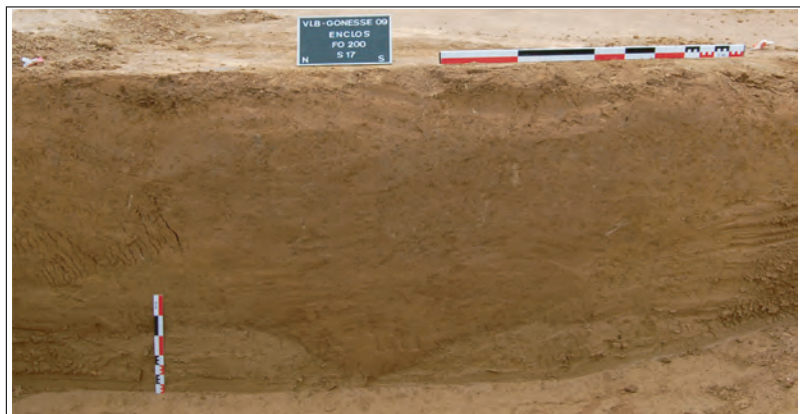


	Limon brun gris homogène, inclusions charbonneuses, torchis (2 niveaux de matériel de 0 à -20 cm et de -60 à -80 cm)
	Limon et silts (effondrement de paroi?)
	Limon de plateau
	Silts

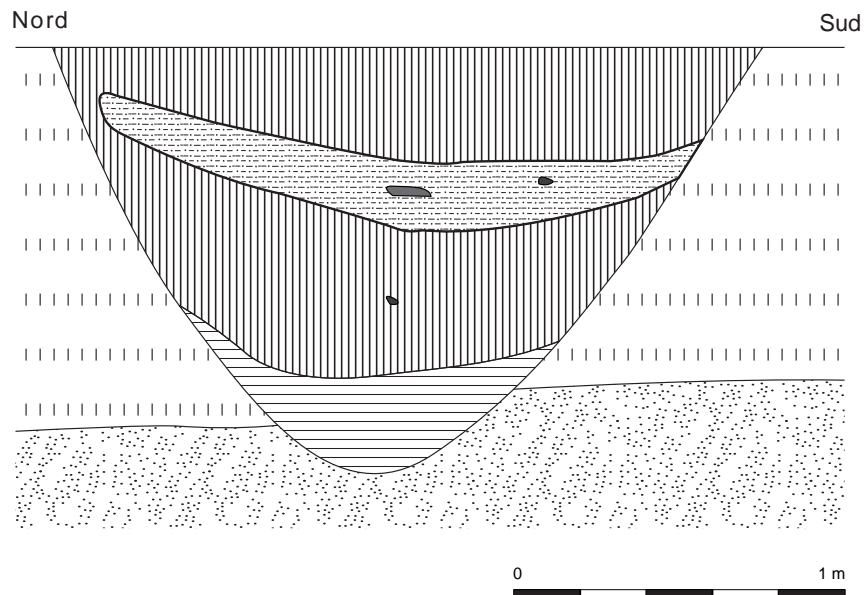
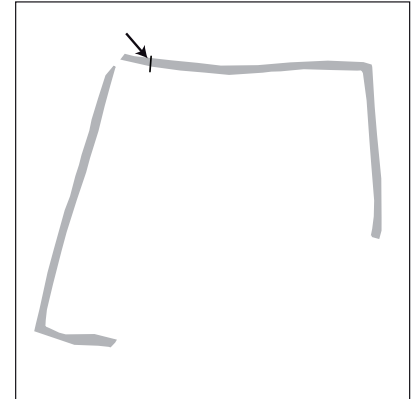
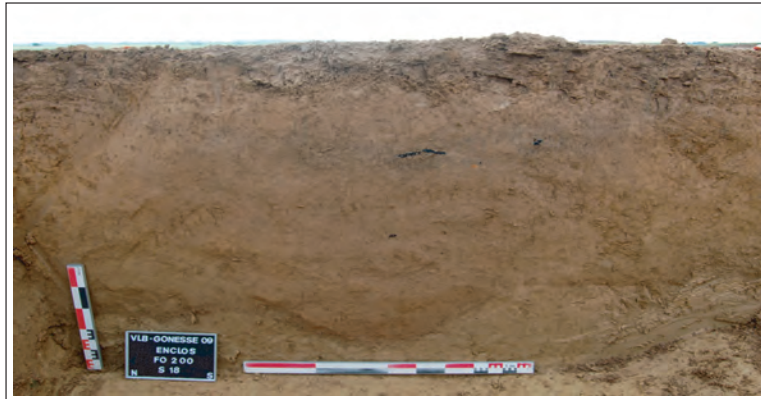
Pl. 13 : Fossé 200, sondage 15.




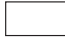
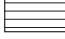




Pl. 14 : Fossé 200, sondage 16.

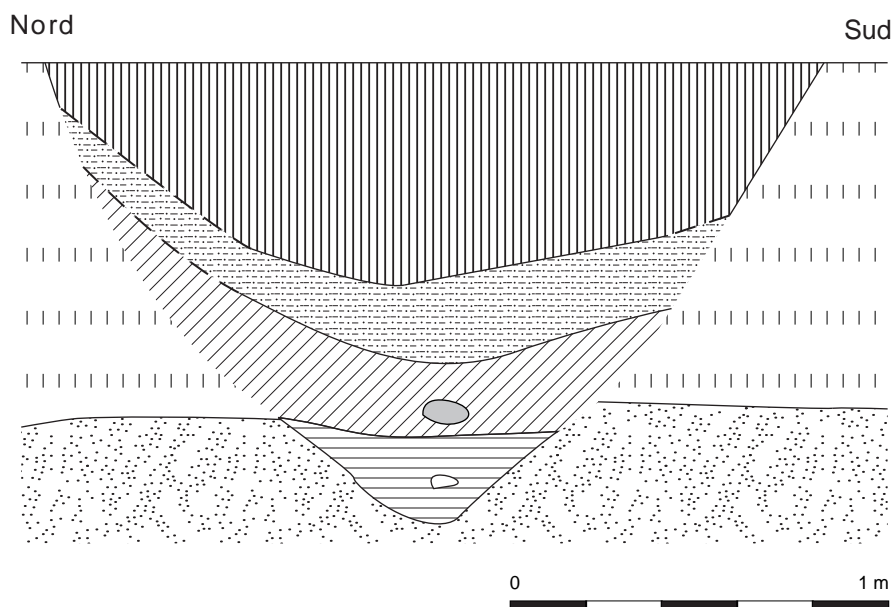
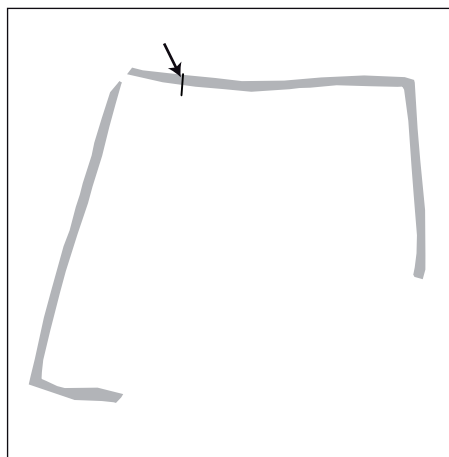


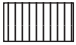
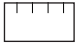

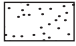
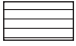



PI. 15 : Fossé 200, sondage 17.



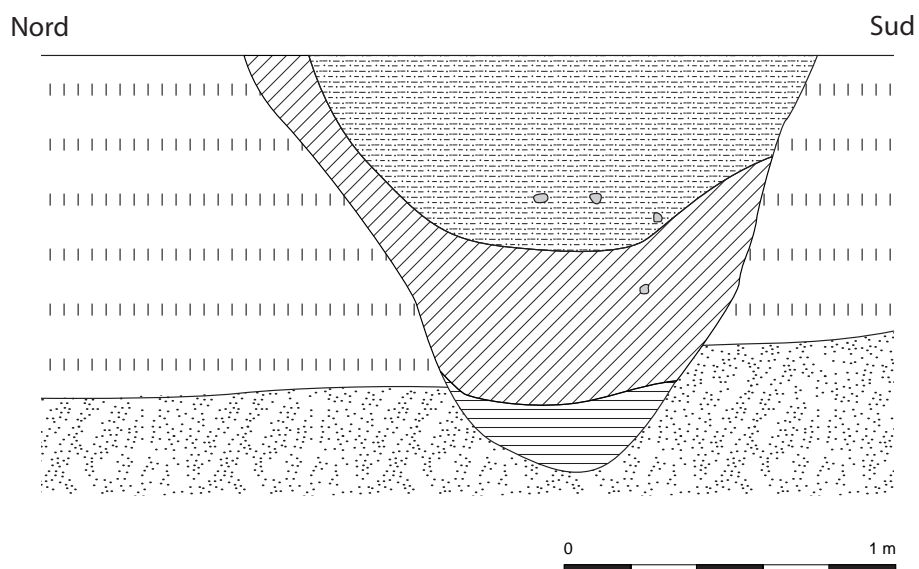
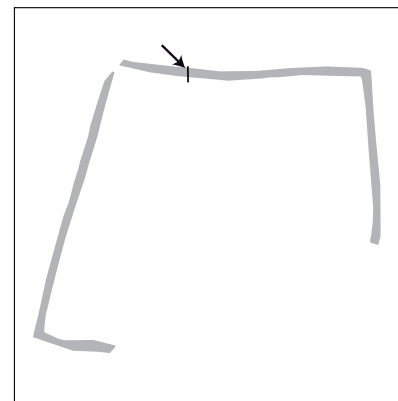
	Limon brun gris homogène, inclusions charbonneuses		Céramique
	Couche très charbonneuse avec céramiques et os brûlés (rejet de foyer?)		Limon de plateau
	Limon et silts (effondrement de paroi?)		Silts
	Charbon		





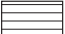

Pl. 16 : Fossé 200, sondage 18.



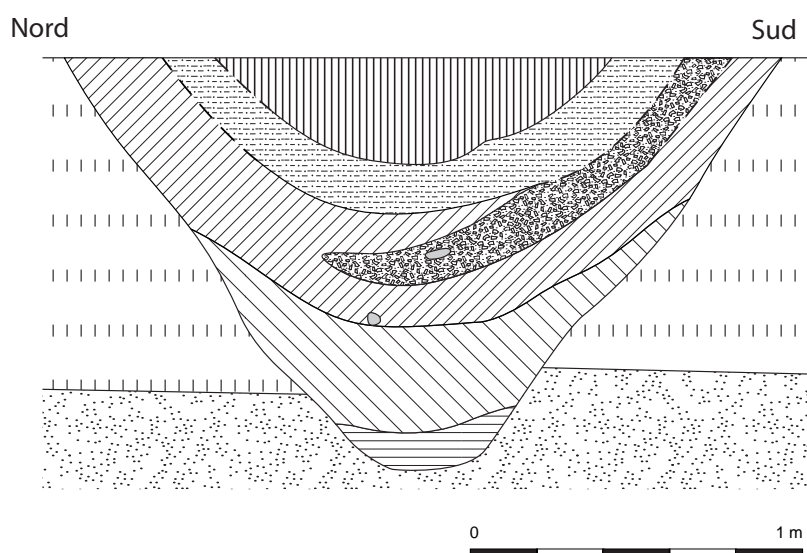
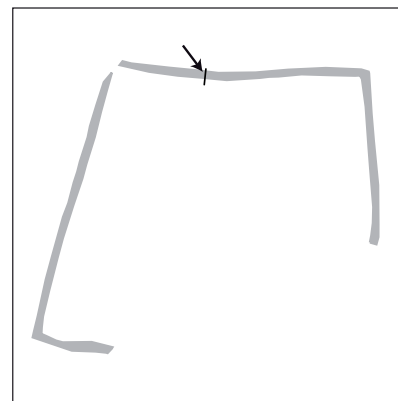
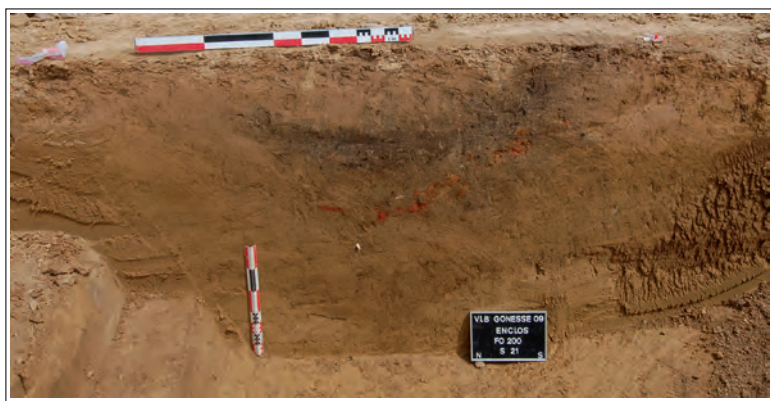
	Limon brun gris homogène, inclusions charbonneuses		Limon de plateau
	Limon brun gris homogène avec inclusions charbonneuses		Silts
	Limon et silts		Pierre
	Limon brun gris foncé très charbonneux		calcaire brûlé



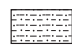



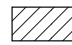

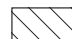
PI. 17 : Fossé 200, sondage 19.



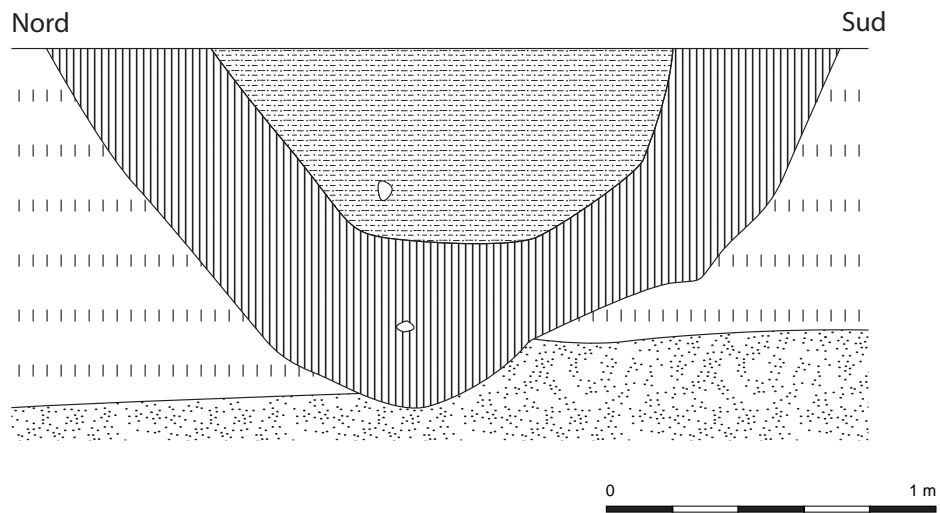
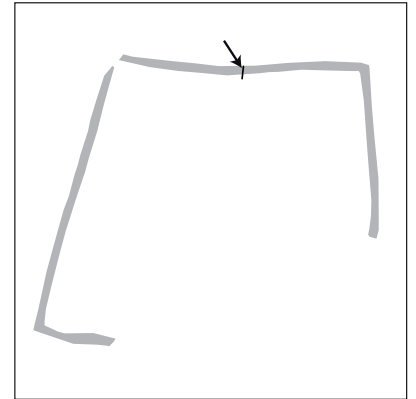
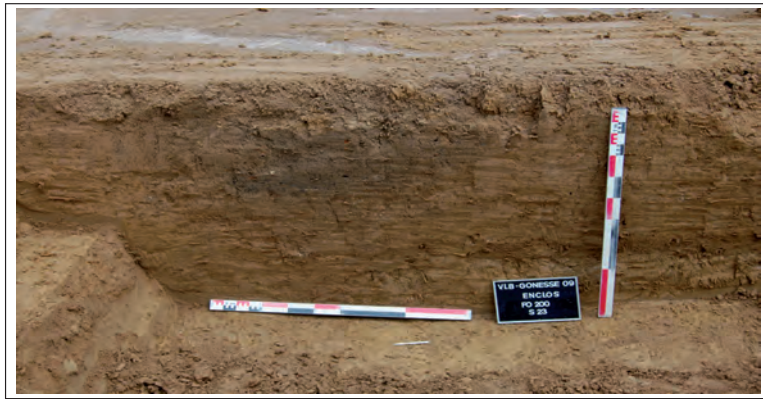
- | | | | |
|---|---|---|------------------|
|  | Limon noir très charbonneux avec de l'argile rubéfiée (incendie?) |  | Os |
|  | Limon brun gris rare charbon, peu de vestige |  | Limon de plateau |
|  | Limon et silts |  | Silts |

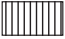
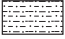
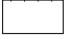


PI. 18 : Fossé 200, sondage 20.



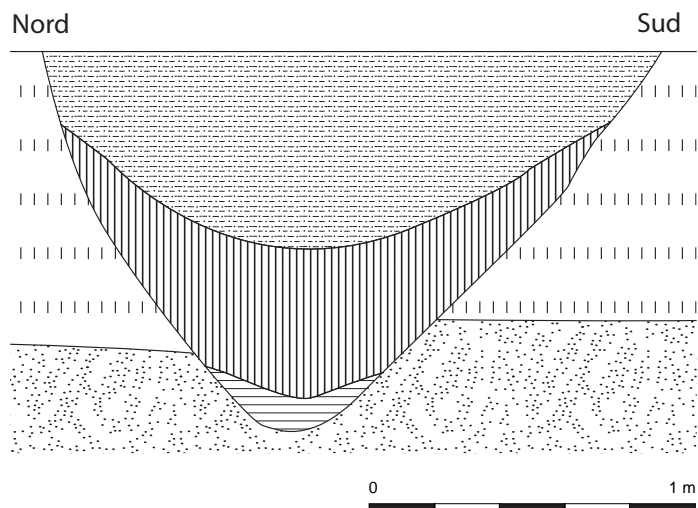
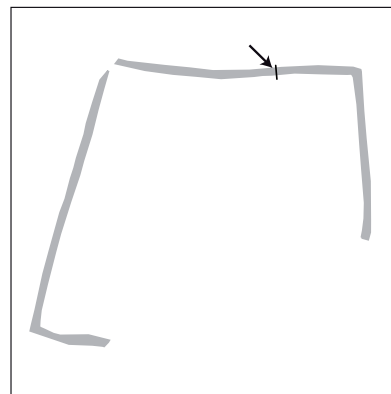
- | | | | |
|---|--|--|------------------|
|  | Limon brun gris homogène, inclusions charbonneuses |  | Limon et silts |
|  | Limon noir très charbonneux avec os brûlé et torchis (incendie?) |  | Os |
|  | Limon brun gris avec blocs de torchis et de charbon |  | Limon de plateau |
|  | Limon brun gris homogène avec quelques charbons |  | Silts |
|  | limon brun gris sans charbon | | |


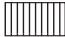
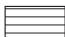

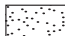
Pl. 19 : Fossé 200, sondage 21.



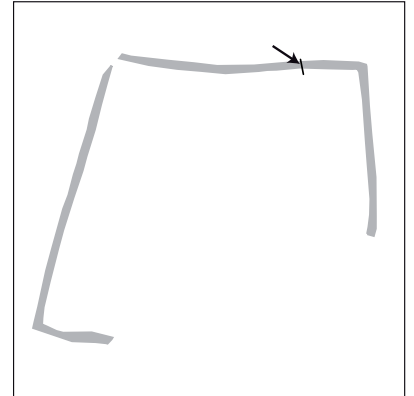
-  Limon brun gris homogène (zone de vestige osseux)
-  Limon brun très charbonneux (incendie?)
-  Limon de plateau
-  Silts
-  Pierre

Pl. 20 : Fossé 200, sondage 23.

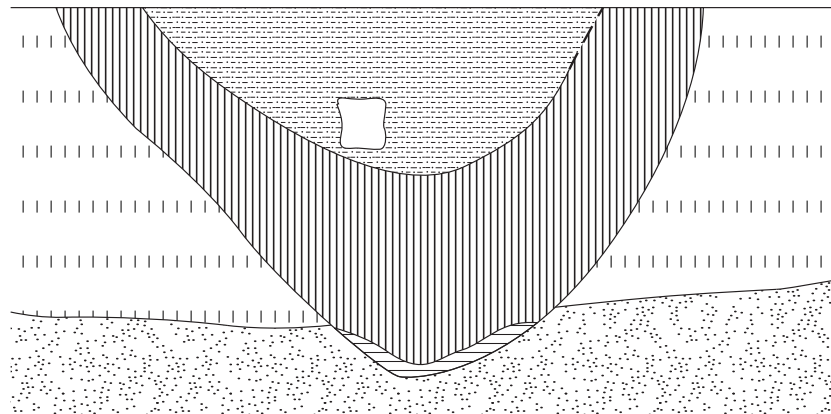




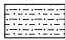



-  Limon brun gris foncé hétérogène avec nodules de charbon et de torchis
-  Limon brun gris homogène, avec peu de charbons
-  Limon et silts
-  Limon de plateau
-  Silts

PI. 21 : Fossé 200, sondage 25.

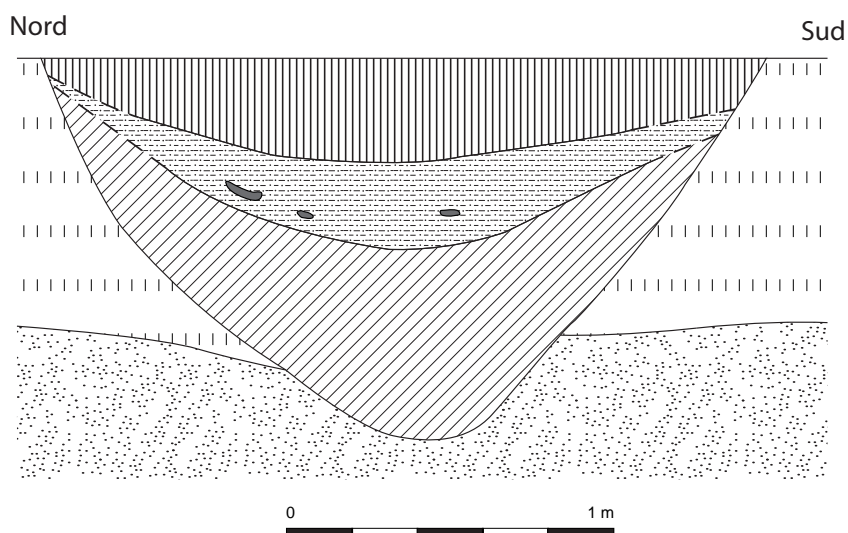
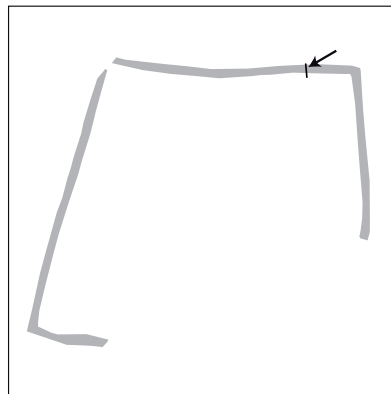
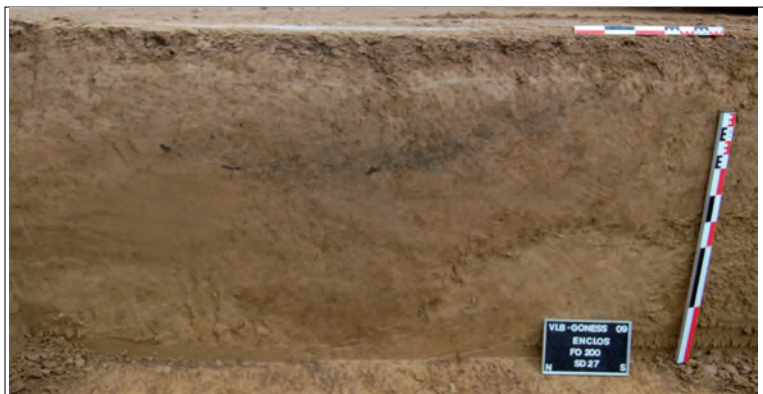








Sud Nord



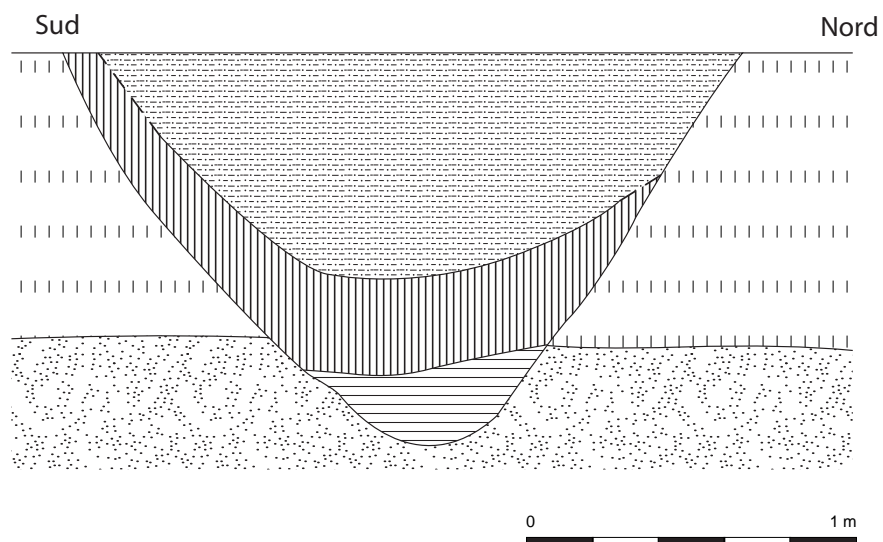
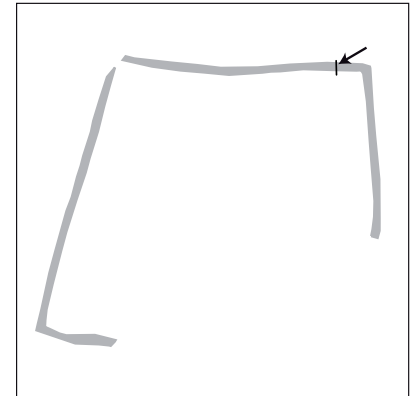
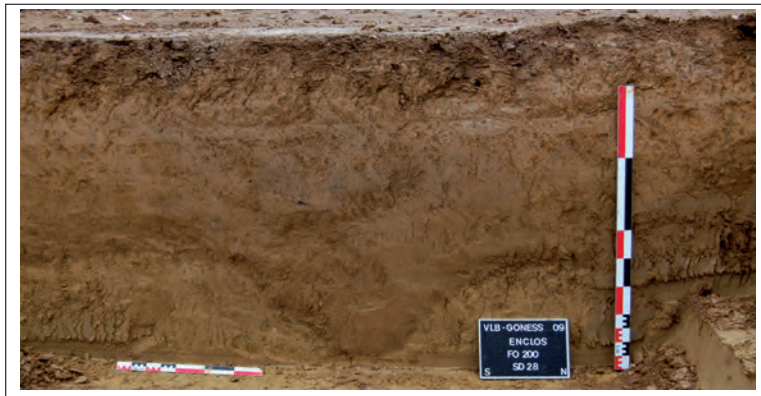
- | | | | |
|---|--------------------------|--|--------------------|
|  | Limon brun gris homogène |  | Limon de plateau |
|  | Limon argileux noir |  | Silts |
|  | Limon et silts |  | Pierre (grès rose) |


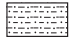

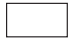

Pl. 22 : Fossé 200, sondage 26.



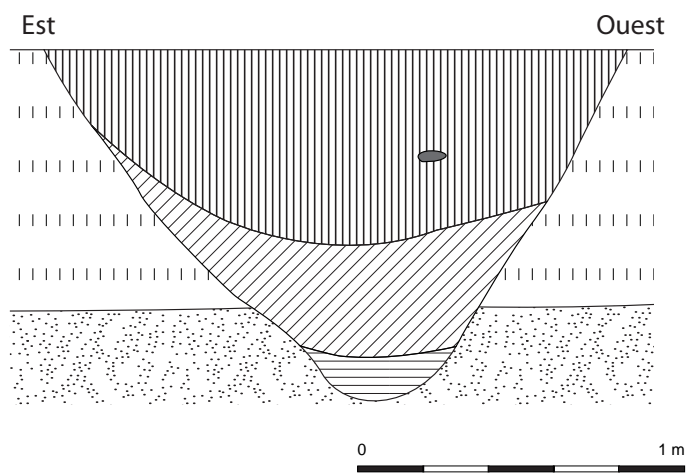
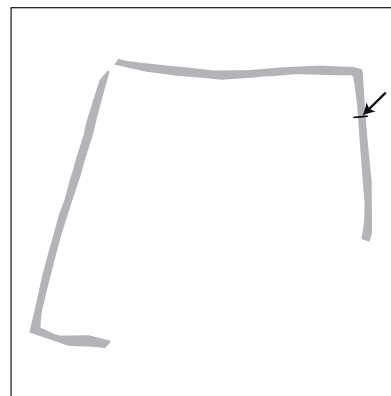
-  Limon brun gris homogène, inclusions charbonneuses
-  Limon brun gris homogène avec quelques inclusions charbonneuses
-  Limon brun gris foncé hétérogène très charbonneux avec faune et céramiques
-  Céramique
-  Limon de plateau
-  Silts



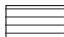

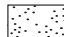

PI. 23 : Fossé 200, sondage 27.



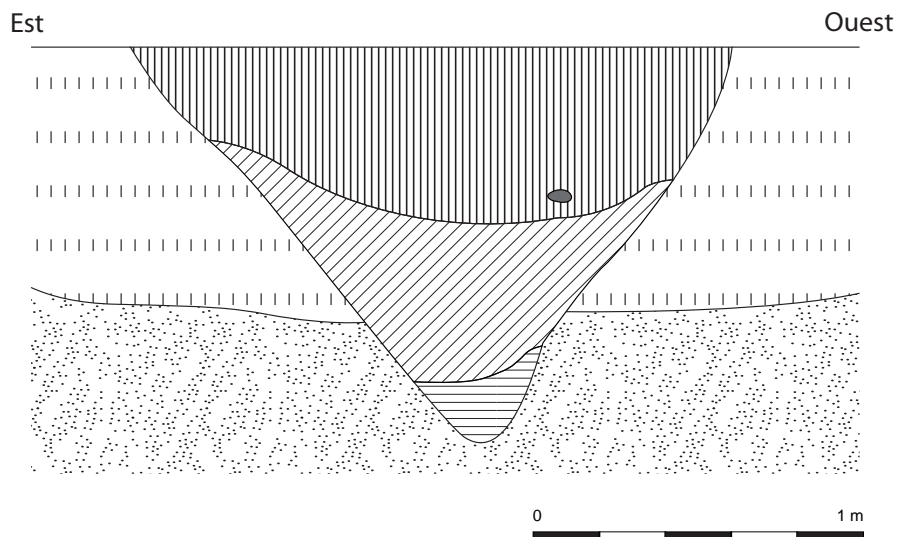
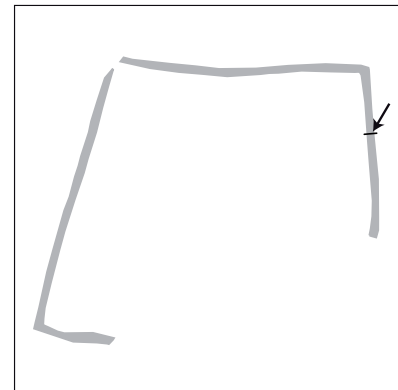
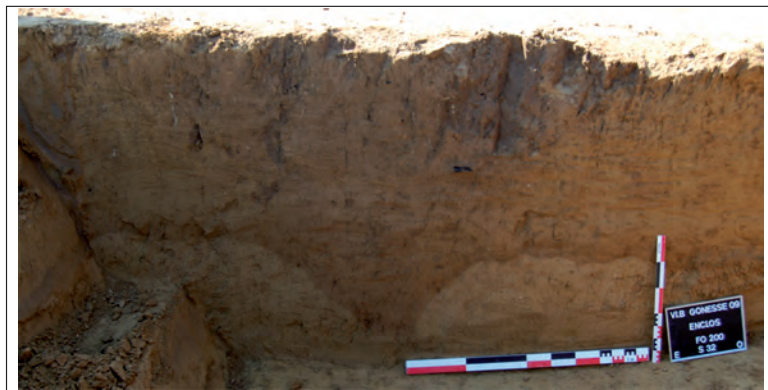
-  Limon brun gris homogène, inclusions charbonneuses
-  Limon brun gris foncé très charbonneux avec du torchis, de la céramique et de la faune
-  Limon et silts (effondrement de paroi?)
-  Limon de plateau
-  Silts

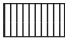



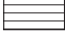

PI. 24 : Fossé 200, sondage 28.



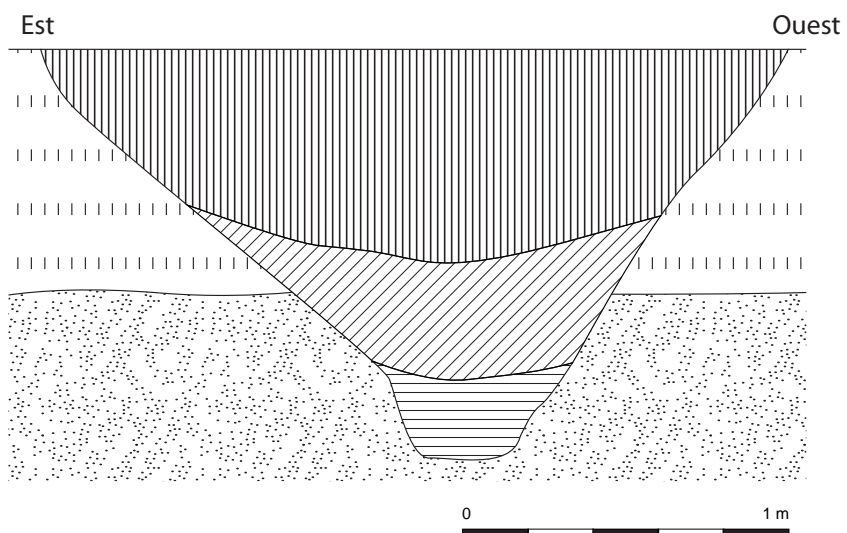
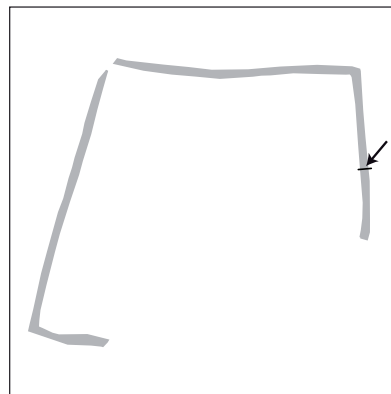
-  Limon brun gris homogène, inclusions charbonneuses, torchis, faune et céramique
-  Limon brun gris homogène stérile
-  Limon et silts (effondrement de paroi?)
-  Limon de plateau
-  Silts
-  Céramique


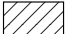



PI. 25 : Fossé 200, sondage 31.



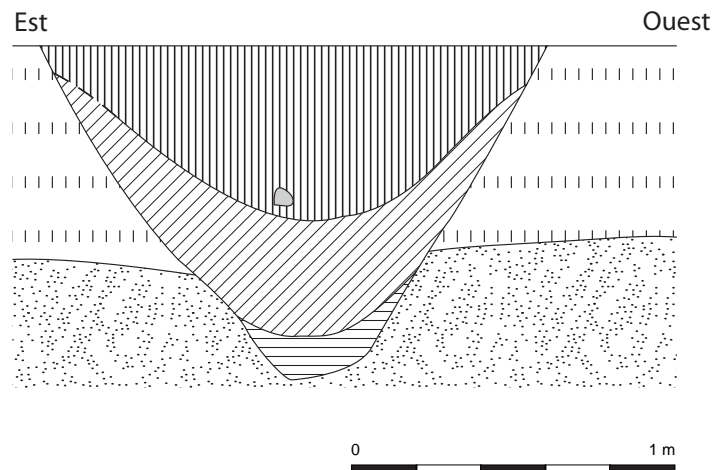
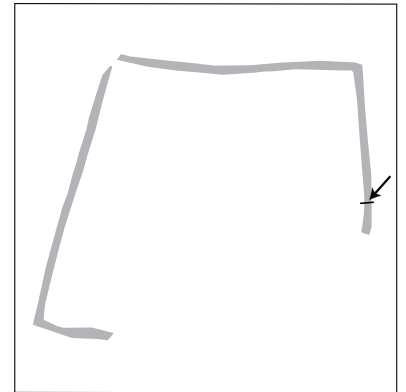
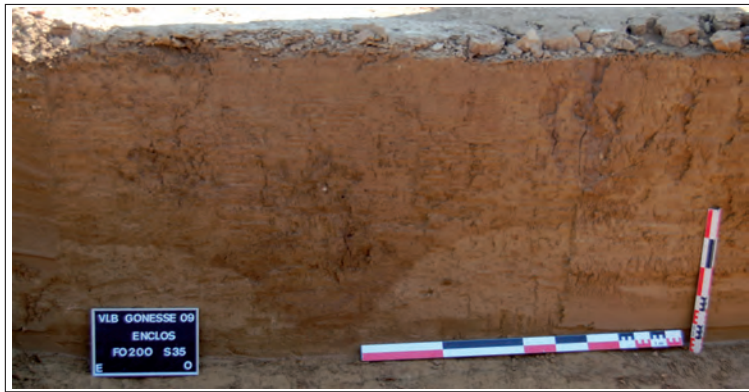
- | | | | |
|---|---|---|------------------|
|  | Limon brun gris homogène, inclusions charbonneuses (nombreux vestiges). |  | Limon de plateau |
|  | Limon brun gris homogène stérile |  | Silts |
|  | Limon et silts (effondrement de paroi?) |  | Céramique |



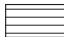

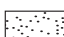

PI. 26 : Fossé 200, sondage 32.



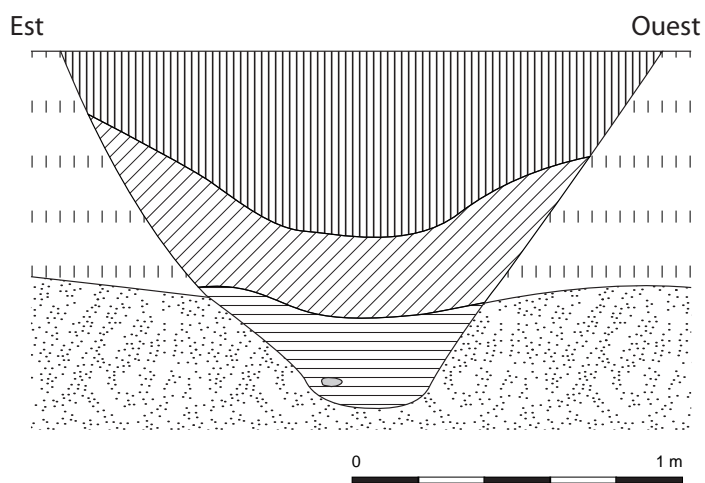
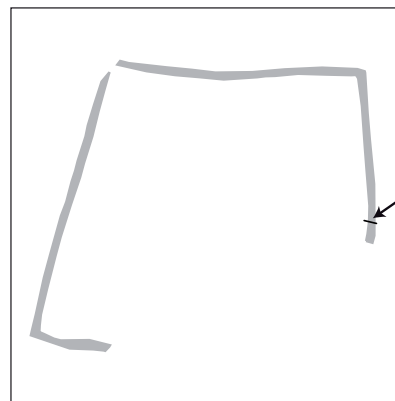
-  Limon brun gris homogène, inclusions charbonneuses.
-  Limon brun gris homogène stérile
-  Limon et silts (effondrement de paroi?)
-  Limon de plateau
-  Silts


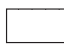
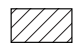

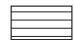

Pl. 27 : Fossé 200, sondage 33.



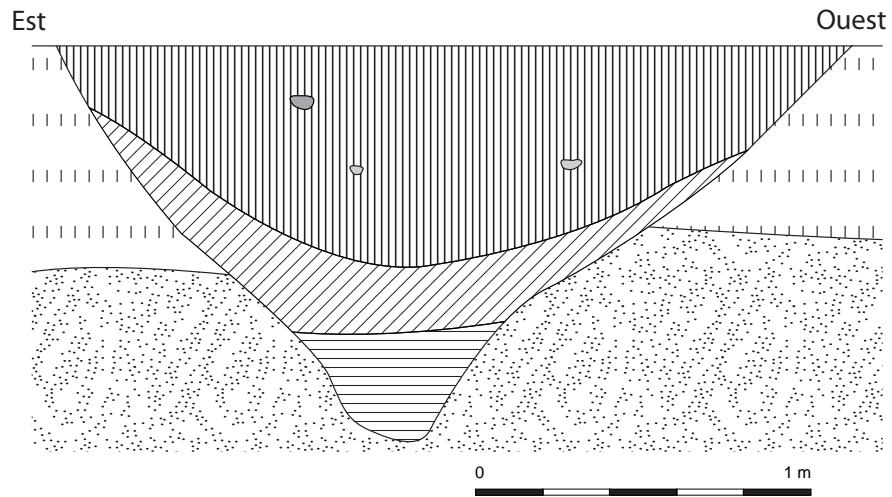
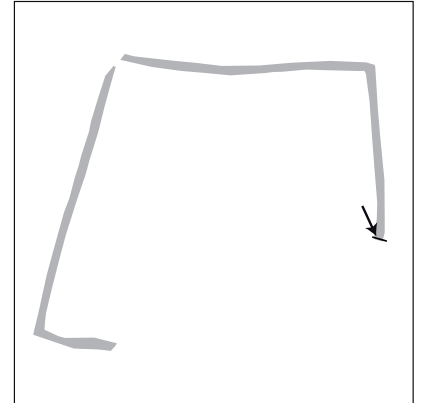
-  Limon brun gris homogène, inclusions carbonneuses (crâne de bovidé).
-  Limon brun gris homogène stérile
-  Limon et silts (effondrement de paroi?)
-  Limon de plateau
-  Silts
-  Os


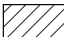
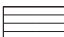

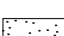


PI. 27 : Fossé 200, sondage 35.



- | | | | |
|---|--|--|------------------|
|  | Limon brun gris homogène, inclusions charbonneuses |  | Limon de plateau |
|  | Limon brun gris homogène stérile |  | Silts |
|  | Limon et silts (effondrement de paroi?) |  | Os |

PI. 28 : Fossé 200, sondage 36.



-  Limon brun gris homogène, inclusions carbonneuses, torchis
-  Limon brun gris homogène
-  Limon et silts (effondrement de paroi?)
-  Limon de plateau
-  Silts
-  Os
-  Torchis

Pl. 29 : Fossé 200, sondage 37.

Annexe 12

Inventaire des structures

Inventaire des structures

N°St.	N°Sd	N°Curage	Type St.	Description	Long.	Larg.	Di a.	Prof.	Datation	Fouille	Plan/Coupe	N° de plan	
F 201			fosse	Comblement: limon brun-gris clair à moyen, compact et hétérogène. Rares inclusions charbonneuses de petit nodule et quelques inclusions de terre oxydée. Pas de mobilier.	1,30	1,12		0,18	Indétermi	Manuelle	<input checked="" type="checkbox"/>	<input checked="" type="checkbox"/>	43
F 203			fosse	Fosse à la forme et au fond irrégulier (plutôt ovale). Comblement: limon assez sableux brun-gris, hétérogène avec quelques nodules de charbon de taille millimétrique. Poches de limon sableux gris clair très hétérogènes. Mare? Un tesson.	2,32			0,42	Âge du Fe	Mécanique	<input checked="" type="checkbox"/>	<input checked="" type="checkbox"/>	77
F 207			fosse	Comblement: limon gris-jaune homogène avec rares inclusions charbonneuses et quelques nodules de torchis de taille millimétrique.			0,70	0,20	Indétermi	Manuelle	<input checked="" type="checkbox"/>	<input checked="" type="checkbox"/>	39
F 209			fosse	Fosse oblongue aux bords droit et au fond irrégulier. Comblement unique: limon gris hétérogène. Stérile.	1,90	0,91		0,12	Indétermi	Manuelle	<input checked="" type="checkbox"/>	<input checked="" type="checkbox"/>	33-110

Villiers-le-Bel "Déviation RD 10/370" - Fouille SDAVO 2009

N°St.	N°Sd	N°Curage	Type St.	Description	Long.	Larg.	Di a.	Prof.	Datation	Fouille	Plan/Coupe	N° de plan	
F 214			fosse	Comblement: limon brun-jaune homogène avec inclusions charbonneuses. Un bord de céramique et un nodule de torchis. Prélèvement de charbon mais sans doute trop peu pour la datation C14. Présence d'un trou de poteau recoupé par la fosse?	1,30	1,20		0,20	Âge du Fe	Manuelle	<input checked="" type="checkbox"/>	<input checked="" type="checkbox"/>	37-102-106
F 219			fosse	Fosse circulaire en cuvette (fond plat). Trois niveaux de comblement: limon très hétérogène brun-gris avec poches gris clair et nodules de charbon, limon brun homogène et limon brun-gris avec nodules de charbon. Un silex trouvé au décapage, sinon stérile. Mare?			2,70	0,78	Indétermi	Mécanique	<input checked="" type="checkbox"/>	<input checked="" type="checkbox"/>	18-78
F 226			fosse	Fosse oblongue avec bords évasés et fond irrégulier. Comblement: limon-sableux brun, homogène. Stérile.	1,20	0,60		0,28	Indétermi	Manuelle	<input checked="" type="checkbox"/>	<input checked="" type="checkbox"/>	17-107
F 227			fosse	Fosse oblongue aux bords évasés et au fond irrégulier. Comblement: limon gris homogène. Stérile.	1,54	1,20		0,20	Indétermi	Manuelle	<input checked="" type="checkbox"/>	<input checked="" type="checkbox"/>	45-90

Villiers-le-Bel "Déviation RD 10/370" - Fouille SDAVO 2009

N° St.	N° Sd	N° Curage	Type St.	Description	Long.	Larg.	Di a.	Prof.	Datation	Fouille	Plan/Coupe	N° de plan
F 228			fosse ou tr	Fosse circulaire en cuvette. Comblement: limon brun-gris foncé homogène avec nodules de charbon de taille millimétrique.				0,52 0,14	Indétermi	Manuelle	<input checked="" type="checkbox"/> <input checked="" type="checkbox"/>	69-100
F 234			fosse	Fosse oblongue aux bords évasés et au fond plat. Deux creusements, le second se situe à l'intérieur du premier dans sa moitié sud. Comblement du premier creusement: limon sableux gris avec inclusions charbonneuses et céramique. Second creusement: limon sableux brun-jaune avec inclusions charbonneuses.	2,44	0,42		0,50	Indétermi	Manuelle	<input checked="" type="checkbox"/> <input checked="" type="checkbox"/>	15
F 235			fosse	Fosse circulaire aux bords évasés et fond irrégulier. Comblement: limon sableux brun, homogène avec quelques inclusions charbonneuses. Stérile.	1,10	2,74		0,24	Indétermi	Mécanique	<input checked="" type="checkbox"/> <input checked="" type="checkbox"/>	14
F 241			fossé	Fosse oblongue, trop arasée pour être relevé en coupe. Fond plat à profil en cuvette. Rare mobilier.	1,90	1,30		0,20	Préhistor	Mécanique	<input checked="" type="checkbox"/> <input type="checkbox"/>	76

Viliers-le-Bel "Déviation RD 10/370" - Fouille SDAVO 2009

N° St.	N° Sd	N° Curage	Type St.	Description	Long.	Larg.	Di a.	Prof.	Datation	Fouille	Plan/Coupe	N° de plan
F 500			fosse	Trois niveaux de comblement: limon gris hétérogène avec inclusions calcaires et torchis; limon homogène brun moyen avec quelques inclusions calcaires et quelques nodules de torchis; limon argileux brun clair, homogène avec très peu d'inclusions.	1,84	0,93		0,50	Âge du Fe	Manuelle	<input checked="" type="checkbox"/> <input checked="" type="checkbox"/>	2-88

Viliers-le-Bel "Déviation RD 10/370" - Fouille SDAVO 2009

N°St.	N°Sd	N°Curage	Type St.	Description	Long.	Larg.	Di a.	Prof.	Datation	Fouille	Plan/Coupe	N° de plan	
F 501			silo	Silo au remplissage complexe. Dense en mobilier jusqu'à 70-80 cm. Présence en continu d'un caillouti calcaire compact et stérile jusqu'à 90 cm. De nombreux fragments de meule ont été mis au jour. La coupe révèle une conservation différentielle des parois du silo. A l'est, il est perturbé par des terriers et probablement par des percolations d'eau. A l'ouest la paroi est régulière. La coupe ainsi que la fouille ont révélé un pendage dans la sédimentation du silo. Le plus haut à l'est venant glisser sur la paroi à l'ouest. Passe 3 à -32 cm, passe 4 entre -35 et -50 cm concentration importante de pierres. Passe 5 de -50 à -60 cm, passe 6 de -60 à -70 cm bois brûlé. Passe 7 à -90 cm: os brûlé, grande quantité de charbons dont grands éléments; vidange ou maison brûlée, présence de bois de construction (20/30/3cm). Passe 8 à -95 cm: céramique, faune, bois d'œuvre, dessin d'une planche en bois brûlée. De 160 à 240 cm: curage à la pelle, nombreux fragments de	4,60	2,40			Âge du Fe	Manuelle	<input checked="" type="checkbox"/>	<input checked="" type="checkbox"/>	54-70

Villiers-le-Bel "Déviation RD 10/370" - Fouille SDAVO 2009

N°St.	N°Sd	N°Curage	Type St.	Description	Long.	Larg.	Di a.	Prof.	Datation	Fouille	Plan/Coupe	N° de plan	
F 502			fosse	meule, céramique, torchis et métal. Nombreux remplissages au fond du silo: bord est du silo effondré et/ou percolation hydrolique, bord ouest intact. Moitié nord fouillée à la pelle. Diamètre de 3,8 m à l'ouverture et de 4,60 m au fond. Deux prélèvement C14: sur la planche brûlée à -95 cm et dans la passe 6 (-60 à -70 cm). Relevé n°54: dessin de la planche. Prélèvement de sédiment: voir listing de RM. La Tène finale.	2,44	1,70		0,69	Contempo	Manuelle	<input checked="" type="checkbox"/>	<input checked="" type="checkbox"/>	3

Villiers-le-Bel "Déviation RD 10/370" - Fouille SDAVO 2009

N° St.	N° Sd	N° Curage	Type St.	Description	Long.	Larg.	Di a.	Prof.	Datation	Fouille	Plan/Coupe	N° de plan	
F 503			fosse	Fosse oblongue en surface avec une concentration de charbon au nord. Il s'agit probablement de fosses polylobées avec des bords évasés et un fond irrégulier. Deux remplissages différents: limon brun-gris charbonneux avec quelques nodules de terre cuite au centre et limon brun-gris homogène avec très peu voir pas de charbon de part et d'autre.	1,64	1,10		0,60	Âge du Fe	Manuelle	<input checked="" type="checkbox"/>	<input checked="" type="checkbox"/>	4-89

Villiers-le-Bel "Déviation RD 10/370" - Fouille SDAVO 2009

N° St.	N° Sd	N° Curage	Type St.	Description	Long.	Larg.	Di a.	Prof.	Datation	Fouille	Plan/Coupe	N° de plan		
F 504			silo	Silo de 3,90 m à l'ouverture et de 3,58 m à sa base. Ce silo présente une stratigraphie complexe. Le comblement supérieur abrite des rejets détritiques tandis que le comblement inférieur se caractérise par des couches résultant d'une sédimentation lente depuis l'ouest. Mobilier dense et présent jusqu'à 2 m de profondeur. Puis mobilier épars jusqu'au fond. Moitié sud de 0 à 20 cm: zone sableuse, possible négatif d'un sablon disposé sur le bouchon, quasi pas de matériel au dessus. En plan, limon brun-gris hétérogène, torchis, pierres brûlées et cailloutis avec un ruban circulaire de pierres calcaires délitées (?).				3,90	3,20	Âge du Fe	Mécanique	<input checked="" type="checkbox"/>	<input checked="" type="checkbox"/>	66-67
F 505			silo	Silo recoupé par F 502. Comblement: limon argileux brun foncé. Repéré lors du curage du silo 501.				0,80	Indétermi	Mécanique	<input checked="" type="checkbox"/>	<input checked="" type="checkbox"/>	74	

Villiers-le-Bel "Déviation RD 10/370" - Fouille SDAVO 2009

N°St.	N°Sd	N°Curage	Type St.	Description	Long.	Larg.	Di a.	Prof.	Datation	Fouille	Plan/Coupe	N° de plan	
Fo 200			fossé	Angle SO. Quatre niveaux de comblement: limon brun dense avec inclusions charbonneuses, limon jaune peu dense avec inclusions charbonneuses, limon brun-jaune meuble et limon brun-jaune mêlé au substrat. Poches charbonneuses dans le comblement supérieur. Différences de sédiments au niveau du tournant. La partie nord du fossé est moins profonde (1,30 m) que la partie est (1,60 m). Plusieurs passes avec photos, passe 1 : crâne de bovidé à l'envers dans le tournant (0,90 m). La Tène finale (D1-D2).	3 m	4 m		1,60	Âge du Fe	Manuelle	<input checked="" type="checkbox"/>	<input checked="" type="checkbox"/>	83-84-85

Villiers-le-Bel "Déviation RD 10/370" - Fouille SDAVO 2009

N°St.	N°Sd	N°Curage	Type St.	Description	Long.	Larg.	Di a.	Prof.	Datation	Fouille	Plan/Coupe	N° de plan	
Fo 200			fossé	Profil du fossé plus resserré à sa base dans sa partie N/S (coupe E/O) que dans sa partie E/O (fond arrondi et bords évasés). Le fossé est également moins profond dans sa partie N/S (1,10 m). Trois niveaux de comblement: limon brun-gris homogène et compact (meuble les 10 premiers cm) avec quelques inclusions charbonneuses (de taille millimétrique) et nodules de terre cuite. Limon brun-gris homogène et stérile. Limon brun-gris mélangé au silts (effondrement de parois?). Apparition de poches charbonneuses sporadiques entre 10 et 20 cm. Quelques pierres (silex et calcaire) entre 30 et 50 cm. Peu de mobilier (faune et céramique) plutôt situé entre 30 et 50 cm. Creusé dans le limon de plateau orangé, puis dans le silts. La Tène finale (D1-D2).		2,15		1,34	Âge du Fe	Manuelle	<input checked="" type="checkbox"/>	<input checked="" type="checkbox"/>	1-86

Villiers-le-Bel "Déviation RD 10/370" - Fouille SDAVO 2009

N° St.	N° Sd	N° Curage	Type St.	Description	Long.	Larg.	Di a.	Prof.	Datation	Fouille	Plan/Coupe	N° de plan
Fo 200	A		fossé	Six passes de fouille manuelle. Passe 1(40 à 50 cm): remplissage limoneux brun à noir, grande quantité de charbon, de terre cuite et de coquilles d'escagots (de toutes tailles et de toutes formes); mobilier épars. Passe 3 (70 cm): remplissage limoneux brun, nodules de charbon et de torchis. Toujours nombreux escargots. Mobilier épars. Passe 4 (80 cm): dans la moitié est, remplissage limoneux brun-roux avec charbon, terre cuite, coquilles en très petite quantité. Mobilier épars. Dans la moitié ouest: remplissage limoneux brun-roux avec escagots en grande quantité. Bœuf en connexion. Démontage du bœuf sur les passes 4, 5 et 6. Présence d'un fragment de meule. La Tène finale (D1-D2).					Âge du Fe	Manuelle	<input type="checkbox"/>	<input type="checkbox"/>
Fo 200	AA		fossé	Sond AA. Couche d'occupation située entre 10 et 40 cm (charbon, os et céramique). Remplissage très peu dense pour le reste du sondage.					Âge du Fe	Mécanique	<input type="checkbox"/>	<input type="checkbox"/>

Villiers-le-Bel "Déviation RD 10/370" - Fouille SDAVO 2009

N° St.	N° Sd	N° Curage	Type St.	Description	Long.	Larg.	Di a.	Prof.	Datation	Fouille	Plan/Coupe	N° de plan
Fo 200	AB		fossé	Sond AB. La couche de charbon n°2 est apparue entre 20 et 60 cm. Pas de couche n°1: trop érodé?					Âge du Fe	Mécanique	<input type="checkbox"/>	<input type="checkbox"/>
Fo 200	AC		fossé	sond AC. Présence d'une concentration d'os brûlés entre 30 et 40 cm.					Âge du Fe	Mécanique	<input type="checkbox"/>	<input type="checkbox"/>
Fo 200	AD		fossé	sond AD. Présence de charbon (de taille millimétrique) et de torchis mais peu de mobilier entre 0 et 60 cm. Présence de calcaire brûlé. Après 60 cm, limon brun-gris homogène.					Âge du Fe	Mécanique	<input type="checkbox"/>	<input type="checkbox"/>
Fo 200	AE		fossé	Sond AE. Le matériel se concentre entre 0 et 60 cm. Rares nodules de charbon.					Âge du Fe	Mécanique	<input type="checkbox"/>	<input type="checkbox"/>

Villiers-le-Bel "Déviation RD 10/370" - Fouille SDAVO 2009

N°St.	N°Sd	N°Curage	Type St.	Description	Long.	Larg.	Di a.	Prof.	Datation	Fouille	Plan/Coupe	N° de plan
Fo 200		AF	fossé	Sond AF. Comblement argilo-sableux brun marron, hétérogène avec poches localisées brun-grises et nombreuses inclusions charbonneuses. Trois passes de fouille manuelle au niveau du crâne de cheval (nettoyage, 10 cl plus bas et démontage). Deux sondages à la pioche entre 8 et 10 cm: à l'extrémité sud concentration de charbon et de torchis et au nord sous le crâne de cheval concentration de charbon et de terre rubéfié. Mobilier assez épars. Pas de concentration particulière hormis dans les poches charbonneuses. Présence de calcaire très délité.					Âge du Fe	Manuelle	<input type="checkbox"/>	<input type="checkbox"/>
Fo 200		AG	fossé	Sond AG. Mobilier présent dans les 40 premiers centimètres uniquement. Présence de torchis et de nodules de charbon (taille centimétrique) entre 0 et 40 cm. Mais pas de couche charbonneuse noire. Calcaire et calcaire brûlé.					Âge du Fe	Mécanique	<input type="checkbox"/>	<input type="checkbox"/>

Villiers-le-Bel "Déviation RD 10/370" - Fouille SDAVO 2009

N°St.	N°Sd	N°Curage	Type St.	Description	Long.	Larg.	Di a.	Prof.	Datation	Fouille	Plan/Coupe	N° de plan
Fo 200		AH	fossé	Sond AH. Partie du fossé plus profonde que les sondages AK et AI. Peu de mobilier, dispersé sur toute la profondeur. Pas de couche charbonneuse. Calcaire.					Âge du Fe	Mécanique	<input type="checkbox"/>	<input type="checkbox"/>
Fo 200		AI	fossé	Sond AI. Mobilier répartis sur toute la hauteur du fossé, peu abondant. Présence de calcaire et de calcaire brûlé. Pas de couche charbonneuse.					Âge du Fe	Manuelle	<input type="checkbox"/>	<input type="checkbox"/>
Fo 200		AJ	fossé	Sond AJ. Le mobilier est très dispersé sur toute l'épaisseur du remplissage. Il est globalement rare. Couche de charbon absente.					Âge du Fe	Mécanique	<input type="checkbox"/>	<input type="checkbox"/>
Fo 200		AK	fossé	Sond AK. Mobilier épars depuis la surface jusqu'à -80 cm. La couche charbonneuse "traditionnellement" observée vers -60 cm est absente.					Âge du Fe	Mécanique	<input type="checkbox"/>	<input type="checkbox"/>

Villiers-le-Bel "Déviation RD 10/370" - Fouille SDAVO 2009

N°St.	N°Sd	N°Curage	Type St.	Description	Long.	Larg.	Di a.	Prof.	Datation	Fouille	Plan/Coupe	N° de plan
Fo 200		B	fossé	Suite de la fouille de l'épandage de céramique du sondage 3. Remplissage limoneux brun à gris, hétérogène avec nodules de charbon. Au cours du démontage des céramiques de la passe 1, mise au jour d'un rebut de monnaie en alliage cuivreux (n°F). Présence d'os. Les céramiques sont localisées sur plusieurs étages (au moins deux). Remplissage après les amas de céramiques: nodules de calcaire, torchis et de charbon en quantité moyenne. La Tène finale (D1-D2).					Âge du Fe	Manuelle	<input type="checkbox"/>	<input type="checkbox"/>
Fo 200		C	fossé	Fossé très large en sa base. Mobilier sur toute l'épaisseur du remplissage. La Tène finale (D1-D2).					Âge du Fe	Mécanique	<input type="checkbox"/>	<input type="checkbox"/>
Fo 200		D	fossé	Entre 20 et 60 cm pierres calcaires et nombreuses coquilles d'escargots. Entre 60 et 120 cm: RAS. La Tène finale (D1-D2).					Âge du Fe	Mécanique	<input type="checkbox"/>	<input type="checkbox"/>

Villiers-le-Bel "Déviation RD 10/370" - Fouille SDAVO 2009

N°St.	N°Sd	N°Curage	Type St.	Description	Long.	Larg.	Di a.	Prof.	Datation	Fouille	Plan/Coupe	N° de plan
Fo 200		E	fossé	Entre 40 et 60 cm niveau de pierre fouillé manuellement (par Christian). Hypothèses: condamnation d'un niveau d'occupation ou bien retenue en cas de mise en eau du fossé, écoulement de l'eau.					Âge du Fe	Manuelle	<input type="checkbox"/>	<input type="checkbox"/>
Fo 200		F	fossé	Niveau empierré (calcaire) entre 20 et 60 cm. Hypothèse: aménagement en cas de mise en eau, retenue d'eau.					Âge du Fe	Mécanique	<input type="checkbox"/>	<input type="checkbox"/>
Fo 200		G	fossé	Sondage G. Porc immature en connexion partielle (avec crâne) entre 20 et 50 cm.					Âge du Fe	Manuelle	<input type="checkbox"/>	<input type="checkbox"/>

Villiers-le-Bel "Déviation RD 10/370" - Fouille SDAVO 2009

N°St.	N°Sd	N°Curage	Type St.	Description	Long.	Larg.	Di a.	Prof.	Datation	Fouille	Plan/Coupe	N° de plan	
Fo 200		H	fossé	Sondage H. La couche de pierre observée en F et G ne se retrouve pas entre 20 et 60 cm. Trois passes manuelles avec en remplissage limon brun marron moyen homogène compact avec rares inclusions charbonneuses. Passes 1 et 2 bioturbations. Passe 1 (10 à 15 cm) : crâne de cheval retourné et quelques os au sud. Petit bloc de grés (?) et petits cailloux et rares inclusions de terre rubéfiée. Passe 2 (20 à 25 cm) : apparition d'un crâne de bovidé et d'une mandibule de bovidé sous le crâne de cheval. Quelques os au sud. Rares inclusions charbonneuse, petits cailloux et quelques céramiques. Passe 3 (30 à 35 cm) : concentration de faune au sud du crâne de bœuf deux mandibules de bovidés, un crâne retourné (chien?) et quelques os (phalange, os long, osselet?). Lors du démontage du crâne de bœuf, présence de pierres brûlées et de cailloux autour du crâne. Présence de fragments de céramique (écuelle?) disposés à plat sous le crâne.						Âge du Fe	Manuelle	<input type="checkbox"/>	<input type="checkbox"/>

Viliers-le-Bel "Déviation RD 10/370" - Fouille SDAVO 2009

N°St.	N°Sd	N°Curage	Type St.	Description	Long.	Larg.	Di a.	Prof.	Datation	Fouille	Plan/Coupe	N° de plan	
Fo 200		I	fossé	Sondage I. Pas de pierres entre 20 et 60 cm. Mobilier présent entre 0 et 60 cm, puis le fossé est stérile jusqu'au fond.						Âge du Fe	Mécanique	<input type="checkbox"/>	<input type="checkbox"/>
Fo 200		J	fossé	Sondage J. Mobilier épars. Remplissage limoneux homogène. Absence de pierres.						Âge du Fe	Mécanique	<input type="checkbox"/>	<input type="checkbox"/>
Fo 200		K	fossé	Sondage K. Mobilier très rare. Pas de distinction claire des couches.						Âge du Fe	Mécanique	<input type="checkbox"/>	<input type="checkbox"/>
Fo 200		L	fossé	Sondage L. Torchis abondant entre 0 et 60 cm. Entre 40 et 60 cm, nombreux ossements dans la moitié sud.						Âge du Fe	Mécanique	<input type="checkbox"/>	<input type="checkbox"/>

Viliers-le-Bel "Déviation RD 10/370" - Fouille SDAVO 2009

N°St.	N°Sd	N°Curage	Type St.	Description	Long.	Larg.	Di a.	Prof.	Datation	Fouille	Plan/Coupe	N° de plan
Fo 200		N	fossé	Sondage N. Nettoyage manuel en surface car apparition de céramique de champ et à plat, de faune et de torchis. Nombreuses inclusions charbonneuses. Comblement: limon brun-marron compact homogène. Deux poches visibles à la pelle mécanique entre 40 et 50 cm: limon gris brun compact et hétérogène, avec nombreuses inclusions de charbon et nodules de terre rubéfiée.					Âge du Fe	Manuelle	<input type="checkbox"/>	<input type="checkbox"/>
Fo 200		O	fossé	Sondage O. Entre 0 et 20 cm: tapis de céramique identique à celui fouillé dans le S3. Traité à la pelle mécanique. Une monnaie trouvée au détecteur. Il semble y avoir un lien entre ces bris de céramiques et la présence de monnaies presque exclusivement trouvées dans ces concentrations. Entre 20 et 120 cm: mobilier régulièrement présent. A 60-80 cm: deux mandibules d'un même animal.					Âge du Fe	Mécanique	<input type="checkbox"/>	<input type="checkbox"/>

Villiers-le-Bel "Déviation RD 10/370" - Fouille SDAVO 2009

N°St.	N°Sd	N°Curage	Type St.	Description	Long.	Larg.	Di a.	Prof.	Datation	Fouille	Plan/Coupe	N° de plan
Fo 200		P	fossé	Sondage P. Peu de vestiges. Niveau un peu plus dense entre 40 et 60 cm.					Âge du Fe	Manuelle	<input type="checkbox"/>	<input type="checkbox"/>
Fo 200		Q	fossé	Sondage Q. Portion du fossé dont le remplissage est quasi-stérile.					Âge du Fe	Mécanique	<input type="checkbox"/>	<input type="checkbox"/>
Fo 200		R	fossé	Sondage R. Le fossé est recoupé par la RD 10 dans ce secteur. Il n'est que partiellement conservé. Ce qu'il en subsiste ne livre que de rares vestiges.					Âge du Fe	Mécanique	<input type="checkbox"/>	<input type="checkbox"/>
Fo 200		S	fossé	Sondage S. Le remplissage ne renferme que de très rares vestiges, essentiellement entre 0 et 20 cm. Deux couches charbonneuses se distinguent: en surface et entre 20 et 40cm.					Âge du Fe	Mécanique	<input type="checkbox"/>	<input type="checkbox"/>
Fo 200		T	fossé	Sondage T. deux niveaux de mobilier: entre 0 et 20 cm et entre 60 et 80 cm. Le premier niveau a été fouillé manuellement: limon brun homogène avec gros nodules de charbon, céramique, faune et torchis.					Âge du Fe	Manuelle	<input type="checkbox"/>	<input type="checkbox"/>

Villiers-le-Bel "Déviation RD 10/370" - Fouille SDAVO 2009

N°St.	N°Sd	N°Curage	Type St.	Description	Long.	Larg.	Di a.	Prof.	Datation	Fouille	Plan/Coupe	N° de plan
Fo 200		U	fossé	Sondage U. Deux passes de fouille manuelle à -5 cm (céramique et probable os humain, tibia) et à -30 cm présence d'une couche quasi-exclusive de torchis orangé et quelques céramiques et os. Puis reprise du curage à la pelle mécanique. Entre 60 et 100 cm: couche d'occupation (rejets domestiques) avec concentration de torchis et un os humain. Entre 100 et 120 cm: quelques os de gros ruminant. Hypothèse concernant la concentration de torchis entre 60 et 100 cm: four? Présence de tessons dans cette concentration comme si cuisson à l'étouffée.					Âge du Fe	Manuelle	<input type="checkbox"/>	<input type="checkbox"/>
Fo 200		V	fossé	Sondage V. Passe 3: niveau de céramiques presque complètes et mandibules. Passe 4: céramiques non démontées (photographiées et démontées en passe 5).					Âge du Fe	Manuelle	<input type="checkbox"/>	<input type="checkbox"/>

Villiers-le-Bel "Déviation RD 10/370" - Fouille SDAVO 2009

N°St.	N°Sd	N°Curage	Type St.	Description	Long.	Larg.	Di a.	Prof.	Datation	Fouille	Plan/Coupe	N° de plan
Fo 200		W	fossé	Sondage W. Passe 1: à -40 cm, niveau très charbonneux, torchis en grand nombre, pierre brûlée, nombreux tessons et éléments métallique. Niveau charbonneux sur 50 cm: limon brun-noir très organique, torchis. Puis limon brun-gris plus homogène. Passe 2: 60 à 75 cm, limon brun homogène, compact avec inclusions charbonneuses de gros nodules, amas de torchis à l'ouest du sondage, calcaire brûlé et mandibule.					Âge du Fe	Manuelle	<input type="checkbox"/>	<input type="checkbox"/>
Fo 200		X	fossé	Sondage X. Portion du fossé dont les vestiges sont très denses et associés à une couche de charbon entre 0 et 20 cm, puis entre 60 et 80 cm. Passe de fouille fine entre 40 et 50 cm: comblement limoneux brun foncé à noir avec nodules de charbon et de terre cuite en grande quantité près du sondage 22. Crâne et céramique.					Âge du Fe	Manuelle	<input type="checkbox"/>	<input type="checkbox"/>

Villiers-le-Bel "Déviation RD 10/370" - Fouille SDAVO 2009

N° St.	N° Sd	N° Curage	Type St.	Description	Long.	Larg.	Di a.	Prof.	Datation	Fouille	Plan/Coupe	N° de plan
Fo 200		Y	fossé	Sondage Y. Dans ce sondage, le mobilier se concentre entre 0 et 80 cm. Pas de distinction claire entre les deux couches précédemment observées.					Âge du Fe	Mécanique	<input type="checkbox"/>	<input type="checkbox"/>
Fo 200		Y bis	fossé	Sondage Y bis. Passe 1 (0 à 20 cm): limon brun compact très charbonneux. Présence de nombreuses céramiques, torchis ainsi que de l'os très fiable. Présence de demi pierres. (Point topo reporté à partir du point le plus à l'est du sondage 25, la distance entre les deux points est de 5 m).					Âge du Fe	Manuelle	<input type="checkbox"/>	<input type="checkbox"/>
Fo 200		Z	fossé	Sondage Z. De 10 à 60 cm: couche charbonneuse avec de nombreuses céramiques et peu d'os. Entre 60 et 80 cm: sédiment limono-argileux moins dense en vestiges. Hypothèse: des zones de rejet spécialisés dans la céramique, d'autres pour la faune. Ne ressemble pas à un rejet domestique.					Âge du Fe	Mécanique	<input type="checkbox"/>	<input type="checkbox"/>

Villiers-le-Bel "Déviation RD 10/370" - Fouille SDAVO 2009

N° St.	N° Sd	N° Curage	Type St.	Description	Long.	Larg.	Di a.	Prof.	Datation	Fouille	Plan/Coupe	N° de plan	
Fo 200		1	fossé	Quatre niveaux de comblement: limon brun-gris avec nodules de charbon (taille millimétrique); couche charbonneuse avec nodules de charbon (taille centimétrique), nodules de torchis, pierres brûlées et os brûlé; limon brun-gris homogène avec nodules de charbon et limon brun-gris mêlé au silts. Passes mécaniques jusqu'à 60 cm. Puis quatre passes manuelles: passe 1 à 65 cm avec une monnaie, de l'os brûlé, de la faune et du torchis en grande quantité. Passe 3: couche charbonneuse. Passe 4: porc immature en connexion et peson en terre cuite. La Tène finale (D1-D2).		2,50		1,58	Âge du Fe	Manuelle	<input type="checkbox"/>	<input checked="" type="checkbox"/>	75

Villiers-le-Bel "Déviation RD 10/370" - Fouille SDAVO 2009

N°St.	N°Sd	N°Curage	Type St.	Description	Long.	Larg.	Di a.	Prof.	Datation	Fouille	Plan/Coupe	N° de plan	
Fo 200	2		fossé	Passe mécanique de 0 à 20 cm: limon brun-gris, hétérogène avec nombreux charbons, scories, pierres brûlées et faune. Passe manuelle en 20 et 40 cm. Entre 80 et 100 cm trois passes manuelles: squelette de bovidé immature avec parties anatomiques en connexion (vertèbres). Nombreuses coquilles. La Tène finale (D1-D2).		2,86		1,54	Âge du Fe	Manuelle	<input type="checkbox"/>	<input checked="" type="checkbox"/>	80

Villiers-le-Bel "Déviation RD 10/370" - Fouille SDAVO 2009

N°St.	N°Sd	N°Curage	Type St.	Description	Long.	Larg.	Di a.	Prof.	Datation	Fouille	Plan/Coupe	N° de plan	
Fo 200	3		fossé	Présence d'un amas de tessons sur toute la surface du sondage et qui se prolonge sur le sondage B. Une monnaie découverte pour le sondage 3 (passe 1) et deux sur le sondage B dans le niveau de céramiques. Mobilier présent sur toute la profondeur du sondage mais beaucoup moins abondant une fois la couche de tessons passée. Deux niveaux de comblements: limon brun-gris homogène avec nodules de charbon, quelques nodules de torchis et quelques calcaires. Limon brun-gris mélangé au substrat. Le fossé reste assez large à sa base. La Tène finale (D1-D2).		2,62		1,44	Âge du Fe	Manuelle	<input type="checkbox"/>	<input checked="" type="checkbox"/>	81

Villiers-le-Bel "Déviation RD 10/370" - Fouille SDAVO 2009

N° St.	N° Sd	N° Curage	Type St.	Description	Long.	Larg.	Di a.	Prof.	Datation	Fouille	Plan/Coupe	N° de plan	
Fo 200	4		fossé	Comblement: limon brun à brun-gris, faiblement charbonneux avec de nombreux éclats de calcaire dont du calcaire effrité. De 0 à 60 cm: faune, pierre brûlé, céramique noire. Entre 60 à 80 cm un silé taillé. Creusé dans le limon de plateau orangé, puis dans le silt. La Tène finale (D1-D2).		2 m		1,20	Âge du Fe	Manuelle	<input type="checkbox"/>	<input checked="" type="checkbox"/>	24
Fo 200	5		fossé	Un niveau de comblement: limon brun à brun gris homogène. Niveau d'empierrement calcaire entre 40 et 60 cm. La Tène finale (D1-D2).		2 m		1,10	Âge du Fe	Mécanique	<input type="checkbox"/>	<input checked="" type="checkbox"/>	25

Villiers-le-Bel "Déviation RD 10/370" - Fouille SDAVO 2009

N° St.	N° Sd	N° Curage	Type St.	Description	Long.	Larg.	Di a.	Prof.	Datation	Fouille	Plan/Coupe	N° de plan	
Fo 200	6		fossé	7 passes manuelles de 18 à 38 cm: fouille de cochons de lait en connexion partielle. Comblement: limon brun-gris. Creusé dans le limon de plateau orangé, puis dans le silt. Passe 1 à 18 cm: niveau d'apparition des ossements, plusieurs individus identifiés. Passe 2 à 20 cm: un tesson (le seul du niveau d'ossements) à proximité de la faune dans la partie nord du sondage et une pierre brûlée. Passe 3 et 4 à 23 et 25 cm: grosse concentration sud du sondage. Passe 5 à 30 cm: concentration au sud du sondage et ossements en très petite quantité au nord. Passe 6 à 33 cm: concentration exclusivement au nord. Passe 7 à 38 cm: Présence d'un ossement adulte (calcanéus). Les ossements présents sous la passe 7 ont été prélevés en bloc. La Tène finale (D1-D2).		1,60		1,10	Âge du Fe	Manuelle	<input type="checkbox"/>	<input checked="" type="checkbox"/>	87

Villiers-le-Bel "Déviation RD 10/370" - Fouille SDAVO 2009

N°St.	N°Sd	N°Curage	Type St.	Description	Long.	Larg.	Di a.	Prof.	Datation	Fouille	Plan/Coupe	N° de plan	
Fo 200	7		fossé	Fouille manuelle de 0 à 20 cm, nombreux ossements de faune en connexion (chien?). Nombreuses scories qui perturbent les niveaux en place. Le fossé est assez riches de 0 à 40 cm (nombreux ossements). Comblement: limon gris homogène. Le fond du fossé semble présenter un effondrement de parois (mélange de limon gris et de silt). La Tène finale (D1-D2).		2,10		1,18	Âge du Fe	Manuelle	<input type="checkbox"/>	<input checked="" type="checkbox"/>	48
Fo 200	8		fossé	Comblement: limon brun à brun-gris homogène, peu charbonneux avec calcaires et céramique. A 60 cm fragment de crâne humain, de champs, face interne visible (cruci au nord). La Tène finale (D1-D2).		2 m		1 m	Âge du Fe	Mécaniqu	<input type="checkbox"/>	<input checked="" type="checkbox"/>	26
Fo 200	9		fossé	Comblement: limon brun à brun-gris homogène et peu charbonneux. Présence de pierres brûlées. Peu de mobilier. La Tène finale (D1-D2).		2 m		0,90	Âge du Fe	Mécaniqu	<input type="checkbox"/>	<input checked="" type="checkbox"/>	27

Villiers-le-Bel "Déviation RD 10/370" - Fouille SDAVO 2009

N°St.	N°Sd	N°Curage	Type St.	Description	Long.	Larg.	Di a.	Prof.	Datation	Fouille	Plan/Coupe	N° de plan	
Fo 200	10		fossé	Comblement: limon brun à brun-gris homogène, torchis. Présence de torchis en abondance entre 0 et 20 cm. Entre 40 à 80 cm présence de faune et de torchis. La Tène finale (D1-D2).		1,70		1,18	Âge du Fe	Mécaniqu	<input type="checkbox"/>	<input checked="" type="checkbox"/>	29
Fo 200	11		fossé	Comblement: limon brun à brun-gris, homogène, quelques nodules de charbon, torchis. Faible présence de céramique et de faune. La Tène finale (D1-D2).		1,90		1 m	Âge du Fe	Mécaniqu	<input type="checkbox"/>	<input checked="" type="checkbox"/>	30
Fo 200	12		fossé	Trois couches se distinguent dans ce sondage. Couche supérieure: limon gris avec mobilier sur 80 cm d'épaisseur. Couche intermédiaire: limon gris stérile sur 25 cm. Couche inférieure: mélange de limon gris et de silt, effondrement de parois? La Tène finale (D1-D2).		1,90		1,18	Âge du Fe	Manuelle	<input type="checkbox"/>	<input checked="" type="checkbox"/>	31

Villiers-le-Bel "Déviation RD 10/370" - Fouille SDAVO 2009

N°St.	N°Sd	N°Curage	Type St.	Description	Long.	Larg.	Di a.	Prof.	Datation	Fouille	Plan/Coupe	N° de plan	
Fo 200	13		fossé	Creusement aux bords évasés. Trois niveaux de comblement. Entre 0 et 32 cm: limon brun-gris très charbonneux (deux passes de fouille manuelle). Présence de nodules de charbon de taille centimétrique, de pierres et d'os brûlé. Niveau intermédiaire: limon brun-gris homogène avec nodules de charbon. Puis limon brun-gris mélangé au silt (effondrement de parois?). Après 60 cm, le comblement est stérile. La Tène finale (D1-D2).		2,30		1,24	Âge du Fer	Manuelle	<input type="checkbox"/>	<input checked="" type="checkbox"/>	79

Villiers-le-Bel "Déviation RD 10/370" - Fouille SDAVO 2009

N°St.	N°Sd	N°Curage	Type St.	Description	Long.	Larg.	Di a.	Prof.	Datation	Fouille	Plan/Coupe	N° de plan	
Fo 200	14		fossé	Trois niveaux de comblement: limon brun-gris homogène avec nodules de charbon et torchis; limon brun-gris homogène sans charbon et limon brun-gris mélé au silt (effondrement de parois?). Deux passes de fouille manuelle: 0 à 60 cm niveau de céramique, faune et torchis. Prélevé sans photo à cause des intempéries. Entre 80 et 90 cm: os brûlés, calcaire, deux mandibules (l'une sur l'autre), un crâne de bovidé (consolidé) et des vertèbres. La Tène finale (D1-D2).		1,91		1,32	Âge du Fer	Manuelle	<input type="checkbox"/>	<input checked="" type="checkbox"/>	71
Fo 200	15		fossé	Deux niveaux de comblement: limon brun homogène avec quelques nodules de charbon et limon brun mélangé au substrat (effondrement de parois?). Peu de mobilier, concentré entre 0 et 20 cm, puis de nouveau de la faune entre 60 et 80 cm. Stérile après 80 cm. Présence de quelques pierres calcaires.		2,34		1,12	Âge du Fer	Mécanique	<input type="checkbox"/>	<input checked="" type="checkbox"/>	32

Villiers-le-Bel "Déviation RD 10/370" - Fouille SDAVO 2009

N°St.	N°Sd	N°Curage	Type St.	Description	Long.	Larg.	Di a.	Prof.	Datation	Fouille	Plan/Coupe	N° de plan	
Fo 200	16		fossé	Comblement unique de limon brun-gris homogène. De 0 à 20 cm absence de mobilier, présence de charbon et de torchis. De 20 à 60 cm peu de mobilier, présence de métal (fer, alliage cuivreux) entre 50 et 60 cm. De 60 cm jusqu'au fond du fossé, quelques nodules de charbon, stérile en mobilier. Calcaire roulée allochtone à partir de 60 cm de profondeur. La Tène finale (D1-D2).		1,80		1,10	Âge du Fer	Mécanique	<input type="checkbox"/>	<input checked="" type="checkbox"/>	41
Fo 200	17		fossé	Deux niveaux de comblement. Comblement supérieur: limon brun-gris homogène. Comblement inférieur: limon orangé mélangé au silt. Calcaire roulé à 80 cm de profondeur. La Tène finale (D1-D2).		2,18		1,42	Âge du Fer	Mécanique	<input type="checkbox"/>	<input checked="" type="checkbox"/>	42

Villiers-le-Bel "Déviation RD 10/370" - Fouille SDAVO 2009

N°St.	N°Sd	N°Curage	Type St.	Description	Long.	Larg.	Di a.	Prof.	Datation	Fouille	Plan/Coupe	N° de plan	
Fo 200	18		fossé	Quatre niveaux de comblement: limon brun-gris homogène avec inclusions charbonneuses; niveau charbonneux avec mobilier et os brûlé (occupation, rejet de foyer, abandon?); limon brun-gris avec nodules de charbon épars et peu de mobilier; limon brun stérile mélangé au substrat. Présence de calcaire. Base du fossé très évasé, pas de poteau? La Tène finale (D1-D2).		2,16		1,28	Âge du Fer	Mécanique	<input type="checkbox"/>	<input checked="" type="checkbox"/>	46

Villiers-le-Bel "Déviation RD 10/370" - Fouille SDAVO 2009

N°St.	N°Sd	N°Curage	Type St.	Description	Long.	Larg.	Di a.	Prof.	Datation	Fouille	Plan/Coupe	N° de plan		
Fo 200	19		fossé	Présence de poches de limon après la limite du fossé entre 0 et 40 cm: traces de tallus? Comblement: limon brun-gris homogène avec nodules de charbon. Entre 0 et 10 cm, poche de torchis de petit nodule. Un calcaire roulé à 50 cm. Niveau plus charbonneux entre 60 et 80 cm. Une passe de fouille manuelle à 80 cm: faune, céramique et nodules de charbon de taille centimétrique. Après un mètre, limon brun-gris mélangé au silt. Présence de calcaire roulé et de calcaire roulé après 80 cm. La Tène finale (D1-D2).		2 m		1,22	Âge du Fe	Manuelle	<input type="checkbox"/>	<input checked="" type="checkbox"/>	64	
Fo 200	20		fossé	Trois niveaux de comblements. Premier niveau: couche noire sur 60 cm d'épaisseur. Seul endroit où se distingue un niveau d'argile rubéfiée. Couche d'incendie? Abandon rapide? Présence de calcaire roulé et de calcaires brûlé dans la couche noire. La Tène finale (D1-D2).			1,70		1,26	Âge du Fe	Manuelle	<input type="checkbox"/>	<input checked="" type="checkbox"/>	52

Villiers-le-Bel "Déviation RD 10/370" - Fouille SDAVO 2009

N°St.	N°Sd	N°Curage	Type St.	Description	Long.	Larg.	Di a.	Prof.	Datation	Fouille	Plan/Coupe	N° de plan	
Fo 200	21		fossé	Cinq niveaux de comblement: limon brun-gris avec nodules de charbon; niveau noir très charbonneux avec nodules de torchis et os brûlé (couche d'incendie?); niveau avec blocs de torchis; niveau brun-gris homogène sans charbon; enfin limon mêlé au substrat (effondrement?). De 80 cm jusqu'au fond, présence de calcaires roulé et de calcaire brûlé. La Tène finale (D1-D2).		2,16		1,24	Âge du Fe	Mécanique	<input type="checkbox"/>	<input checked="" type="checkbox"/>	65
Fo 200	22		fossé	Trois niveaux de comblement: couche très noire de limon-argileux organique avec nombreux vestiges; couche intermédiaire de limon brun avec nodules de charbon et niveau de limon mêlé au silt (effondrement de paroi?). La couche intermédiaire repéré en S.14 est plus difficile à voir, si elle existe. La Tène finale (D1-D2).		2,05		1,18	Âge du Fe	Manuelle	<input type="checkbox"/>	<input checked="" type="checkbox"/>	50

Villiers-le-Bel "Déviation RD 10/370" - Fouille SDAVO 2009

N°St.	N°Sd	N°Curage	Type St.	Description	Long.	Larg.	Di a.	Prof.	Datation	Fouille	Plan/Coupe	N° de plan	
Fo 200	23		fossé	Entre 0 et 60 cm: couche charbonneuse, très organique avec os brûlé, torchis, charbon et céramique brûlée. Ce niveau évoque une couche d'incendie (abandon?). Même niveau dans les sondages 21, 22 et 19. Profil du fossé en U évasé vers le haut. La Tène finale (D1-D2).		2,40		1,08	Âge du Fe	Manuelle	<input type="checkbox"/>	<input checked="" type="checkbox"/>	49
Fo 200	24		fossé	Dans ce segment se distinguent parfaitement trois couches: entre 0 et 60 cm une couche noire très dense (La Tène finale), puis entre 60 et 80 cm une couche plus brune avec peu de mobilier et de 80 cm jusqu'au fond une couche noire avec du mobilier (La Tène moyenne?). Sens du rejet: apport préférentiel depuis la zone interne de l'enclos.		2 m		1,10	Âge du Fe	Mécanique	<input type="checkbox"/>	<input checked="" type="checkbox"/>	51

Villiers-le-Bel "Déviation RD 10/370" - Fouille SDAVO 2009

N°St.	N°Sd	N°Curage	Type St.	Description	Long.	Larg.	Di a.	Prof.	Datation	Fouille	Plan/Coupe	N° de plan	
Fo 200	25		fossé	Trois niveaux de comblement: limon brun-gris très charbonneux de 0 à 60 cm, limon brun-gris homogène et limon brun-gris mêlé au silt. Une passe de fouille fine dans le niveau supérieur (DC). Présence de calcaire. La Tène finale (D1-D2).		1,88		1,16	Âge du Fe	Manuelle	<input type="checkbox"/>	<input checked="" type="checkbox"/>	72
Fo 200	26		fossé	Le fossé est beaucoup moins dense dans ce secteur. Présence de la couche noire (entre 0 et 60 cm), mais beaucoup moins de vestiges. Trois couches identifiées. La Tène finale (D1-D2).		2 m		1,10	Âge du Fe	Mécanique	<input type="checkbox"/>	<input checked="" type="checkbox"/>	53
Fo 200	27		fossé	Limon brun-gris homogène avec inclusions charbonneuses. Niveau hétérogène, charbonneux entre 30 et 60 cm. Peu de mobilier, il se concentre principalement dans la couche charbonneuse. La Tène finale (D1-D2).		2,20		1,16	Âge du Fe	Mécanique	<input type="checkbox"/>	<input checked="" type="checkbox"/>	55

Villiers-le-Bel "Déviation RD 10/370" - Fouille SDAVO 2009

N° St.	N° Sd	N° Curage	Type St.	Description	Long.	Larg.	Di a.	Prof.	Datation	Fouille	Plan/Coupe	N° de plan	
Fo 200	28		fossé	Profil du fossé en V. Trois niveaux de comblement: limon brun-gris charbonneux (de 0 à 68 cm); limon brun-gris homogène; limon brun-gris mêlé au substrat (effondrement de parois?). Peu de mobilier, il se concentre dans le niveau charbonneux. La Tène finale (D1-D2).		2,04		1,16	Âge du Fer	Mécanique	<input type="checkbox"/>	<input checked="" type="checkbox"/>	56
Fo 200	29		fossé	Seulement deux niveaux de comblement: limon brun-gris homogène avec nodules de charbon et limon brun-gris mêlé au substrat (effondrement de parois?). La niveau charbonneux est absent. Très peu de mobilier, fragments d'os brûlés. La Tène finale (D1-D2).		2,20		1,34	Âge du Fer	Mécanique	<input type="checkbox"/>	<input checked="" type="checkbox"/>	57

Villiers-le-Bel "Déviation RD 10/370" - Fouille SDAVO 2009

N° St.	N° Sd	N° Curage	Type St.	Description	Long.	Larg.	Di a.	Prof.	Datation	Fouille	Plan/Coupe	N° de plan	
Fo 200	30		fossé	Partie est du fossé (orienté N/S), la profondeur du fossé est moins importante que dans sa partie nord. Trois niveaux de comblement: limon brun-gris homogène avec nombreux nodules de charbon (entre 0 et 60 cm); limon brun-gris homogène et stérile, absence de charbon; limon brun-gris mêlé au substrat. Le mobilier est peu abondant, il se concentre dans le premier niveau. Présence d'os brûlé et de calcaire. Le profil est plus resserré à sa base (palissade?). La Tène finale (D1-D2).		1,84		1,08	Âge du Fer	Mécanique	<input type="checkbox"/>	<input checked="" type="checkbox"/>	58
Fo 200	31		fossé	Trois niveaux de comblement, identiques au sondage 30. Peu de mobilier, présence d'un calcaire brûlé dans le premier niveau. La Tène finale (D1-D2).		1,80		1,06	Âge du Fer	Mécanique	<input type="checkbox"/>	<input checked="" type="checkbox"/>	59

Villiers-le-Bel "Déviation RD 10/370" - Fouille SDAVO 2009

N°St.	N°Sd	N°Curage	Type St.	Description	Long.	Larg.	Di a.	Prof.	Datation	Fouille	Plan/Coupe	N° de plan	
Fo 200	32		fossé	Profil du fossé en U évasé avec un resserrement à sa base. Présence d'une palissade? Trois couches se distinguent: limon avec mobilier dans le niveau supérieur; limon stérile; limon mélé au silt. La Tène finale (D1-D2).		1,80		1,20	Âge du Fe	Manuelle	<input type="checkbox"/>	<input checked="" type="checkbox"/>	68
Fo 200	33		fossé	Le profil du fossé en U évasé et resserré à sa base laisse penser à un enclos pallissadé. Trois niveaux de comblement: limon brun-gris homogène avec mobilier et inclusions charbonneuses (0 à 20 cm); puis limon brun-gris homogène et stérile, sans nodules de charbon; limon brun-gris mélé au silt (effondrement de parois). La Tène finale (D1-D2).		2,28		1,26	Âge du Fe	Mécaniqu	<input type="checkbox"/>	<input checked="" type="checkbox"/>	60

Villiers-le-Bel "Déviation RD 10/370" - Fouille SDAVO 2009

N°St.	N°Sd	N°Curage	Type St.	Description	Long.	Larg.	Di a.	Prof.	Datation	Fouille	Plan/Coupe	N° de plan	
Fo 200	34		fossé	Toujours le même profil, resserré à sa base (pallissade?). Trois niveaux de comblements identiques au sondage 33: limon brun-gris homogène avec inclusions charbonneuses et peu de mobilier (0 à 40 cm); limon brun-gris stérile; limon mélé au silt. La Tène finale (D1-D2).		2,20		1,12	Âge du Fe	Mécaniqu	<input type="checkbox"/>	<input checked="" type="checkbox"/>	61
Fo 200	35		fossé	Présence d'un crâne de bœuf à -40 cm. La Tène finale (D1-D2).		1,56		1,03	Âge du Fe	Manuelle	<input type="checkbox"/>	<input checked="" type="checkbox"/>	73
Fo 200	36		fossé	Troujours les trois comblements: limon brun-gris homogène avec nodules de charbon (0 à 55 cm); limon brun-gris sans charbon (55 à 80 cm) et limon mélé au silt (80 à 100cm). Mais ici, le mobilier est présent sur toute la profondeur du sondage (principalement de la faune). Présence d'un calcaire roulé dans la couche supérieure, d'un calcaire roulé et d'un calcaire brûlé dans la couche intermédiaire. La Tène finale (D1-D2).		1,80		1,06	Âge du Fe	Mécaniqu	<input type="checkbox"/>	<input checked="" type="checkbox"/>	62

Villiers-le-Bel "Déviation RD 10/370" - Fouille SDAVO 2009

N° St.	N° Sd	N° Curage	Type St.	Description	Long.	Larg.	Di a.	Prof.	Datation	Fouille	Plan/Coupe	N° de plan	
Fo 200	37		fossé	Toujours le même profil resserré à la base, mais les parois son ici plus évasées. Trois comblements identiques au sondage 36. Mobilier présent sur toute la profondeur du sondage. Présence de torchis dans la couche supérieure. La Tène finale (D1-D2).		2,40		1,16	Âge du Fe	Mécanique	<input type="checkbox"/>	<input checked="" type="checkbox"/>	63
Fo 200	38		fossé	Cinq passes de fouilles manuelles. Passes 3 (70 cm) et 4 (105 cm) : mobilier épars (faune et céramique). Passe 5: à -110 cm démontage d'ossements de bovidé en connexion partielle.					Âge du Fe	Manuelle	<input type="checkbox"/>	<input type="checkbox"/>	
Fo 200	39		fossé	Ce segment du fossé renferme de nombreux vestiges (faune et céramique). Concentration entre 80 et 100 cm sous la surface. Un sujet en connexion. NB: toutes les profondeurs sont mesurées depuis la sommet du labour et non du décapage. La Tène finale (D1-D2).					Âge du Fe	Mécanique	<input type="checkbox"/>	<input type="checkbox"/>	

Viliers-le-Bel "Déviation RD 10/370" - Fouille SDAVO 2009

N° St.	N° Sd	N° Curage	Type St.	Description	Long.	Larg.	Di a.	Prof.	Datation	Fouille	Plan/Coupe	N° de plan	
Fo 200	40		fossé	Passes mécanique jusqu'à 40 cm. Petit sondage manuel au nord localisé dans la concentration charbonneuse. Cette concentration se caractérise par un limon brun-gris moyen compact hétérogène avec fréquentes inclusions charbonneuses de gros nodule et de terre rubéfiée. Présence d'un crâne de bœuf. L'ensemble du comblement du fossé se caractérise par un limon brun-jaune foncé, compact et homogène avec fréquentes inclusions de petits nodules de charbon et de terre rubéfiée. La Tène finale (D1-D2).					Âge du Fe	Manuelle	<input type="checkbox"/>	<input type="checkbox"/>	
Fo 220			fosse	Fossé oblong de forme irrégulière. Comblement: limon brun-gris. Stérile. Limite de la fosse peu claires, en connexion avec Fo 200?	2,97	0,50		0,12	Indétermi	Manuelle	<input checked="" type="checkbox"/>	<input checked="" type="checkbox"/>	23

Viliers-le-Bel "Déviation RD 10/370" - Fouille SDAVO 2009

N°St.	N°Sd	N°Curage	Type St.	Description	Long.	Larg.	Di a.	Prof.	Datation	Fouille	Plan/Coupe	N° de plan
St 239			fosse ou f	Creusement en U avec bords évasés et fond plat. Comblement: limon gris hétérogène avec traces de colluvions et de charbon (très résiduel). Stérile. Structure recoupée par le chemin du coudray, elle n'apparaît pas de l'autre côté.		1 m		0,60	Indétermi	Manuelle	<input checked="" type="checkbox"/> <input checked="" type="checkbox"/>	44-108
TP 210			trou de po	Fosse en U, à bords droit et à fond plat. Comblement: limon brun avec inclusions charbonneuses et tâches blanches (pseudo-mycelium). Stérile.				0,26 0,08	Indétermi	Manuelle	<input checked="" type="checkbox"/> <input checked="" type="checkbox"/>	16-109
TP 212			trou de po	Comblement: limon brun avec nodules de charbon (taille millimétrique) et de terre oxydée. Stérile				0,35 0,18	Indétermi	Manuelle	<input checked="" type="checkbox"/> <input checked="" type="checkbox"/>	34
TP 216			trou de po	Comblement: limon gris sableux. Profil irrégulier avec une marche de 0,10 m de profondeur.				0,25 0,16	Indétermi	Manuelle	<input checked="" type="checkbox"/> <input checked="" type="checkbox"/>	36-103
TP 221			trou de po	Fosse en U à bords droit et fond plat. Comblement: limon brun, homogène et compact. Stérile.				0,34 0,36	Indétermi	Manuelle	<input checked="" type="checkbox"/> <input checked="" type="checkbox"/>	47

Villiers-le-Bel "Déviation RD 10/370" - Fouille SDAVO 2009

N°St.	N°Sd	N°Curage	Type St.	Description	Long.	Larg.	Di a.	Prof.	Datation	Fouille	Plan/Coupe	N° de plan
TP 229			trou de po	Comblement: limon orangé avec nombreux nodules de charbons.	0,47	0,32		0,17	Indétermi	Manuelle	<input checked="" type="checkbox"/> <input checked="" type="checkbox"/>	35-101
TP 232			trou de po	Fosse circulaire aux bords droits et fond plat. Comblement: limon brun-gris avec nodules de charbon et de terre cuite. Structure très arasée et stérile.				0,44 0,08	Indétermi	Manuelle	<input checked="" type="checkbox"/> <input checked="" type="checkbox"/>	38-105
TP 242			trou de po	Comblement: limon argilo-sableux brun marron à jaune moyen, compact et hétérogène. Rares inclusions charbonneuses de taille millimétrique. Stérile.				0,40 0,14	Indétermi	Manuelle	<input checked="" type="checkbox"/> <input checked="" type="checkbox"/>	104
V 233			voie	La voie 233 correspond aux travaux de terrassement de la RD 10. Elle recoupe Fo 200, vraisemblablement au niveau de son interruption.					Contempo	Manuelle	<input type="checkbox"/> <input type="checkbox"/>	

Villiers-le-Bel "Déviation RD 10/370" - Fouille SDAVO 2009

Annexe 13

Inventaire du mobilier **Artefacts et Ecofacts**

Inventaire du mobilier (artefacts)

Matériau	NSTUS	N° sondage	Description	Attribution	NR	NMI Poids (g)	Caisse n°	Boîte n°	Sac n°
alliage cuivr	F 504		monnaie moitié sud - 60 cm, n° restauration : 07/09	Âge du Fer	1	0 3		60	1528
alliage cuivr	F 504		-95 cm, indéterminé	Âge du Fer	1	0 2		64	1462
alliage cuivr	Fo 200	B	0 à -20 cm (sous les céramiques A et B). n° 04/09 (n° de restauration)	Âge du Fer	1	0 2		60	1419
alliage cuivr	Fo 200	B	monnaie n°1 (n° démontage), n° 01/09	Âge du Fer	1	0 2		60	1420
alliage cuivr	Fo 200	38	-30 cm, monnaie n°06/09 (n° de restauration)	Âge du Fer	1	0 2		60	1421
alliage cuivr	Fo 200	3	sous céramique E (n° démontage), monnaie n°03/09 (n° de restauration)	Âge du Fer	1	0 1,03		60	1422
alliage cuivr	Fo 200	O	0 à -20 cm, monnaie n°02/09 (n° de restauration)	Âge du Fer	1	0 3		60	1423

Villiers-le-Bel "Déviation RD 10 / 370" - Fouille SDAVO 2009

Matériau	NSTUS	N° sondage	Description	Attribution	NR	NMI Poids (g)	Caisse n°	Boîte n°	Sac n°
alliage cuivr	Fo 200	I	-50 à -70 cm, monnaie n°05/09 (n° de restauration)	Âge du Fer	1	0 1,73		60	1424
céramique	F 203			Âge du Fer	3	0 28,5		13	456
céramique	F 204		décapage	Âge du Fer	1	0 11,5		13	439
céramique	F 214		-20 cm	Âge du Fer	1	1 9		13	457
céramique	F 241		surface	Âge du Fer	3	0 4		13	437
céramique	F 500		-18 cm	Âge du Fer	1	0 25,5		13	455
céramique	F 500		-10 à -18 cm	Âge du Fer	8	0 60		13	454
céramique	F 500		0 à -10 cm	Âge du Fer	7	0 72		13	438
céramique	F 500		-10 à -18 cm	Âge du Fer	3	0 19		13	441
céramique	F 501		-120 à -140 cm	Âge du Fer	5	0 81		12	425
céramique	F 501		0 à -60 cm	Âge du Fer	3	1 31,5		12	426
céramique	F 501		-60 à -70 cm	Âge du Fer	3	0 153		12	424
céramique	F 501		-17 cm (couche gris foncé)	Âge du Fer	5	0 31,5		12	427

Villiers-le-Bel "Déviation RD 10 / 370" - Fouille SDAVO 2009

Matériau	NSTUS	N° sondage	Description	Attribution	NR	NMI Poids (g)	Caisse n°	Boîte n°	Sac n°
céramique	F 501		-80 à -100 cm moitié nord	Âge du Fer	1	0 5		12	428
céramique	F 501		-35 à -50 cm démontage	Âge du Fer	19	4 240		12	423
céramique	F 501		-140 à -160 cm	Âge du Fer	10	2 291,5		12	430
céramique	F 501		relevé photo n°2	Âge du Fer	5	2 56		12	431
céramique	F 501		-60 à -80cm	Âge du Fer	5	0 75		12	429
céramique	F 501		-60 à -80 cm	Âge du Fer	9	1 70		12	414
céramique	F 501		nettoyage	Âge du Fer	9	0 42,5		12	404
céramique	F 501		décapage	Âge du Fer	2	1 17,5		12	405
céramique	F 501		-230 à -250 cm	Âge du Fer	15	2 1288		12	406
céramique	F 501		-80 à -90 cm	Âge du Fer	12	0 145		12	407
céramique	F 501		-95 cm démontage	Âge du Fer	9	3 218		12	408
céramique	F 501		-35 à -50 cm nettoyage	Âge du Fer	22	4 157		12	409
céramique	F 501		-32 cm	Âge du Fer	9	2 170		12	419
céramique	F 501		-230 à -250 cm	Âge du Fer	8	2 541		12	412

Villiers-le-Bel "Déviation RD 10 / 370" - Fouille SDAVO 2009

Matériau	NSTUS	N° sondage	Description	Attribution	NR	NMI Poids (g)	Caisse n°	Boîte n°	Sac n°
céramique	F 501		-110 cm	Âge du Fer	5	1 41		12	422
céramique	F 501		-60 à -70 cm	Âge du Fer	2	0 51		12	415
céramique	F 501		photos n°1	Âge du Fer	3	1 18		12	416
céramique	F 501		-40 à -60 cm moitié nord	Âge du Fer	6	1 37,5		12	417
céramique	F 501		140 à -160 cm moitié nord	Âge du Fer	1	0 16		12	413
céramique	F 501		décapage	Âge du Fer	1	0 5,5		12	418
céramique	F 501		-220 à -240 cm moitié nord	Âge du Fer	4	1 96		12	420
céramique	F 501		décapage	Âge du Fer	5	1 8		12	421
céramique	F 501		-100 à -120 cm moitié nord	Âge du Fer	4	0 31,5		12	410
céramique	F 501		-80 à -100 cm moitié nord	Âge du Fer	2	1 25		12	411
céramique	F 501		0 à -20 cm, demi nord	Âge du Fer	15	1 44		12	533
céramique	F 501		-10 à -17 cm	Âge du Fer	7	0 19		12	432

Villiers-le-Bel "Déviation RD 10 / 370" - Fouille SDAVO 2009

Matériau	NSTUS	N° sondage	Description	Attribution	NR	NMI P oids (g)	Caisse n°	Boîte n°	Sac n°
céramique	F 501?		hors strati, trouvé dans les remblais	Âge du Fer	1	0 1,5		12	534
céramique	F 502			Contempora	1	0 164		13	449
céramique	F 502		moderne	Contempora	2	0 56		13	452
céramique	F 502		céramique moderne	Contempora	15	0 56,5		13	458
céramique	F 504		-60 à -80 cm moitié sud	Âge du Fer	8	1 56,5		10	341
céramique	F 504		-40 à -60 cm moitié sud	Âge du Fer	19	1 135,5		10	342
céramique	F 504		-140 à -160 cm moitié nord	Âge du Fer	13	3 432		10	343
céramique	F 504		-40 à -60 cm moitié nord	Âge du Fer	35	1 470		10	344
céramique	F 504		-180 à -200 moitié sud	Âge du Fer	1	0 26		10	345
céramique	F 504		-120 à -140 cm moitié sud	Âge du Fer	9	2 150,5		10	346
céramique	F 504		-180 à -200 cm moitié nord	Âge du Fer	7	1 57		10	347
céramique	F 504		-160 à -180 cm moitié sud	Âge du Fer	13	3 415		10	337

Villiers-le-Bel "Déviation RD 10 / 370" - Fouille SDAVO 2009

Matériau	NSTUS	N° sondage	Description	Attribution	NR	NMI P oids (g)	Caisse n°	Boîte n°	Sac n°
céramique	F 504		-200 à -220 cm moitié sud	Âge du Fer	3	0 36,		10	348
céramique	F 504		-100 à -120 cm, moitié sud	Âge du Fer	6	2 87		10	234
céramique	F 504		0 à -20 cm moitié sud	Âge du Fer	17	1 150		10	340
céramique	F 504		-160 à -180 cm moitié nord	Âge du Fer	1	0 47,5		10	338
céramique	F 504		-40 à -60 cm moitié sud	Âge du Fer	15	1 198		10	349
céramique	F 504		-120 à 140 cm moitié nord	Âge du Fer	10	3 287,5		10	336
céramique	F 504		-140 à -160 cm moitié sud	Âge du Fer	11	3 228		10	335
céramique	F 504		-80 à -100 cm moitié nord	Âge du Fer	15	4 297,5		10	334
céramique	F 504		-20 à -40 cm moitié nord	Âge du Fer	28	4 447		10	333
céramique	F 504		moitié nord	Âge du Fer	21	2 166		10	332
céramique	F 504		-60 à -80 cm moitié nord	Âge du Fer	39	9 633,5		10	331

Villiers-le-Bel "Déviation RD 10 / 370" - Fouille SDAVO 2009

Matériau	NSTUS	N° sondage	Description	Attribution	NR	NMI Poids (g)	Caisse n°	Boîte n°	Sac n°
céramique	F 504		-80 à -100 cm moitié sud	Âge du Fer	21	4 296		10	330
céramique	F 504		-250 cm	Âge du Fer	1	0 43,5		10	329
céramique	F 504		0 à -20 cm, moitié sud	Âge du Fer	7	0 125		10	328
céramique	F 504		-100 à -120 cm, moitié nord	Âge du Fer	24	6 286,5		10	327
céramique	F 504		-20 à -40 cm moitié sud	Âge du Fer	14	2 72		10	339
céramique	F 504		-140 cm à -160 cm moitié sud	Âge du Fer	1	0 4		10	544
céramique	Fo 200	Z	-40 à -60 cm	Âge du Fer	68	4 471,5		9	308
céramique	Fo 200	W	-40 à -60 cm (berne)	Âge du Fer	9	0 27		9	305
céramique	Fo 200	T	-80 à -100 cm	Âge du Fer	3	0 7		8	283
céramique	Fo 200	U	-80 à -100cm	Âge du Fer	22	2 285		8	284
céramique	Fo 200	V	0 à -15 cm	Âge du Fer	25	1 389		8	285
céramique	Fo 200	U	-30 cm	Âge du Fer	60	11 780		8	286
céramique	Fo 200	P	0 à -10 cm	Âge du Fer	4	2 97		8	287

Villiers-le-Bel "Déviation RD 10 / 370" - Fouille SDAVO 2009

Matériau	NSTUS	N° sondage	Description	Attribution	NR	NMI Poids (g)	Caisse n°	Boîte n°	Sac n°
céramique	Fo 200	T	0 à -20 cm	Âge du Fer	39	1 206		8	288
céramique	Fo 200	V	-45cm démontage	Âge du Fer	25	2 283		8	289
céramique	Fo 200	V	-50 cm	Âge du Fer	20	2 77,5		8	290
céramique	Fo 200	V	-50 cm démontage	Âge du Fer	13	1 128,5		8	291
céramique	Fo 200	V	-60 cm démontage	Âge du Fer	25	1 490		8	292
céramique	Fo 200	U	-100 cm démontage	Âge du Fer	4	1 255,5		8	281
céramique	Fo 200	Ybis	-40 à -60 cm	Âge du Fer	7	1 57,5		9	307
céramique	Fo 200	X	0 à -20 cm	Âge du Fer	29	1 230		9	309
céramique	Fo 200	X	-10 à -20 cm	Âge du Fer	40	4 404		9	310
céramique	Fo 200	W	-40 cm démontage	Âge du Fer	51	5 593		9	311
céramique	Fo 200	X	-15 cm	Âge du Fer	39	3 452,5		9	312
céramique	Fo 200	Z	nettoyage après curage	Âge du Fer	3	2 41		9	293
céramique	Fo 200	X	-60 à -80 cm	Âge du Fer	24	0 316		9	313
céramique	Fo 200	X	0 à -20 cm	Âge du Fer	15	2 179		9	314

Villiers-le-Bel "Déviation RD 10 / 370" - Fouille SDAVO 2009

Matériau	NSTUS	N° sondage	Description	Attribution	NR	NMI P oids (g)	Caisse n°	Boîte n°	Sac n°
céramique	Fo 200	X	-10 cm démontage	Âge du Fer	83	8 569		9	315
céramique	Fo 200	Y	-40 à -60 cm	Âge du Fer	15	1 130		9	316
céramique	Fo 200	Ybis	0 à -20 cm	Âge du Fer	52	4 481		9	317
céramique	Fo 200	W	-20 à -40 cm	Âge du Fer	6	1 23		9	318
céramique	Fo 200	W	-60 à -75 cm démontage	Âge du Fer	5	1 33		9	306
céramique	Fo 200	V		Âge du Fer	38	2 294		8	272
céramique	Fo 200	X	-40 à -50 cm	Âge du Fer	2	0 58		9	296
céramique	Fo 200	W	0 à -20 cm	Âge du Fer	31	3 254		9	297
céramique	Fo 200	Ybis	nettoyage après pelle	Âge du Fer	34	3 147,5		9	298
céramique	Fo 200	Y	-20 à -40 cm	Âge du Fer	33	2 122,5		9	299
céramique	Fo 200	X	-40 à -60 cm	Âge du Fer	4	0 13		9	300
céramique	Fo 200	Y	-80 à -100 cm	Âge du Fer	8	2 53,5		9	301
céramique	Fo 200	W	-80 à -100 cm (berne)	Âge du Fer	1	0 6		9	302
céramique	Fo 200	W	-60 cm	Âge du Fer	4	1 44,5		9	303

Villiers-le-Bel "Déviation RD 10 / 370" - Fouille SDAVO 2009

Matériau	NSTUS	N° sondage	Description	Attribution	NR	NMI P oids (g)	Caisse n°	Boîte n°	Sac n°
céramique	Fo 200	Ybis	0 à -20 cm	Âge du Fer	21	1 157		9	304
céramique	Fo 200	W	0 à -40 cm (berne)	Âge du Fer	1	1 5		9	294
céramique	Fo 200	Q	-40 à -60 cm	Âge du Fer	3	1 22,5		8	273
céramique	Fo 200	U	décapage surface	Âge du Fer	18	1 78		8	282
céramique	Fo 200	T	-60 à -80 cm	Âge du Fer	11	0 32		8	275
céramique	Fo 200	Ybis	nettoyage surface	Âge du Fer	2	1 37		9	295
céramique	Fo 200	U	surface	Âge du Fer	6	0 7,5		8	276
céramique	Fo 200	U	-80 à -100cm	Âge du Fer	6	1 105		8	271
céramique	Fo 200	U	-40 cm démontage	Âge du Fer	16	2 117		8	270
céramique	Fo 200	V	-70 cm démontage	Âge du Fer	19	1 57,5		8	269
céramique	Fo 200	V	-45 cm	Âge du Fer	8	1 75		8	268
céramique	Fo 200	U	-60 à -80cm	Âge du Fer	1	0 1		8	277
céramique	Fo 200	ybis	-40 cm démontage	Âge du Fer	27	3 281		9	319
céramique	Fo 200	V	-80 à -100cm	Âge du Fer	62	1 79,5		8	278

Villiers-le-Bel "Déviation RD 10 / 370" - Fouille SDAVO 2009

Matériau	NSTUS	N° sondage	Description	Attribution	NR	NMI Poids (g)	Caisse n°	Boîte n°	Sac n°
céramique	Fo 200		-110 à -140 cm angle sud ouest	Âge du Fer	13	0 31		11	381
céramique	Fo 200	U	- 30 à - 55 cm	Âge du Fer	1	0 9,5		8	279
céramique	Fo 200	T	0 à -20 cm	Âge du Fer	13	1 24,5		8	280
céramique	Fo 200	T	-20 à -40 cm	Âge du Fer	11	1 146		8	274
céramique	Fo 200	AG	0 à -20 cm	Âge du Fer	33	0 225		11	403
céramique	Fo 200		-50 à fond angle nord est	Âge du Fer	2	0 2		11	379
céramique	Fo 200	20	-80 à -100 cm	Âge du Fer	5	1 21,5		2	540
céramique	Fo 200	20	-40 à -60 cm	Âge du Fer	1	0 13,5		2	539
céramique	Fo 200	20	-60 à -80 cm	Âge du Fer	7	1 9		2	538
céramique	Fo 200	1	-50 à -70 cm	Âge du Fer	3	0 10,5		1	537
céramique	Fo 200	29	-60 à -80 cm.	Âge du Fer	2	0 4		2	536
céramique	Fo 200	1	-80 cm bougé en fouille	Âge du Fer	5	0 41,5		1	463
céramique	Fo 200	1	-40 à -50 cm	Âge du Fer	3	1 10,5		1	542

Villiers-le-Bel "Déviation RD 10 / 370" - Fouille SDAVO 2009

Matériau	NSTUS	N° sondage	Description	Attribution	NR	NMI Poids (g)	Caisse n°	Boîte n°	Sac n°
céramique	Fo 200		décapage est	Âge du Fer	13	0 61		11	440
céramique	Fo 200	19	-20 à -40 cm	Âge du Fer	1	0 4		2	543
céramique	Fo 200	AB	-60 à -80 cm	Âge du Fer	16	0 70,5		11	402
céramique	Fo 200		-30 à -40 cm angle nord est	Âge du Fer	4	0 73		11	401
céramique	Fo 200		-30 à -40 cm angle sud ouest	Âge du Fer	15	0 17,5		11	400
céramique	Fo 200		-80 à -100 cm berme angle sud ouest	Âge du Fer	7	1 114,5		11	399
céramique	Fo 200	AF	0 à -20 cm	Âge du Fer	16	1 44		11	398
céramique	Fo 200		-30 à -40 cm angle sud ouest	Âge du Fer	11	0 73,5		11	397
céramique	Fo 200		bord est	Âge du Fer	2	0 12		11	396
céramique	Fo 200	36	-80 à -100 cm	Âge du Fer	2	0 17		3	462
céramique	Fo 200	2	-20 à -40 cm	Âge du Fer	1	0 3		1	552
céramique	Fo 200	Y bis	-60 cm à -80 cm	Âge du Fer	1	0 5		9	561

Villiers-le-Bel "Déviation RD 10 / 370" - Fouille SDAVO 2009

Matériau	NSTUS	N° sondage	Description	Attribution	NR	NMI P oids (g)	Caisse n°	Boîte n°	Sac n°
céramique	Fo 200	M	-65 cm	Âge du Fer	1	0 12		7	560
céramique	Fo 200	38	-110 cm (bougé en fouille)	Âge du Fer	6	1 81,5		3	559
céramique	Fo 200	A	-80 cm	Âge du Fer	2	0 21		7	558
céramique	Fo 200	H	-30 cm à -35 cm (céram sous crâne bœuf)	Âge du Fer	6	1 30,5		7	557
céramique	Fo 200	A	-70 cm	Âge du Fer	22	2 109		7	556
céramique	Fo 200	39	0 à -20 cm. Sous chemin bord Est	Âge du Fer	2	0 3		3	555
céramique	Fo 200	21	-80 à -100 cm	Âge du Fer	2	0 4		2	541
céramique	Fo 200	S	-60 à -80 cm	Âge du Fer	5	0 5,5		8	553
céramique	Fo 200	AF	-20 à -25 cm	Âge du Fer	3	1 21		11	393
céramique	Fo 200	8	-80 cm à -100 cm	Âge du Fer	2	0 13		1	551
céramique	Fo 200	32	-50 cm à -60 cm démontage	Âge du Fer	1	0 4		3	550
céramique	Fo 200	O	-40 cm à -60 cm	Âge du Fer	1	0 4,5		7	549

Villiers-le-Bel "Déviation RD 10 / 370" - Fouille SDAVO 2009

Matériau	NSTUS	N° sondage	Description	Attribution	NR	NMI P oids (g)	Caisse n°	Boîte n°	Sac n°
céramique	Fo 200	V	-40 cm démontage	Âge du Fer	1	0 5		8	548
céramique	Fo 200	X	Passe photo démontage -15cm	Âge du Fer	1	0 2		9	547
céramique	Fo 200	Y bis	-40 cm démontage	Âge du Fer	2	0 3,5		9	546
céramique	Fo 200	Y bis	-20 cm à -40 cm nettoyage	Âge du Fer	9	1 13,5		9	545
céramique	Fo 200	B	-40 à -60 cm	Âge du Fer	2	1 20		6	554
céramique	Fo 200	AD	-40 à -60 cm	Âge du Fer	4	0 15,5		11	364
céramique	Fo 200	AA	-40 à -60 cm	Âge du Fer	14	0 24		11	373
céramique	Fo 200	AF	-30 à -35 cm	Âge du Fer	15	1 23		11	372
céramique	Fo 200	AI	0 à -20 cm	Âge du Fer	14	0 35		11	371
céramique	Fo 200	AF	-30 à -35 cm démontage	Âge du Fer	21	2 261,5		11	370
céramique	Fo 200	angle NE	-30 à -40 cm, angle nord est	Âge du Fer	2	1 12,5		11	369
céramique	Fo 200	AE	-20 à -40 cm	Âge du Fer	2	0 1		11	368
céramique	Fo 200	AF	-20 à -25 cm	Âge du Fer	4	0 28		11	367

Villiers-le-Bel "Déviation RD 10 / 370" - Fouille SDAVO 2009

Matériau	NSTUS	N° sondage	Description	Attribution	NR	NMI Poids (g)	Caisse n°	Boîte n°	Sac n°
céramique	Fo 200		-50 à -60 cm, angle nord est sommet couche noire	Âge du Fer	2	0 149,5		11	395
céramique	Fo 200	AB	-20 à -40 cm	Âge du Fer	9	0 43		11	365
céramique	Fo 200	AJ	-20 à -40 cm	Âge du Fer	16	0 51		11	376
céramique	Fo 200	AD	-20 à -40 cm	Âge du Fer	15	2 102,5		11	363
céramique	Fo 200	Y	0 à -20 cm	Âge du Fer	44	2 157		9	326
céramique	Fo 200	X	-40 à -60 cm	Âge du Fer	30	4 169		9	325
céramique	Fo 200	Z	-20 à -40 cm	Âge du Fer	46	1 352,5		9	324
céramique	Fo 200	Y	-60 à -80 cm	Âge du Fer	22	1 118,5		9	323
céramique	Fo 200	X	-40 à -50 cm céramique bougée	Âge du Fer	4	0 5		9	322
céramique	Fo 200	X	-10 cm démontage	Âge du Fer	31	4 597		9	321
céramique	Fo 200	AE	-40 à -60 cm	Âge du Fer	1	0 1		11	366
céramique	Fo 200		angle sud ouest	Âge du Fer	7	0 37		11	384
céramique	Fo 200	Z	-20 cm	Âge du Fer	1	0 1		9	320

Villiers-le-Bel "Déviation RD 10 / 370" - Fouille SDAVO 2009

Matériau	NSTUS	N° sondage	Description	Attribution	NR	NMI Poids (g)	Caisse n°	Boîte n°	Sac n°
céramique	Fo 200		bordure nord nettoyage surface	Âge du Fer	5	1 18,5		11	392
céramique	Fo 200	AA	0 à -20 cm	Âge du Fer	11	0 41,5		11	391
céramique	Fo 200	AF	sous passe 3	Âge du Fer	42	3 417		11	390
céramique	Fo 200	AE	0 à -20 cm	Âge du Fer	11	0 33,5		11	389
céramique	Fo 200		décapage est	Âge du Fer	11	1 82,5		11	388
céramique	Fo 200		bordure nord est	Âge du Fer	7	0 34,5		11	387
céramique	Fo 200	AD	0 à -20 cm	Âge du Fer	15	1 34		11	374
céramique	Fo 200		nord nettoyage surface	Âge du Fer	4	1 30		11	385
céramique	Fo 200		Est nettoyage de surface	Âge du Fer	4	1 30		11	375
céramique	Fo 200		HC	Âge du Fer	10	1 29		11	383
céramique	Fo 200		bordure ouest décapage	Âge du Fer	1	0 3		11	382
céramique	Fo 200	M	-40 à -60 cm	Âge du Fer	4	1 113		7	221
céramique	Fo 200	AF	-35 à -40 cm	Âge du Fer	21	3 74		11	380

Villiers-le-Bel "Déviation RD 10 / 370" - Fouille SDAVO 2009

Matériau	NSTUS	N° sondage	Description	Attribution	NR	NMI Poids (g)	Caisse n°	Boîte n°	Sac n°
céramique	Fo 200	P	0 à -20 cm	Âge du Fer	3	0 18,5		8	267
céramique	Fo 200		décapage secteur enclos	Âge du Fer	7	0 46		11	378
céramique	Fo 200	AF	-40 à -60 cm	Âge du Fer	9	0 32		11	377
céramique	Fo 200	AF	-20 à -30 cm	Âge du Fer	7	1 37		11	394
céramique	Fo 200		-30 à -40 cm, angle nord est couche noire	Âge du Fer	10	1 13		11	386
céramique	Fo 200	B	-30 cm démontage	Âge du Fer	31	1 400		6	162
céramique	Fo 200	B	n°13	Âge du Fer	8	0 32		6	172
céramique	Fo 200	B	n°11	Âge du Fer	2	0 24		6	171
céramique	Fo 200	B	n°16	Âge du Fer	1	0 21		6	170
céramique	Fo 200	B	n°18	Âge du Fer	1	1 44		6	169
céramique	Fo 200	B	-40 à -60 cm	Âge du Fer	4	0 4		6	168
céramique	Fo 200	B	n°7	Âge du Fer	6	1 24		6	167
céramique	Fo 200	B	n°38b	Âge du Fer	3	0 27		6	166
céramique	Fo 200	B	-40 cm démontage	Âge du Fer	4	0 21		6	165

Villiers-le-Bel "Déviation RD 10 / 370" - Fouille SDAVO 2009

Matériau	NSTUS	N° sondage	Description	Attribution	NR	NMI Poids (g)	Caisse n°	Boîte n°	Sac n°
céramique	Fo 200	B	0 à -20 cm (n°E)	Âge du Fer	1	2 175		6	153
céramique	Fo 200	B	n°39	Âge du Fer	1	0 80		6	163
céramique	Fo 200	B	n°11	Âge du Fer	6	0 16		6	175
céramique	Fo 200	B	-40 cm	Âge du Fer	40	6 495		6	161
céramique	Fo 200	B	-80 à -100 cm	Âge du Fer	7	0 195		6	160
céramique	Fo 200	B	n°40	Âge du Fer	3	0 52		6	159
céramique	Fo 200	B	n°30a	Âge du Fer	1	0 113		6	158
céramique	Fo 200	B	céramiques bougées	Âge du Fer	80	1 368		6	157
céramique	Fo 200	B	0 à -20 cm (n°G)	Âge du Fer	40	0 810		6	156
céramique	Fo 200	B	0 à -20 cm (n°A)	Âge du Fer	4	1 184		6	155
céramique	Fo 200	B	n°25	Âge du Fer	6	0 45		6	195
céramique	Fo 200	B	-60 à -80 cm	Âge du Fer	22	0 69		6	164
céramique	Fo 200	B	-80 cm démontage	Âge du Fer	10	2 72		6	184
céramique	Fo 200	A	0 à -20 cm	Âge du Fer	5	1 50		7	223

Villiers-le-Bel "Déviation RD 10 / 370" - Fouille SDAVO 2009

Matériau	NSTUS	N°sondage	Description	Attribution	NR	NMI Poids (g)	Caisse n°	Boîte n°	Sac n°
céramique	Fo 200	B	n°12	Âge du Fer	2	0 10		6	193
céramique	Fo 200	B	n°14	Âge du Fer	8	0 30		6	192
céramique	Fo 200	B	n°22	Âge du Fer	5	0 64		6	191
céramique	Fo 200	B	céramiques bougées	Âge du Fer	28	1 85		6	190
céramique	Fo 200	B	n°5	Âge du Fer	2	0 33		6	189
céramique	Fo 200	B	n°12	Âge du Fer	24	0 88		6	188
céramique	Fo 200	B	n°17	Âge du Fer	6	0 13		6	187
céramique	Fo 200	B	0 à -20 cm (n°H) vrac	Âge du Fer	28	2 242		6	173
céramique	Fo 200	B	n°26	Âge du Fer	23	0 129		6	185
céramique	Fo 200	B	sous passe n°4	Âge du Fer	8	1 28		6	174
céramique	Fo 200	B	n°15	Âge du Fer	1	0 12		6	183
céramique	Fo 200	B	n°24	Âge du Fer	2	0 34		6	182
céramique	Fo 200	B	n°29	Âge du Fer	6	1 57		6	181
céramique	Fo 200	B	n°8	Âge du Fer	1	1 60		6	180

Villiers-le-Bel "Déviation RD 10 / 370" - Fouille SDAVO 2009

Matériau	NSTUS	N°sondage	Description	Attribution	NR	NMI Poids (g)	Caisse n°	Boîte n°	Sac n°
céramique	Fo 200	B	n°38c	Âge du Fer	12	1 77		6	179
céramique	Fo 200	B	0 à -20 cm (n°B)	Âge du Fer	8	0 24		6	178
céramique	Fo 200	B	n°6	Âge du Fer	1	1 8		6	177
céramique	Fo 200	B	n°5	Âge du Fer	2	0 17		6	176
céramique	Fo 200	B	n°28	Âge du Fer	27	0 425		6	152
céramique	Fo 200	B	0 à -20 cm (n°F)	Âge du Fer	1	0 28		6	186
céramique	Fo 200	M	-20 à -40 cm	Âge du Fer	1	0 29		7	239
céramique	Fo 200	L	surface	Âge du Fer	10	0 21		7	249
céramique	Fo 200	A	-60 à -80 cm	Âge du Fer	8	1 86		7	248
céramique	Fo 200	A	-80 cm, moitié ouest (n°38)	Âge du Fer	1	0 7		7	247
céramique	Fo 200	L	0 à -20 cm	Âge du Fer	15	2 55		7	246
céramique	Fo 200	M	0 à -20 cm	Âge du Fer	9	2 115,5		7	245
céramique	Fo 200	G	-20 à -30 cm	Âge du Fer	6	1 75,5		7	244
céramique	Fo 200	H		Âge du Fer	1	0 5,5		7	243

Villiers-le-Bel "Déviation RD 10 / 370" - Fouille SDAVO 2009

Matériau	NSTUS	N° sondage	Description	Attribution	NR	NMI Poids (g)	Caisse n°	Boîte n°	Sac n°
céramique	Fo 200	J	0 à -20 cm	Âge du Fer	12	1 33,5		7	242
céramique	Fo 200	B	-20 à -40 cm	Âge du Fer	11	1 140		6	154
céramique	Fo 200	N	-20 à -40 cm	Âge du Fer	61	4 296		7	240
céramique	Fo 200	O	-20 à -40 cm	Âge du Fer	22	1 79		7	252
céramique	Fo 200	D	-60 à -80 cm	Âge du Fer	40	1 112,5		7	238
céramique	Fo 200	F	-10 cm	Âge du Fer	1	0 8		7	237
céramique	Fo 200	G	0 à -20 cm	Âge du Fer	18	0 70		7	236
céramique	Fo 200	F	-8 cm	Âge du Fer	6	0 13,5		7	235
céramique	Fo 200	H	-25 cm	Âge du Fer	13	0 64		7	233
céramique	Fo 200	L	-60 à -80 cm	Âge du Fer	1	1 9		7	232
céramique	Fo 200	N	-40 à -60 cm	Âge du Fer	4	0 12,5		7	231
céramique	Fo 200	J	-40 à -60 cm	Âge du Fer	12	0 19,5		7	230
céramique	Fo 200	A	-80 cm, moitié ouest	Âge du Fer	2	0 6		7	241
céramique	Fo 200	1	-60 cm	Âge du Fer	5	0 11		1	4

Villiers-le-Bel "Déviation RD 10 / 370" - Fouille SDAVO 2009

Matériau	NSTUS	N° sondage	Description	Attribution	NR	NMI Poids (g)	Caisse n°	Boîte n°	Sac n°
céramique	Fo 200	3	n°1	Âge du Fer	4	1 78		5	151
céramique	Fo 200	3	n°B fond sous le vase balustre	Âge du Fer	5	1 78		5	150
céramique	Fo 200	3/B	en surface	Âge du Fer	5	0 17		5	149
céramique	Fo 200	3	0 à -20 cm	Âge du Fer	5	0 39		5	148
céramique	Fo 200	3/B	céramiques bougées	Âge du Fer	51	1 154		5	147
céramique	Fo 200	1	démontage -65 cm	Âge du Fer	6	2 77		1	9
céramique	Fo 200	2	passé 3b	Âge du Fer	3	0 34		1	8
céramique	Fo 200	1	-30 cm	Âge du Fer	3	0 9		1	7
céramique	Fo 200	E	bougé a la fouille	Âge du Fer	4	0 7		7	250
céramique	Fo 200	1	-64 cm démontage	Âge du Fer	8	1 23		1	5
céramique	Fo 200	O	0 à -20 cm	Âge du Fer	218	10 959,5		7	251
céramique	Fo 200	1	0 à -10 cm	Âge du Fer	7	1 19		1	3
céramique	Fo 200	2	-40 à -60 cm	Âge du Fer	33	1 366		1	2
céramique	Fo 200	1	-80 cm (n°X)	Âge du Fer	28	1 557		1	1

Villiers-le-Bel "Déviation RD 10 / 370" - Fouille SDAVO 2009

Matériau	NSTUS	N° sondage	Description	Attribution	NR	NMI Poids (g)	Caisse n°	Boîte n°	Sac n°
céramique	Fo 200	C	-100 à -120 cm	Âge du Fer	2	0 78,5		7	257
céramique	Fo 200	G	0 à -20 cm	Âge du Fer	31	0 86		7	256
céramique	Fo 200	A	-20 à -40 cm	Âge du Fer	124	2 255,5		7	255
céramique	Fo 200	A bis		Âge du Fer	4	1 13		7	254
céramique	Fo 200	D	-80 à -100 cm	Âge du Fer	40	1 202,5		7	253
céramique	Fo 200	B	0 à -20 cm	Âge du Fer	1	0 2		6	196
céramique	Fo 200	1	-50 cm	Âge du Fer	10	0 90		1	6
céramique	Fo 200	AH	surface décapage	Âge du Fer	4	1 42,5		11	355
céramique	Fo 200	N	-20 cm	Âge du Fer	9	1 25		7	213
céramique	Fo 200	B	n°10	Âge du Fer	1	0 9		6	212
céramique	Fo 200	B	-20 à -40 cm	Âge du Fer	8	1 69		6	211
céramique	Fo 200	AC	0 à -20 cm	Âge du Fer	3	0 39		11	362
céramique	Fo 200	AA	-20 à -40 cm	Âge du Fer	3	0 15,5		11	361
céramique	Fo 200	AG	-20 à -40 cm	Âge du Fer	13	1 74		11	360

Villiers-le-Bel "Déviation RD 10 / 370" - Fouille SDAVO 2009

Matériau	NSTUS	N° sondage	Description	Attribution	NR	NMI Poids (g)	Caisse n°	Boîte n°	Sac n°
céramique	Fo 200	AI	-20 à -40 cm	Âge du Fer	12	1 64,5		11	359
céramique	Fo 200		bordure est ouest	Âge du Fer	2	1 20,5		11	358
céramique	Fo 200	16	-40 à -60 cm	Âge du Fer	2	0 16		1	38
céramique	Fo 200	AH	0 à -20 cm	Âge du Fer	6	1 36,5		11	356
céramique	Fo 200	F	-20 à -40 cm	Âge du Fer	17	1 35		7	216
céramique	Fo 200	AI	-40 à -60 cm	Âge du Fer	6	0 25,5		11	354
céramique	Fo 200	AH	-40 à -60 cm	Âge du Fer	3	0 0,5		11	353
céramique	Fo 200		côté est décapage	Âge du Fer	2	0 17		11	352
céramique	Fo 200		0 à -20 cm angle nord est	Âge du Fer	5	1 43,5		11	351
céramique	Fo 200	AK	-20 à -40 cm	Âge du Fer	1	1 115		11	350
céramique	Fo 200	13	-10 à -20 cm	Âge du Fer	35	0 37		1	41
céramique	Fo 200	1	-90 cm (sondage manuel)	Âge du Fer	4	0 19		1	40
céramique	Fo 200	B	n°38e	Âge du Fer	3	0 24		6	194

Villiers-le-Bel "Déviation RD 10 / 370" - Fouille SDAVO 2009

Matériau	NSTUS	N° sondage	Description	Attribution	NR	NMI Poids (g)	Caisse n°	Boîte n°	Sac n°
céramique	Fo 200		-60 cm sud est	Âge du Fer	1	0 0,5		11	357
céramique	Fo 200	A	-40 à -60 cm (n°4)	Âge du Fer	1	0 3		7	225
céramique	Fo 200	U	-60 à -80cm	Âge du Fer	5	0 10		8	265
céramique	Fo 200	T	-20 à -40 cm	Âge du Fer	9	2 57,5		8	263
céramique	Fo 200	P	-60 à -80 cm	Âge du Fer	2	1 23,5		8	262
céramique	Fo 200	M	-60 à -80 cm	Âge du Fer	27	0 57,5		7	261
céramique	Fo 200	C	-40 à -60 cm	Âge du Fer	41	3 535,5		7	260
céramique	Fo 200	C	-60 à -80 cm	Âge du Fer	54	2 308		7	259
céramique	Fo 200	D	-20 à -40 cm	Âge du Fer	13	1 938		7	258
céramique	Fo 200	K	-20 à -40 cm	Âge du Fer	5	0 12		7	228
céramique	Fo 200	A	-40 à -50 cm (n°A)	Âge du Fer	2	0 10		7	214
céramique	Fo 200	C	0 à -20 cm	Âge du Fer	10	1 98		7	226
céramique	Fo 200	F	-60 à -80 cm	Âge du Fer	2	0 1		7	215
céramique	Fo 200	A	-40 à -60 cm	Âge du Fer	39	3 229		7	224

Villiers-le-Bel "Déviation RD 10 / 370" - Fouille SDAVO 2009

Matériau	NSTUS	N° sondage	Description	Attribution	NR	NMI Poids (g)	Caisse n°	Boîte n°	Sac n°
céramique	Fo 200	M	0 à -20 cm	Âge du Fer	2	0 1,5		7	229
céramique	Fo 200	N	-60 cm	Âge du Fer	6	0 42		7	222
céramique	Fo 200	Q	-80 cm à -100 cm	Âge du Fer	1	0 10		8	563
céramique	Fo 200	M	-60 à -80 cm	Âge du Fer	3	0 13		7	220
céramique	Fo 200	N	nettoyage de surface	Âge du Fer	30	1 185		7	219
céramique	Fo 200	J	-20 à -40 cm	Âge du Fer	11	1 35		7	218
céramique	Fo 200	I	-20 à -40 cm	Âge du Fer	2	0 13		7	217
céramique	Fo 200	13	-20 à -40 cm	Âge du Fer	3	1 13		1	37
céramique	Fo 200	C	-20 à -40 cm	Âge du Fer	5	0 5		7	227
céramique	Fo 200	B	n°9	Âge du Fer	9	0 53		6	205
céramique	Fo 200	2	-45 cm	Âge du Fer	1	0 1		1	14
céramique	Fo 200	2	passé 3a démontage	Âge du Fer	35	0 120		1	13
céramique	Fo 200	2	-50 cm	Âge du Fer	15	2 158		1	12
céramique	Fo 200	2	-20 à -40 cm	Âge du Fer	7	2 78		1	11

Villiers-le-Bel "Déviation RD 10 / 370" - Fouille SDAVO 2009

Matériau	NSTUS	N° sondage	Description	Attribution	NR	NMI Poids (g)	Caisse n°	Boîte n°	Sac n°
céramique	Fo 200	2	0 à -20 cm	Âge du Fer	8	2 44		1	10
céramique	Fo 200	B	n°38	Âge du Fer	12	1 46		6	210
céramique	Fo 200	B		Âge du Fer	13	1 136		6	209
céramique	Fo 200	B	n°9	Âge du Fer	4	0 20		6	208
céramique	Fo 200	16	-20 à -40 cm	Âge du Fer	7	2 16		1	39
céramique	Fo 200	B	0 à -20 cm (n°C)	Âge du Fer	6	1 39		6	206
céramique	Fo 200	13	-20 cm	Âge du Fer	46	3 715		1	17
céramique	Fo 200	B	0 à -20 cm (n°D)	Âge du Fer	1	0 70		6	204
céramique	Fo 200	B	-20 cm nettoyage de surface	Âge du Fer	25	0 76		6	203
céramique	Fo 200	B	-30 cm	Âge du Fer	33	0 161		6	202
céramique	Fo 200	B	n°27	Âge du Fer	12	1 38		6	201
céramique	Fo 200	B	-40 cm démontage céramiques bougées	Âge du Fer	11	0 19		6	200
céramique	Fo 200	B	n°23	Âge du Fer	2	0 53		6	199

Villiers-le-Bel "Déviation RD 10 / 370" - Fouille SDAVO 2009

Matériau	NSTUS	N° sondage	Description	Attribution	NR	NMI Poids (g)	Caisse n°	Boîte n°	Sac n°
céramique	Fo 200	B	n°38d	Âge du Fer	10	0 30		6	198
céramique	Fo 200	B	n°10	Âge du Fer	3	1 4		6	197
céramique	Fo 200	B	-60 à -80 cm	Âge du Fer	16	0 147		6	207
céramique	Fo 200	9	0 à -20 cm	Âge du Fer	14	0 17		1	26
céramique	Fo 200	11	-20 à -40 cm, moitié sud	Âge du Fer	5	0 13		1	36
céramique	Fo 200	17	-20 à -40 cm	Âge du Fer	3	0 28		1	35
céramique	Fo 200	5	-20 à -40 cm	Âge du Fer	1	0 21		1	34
céramique	Fo 200	15	0 à -20 cm	Âge du Fer	26	1 53		1	33
céramique	Fo 200	4	-40 à -60 cm	Âge du Fer	1	0 10		1	32
céramique	Fo 200	8	-60 à -80 cm	Âge du Fer	8	1 18		1	31
céramique	Fo 200	8	0 à -20 cm	Âge du Fer	5	4 23		1	30
céramique	Fo 200	7	0 à -20 cm	Âge du Fer	6	1 22		1	29
céramique	Fo 200	2	-60 à -80 cm	Âge du Fer	38	2 166		1	15
céramique	Fo 200	1	-80 cm (n°z)	Âge du Fer	5	1 39		1	27

Villiers-le-Bel "Déviation RD 10 / 370" - Fouille SDAVO 2009

Matériau	NSTUS	N° sondage	Description	Attribution	NR	NMI Poids (g)	Caisse n°	Boîte n°	Sac n°
céramique	Fo 200	13	-20 à -40 cm	Âge du Fer	50	5 355		1	16
céramique	Fo 200	14	0 à -20 cm	Âge du Fer	10	0 18		1	25
céramique	Fo 200	5	-40 à -60 cm	Âge du Fer	1	1 82		1	24
céramique	Fo 200	14	-20 à -40cm	Âge du Fer	17	0 52		1	23
céramique	Fo 200	2	-40 cm démontage fond complet	Âge du Fer	18	2 133		1	22
céramique	Fo 200	12	-50 cm	Âge du Fer	5	0 3		1	21
céramique	Fo 200	12	-40 à -60 cm	Âge du Fer	4	0 11		1	20
céramique	Fo 200	6	-40 à -60 cm	Âge du Fer	35	1 111		1	19
céramique	Fo 200	13	0 à -20 cm	Âge du Fer	70	4 223		1	18
céramique	Fo 200	S	-60 à -80 cm	Âge du Fer	9	0 102		8	266
céramique	Fo 200	5	0 à -20 cm	Âge du Fer	8	1 72		1	28
céramique	Fo 200	40	-40 cm	Âge du Fer	4	0 9		3	103
céramique	Fo 200	38	-70 cm démontage	Âge du Fer	33	7 664		3	92

Villiers-le-Bel "Déviation RD 10 / 370" - Fouille SDAVO 2009

Matériau	NSTUS	N° sondage	Description	Attribution	NR	NMI Poids (g)	Caisse n°	Boîte n°	Sac n°
céramique	Fo 200	37	surface décapage (photos 16/06/09)	Âge du Fer	17	0 17		3	93
céramique	Fo 200	37	0 à -20 cm	Âge du Fer	21	1 68		3	94
céramique	Fo 200	37	-20 à -40 cm	Âge du Fer	4	0 13		3	95
céramique	Fo 200	31	0 à -20 cm	Âge du Fer	1	0 9		3	96
céramique	Fo 200	38		Âge du Fer	6	0 37		3	97
céramique	Fo 200	32	-60 à -80 cm	Âge du Fer	4	0 9		3	98
céramique	Fo 200	32	-50 à -60 cm démontage	Âge du Fer	20	1 151		3	99
céramique	Fo 200	39	-90 cm sous chemin bord Est	Âge du Fer	55	1 156		3	100
céramique	Fo 200	A	-80 à -100 cm	Âge du Fer	3	0 5,5		7	508
céramique	Fo 200	30	0 à -20 cm	Âge du Fer	4	0 28		3	102
céramique	Fo 200	40	-40 à -60 cm	Âge du Fer	36	4 332		3	89
céramique	Fo 200	38	-30 à -50 cm	Âge du Fer	16	3 79		3	104
céramique	Fo 200	40	-40 à -60 cm	Âge du Fer	27	1 150		3	105

Villiers-le-Bel "Déviation RD 10 / 370" - Fouille SDAVO 2009

Matériau	NSTUS	N°sondage	Description	Attribution	NR	NMI Poids (g)	Caisse n°	Boîte n°	Sac n°
céramique	Fo 200	40	-60 à -80 cm	Âge du Fer	1	0 11		3	106
céramique	Fo 200	35	0 à -20 cm	Âge du Fer	3	1 11		3	107
céramique	Fo 200	33	0 à -20 cm	Âge du Fer	3	0 35		3	108
céramique	Fo 200	40	-20 à -40 cm	Âge du Fer	5	0 23		3	109
céramique	Fo 200	40		Âge du Fer	18	2 68		3	110
céramique	Fo 200	39	sous chemin bord sud	Âge du Fer	6	1 81		3	111
céramique	Fo 200	32	0 à -20 cm	Âge du Fer	14	1 18		3	112
céramique	Fo 200	39	-80 à -100 cm sous chemin bord Est	Âge du Fer	20	0 35		3	101
céramique	Fo 200	18	-40 à -60 cm	Âge du Fer	26	1 68		2	79
céramique	Fo 200	F	-40 à -60 cm	Âge du Fer	9	0 7,5		7	509
céramique	Fo 200	A	-40 à -60 cm	Âge du Fer	6	0 20		7	510
céramique	Fo 200	C	-80 à -100 cm	Âge du Fer	2	0 6		7	511
céramique	Fo 200	A	demi ouest (n°45)	Âge du Fer	3	4 4		7	512
céramique	Fo 200	C	-100 à -120 cm (n°1)	Âge du Fer	1	0 2		7	513

Villiers-le-Bel "Déviation RD 10 / 370" - Fouille SDAVO 2009

Matériau	NSTUS	N°sondage	Description	Attribution	NR	NMI Poids (g)	Caisse n°	Boîte n°	Sac n°
céramique	Fo 200	C	-100 à -120 cm	Âge du Fer	16	1 112		7	514
céramique	Fo 200	G	-50 cm	Âge du Fer	4	0 6,5		7	515
céramique	Fo 200	B	-40 à -60 cm	Âge du Fer	1	0 3,5		6	516
céramique	Fo 200	B	-40 à -60 cm	Âge du Fer	6	0 30		6	517
céramique	Fo 200	40	0 à -20 cm	Âge du Fer	28	1 176		3	91
céramique	Fo 200	P	-20 à -40 cm	Âge du Fer	1	0 5,5		8	519
céramique	Fo 200	32	-50 à -60 cm	Âge du Fer	64	7 595		3	90
céramique	Fo 200	25	-80 à -100cm	Âge du Fer	19	1 111		2	80
céramique	Fo 200	23	-60 à -80 cm	Âge du Fer	1	0 39		2	81
céramique	Fo 200	22	-40 à -60 cm	Âge du Fer	9	0 18		2	82
céramique	Fo 200	22		Âge du Fer	17	0 90		2	83
céramique	Fo 200	24	-60 à -80 cm	Âge du Fer	4	0 13		2	84
céramique	Fo 200	26	-20 à -40 cm	Âge du Fer	32	0 63		2	85
céramique	Fo 200	24	-80 à -100 cm couche n°3	Âge du Fer	24	1 44		2	86

Villiers-le-Bel "Déviation RD 10 / 370" - Fouille SDAVO 2009

Matériau	NSTUS	N° sondage	Description	Attribution	NR	NMI P oids (g)	Caisse n°	Boîte n°	Sac n°
céramique	Fo 200	32	-26 cm démontage	Âge du Fer	30	1 330		3	87
céramique	Fo 200	40	-20 à -40 cm	Âge du Fer	95	3 563		3	88
céramique	Fo 200	32	-30 à -40 cm	Âge du Fer	14	1 120		3	115
céramique	Fo 200	V	-50 à -60 cm	Âge du Fer	1	0 65		8	518
céramique	Fo 200	Y bis	-80 à -100 cm	Âge du Fer	1	1 236		9	523
céramique	Fo 200	32	0 à -20 cm	Âge du Fer	4	0 7		3	113
céramique	Fo 200	3	0 -20 cm	Âge du Fer	3	1 34		4	140
céramique	Fo 200	3	n°35	Âge du Fer	4	0 25		4	141
céramique	Fo 200	3/B	démontage (n°1-31, 36, 41-44, 46-53) les numéros manquant sont enregistrés à part. 3 sacs enregistrés sous le même numéro	Âge du Fer	262	16 3420		5	142
céramique	Fo 200	3	0 à -20 cm démontage	Âge du Fer	14	1 426		5	143
céramique	Fo 200	B	céramique bougée	Âge du Fer	85	1 239		5	144

Villiers-le-Bel "Déviation RD 10 / 370" - Fouille SDAVO 2009

Matériau	NSTUS	N° sondage	Description	Attribution	NR	NMI P oids (g)	Caisse n°	Boîte n°	Sac n°
céramique	Fo 200	B	n°20	Âge du Fer	10	0 158		5	145
céramique	Fo 200	3	n°32	Âge du Fer	4	0 133		5	146
céramique	Fo 200	V	-15 à -20 cm	Âge du Fer	8	1 23,5		8	520
céramique	Fo 200	3	0à -20 cm (n°K)	Âge du Fer	12	0 67		4	138
céramique	Fo 200	P	-40 à -60 cm	Âge du Fer	1	0 2		8	522
céramique	Fo 200	3	n°33	Âge du Fer	1	0 44		4	137
céramique	Fo 200	Y bis		Âge du Fer	5	1 7,5		9	524
céramique	Fo 200	U	-5 cm	Âge du Fer	14	1 223,5		9	525
céramique	Fo 200	Y bis	démontage	Âge du Fer	54	6 505,5		9	526
céramique	Fo 200	Y bis	démontage	Âge du Fer	23	4 414,5		9	527
céramique	Fo 200		angle sud ouest, -110 cm	Âge du Fer	1	0 31		11	528
céramique	Fo 200	AF	-40 à -60 cm	Âge du Fer	5	0 23		11	529
céramique	Fo 200	AH	décapage surface	Âge du Fer	8	1 105		11	530
céramique	Fo 200	AH	-60 à -80 cm	Âge du Fer	5	0 5		11	531

Villiers-le-Bel "Déviation RD 10 / 370" - Fouille SDAVO 2009

Matériau	NSTUS	N° sondage	Description	Attribution	NR	NMI Poids (g)	Caisse n°	Boîte n°	Sac n°
céramique	Fo 200	P	-40 cm à -60 cm	Âge du Fer	1	0 16		8	562
céramique	Fo 200	P	-60 cm. Démontage	Âge du Fer	1	10		8	914
céramique	Fo 200	V	-30 à -40 cm	Âge du Fer	35	3 167,5		8	521
céramique	Fo 200	3	n°37	Âge du Fer	27	3 194		4	126
céramique	Fo 200		angle sud ouest, -85 cm	Âge du Fer	17	3 121,5		11	532
céramique	Fo 200	33	-40 à -60 cm	Âge du Fer	1	0 5		3	116
céramique	Fo 200	40	-80 à -100cm	Âge du Fer	5	0 6		3	117
céramique	Fo 200	39	-100 à 120 cm sous chemin bord est	Âge du Fer	1	0 12		3	118
céramique	Fo 200	3	0 à -20 cm (n°H)	Âge du Fer	160	6 1140		4	119
céramique	Fo 200	3	0 à -20 cm	Âge du Fer	175	4 435		4	120
céramique	Fo 200	3	0 à 20 cm (n°B)	Âge du Fer	75	3 500		4	121
céramique	Fo 200	3/B	en surface	Âge du Fer	7	0 238,5		4	122
céramique	Fo 200	3	0 à -20 cm (n°G)	Âge du Fer	53	3 310		4	123
céramique	Fo 200	3	0 à -20 cm (n°E)	Âge du Fer	10	2 59		4	139

Villiers-le-Bel "Déviation RD 10 / 370" - Fouille SDAVO 2009

Matériau	NSTUS	N° sondage	Description	Attribution	NR	NMI Poids (g)	Caisse n°	Boîte n°	Sac n°
céramique	Fo 200	3	0 à -20 cm (n°I)	Âge du Fer	100	2 163		4	125
céramique	Fo 200	40	-40 à -60 cm	Âge du Fer	20	0 92		3	114
céramique	Fo 200	3	0 à -20 cm (n°F) sous le fond une monnaie	Âge du Fer	27	1 94		4	127
céramique	Fo 200	3	0 à -20 cm	Âge du Fer	10	1 74		4	128
céramique	Fo 200	3	n°7	Âge du Fer	1	0 14		4	129
céramique	Fo 200	3	n°3	Âge du Fer	1	0 7		4	130
céramique	Fo 200	3	0 à -20 cm (n°A)	Âge du Fer	17	1 168		4	131
céramique	Fo 200	3	0 à -20 cm (n°J)	Âge du Fer	24	3 237		4	132
céramique	Fo 200	3	0 à -20 cm (n°L)	Âge du Fer	1	1 29		4	133
céramique	Fo 200	3	n°34	Âge du Fer	8	2 75		4	134
céramique	Fo 200	3	n°6	Âge du Fer	3	0 5		4	135
céramique	Fo 200	3	n°4	Âge du Fer	4	0 27		4	136
céramique	Fo 200	3	-20 à -40 cm	Âge du Fer	50	3 240		4	124
céramique	Fo 200	21	0 à -20 cm	Âge du Fer	18	0 39		2	71

Villiers-le-Bel "Déviation RD 10 / 370" - Fouille SDAVO 2009

Matériau	NSTUS	N° sondage	Description	Attribution	NR	NMI Poids (g)	Caisse n°	Boîte n°	Sac n°
céramique	Fo 200	4	0 à -20 cm	Âge du Fer	4	0 5		1	465
céramique	Fo 200	21	-40 à -60 cm	Âge du Fer	10	4 80		2	62
céramique	Fo 200	23	-40 à -60 cm	Âge du Fer	13	1 38		2	63
céramique	Fo 200	18	0 à -20 cm	Âge du Fer	5	0 17		2	64
céramique	Fo 200	18	-20 à -40 cm	Âge du Fer	10	1 38		2	65
céramique	Fo 200	21	-20 à -40 cm	Âge du Fer	16	1 84		2	66
céramique	Fo 200	25	-60 à -80cm	Âge du Fer	4	1 83		2	67
céramique	Fo 200	22	-20 à -40 cm	Âge du Fer	3	0 15		2	68
céramique	Fo 200	25	0 à -40 nettoyage (2e sac)	Âge du Fer	12	1 46		2	60
céramique	Fo 200	21	-40 à -60 cm	Âge du Fer	12	1 60		2	70
céramique	Fo 200	25	0 à -40 cm démontage	Âge du Fer	17	3 193		2	58
céramique	Fo 200	22	-60 à -80 cm	Âge du Fer	9	0 56		2	72
céramique	Fo 200	26	0 à -20 cm	Âge du Fer	3	1 72		2	73
céramique	Fo 200	29	-20 à -40 cm	Âge du Fer	12	0 74		2	74

Villiers-le-Bel "Déviation RD 10 / 370" - Fouille SDAVO 2009

Matériau	NSTUS	N° sondage	Description	Attribution	NR	NMI Poids (g)	Caisse n°	Boîte n°	Sac n°
céramique	Fo 200	27	-40 à -60 cm	Âge du Fer	8	2 42		2	75
céramique	Fo 200	25	-40 à -60 cm	Âge du Fer	19	1 48		2	76
céramique	Fo 200	25	0 à -20 cm	Âge du Fer	2	0 4		2	77
céramique	Fo 200	18	-20 à -40 cm	Âge du Fer	16	0 26		2	78
céramique	Fo 200	6	-40 à -60 cm	Âge du Fer	4	0 23,5		1	464
céramique	Fo 200	20	-20 à -40 cm	Âge du Fer	15	0 86		2	69
céramique	Fo 200	25	-40 à -60 cm	Âge du Fer	58	6 569		2	48
céramique	Fo 200	E	-60 à -80 cm	Âge du Fer	6	0 9,5		7	507
céramique	Fo 200	X	-50 cm à -80 cm	Âge du Fer	1	0 5,5		9	565
céramique	Fo 200	6		Âge du Fer	1	0 13		1	566
céramique	Fo 200	40	-40 cm à -60 cm (dans crâne bœuf)	Âge du Fer	3	0 17		3	567
céramique	Fo 200	11	-40 à -60 cm, demi sud	Âge du Fer	2	1 2		1	42
céramique	Fo 200	11	moitié sud surface décapage	Âge du Fer	2	1 8		1	43

Villiers-le-Bel "Déviation RD 10 / 370" - Fouille SDAVO 2009

Matériau	NSTUS	N° sondage	Description	Attribution	NR	NMI Poids (g)	Caisse n°	Boîte n°	Sac n°
céramique	Fo 200	12	0 à -20 cm	Âge du Fer	13	2 24		1	44
céramique	Fo 200	12	-20 à -40 cm	Âge du Fer	27	1 40		1	45
céramique	Fo 200	21	-20 à -40 cm	Âge du Fer	9	1 45		2	61
céramique	Fo 200	25	-50 cm	Âge du Fer	24	5 258		2	47
céramique	Fo 200	25	-50 cm	Âge du Fer	14	1 41		2	59
céramique	Fo 200	20	0 à -20 cm	Âge du Fer	11	2 108		2	49
céramique	Fo 200	21	-50 cm	Âge du Fer	36	2 245		2	50
céramique	Fo 200	23	-20 à -40cm	Âge du Fer	37	2 240		2	51
céramique	Fo 200	19	-80 à -100cm	Âge du Fer	27	1 68		2	52
céramique	Fo 200	19	-60 à -80 cm	Âge du Fer	12	1 135		2	53
céramique	Fo 200	24	0 à -20 cm	Âge du Fer	27	1 147		2	54
céramique	Fo 200	25	hors contexte	Âge du Fer	1	1 9		2	55
céramique	Fo 200	24	-40 à -60 cm	Âge du Fer	27	2 212		2	56
céramique	Fo 200	25	-40 à -60 cm	Âge du Fer	68	4 490		2	46

Villiers-le-Bel "Déviation RD 10 / 370" - Fouille SDAVO 2009

Matériau	NSTUS	N° sondage	Description	Attribution	NR	NMI Poids (g)	Caisse n°	Boîte n°	Sac n°
céramique	Fo 200	39	-20 à -40 cm (sous chemin bordure est)	Âge du Fer	24	1 197		3	498
céramique	Fo 200	21	-40 à -60 cm	Âge du Fer	25	2 173,5		2	484
céramique	Fo 200	38	-50 à -70 cm	Âge du Fer	15	0 52		3	485
céramique	Fo 200	39	0 à -20 cm (sous chemin bord est)	Âge du Fer	1	0 9,5		3	486
céramique	Fo 200	38	-70 à -90 cm	Âge du Fer	7	1 211,5		3	487
céramique	Fo 200	38	passé 4	Âge du Fer	5	1 87,5		3	488
céramique	Fo 200	32	-40 à -50 cm	Âge du Fer	7	1 30,5		3	489
céramique	Fo 200	39	0 à -20 cm (sous chemin est)	Âge du Fer	3	1 5		3	490
céramique	Fo 200	38	-50 à -70 cm	Âge du Fer	4	0 10,5		3	491
céramique	Fo 200	39	-40 à -60 cm (sous chemin bordure est)	Âge du Fer	11	0 56		3	492
céramique	Fo 200	39	-40 à -60 cm	Âge du Fer	1	0 4,5		3	493
céramique	Fo 200	27	-20 à -40cm	Âge du Fer	1	0 2,5		2	483

Villiers-le-Bel "Déviation RD 10 / 370" - Fouille SDAVO 2009

Matériau	NSTUS	N° sondage	Description	Attribution	NR	NMI Poids (g)	Caisse n°	Boîte n°	Sac n°
céramique	Fo 200	39	-40 à -60 cm (sous chemin bordure est)	Âge du Fer	7	0 26,5		3	496
céramique	Fo 200	40	-60 à -80 cm	Âge du Fer	7	1 15		3	495
céramique	Fo 200	38	-50 à -70 cm	Âge du Fer	1	0 3		3	499
céramique	Fo 200	40	-40 à -60 cm	Âge du Fer	1	0 6		3	500
céramique	Fo 200	C	-80 à -100 cm	Âge du Fer	14	0 15,5		7	501
céramique	Fo 200	H	0 à -20 cm	Âge du Fer	4	0 7		7	502
céramique	Fo 200	D	-40 à -60 cm	Âge du Fer	2	0 3,5		7	503
céramique	Fo 200	H	-40 à -60 cm	Âge du Fer	3	0 2		7	504
céramique	Fo 200	C	-100 à -120 cm (n°1)	Âge du Fer	10	1 26		7	505
céramique	Fo 200	3	-40 à -60 cm	Âge du Fer	2	0 9		4	466
céramique	Fo 200	24	-20 à -40 cm	Âge du Fer	42	4 262		2	57
céramique	Fo 200	A	-40 à -60 cm	Âge du Fer	1	0 9,5		7	506
céramique	Fo 200	39	-60 à -80 cm (sous chemin bordure est)	Âge du Fer	1	0 15		3	494

Villiers-le-Bel "Déviation RD 10 / 370" - Fouille SDAVO 2009

Matériau	NSTUS	N° sondage	Description	Attribution	NR	NMI Poids (g)	Caisse n°	Boîte n°	Sac n°
céramique	Fo 200	4 bis	-60 à -80 cm	Âge du Fer	1	0 12,5		1	469
céramique	Fo 200	19	-85 cm	Âge du Fer	8	1 102		2	482
céramique	Fo 200	2	-80 cm démontage	Âge du Fer	2	0 47		1	472
céramique	Fo 200	2	-100 cm	Âge du Fer	2	0 6		1	471
céramique	Fo 200	2	démontage	Âge du Fer	6	0 4,5		1	470
céramique	Fo 200	17	-60 à -80 cm	Âge du Fer	12	1 78,5		1	474
céramique	Fo 200	6	-40 à -60 cm	Âge du Fer	7	1 10,5		1	475
céramique	Fo 200	30	-20 à -30 cm	Âge du Fer	13	0 27,5		3	497
céramique	Fo 200	23	0 à -20 cm	Âge du Fer	2	0 10		2	477
céramique	Fo 200	1	entre passe 3 et passe 4	Âge du Fer	3	2 45		1	473
céramique	Fo 200	22	-80 à -100 cm	Âge du Fer	3	0 9		2	478
céramique	Fo 200	6	-20 cm	Âge du Fer	1	0 8		1	467
céramique	Fo 200	21	-20 à -40 cm	Âge du Fer	2	0 5		2	479
céramique	Fo 200	2	-100 à -110 cm	Âge du Fer	2	1 10		1	468

Villiers-le-Bel "Déviation RD 10 / 370" - Fouille SDAVO 2009

Matériau	NSTUS	N° sondage	Description	Attribution	NR	NMI Poids (g)	Caisse n°	Boîte n°	Sac n°
céramique	Fo 200	21	-65 à -70 cm démontage	Âge du Fer	10	1 17		2	480
céramique	Fo 200	20	-40 à -60 cm	Âge du Fer	15	1 64		2	481
céramique	Fo 200	14	-40 à -60 cm	Âge du Fer	6	1 32,5		1	476
céramique	Fo 501		-35 cm à -50 cm (démontage)	Âge du Fer	1	0 15		12	564
céramique	HC			Âge du Fer	44	0 242		13	448
céramique	HC		décapage int enclos	Moderne	1	0 3		13	443
céramique	HC		secteur sud ouest	Âge du Fer	4	0 26		13	442
céramique	HC		ext. enclos Fo 200	Âge du Fer	1	0 10		13	434
céramique	HC		décapage zone nord HC	Âge du Fer	12	0 150		13	451
céramique	HC			Âge du Fer	16	0 125		13	461
céramique	HC		décapage nord	Âge du Fer	3	0 16,5		13	436
céramique	HC		ext enclos décapage	Âge du Fer	4	0 56,5		13	435
céramique	HC		décapage nord	Âge du Fer	6	0 226		13	450

Villiers-le-Bel "Déviation RD 10 / 370" - Fouille SDAVO 2009

Matériau	NSTUS	N° sondage	Description	Attribution	NR	NMI Poids (g)	Caisse n°	Boîte n°	Sac n°
divers	F 500		-10 à -18 cm, lignite, vestige détruit	Âge du Fer	1	0 2			1514
divers	F 501		-120 à -140 cm, demi nord, bracelet en lignite	Âge du Fer	1	0 3		72	1516
divers	F 502		bache en plastique noire, non conservée	Contempor	9	0 15		-	
divers	F 502		fragment de bois, non conservé	Contempor	1	0 1		-	
divers	F 502		lignite, non conservé	Contempor	6	0 15		-	
fer	F 501		-80 à -100 cm, moitié nord, plaque, tête de rivet...	Âge du Fer	11	0 376		67	1470
fer	F 501		-17 à -24 cm, clou?	Âge du Fer	1	0 6		74	1522
fer	F 501		-17 à -24 cm, clou	Âge du Fer	1	0		74	1519
fer	F 501		fond?? Indéterminé	Âge du Fer	1	0 338		68	1471
fer	F 502		décapage, fer à cheval	Indéterminé	1	0 929		66	1466
fer	F 502		décapage, clou?	Indéterminé	1	0 54		66	1467
fer	F 502		clou, indéterminé	Indéterminé	7	0 43		66	1468

Villiers-le-Bel "Déviation RD 10 / 370" - Fouille SDAVO 2009

Matériau	NSTUS	N° sondage	Description	Attribution	NR	NMI P oids (g)	Caisse n°	Boîte n°	Sac n°
fer	F 502		anneau, fil de fer, plaque, clou... = détruit	Indéterminé	16	0 1042			1469
fer	F 504		-70 cm, demi nord, clous	Âge du Fer	5	0 41		64	1463
fer	F 504		-80 à -100cm, demi sud, clou	Âge du Fer	1	0 15		65	1464
fer	F 504		-154 cm, demi sud, indéterminé	Âge du Fer	4	0 28		65	1465
fer	Fo 200	23	0 à -20 cm, indéterminé	Âge du Fer	1	0 27		68	1498
fer	Fo 200	24	-30 cm, clou?	Âge du Fer	1	0 28		68	1499
fer	Fo 200	A	0 à -20 cm, clou?	Âge du Fer	1	0 1		68	1500
fer	Fo 200	T	-20 cm, plaque en fer	Âge du Fer	1	0		74	1452
fer	Fo 200	22	0 à -20 cm, tige	Âge du Fer	1	0 6		68	1505
fer	Fo 200	13	-20 cm, plaque	Âge du Fer	1	0 20		68	1506
fer	Fo 200		-90 cm, indéterminé	Âge du Fer	1	0 1		68	1501
fer	Fo 200	22	-40 à -60 cm	Âge du Fer	1	0 1		68	1502

Villiers-le-Bel "Déviation RD 10 / 370" - Fouille SDAVO 2009

Matériau	NSTUS	N° sondage	Description	Attribution	NR	NMI P oids (g)	Caisse n°	Boîte n°	Sac n°
fer	Fo 200	L	0 à -20 cm, indéterminé	Âge du Fer	1	0		74	1449
fer	Fo 200	22	-20 à -40 cm, indéterminé	Âge du Fer	1	0 1		68	1503
fer	Fo 200	B	plaque	Âge du Fer	1	0 3		68	1504
fer	Fo 200	X	0 à -20 cm, indéterminé	Âge du Fer	1	0		74	1450
fer	Fo 200	X	0 à -20 cm, indéterminé	Âge du Fer	2	0		74	1451
fer	Fo 200	B	-40 à -60 cm, tête de clou	Âge du Fer	1	0 1		68	1497
fer	Fo 200	Y	-20 à -40 cm, indéterminé	Âge du Fer	1	0		74	1442
fer	Fo 200	25	-60 cm, indéterminé	Âge du Fer	1	0 12		68	1488
fer	Fo 200	AF	0 à -20 cm, indéterminé	Âge du Fer	1	0 48		67	1432
fer	Fo 200	2	Passe 3B, démontage, scories	Âge du Fer	10	0		46	1434
fer	Fo 200	23	0 à -20 cm, clou?	Âge du Fer	3	0		74	1435
fer	Fo 200	27	-50 cm, indéterminé	Âge du Fer	1	0 6		74	1436

Villiers-le-Bel "Déviation RD 10 / 370" - Fouille SDAVO 2009

Matériau	NSTUS	N° sondage	Description	Attribution	NR	NMI Poids (g)	Caisse n°	Boîte n°	Sac n°
fer	Fo 200	A	-50 à -70 cm, indéterminé	Âge du Fer	1	0 28		74	1437
fer	Fo 200	A	-80 cm, moitié ouest, n°40 (n° démontage), clou?	Âge du Fer	1	0		74	1438
fer	Fo 200	W	-40 cm, indéterminé	Âge du Fer	5	0		74	1439
fer	Fo 200	X	-10 cm démontage, indéterminé	Âge du Fer	1	0		74	1433
fer	Fo 200	AF	-40 à -60 cm, indéterminé	Âge du Fer	1	0		74	1441
fer	Fo 200	22	tige (clou?)	Âge du Fer	1	0 5		68	1496
fer	Fo 200	Z	-40 à -60 cm, indéterminé	Âge du Fer	1	0		74	1443
fer	Fo 200	X	-60 à -80 cm, indéterminé	Âge du Fer	1	0		74	1445
fer	Fo 200	40	-20 à -40 cm, clou	Âge du Fer	3	0		74	1446
fer	Fo 200	40	-20 à -40 cm, clou	Âge du Fer	1	0		74	1447
fer	Fo 200	2	-20 à -40 cm, indéterminé	Âge du Fer	1	0		74	1448

Villiers-le-Bel "Déviation RD 10 / 370" - Fouille SDAVO 2009

Matériau	NSTUS	N° sondage	Description	Attribution	NR	NMI Poids (g)	Caisse n°	Boîte n°	Sac n°
fer	Fo 200	20	-30 cm, anneau	Âge du Fer	1	0 24		68	1492
fer	Fo 200	23	0 à -20 cm, clou	Âge du Fer	1	0 4		68	1493
fer	Fo 200	22	-20 à -40 cm	Âge du Fer	1	0 1		68	1494
fer	Fo 200	22	démontage, indéterminé	Âge du Fer	7	0 17		68	1495
fer	Fo 200	23	-20 à -40 cm, clou	Âge du Fer	2	0		74	1440
fer	Fo 200	Y	-20 à -40 cm	Âge du Fer	1	0 98		74	1458
fer	Fo 200	24	-30 cm, boule indéterminé	Âge du Fer	1	0 74		68	1480
fer	Fo 200	2	-60 cm, indéterminé	Âge du Fer	1	0 77		68	1481
fer	Fo 200	2	-70 cm, indéterminé	Âge du Fer	1	0 6		68	1489
fer	Fo 200	C	-20 à -40 cm, indéterminé	Âge du Fer	1	0		74	1453
fer	Fo 200	16	-55 cm, plaque	Âge du Fer	1	0 5		68	1476
fer	Fo 200	16	-60 cm, indéterminé	Âge du Fer	1	0 8		68	1475
fer	Fo 200	17	-5 cm, fragment indéterminé	Âge du Fer	1	0 2		68	1474

Villiers-le-Bel "Déviation RD 10 / 370" - Fouille SDAVO 2009

Matériau	NSTUS	N° sondage	Description	Attribution	NR	NMI Poids (g)	Caisse n°	Boîte n°	Sac n°
fer	Fo 200	19	-90 cm, tige	Âge du Fer	1	0 1		68	1473
fer	Fo 200	32	-10 cm, clou?	Âge du Fer	1	0 7		68	1472
fer	Fo 200	24	-40 cm, clous	Âge du Fer	3	0 13		68	1484
fer	Fo 200	B	-60 à -80 cm, indéterminé	Âge du Fer	3	0 44		68	1485
fer	Fo 200	40	-20 à -40 cm, outil	Âge du Fer	1	0		74	1461
fer	Fo 200	16	-50 cm, indéterminé	Âge du Fer	3	0 40		68	1479
fer	Fo 200	X	-10 cm, indéterminé	Âge du Fer	1	0		74	1460
fer	Fo 200	1	démontage, clous	Âge du Fer	5	0 25		68	1478
fer	Fo 200	38	-50 à -60 cm, indéterminé	Âge du Fer	1	0		74	1457
fer	Fo 200	21	-50 cm	Âge du Fer	0	0 10		68	1486
fer	Fo 200	A	-90 cm, indéterminé	Âge du Fer	1	0		74	1456
fer	Fo 200	Y	-20 à -40 cm, indéterminé	Âge du Fer	1	0		74	1455
fer	Fo 200	AG	0 à -20 cm, indéterminé	Âge du Fer	1	0 2		74	1527

Villiers-le-Bel "Déviation RD 10 / 370" - Fouille SDAVO 2009

Matériau	NSTUS	N° sondage	Description	Attribution	NR	NMI Poids (g)	Caisse n°	Boîte n°	Sac n°
fer	Fo 200	14	-80 à -100 cm, indéterminé	Âge du Fer	1	0		74	1526
fer	Fo 200	23	0 à -20 cm, clou	Âge du Fer	1	0		74	1454
fer	Fo 200	21	-40 cm, indéterminé	Âge du Fer	1	0 15		74	1524
fer	Fo 200	3	0 à -20 cm, indéterminé	Âge du Fer	1	0		74	1523
fer	Fo 200	X	-10 cm, démontage, indéterminé	Âge du Fer	6	0 59		74	1520
fer	Fo 200	40	0 à -20 cm	Âge du Fer	1	0 13		74	1518
fer	Fo 200	AF	clou?	Âge du Fer	3	0 8		74	1517
fer	Fo 200	24	-20 à -40 cm	Âge du Fer	2	0 12		68	1487
fer	HC		décapage zone nord, tige et indéterminé	Âge du Fer	2	0 81		68	1477
lithique	F 501		-200 à -220 cm, meule (catillus), trace d'encoche	Âge du Fer	1	0 1180	6	-	1404
lithique	F 501		-200 à -220 cm, fragment de meule avec trace de cerclage (catillus?)	Âge du Fer	1	0 4980	7	-	1412

Villiers-le-Bel "Déviation RD 10 / 370" - Fouille SDAVO 2009

Matériau	NSTUS	N° sondage	Description	Attribution	NR	NMI Poids (g)	Caisse n°	Boîte n°	Sac n°
lithique	F 501		-200 à -240 cm, fragment de meule	Âge du Fer	1	0 3040	7	-	1411
lithique	F 501		-200 à -220 cm, fragment de meule (catillus), trace d'encoche	Âge du Fer	1	0 1800	7	-	1410
lithique	F 501		-200 à -220 cm, fragment de meule	Âge du Fer	1	0 620	7	-	1409
lithique	F 501		-200 à -220 cm, fragment de meule	Âge du Fer	1	0 820	7	-	1408
lithique	F 501		-200 à -220 cm, fragment de meule en meulière (catillus)	Âge du Fer	1	0 4800	7	-	1407
lithique	F 501		demi nord, -220 à -240 cm, fragment de meule, meta?	Âge du Fer	1	0 3420	6	-	1406
lithique	F 501		demi nord, -220 à -240 cm, fragment de meule	Âge du Fer	3	0 750	6	-	1405
lithique	F 501		-60 à -70 cm, meule en grès	Âge du Fer	1	0 525		49	1391
lithique	F 501		demi nord, -220 à -240 cm	Âge du Fer	2	0 1440	6	-	1402

Villiers-le-Bel "Déviation RD 10 / 370" - Fouille SDAVO 2009

Matériau	NSTUS	N° sondage	Description	Attribution	NR	NMI Poids (g)	Caisse n°	Boîte n°	Sac n°
lithique	F 501		-60 à -80 cm	Âge du Fer	1	0 2		58	1323
lithique	F 501		-200 à -220 cm, demi meule (catillus)	Âge du Fer	1	0 9030	6	-	1400
lithique	F 501		-200 à -220 cm, fragment de meule	Âge du Fer	1	0 140	7	-	1414
lithique	F 502			Âge du Fer	1	0 4		58	1329
lithique	F 504		0 à -20cm, moitié nord, meule	Âge du Fer	1	0 1384		49	1389
lithique	F 504		moitié nord -270 cm	Âge du Fer	1	0 4		38	1318
lithique	F 504		-140 à -160 cm moitié nord	Âge du Fer	1	0 30		58	1305
lithique	F 504		demi sud, -40 à -60 cm	Âge du Fer	1	0 520	6	-	1403
lithique	Fo 200	angle SO	-10 cm contre parois	Âge du Fer	1	0 2		58	1331
lithique	Fo 200		décapage bordure NO	Indéterminé	1	0 11		58	1317
lithique	Fo 200	AF	-30 à -35	Âge du Fer	1	0 4		58	1332
lithique	Fo 200		enclos ouest, décapage, catillus en meulière	Âge du Fer	1	0 2520	7	-	1413

Villiers-le-Bel "Déviation RD 10 / 370" - Fouille SDAVO 2009

Matériau	NSTUS	N° sondage	Description	Attribution	NR	NMI P oids (g)	Caisse n°	Boîte n°	Sac n°
lithique	Fo 200	2	-50 cm	Âge du Fer	1	0 1		58	1328
lithique	Fo 200	T	-20 à -40 cm	Âge du Fer	1	0 14		58	1333
lithique	Fo 200	14	0 à -20 cm	Âge du Fer	1	0 5		58	1327
lithique	Fo 200		décapage fossé nord	Âge du Fer	1	0 2		58	1326
lithique	Fo 200	O	-60 à -80 cm	Âge du Fer	1	0 2		58	1325
lithique	Fo 200	1	-40 à -50 cm	Âge du Fer	1	0 1		58	1324
lithique	Fo 200	4	-60 à -80 cm	Âge du Fer	1	0 28		58	1322
lithique	Fo 200	38		Âge du Fer	1	0 8		58	1334
lithique	Fo 200	14	-60 à -80 cm	Âge du Fer	1	0 35		58	1319
lithique	Fo 200		angle SO	Âge du Fer	1	0 26		58	1330
lithique	Fo 200	Ybis	0 à -20 cm	Âge du Fer	1	0 10		58	1316
lithique	Fo 200	AJ	0 à -20 cm	Âge du Fer	1	0 269		58	1313
lithique	Fo 200	2	-40 à -60 cm	Âge du Fer	1	0 18		58	1311
lithique	Fo 200	W	-60 cm	Âge du Fer	1	0 12		38	1310

Villiers-le-Bel "Déviation RD 10 / 370" - Fouille SDAVO 2009

Matériau	NSTUS	N° sondage	Description	Attribution	NR	NMI P oids (g)	Caisse n°	Boîte n°	Sac n°
lithique	Fo 200	35	-50 cm démontage	Âge du Fer	1	0 6		58	1309
lithique	Fo 200	I	-20 à -40 cm	Âge du Fer	1	0 16		58	1308
lithique	Fo 200	Y	-60 à -80 cm	Âge du Fer	1	0 125		58	1306
lithique	Fo 200	25	démontage	Âge du Fer	3	0 22		58	1303
lithique	Fo 200	D	-40 à -60 cm	Âge du Fer	1	0 344		58	1301
lithique	Fo 200	A	-100 à -120 cm	Âge du Fer	1	0 4		58	1320
lithique	Fo 200	AB	-40 à -50 cm, fragment de nucléus?	Âge du Fer	1	0 758		58	1388
lithique	Fo 200	A	-80 cm, plusieurs fragment de meule en meulière	Âge du Fer	1	0 5940	6	-	1401
lithique	Fo 200	7	0 à -10 cm, meule en meulière	Âge du Fer	1	0 1264		50	1399
lithique	Fo 200	1	-65 cm, démontage, meule en meulière	Âge du Fer	1	0 1772		50	1398
lithique	Fo 200	V	-60 cm, démontage, meule en poudingue allochtone	Âge du Fer	1	0 544		49	1395

Villiers-le-Bel "Déviation RD 10 / 370" - Fouille SDAVO 2009

Matériau	NSTUS	N° sondage	Description	Attribution	NR	NMI Poids (g)	Caisse n°	Boîte n°	Sac n°
lithique	Fo 200	U	-60 à -80 cm, meule en poutingue allochtone	Âge du Fer	1	0 344		49	1394
lithique	Fo 200	Z	-40 à -60 cm; molette	Âge du Fer	1	0 144		49	1393
lithique	Fo 200	12	-40 à -60 cm, meule en meulière	Âge du Fer	1	0 63		49	1392
lithique	Fo 200	A	moitié ouest, -80 cm, N°11 (démontage), meule en meulière	Âge du Fer	1	0 463		49	1390
lithique	Fo 200	12	-20 à -40 cm, fragment de meule en meulière	Âge du Fer	1	0 349		49	1387
lithique	Fo 200	U	-30 cm, meule	Âge du Fer	1	0 103		49	1385
lithique	Fo 200	A	-80 cm, moitié ouest, molette	Âge du Fer	1	0 349		49	1384
lithique	Fo 200	38	-70 à -90 cm, fragment de meule en grès	Âge du Fer	1	0 985		49	1386
lithique	HC		hors enclos, redécapage zone nord	Indéterminé	1	0 2		58	1321
lithique	HC		redécapage de la zone au nord de l'enclos 0 à -20 cm	Indéterminé	3	0 17		58	1314

Villiers-le-Bel "Déviation RD 10 / 370" - Fouille SDAVO 2009

Matériau	NSTUS	N° sondage	Description	Attribution	NR	NMI Poids (g)	Caisse n°	Boîte n°	Sac n°
lithique	HC		décapage de la zone nord hors de l'enclos, dans le substrat sableux	Indéterminé	2	0 64		58	1315
lithique	HC		meule en meulière	Indéterminé	1	0 3000		50	1396
lithique	HC		zone funéraire	Indéterminé	1	0 6		58	1302
lithique	HC		zone nord en dehors de Fo 200	Indéterminé	1	0 47		58	1304
métal indéte	Fo 200	A	-80 cm, moitié ouest, scorie?	Âge du Fer	1	0		74	1444
métal indéte	Fo 200	12	0 à -20 cm	Indéterminé	1	0 1		-	
métal indéte	Fo 200	20	-80 cm. Indéterminé.	Âge du Fer	1	0 61		74	1577
métal indéte	Fo 200	12	0 à -20 cm, coulée métallique	Âge du Fer	1	0 1		74	1529
scorie	F 501		décapage couche n°1	Âge du Fer	2	0 11		46	1358
scorie	F 501		1er relevé photo	Âge du Fer	13	0 95		46	1338
scorie	F 501		-17 à -24 cm	Âge du Fer	10	0 31		46	1349
scorie	F 501		-80 à -90 cm	Âge du Fer	1	0 33		46	1355

Villiers-le-Bel "Déviation RD 10 / 370" - Fouille SDAVO 2009

Matériau	NSTUS	N° sondage	Description	Attribution	NR	NMI P oids (g)	Caisse n°	Boîte n°	Sac n°
scorie	F 504		-20 à -40 cm, moitié nord	Âge du Fer	1	0 28		46	1352
scorie	F 504		-80 à -100 cm, moitié sud	Âge du Fer	1	0 29		46	1354
scorie	Fo 200	2	-60 cm	Âge du Fer	4	0 15		46	1491
scorie	Fo 200	2	-50 cm	Âge du Fer	6	0 21		46	1345
scorie	Fo 200	2	-20 à -40 cm	Âge du Fer	2	0 3		46	1357
scorie	Fo 200	A	-50 à -70 cm	Âge du Fer	7	0 86		46	1337
scorie	Fo 200	A	-70 cm	Âge du Fer	4	0 440		46	1339
scorie	Fo 200		angle sud ouest,	Âge du Fer	16	0 374		46	1340
scorie	Fo 200		bordure nord, nettoyage de surface	Âge du Fer	1	0 158		46	1341
scorie	Fo 200	2	-40 à -60 cm	Âge du Fer	6	0 169		46	1342
scorie	Fo 200	O	nettoyage	Âge du Fer	1	0 4		46	1344
scorie	Fo 200	2	-45 cm	Âge du Fer	1	0 8		46	1346
scorie	Fo 200	U	-40 cm	Âge du Fer	9	0 246		46	1348

Villiers-le-Bel "Déviation RD 10 / 370" - Fouille SDAVO 2009

Matériau	NSTUS	N° sondage	Description	Attribution	NR	NMI P oids (g)	Caisse n°	Boîte n°	Sac n°
scorie	Fo 200	N	-60 cm	Âge du Fer	2	0 2		46	1350
scorie	Fo 200	M	0 à -20 cm	Âge du Fer	1	0 2		46	1351
scorie	Fo 200	2	-60 à -80 cm	Âge du Fer	3	0 101		46	1347
scorie	Fo 200	2	passee 3B	Âge du Fer	1	0 179		46	1356
scorie	Fo 200	2	-60 cm, scorie	Âge du Fer	2	0 10		46	1490
scorie	Fo 200	AG	0 à -20 cm	Âge du Fer	4	0 7		46	1369
scorie	Fo 200		angle nord est, -50 à -60 cm	Âge du Fer	4	0 47		46	1483
scorie	Fo 200	2	-60 cm, indéterminé	Âge du Fer	5	0 148		47	1482
scorie	Fo 200	N	-10 cm	Âge du Fer	1	0 3		46	1372
scorie	Fo 200	1	-80 cm, bougé en fouille	Âge du Fer	1	0 90		46	1353
scorie	Fo 200	2	-100 à -120 cm	Âge du Fer	6	0 10		46	1370
scorie	Fo 200	H	0 à -20 cm	Âge du Fer	6	0 35		46	1367
scorie	Fo 200	N	-60 à -80 cm	Âge du Fer	5	0 2		46	1365

Villiers-le-Bel "Déviation RD 10 / 370" - Fouille SDAVO 2009

Matériau	NSTUS	N° sondage	Description	Attribution	NR	NMI Poids (g)	Caisse n°	Boîte n°	Sac n°
scorie	Fo 200	2	passee 3B,	Âge du Fer	2	0 16		46	1364
scorie	Fo 200		décapage bordure nord ouest	Âge du Fer	3	0 30		46	1363
scorie	Fo 200	40	-40 à -60 cm	Âge du Fer	13	0 41		46	1362
scorie	Fo 200	O	-40 à -60 cm	Âge du Fer	1	0 78		46	1361
scorie	Fo 200	38	-30 à -50 cm	Âge du Fer	1	0 1		46	1371
scorie	HC		décapage nord	Indéterminé	1	0 59		46	1359
scorie	HC		décapage zone nord	Âge du Fer	1	0 14		46	1373
scorie	HC			Indéterminé	20	0 510		46	1336
TCA	Fo 200	B	-40 à -60 cm terre cuite ou brique?	Âge du Fer	1	0 45		53	1299
TCA	Fo 200	1	-90 cm peson	Âge du Fer	1	0 508		57	1300

Villiers-le-Bel "Déviation RD 10 / 370" - Fouille SDAVO 2009

Matériau	NSTUS	N° sondage	Description	Attribution	NR	NMI Poids (g)	Caisse n°	Boîte n°	Sac n°
torchis	F 214			Âge du Fer	3	0 2		56	1298
torchis	F 500		-10 à -18 cm	Âge du Fer	2	0 35		56	1531
torchis	F 500		0 à 10 cm	Âge du Fer	22	0 600		56	1535
torchis	F 501		-200 à -220 cm	Âge du Fer	3	0 64		56	1289
torchis	F 501		décapage	Âge du Fer	5	0 25		56	1534
torchis	F 501		-60 à -80 cm	Âge du Fer	1	0 23		56	1296
torchis	F 501		-17 à -24 cm	Âge du Fer	9	0 90		56	1292
torchis	F 501		-35 à -50 cm, démontage	Âge du Fer	2	0 129		56	1537
torchis	F 501		-32 cm demontage	Âge du Fer	6	0 250		56	1290
torchis	F 501		-80 à -100 cm	Âge du Fer	8	0 322		56	1288
torchis	F 501		-80 à -100 cm	Âge du Fer	5	0 172		56	1287
torchis	F 501		-220 à -240 cm	Âge du Fer	28	0 860		56	1286
torchis	F 501		-120 à -140 cm	Âge du Fer	12	0 1007		56	1284
torchis	F 501		-230 à -250 cm	Âge du Fer	50	0 4877		56	1283
torchis	F 501		-100 à -120 cm	Âge du Fer	51	0 3940		56	1282
torchis	F 501		-80 à -90 cm	Âge du Fer	1	0 32		56	1291
torchis	F 504		0 à -20 cm moitié nord	Âge du Fer	6	0 222		56	1295

Villiers-le-Bel "Déviation RD 10 / 370" - Fouille SDAVO 2009

Matériau	NSTUS	N° sondage	Description	Attribution	NR	NMI Poids (g)	Caisse n°	Boîte n°	Sac n°
torchis	F 504		-20 à -100 cm moitié nord	Âge du Fer	3	0 48		56	1285
torchis	F 504		-20 à -40 cm moitié nord	Âge du Fer	2	0 33		56	1293
torchis	F 504		-180 à -200 cm	Âge du Fer	1	0 106		56	1294
torchis	F 504		-110 à -180 cm	Âge du Fer	2	0 36		56	1297
torchis	F 504		-40 à -60 cm, moitié nord	Âge du Fer	1	0 200		56	1532
torchis	F 504		moitié nord, -60 à -80 cm	Âge du Fer	2	0 184		56	1536
torchis	F 504		moitié sud, -40 à -60 cm.	Âge du Fer	2	0 88		56	1538
torchis	Fo 200	G	-60 à 80 cm	Âge du Fer	2	0 76		53	1248
torchis	Fo 200	40	-60 à -80 cm	Âge du Fer	7	0 1318		51	1215
torchis	Fo 200	14	0 à -20 cm	Âge du Fer	1	0 80		51	1211
torchis	Fo 200	2	-40 à 6 60 cm	Âge du Fer	10	0 300		51	1210
torchis	Fo 200	40	-60 à -80 cm	Âge du Fer	18	0 367		51	1209
torchis	Fo 200	38	-70 cm démontage	Âge du Fer	3	0 917		51	1208
torchis	Fo 200	3	n°2	Âge du Fer	1	0 20		51	1221
torchis	Fo 200	22	0 à -20 cm traces de clayonnage	Âge du Fer	10	0 909		51	1207

Villiers-le-Bel "Déviation RD 10 / 370" - Fouille SDAVO 2009

Matériau	NSTUS	N° sondage	Description	Attribution	NR	NMI Poids (g)	Caisse n°	Boîte n°	Sac n°
torchis	Fo 200	1	-80 cm n°O traces de clayonnage	Âge du Fer	15	0 2659		51	1206
torchis	Fo 200	17	-60 à -80	Âge du Fer	20	0 1282		39	1205
torchis	Fo 200	A	-60 à -80 cm	Âge du Fer	1	0 26		53	1243
torchis	Fo 200	E	-60 cm	Âge du Fer	4	0 40		53	1244
torchis	Fo 200	B	-40 à -60 cm	Âge du Fer	10	0 258		53	1245
torchis	Fo 200	20		Âge du Fer	7	0 422		51	1213
torchis	Fo 200	Ybis	-40 à -60 cm	Âge du Fer	2	0 10		53	1247
torchis	Fo 200	40	-20 à 40 cm	Âge du Fer	12	0 232		51	1214
torchis	Fo 200	D	0 à -20 cm traces de clayonnage	Âge du Fer	1	0 25		53	1249
torchis	Fo 200	B	-40 à -60 cm	Âge du Fer	5	0 60		53	1250
torchis	Fo 200	I	0 à -20 cm traces de clayonnage	Âge du Fer	3	0 30		53	1251
torchis	Fo 200	H	0 à -20 cm traces de clayonnage	Âge du Fer	2	0 49		53	1252
torchis	Fo 200	I	-50 à -70 cm	Âge du Fer	7	0 181		53	1253
torchis	Fo 200	I	0 à -20 cm	Âge du Fer	4	0 22		53	1254
torchis	Fo 200	L	-60 à -80 cm	Âge du Fer	1	0 69		53	1255

Villiers-le-Bel "Déviation RD 10 / 370" - Fouille SDAVO 2009

Matériau	NSTUS	N° sondage	Description	Attribution	NR	NMI Poids (g)	Caisse n°	Boîte n°	Sac n°
torchis	Fo 200	A	-80 cm moitié ouest traces de clayonnage	Âge du Fer	1	0 8		53	1256
torchis	Fo 200	J	-20 à -40 cm	Âge du Fer	3	0 16		53	1257
torchis	Fo 200	angle SO	-20 cm	Âge du Fer	3	0 32		53	1258
torchis	Fo 200	W	-60 à -75 cm démontage	Âge du Fer	34	0 3852		54	1259
torchis	Fo 200	V	-30 cm	Âge du Fer	3	0 92		54	1260
torchis	Fo 200	O	-40 à -60 cm	Âge du Fer	7	0 146		53	1246
torchis	Fo 200	24	-40 à -60 cm	Âge du Fer	4	0 20		51	1226
torchis	Fo 200	21	-65 à -70 cm démontage traces de clayonnage	Âge du Fer	41	0 5353		52	1229
torchis	Fo 200	21	-40 à -60 cm démontage	Âge du Fer	22	0 352		52	1230
torchis	Fo 200	21	-50 à -60 cm (dans la coupe)	Âge du Fer	2	0 850		52	1231
torchis	Fo 200	21	-50 cm	Âge du Fer	20	0 1142		52	1232
torchis	Fo 200	J	0 à -20 cm	Âge du Fer	10	0 200		53	1233
torchis	Fo 200	T	0 à -20 cm	Âge du Fer	8	0 80		53	1234
torchis	Fo 200	E	-40 à -60 cm	Âge du Fer	5	0 749		53	1235
torchis	Fo 200	B	-40 à -60 cm	Âge du Fer	1	0 22		53	1236
torchis	Fo 200	M	-60 à -80 cm	Âge du Fer	10	0 226		53	1237

Villiers-le-Bel "Déviation RD 10 / 370" - Fouille SDAVO 2009

Matériau	NSTUS	N° sondage	Description	Attribution	NR	NMI Poids (g)	Caisse n°	Boîte n°	Sac n°
torchis	Fo 200	L	-20 à -40 cm	Âge du Fer	12	0 248		53	1238
torchis	Fo 200	C	-60 à -80 cm	Âge du Fer	3	0 317		53	1239
torchis	Fo 200	D	-100 à -120 cm	Âge du Fer	17	0 97		53	1240
torchis	Fo 200	14	-100 cm jusqu'à fond	Âge du Fer	1	0 40		51	1212
torchis	Fo 200	11	demi-sud pointe 0 à -20 cm	Âge du Fer	5	0 19		51	1219
torchis	Fo 200	23	-20 à -40 cm	Âge du Fer	10	0 83		51	1228
torchis	Fo 200	X	-10 à -20 cm	Âge du Fer	2	0 102		54	1275
torchis	Fo 200	11	-20 à -40 cm demi-sud pointe	Âge du Fer	5	0 24		51	1218
torchis	Fo 200	AJ	-40 à -60 cm	Âge du Fer	10	0 118		54	1261
torchis	Fo 200	40	-40 à -60 cm traces de clayonnage	Âge du Fer	2	0 118		51	1225
torchis	Fo 200	12	-20 à -40 cm	Âge du Fer	2	0 53		51	1217
torchis	Fo 200	F	-20 à -40 cm	Âge du Fer	20	0 40		53	1242
torchis	Fo 200	39	-20 à -40 sous chemin bordure est traces de clayonnage?	Âge du Fer	4	0 316		51	1216
torchis	Fo 200	25	-60 à -80 cm	Âge du Fer	1	0 81		51	1224
torchis	Fo 200	4	0 à -20 cm traces de clayonnage	Âge du Fer	2	0 88		51	1220

Villiers-le-Bel "Déviation RD 10 / 370" - Fouille SDAVO 2009

Matériau	NSTUS	N° sondage	Description	Attribution	NR	NMI P oids (g)	Caisse n°	Boîte n°	Sac n°
torchis	Fo 200	24	-80 à -100 cm 2e couche noire = couche 3	Âge du Fer	1	0 12		51	1223
torchis	Fo 200	P	-60 à -80 cm	Âge du Fer	3	0 210		53	1241
torchis	Fo 200	25	0 à -40 cm	Âge du Fer	6	0 108		51	1222
torchis	Fo 200	32	-50 à -60 cm démontage	Âge du Fer	2	0 35		51	1227
torchis	Fo 200	A	0 à -20 cm	Âge du Fer	1	0 9		53	1562
torchis	Fo 200	25	-40 à -60 cm	Âge du Fer	7	0 46		51	1548
torchis	Fo 200	25		Âge du Fer	8	0 160		51	1549
torchis	Fo 200	24	-20 à -40 cm	Âge du Fer	1	0 14		51	1550
torchis	Fo 200	25	-40 à -60 cm	Âge du Fer	1	0 14		51	1551
torchis	Fo 200	13	-40 cm	Âge du Fer	5	0 86		51	1552
torchis	Fo 200	21	-20 à -40 cm	Âge du Fer	1	0 8		52	1553
torchis	Fo 200	2	-50 cm	Âge du Fer	10	0 82		51	1554
torchis	Fo 200	40	-20 à -40 cm	Âge du Fer	2	0 57		51	1555
torchis	Fo 200	18	-20 à -40 cm	Âge du Fer	5	0 73		51	1556
torchis	Fo 200	21	-40 à -60 cm	Âge du Fer	4	0 33		52	1557
torchis	Fo 200	21	0 à -20 cm	Âge du Fer	2	0 170		52	1558
torchis	Fo 200	O	-60 à -80 cm	Âge du Fer	2	0 92		53	1559

Villiers-le-Bel "Déviation RD 10 / 370" - Fouille SDAVO 2009

Matériau	NSTUS	N° sondage	Description	Attribution	NR	NMI P oids (g)	Caisse n°	Boîte n°	Sac n°
torchis	Fo 200	V	-15 à -20 cm	Âge du Fer	6	0 83		54	1273
torchis	Fo 200	B	-60 à -80 cm	Âge du Fer	2	0 48		53	1561
torchis	Fo 200	11	-40 à -60 cm	Âge du Fer	2	0 28		51	1545
torchis	Fo 200	N	nettoyage surface	Âge du Fer	25	0 380		53	1563
torchis	Fo 200	P	-40 à -60 cm	Âge du Fer	3	0 64		53	1564
torchis	Fo 200	T	-20 à 40 cm	Âge du Fer	4	0 53		53	1565
torchis	Fo 200	T	-20 à -40 cm	Âge du Fer	4	0 35		53	1566
torchis	Fo 200	T	0 à -20 cm	Âge du Fer	5	0 67		53	1567
torchis	Fo 200	AG	-40 cm	Âge du Fer	1	0 90		54	1568
torchis	Fo 200	Y	0 à -20 cm	Âge du Fer	1	0 15		54	1569
torchis	Fo 200	Ybis	-40 cm	Âge du Fer	2	0 24		54	1570
torchis	Fo 200	V	-50 cm	Âge du Fer	3	0 110		54	1571
torchis	Fo 200	angle SO	-20 cm	Âge du Fer	13	0 126		54	1572
torchis	Fo 200	angle NE	-30 à -40 cm	Âge du Fer	4	0 81		54	1573
torchis	Fo 200	angle NE	-30 à -50 cm	Âge du Fer	6	0 107		54	1574
torchis	Fo 200	B	-90 cm	Âge du Fer	10	0 460		53	1560
torchis	Fo 200	W	-60 à -80 cm	Âge du Fer	1	0 80		54	1276
torchis	Fo 200	Ybis		Âge du Fer	15	0 888		54	1263

Villiers-le-Bel "Déviation RD 10 / 370" - Fouille SDAVO 2009

Matériau	NSTUS	N° sondage	Description	Attribution	NR	NMI Poids (g)	Caisse n°	Boîte n°	Sac n°
torchis	Fo 200	V	-70 cm	Âge du Fer	2	0 36		54	1264
torchis	Fo 200	AD	0 à -20 cm	Âge du Fer	3	0 170		54	1265
torchis	Fo 200	AB	-20 à -40 cm	Âge du Fer	3	0 94		54	1266
torchis	Fo 200	W	-60 cm	Âge du Fer	7	0 418		54	1267
torchis	Fo 200	AF		Âge du Fer	1	0 16		54	1268
torchis	Fo 200	X	-15 cm	Âge du Fer	8	0 186		54	1269
torchis	Fo 200	Ybis		Âge du Fer	6	0 76		54	1270
torchis	Fo 200	W	0 à -40 cm	Âge du Fer	3	0 45		54	1271
torchis	Fo 200	Y	-40 à -60 cm	Âge du Fer	6	0 141		54	1272
torchis	Fo 200	P	-60 à -80 cm	Âge du Fer	12	0 42		52	264
torchis	Fo 200	V	-50 cm	Âge du Fer	3	0 159		54	1274
torchis	Fo 200	23	0 à -20 cm	Âge du Fer	15	0 45		51	1547
torchis	Fo 200	U	-80 à -100 cm	Âge du Fer	1	0 22		55	1575
torchis	Fo 200	13	-20 à -40 cm	Âge du Fer	1	0 5		51	1546
torchis	Fo 200	U	-100 cm	Âge du Fer	30	0 2627		55	1278
torchis	Fo 200	U	-80 à -100 cm concentration de torchis	Âge du Fer	52	0 4701		55	1279
torchis	Fo 200	U	-30 cm démontage	Âge du Fer	25	0 936		55	1280

Villiers-le-Bel "Déviation RD 10 / 370" - Fouille SDAVO 2009

Matériau	NSTUS	N° sondage	Description	Attribution	NR	NMI Poids (g)	Caisse n°	Boîte n°	Sac n°
torchis	Fo 200	U	-60 cm	Âge du Fer	7	0 151		55	1281
torchis	Fo 200	1	démontage, -65 cm.	Âge du Fer	4	0 60		51	1539
torchis	Fo 200	1	-40 à -50 cm	Âge du Fer	20	0 119		51	1540
torchis	Fo 200	8	-20 à -40 cm	Âge du Fer	1	0 75		51	1541
torchis	Fo 200	3	-16 cm, démontage photo	Âge du Fer	5	0 25		51	1542
torchis	Fo 200	9	-40 à -60 cm	Âge du Fer	1	0 24		51	1543
torchis	Fo 200	10	-40 à -80 cm	Âge du Fer	4	0 55		51	1544
torchis	Fo 200	V	-60 cm	Âge du Fer	5	0 72		54	1262
torchis	HC		Poche sableuse à l'extérieure de l'enclos. Surface	Âge du Fer	2	0 17		56	1533
torchis	HC		redécapage dans la zone sableuse au nord de Fo200 -20 cm sous la surface du 1er décapage	Âge du Fer	4	0 33		54	1277
verre	F 502		Culot de bouteille; fragment fiole en verre, non conservés	Contemporain	10	0 200		-	

Villiers-le-Bel "Déviation RD 10 / 370" - Fouille SDAVO 2009

Inventaire du mobilier (écofacts)

Matériau	NSTUS	N° sondage	Description	Attribution	NR	NMI Poids (g)	Caisse n°	Boîte n°	Sac n°
charbon	F 501		-230 à -250 cm, environ 50l.	Préhistoire	0	0 35		73	
charbon	F 501		-110 cm, prélèvement de 50l.	Préhistoire	0	0 7,2		73	
charbon	F 501		-70 cm, prélèvement d'un litre C14.	Âge du Fer	0	0 1,36		73	
charbon	F 503		Partie sud-ouest. -30 cm. Prélèvement de 50l.	Âge du Fer	0	0 2,95		73	
charbon	F 503		Extérieur de l'enclos, partie est. Prélèvement de 2l. 4g envoyés pour dataton C14.	Âge du Fer	0	0 12		73	
charbon	F 504		-150 cm, prélèvement de 50l.	Âge du Fer	0	0 7		73	
charbon	F 504		-290 cm. Prélèvement de 50l. Envoyé pour datation C14.	Âge du Fer	0	0 17			
charbon	F 504		moitié nord, -200 cm, prélèvement de 50l.	Âge du Fer	0	0 2		73	

Villiers-le-Bel "Déviation RD 10 / 370" - Fouille SDAVO 2009

Matériau	NSTUS	N° sondage	Description	Attribution	NR	NMI Poids (g)	Caisse n°	Boîte n°	Sac n°
charbon	Fo 200	2	-55 à -60 cm, prélèvement de 50l.	Âge du Fer	0	0 1,30		73	
charbon	Fo 200	12	-20 à -40 cm, prélèvement de 50l.	Âge du Fer	0	0 3,7		73	
charbon	Fo 200	13	-20 à -40 cm, 50l.	Âge du Fer	0	0 1		73	
charbon	Fo 200	2	-40 à -60 cm, prélèvement de 50l.	Âge du Fer	0	0 0,72		73	
charbon	Fo 200	2	-80 cm, prélèvement C14 sur squelette bovidé.	Âge du Fer	1	0 12		73	1576
charbon	Fo 200	20	-80 cm, prélèvement de 50l.	Âge du Fer	0	0 16		73	
charbon	Fo 200	20	0 à 20 cm, prélèvement de 50l.	Âge du Fer	0	0 0,10		73	
charbon	Fo 200	24	-100 cm, prélèvement de 50l.	Âge du Fer	0	0 4		73	
charbon	Fo 200	V	Prélèvement de 50l. Envoyé pour datation C14.	Âge du Fer	0	0 4			

Villiers-le-Bel "Déviation RD 10 / 370" - Fouille SDAVO 2009

Matériau	NSTUS	N° sondage	Description	Attribution	NR	NMI Poids (g)	Caisse n°	Boîte n°	Sac n°
charbon	Fo 200	13	0 à -20 cm, prélèvement de 50l.	Âge du Fer	0	0 3,02		73	
charbon	Tp 241		Prélèvement de 50l. Envoyé pour datation C14.	Âge du Fer	0	0 1,5			
os animal	F 500		0 à -10 cm, os brûlé	Âge du Fer	6	0 49		40	1103
os animal	F 500		-18 cm, scapula	Âge du Fer	1	0 262		40	1091
os animal	F 501		relevé photo n°2, immature	Âge du Fer	7	0 127		43	1160
os animal	F 501		-35 à -50 cm, crâne	Âge du Fer	1	0 306		42	1153
os animal	F 501		-35 à -50 cm	Âge du Fer	1	0 220		42	1154
os animal	F 501		-32 cm	Âge du Fer	22	0 1815		41	1155
os animal	F 501		-110 cm	Âge du Fer	4	0 276		43	1156
os animal	F 501		-200 à -220 cm, moitié nord	Âge du Fer	40	0 350		43	1157
os animal	F 501		0 à -20 cm, moitié nord	Âge du Fer	2	0 7		41	1152
os animal	F 501		relevé photo n°1	Âge du Fer	9	0 339		41	1159

Villiers-le-Bel "Déviation RD 10 / 370" - Fouille SDAVO 2009

Matériau	NSTUS	N° sondage	Description	Attribution	NR	NMI Poids (g)	Caisse n°	Boîte n°	Sac n°
os animal	F 501		-20 à -40 cm, moitié nord, trace de découpe	Âge du Fer	2	0 209		41	1161
os animal	F 501		-60 cm	Âge du Fer	4	0 47		41	1162
os animal	F 501		-60 à -70 cm	Âge du Fer	5	0 20		41	1163
os animal	F 501		Croquis 1, couche n°1	Âge du Fer	2	0 12		41	1164
os animal	F 501		-80 à -100 cm, moitié nord	Âge du Fer	7	0 52		43	1165
os animal	F 501		-100 cm, moitié nord, sujet disloqué, traces de découpe, immature	Âge du Fer	56	0 405		43	1138
os animal	F 501		-36 à -50 cm	Âge du Fer	15	0 288		41	1158
os animal	F 501		-17 à -24 cm	Âge du Fer	8	0 69		41	1142
os animal	F 501		-80 à -100 cm, moitié nord, crâne de boeuf	Âge du Fer	1	0 1112		41	1135
os animal	F 501		-140 à -160 cm, moitié nord, sujet immature en connexion (chien?)	Âge du Fer	122	0 623		43	1136
os animal	F 501		-35 à -50 cm, moitié nord démontage	Âge du Fer	14	0 418		41	1137

Villiers-le-Bel "Déviation RD 10 / 370" - Fouille SDAVO 2009

Matériau	NSTUS	N° sondage	Description	Attribution	NR	NMI P oids (g)	Caisse n°	Boîte n°	Sac n°
os animal	F 501		-100 à -120 cm, moitié nord	Âge du Fer	2	0 11		43	1146
os animal	F 501		-140 cm, moitié nord, sujet en connexion	Âge du Fer	42	0 426		43	1139
os animal	F 501		-200 à -250 cm, moitié nord	Âge du Fer	14	0 349		43	1140
os animal	F 501		-17 cm (couche grise)	Âge du Fer	10	0 77		41	1141
os animal	F 501		-140 à -160 cm, moitié nord	Âge du Fer	1	0 31		43	1151
os animal	F 501		-95 cm	Âge du Fer	3	0 121		43	1143
os animal	F 501		-120 à -140 cm, moitié nord	Âge du Fer	1	0 49		43	1145
os animal	F 501		-60 à -80 cm	Âge du Fer	3	0 65		41	1147
os animal	F 501		-10 à -17 cm	Âge du Fer	3	0 40		41	1148
os animal	F 501		croquis 01 et photos n°2, métapode	Âge du Fer	1	0 26		41	1149
os animal	F 501		-140 à -160 cm	Âge du Fer	3	0 20		43	1150
os animal	F 501		décapage	Âge du Fer	2	0 7		41	1166

Villiers-le-Bel "Déviation RD 10 / 370" - Fouille SDAVO 2009

Matériau	NSTUS	N° sondage	Description	Attribution	NR	NMI P oids (g)	Caisse n°	Boîte n°	Sac n°
os animal	F 501		relevé photo n°2, humérus de bœuf, trace de découpe	Âge du Fer	5	0 689		41	1168
os animal	F 501		-80 à -90 cm	Âge du Fer	3	0 65		43	1144
os animal	F 501		-120 à 140 cm, os brûlé	Âge du Fer	5	0 159		43	1167
os animal	F 502			Âge du Fer	1	0 2		40	1127
os animal	F 502			Âge du Fer	1	0 4		40	1117
os animal	F 504		-40 à -60 cm, moitié nord	Âge du Fer	11	0 89		44	1182
os animal	F 504		-100 à -120 cm, moitié nord	Âge du Fer	7	0 68		44	1191
os animal	F 504		-40 à -60 cm, moitié sud, os brûlé	Âge du Fer	9	0 55		44	1190
os animal	F 504		-180 à 200 cm, moitié nord, os brûlé	Âge du Fer	2	0 15		44	1189
os animal	F 504		-120 à -140 cm, moitié nord	Âge du Fer	5	0 74		44	1188
os animal	F 504		-160 à 6180 cm; moitié nord	Âge du Fer	3	0 14		44	1186

Villiers-le-Bel "Déviation RD 10 / 370" - Fouille SDAVO 2009

Matériau	NSTUS	N° sondage	Description	Attribution	NR	NMI Poids (g)	Caisse n°	Boîte n°	Sac n°
os animal	F 504		-140 à -160 cm, moitié sud	Âge du Fer	6	0 23		44	1185
os animal	F 504		-80 à -6100 cm, moitié sud	Âge du Fer	9	0 87		44	1183
os animal	F 504		moitié nord décapage, trace de découpe	Âge du Fer	5	0 54		44	1187
os animal	F 504		-40 à -60 cm, moitié sud	Âge du Fer	9	0 151		44	1174
os animal	F 504		0 à -20 cm, moitié nord	Âge du Fer	6	0 140		44	1169
os animal	F 504		-60 à -80 cm, moitié sud	Âge du Fer	8	0 167		44	1170
os animal	F 504		-60 à -80 cm, moitié nord, os brûlé	Âge du Fer	16	0 250		44	1171
os animal	F 504		-20 à -40 cm, moitié sud	Âge du Fer	6	0 110		44	1172
os animal	F 504		-140 à -160 cm, moitié nord, os brûlé	Âge du Fer	4	0 44		44	1184
os animal	F 504		-160 à -180 cm, moitié sud	Âge du Fer	3	0 48		44	1173

Villiers-le-Bel "Déviation RD 10 / 370" - Fouille SDAVO 2009

Matériau	NSTUS	N° sondage	Description	Attribution	NR	NMI Poids (g)	Caisse n°	Boîte n°	Sac n°
os animal	F 504		-20 à -40 cm, moitié nord, crâne	Âge du Fer	1	0 5		44	1181
os animal	F 504		-120 à -140 cm, moitié sud	Âge du Fer	5	0 85		44	1175
os animal	F 504		-20 à -40 cm, moitié nord	Âge du Fer	3	0 28		44	1176
os animal	F 504		0 à -20 cm, moitié nord	Âge du Fer	5	0 54		44	1177
os animal	F 504		6270 cm, moitié nord	Âge du Fer	2	0 38		44	1178
os animal	F 504		-20 à -100 cm, moitié nord	Âge du Fer	6	0 93		44	1179
os animal	F 504		-100 à -120 cm, moitié sud,	Âge du Fer	10	0 135		44	1180
os animal	Fo 200	B	-90 cm. Bovidé en connexion.	Âge du Fer	46	0 1432		28	816
os animal	Fo 200	A	-40 à -60 cm. Os brûlé (traces de découpe?).	Âge du Fer	1	0 5		27	814
os animal	Fo 200	A	-40 à -60 cm. Os brûlés.	Âge du Fer	19	0 202		27	813
os animal	Fo 200	A	-100 à -120 cm.	Âge du Fer	12	0 83		27	812

Villiers-le-Bel "Déviation RD 10 / 370" - Fouille SDAVO 2009

Matériau	NSTUS	N° sondage	Description	Attribution	NR	NMI P oids (g)	Caisse n°	Boîte n°	Sac n°
os animal	Fo 200	A	0 à -20 cm. Os brûlés.	Âge du Fer	4	0 2		27	815
os animal	Fo 200	A	-80 à -100 cm.	Âge du Fer	11	0 150		27	811
os animal	Fo 200	A	-80 cm. Moitié Ouest. Os bougés. Os des carpe.	Âge du Fer	40	0 320		27	810
os animal	Fo 200	A	-100 à -120 cm.	Âge du Fer	3	0 150		27	809
os animal	Fo 200	A	50 à -70 cm. Nettoyage au-dessus de bovidé en connexion.	Âge du Fer	20	0 368		27	808
os animal	Fo 200	1	-64 cm, démontage, maxillaire, côte, os long, épiphyse (immature)	Âge du Fer	25	0 66		14	573
os animal	Fo 200	A	-120 à -140cm.	Âge du Fer	3	0 391		27	807
os animal	Fo 200	B	-60 à -80 cm.	Âge du Fer	14	0 427		28	817
os animal	Fo 200	A	-40 cm. Coupe côté Sud.	Âge du Fer	30	0 22		26	805
os animal	Fo 200	7	-30 à -40 cm, démontage	Âge du Fer	10	0 190		17	602

Villiers-le-Bel "Déviation RD 10 / 370" - Fouille SDAVO 2009

Matériau	NSTUS	N° sondage	Description	Attribution	NR	NMI P oids (g)	Caisse n°	Boîte n°	Sac n°
os animal	Fo 200	A	-80 cm. Bovidé. Microfaune. Fragment de crâne.	Âge du Fer	56	0 959		27	806
os animal	Fo 200	2	-100 cm, nettoyage, épiphyse	Âge du Fer	20	0 22		16	598
os animal	Fo 200	3	-80 à -100cm, fémur (cheval?), calcaneus, crâne et maxillaire	Âge du Fer	11	0 250		17	606
os animal	Fo 200	7	-40 à -60 cm, humérus	Âge du Fer	45	0 450		17	605
os animal	Fo 200	10	-40 à -80 cm, coxal	Âge du Fer	30	0 153		17	604
os animal	Fo 200	8	0 à -20 cm,	Âge du Fer	3	0 160		17	603
os animal	Fo 200	2	passé 3b, immature	Âge du Fer	11	0 83		16	592
os animal	Fo 200	13	sous passé 2, -90 cm, immature, vertèbres et côtes	Âge du Fer	36	0 595		17	601
os animal	Fo 200	2	-80 à -100cm	Âge du Fer	2	0 13		16	600
os animal	Fo 200	2	-45 cm	Âge du Fer	1	0 4		16	599

Villiers-le-Bel "Déviation RD 10 / 370" - Fouille SDAVO 2009

Matériau	NSTUS	N°sondage	Description	Attribution	NR	NMI Poids (g)	Caisse n°	Boîte n°	Sac n°
os animal	Fo 200	B	-80 à -85 cm. Immature. Traces de découpe.	Âge du Fer	8	0 210		28	818
os animal	Fo 200	2	-100 à -120 cm, phalange	Âge du Fer	1	0 8		16	597
os animal	Fo 200	B	Nettoyage. Imandibule immature.	Âge du Fer	23	0 113		28	823
os animal	Fo 200	B	-60 à -80 cm.	Âge du Fer	8	0 196		28	822
os animal	Fo 200	B	Inconnu. Os bougés. Immature.	Âge du Fer	7	0 98		28	821
os animal	Fo 200	B	-100 à -120 cm. Coxal. Immature.	Âge du Fer	2	0 164		28	820
os animal	Fo 200	B	-80 à -100 cm. Os brulés.	Âge du Fer	21	0 315		28	819
os animal	Fo 200	1	-90 cm, cochon immature en connexion	Âge du Fer	46	0 180		14	572
os animal	Fo 200	A	Inconnu.	Âge du Fer	3	0 73		26	804
os animal	Fo 200	1	-50 cm, os brulé	Âge du Fer	10	0 14		14	576

Villiers-le-Bel "Déviation RD 10 / 370" - Fouille SDAVO 2009

Matériau	NSTUS	N°sondage	Description	Attribution	NR	NMI Poids (g)	Caisse n°	Boîte n°	Sac n°
os animal	Fo 200	2	-100cm démontage de bovidé, immature	Âge du Fer	46	0 1663		16	585
os animal	Fo 200	2	-80 cm (3 sacs), démontage de bovidé, immature	Âge du Fer	88	0 3462		15	584
os animal	Fo 200	1	-90 cm (sondage manuel), os long	Âge du Fer	1	0 9		14	583
os animal	Fo 200	1	-40 à -50 cm, os brulé	Âge du Fer	5	0 21		14	582
os animal	Fo 200	1	-30 à -40 cm, os long	Âge du Fer	1	0 8		14	581
os animal	Fo 200	2	-40 cm, démontage	Âge du Fer	1	0 70		16	594
os animal	Fo 200	1	entre passe 3 et passe 4, immature	Âge du Fer	15	0 64		14	575
os animal	Fo 200	2	-100 cm	Âge du Fer	31	0 124		16	588
os animal	Fo 200	1	-60 cm, nettoyage	Âge du Fer	10	0 8		14	580
os animal	Fo 200	1	-64 cm, démontage	Âge du Fer	25	0 9		14	579
os animal	Fo 200	1	-50 à -70 cm phalange et mandibule	Âge du Fer	23	0 58		14	577

Villiers-le-Bel "Déviation RD 10 / 370" - Fouille SDAVO 2009

Matériau	NSTUS	N° sondage	Description	Attribution	NR	NMI Poids (g)	Caisse n°	Boîte n°	Sac n°
os animal	Fo 200	1	-65 cm, démontage, os long et mandibule, os brûlé	Âge du Fer	42	0 58		14	578
os animal	Fo 200	12	-50 cm, maillaire et méthapode	Âge du Fer	2	0 90		17	607
os animal	Fo 200	19	-80 à -100 cm, mandibule	Âge du Fer	4	0 29		18	673
os animal	Fo 200	1	sous 2e passe, cochon en connexion (prélèvement en motte à cause des intempéries), immature	Âge du Fer	60	0 86		14	574
os animal	Fo 200	2	-55 cm, nettoyage	Âge du Fer	3	0 8		16	596
os animal	Fo 200	A	-80 cm. 1 mandibule.	Âge du Fer	1	0 295		26	802
os animal	Fo 200	A	-60 à -80 cm.	Âge du Fer	51	0 621		26	801
os animal	Fo 200	A	-80 cm. Numéro 1. Fragment de crâne et de vertèbre. Microfaune.	Âge du Fer	3	0 316		26	800
os animal	Fo 200	A	-70 cm. Os des extrémités. Os brûlés.	Âge du Fer	53	0 1119		26	799

Villiers-le-Bel "Déviation RD 10 / 370" - Fouille SDAVO 2009

Matériau	NSTUS	N° sondage	Description	Attribution	NR	NMI Poids (g)	Caisse n°	Boîte n°	Sac n°
os animal	Fo 200	A	-40 à -50 cm. Démontage bovidé. Os brûlés.	Âge du Fer	50	0 1326		26	798
os animal	Fo 200	A	-80 cm. Démontage bovidé. Immature.	Âge du Fer	15	0 662		25	797
os animal	Fo 200	2	-50 cm immature, os long et mandibule, fragment de crâne	Âge du Fer	30	0 392		16	586
os animal	Fo 200	A	-80 cm. Moitié Ouest. Bovidé en connexion. 4 sacs dans la boîte 24 avec le numéro 794 et 1 sac dans la boîte 25 avec le numéro 795.	Âge du Fer	12	0 168		25	795
os animal	Fo 200	2	passe 3a, microfaune	Âge du Fer	16	0 180		16	587
os animal	Fo 200	2	-60 à -80 cm	Âge du Fer	7	0 50		16	595
os animal	Fo 200	2	-120 à -140 cm, mandibule	Âge du Fer	1	0 59		16	593
os animal	Fo 200	2	-40 à -60 cm, os long, crâne et vertèbre	Âge du Fer	15	0 132		16	591

Villiers-le-Bel "Déviation RD 10 / 370" - Fouille SDAVO 2009

Matériau	NSTUS	N° sondage	Description	Attribution	NR	NMI Poids (g)	Caisse n°	Boîte n°	Sac n°
os animal	Fo 200	2	-20 à -40 cm, côte et os long	Âge du Fer	70	0 92		16	590
os animal	Fo 200	2	-60 à -80 cm,	Âge du Fer	7	0 185		16	589
os animal	Fo 200	A	-20 à -40 cm. Os brûlés.	Âge du Fer	10	0 105		26	803
os animal	Fo 200	A	-80 cm. Démontage bovidé.	Âge du Fer	36	0 906		25	796
os animal	Fo 200	39	-20 à -40 cm. Sous chemin bord Est.	Âge du Fer	2	0 2		23	793
os animal	Fo 200	B	0 à -20 cm.	Âge du Fer	2	0 17		28	830
os animal	Fo 200	B	-70 cm.	Âge du Fer	1	0 24		28	829
os animal	Fo 200	B	-40 à -60 cm. Traces de découpe.	Âge du Fer	13	0 146		28	828
os animal	Fo 200	B	-100 à -120 cm. Scapula.	Âge du Fer	3	0 23		28	827
os animal	Fo 200	B	-40 cm. Démontage.	Âge du Fer	4	0 17		28	826
os animal	Fo 200	B	-80 cm. Démontage. Microfaune. Fragment de crâne.	Âge du Fer	14	0 113		28	825

Villiers-le-Bel "Déviation RD 10 / 370" - Fouille SDAVO 2009

Matériau	NSTUS	N° sondage	Description	Attribution	NR	NMI Poids (g)	Caisse n°	Boîte n°	Sac n°
os animal	Fo 200	30	-20 à -40 cm.	Âge du Fer	1	0 16		20	755
os animal	Fo 200	A	-80 cm. Moitié Ouest. Bovidé en connexion. 4 sacs dans la boîte 24 avec le numéro 794 et 1 sac dans la boîte 25 avec le numéro 795.	Âge du Fer	40	0 2462		24	794
os animal	Fo 200	B	-40 à -60 cm.	Âge du Fer	3	0 15		28	833
os animal	Fo 200	40	-20 à -40 cm. Os brûlés.	Âge du Fer	2	0 1		23	792
os animal	Fo 200	40	-80 à -100 cm.	Âge du Fer	2	0 7		23	791
os animal	Fo 200	40	0 à -20 cm. Os brûlés.	Âge du Fer	2	0 1		23	790
os animal	Fo 200	40	-60 à -80 cm.	Âge du Fer	3	0 8		23	789
os animal	Fo 200	40	-20 à -40 cm. Dent brûlée.	Âge du Fer	3	0 3		23	788
os animal	Fo 200	40	-20 à -40 cm. Fragment crâne.	Âge du Fer	1	0 3		23	787
os animal	Fo 200	3	0 à -20 cm, n°B (sous vase balustre), dents	Âge du Fer	1	0 6		17	643
os animal	Fo 200	B	-20 à -40 cm.	Âge du Fer	10	0 150		28	824

Villiers-le-Bel "Déviation RD 10 / 370" - Fouille SDAVO 2009

Matériau	NSTUS	N° sondage	Description	Attribution	NR	NMI P oids (g)	Caisse n°	Boîte n°	Sac n°
os animal	Fo 200	D	0 à -20 cm.	Âge du Fer	2	0 202		29	840
os animal	Fo 200	AG	0 à -20 cm.	Âge du Fer	3	0 158		36	1027
os animal	Fo 200	AJ	-40 à -60 cm.	Âge du Fer	9	0 152		36	1026
os animal	Fo 200	AF	0 à -20 cm.	Âge du Fer	4	0 245		36	1025
os animal	Fo 200	C	0 à -20 cm. Fragment de crâne.	Âge du Fer	1	0 138		29	846
os animal	Fo 200	C	-40 à -60 cm.	Âge du Fer	5	0 29		29	845
os animal	Fo 200	D	-60 à -80 cm.	Âge du Fer	5	0 22		29	844
os animal	Fo 200	D	-40 à -60 cm.	Âge du Fer	12	0 250		29	843
os animal	Fo 200	B	-40 à -60 cm. Dent.	Âge du Fer	1	0 3		28	831
os animal	Fo 200	C	-40 à -60 cm.	Âge du Fer	2	0 257		29	841
os animal	Fo 200	B	-60 à -80 cm. Traces de découpe.	Âge du Fer	10	0 10		28	832
os animal	Fo 200	C	-100 à -120 cm.	Âge du Fer	9	0 250		29	839

Villiers-le-Bel "Déviation RD 10 / 370" - Fouille SDAVO 2009

Matériau	NSTUS	N° sondage	Description	Attribution	NR	NMI P oids (g)	Caisse n°	Boîte n°	Sac n°
os animal	Fo 200	C	-60 à -80 cm. Immature. Traces de découpe.	Âge du Fer	22	0 546		29	838
os animal	Fo 200	C	-80 à -100 cm.	Âge du Fer	13	0 454		29	837
os animal	Fo 200	C	-100 à -120 cm.	Âge du Fer	40	0 558		29	836
os animal	Fo 200	B	-30 cm. Démontage.	Âge du Fer	6	0 16		28	835
os animal	Fo 200	B	0 à -20 cm. Dent animal sous numéro 1	Âge du Fer	1	0 1		28	834
os animal	Fo 200	18	-40 à -60 cm, côte et astragale	Âge du Fer	7	0 11		18	672
os animal	Fo 200	C	-20 à -40 cm.	Âge du Fer	1	0 103		29	842
os animal	Fo 200	3	-20 à -40 cm, scapula	Âge du Fer	5	0 30		17	616
os animal	Fo 200	12	0 à -20 cm	Âge du Fer	1	0 2		17	624
os animal	Fo 200	10	0 à -20 cm	Âge du Fer	1	0 9		17	623
os animal	Fo 200	11	moitié sud, 0 à -20 cm, mandibule?	Âge du Fer	5	0 32		17	622
os animal	Fo 200	5	0 à -20 cm, fragment os long	Âge du Fer	1	0 2		17	621

Villiers-le-Bel "Déviation RD 10 / 370" - Fouille SDAVO 2009

Matériau	NSTUS	N°sondage	Description	Attribution	NR	NMI Poids (g)	Caisse n°	Boîte n°	Sac n°
os animal	Fo 200	5	-80 à 100 cm	Âge du Fer	1	0 119		17	620
os animal	Fo 200	3	n°19 (os long) et 21	Âge du Fer	2	0 2		17	619
os animal	Fo 200	40	-40 à -60 cm.	Âge du Fer	6	0 46		23	786
os animal	Fo 200	8	-20 à -40 cm	Âge du Fer	4	0 13		17	617
os animal	Fo 200	8	-80 à -100cm	Âge du Fer	5	0 2		17	627
os animal	Fo 200	4	-60 à -80 cm, maxillaire	Âge du Fer	0	0 15		17	615
os animal	Fo 200	12	-60 à -80 cm	Âge du Fer	1	0 89		17	614
os animal	Fo 200	3	-40 à -60 cm	Âge du Fer	7	0 32		17	613
os animal	Fo 200	3	-60 à -80 cm, os brûlé	Âge du Fer	6	0 110		17	612
os animal	Fo 200	4	-80 à -100 cm, métapode	Âge du Fer	1	0 114		17	611
os animal	Fo 200	4	-20 à -40 cm	Âge du Fer	7	0 127		17	610
os animal	Fo 200	12	-20 à -40 cm, mandibule de boeuf	Âge du Fer	4	0 65		17	609
os animal	Fo 200	11	-100 à -120 cm	Âge du Fer	1	0 35		17	618

Villiers-le-Bel "Déviation RD 10 / 370" - Fouille SDAVO 2009

Matériau	NSTUS	N°sondage	Description	Attribution	NR	NMI Poids (g)	Caisse n°	Boîte n°	Sac n°
os animal	Fo 200	3	0 à -20 cm	Âge du Fer	15	0 10		17	634
os animal	Fo 200	1	-80 cm, os bougé a la fouille, os brûlés, vertèbre, ulna, phalange, os long, carpe ou tarse	Âge du Fer	50	0 236		14	571
os animal	Fo 200	3	-20 à -40 cm	Âge du Fer	3	0 1		17	642
os animal	Fo 200	3/B		Âge du Fer	1	0 1		17	641
os animal	Fo 200	13	-10 à -20 cm	Âge du Fer	1	0 2		17	640
os animal	Fo 200	11	0 à -40 cm	Âge du Fer	1	0 1		17	639
os animal	Fo 200	12	-40 à -60 cm, mandibule	Âge du Fer	3	0 7		17	638
os animal	Fo 200	13	-20 à -40 cm	Âge du Fer	4	0 6		17	637
os animal	Fo 200	4	0 à -20 cm, mandibule? Fragment de sacrum	Âge du Fer	4	0 62		17	625
os animal	Fo 200	13	-20 cm	Âge du Fer	1	0 1		17	635
os animal	Fo 200	3	-40 à -60 cm, calcaneus	Âge du Fer	1	0 20		17	626

Villiers-le-Bel "Déviation RD 10 / 370" - Fouille SDAVO 2009

Matériau	NSTUS	N° sondage	Description	Attribution	NR	NMI P oids (g)	Caisse n°	Boîte n°	Sac n°
os animal	Fo 200	11	moitié sud pointe, -40 à -60 cm	Âge du Fer	2	0 43		17	633
os animal	Fo 200	12	0 à -20 cm, corne	Âge du Fer	1	0 20		17	632
os animal	Fo 200	4	-40 à -60 cm	Âge du Fer	1	0 4		17	631
os animal	Fo 200	5	-20 à -40 cm, immature	Âge du Fer	17	0 30		17	630
os animal	Fo 200	3	N°2, fragment de vertèbre	Âge du Fer	1	0 2		17	629
os animal	Fo 200	11	moitié sud pointe, 0 à -40 cm	Âge du Fer	2	0 3		17	628
os animal	Fo 200	13	-40 à -60 cm, os long	Âge du Fer	3	0 47		17	608
os animal	Fo 200	13	-20 à -40 cm	Âge du Fer	7	0 17		17	636
os animal	Fo 200	24	-80 à -100 cm, couche 3 (deuxième couche noire)	Âge du Fer	4	0 30		18	691
os animal	Fo 200	30	-60 à -80 cm.	Âge du Fer	1	0 3		20	757
os animal	Fo 200	29	-60 à -80 cm	Âge du Fer	1	0 10		18	698
os animal	Fo 200	15	-80 à fond	Âge du Fer	1	0 1		18	697

Villiers-le-Bel "Déviation RD 10 / 370" - Fouille SDAVO 2009

Matériau	NSTUS	N° sondage	Description	Attribution	NR	NMI P oids (g)	Caisse n°	Boîte n°	Sac n°
os animal	Fo 200	18	0 à -20 cm	Âge du Fer	1	0 2		18	696
os animal	Fo 200	15	-20 à -40 cm	Âge du Fer	2	0 3		18	695
os animal	Fo 200	25	0 à -40 cm, nettoyage,	Âge du Fer	2	0 8		18	694
os animal	Fo 200	24	-60 à -80 cm	Âge du Fer	2	0 1		18	700
os animal	Fo 200	25	-20 à -40 cm	Âge du Fer	2	0 9		18	692
os animal	Fo 200	20	-80 à -100 cm Fémur et tibia (trace de découpe sur tibia).	Âge du Fer	32	0 1205		19	701
os animal	Fo 200	27	-80 à -100cm, mandibule?	Âge du Fer	1	0 8		18	690
os animal	Fo 200	29	-20 à -40 cm	Âge du Fer	2	0 4		18	689
os animal	Fo 200	28	0 à -20 cm	Âge du Fer	1	0 1		18	688
os animal	Fo 200	14	-80 à -100cm, épiphyse de corps vertébrale	Âge du Fer	1	0 1		18	687
os animal	Fo 200	27	-40 à -60 cm	Âge du Fer	1	0 2		18	686
os animal	Fo 200	26	-80 à -100cm	Âge du Fer	3	0 13		18	685

Villiers-le-Bel "Déviation RD 10 / 370" - Fouille SDAVO 2009

Matériau	NSTUS	N° sondage	Description	Attribution	NR	NMI Poids (g)	Caisse n°	Boîte n°	Sac n°
os animal	Fo 200	23	-40 à -60 cm	Âge du Fer	1	0 6		18	684
os animal	Fo 200	19	-85 cm, démontage	Âge du Fer	9	0 32		18	693
os animal	Fo 200	21	- 65 à 70 cm.	Âge du Fer	20	0 55		19	709
os animal	Fo 200	21	-20 à -40 cm. Os brûlés.	Âge du Fer	6	0 3		19	717
os animal	Fo 200	22	-80 à -100 cm. Os brûlés.	Âge du Fer	10	0 28		19	716
os animal	Fo 200	21	-40 à -60 cm. Démontage. Os brûlés.	Âge du Fer	5	0 45		19	715
os animal	Fo 200	21	-20 à -40 cm.	Âge du Fer	5	0 25		19	714
os animal	Fo 200	21	-40 à -60 cm. Os brûlés.	Âge du Fer	45	0 18		19	713
os animal	Fo 200	20	-40 à -60 cm. Os brûlé.	Âge du Fer	1	0 3		19	712
os animal	Fo 200	25	-40 à -60 cm	Âge du Fer	1	0 1		18	699
os animal	Fo 200	21	0 à -20 cm.	Âge du Fer	29	0 17		19	710
os animal	Fo 200	26	-40 à -60 cm, os long	Âge du Fer	1	0 1		18	681
os animal	Fo 200	21	-50 cm.	Âge du Fer	10	0 118		19	708

Villiers-le-Bel "Déviation RD 10 / 370" - Fouille SDAVO 2009

Matériau	NSTUS	N° sondage	Description	Attribution	NR	NMI Poids (g)	Caisse n°	Boîte n°	Sac n°
os animal	Fo 200	21	-80 à -100 cm.	Âge du Fer	8	0 215		19	707
os animal	Fo 200	22	-100 à -110 cm. Démontage. Fragment de crâne.	Âge du Fer	16	0 250		19	706
os animal	Fo 200	20	-20 à -40 cm. Morceaux de corne.	Âge du Fer	17	0 135		19	705
os animal	Fo 200	20	-100 cm. Démontage. Traces de découpes et un os brûlé.	Âge du Fer	18	0 172		19	704
os animal	Fo 200	20	-40 à -60 cm. Coxal.	Âge du Fer	23	0 460		19	703
os animal	Fo 200	20	-60 à -80 cm. Os brûlé	Âge du Fer	35	0 375		19	702
os animal	Fo 200	22	-40 à -60 cm. Os brûlés. Immature.	Âge du Fer	20	0 84		19	711
os animal	Fo 200	14	0 à -20 cm, mandibule et phalange	Âge du Fer	5	0 42		18	652
os animal	Fo 200	19	-20 à -40 cm	Âge du Fer	1	0 47		18	660
os animal	Fo 200	16	-20 à -40 cm	Âge du Fer	1	0 2		18	659
os animal	Fo 200	25	-80 à -100cm	Âge du Fer	10	0 100		18	658

Villiers-le-Bel "Déviation RD 10 / 370" - Fouille SDAVO 2009

Matériau	NSTUS	N° sondage	Description	Attribution	NR	NMI P oids (g)	Caisse n°	Boîte n°	Sac n°
os animal	Fo 200	15	0 à -20 cm	Âge du Fer	7	0 28		18	657
os animal	Fo 200	24	-40 à -60 cm	Âge du Fer	6	0 95		18	656
os animal	Fo 200	19	-70 à -80 cm	Âge du Fer	25	0 16		18	655
os animal	Fo 200	23	-80 à -100 cm, os brûlé	Âge du Fer	4	0 32		18	683
os animal	Fo 200	24	-60 à -80 cm, os brûlé et maxillaire, vertèbre	Âge du Fer	5	0 77		18	653
os animal	Fo 200	26	-60 à -80 cm, maxillaire et mandibule	Âge du Fer	6	0 30		18	663
os animal	Fo 200	28	-40 à -60 cm, os long	Âge du Fer	1	0 68		18	651
os animal	Fo 200	18	0 à -20 cm os brûlé	Âge du Fer	1	0 1		18	650
os animal	Fo 200	14	0 à -20 cm	Âge du Fer	1	0 4		18	649
os animal	Fo 200	16	-60 à -80 cm, ulna, os long et vertèbre	Âge du Fer	3	0 217		18	648
os animal	Fo 200	14	-40 à -60 cm	Âge du Fer	6	0 153		18	647
os animal	Fo 200	14	sacrum	Âge du Fer	7	0 275		18	646
os animal	Fo 200	25	-60 à -80 cm	Âge du Fer	7	0 245		18	645

Villiers-le-Bel "Déviation RD 10 / 370" - Fouille SDAVO 2009

Matériau	NSTUS	N° sondage	Description	Attribution	NR	NMI P oids (g)	Caisse n°	Boîte n°	Sac n°
os animal	Fo 200	18	-20 à -40 cm, os brûlé et côte	Âge du Fer	4	0 25		18	654
os animal	Fo 200	25		Âge du Fer	4	0 34		18	670
os animal	Fo 200	20	0 à -20 cm.	Âge du Fer	2	0 62		19	720
os animal	Fo 200	23	-60 à -80 cm	Âge du Fer	1	0 8		18	680
os animal	Fo 200	15	-50 à -60 cm, os long	Âge du Fer	1	0 1		18	679
os animal	Fo 200	19	-70 à -80 cm	Âge du Fer	3	0 6		18	678
os animal	Fo 200	25	-40 à -60 cm	Âge du Fer	1	0 1		18	677
os animal	Fo 200	27	-20 à -40 cm	Âge du Fer	2	0 5		18	676
os animal	Fo 200	16	-80 à fond	Âge du Fer	1	0 8		18	675
os animal	Fo 200	23	0 à -20 cm, tibia, mandibule, os brûlé et metapode	Âge du Fer	10	0 129		18	661
os animal	Fo 200	25	-40 à -60 cm	Âge du Fer	9	0 37		18	671
os animal	Fo 200	14	-40 à -60 cm, vertèbre immature	Âge du Fer	3	0 29		18	662

Villiers-le-Bel "Déviation RD 10 / 370" - Fouille SDAVO 2009

Matériau	NSTUS	N° sondage	Description	Attribution	NR	NMI Poids (g)	Caisse n°	Boîte n°	Sac n°
os animal	Fo 200	17	-60 à -80 cm, tibia	Âge du Fer	1	0 30		18	669
os animal	Fo 200	23	-20 à -40 cm	Âge du Fer	12	0 120		18	668
os animal	Fo 200	24	-20 à -40 cm, os brûlé	Âge du Fer	5	0 8		18	667
os animal	Fo 200	25	0 à -40 cm, mandibule	Âge du Fer	3	0 58		18	666
os animal	Fo 200	19	-60 à -80 cm, ulna, dents	Âge du Fer	8	0 89		18	665
os animal	Fo 200	19	-40 à -60 cm	Âge du Fer	2	0 90		18	664
os animal	Fo 200	29	-40 à -60 cm; os brûlé	Âge du Fer	10	0 1		18	682
os animal	Fo 200	18	-20 à -40 cm, os brûlé	Âge du Fer	6	0 21		18	674
os animal	Fo 200	38	-70 à -90 cm. Coxal. Mandibule. Phalange distale.	Âge du Fer	35	0 203		22	765
os animal	Fo 200	40	-40 à -60 cm. Fragments crâne.	Âge du Fer	2	0 417		23	772
os animal	Fo 200	39	-80 à -100 cm. Sous chemin bord Est.	Âge du Fer	8	0 187		23	771
os animal	Fo 200	40	-40 cm. Crâne.	Âge du Fer	2	0 380		23	770

Villiers-le-Bel "Déviation RD 10 / 370" - Fouille SDAVO 2009

Matériau	NSTUS	N° sondage	Description	Attribution	NR	NMI Poids (g)	Caisse n°	Boîte n°	Sac n°
os animal	Fo 200	40	-40 à -60 cm.	Âge du Fer	3	0 166		23	769
os animal	Fo 200	38	-30 à -50 cm. Os brûlés.	Âge du Fer	3	0 36		22	768
os animal	Fo 200	38	-70 cm.	Âge du Fer	1	0 6		22	767
os animal	Fo 200	36	-20 à -40 cm.	Âge du Fer	1	0 6		20	756
os animal	Fo 200	38	-50 à -70 cm.	Âge du Fer	55	0 141		22	765
os animal	Fo 200	39	-90 cm. Sous chemin bord Est. Sujet en connexion.	Âge du Fer	70	0 106		23	775
os animal	Fo 200	38	-70 cm. Démontage.	Âge du Fer	6	0 238		22	764
os animal	Fo 200	38	-90 à 105 cm. Démontage. Immature.	Âge du Fer	9	0 480		22	762
os animal	Fo 200	38	-110 cm. Démontage de bovidé en connexion. 2 sacs avec le numéro 760 et un sac dans la boîte 22 avec le numéro de sac 761. Immature.	Âge du Fer	21	0 1161		22	761

Villiers-le-Bel "Déviation RD 10 / 370" - Fouille SDAVO 2009

Matériau	NSTUS	N° sondage	Description	Attribution	NR	NMI P oids (g)	Caisse n°	Boîte n°	Sac n°
os animal	Fo 200	38	-110 cm. Démontage de bovidé en connexion. 2 sacs avec le numéro 760 et un sac dans la boîte 22 avec le numéro de sac 761. Immature.	Âge du Fer	105	0 1882		21	760
os animal	Fo 200	38	-70 cm. Démontage.	Âge du Fer	26	0 333		21	759
os animal	Fo 200	34	-40 à -60 cm.	Âge du Fer	1	0 7		20	758
os animal	Fo 200	21	-60 à -80 cm.	Âge du Fer	4	0 32		19	718
os animal	Fo 200	38	-80 à -105 cm. Os en connexion. Démontage de sujet A.	Âge du Fer	35	0 128		22	766
os animal	Fo 200	39	-60 à -80 cm. Sous chemin bord Est.	Âge du Fer	4	0 58		23	782
os animal	Fo 200	1	-90 cm, immature, os long, scapula, vertèbre	Âge du Fer	16	0 500		14	569

Villiers-le-Bel "Déviation RD 10 / 370" - Fouille SDAVO 2009

Matériau	NSTUS	N° sondage	Description	Attribution	NR	NMI P oids (g)	Caisse n°	Boîte n°	Sac n°
os animal	Fo 200	1	-80 cm démontage bovidé, immature (vertèbres non épiphysés), os long, côtes, phalange, mandibule et maxillaire	Âge du Fer	36	0 1763		14	568
os animal	Fo 200	AF	crâne cheval?	Âge du Fer	1	0			1204
os animal	Fo 200	H	-10 cm, crâne de cheval	Âge du Fer	1	0	4	39	1203
os animal	Fo 200	H	crâne de boeuf	Âge du Fer	1	0	3		1202
os animal	Fo 200	2	-80 cm, crâne n°1	Âge du Fer	1	0	2	39	1201
os animal	Fo 200	39	-40 à -60 cm. Sous chemin bord Est.	Âge du Fer	5	0 17		23	785
os animal	Fo 200	40	-40 à -60 cm.	Âge du Fer	5	0 200		23	773
os animal	Fo 200	39	0 à -20 cm. Sous chemin bord Est. 1 mandibule ou maxillaire.	Âge du Fer	4	0 62		23	783
os animal	Fo 200	40	-40 à -60 cm. Os brûlés.	Âge du Fer	4	0 68		23	774
os animal	Fo 200	40	-60 à -80 cm.	Âge du Fer	1	0 39		23	781

Villiers-le-Bel "Déviation RD 10 / 370" - Fouille SDAVO 2009

Matériau	NSTUS	N° sondage	Description	Attribution	NR	NMI Poids (g)	Caisse n°	Boîte n°	Sac n°
os animal	Fo 200	40	-40 à -60 cm.	Âge du Fer	4	0 28		23	780
os animal	Fo 200	39	Sous chemin bord Est.	Âge du Fer	3	0 75		23	779
os animal	Fo 200	40	-80 à -100 cm.	Âge du Fer	5	0 3		23	778
os animal	Fo 200	40	-80 à -100 cm.	Âge du Fer	3	0 122		23	777
os animal	Fo 200	39	-100 à -120 cm. Sous chemin bord Est. Fragment crâne.	Âge du Fer	6	0 170		23	776
os animal	Fo 200	G	-40 à -60 cm.	Âge du Fer	1	0 14		30	864
os animal	Fo 200	39	-90 cm. Sous chemin bord Est.	Âge du Fer	1	0 35		23	784
os animal	Fo 200	22		Âge du Fer	1	0 11		19	727
os animal	Fo 200	32	-40 à -50 cm.	Âge du Fer	3	0 170		20	735
os animal	Fo 200	32	-30 à -40 cm.	Âge du Fer	7	0 158		20	734
os animal	Fo 200	32	-80 à -100 cm. Coxal.	Âge du Fer	2	0 77		20	733
os animal	Fo 200	35	-50 cm. Démontage.	Âge du Fer	4	0 74		20	732

Villiers-le-Bel "Déviation RD 10 / 370" - Fouille SDAVO 2009

Matériau	NSTUS	N° sondage	Description	Attribution	NR	NMI Poids (g)	Caisse n°	Boîte n°	Sac n°
os animal	Fo 200	36	-60 à -80 cm. Os long et axis.	Âge du Fer	30	0 211		20	731
os animal	Fo 200	35	-50 à -65 cm. Démontage. 2 Mandibules.	Âge du Fer	2	0 550		20	730
os animal	Fo 200	AG	-20 à -40 cm.	Âge du Fer	6	0 60		36	1028
os animal	Fo 200	22	-100 cm à fond.	Âge du Fer	2	0 2		19	728
os animal	Fo 200	32	-50 à -60 cm. Démontage. Immature.	Âge du Fer	11	0 123		20	738
os animal	Fo 200	22	-40 à -60 cm. Omoplate (ovin-capridé?).	Âge du Fer	1	0 10		19	726
os animal	Fo 200	21	-40 à -60 cm. Os brûlé.	Âge du Fer	1	0 1		19	725
os animal	Fo 200	21	-40 à -60 cm.	Âge du Fer	8	0 5		19	724
os animal	Fo 200	21	-40 à -60 cm. Os brûlés.	Âge du Fer	2	0 1		19	723
os animal	Fo 200	20	-100 cm à fond.	Âge du Fer	1	0 1		19	722
os animal	Fo 200	22	-20 à -40 cm. Vertèbre brûlée.	Âge du Fer	3	0 13		19	721

Villiers-le-Bel "Déviation RD 10 / 370" - Fouille SDAVO 2009

Matériau	NSTUS	N° sondage	Description	Attribution	NR	NMI P oids (g)	Caisse n°	Boîte n°	Sac n°
os animal	Fo 200	1	-80 à -100cm, coxal	Âge du Fer	7	0 204		14	570
os animal	Fo 200	22	-40 à -60 cm. Fragment crâne.	Âge du Fer	1	0 1		19	729
os animal	Fo 200	30	0 à -20 cm.	Âge du Fer	2	0 46		20	745
os animal	Fo 200	30	-40 à -60 cm. Os brûlés.	Âge du Fer	3	0 13		20	754
os animal	Fo 200	32	0 à -20 cm. Os brûlés.	Âge du Fer	5	0 1		20	753
os animal	Fo 200	37	-40 à -60 cm.	Âge du Fer	2	0 16		20	752
os animal	Fo 200	32	-60 à -80 cm. Imandibule.	Âge du Fer	1	0 12		20	751
os animal	Fo 200	37	Surface de décapage (démontage passe photo du 16/06/2009 non imprimée).	Âge du Fer	0	0		20	750
os animal	Fo 200	32	0 à -20 cm. Os brûlés.	Âge du Fer	3	0 19		20	749
os animal	Fo 200	34	0 à -20 cm. Os brûlés.	Âge du Fer	12	0 2		20	748
os animal	Fo 200	37	0 à -20 cm.	Âge du Fer	6	0 105		20	736
os animal	Fo 200	37	-20 à -40 cm.	Âge du Fer	2	0 1		20	746

Villiers-le-Bel "Déviation RD 10 / 370" - Fouille SDAVO 2009

Matériau	NSTUS	N° sondage	Description	Attribution	NR	NMI P oids (g)	Caisse n°	Boîte n°	Sac n°
os animal	Fo 200	32	-50 à -60 cm. Démontage.	Âge du Fer	8	0 108		20	737
os animal	Fo 200	32	-26 cm. Démontage.	Âge du Fer	3	0 62		20	744
os animal	Fo 200	33	0 à -20 cm.	Âge du Fer	1	0 55		20	743
os animal	Fo 200	36	-60 à -80 cm.	Âge du Fer	2	0 73		20	742
os animal	Fo 200	36	-80 à -100 cm.	Âge du Fer	2	0 110		20	741
os animal	Fo 200	35	-60 à -65 cm. Démontage.	Âge du Fer	4	0 110		20	740
os animal	Fo 200	36	-40 à -60 cm. Astrale.	Âge du Fer	4	0 90		20	739
os animal	Fo 200	21	-50 cm. Os brûlés.	Âge du Fer	30	0 21		19	719
os animal	Fo 200	31	-20 à -40 cm.	Âge du Fer	2	0 25		20	747
os animal	Fo 200	O	-100 à -120 cm.	Âge du Fer	1	0 8		32	931
os animal	Fo 200	U	-50 cm. Démontage.	Âge du Fer	1	0 89		33	939
os animal	Fo 200	T	-100 à -120 cm. Tibia.	Âge du Fer	1	0 326		33	938
os animal	Fo 200	P	-60 à -80 cm.	Âge du Fer	4	0 4		32	937

Villiers-le-Bel "Déviation RD 10 / 370" - Fouille SDAVO 2009

Matériau	NSTUS	N°sondage	Description	Attribution	NR	NMI Poids (g)	Caisse n°	Boîte n°	Sac n°
os animal	Fo 200	M	0 à -20 cm.	Âge du Fer	1	0 1		32	936
os animal	Fo 200	P	0 à -20 cm. Os brûlés.	Âge du Fer	4	0 4		32	935
os animal	Fo 200	N	-20 à -40 cm.	Âge du Fer	1	0 2		32	934
os animal	Fo 200	T	-20 à -40 cm. Os brûlé.	Âge du Fer	2	0 4		33	958
os animal	Fo 200	K	-40 à -60 cm. 1 mandibule ou maxillaire.	Âge du Fer	1	0 25		32	932
os animal	Fo 200	U	-60 à -80 cm.	Âge du Fer	10	0 360		33	942
os animal	Fo 200	J	-60 à -80 cm.	Âge du Fer	1	0 4		32	930
os animal	Fo 200	P	-60 cm. Démontage.	Âge du Fer	1	0 14		32	929
os animal	Fo 200	O	0 à -20 cm.	Âge du Fer	1	0 2		32	928
os animal	Fo 200	L	-60 à -80 cm.	Âge du Fer	1	0 29		32	927
os animal	Fo 200	J	-20 à -40 cm.	Âge du Fer	1	0 4		32	926
os animal	Fo 200	S	-40 à -60 cm. Os brûlés.	Âge du Fer	3	0 2		32	925
os animal	Fo 200	P	-100 à -120 cm. 1 maxillaire.	Âge du Fer	1	0 13		32	933

Villiers-le-Bel "Déviation RD 10 / 370" - Fouille SDAVO 2009

Matériau	NSTUS	N°sondage	Description	Attribution	NR	NMI Poids (g)	Caisse n°	Boîte n°	Sac n°
os animal	Fo 200	T	-80 à -100 cm.	Âge du Fer	2	0 65		33	949
os animal	Fo 200	AD	-40 à -60 cm.	Âge du Fer	4	0 140		36	1029
os animal	Fo 200	T	0 à -20 cm.	Âge du Fer	3	0 52		33	956
os animal	Fo 200	T	-20 à -40 cm.	Âge du Fer	1	0 16		33	955
os animal	Fo 200	T	0 à -20 cm. Os brûlé.	Âge du Fer	5	0 5		33	954
os animal	Fo 200	U	-30 cm.	Âge du Fer	1	0 1		33	953
os animal	Fo 200	T	-40 à -60 cm.	Âge du Fer	1	0 3		33	952
os animal	Fo 200	U	-30 cm. 1 mandibule.	Âge du Fer	2	0 331		33	940
os animal	Fo 200	T	-80 à -100 cm.	Âge du Fer	6	0 45		33	950
os animal	Fo 200	U	-80 à -100 cm. Fémur immature.	Âge du Fer	14	0 484		33	941
os animal	Fo 200	U	-60 à -80 cm. Immature. 1 mandibule.	Âge du Fer	5	0 172		33	948
os animal	Fo 200	U	-60 à -80 cm. Metapode.	Âge du Fer	8	0 154		33	947
os animal	Fo 200	U	-60 cm. Démontage.	Âge du Fer	8	0 129		33	946

Villiers-le-Bel "Déviation RD 10 / 370" - Fouille SDAVO 2009

Matériau	NSTUS	N° sondage	Description	Attribution	NR	NMI Poids (g)	Caisse n°	Boîte n°	Sac n°
os animal	Fo 200	U	-60 à -80 cm. Crâne.	Âge du Fer	1	0 148		33	945
os animal	Fo 200	U	-100 cm. Démontage.	Âge du Fer	10	0 130		33	944
os animal	Fo 200	U	-30 à -55 cm.	Âge du Fer	2	0 251		33	943
os animal	Fo 200	K	-20 à -40 cm.	Âge du Fer	3	0 17		32	922
os animal	Fo 200	T	-40 à -60 cm.	Âge du Fer	2	0 22		33	951
os animal	Fo 200	I	-40 à -60 cm.	Âge du Fer	8	0 105		32	895
os animal	Fo 200	S	-60 à -80 cm.	Âge du Fer	7	0 17		32	924
os animal	Fo 200	P	-40 à -60 cm.	Âge du Fer	3	0 91		32	902
os animal	Fo 200	L	-40 à -60 cm.	Âge du Fer	7	0 75		32	901
os animal	Fo 200	N	-120 à -140 cm. 1 mandibule.	Âge du Fer	1	0 120		32	900
os animal	Fo 200	M	-60 à -80 cm.	Âge du Fer	5	0 58		32	899
os animal	Fo 200	P	-20 à -40 cm.	Âge du Fer	3	0 139		32	898
os animal	Fo 200	L	-20 à -40 cm.	Âge du Fer	6	0 198		32	904
os animal	Fo 200	M	-40 à -60 cm.	Âge du Fer	3	0 76		32	896

Villiers-le-Bel "Déviation RD 10 / 370" - Fouille SDAVO 2009

Matériau	NSTUS	N° sondage	Description	Attribution	NR	NMI Poids (g)	Caisse n°	Boîte n°	Sac n°
os animal	Fo 200	P	-60 à -80 cm.	Âge du Fer	2	0 18		32	905
os animal	Fo 200	L	-80 à -100 cm. Humérus.	Âge du Fer	1	0 145		32	894
os animal	Fo 200	O	-60 à -80 cm. 2 mandibules.	Âge du Fer	5	0 415		32	893
os animal	Fo 200	M	-65 cm. 1 mandibule.	Âge du Fer	1	0 343		32	892
os animal	Fo 200	O	-65 cm. Démontage scapula. Phalange.	Âge du Fer	2	0 176		32	891
os animal	Fo 200	H	-10 cm.	Âge du Fer	1	0 3		31	890
os animal	Fo 200	G	-20 à -30 cm.	Âge du Fer	1	0 26		30	862
os animal	Fo 200	E (?)		Âge du Fer	10	0 13		31	888
os animal	Fo 200	M	-20 à -40 cm. Os brûlés.	Âge du Fer	7	0 13		32	897
os animal	Fo 200	Q	-80 à -100 cm.	Âge du Fer	2	0 13		32	913
os animal	Fo 200	V	-40 cm. Démontage.	Âge du Fer	30	0 818		34	959
os animal	Fo 200	M	-60 à -80 cm. Fragment de crâne.	Âge du Fer	4	0 69		32	921

Villiers-le-Bel "Déviation RD 10 / 370" - Fouille SDAVO 2009

Matériau	NSTUS	N° sondage	Description	Attribution	NR	NMI Poids (g)	Caisse n°	Boîte n°	Sac n°
os animal	Fo 200	N	-40 à -60 cm.	Âge du Fer	3	0 33		32	920
os animal	Fo 200	N	Nettoyage de surface.	Âge du Fer	1	0 4		32	919
os animal	Fo 200	Q	-20 à -40 cm.	Âge du Fer	1	0 1		32	918
os animal	Fo 200	L	0 à -20 cm.	Âge du Fer	1	0 1		32	917
os animal	Fo 200	P	-80 à -100 cm.	Âge du Fer	7	0 67		32	903
os animal	Fo 200	I	-20 à -40 cm. Fémur.	Âge du Fer	2	0 120		32	915
os animal	Fo 200	J	0 à -20 cm.	Âge du Fer	2	0 2		32	923
os animal	Fo 200	O	-40 à -60 cm.	Âge du Fer	5	0 37		32	912
os animal	Fo 200	I	0 à -20 cm.	Âge du Fer	3	0 32		32	911
os animal	Fo 200	N	-40 à -60 cm.	Âge du Fer	1	0 29		32	910
os animal	Fo 200	O	-20 à -40 cm.	Âge du Fer	1	0 8		32	909
os animal	Fo 200	Q	-60 à -80 cm.	Âge du Fer	3	0 57		32	908
os animal	Fo 200	P	0 à -10 cm.	Âge du Fer	2	0 36		32	907
os animal	Fo 200	K	-40 à -60 cm.	Âge du Fer	5	0 56		32	906

Villiers-le-Bel "Déviation RD 10 / 370" - Fouille SDAVO 2009

Matériau	NSTUS	N° sondage	Description	Attribution	NR	NMI Poids (g)	Caisse n°	Boîte n°	Sac n°
os animal	Fo 200	O	-80 à -100 cm.	Âge du Fer	1	0 17		32	916
os animal	Fo 200	X	-50 à -80 cm.	Âge du Fer	5	0 70		35	1002
os animal	Fo 200	X	0 à -20 cm.	Âge du Fer	1	0 2		35	1010
os animal	Fo 200	X	-10 cm. Démontage. Os brûlé. Microfaune.	Âge du Fer	5	0 7		35	1009
os animal	Fo 200	X	-80 à -100 cm.	Âge du Fer	4	0 25		35	1008
os animal	Fo 200	Y bis	-80 à -100 cm. Os brûlé.	Âge du Fer	1	0 4		35	1007
os animal	Fo 200	Z	Nettoyage après curage.	Âge du Fer	2	0 11		35	1006
os animal	Fo 200	Y bis	Démontage.	Âge du Fer	2	0 29		35	1005
os animal	Fo 200	T	-60 à -80 cm. Crâne.	Âge du Fer	4	0 36		33	957
os animal	Fo 200	Y bis	0 à -20 cm. Os brûlés.	Âge du Fer	3	0 10		35	1003
os animal	Fo 200	X	-40 à -60 cm.	Âge du Fer	1	0 7		35	1013
os animal	Fo 200	Y	-40 à -60 cm.	Âge du Fer	6	0 15		35	1001
os animal	Fo 200	Z	Coupe -100 cm. Bœuf.	Âge du Fer	1	0 10		35	1000

Villiers-le-Bel "Déviation RD 10 / 370" - Fouille SDAVO 2009

Matériau	NSTUS	N° sondage	Description	Attribution	NR	NMI P oids (g)	Caisse n°	Boîte n°	Sac n°
os animal	Fo 200	Y bis	Démontage. Os brûlés.	Âge du Fer	8	0 2		35	999
os animal	Fo 200	Y	-20 à -40 cm. Os brûlés.	Âge du Fer	5	0 12		35	998
os animal	Fo 200	Y	-60 à -80 cm.	Âge du Fer	4	0 85		35	997
os animal	Fo 200	X	-10 à -20 cm.	Âge du Fer	2	0 97		35	996
os animal	Fo 200	Y bis	-20 à -40 cm. Nettoyage.	Âge du Fer	3	0 25		35	1004
os animal	Fo 200	Y bis	Nettoyage. Os brûlé.	Âge du Fer	1	0 1		35	1020
os animal	Fo 200	A	-80 à -90 cm, prélèvement de 10 litres, microfaune	Âge du Fer	1	0 1		59	1418
os animal	Fo 200	6	-30 à -36 cm microfaune? (fragment de crâne?)	Âge du Fer	20	0 1		59	1416
os animal	Fo 200	6	-20 à -36 cm microfaune? (fragment de crâne?)	Âge du Fer	23	0 1		59	1415
os animal	Fo 200	14	crâne de boeuf	Âge du Fer	1	0	1	39	1200
os animal	Fo 200	AH	0 à -20 cm.	Âge du Fer	2	0 164		36	1024

Villiers-le-Bel "Déviation RD 10 / 370" - Fouille SDAVO 2009

Matériau	NSTUS	N° sondage	Description	Attribution	NR	NMI P oids (g)	Caisse n°	Boîte n°	Sac n°
os animal	Fo 200	Y bis	-40 cm. Os brûlé.	Âge du Fer	1	0 1		35	1023
os animal	Fo 200	Z	-40 à -60 cm. Os brûlé.	Âge du Fer	11	0 7		35	1011
os animal	Fo 200	Y bis	Démontage.	Âge du Fer	1	0 2		35	1021
os animal	Fo 200	X	-40 à -50 cm. Os brûlés.	Âge du Fer	5	0 10		35	1012
os animal	Fo 200	Ybis	Nettoyage. Os brûlés.	Âge du Fer	4	0 9		35	1019
os animal	Fo 200	X	0 à -20 cm.	Âge du Fer	2	0 6		35	1018
os animal	Fo 200	Y bis	0 à -20 cm. Nettoyage. Os brûlés.	Âge du Fer	4	0 3		35	1017
os animal	Fo 200	Y bis	0 à -20 cm. Dent.	Âge du Fer	1	0 1		35	1016
os animal	Fo 200	Y bis	Nettoyage.	Âge du Fer	1	0 1		35	1015
os animal	Fo 200	Y bis	Nettoyage surface.	Âge du Fer	2	0 6		35	1014
os animal	Fo 200	Y bis	-40 à -60 cm. Os brûlés.	Âge du Fer	16	0 158		35	993
os animal	Fo 200	Y	0 à -20 cm.	Âge du Fer	1	0 2		35	1022
os animal	Fo 200	V	-80 à -100 cm.	Âge du Fer	6	0 150		34	967

Villiers-le-Bel "Déviation RD 10 / 370" - Fouille SDAVO 2009

Matériau	NSTUS	N° sondage	Description	Attribution	NR	NMI Poids (g)	Caisse n°	Boîte n°	Sac n°
os animal	Fo 200	W	-60 à -75 cm. Démontage.	Âge du Fer	5	0 65		35	995
os animal	Fo 200	V	-60 cm. Démontage.	Âge du Fer	1	0 1		34	974
os animal	Fo 200	V	-50 à -60 cm. Os brûlé.	Âge du Fer	3	0 16		34	973
os animal	Fo 200	V	-50 cm. Démontage.	Âge du Fer	3	0 11		34	972
os animal	Fo 200	V	0 à -15 cm.	Âge du Fer	3	0 14		34	971
os animal	Fo 200	V	-15 à -20 cm.	Âge du Fer	5	0 43		34	970
os animal	Fo 200	W	-80 à -100 cm.	Âge du Fer	2	0 63		34	976
os animal	Fo 200	V	-100 à -120 cm.	Âge du Fer	3	0 224		34	968
os animal	Fo 200	W	-60 cm. Metapode.	Âge du Fer	3	0 138		34	977
os animal	Fo 200	V	-80 à -100 cm. Coxal.	Âge du Fer	5	0 206		34	966
os animal	Fo 200	V	-60 à -80 cm. Traces de découpe.	Âge du Fer	11	0 238		34	965
os animal	Fo 200	V	-70 cm. Démontage.	Âge du Fer	4	0 194		34	964
os animal	Fo 200	V	-50 cm. Démontage.	Âge du Fer	7	0 229		34	963

Villiers-le-Bel "Déviation RD 10 / 370" - Fouille SDAVO 2009

Matériau	NSTUS	N° sondage	Description	Attribution	NR	NMI Poids (g)	Caisse n°	Boîte n°	Sac n°
os animal	Fo 200	V	-50 cm. Démontage en connexion.	Âge du Fer	6	0 376		34	962
os animal	Fo 200	V	-45 cm. Démontage.	Âge du Fer	10	0 163		34	961
os animal	Fo 200	V	-20 à -30 cm. Démontage.	Âge du Fer	9	0 412		34	960
os animal	Fo 200	V	-30 cm.	Âge du Fer	7	0 39		34	969
os animal	Fo 200	Y bis	0 à -20 cm. Os brûlés.	Âge du Fer	3	0 3		35	985
os animal	Fo 200	H		Âge du Fer	1	0 8		31	887
os animal	Fo 200	Y	-80 à -100 cm.	Âge du Fer	6	0 80		35	992
os animal	Fo 200	Y bis	Démontage. Os brûlé.	Âge du Fer	16	0 290		35	991
os animal	Fo 200	Y bis	0 à -20 cm.	Âge du Fer	4	0 99		35	990
os animal	Fo 200	Y bis	-40 cm. Démontage. Os brûlés.	Âge du Fer	19	0 148		35	989
os animal	Fo 200	Y bis	-80 à -100 cm.	Âge du Fer	7	0 128		35	988
os animal	Fo 200	W	-40 à -60 cm. Os brûlés.	Âge du Fer	15	0 192		34	975
os animal	Fo 200	X	-40 à -60 cm. Os brûlés.	Âge du Fer	14	0 170		35	986

Villiers-le-Bel "Déviation RD 10 / 370" - Fouille SDAVO 2009

Matériau	NSTUS	N° sondage	Description	Attribution	NR	NMI P oids (g)	Caisse n°	Boîte n°	Sac n°
os animal	Fo 200	W	-60 à -75 cm. Démontage. Os brûlés.	Âge du Fer	6	0 23		35	994
os animal	Fo 200	X	-60 à 80 cm.	Âge du Fer	21	0 494		35	984
os animal	Fo 200	X	-10 cm. Démontage.	Âge du Fer	8	0 526		35	983
os animal	Fo 200	X	-40 à - 50 cm. Crâne.	Âge du Fer	1	0 790		35	982
os animal	Fo 200	Y bis	-60 à - 80 cm.	Âge du Fer	45	0 595		35	981
os animal	Fo 200	W	0 à -40 cm. Dans la berne.	Âge du Fer	5	0 64		34	980
os animal	Fo 200	W	-60 cm. Os bougé.	Âge du Fer	3	0 10		34	979
os animal	Fo 200	W	-60 à -80 cm. Os brûlé.	Âge du Fer	8	0 31		34	978
os animal	Fo 200	X	-15 cm. Démontage.	Âge du Fer	3	0 217		35	987
os animal	Fo 200	E	-20 à -40 cm.	Âge du Fer	5	0 183		31	867
os animal	Fo 200	AF	-20 à -25 cm.	Âge du Fer	4	0 63		36	1052
os animal	Fo 200	F	-40 à -60 cm.	Âge du Fer	3	0 54		31	874
os animal	Fo 200	F	0 à -20 cm.	Âge du Fer	5	0 238		31	873

Villiers-le-Bel "Déviation RD 10 / 370" - Fouille SDAVO 2009

Matériau	NSTUS	N° sondage	Description	Attribution	NR	NMI P oids (g)	Caisse n°	Boîte n°	Sac n°
os animal	Fo 200	E	-60 cm. Os des carpe.	Âge du Fer	19	0 255		31	872
os animal	Fo 200	F	-20 à -40 cm.	Âge du Fer	3	0 152		31	871
os animal	Fo 200	H	0 à -10 cm.	Âge du Fer	1	0 88		31	870
os animal	Fo 200	G	-20 à -40 cm.	Âge du Fer	4	0 25		30	859
os animal	Fo 200	D	-20 à -40 cm. Fémur. Immature.	Âge du Fer	6	0 655		31	868
os animal	Fo 200	AA	-40 à -60 cm. Os brûlés.	Âge du Fer	5	0 14		36	1055
os animal	Fo 200	E	-40 à -60 cm. Adulte et immature.	Âge du Fer	35	0 915		31	866
os animal	Fo 200	H	-30 à -35 cm. Plusieurs mandibules.	Âge du Fer	14	0 1200		31	865
os animal	Fo 200	G	-60 à -80 cm.	Âge du Fer	1	0 2		30	863
os animal	Fo 200	14	-80 à -90 cm, mandibules, humérus, traces de découpe	Âge du Fer	6	0 700		18	644
os animal	Fo 200	G	0 à -20 cm.	Âge du Fer	2	0 10		30	861
os animal	Fo 200	H	-25 cm.	Âge du Fer	1	0 22		31	886

Villiers-le-Bel "Déviation RD 10 / 370" - Fouille SDAVO 2009

Matériau	NSTUS	N°sondage	Description	Attribution	NR	NMI Poids (g)	Caisse n°	Boîte n°	Sac n°
os animal	Fo 200	F	0 à -20 cm.	Âge du Fer	10	0 148		31	869
os animal	Fo 200	AE	-40 à -60 cm.	Âge du Fer	1	0 3		36	1062
os animal	Fo 200	6	-20 cm nettoyage os en vrac (pluie 2/06/09)	Âge du Fer	20	0 19		37	1070
os animal	Fo 200	H	-10 cm.	Âge du Fer	1	0 1		31	889
os animal	Fo 200	6	-18 cm démontage porcs immatures en connexion	Âge du Fer	115	0 285		37	1068
os animal	Fo 200	6	nettoyage 0 à -20 cm	Âge du Fer	20	0 10		37	1067
os animal	Fo 200	AA	-20 à -40 cm.	Âge du Fer	1	0 1		36	1066
os animal	Fo 200	AA	-80 à -100 cm.	Âge du Fer	2	0 4		36	1065
os animal	Fo 200	AG	-80 à -100 cm. Crâne.	Âge du Fer	1	0 7		36	1053
os animal	Fo 200	AD	-60 à -80 cm.	Âge du Fer	1	0 7		36	1063
os animal	Fo 200	AE	0 à -20 cm.	Âge du Fer	2	0 25		36	1054
os animal	Fo 200	AB	-20 à -40 cm.	Âge du Fer	1	0 2		36	1061
os animal	Fo 200	AF	-60 à -80 cm.	Âge du Fer	1	0 10		36	1060

Villiers-le-Bel "Déviation RD 10 / 370" - Fouille SDAVO 2009

Matériau	NSTUS	N°sondage	Description	Attribution	NR	NMI Poids (g)	Caisse n°	Boîte n°	Sac n°
os animal	Fo 200	AJ	-20 à -40 cm.	Âge du Fer	1	0 5		36	1059
os animal	Fo 200	AJ	-80 à -100 cm.	Âge du Fer	1	0 18		36	1058
os animal	Fo 200	AJ	-20 à -40 cm. Crâne (chien ou porc?)	Âge du Fer	1	0 42		36	1057
os animal	Fo 200	AF	Sous passe 3.	Âge du Fer	3	0 40		36	1056
os animal	Fo 200	G	-20 cm. 1 mandibule.	Âge du Fer	1	0 72		30	858
os animal	Fo 200	AF	-20 à -40 cm.	Âge du Fer	1	0 20		36	1064
os animal	Fo 200	AF	-40 à -60 cm.	Âge du Fer	5	0 54		36	1036
os animal	Fo 200	AF	1 mandibule.	Âge du Fer	1	0 11		36	1044
os animal	Fo 200	AF	Fragment de crâne.	Âge du Fer	2	0 8		36	1043
os animal	Fo 200	AD	-20 à -40 cm.	Âge du Fer	4	0 38		36	1042
os animal	Fo 200	AK	-60 à -80 cm. Fragment de crâne.	Âge du Fer	2	0 56		36	1041
os animal	Fo 200	AF	Crâne de cheval.	Âge du Fer	1	0 31		36	1040
os animal	Fo 200	AH	-80 à -100 cm. 1 mandibule.	Âge du Fer	1	0 45		36	1039

Villiers-le-Bel "Déviation RD 10 / 370" - Fouille SDAVO 2009

Matériau	NSTUS	N° sondage	Description	Attribution	NR	NMI P oids (g)	Caisse n°	Boîte n°	Sac n°
os animal	Fo 200	G	-80 à -100 cm.	Âge du Fer	2	0 32		30	860
os animal	Fo 200	AK	-40 à -60 cm.	Âge du Fer	2	0 80		36	1037
os animal	Fo 200	AE	-20 à -40 cm.	Âge du Fer	2	0 27		36	1047
os animal	Fo 200	AH	Surface décapage.	Âge du Fer	1	0 15		36	1035
os animal	Fo 200	AJ	-80 à -100 cm. Crâne.	Âge du Fer	1	0 32		36	1034
os animal	Fo 200	AI	-40 à -60 cm.	Âge du Fer	4	0 54		36	1033
os animal	Fo 200	AJ	0 à -20 cm.	Âge du Fer	8	0 70		36	1032
os animal	Fo 200	AH	-60 à -80 cm.	Âge du Fer	5	0 69		36	1031
os animal	Fo 200	AB	-80 à -100 cm. Metapode.	Âge du Fer	1	0 87		36	1030
os animal	Fo 200	AI	-20 à -40 cm.	Âge du Fer	8	0 203		36	1038
os animal	Fo 200	G	-50 cm. Porc en connexion.	Âge du Fer	116	0 600		30	849
os animal	Fo 200	G	-80 à -100 cm.	Âge du Fer	1	0 29		30	857

Villiers-le-Bel "Déviation RD 10 / 370" - Fouille SDAVO 2009

Matériau	NSTUS	N° sondage	Description	Attribution	NR	NMI P oids (g)	Caisse n°	Boîte n°	Sac n°
os animal	Fo 200	G	Passe 3 bis. -45 cm. Démontage de porc. Patte.	Âge du Fer	16	0 23		30	856
os animal	Fo 200	G	-40 cm. Coxal.	Âge du Fer	5	0 658		30	855
os animal	Fo 200	G	0 à -20 cm.	Âge du Fer	7	0 83		30	854
os animal	Fo 200	G	-30 cm.	Âge du Fer	6	0 122		30	853
os animal	Fo 200	G	-50 cm. 1 mandibule et 1 scapula.	Âge du Fer	6	0 425		30	852
os animal	Fo 200	AI	0 à -20 cm. 1 mandibule ou maxillaire.	Âge du Fer	1	0 38		36	1045
os animal	Fo 200	G	-50 cm. Fragment de crâne et mandibule.	Âge du Fer	72	0 436		30	850
os animal	Fo 200	AJ	-80 à -100 cm. 1 mandibule (chien?)	Âge du Fer	1	0 23		36	1046
os animal	Fo 200	G	-45 cm. Démontage porc en connexion.	Âge du Fer	116	0 580		30	848
os animal	Fo 200	D	-100 à -120 cm.	Âge du Fer	1	0 34		29	847
os animal	Fo 200	AB	-40 à -60 cm.	Âge du Fer	5	0 41		36	1051

Villiers-le-Bel "Déviation RD 10 / 370" - Fouille SDAVO 2009

Matériau	NSTUS	N° sondage	Description	Attribution	NR	NMI Poids (g)	Caisse n°	Boîte n°	Sac n°
os animal	Fo 200	AC	-30 à -40 cm.	Âge du Fer	70	0 11		36	1050
os animal	Fo 200	AI	-60 à -80 cm.	Âge du Fer	2	0 15		36	1049
os animal	Fo 200	AB	-60 à -80 cm.	Âge du Fer	3	0 66		36	1048
os animal	Fo 200	6	-20 cm démontage porcs immatures en connexion	Âge du Fer	145	0 417		37	1071
os animal	Fo 200	G	-55 cm. Démontage de porc en connexion.	Âge du Fer	48	0 200		30	851
os animal	Fo 200		-70 à -70 cm, angle sud ouest	Âge du Fer	19	0 84		40	1116
os animal	Fo 200		décapage bord est	Âge du Fer	1	0 1		40	1126
os animal	Fo 200		-70 cm, angle sud ouest	Âge du Fer	1	0 4		40	1125
os animal	Fo 200		-115 cm, angle sud ouest	Âge du Fer	1	0 23		40	1124
os animal	Fo 200		bordure nord, nettoyage de surface, os brûlé	Âge du Fer	1	0 1		40	1123
os animal	Fo 200		-110 à -140 cm, angle sud ouest	Âge du Fer	1	0 39		40	1122

Villiers-le-Bel "Déviation RD 10 / 370" - Fouille SDAVO 2009

Matériau	NSTUS	N° sondage	Description	Attribution	NR	NMI Poids (g)	Caisse n°	Boîte n°	Sac n°
os animal	Fo 200		-110 cm, angle sud ouest, os brûlé	Âge du Fer	1	0 2		40	1121
os animal	Fo 200	6	-20 à -23 cm nettoyage	Âge du Fer	20	0 35		37	1072
os animal	Fo 200		0 à -20 cm, angle nord est	Âge du Fer	1	0 4		40	1118
os animal	Fo 200	angle SO	-60 cm os brûlé	Âge du Fer	1	0 2		40	1130
os animal	Fo 200		-110 cm, angle sud ouest	Âge du Fer	1	0 3		40	1115
os animal	Fo 200		-50 à -60 cm, couche nord est (couche noire)	Âge du Fer	2	0 18		40	1114
os animal	Fo 200		-30 à -40 cm, angle nord est	Âge du Fer	1	0 ç		40	1113
os animal	Fo 200		huitre	Âge du Fer	1	0 8		40	1112
os animal	Fo 200	6	nettoyage	Âge du Fer	35	0 25		37	1069
os animal	Fo 200		-20 à -40 cm, enclos sud	Âge du Fer	1	0 9		40	1110
os animal	Fo 200		-50 à -60 cm, angle nord est (couche noire)	Âge du Fer	1	0 13		40	1119

Villiers-le-Bel "Déviation RD 10 / 370" - Fouille SDAVO 2009

Matériau	NSTUS	N° sondage	Description	Attribution	NR	NMI P oids (g)	Caisse n°	Boîte n°	Sac n°
os animal	Fo 200	E	0 à -20 cm.	Âge du Fer	5	0 50		31	877
os animal	Fo 200	H	-10 cm. Fragment de crâne du cheval.	Âge du Fer	1	0 1		31	885
os animal	Fo 200	H	0 à -10 cm.	Âge du Fer	1	0 25		31	884
os animal	Fo 200	F	-60 à -80 cm.	Âge du Fer	1	0 25		31	883
os animal	Fo 200	H	-20 à -40 cm. Os de carpe ou tarse?	Âge du Fer	1	0 1		31	882
os animal	Fo 200	H	-40 à -60 cm. 1 mandibule.	Âge du Fer	1	0 12		31	881
os animal	Fo 200	H	Inconnu. Fragment de crâne.	Âge du Fer	1	0 68		31	880
os animal	Fo 200		-30 à -50 cm, angle nord est, os brûlé	Âge du Fer	5	0 1		40	1128
os animal	Fo 200	F	-10 cm.	Âge du Fer	2	0 52		31	878
os animal	Fo 200	angle NE	0-20 cm	Âge du Fer	1	0 11		40	1129
os animal	Fo 200	E	-60 à -80 cm.	Âge du Fer	6	0 34		31	876
os animal	Fo 200	F	-8 cm.	Âge du Fer	6	0 50		31	875

Villiers-le-Bel "Déviation RD 10 / 370" - Fouille SDAVO 2009

Matériau	NSTUS	N° sondage	Description	Attribution	NR	NMI P oids (g)	Caisse n°	Boîte n°	Sac n°
os animal	Fo 200		-30 à -40 cm dent	Âge du Fer	1	0 1		40	1134
os animal	Fo 200		fossé nord	Âge du Fer	1	0 2		40	1133
os animal	Fo 200	angle NE	-30 à -50 cm	Âge du Fer	1	0 1		40	1132
os animal	Fo 200		HC os brûlé	Âge du Fer	25	0 7		40	1131
os animal	Fo 200		-40 à -60 cm, angle nord est	Âge du Fer	2	0 100		40	1109
os animal	Fo 200	H	0 à -20 cm.	Âge du Fer	2	0 130		31	879
os animal	Fo 200	6	nettoyage -38 cm	Âge du Fer	30	0 14		38	1080
os animal	Fo 200	P	0 à -10 cm	Âge du Fer	1	0 2749		39	1087
os animal	Fo 200		-130 cm, angle sud ouest	Âge du Fer	1	0 33		40	1111
os animal	Fo 200	40	-40 à -60 cm, crâne de boeuf	Âge du Fer	1	0 538		39	1086
os animal	Fo 200	35	-50 à -65 cm, crâne	Âge du Fer	1	0 692		20	1085
os animal	Fo 200	7	-30 à -40 cm, crâne de bœuf (démontage)	Âge du Fer	1	0 680		39	1084

Villiers-le-Bel "Déviation RD 10 / 370" - Fouille SDAVO 2009

Matériau	NSTUS	N° sondage	Description	Attribution	NR	NMI Poids (g)	Caisse n°	Boîte n°	Sac n°
os animal	Fo 200	6	-40 à -60 cm	Âge du Fer	25	0 148		38	1083
os animal	Fo 200		-150 cm, angle sud ouest	Âge du Fer	3	0 245		40	1090
os animal	Fo 200	6	-38 cm démontage porcs immatures en connexion	Âge du Fer	128	0 420		38	1081
os animal	Fo 200	24	humérus?	Âge du Fer	1	0 3		18	1089
os animal	Fo 200	6	-33 cm nettoyage	Âge du Fer	15	0 11		38	1079
os animal	Fo 200	6	-33 cm démontage porc immature en connexion	Âge du Fer	126	0 246		38	1078
os animal	Fo 200	6	-30 cm démontage porc immature en connexion	Âge du Fer	136	0 240		38	1077
os animal	Fo 200	6	-30 cm nettoyage	Âge du Fer	35	0 46		38	1076
os animal	Fo 200	6	-25 cm démontage porcs immatures en connexion	Âge du Fer	105	0 179		37	1075
os animal	Fo 200	6	-25 cm nettoyage os brûlé	Âge du Fer	17	0 15		37	1074

Villiers-le-Bel "Déviation RD 10 / 370" - Fouille SDAVO 2009

Matériau	NSTUS	N° sondage	Description	Attribution	NR	NMI Poids (g)	Caisse n°	Boîte n°	Sac n°
os animal	Fo 200	6	-23 cm démontage porcs immatures en connexion.	Âge du Fer	154	0 127		37	1073
os animal	Fo 200	6	-38 à -48 cm sous passe 7	Âge du Fer	137	0 80		38	1082
os animal	Fo 200		bordure est ouest, talus	Âge du Fer	1	0 42		40	1102
os animal	Fo 200		-40 à -50 cm, angle sud ouest, fémur	Âge du Fer	1	0 125		40	1093
os animal	Fo 200		-110 cm, angle sud ouest	Âge du Fer	4	0 142		40	1094
os animal	Fo 200		-100 à -120 cm, os brûlé, immature	Âge du Fer	25	0 258		40	1095
os animal	Fo 200		-60 à -80 cm, angle sud ouest Berne, mandibule	Âge du Fer	2	0 335		40	1096
os animal	Fo 200		-50 à -60 cm, angle sud est	Âge du Fer	3	0 23		40	1097
os animal	Fo 200		-30 cm, angle sud ouest	Âge du Fer	1	0 59		40	1106
os animal	Fo 200		- 30 à -50 cm, angle nord est	Âge du Fer	1	0 184		40	1098

Villiers-le-Bel "Déviation RD 10 / 370" - Fouille SDAVO 2009

Matériau	NSTUS	N° sondage	Description	Attribution	NR	NMI P oids (g)	Caisse n°	Boîte n°	Sac n°
os animal	Fo 200		-80 à -100 cm, angle sud ouest berne	Âge du Fer	1	0 95		40	1099
os animal	Fo 200		Angle sud ouest, démontage, crâne	Âge du Fer	1	0 521		40	1092
os animal	Fo 200		-20 cm, angle sud ouest, crâne	Âge du Fer	2	0 20		40	1105
os animal	Fo 200		angle sud ouest	Âge du Fer	2	0 104		40	1104
os animal	HC		proche F 201	Âge du Fer	1	0 32		40	1107
os animal	HC		scapula	Âge du Fer	1	0 90		40	1100
os animal	HC		zone nord décapage (0 à -20 cm)	Âge du Fer	1	0 1		40	1120
os animal	HC		extérieur enclos ouest, décapage	Âge du Fer	1	0 30		40	1108
os animal	HC		crâne	Âge du Fer	1	0 310		40	1101
os humain	F 501	1/2 nord	80 cm à 100 cm, radius droit immature, longueur : 5,08 cm	Âge du Fer	1	1 1		A1215	1585

Villiers-le-Bel "Déviation RD 10 / 370" - Fouille SDAVO 2009

Matériau	NSTUS	N° sondage	Description	Attribution	NR	NMI P oids (g)	Caisse n°	Boîte n°	Sac n°
os humain	F 501	1/2 nord	120-140 cm, tibia gauche immature, longueur max = 6,35 cm	Âge du Fer	1	0 3,5		A1215	1584
os humain	Fo 200	8	fragment de crâne, avec angle orbite et voûte	Âge du Fer	14	1 5		A1215	1088

Villiers-le-Bel "Déviation RD 10 / 370" - Fouille SDAVO 2009

Matériau	NSTUS	N° sondage	Description	Attribution	NR	NMI P oids (g)	Caisse n°	Boîte n°	Sac n°
os humain	Fo 200	U	-100 cm, n°1 (démontage), bloc crânio-facial, fragment avec frontal et angle orbite droit, fragments pariétaux D et G avec suture. Sutures peu synostosées. Sujet adulte. Table externe : un enfoncement selon axe médio-latéral. Forme ovale. Longueur : 2,06 cm, largeur : 1,80 cm. Enfoncement qui a provoqué un début d'esquille sans que la table soit arrachée. Conséquence d'un coup reçu. Impossible de dire si c'est post-mortem ou ante-mortem. Table interne : artères méningées, os peu altéré.	Âge du Fer	1	1 92		A1215	1375

Villiers-le-Bel "Déviation RD 10 / 370" - Fouille SDAVO 2009

Matériau	NSTUS	N° sondage	Description	Attribution	NR	NMI P oids (g)	Caisse n°	Boîte n°	Sac n°
os humain	Fo 200	8	-60 cm, bloc crânio-facial, frontal fragment, pariétal D et G fragments avec suture, forte oblitération des sutures sagittale et coronale, présence d'une trépanation résorbée. Sujet adulte. En plan, forme de la trépanation est ovale. Longueur : 1,97 cm, largeur : 1,81 cm. Etat de surface de l'os : rugueuse et uniformément ponctuée d'une multitude de petits orifices. S'agirait d'une hyperostose poreuse de la voûte crânienne. Table interne : destruction surface traces peu lisibles.	Âge du Fer	1	1 56		A1215	1376

Villiers-le-Bel "Déviation RD 10 / 370" - Fouille SDAVO 2009

Annexe 14

Inventaire des photographies

NOM du fichier	N° structure	Description	Auteur	Publiable
ARC09N08524-1	Fo200	Détail métal	J.-G. Pariat	Non
ARC09N08524-2	Décapage	vue générale1	J.-G. Pariat	Non
ARC09N08524-3	Décapage	vue générale2	J.-G. Pariat	Oui
ARC09N08524-4	Décapage	vue générale3	J.-G. Pariat	Non
ARC09N08524-5	Décapage	vue générale4	J.-G. Pariat	Non
ARC09N08524-6	Fo200	angleNEcoupe	C. Roy	Oui
ARC09N08524-7	Fo200	angleNEcoupe1	C. Roy	Oui
ARC09N08524-8	Fo200	angleNEcoupe	G. Le Goïc	Oui
ARC09N08524-9	Fo200	angleNEcoupe1	G. Le Goïc	Oui
ARC09N08524-10	Fo200	angleNEgénéral	V. Maret	Oui
ARC09N08524-11	Fo200	angleNEgénéral1	V. Maret	Oui
ARC09N08524-12	Fo200	angleNEgénéral2	V. Maret	Oui
ARC09N08524-13	Fo200	angleNEgénéral3	V. Maret	Non
ARC09N08524-14	Fo200	angleNEgénéral4	V. Maret	Non
ARC09N08524-15	Fo200	angleNEgénéral5	V. Maret	Non
ARC09N08524-16	Fo200	angleNEgénéral6	V. Maret	Non
ARC09N08524-17	F500	vue général	G. Le Goïc	Non
ARC09N08524-18	F500	Coupe	G. Le Goïc	Non
ARC09N08524-19	F500	Détail	G. Le Goïc	Non
ARC09N08524-20	F500	fond de fosse	G. Le Goïc	Non
ARC09N08524-21	Fo200	angleSOpasse1	J.-G. Pariat	Non
ARC09N08524-22	Fo200	angleSOpasse1	J.-G. Pariat	Non
ARC09N08524-23	Fo200	angleSOpasse1	J.-G. Pariat	Non
ARC09N08524-24	Décapage	conditions	J.-G. Pariat	Non
ARC09N08524-25	Décapage	conditions1	J.-G. Pariat	Oui
ARC09N08524-26	F502	Coupe	C. Roy	Non
ARC09N08524-27	F502	Coupe1	C. Roy	Non
ARC09N08524-28	F501	avecéchelle	G. Le Goïc	Non
ARC09N08524-29	F501	avecéchelle1	G. Le Goïc	Non
ARC09N08524-30	F501	avecéchelle2	G. Le Goïc	Non
ARC09N08524-31	F501	avecéchelledétail	G. Le Goïc	Non
ARC09N08524-32	F501	avecéchelledétail1	G. Le Goïc	Non
ARC09N08524-33	F501	passee1	J.-G. Pariat,Y. Zotna	Non
ARC09N08524-34	F501	passee1(2)	J.-G. Pariat,Y. Zotna	Non
ARC09N08524-35	F501	passee1(3)	J.-G. Pariat,Y. Zotna	Non
ARC09N08524-36	F501	passee1(4)	J.-G. Pariat,Y. Zotna	Non
ARC09N08524-37	F501	passee1(5)	J.-G. Pariat,Y. Zotna	Non
ARC09N08524-38	F501	passee1(6)	J.-G. Pariat,Y. Zotna	Non
ARC09N08524-39	F501	passee1(7)	J.-G. Pariat,Y. Zotna	Non
ARC09N08524-40	F501	passee1(8)	J.-G. Pariat,Y. Zotna	Non
ARC09N08524-41	F501	passee1(9)	J.-G. Pariat,Y. Zotna	Non
ARC09N08524-42	F501	sanséchelle	J.-G. Pariat	Non
ARC09N08524-43	F501	sanséchelle	J.-G. Pariat	Non
ARC09N08524-44	F503	CoupeSE-NO	A. Battistini	Non
ARC09N08524-45	F503	CoupeSE-NO1	A. Battistini	Non
ARC09N08524-46	F503	CoupeNE-SO	A. Battistini	Non
ARC09N08524-47	F501	passee2	G. Le Goïc,Y. Zotna	Non
ARC09N08524-48	F501	passee2(1)	G. Le Goïc,Y. Zotna	Non
ARC09N08524-49	F501	passee2(2)	G. Le Goïc,Y. Zotna	Non
ARC09N08524-50	F501	passee2(3)	G. Le Goïc,Y. Zotna	Non
ARC09N08524-51	F501	passee2(4)	G. Le Goïc,Y. Zotna	Non
ARC09N08524-52	F501	passee2(5)	G. Le Goïc,Y. Zotna	Non
ARC09N08524-53	F501	passee2(6)	G. Le Goïc,Y. Zotna	Non
ARC09N08524-54	F501	passee2(7)	G. Le Goïc,Y. Zotna	Non
ARC09N08524-55	F501	passee2général	G. Le Goïc	Non
ARC09N08524-56	F501	passee2général1	G. Le Goïc	Non
ARC09N08524-57	F501	passee2général2	G. Le Goïc	Non
ARC09N08524-58	F501	passee2général3	G. Le Goïc	Non
ARC09N08524-59	F501	passee2général4	G. Le Goïc	Non
ARC09N08524-60	F501	vue général	J.-G. Pariat	Oui
ARC09N08524-61	F501	vue général1	J.-G. Pariat	Oui
ARC09N08524-62	F501	vue général2	J.-G. Pariat	Non
ARC09N08524-63	F501	vue général3	J.-G. Pariat	Non
ARC09N08524-64	F501	vue général4	J.-G. Pariat	Oui

NOM du fichier	N° structure	Description	Auteur	Publiable
ARC09N08524-65	F501	potence	A. Battistini	Non
ARC09N08524-66	F501	potence1	A. Battistini	Non
ARC09N08524-67	F501	potence2	A. Battistini	Non
ARC09N08524-68	F501	potence3	A. Battistini	Non
ARC09N08524-69	F501	potence4	A. Battistini	Non
ARC09N08524-70	F501	potence5	A. Battistini	Non
ARC09N08524-71	F501	potence6	A. Battistini	Non
ARC09N08524-72	F501	potence7	A. Battistini	Non
ARC09N08524-73	F501	potence8	A. Battistini	Non
ARC09N08524-74	F501	potence9	A. Battistini	Non
ARC09N08524-75	F501	potence10	A. Battistini	Non
ARC09N08524-76	F501	potence11	A. Battistini	Non
ARC09N08524-77	F501	potence12	A. Battistini	Non
ARC09N08524-78	F503	vue général	A. Battistini	Oui
ARC09N08524-79	F503	vue général1	A. Battistini	Oui
ARC09N08524-80	F503	coupeSE-NO	A. Battistini	Non
ARC09N08524-81	F503	coupeSE-NO1	A. Battistini	Non
ARC09N08524-82	F503	coupeNE-SO	A. Battistini	Non
ARC09N08524-83	F503	coupeNE-SO1	A. Battistini	Non
ARC09N08524-84	F503	coupeSO-NE	A. Battistini	Non
ARC09N08524-85	F503	coupeNO-SE	A. Battistini	Non
ARC09N08524-86	F503	coupeNO-SE1	A. Battistini	Non
ARC09N08524-87	F503	coupeNO-SEdétail	A. Battistini	Non
ARC09N08524-88	F234	coupe	J.-G. Pariat	Non
ARC09N08524-89	F234	coupe1	J.-G. Pariat	Non
ARC09N08524-90	TP210	coupe	R. Marque	Non
ARC09N08524-91	TP210	coupe1	R. Marque	Non
ARC09N08524-92	F219	vue général	D. Chauvet	Non
ARC09N08524-93	F219	vue général1	D. Chauvet	Non
ARC09N08524-94	F219	vue général2	D. Chauvet	Oui
ARC09N08524-95	F235	coupe	A. Battistini	Oui
ARC09N08524-96	S226	coupe	D. Chauvet	Non
ARC09N08524-97	S226	coupe1	D. Chauvet	Non
ARC09N08524-98	S226	coupe2	D. Chauvet	Non
ARC09N08524-99	Fo200	SD4coupe	R. Marque	Non
ARC09N08524-100	Fo200	SD4coupe1	R. Marque	Non
ARC09N08524-101	Fo200	SD1passe1-65 cm	A. Battistini	Non
ARC09N08524-102	Fo200	SD1passe1-65 cm1	A. Battistini	Non
ARC09N08524-103	Fo200	SD2passe1-40 cm	R. Marque	Non
ARC09N08524-104	Fo200	SD3passe1-10 cm	I. Najera Marcos	Non
ARC09N08524-105	Fo200	SD1passe2	A. Battistini	Non
ARC09N08524-106	Fo200	SD1passe2(1)	A. Battistini	Non
ARC09N08524-107	Fo200	SD1passe2(2)	A. Battistini	Non
ARC09N08524-108	Fo200	SD1passe2(3)	A. Battistini	Non
ARC09N08524-109	Fo200	SD1passe2(4)	A. Battistini	Non
ARC09N08524-110	Fo200	SD1passe2(5)	A. Battistini	Non
ARC09N08524-111	Fo200	SD1passe2(6)	A. Battistini	Non
ARC09N08524-112	Fo200	SD1passe2(7)	A. Battistini	Non
ARC09N08524-113	Fo200	SD1passe2(8)	A. Battistini	Non
ARC09N08524-114	Fo200	SD1passe2(9)	A. Battistini	Non
ARC09N08524-115	Fo200	SD1passe2(10)	A. Battistini	Non
ARC09N08524-116	Fo200	SD1passe2(11)	A. Battistini	Non
ARC09N08524-117	Fo200	SD1passe2(12)	A. Battistini	Non
ARC09N08524-118	Fo200	SD1passe2(13)	A. Battistini	Non
ARC09N08524-119	Fo200	SD1passe2(14)	A. Battistini	Non
ARC09N08524-120	Fo200	SD1passe2(15)	A. Battistini	Non
ARC09N08524-121	Fo200	SD1passe2(16)	A. Battistini	Non
ARC09N08524-122	Fo200	SD1passe2(17)clou(?)	A. Battistini	Non
ARC09N08524-123	Fo200	SD2passe2	A. Battistini	Non
ARC09N08524-124	Fo200	SD2passe2(1)	A. Battistini	Non
ARC09N08524-125	Fo200	SD2passe2(2)	A. Battistini	Non
ARC09N08524-126	Fo200	SD2passe2(3)	A. Battistini	Non
ARC09N08524-127	Fo200	SD2passe2(4)	A. Battistini	Non
ARC09N08524-128	Fo200	SD2passe2(5)	A. Battistini	Non

NOM du fichier	N° structure	Description	Auteur	Publiable
ARC09N08524-129	Fo200	SD2passe2(6)	A. Battistini	Non
ARC09N08524-130	Fo200	SD2passe2(7)	A. Battistini	Non
ARC09N08524-131	Fo200	SD2passe2(8)	A. Battistini	Non
ARC09N08524-132	Fo200	SD2passe2(9)	A. Battistini	Non
ARC09N08524-133	Fo200	SD2passe2(10)	A. Battistini	Non
ARC09N08524-134	Fo200	SD2passe2(11)	A. Battistini	Non
ARC09N08524-135	Fo200	SD5	R. Marque	Oui
ARC09N08524-136	Fo200	SD5	R. Marque	Non
ARC09N08524-137	Fo200	SD5	R. Marque	Non
ARC09N08524-138	Fo200	SD5	R. Marque	Non
ARC09N08524-139	Fo200	SD8	R. Marque	Oui
ARC09N08524-140	Fo200	SD8(1)	R. Marque	Non
ARC09N08524-141	Fo200	SD8coupe	R. Marque	Non
ARC09N08524-142	Fo200	SD8coupe1	R. Marque	Non
ARC09N08524-143	Fo200	SD9	R. Marque	Oui
ARC09N08524-144	Fo200	SD9(1)	R. Marque	Oui
ARC09N08524-145	F220	vuegénéral	I. Najera Marcos	Non
ARC09N08524-146	F220	vuegénéral1	I. Najera Marcos	Non
ARC09N08524-147	F201	vuegénéral	I. Najera Marcos	Oui
ARC09N08524-148	F201	vuegénéral1	I. Najera Marcos	Oui
ARC09N08524-149	F201	vuegénéral2	I. Najera Marcos	Oui
ARC09N08524-150	F201	vuegénéral3	I. Najera Marcos	Oui
ARC09N08524-151	F207	vuegénéral	G. Le Goïc	Oui
ARC09N08524-152	F207	vuegénéral1	G. Le Goïc	Non
ARC09N08524-153	F207	vuegénéral2	G. Le Goïc	Non
ARC09N08524-154	F207	vuegénéral3	G. Le Goïc	Non
ARC09N08524-155	F207	vuegénéral4	G. Le Goïc	Non
ARC09N08524-156	F501	passe-70 cm	R. Marque	Non
ARC09N08524-157	F501	passe-70 cmDétail	R. Marque	Non
ARC09N08524-158	Fo200	SD10	R. Marque	Oui
ARC09N08524-159	Fo200	SD10(1)	R. Marque	Non
ARC09N08524-160	Fo200	SD11	R. Marque	Non
ARC09N08524-161	Fo200	SD11(1)	R. Marque	Non
ARC09N08524-162	Fo200	SD11(2)	R. Marque	Non
ARC09N08524-163	Fo200	SD12	V. Maret	Non
ARC09N08524-164	Fo200	SD12coupe	J.-G. Pariat	Oui
ARC09N08524-165	Fo200	SD12coupe1	J.-G. Pariat	Oui
ARC09N08524-166	Fo200	SD3	C. Roy	Non
ARC09N08524-167	Fo200	SD3(1)	C. Roy	Non
ARC09N08524-168	Fo200	SD3(2)	C. Roy	Non
ARC09N08524-169	Fo200	SD3(3)	C. Roy	Oui
ARC09N08524-170	Fo200	SD3(4)	C. Roy	Oui
ARC09N08524-171	Fo200	SD3(5)	C. Roy	Oui
ARC09N08524-172	Fo200	SD3(6)	C. Roy	Non
ARC09N08524-173	Fo200	SD3(7)	C. Roy	Non
ARC09N08524-174	Fo200	SD3(8)	C. Roy	Non
ARC09N08524-175	Fo200	SD3(9)	C. Roy	Non
ARC09N08524-176	Fo200	SD3(10)	C. Roy	Non
ARC09N08524-177	Fo200	SD3(11)	C. Roy	Non
ARC09N08524-178	Fo200	SD3(12)	C. Roy	Oui
ARC09N08524-179	Fo200	SD3(13)	C. Roy	Oui
ARC09N08524-180	Fo200	SD3(14)	C. Roy	Non
ARC09N08524-181	Fo200	SD3(15)	C. Roy	Non
ARC09N08524-182	Fo200	SD3(16)	C. Roy	Oui
ARC09N08524-183	Fo200	SD3(17)	C. Roy	Non
ARC09N08524-184	TP212	vuegénéral	G. Le Goïc	Non
ARC09N08524-185	TP212	vuegénéral1	G. Le Goïc	Oui
ARC09N08524-186	TP212	vuegénéral2	G. Le Goïc	Oui
ARC09N08524-187	TP216	vuegénéral	D. Chauvet	Non
ARC09N08524-188	TP216	vuegénéral1	D. Chauvet	Non
ARC09N08524-189	TP216	vuegénéral2	D. Chauvet	Non
ARC09N08524-190	TP216	vuegénéraldétailcoupe	D. Chauvet	Non
ARC09N08524-191	TP221	vuegénéral	D. Chauvet	Non
ARC09N08524-192	TP221	vuegénéral1	D. Chauvet	Non

NOM du fichier	N° structure	Description	Auteur	Publiable
ARC09N08524-193	TP221	vuegénéral2	D. Chauvet	Non
ARC09N08524-194	TP221	vuegénéral3	D. Chauvet	Non
ARC09N08524-195	F209	vuegénéral	G. Le Goïc	Non
ARC09N08524-196	F214	vuegénéral	G. Le Goïc	Non
ARC09N08524-197	F214	vuegénéral1	G. Le Goïc	Non
ARC09N08524-198	F214	vuegénéral2	G. Le Goïc	Non
ARC09N08524-199	F214	vuegénéral3	G. Le Goïc	Non
ARC09N08524-200	F214	coupe	G. Le Goïc	Non
ARC09N08524-201	F215	vuegénéral	G. Le Goïc	Non
ARC09N08524-202	F215	vuegénéral1	G. Le Goïc	Non
ARC09N08524-203	F215	vuegénéral2	G. Le Goïc	Non
ARC09N08524-204	F215	coupe	G. Le Goïc	Non
ARC09N08524-205	F215	coupe1	G. Le Goïc	Non
ARC09N08524-206	F227	vuegénéral	A. Battistini	Non
ARC09N08524-207	F227	vuegénéral1	A. Battistini	Non
ARC09N08524-208	F227	vuegénéral2	A. Battistini	Non
ARC09N08524-209	F232	vuegénéral	A. Battistini	Non
ARC09N08524-210	F501	vuegénéral1	R. Marque	Oui
ARC09N08524-211	F501	vuegénéral2	R. Marque	Non
ARC09N08524-212	F501	vuegénéral3	R. Marque	Non
ARC09N08524-213	F501	vuegénéral4	R. Marque	Oui
ARC09N08524-214	Fo200	SD13	V. Maret	Non
ARC09N08524-215	Fo200	SD13(1)	V. Maret	Oui
ARC09N08524-216	Fo200	SD13(2)	V. Maret	Oui
ARC09N08524-217	Fo200	SD13(3)	V. Maret	Non
ARC09N08524-218	Fo200	SD13(4)	V. Maret	Non
ARC09N08524-219	Fo200	SD13(5)	V. Maret	Non
ARC09N08524-220	Fo200	SD13(6)	V. Maret	Non
ARC09N08524-221	Fo200	SD13(7)	V. Maret	Non
ARC09N08524-222	Fo200	SD15coupeErreur sur plaque	J.-G. Pariat	Oui
ARC09N08524-223	Fo200	SD15coupe(1)Erreur sur plaque	J.-G. Pariat	Non
ARC09N08524-224	Fo200	SD15coupe(2)Erreur sur plaque	J.-G. Pariat	Non
ARC09N08524-225	Fo200	SD3passe1	C. Roy	Non
ARC09N08524-226	Fo200	SD3passe1(1)	C. Roy	Non
ARC09N08524-227	Fo200	SD3passe1(2)	C. Roy	Oui
ARC09N08524-228	Fo200	SD3passe1(3)	C. Roy	Non
ARC09N08524-229	Fo200	SD3passe1(4)	C. Roy	Non
ARC09N08524-230	Fo200	SD3passe1(5)	C. Roy	Non
ARC09N08524-231	Fo200	SD3passe1(6)	C. Roy	Non
ARC09N08524-232	Fo200	SD3passe1(7)	C. Roy	Non
ARC09N08524-233	F239	vuegénéral	A. Battistini	Non
ARC09N08524-234	TP229	vuegénéral	I. Najera Marcos	Oui
ARC09N08524-235	TP229	vuegénéral1	I. Najera Marcos	Oui
ARC09N08524-236	TP229	vuegénéral2	I. Najera Marcos	Non
ARC09N08524-237	F200	SD16	V. Maret	Non
ARC09N08524-238	F200	SD17	V. Maret	Non
ARC09N08524-239	Fo200	SD17(1)	V. Maret	Oui
ARC09N08524-240	F501	passe7-90 cm	V. Maret	Non
ARC09N08524-241	F501	passe7-90 cm1	R. Marque	Non
ARC09N08524-242	F501	passe7-90 cm2	R. Marque	Non
ARC09N08524-243	F501	passe7-90 cm3	R. Marque	Non
ARC09N08524-244	F501	détailtravailboisconstruction	R. Marque	Non
ARC09N08524-245	F501	détailtravailboisconstruction1	R. Marque	Non
ARC09N08524-246	Fo200	SD14potence-60cm	D. Chauvet	Non
ARC09N08524-247	Fo200	SD14potence-60 cm1	D. Chauvet	Non
ARC09N08524-248	Fo200	SD14potence-60cm2	D. Chauvet	Non
ARC09N08524-249	Fo200	SD14potence-60 cm3	D. Chauvet	Non
ARC09N08524-250	Fo200	SD14potence-60cm4	D. Chauvet	Non
ARC09N08524-251	Fo200	SD14potence-60 cm5	D. Chauvet	Non
ARC09N08524-252	Fo200	SD14potence-60 cm6	D. Chauvet	Non
ARC09N08524-253	Fo200	SD18coupe	V. Maret	Oui
ARC09N08524-254	Fo200	SD18coupe1	V. Maret	Oui
ARC09N08524-255	Fo200	SD18coupe2	V. Maret	Oui
ARC09N08524-256	Fo200	SD7oblique-30à-40 cm	I. Najera Marcos	Non

NOM du fichier	N° structure	Description	Auteur	Publiable
ARC09N08524-257	Fo200	SD7oblique-30à-40 cm1	I. Najera Marcos	Oui
ARC09N08524-258	Fo200	SD7oblique-30à-40 cm2	I. Najera Marcos	Non
ARC09N08524-259	Fo200	SD7oblique-30à-40 cm3	I. Najera Marcos	Oui
ARC09N08524-260	Fo200	SD7potence-30à-40 cm	I. Najera Marcos	Non
ARC09N08524-261	Fo200	SD7potence-30à-40 cm1	I. Najera Marcos	Non
ARC09N08524-262	Fo200	SD7potence-30à-40 cm2	I. Najera Marcos	Non
ARC09N08524-263	Fo200	SD7potence-30à-40 cm3	I. Najera Marcos	Oui
ARC09N08524-264	Fo200	SD7potence-30à-40 cm4	I. Najera Marcos	Non
ARC09N08524-265	Fo200	SD7potence-30à-40 cm5	I. Najera Marcos	Non
ARC09N08524-266	Fo200	SD20de0à-20 cm	J.-G. Pariat	Non
ARC09N08524-267	Fo200	SD20de0à-20 cm1	J.-G. Pariat	Non
ARC09N08524-268	F501	passee-95 cm	R. Marque	Oui
ARC09N08524-269	F501	passee-95 cm1	R. Marque	Non
ARC09N08524-270	F501	passee-95 cm2	R. Marque	Oui
ARC09N08524-271	F501	passee-95cm3	R. Marque	Non
ARC09N08524-272	F501	passee-95 cm4	R. Marque	Non
ARC09N08524-273	F501	passee-95 cm5	R. Marque	Non
ARC09N08524-274	F501	passee-95 cm6	R. Marque	Non
ARC09N08524-275	F501	passee-95 cm7	R. Marque	Non
ARC09N08524-276	Fo200	SD21	V. Maret	Non
ARC09N08524-277	Fo200	SD21(1)	V. Maret	Oui
ARC09N08524-278	Fo200	SD21(3)	V. Maret	Non
ARC09N08524-279	Fo200	SD21(4)	V. Maret	Non
ARC09N08524-280	Fo200	SD21(5)	V. Maret	Non
ARC09N08524-281	Fo200	SD21(6)	V. Maret	Non
ARC09N08524-282	Fo200	SD20	V. Maret	Non
ARC09N08524-284	Fo200	SD20(2)	V. Maret	Non
ARC09N08524-285	Fo200	SD20(3)	V. Maret	Non
ARC09N08524-286	Fo200	SD20(4)	V. Maret	Non
ARC09N08524-287	Fo200	SD23	J.-G. Pariat	Non
ARC09N08524-288	Fo200	SD23(1)	J.-G. Pariat	Oui
ARC09N08524-289	Fo200	SD23(2)	J.-G. Pariat	Non
ARC09N08524-290	Fo200	SD7	J.-G. Pariat	Oui
ARC09N08524-291	Fo200	SD7(1)	J.-G. Pariat	Non
ARC09N08524-292	Fo200	SD7(2)	J.-G. Pariat	Non
ARC09N08524-293	Fo200	SdBpasse1	C. Roy	Non
ARC09N08524-294	Fo200	SdBpasse1(1)	C. Roy	Non
ARC09N08524-295	Fo200	SdBpasse1(2)	C. Roy	Non
ARC09N08524-296	Fo200	SdBpasse1(3)	C. Roy	Non
ARC09N08524-297	Fo200	SdBpasse1(4)	C. Roy	Non
ARC09N08524-298	Fo200	SdBpasse1(5)	C. Roy	Non
ARC09N08524-299	Fo200	SdBpasse1(6)	C. Roy	Non
ARC09N08524-300	Fo200	SdBpasse1(7)	C. Roy	Non
ARC09N08524-301	Fo200	SdBpasse1(8)	C. Roy	Non
ARC09N08524-302	Fo200	SdBpasse1(9)	C. Roy	Non
ARC09N08524-303	Fo200	SdBpasse1(10)	C. Roy	Non
ARC09N08524-304	Fo200	SdBmonnaie	C. Roy	Non
ARC09N08524-305	Fo200	SdBmonnaie1	C. Roy	Oui
ARC09N08524-306	Fo200	SdBmonnaie2	C. Roy	Oui
ARC09N08524-307	Fo200	SdBmonnaie3	C. Roy	Non
ARC09N08524-308	F501	planche-100 cm	R. Marque	Non
ARC09N08524-309	F501	planche-100 cm1	R. Marque	Non
ARC09N08524-310	Fo200	SD20coupe	J.-G. Pariat	Non
ARC09N08524-311	Fo200	SD20coupe1	J.-G. Pariat	Non
ARC09N08524-312	Fo200	SD20coupe2	J.-G. Pariat	Oui
ARC09N08524-313	Fo200	SD22coupe	J.-G. Pariat	Oui
ARC09N08524-314	Fo200	SD22coupe1	J.-G. Pariat	Non
ARC09N08524-315	Fo200	SD22passe1	I. Najera Marcos	Non
ARC09N08524-316	Fo200	SD22passe1(1)	I. Najera Marcos	Non
ARC09N08524-317	Fo200	SD22passe1(2)	I. Najera Marcos	Non
ARC09N08524-318	Fo200	SD22passe1(3)	I. Najera Marcos	Non
ARC09N08524-319	Fo200	SD22passe1(4)	I. Najera Marcos	Oui
ARC09N08524-320	Fo200	SD22passe1(5)	I. Najera Marcos	Oui
ARC09N08524-321	Fo200	SD23coupe	J.-G. Pariat	Oui

NOM du fichier	N° structure	Description	Auteur	Publiable
ARC09N08524-322	Fo200	SD23coupe1	J.-G. Pariat	Non
ARC09N08524-323	Fo200	SD26coupe	J.-G. Pariat	Non
ARC09N08524-324	Fo200	SD26coupe1	J.-G. Pariat	Non
ARC09N08524-325	Fo200	SD26coupe2	J.-G. Pariat	Non
ARC09N08524-326	Fo200	SD2détail	G. Le Goïc	Non
ARC09N08524-327	Fo200	SD2détail1	G. Le Goïc	Non
ARC09N08524-328	Fo200	SD2détail2	G. Le Goïc	Non
ARC09N08524-329	Fo200	SD2détail3	G. Le Goïc	Non
ARC09N08524-330	Fo200	SD2détail4	G. Le Goïc	Non
ARC09N08524-331	Fo200	SD2détail5	G. Le Goïc	Oui
ARC09N08524-332	Fo200	SD2	G. Le Goïc	Non
ARC09N08524-333	Fo200	SD6	A. Battistini	Non
ARC09N08524-334	Fo200	SD6(1)	A. Battistini	Non
ARC09N08524-335	Fo200	SD6(2)	A. Battistini	Non
ARC09N08524-336	Fo200	SD6(3)	A. Battistini	Non
ARC09N08524-337	Fo200	SD6détail	A. Battistini	Oui
ARC09N08524-338	Fo200	SD6détail1	A. Battistini	Non
ARC09N08524-339	Fo200	SD6détail2	A. Battistini	Non
ARC09N08524-340	Fo200	SD27coupe	V. Maret	Non
ARC09N08524-341	Fo200	SD27coupe1	V. Maret	Oui
ARC09N08524-342	Fo200	SD28coupe	V. Maret	Non
ARC09N08524-343	Fo200	SD28coupe1	V. Maret	Non
ARC09N08524-344	Fo200	SD28coupe2	V. Maret	Oui
ARC09N08524-345	Fo200	SD21passe2	I. Najera Marcos	Oui
ARC09N08524-346	Fo200	SD21passe2(1)	I. Najera Marcos	Non
ARC09N08524-347	Fo200	SD21passe2(2)	I. Najera Marcos	Non
ARC09N08524-348	Fo200	SD21passe2(3)	I. Najera Marcos	Oui
ARC09N08524-349	Fo200	SD21passe2(4)	I. Najera Marcos	Non
ARC09N08524-350	Fo200	SD21passe2(5)	I. Najera Marcos	Non
ARC09N08524-351	Fo200	SD21passe3	I. Najera Marcos	Non
ARC09N08524-352	Fo200	SD21passe3(1)	I. Najera Marcos	Non
ARC09N08524-353	Fo200	SD21passe3(2)	I. Najera Marcos	Non
ARC09N08524-354	Fo200	SD21passe3(3)	I. Najera Marcos	Non
ARC09N08524-355	Fo200	SD21passe3(4)	I. Najera Marcos	Non
ARC09N08524-356	Fo200	SD29coupe	V. Maret	Non
ARC09N08524-357	Fo200	SD29coupe1	V. Maret	Oui
ARC09N08524-358	Fo200	SD29coupe2	V. Maret	Non
ARC09N08524-359	Fo200	SD2passeavantcrâne	G. Le Goïc	Non
ARC09N08524-360	Fo200	SD2passeavantcrâne1	G. Le Goïc	Non
ARC09N08524-361	Fo200	SD2passeavantcrâne2	G. Le Goïc	Non
ARC09N08524-362	Fo200	SD2passeavantcrâne3	G. Le Goïc	Non
ARC09N08524-363	Fo200	SD2passeavantcrâne4	G. Le Goïc	Non
ARC09N08524-364	Fo200	SD2passeavantcrâne5	G. Le Goïc	Non
ARC09N08524-365	Fo200	SD2passeavantcrâne6	G. Le Goïc	Non
ARC09N08524-366	Fo200	SD2passeavantcrâne7	G. Le Goïc	Non
ARC09N08524-367	Fo200	SD30coupe	V. Maret	Non
ARC09N08524-368	Fo200	SD30coupe1	V. Maret	Oui
ARC09N08524-369	Fo200	SD30coupe2	V. Maret	Non
ARC09N08524-370	Fo200	SD30coupe3	V. Maret	Oui
ARC09N08524-371	Fo200	SD31coupe	V. Maret	Non
ARC09N08524-372	Fo200	SD31coupe1	V. Maret	Non
ARC09N08524-373	Fo200	SD31coupe2	V. Maret	Non
ARC09N08524-374	Fo200	SD33coupe	V. Maret	Non
ARC09N08524-375	Fo200	SD33coupe1	V. Maret	Non
ARC09N08524-376	Fo200	SD33coupe2	V. Maret	Non
ARC09N08524-377	Fo200	SD33coupe3	V. Maret	Oui
ARC09N08524-378	Fo200	SD34coupe	V. Maret	Non
ARC09N08524-379	Fo200	SD34coupe1	V. Maret	Non
ARC09N08524-380	Fo200	SD34coupe2	V. Maret	Non
ARC09N08524-381	Fo200	SD34coupe3	V. Maret	Non
ARC09N08524-382	Fo200	SD34coupe4	V. Maret	Non
ARC09N08524-383	Fo200	SD37surface	J.-G. Pariat	Non
ARC09N08524-384	Fo200	SD37surface1	J.-G. Pariat	Non
ARC09N08524-385	Fo200	SD37surface2	J.-G. Pariat	Non

NOM du fichier	N° structure	Description	Auteur	Publiable
ARC09N08524-386	Fo200	SD37surface3	J.-G. Pariat	Non
ARC09N08524-387	Fo200	SD37surface4	J.-G. Pariat	Non
ARC09N08524-388	Fo200	SD37surface5	J.-G. Pariat	Non
ARC09N08524-389	Fo200	SD37surface6	J.-G. Pariat	Non
ARC09N08524-390	Fo200	SD37surface7	J.-G. Pariat	Non
ARC09N08524-391	Fo200	SD37surface8	J.-G. Pariat	Non
ARC09N08524-392	Fo200	SD37surface9	J.-G. Pariat	Non
ARC09N08524-393	Fo200	SD37surface10	J.-G. Pariat	Non
ARC09N08524-394	Fo200	SD19passe2	D. Chauvet	Non
ARC09N08524-395	Fo200	SD19passe2(1)	D. Chauvet	Non
ARC09N08524-396	Fo200	SD19passe2(2)	D. Chauvet	Non
ARC09N08524-397	Fo200	SD19passe2(3)	D. Chauvet	Non
ARC09N08524-398	Fo200	SD19passe2(4)	D. Chauvet	Non
ARC09N08524-399	Fo200	SD19passe2(5)	D. Chauvet	Non
ARC09N08524-400	Fo200	SD19passe2(6)	D. Chauvet	Non
ARC09N08524-401	Fo200	SD19passe2(7)	D. Chauvet	Non
ARC09N08524-402	Fo200	SD19passe2(8)	D. Chauvet	Non
ARC09N08524-403	Fo200	SD19coupe	V. Maret	Non
ARC09N08524-404	Fo200	SD19coupe1	V. Maret	Non
ARC09N08524-405	Fo200	SD19coupe2	V. Maret	Non
ARC09N08524-406	Fo200	SD21coupe	V. Maret	Non
ARC09N08524-407	Fo200	SD21coupe1	V. Maret	Oui
ARC09N08524-408	Fo200	SD21coupe2	V. Maret	Oui
ARC09N08524-409	Fo200	SD21coupe3	V. Maret	Non
ARC09N08524-410	Fo200	SD36coupe	V. Maret	Non
ARC09N08524-411	Fo200	SD36coupe1	V. Maret	Non
ARC09N08524-412	Fo200	SD36coupe2	V. Maret	Non
ARC09N08524-413	Fo200	SD37coupe	V. Maret	Non
ARC09N08524-414	Fo200	SD37coupe1	V. Maret	Non
ARC09N08524-415	Fo200	SD37coupe2	V. Maret	Oui
ARC09N08524-416	Fo200	SD37coupe3	V. Maret	Non
ARC09N08524-417	F203	coupe	V. Maret	Non
ARC09N08524-418	F203	coupe1	V. Maret	Non
ARC09N08524-419	F203	vuegénéral	V. Maret	Non
ARC09N08524-420	F203	vuegénéral1	V. Maret	Non
ARC09N08524-421	F203	vuegénéral2	V. Maret	Non
ARC09N08524-422	F219	coupe	V. Maret	Non
ARC09N08524-423	F219	coupe1	V. Maret	Non
ARC09N08524-424	F219	coupe2	V. Maret	Oui
ARC09N08524-425	Fo200	SD13passe2potence	I. Najera Marcos	Non
ARC09N08524-426	Fo200	SD13passe2potence1	I. Najera Marcos	Non
ARC09N08524-427	Fo200	SD13passe2potence2	I. Najera Marcos	Non
ARC09N08524-428	Fo200	SD13passe2potence3	I. Najera Marcos	Non
ARC09N08524-429	Fo200	SD13passe2potence4	I. Najera Marcos	Non
ARC09N08524-430	Fo200	SD13coupe	V. Maret	Non
ARC09N08524-431	Fo200	SD13coupe1	V. Maret	Non
ARC09N08524-432	Fo200	SD13coupe2	V. Maret	Oui
ARC09N08524-433	Fo200	SD32passe1potence	J.-G. Pariat	Non
ARC09N08524-434	Fo200	SD32passe1potence1	J.-G. Pariat	Non
ARC09N08524-435	Fo200	SD32passe1potence2	J.-G. Pariat	Non
ARC09N08524-436	Fo200	SD32passe1potence3	J.-G. Pariat	Non
ARC09N08524-437	Fo200	SD32passe1potence4	J.-G. Pariat	Non
ARC09N08524-438	Fo200	SD32passe1potence5	J.-G. Pariat	Non
ARC09N08524-439	Fo200	SD32passe1potence6	J.-G. Pariat	Non
ARC09N08524-440	Fo200	SD32passe1potence7	J.-G. Pariat	Non
ARC09N08524-441	Fo200	SD32passe1potence8	J.-G. Pariat	Non
ARC09N08524-442	Fo200	SD32passe1potence9	J.-G. Pariat	Non
ARC09N08524-443	Fo200	SD32passe1potence10	J.-G. Pariat	Non
ARC09N08524-444	Fo200	SD32passe1potence11	J.-G. Pariat	Non
ARC09N08524-445	Fo200	SD6cochons-cours-fouille	A. Battistini	Non
ARC09N08524-446	Fo200	SD6cochons-cours-fouille1	A. Battistini	Non
ARC09N08524-447	Fo200	SD6cochons-cours-fouille2	A. Battistini	Non
ARC09N08524-448	Fo200	SD6cochons-cours-fouille3	A. Battistini	Non
ARC09N08524-449	Fo200	SD6cochons-cours-fouille4	A. Battistini	Non

NOM du fichier	N° structure	Description	Auteur	Publiable
ARC09N08524-450	Fo200	SD6cochons-cours-fouille5	A. Battistini	Non
ARC09N08524-451	Fo200	SD6cochons-cours-fouille6	A. Battistini	Non
ARC09N08524-452	Fo200	SD6cochons-cours-fouille7	A. Battistini	Non
ARC09N08524-453	F501	avant-redécapage	R. Marque	Oui
ARC09N08524-454	F501	avant-redécapage1	R. Marque	Non
ARC09N08524-455	F501	avant-redécapage2	R. Marque	Non
ARC09N08524-456	F501	avant-redécapage3	R. Marque	Non
ARC09N08524-457	F501	avant-redécapage4	R. Marque	Non
ARC09N08524-458	F501	avant-redécapage5	R. Marque	Non
ARC09N08524-459	F501	coupe	R. Marque	Non
ARC09N08524-460	Fo200	SD14passe2	D. Chauvet	Non
ARC09N08524-461	Fo200	SD14passe(1)	D. Chauvet	Oui
ARC09N08524-462	Fo200	SD14passe(2)	D. Chauvet	Non
ARC09N08524-463	Fo200	SD14passe(3)	D. Chauvet	Non
ARC09N08524-464	Fo200	SD14passe(4)	D. Chauvet	Non
ARC09N08524-465	Fo200	SD14passe(5)	D. Chauvet	Non
ARC09N08524-466	Fo200	SD14passe(6)	D. Chauvet	Non
ARC09N08524-467	Fo200	SD14passe(7)	D. Chauvet	Non
ARC09N08524-468	Fo200	SD14passe(8)	D. Chauvet	Non
ARC09N08524-469	Fo200	SD14passe(9)	D. Chauvet	Non
ARC09N08524-470	Fo200	SD14passe2détail	D. Chauvet	Oui
ARC09N08524-471	Fo200	SD14passe2détail1	D. Chauvet	Non
ARC09N08524-472	Fo200	SD14passe2détail2	D. Chauvet	Non
ARC09N08524-473	Fo200	SD14passe2détail3	D. Chauvet	Non
ARC09N08524-474	Fo200	SD14passe2détail4	D. Chauvet	Non
ARC09N08524-475	Fo200	SD14passe2détail5	D. Chauvet	Non
ARC09N08524-476	Fo200	SD14passe2détail6	D. Chauvet	Non
ARC09N08524-477	Fo200	SD14passe2détail7	D. Chauvet	Oui
ARC09N08524-478	Fo200	SD14passe2détail8	D. Chauvet	Non
ARC09N08524-479	Fo200	SD14passe2détail9	D. Chauvet	Non
ARC09N08524-480	Fo200	SD14passe2détail10	D. Chauvet	Oui
ARC09N08524-481	Fo200	SD14passe2détail11	D. Chauvet	Non
ARC09N08524-482	Fo200	SD14passe2détail12	D. Chauvet	Non
ARC09N08524-483	Fo200	SD14passe2détail13	D. Chauvet	Non
ARC09N08524-484	Fo200	SD14passe2détail14	D. Chauvet	Non
ARC09N08524-485	Fo200	SD14passe2détail15	D. Chauvet	Non
ARC09N08524-486	Fo200	SD14passe2détail16	D. Chauvet	Non
ARC09N08524-487	Fo200	SD32passe2	I. Najera Marcos	Non
ARC09N08524-488	Fo200	SD32passe2(1)	I. Najera Marcos	Non
ARC09N08524-489	Fo200	SD32passe2(2)	I. Najera Marcos	Non
ARC09N08524-490	Fo200	SD32passe2(3)	I. Najera Marcos	Non
ARC09N08524-491	Fo200	SD32passe2(4)	I. Najera Marcos	Non
ARC09N08524-492	F504	coupe	J.-G. Pariat	Non
ARC09N08524-493	F504	coupe1	J.-G. Pariat	Non
ARC09N08524-494	F504	coupe2	J.-G. Pariat	Oui
ARC09N08524-495	F504	coupe3	J.-G. Pariat	Oui
ARC09N08524-496	Fo200	SD35potence	I. Najera Marcos	Non
ARC09N08524-497	Fo200	SD35potence1	I. Najera Marcos	Non
ARC09N08524-498	Fo200	SD35potence2	I. Najera Marcos	Non
ARC09N08524-499	Fo200	SD35potence3	I. Najera Marcos	Non
ARC09N08524-500	Fo200	SD35potence4	I. Najera Marcos	Non
ARC09N08524-501	Fo200	SD35potence5	I. Najera Marcos	Non
ARC09N08524-502	Fo200	SD35potence6	I. Najera Marcos	Non
ARC09N08524-503	F504	coupe	J.-G. Pariat	Non
ARC09N08524-504	F504	coupe1	J.-G. Pariat	Non
ARC09N08524-505	F504	coupe2	J.-G. Pariat	Non
ARC09N08524-506	Fo200	SD1passe3potence	C. Roy	Non
ARC09N08524-507	Fo200	SD1passe3potence1	C. Roy	Non
ARC09N08524-508	Fo200	SD1passe3potence2	C. Roy	Non
ARC09N08524-509	Fo200	SD1passe3potence3	C. Roy	Non
ARC09N08524-510	Fo200	SD1passe3potence4	C. Roy	Non
ARC09N08524-511	Fo200	SD1passe3potence5	C. Roy	Non
ARC09N08524-512	Fo200	SD1passe3détail	C. Roy	Non
ARC09N08524-513	Fo200	SD1passe3détail1	C. Roy	Oui

NOM du fichier	N° structure	Description	Auteur	Publiable
ARC09N08524-514	Fo200	SD1passe3détail2	C. Roy	Non
ARC09N08524-515	Fo200	SD1passe3détail3	C. Roy	Non
ARC09N08524-516	Fo200	SD2potence	V. Maret	Non
ARC09N08524-517	Fo200	SD2potence1	V. Maret	Non
ARC09N08524-518	Fo200	SD2potence2	V. Maret	Non
ARC09N08524-519	Fo200	SD2potence3	V. Maret	Oui
ARC09N08524-520	Fo200	SD2potence4	V. Maret	Non
ARC09N08524-521	Fo200	SD2potence5	V. Maret	Oui
ARC09N08524-522	Fo200	SD2potence6	V. Maret	Oui
ARC09N08524-523	Fo200	SD2potence7	V. Maret	Oui
ARC09N08524-524	Fo200	photo supprimée	V. Maret	Non
ARC09N08524-525	Fo200	SD2potence9	V. Maret	Non
ARC09N08524-526	Fo200	SD2potence10	V. Maret	Non
ARC09N08524-527	Fo200	SD2potence11	V. Maret	Non
ARC09N08524-528	Fo200	SD2potence12	V. Maret	Oui
ARC09N08524-529	Fo200	SD2potence13	V. Maret	Non
ARC09N08524-530	Fo200	SD2potence14	V. Maret	Non
ARC09N08524-531	Fo200	SD2potence15	V. Maret	Oui
ARC09N08524-532	Fo200	SD2potence16	V. Maret	Non
ARC09N08524-533	Fo200	SD2potence17	V. Maret	Non
ARC09N08524-534	Fo200	SD2potence18	V. Maret	Oui
ARC09N08524-535	Fo200	SD2potence19	V. Maret	Non
ARC09N08524-536	Fo200	SD2potence20	V. Maret	Oui
ARC09N08524-537	Fo200	SD2potence21	V. Maret	Non
ARC09N08524-538	Fo200	SD25passe1potence	D. Chauvet	Non
ARC09N08524-539	Fo200	SD25passe1potence1	D. Chauvet	Non
ARC09N08524-540	Fo200	SD25passe1potence2	D. Chauvet	Non
ARC09N08524-541	Fo200	SD25passe1potence3	D. Chauvet	Non
ARC09N08524-542	Fo200	SD25passe1potence4	D. Chauvet	Non
ARC09N08524-543	Fo200	SD25passe1potence5	D. Chauvet	Non
ARC09N08524-544	Fo200	SD25passe1potence6	D. Chauvet	Non
ARC09N08524-545	Fo200	SD25passe1potence7	D. Chauvet	Non
ARC09N08524-546	Fo200	SD25passe1potence8	D. Chauvet	Non
ARC09N08524-547	Fo200	SD32coupe	J.-G. Pariat	Non
ARC09N08524-548	Fo200	SD32coupe1	J.-G. Pariat	Non
ARC09N08524-549	Fo200	SD35passe2potence	I. Najera Marcos	Non
ARC09N08524-550	Fo200	SD35passe2potence1	I. Najera Marcos	Non
ARC09N08524-551	Fo200	SD35passe2potence2	I. Najera Marcos	Non
ARC09N08524-552	Fo200	SD35passe2potence3	I. Najera Marcos	Non
ARC09N08524-553	Fo200	SD35passe2potence4	I. Najera Marcos	Non
ARC09N08524-554	Fo200	SD35passe2potence5	I. Najera Marcos	Oui
ARC09N08524-555	Fo200	SD35passe2potence6	I. Najera Marcos	Non
ARC09N08524-556	Fo200	SD35passe2potence7	I. Najera Marcos	Non
ARC09N08524-557	Fo200	SD35passe2potence8	I. Najera Marcos	Oui
ARC09N08524-558	Fo200	SD35passe2potence9	I. Najera Marcos	Non
ARC09N08524-559	Fo200	SD35passe2potence10	I. Najera Marcos	Oui
ARC09N08524-560	F228	plan-et-coupe	V. Maret	Non
ARC09N08524-561	F228	plan-et-coupe1	V. Maret	Non
ARC09N08524-562	F228	plan-et-coupe2	V. Maret	Non
ARC09N08524-563	F501	coupe	R. Marque	Non
ARC09N08524-564	F501	coupe1	R. Marque	Oui
ARC09N08524-565	F501	coupe2	R. Marque	Oui
ARC09N08524-566	F501	détail-230 cm	R. Marque	Non
ARC09N08524-567	F501,F502,F505	coupe	R. Marque	Oui
ARC09N08524-568	F501,F502,F505	coupe1	R. Marque	Non
ARC09N08524-569	F501,F502,F505	coupe2	R. Marque	Oui
ARC09N08524-570	F505	coupe	R. Marque	Non
ARC09N08524-571	F505	coupe1	R. Marque	Non
ARC09N08524-572	Fo200	SD14coupe	V. Maret	Oui
ARC09N08524-573	Fo200	SD14coupe1	V. Maret	Oui
ARC09N08524-574	Fo200	SD25passe2potence	D. Chauvet	Non
ARC09N08524-575	Fo200	SD25passe2potence1	D. Chauvet	Non
ARC09N08524-576	Fo200	SD25passe2potence2	D. Chauvet	Non
ARC09N08524-577	Fo200	SD25passe2potence3	D. Chauvet	Non

NOM du fichier	N° structure	Description	Auteur	Publiable
ARC09N08524-578	Fo200	SD25passe2potence4	D. Chauvet	Non
ARC09N08524-579	Fo200	SD25coupe	V. Maret	Non
ARC09N08524-580	Fo200	SD25coupe1	V. Maret	Non
ARC09N08524-581	Fo200	SD35coupe	J.-G. Pariat	Non
ARC09N08524-582	Fo200	SD35coupe1	J.-G. Pariat	Non
ARC09N08524-583	Fo200	SD6passe2potence	A. Battistini	Non
ARC09N08524-584	Fo200	SD6passe2potence1	A. Battistini	Oui
ARC09N08524-585	Fo200	SD6passe2potence2	A. Battistini	Oui
ARC09N08524-586	Fo200	SD6passe2potence3	A. Battistini	Non
ARC09N08524-587	Fo200	SD6passe2potence4	A. Battistini	Non
ARC09N08524-588	Fo200	SD6passe2potence5	A. Battistini	Oui
ARC09N08524-589	Fo200	SD6passe2détailconnexions	A. Battistini	Oui
ARC09N08524-590	Fo200	SD6passe2détailconnexions1	A. Battistini	Oui
ARC09N08524-591	Fo200	SD6passe2détailconnexions2	A. Battistini	Oui
ARC09N08524-592	Fo200	SD6passe2détailconnexions3	A. Battistini	Non
ARC09N08524-593	Fo200	SD6passe2détailconnexions4	A. Battistini	Oui
ARC09N08524-594	Fo200	SD6passe2détailconnexions5	A. Battistini	Oui
ARC09N08524-595	Fo200	SD6passe2détailconnexions6	A. Battistini	Non
ARC09N08524-596	Fo200	SD6passe2détailconnexions7	A. Battistini	Non
ARC09N08524-597	Fo200	SD6passe2détailconnexions8	A. Battistini	Non
ARC09N08524-598	Fo200	SD6passe2détailconnexions9	A. Battistini	Non
ARC09N08524-599	Fo200	SD6passe2détailconnexions10	A. Battistini	Non
ARC09N08524-600	F501	Chien-connexion-140 cm	J.-G. Pariat	Non
ARC09N08524-601	F501	Chien-connexion-140 cm1	J.-G. Pariat	Non
ARC09N08524-602	F501	Chien-connexion-140 cm2	J.-G. Pariat	Oui
ARC09N08524-603	F501	Chien-connexion-140 cm3	J.-G. Pariat	Non
ARC09N08524-604	F501	Chien-connexion-140 cm4	J.-G. Pariat	Non
ARC09N08524-605	F501	Chien-connexion-140 cm5	J.-G. Pariat	Oui
ARC09N08524-606	F501	Chien-connexion-140 cm6	J.-G. Pariat	Non
ARC09N08524-607	F501	Chien-connexion-140 cm7	J.-G. Pariat	Non
ARC09N08524-608	F501	Chien-connexion-140 cm8	J.-G. Pariat	Non
ARC09N08524-609	F501	Chien-connexion-140 cm9	J.-G. Pariat	Non
ARC09N08524-610	F501	Chien-connexion-140 cm10	J.-G. Pariat	Non
ARC09N08524-611	F501	Chien-connexion-140 cm11	J.-G. Pariat	Non
ARC09N08524-612	F501	Chien-connexion-140 cm12	J.-G. Pariat	Non
ARC09N08524-613	F501	Chien-connexion-140cm13	J.-G. Pariat	Non
ARC09N08524-614	F501	Chien-connexion-140 cm14	J.-G. Pariat	Non
ARC09N08524-615	F501	Chien-connexion-140 cm15	J.-G. Pariat	Non
ARC09N08524-616	F501	Chien-connexion-140 cm16	J.-G. Pariat	Non
ARC09N08524-617	F501	Chien-connexion-140 cm17	J.-G. Pariat	Non
ARC09N08524-618	F501	Chien-connexion-140 cm18	J.-G. Pariat	Non
ARC09N08524-619	F501	connexion-100 cm	J.-G. Pariat	Non
ARC09N08524-620	F501	connexion-100 cm1	J.-G. Pariat	Non
ARC09N08524-621	F501	connexion-100 cm2	J.-G. Pariat	Non
ARC09N08524-622	F501	connexion-100 cm3	J.-G. Pariat	Non
ARC09N08524-623	F501	connexion-100 cm4	J.-G. Pariat	Oui
ARC09N08524-624	F501	connexion-100 cm5	J.-G. Pariat	Non
ARC09N08524-625	F501	connexion-100 cm6	J.-G. Pariat	Oui
ARC09N08524-626	F501	connexion-100 cm7	J.-G. Pariat	Non
ARC09N08524-627	F501	crâne-92 cm	J.-G. Pariat	Oui
ARC09N08524-628	F501	crâne-92 cm1	J.-G. Pariat	Non
ARC09N08524-629	F501	passe-92cm	J.-G. Pariat	Non
ARC09N08524-630	F501	passe-92 cm1	J.-G. Pariat	Non
ARC09N08524-631	F501	passe-92cm2	J.-G. Pariat	Oui
ARC09N08524-632	F501	passe-92 cm3	J.-G. Pariat	Non
ARC09N08524-633	F501	passe-92 cm4	J.-G. Pariat	Non
ARC09N08524-634	F501	passe-92 cm5	J.-G. Pariat	Non
ARC09N08524-635	F501	détail-fer-92 cm	J.-G. Pariat	Non
ARC09N08524-636	F501	coupe	R. Marque	Non
ARC09N08524-637	F501	coupe1	R. Marque	Non
ARC09N08524-638	F501	coupe2	R. Marque	Oui
ARC09N08524-639	F501	coupe3	R. Marque	Oui
ARC09N08524-640	F505	coupe	V. Maret	Non
ARC09N08524-641	F505	coupe1	V. Maret	Oui

NOM du fichier	N° structure	Description	Auteur	Publiable
ARC09N08524-642	Fo200	SD1passe4connexion	V. Maret	Oui
ARC09N08524-643	Fo200	SD1passe4connexion1	V. Maret	Non
ARC09N08524-644	Fo200	SD1passe4connexion2	V. Maret	Oui
ARC09N08524-645	Fo200	SD1passe4connexion3	V. Maret	Non
ARC09N08524-646	Fo200	SD1passe4connexion4	V. Maret	Oui
ARC09N08524-647	Fo200	SD1passe4connexion5	V. Maret	Oui
ARC09N08524-648	Fo200	SD1passe4connexion6	V. Maret	Non
ARC09N08524-649	Fo200	SD1passe4connexion7	V. Maret	Non
ARC09N08524-650	Fo200	SD1passe4connexion8	V. Maret	Non
ARC09N08524-651	Fo200	SD1passe4connexion9	V. Maret	Non
ARC09N08524-652	Fo200	SD1passe4connexion10	V. Maret	Non
ARC09N08524-653	Fo200	SD1passe4connexion11	V. Maret	Non
ARC09N08524-654	Fo200	SD1passe4connexion12	V. Maret	Oui
ARC09N08524-655	Fo200	SD1passe4	V. Maret	Non
ARC09N08524-656	Fo200	SD1passe4(1)	V. Maret	Non
ARC09N08524-657	Fo200	SD1passe4(2)	V. Maret	Oui
ARC09N08524-658	Fo200	SD1passe4(3)	V. Maret	Non
ARC09N08524-659	Fo200	SD1passe4(4)	V. Maret	Oui
ARC09N08524-660	Fo200	SD2passe2	D. Chauvet	Non
ARC09N08524-661	Fo200	SD2passe2(1)	D. Chauvet	Non
ARC09N08524-662	Fo200	SD2passe2(2)	D. Chauvet	Oui
ARC09N08524-663	Fo200	SD2passe2(3)	D. Chauvet	Non
ARC09N08524-664	Fo200	SD2passe2(4)	D. Chauvet	Oui
ARC09N08524-665	Fo200	SD2passe2(5)	D. Chauvet	Non
ARC09N08524-666	Fo200	SD2passe2détail	D. Chauvet	Non
ARC09N08524-667	Fo200	SD2passe2détail1	D. Chauvet	Non
ARC09N08524-668	Fo200	SD2passe2détail2	D. Chauvet	Non
ARC09N08524-669	Fo200	SD2passe2détail3	D. Chauvet	Non
ARC09N08524-670	Fo200	SD2passe2détail4	D. Chauvet	Non
ARC09N08524-671	Fo200	SD2passe2détail5	D. Chauvet	Non
ARC09N08524-672	Fo200	SD2passe2détail6	D. Chauvet	Non
ARC09N08524-673	Fo200	SD2passe2détail7	D. Chauvet	Non
ARC09N08524-674	Fo200	SD2passe2détail8	D. Chauvet	Non
ARC09N08524-675	Fo200	SD2passe2détail9	D. Chauvet	Non
ARC09N08524-676	Fo200	SD2passe2détail10	D. Chauvet	Non
ARC09N08524-677	Fo200	SD2passe2détail11	D. Chauvet	Non
ARC09N08524-678	Fo200	SD2passe2détail12	D. Chauvet	Non
ARC09N08524-679	Fo200	SD2passe2détail13	D. Chauvet	Non
ARC09N08524-680	Fo200	SD2passe2détail14	D. Chauvet	Non
ARC09N08524-681	Fo200	SD2passe2détail15	D. Chauvet	Non
ARC09N08524-682	F505	coupe	R. Marque	Non
ARC09N08524-683	F505	coupe1	R. Marque	Non
ARC09N08524-684	F505	coupe2	R. Marque	Non
ARC09N08524-685	F505	coupe3	R. Marque	Non
ARC09N08524-686	F505	plan	R. Marque	Non
ARC09N08524-687	F505	plan1	R. Marque	Non
ARC09N08524-688	F241	plan	V. Maret	Non
ARC09N08524-689	F241	plan1	V. Maret	Non
ARC09N08524-690	F241	plan2	V. Maret	Non
ARC09N08524-691	Fo200	SD1coupe	V. Maret	Non
ARC09N08524-692	Fo200	SD1coupe1	V. Maret	Oui
ARC09N08524-693	Fo200	SD1coupe2	V. Maret	Non
ARC09N08524-694	Fo200	SdVpasse1	I. Najera Marcos	Non
ARC09N08524-695	Fo200	SdVpasse1(1)	I. Najera Marcos	Non
ARC09N08524-696	Fo200	SdVpasse1(2)	I. Najera Marcos	Non
ARC09N08524-697	Fo200	SdVpasse1(3)	I. Najera Marcos	Non
ARC09N08524-698	Fo200	SdVpasse1(4)	I. Najera Marcos	Non
ARC09N08524-699	Fo200	SdVpasse1(5)	I. Najera Marcos	Non
ARC09N08524-700	Fo200	SdVpasse1(6)	I. Najera Marcos	Non
ARC09N08524-701	Fo200	SdVpasse1(7)	I. Najera Marcos	Non
ARC09N08524-702	Fo200	angleSOpasse1	G. Le Goïc	Non
ARC09N08524-703	Fo200	angleSOpasse1(1)	G. Le Goïc	Non
ARC09N08524-704	Fo200	angleSOpasse1(2)	G. Le Goïc	Non
ARC09N08524-705	Fo200	angleSOpasse1(3)	G. Le Goïc	Non

NOM du fichier	N° structure	Description	Auteur	Publiable
ARC09N08524-706	Fo200	angleSOpasse1(4)	G. Le Goïc	Non
ARC09N08524-707	Fo200	angleSOpasse1(5)	G. Le Goïc	Non
ARC09N08524-708	Fo200	angleSOpasse1(6)	G. Le Goïc	Non
ARC09N08524-709	Fo200	angleSOpasse1(7)	G. Le Goïc	Non
ARC09N08524-710	Fo200	SD3/Bpasse1	C. Roy	Oui
ARC09N08524-711	Fo200	SD3/Bpasse1(1)	C. Roy	Oui
ARC09N08524-712	Fo200	SD3/Bpasse1(2)	C. Roy	Non
ARC09N08524-713	Fo200	SD3/Bpasse1(3)	C. Roy	Non
ARC09N08524-714	Fo200	SD3/Bpasse1(4)	C. Roy	Non
ARC09N08524-715	Fo200	SD3/Bpasse1(5)	C. Roy	Oui
ARC09N08524-716	Fo200	SD3/Bpasse1(6)	C. Roy	Non
ARC09N08524-717	Fo200	SD3/Bpasse1(7)	C. Roy	Non
ARC09N08524-718	Fo200	SD3/Bpasse1(8)	C. Roy	Non
ARC09N08524-719	Fo200	SD3/Bpasse1(9)	C. Roy	Non
ARC09N08524-720	Fo200	SD3/Bpasse1(10)	C. Roy	Non
ARC09N08524-721	Fo200	SD3/Bpasse1(11)	C. Roy	Non
ARC09N08524-722	Fo200	angleNOpotence	G. Le Goïc	Non
ARC09N08524-723	Fo200	angleNOpotence1	G. Le Goïc	Non
ARC09N08524-724	Fo200	angleNOpotence2	G. Le Goïc	Non
ARC09N08524-725	Fo200	angleNOpotence3	G. Le Goïc	Non
ARC09N08524-726	Fo200	angleNOpotence4	G. Le Goïc	Non
ARC09N08524-727	Fo200	angleNOpotence5	G. Le Goïc	Non
ARC09N08524-728	Fo200	angleNOpotence6	G. Le Goïc	Non
ARC09N08524-729	Fo200	angleNOpotence7	G. Le Goïc	Non
ARC09N08524-730	Fo200	angleNOpotence8	G. Le Goïc	Non
ARC09N08524-731	Fo200	angleNOpotence9	G. Le Goïc	Non
ARC09N08524-732	Fo200	angleNOpotence10	G. Le Goïc	Non
ARC09N08524-733	Fo200	angleSO-100 cm	G. Le Goïc	Non
ARC09N08524-734	Fo200	angleSO-100 cm1	G. Le Goïc	Oui
ARC09N08524-735	Fo200	angleSO-100 cm2	G. Le Goïc	Non
ARC09N08524-736	Fo200	angleSO-100 cm3	G. Le Goïc	Non
ARC09N08524-737	Fo200	angleSO-100 cm4	G. Le Goïc	Non
ARC09N08524-738	Fo200	SD3/Bpasse3potence	C. Roy	Non
ARC09N08524-739	Fo200	SD3/Bpasse3potence1	C. Roy	Non
ARC09N08524-740	Fo200	SD3/Bpasse3potence2	C. Roy	Non
ARC09N08524-741	Fo200	SD3/Bpasse3potence3	C. Roy	Oui
ARC09N08524-742	Fo200	SD3/Bpasse3potence4	C. Roy	Non
ARC09N08524-743	Fo200	SD3/Bpasse3potence5	C. Roy	Non
ARC09N08524-744	Fo200	SD3/Bpasse3potence6	C. Roy	Non
ARC09N08524-745	Fo200	SD3/Bpasse3potence7	C. Roy	Non
ARC09N08524-746	Fo200	SD3/Bpasse3potence8	C. Roy	Non
ARC09N08524-747	Fo200	SD3/Bpasse3potence9	C. Roy	Non
ARC09N08524-748	Fo200	SD3/Bpasse3potence10	C. Roy	Non
ARC09N08524-749	Fo200	SD6passe3potence	A. Battistini	Oui
ARC09N08524-750	Fo200	SD6passe3potence1	A. Battistini	Oui
ARC09N08524-751	Fo200	SD6passe3potence2	A. Battistini	Non
ARC09N08524-752	Fo200	SD6passe3potence3	A. Battistini	Non
ARC09N08524-753	Fo200	SD6passe3potence4	A. Battistini	Oui
ARC09N08524-754	Fo200	SD6passe3potence5	A. Battistini	Oui
ARC09N08524-755	Fo200	SD6passe3potence6	A. Battistini	Oui
ARC09N08524-756	Fo200	SdAC-oblique	V. Maret	Non
ARC09N08524-757	Fo200	SdAC-oblique1	V. Maret	Non
ARC09N08524-758	Fo200	SdAC-oblique2	V. Maret	Non
ARC09N08524-759	Fo200	SdAC-oblique3	V. Maret	Non
ARC09N08524-760	Fo200	SdAC-oblique4	V. Maret	Non
ARC09N08524-761	Fo200	SdAC-oblique5	V. Maret	Non
ARC09N08524-762	Fo200	SdBpasse1potence	D. Chauvet	Non
ARC09N08524-763	Fo200	SdBpasse1potence1	D. Chauvet	Non
ARC09N08524-764	Fo200	SdBpasse1potence2	D. Chauvet	Non
ARC09N08524-765	Fo200	SdBpasse1potence3	D. Chauvet	Non
ARC09N08524-766	Fo200	SdBpasse1potence4	D. Chauvet	Non
ARC09N08524-767	Fo200	SdBpasse1potence5	D. Chauvet	Non
ARC09N08524-768	Fo200	SdBpasse1potence6	D. Chauvet	Non
ARC09N08524-769	Fo200	SdBpasse1potence7	D. Chauvet	Non

NOM du fichier	N° structure	Description	Auteur	Publiable
ARC09N08524-770	Fo200	SdBpasse1potence8	D. Chauvet	Non
ARC09N08524-771	Fo200	SdBpasse1potence9	D. Chauvet	Non
ARC09N08524-772	Fo200	SdBpasse1potence10	D. Chauvet	Non
ARC09N08524-773	Fo200	SdBpasse1potence11	D. Chauvet	Non
ARC09N08524-774	Fo200	SdUpasse1potence	R. Marque	Non
ARC09N08524-775	Fo200	SdUpasse1potence1	R. Marque	Non
ARC09N08524-776	Fo200	SdUpasse1potence2	R. Marque	Non
ARC09N08524-777	Fo200	SdUpasse1potence3	R. Marque	Non
ARC09N08524-778	Fo200	SdUpasse1potence4	R. Marque	Non
ARC09N08524-779	Fo200	SdUpasse1potence5	R. Marque	Non
ARC09N08524-780	Fo200	SdUpasse1potence6	R. Marque	Non
ARC09N08524-781	Fo200	SdVpasse3potence	I. Najera Marcos	Non
ARC09N08524-782	Fo200	SdVpasse3potence1	I. Najera Marcos	Non
ARC09N08524-783	Fo200	SdVpasse3potence2	I. Najera Marcos	Non
ARC09N08524-784	Fo200	SdVpasse3potence3	I. Najera Marcos	Non
ARC09N08524-785	Fo200	SdVpasse3potence4	I. Najera Marcos	Non
ARC09N08524-786	Fo200	SdVpasse3potence5	I. Najera Marcos	Non
ARC09N08524-787	Fo200	SdVpasse3potence6	I. Najera Marcos	Non
ARC09N08524-788	Fo200	SdVpasse3potence7	I. Najera Marcos	Non
ARC09N08524-789	Fo200	SdVpasse3potence8	I. Najera Marcos	Non
ARC09N08524-790	Fo200	SdVpasse3potence9	I. Najera Marcos	Non
ARC09N08524-791	Fo200	SdVpasse3potence10	I. Najera Marcos	Non
ARC09N08524-792	Fo200	SdVpasse3potence11	I. Najera Marcos	Non
ARC09N08524-793	Fo200	SdVpasse3potence12	I. Najera Marcos	Non
ARC09N08524-794	Fo200	SD2coupe	J.-G. Pariat	Non
ARC09N08524-795	Fo200	SD2coupe1	J.-G. Pariat	Oui
ARC09N08524-796	Fo200	SD2coupe2	J.-G. Pariat	Non
ARC09N08524-797	Fo200	SD2passe3potence	D. Chauvet	Non
ARC09N08524-798	Fo200	SD2passe3potence1	D. Chauvet	Non
ARC09N08524-799	Fo200	SD2passe3potence2	D. Chauvet	Non
ARC09N08524-800	Fo200	SD3potence	J.-G. Pariat	Non
ARC09N08524-801	Fo200	SD3potence1	J.-G. Pariat	Non
ARC09N08524-802	Fo200	SD3potence2	J.-G. Pariat	Non
ARC09N08524-803	Fo200	SD3/Bpasse4potence	C. Roy	Non
ARC09N08524-804	Fo200	SD3/Bpasse4potence1	C. Roy	Non
ARC09N08524-805	Fo200	SD3/Bpasse4potence2	C. Roy	Non
ARC09N08524-806	Fo200	SD3/Bpasse4potence3	C. Roy	Non
ARC09N08524-807	Fo200	SD3/Bpasse4potence4	C. Roy	Non
ARC09N08524-808	Fo200	SD3/Bpasse4potence5	C. Roy	Non
ARC09N08524-809	Fo200	SD3/Bpasse4potence6	C. Roy	Non
ARC09N08524-810	Fo200	SD3/Bpasse4potence7	C. Roy	Non
ARC09N08524-811	Fo200	SD3/Bpasse4potence8	C. Roy	Non
ARC09N08524-812	Fo200	SD3/Bpasse4potence9	C. Roy	Non
ARC09N08524-813	Fo200	SD3/Bpasse4potence10	C. Roy	Non
ARC09N08524-814	Fo200	SD3/Bpasse4potence11	C. Roy	Non
ARC09N08524-815	Fo200	SD3/Bpasse4potence12	C. Roy	Non
ARC09N08524-816	Fo200	SD3/Bpasse4potence13	C. Roy	Non
ARC09N08524-817	Fo200	SD3/Bpasse4potence14	C. Roy	Non
ARC09N08524-818	Fo200	SD3/Bpasse4potence15	C. Roy	Non
ARC09N08524-819	Fo200	SD3/Bpasse4potence16	C. Roy	Non
ARC09N08524-820	Fo200	SD3/Bpasse4potence17	C. Roy	Non
ARC09N08524-821	Fo200	SD3/Bpasse4potence18	C. Roy	Non
ARC09N08524-822	Fo200	SdAFpotence	D. Chauvet, C. Laporte-Cassagne	Non
ARC09N08524-823	Fo200	SdAFpotence1	D. Chauvet, C. Laporte-Cassagne	Non
ARC09N08524-824	Fo200	SdAFpotence2	D. Chauvet, C. Laporte-Cassagne	Non
ARC09N08524-825	Fo200	SdAFpotence3	D. Chauvet, C. Laporte-Cassagne	Non
ARC09N08524-826	Fo200	SdAFpotence4	D. Chauvet, C. Laporte-Cassagne	Oui
ARC09N08524-827	Fo200	SdAFpotence5	D. Chauvet, C. Laporte-Cassagne	Non

NOM du fichier	N° structure	Description	Auteur	Publiable
ARC09N08524-828	Fo200	SdBpasse2potence	D. Chauvet	Non
ARC09N08524-829	Fo200	SdBpasse2potence1	D. Chauvet	Non
ARC09N08524-830	Fo200	SdBpasse2potence2	D. Chauvet	Non
ARC09N08524-831	Fo200	SdBpasse2potence3	D. Chauvet	Non
ARC09N08524-832	Fo200	SdBpasse2potence4	D. Chauvet	Oui
ARC09N08524-833	Fo200	SdBpasse2potence5	D. Chauvet	Non
ARC09N08524-834	Fo200	SdBpasse2potence6	D. Chauvet	Non
ARC09N08524-835	Fo200	SdBpasse2potence7	D. Chauvet	Non
ARC09N08524-836	Fo200	SdVpasse4potence	I. Najera Marcos	Non
ARC09N08524-837	Fo200	SdVpasse4potence1	I. Najera Marcos	Non
ARC09N08524-838	Fo200	SdVpasse4potence2	I. Najera Marcos	Non
ARC09N08524-839	Fo200	SdVpasse4potence3	I. Najera Marcos	Non
ARC09N08524-840	Fo200	SdVpasse4potence4	I. Najera Marcos	Non
ARC09N08524-841	Fo200	SdVpasse4potence5	I. Najera Marcos	Non
ARC09N08524-842	Fo200	SdVpasse4potence6	I. Najera Marcos	Non
ARC09N08524-843	Fo200	SdVpasse4potence7	I. Najera Marcos	Non
ARC09N08524-844	Fo200	SdVpasse4potence8	I. Najera Marcos	Non
ARC09N08524-845	Fo200	SdVpasse4potence9	I. Najera Marcos	Non
ARC09N08524-846	Fo200	SdVpasse4potence10	I. Najera Marcos	Non
ARC09N08524-847	Fo200	SdVpasse4potence11	I. Najera Marcos	Non
ARC09N08524-848	Fo200	SdVpasse4potence12	I. Najera Marcos	Non
ARC09N08524-849	Fo200	SdVpasse4potence13	I. Najera Marcos	Non
ARC09N08524-850	Fo200	SD3coupe	V. Maret	Non
ARC09N08524-851	Fo200	SD3coupe1	V. Maret	Non
ARC09N08524-852	Fo200	SD3coupe2	V. Maret	Oui
ARC09N08524-853	Fo200	SdApasser1potence	C. Roy	Non
ARC09N08524-854	Fo200	SdApasser1potence1	C. Roy	Oui
ARC09N08524-855	Fo200	SdApasser1potence2	C. Roy	Non
ARC09N08524-856	Fo200	SdApasser1potence3	C. Roy	Non
ARC09N08524-857	Fo200	SdB-30 cmpotence	V. Maret	Non
ARC09N08524-858	Fo200	SdB-30 cmpotence1	V. Maret	Non
ARC09N08524-859	Fo200	SdB-30 cmpotence2	V. Maret	Non
ARC09N08524-860	Fo200	SdB-30 cmpotence3	V. Maret	Oui
ARC09N08524-861	Fo200	SdB-30 cmpotence4	V. Maret	Non
ARC09N08524-862	Fo200	SdUpasse2potence	R. Marque	Non
ARC09N08524-863	Fo200	SdUpasse2potence1	R. Marque	Non
ARC09N08524-864	Fo200	SdUpasse2potence2	R. Marque	Oui
ARC09N08524-865	Fo200	SdUpasse2potence3	R. Marque	Non
ARC09N08524-866	Fo200	SdUpasse2potence4	R. Marque	Non
ARC09N08524-867	Fo200	SdUpasse2potence5	R. Marque	Non
ARC09N08524-868	Fo200	SdUpasse2potence6	R. Marque	Oui
ARC09N08524-869	Fo200	SdUpasse2potence7	R. Marque	Non
ARC09N08524-870	Fo200	SdUpasse2potence8	R. Marque	Non
ARC09N08524-871	Fo200	SdVpasse5détail	I. Najera Marcos	Non
ARC09N08524-872	Fo200	SdVpasse5détail1	I. Najera Marcos	Non
ARC09N08524-873	Fo200	SdVpasse5détail2	I. Najera Marcos	Non
ARC09N08524-874	Fo200	SdVpasse5détail3	I. Najera Marcos	Non
ARC09N08524-875	Fo200	SdVpasse5détail4	I. Najera Marcos	Non
ARC09N08524-876	Fo200	SdVpasse5potence	I. Najera Marcos	Non
ARC09N08524-877	Fo200	SdVpasse5potence1	I. Najera Marcos	Non
ARC09N08524-878	Fo200	SdVpasse5potence2	I. Najera Marcos	Non
ARC09N08524-879	Fo200	SdVpasse5potence3	I. Najera Marcos	Non
ARC09N08524-880	Fo200	SdVpasse5potence4	I. Najera Marcos	Non
ARC09N08524-881	Fo200	SdVpasse5potence5	I. Najera Marcos	Non
ARC09N08524-882	Fo200	SdVpasse5potence6	I. Najera Marcos	Non
ARC09N08524-883	Fo200	SdVpasse5potence7	I. Najera Marcos	Non
ARC09N08524-884	Fo200	SD6passe4potence	A. Battistini	Non
ARC09N08524-885	Fo200	SD6passe4potence1	A. Battistini	Non
ARC09N08524-886	Fo200	SD6passe4potence2	A. Battistini	Non
ARC09N08524-887	Fo200	SD6passe4potence3	A. Battistini	Non
ARC09N08524-888	Fo200	SD6passe4potence4	A. Battistini	Non
ARC09N08524-889	Fo200	SD6passe4potence5	A. Battistini	Non
ARC09N08524-890	Fo200	SD6passe4potence6	A. Battistini	Oui
ARC09N08524-891	Fo200	SD6passe4potence7	A. Battistini	Non

NOM du fichier	N° structure	Description	Auteur	Publiable
ARC09N08524-892	Fo200	SD6passe4potence8	A. Battistini	Non
ARC09N08524-893	Fo200	SD6passe4potence9	A. Battistini	Non
ARC09N08524-894	Fo200	SD6passe4potence10	A. Battistini	Non
ARC09N08524-895	Fo200	SD6passe4potence11	A. Battistini	Non
ARC09N08524-896	Fo200	SdAFpasse2potence	D. Chauvet, C. Laporte-Cassagne	Non
ARC09N08524-897	Fo200	SdAFpasse2potence1	D. Chauvet, C. Laporte-Cassagne	Non
ARC09N08524-898	Fo200	SdAFpasse2potence2	D. Chauvet, C. Laporte-Cassagne	Oui
ARC09N08524-899	Fo200	SdAFpasse2potence3	D. Chauvet, C. Laporte-Cassagne	Non
ARC09N08524-900	Fo200	SdAFpasse2potence4	D. Chauvet, C. Laporte-Cassagne	Non
ARC09N08524-901	Fo200	SdAFpasse2potence5	D. Chauvet, C. Laporte-Cassagne	Non
ARC09N08524-902	Fo200	SdAFpasse2potence6	D. Chauvet, C. Laporte-Cassagne	Non
ARC09N08524-903	Fo200	SdAFpasse2potence7	D. Chauvet, C. Laporte-Cassagne	Non
ARC09N08524-904	Fo200	SdAFpasse2potence8	D. Chauvet, C. Laporte-Cassagne	Non
ARC09N08524-905	Fo200	SdAFpasse2potence9	D. Chauvet, C. Laporte-Cassagne	Non
ARC09N08524-906	Fo200	SdAFpasse2potence10	D. Chauvet, C. Laporte-Cassagne	Non
ARC09N08524-907	Fo200	SdAFpasse2potence11	D. Chauvet, C. Laporte-Cassagne	Non
ARC09N08524-908	Fo200	SdAFpasse2potence12	D. Chauvet, C. Laporte-Cassagne	Oui
ARC09N08524-909	Fo200	SdAFpasse2détail	D. Chauvet, C. Laporte-Cassagne	Oui
ARC09N08524-910	Fo200	SdAFpasse2détail1	D. Chauvet, C. Laporte-Cassagne	Non
ARC09N08524-911	Fo200	SdAFpasse2détail2	D. Chauvet, C. Laporte-Cassagne	Non
ARC09N08524-912	Fo200	SdAFpasse3potence	D. Chauvet, C. Laporte-Cassagne	Non
ARC09N08524-913	Fo200	SdAFpasse3potence1	D. Chauvet, C. Laporte-Cassagne	Non
ARC09N08524-914	Fo200	SdAFpasse3potence2	D. Chauvet, C. Laporte-Cassagne	Non
ARC09N08524-915	Fo200	SdAFpasse3potence3	D. Chauvet, C. Laporte-Cassagne	Non
ARC09N08524-916	Fo200	SdApasse1potence	C. Roy	Non
ARC09N08524-917	Fo200	SdApasse1potence1	C. Roy	Oui
ARC09N08524-918	Fo200	SdB-40 cmpotence	V. Maret	Non
ARC09N08524-919	Fo200	SdB-40cmpotence1	V. Maret	Non
ARC09N08524-920	Fo200	SdB-40 cmpotence2	V. Maret	Non
ARC09N08524-921	Fo200	SdB-40 cmpotence3	V. Maret	Non
ARC09N08524-922	Fo200	SdUpasse3potence	R. Marque	Non
ARC09N08524-923	Fo200	SdUpasse3potence1	R. Marque	Non
ARC09N08524-924	Fo200	SdUpasse3potence2	R. Marque	Non
ARC09N08524-925	Fo200	SdUpasse3potence3	R. Marque	Non
ARC09N08524-926	Fo200	SdVpasse6potence	I. Najera Marcos	Non
ARC09N08524-927	Fo200	SdVpasse6potence1	I. Najera Marcos	Non
ARC09N08524-928	Fo200	SdVpasse6potence2	I. Najera Marcos	Non
ARC09N08524-929	talus2009	talusexpérimental	J.-G. Pariat	Oui
ARC09N08524-930	talus2009	talusexpérimental1	J.-G. Pariat	Oui
ARC09N08524-931	talus2009	talusexpérimental2	J.-G. Pariat	Non
ARC09N08524-932	talus2009	talusexpérimental3	J.-G. Pariat	Non
ARC09N08524-933	talus2009	talusexpérimental4	J.-G. Pariat	Oui
ARC09N08524-934	talus2009	talusexpérimental5	J.-G. Pariat	Non
ARC09N08524-935	talus2009	talusexpérimental6	J.-G. Pariat	Oui
ARC09N08524-936	talus2009	talusexpérimental7	J.-G. Pariat	Non

NOM du fichier	N° structure	Description	Auteur	Publiable
ARC09N08524-937	talus2009	talusexpérimental8	J.-G. Pariat	Oui
ARC09N08524-938	talus2009	talusexpérimental9	J.-G. Pariat	Non
ARC09N08524-939	talus2009	talusexpérimental10	J.-G. Pariat	Oui
ARC09N08524-940	talus2009	talusexpérimental11	J.-G. Pariat	Non
ARC09N08524-941	talus2009	talusexpérimental12	J.-G. Pariat	Non
ARC09N08524-942	talus2009	talusexpérimental13	J.-G. Pariat	Non
ARC09N08524-943	Fo200	angleSOoblique	G. Le Goïc	Oui
ARC09N08524-944	Fo200	angleSOoblique1	G. Le Goïc	Non
ARC09N08524-945	Fo200	angleSOoblique2	G. Le Goïc	Oui
ARC09N08524-946	Fo200	angleSOoblique3	G. Le Goïc	Non
ARC09N08524-947	Fo200	angleSOoblique4	G. Le Goïc	Oui
ARC09N08524-948	Fo200	SdGpasse1potence	V. Maret	Oui
ARC09N08524-949	Fo200	SdGpasse1potence1	V. Maret	Non
ARC09N08524-950	Fo200	SdGpasse1potence2	V. Maret	Oui
ARC09N08524-951	Fo200	SdGpasse1potence3	V. Maret	Non
ARC09N08524-952	Fo200	SdGpasse1potence4	V. Maret	Non
ARC09N08524-953	Fo200	SdGpasse1potence5	V. Maret	Non
ARC09N08524-954	Fo200	SdGpasse1potence6	V. Maret	Non
ARC09N08524-955	Fo200	SdGpasse1potence7	V. Maret	Non
ARC09N08524-956	Fo200	SdGpasse1potence8	V. Maret	Oui
ARC09N08524-957	Fo200	SdGpasse1potence9	V. Maret	Oui
ARC09N08524-958	Fo200	SdGpasse1potence10	V. Maret	Oui
ARC09N08524-959	Fo200	estcuré	J.-G. Pariat	Non
ARC09N08524-960	Fo200	estcuré1	J.-G. Pariat	Non
ARC09N08524-961	Fo200	estcuré2	J.-G. Pariat	Oui
ARC09N08524-962	Fo200	estcuré3	J.-G. Pariat	Oui
ARC09N08524-963	Fo200	estcuré4	J.-G. Pariat	Non
ARC09N08524-964	Fo200	SdB-80 cmpotence	J.-G. Pariat	Non
ARC09N08524-965	Fo200	SdB-80 cmpotence1	J.-G. Pariat	Non
ARC09N08524-966	Fo200	SdB-80 cmpotence2	J.-G. Pariat	Non
ARC09N08524-967	Fo200	SdB-80 cmpotence3	J.-G. Pariat	Non
ARC09N08524-968	Fo200	SdB-80 cmpotence4	J.-G. Pariat	Non
ARC09N08524-969	Fo200	SdB-80 cmpotence5	J.-G. Pariat	Non
ARC09N08524-970	Fo200	SdGpotence	V. Maret	Non
ARC09N08524-971	Fo200	SdGpotence1	V. Maret	Non
ARC09N08524-972	Fo200	SdGpotence2	V. Maret	Oui
ARC09N08524-973	Fo200	SdGpotence3	V. Maret	Non
ARC09N08524-974	Fo200	SdHpotence	C. Laporte-Cassagne	Non
ARC09N08524-975	Fo200	SdHpotence1	C. Laporte-Cassagne	Non
ARC09N08524-976	Fo200	SdHpotence2	C. Laporte-Cassagne	Non
ARC09N08524-977	Fo200	SdHpotence3	C. Laporte-Cassagne	Non
ARC09N08524-978	Fo200	SdHpotence4	C. Laporte-Cassagne	Oui
ARC09N08524-979	Fo200	SdHpotence5	C. Laporte-Cassagne	Non
ARC09N08524-980	Fo200	SdHpotence6	C. Laporte-Cassagne	Oui
ARC09N08524-981	Fo200	SdHpotence7	C. Laporte-Cassagne	Non
ARC09N08524-982	Fo200	SdHpotence8	C. Laporte-Cassagne	Non
ARC09N08524-983	Fo200	SdHpotence9	C. Laporte-Cassagne	Non
ARC09N08524-984	Fo200	SdHpotence10	C. Laporte-Cassagne	Non
ARC09N08524-985	Fo200	conditionsmétéo	J.-G. Pariat	Non
ARC09N08524-986	Fo200	conditionsmétéo1	J.-G. Pariat	Oui
ARC09N08524-987	Fo200	angleSOoblique	G. Le Goïc	Oui
ARC09N08524-988	Fo200	angleSOoblique1	G. Le Goïc	Non
ARC09N08524-989	Fo200	angleSOoblique2	G. Le Goïc	Oui
ARC09N08524-990	Fo200	angleSOoblique3	G. Le Goïc	Non
ARC09N08524-991	Fo200	angleSOoblique4	G. Le Goïc	Non
ARC09N08524-992	Fo200	angleSOoblique5	G. Le Goïc	Oui
ARC09N08524-993	Fo200	angleSOoblique6	G. Le Goïc	Oui
ARC09N08524-994	Fo200	angleSOoblique7	G. Le Goïc	Oui
ARC09N08524-995	Fo200	angleSOoblique8	G. Le Goïc	Oui
ARC09N08524-996	Fo200	angleSOoblique9	G. Le Goïc	Oui
ARC09N08524-997	Fo200	angleSOoblique10	G. Le Goïc	Oui
ARC09N08524-998	Fo200	SD6sauvegarde-potence	A. Battistini	Non
ARC09N08524-999	Fo200	SD6sauvegarde-potence1	A. Battistini	Non
ARC09N08524-1000	Fo200	SD6sauvegarde-potence2	A. Battistini	Non

NOM du fichier	N° structure	Description	Auteur	Publiable
ARC09N08524-1001	Fo200	SD6sauvegarde-potence3	A. Battistini	Non
ARC09N08524-1002	Fo200	SD6sauvegarde-potence4	A. Battistini	Non
ARC09N08524-1003	Fo200	SD6sauvegarde-potence5	A. Battistini	Non
ARC09N08524-1004	Fo200	SdGpasse2potence	V. Maret	Non
ARC09N08524-1005	Fo200	SdGpasse2potence1	V. Maret	Non
ARC09N08524-1006	Fo200	SO-60-80 cmoblique	J.-G. Pariat	Non
ARC09N08524-1007	Fo200	SO-60-80 cmoblique1	J.-G. Pariat	Oui
ARC09N08524-1008	Fo200	SO-60-80 cmoblique2	J.-G. Pariat	Non
ARC09N08524-1009	Fo200	SO-60-80 cmoblique3	J.-G. Pariat	Non
ARC09N08524-1010	Fo200	SO-60-80 cmoblique4	J.-G. Pariat	Non
ARC09N08524-1011	Fo200	SO-60-80 cmoblique5	J.-G. Pariat	Non
ARC09N08524-1012	Fo200	SO-60-80 cmoblique6	J.-G. Pariat	Non
ARC09N08524-1013	Fo200	SdWpasse1potence	R. Marque	Non
ARC09N08524-1014	Fo200	SdWpasse1potence1	R. Marque	Oui
ARC09N08524-1015	Fo200	SdWpasse1potence2	R. Marque	Non
ARC09N08524-1016	Fo200	SdWpasse1potence3	R. Marque	Non
ARC09N08524-1017	Fo200	SdWpasse1potence4	R. Marque	Non
ARC09N08524-1018	Fo200	SdHpasse2potence	C. Laporte-Cassagne	Non
ARC09N08524-1019	Fo200	SdHpasse2potence1	C. Laporte-Cassagne	Non
ARC09N08524-1020	Fo200	SdHpasse2potence2	C. Laporte-Cassagne	Oui
ARC09N08524-1021	Fo200	SdHpasse2potence3	C. Laporte-Cassagne	Non
ARC09N08524-1022	Fo200	SdHpasse2potence4	C. Laporte-Cassagne	Non
ARC09N08524-1023	Fo200	SdHpasse2potence5	C. Laporte-Cassagne	Non
ARC09N08524-1024	Fo200	SdHpasse2potence6	C. Laporte-Cassagne	Oui
ARC09N08524-1025	Fo200	SdHpasse2potence7	C. Laporte-Cassagne	Oui
ARC09N08524-1026	Fo200	SdHpasse2potence8	C. Laporte-Cassagne	Oui
ARC09N08524-1027	Fo200	SdHpasse2potence9	C. Laporte-Cassagne	Oui
ARC09N08524-1028	Fo200	SdHpasse2potence10	C. Laporte-Cassagne	Oui
ARC09N08524-1029	Fo200	SdHpasse2potence11	C. Laporte-Cassagne	Non
ARC09N08524-1030	Fo200	SD6passe5potence	A. Battistini	Non
ARC09N08524-1031	Fo200	SD6passe5potence1	A. Battistini	Non
ARC09N08524-1032	Fo200	SD6passe5potence2	A. Battistini	Non
ARC09N08524-1033	Fo200	SD6passe5potence3	A. Battistini	Non
ARC09N08524-1034	Fo200	SD6passe5potence4	A. Battistini	Non
ARC09N08524-1035	Fo200	SD6passe5potence5	A. Battistini	Non
ARC09N08524-1036	Fo200	SD6passe5potence6	A. Battistini	Non
ARC09N08524-1037	Fo200	SD6passe5potence7	A. Battistini	Non
ARC09N08524-1038	Fo200	SdAPpasse3potence	G. Le Goïc	Non
ARC09N08524-1039	Fo200	SdAPpasse3potence1	G. Le Goïc	Oui
ARC09N08524-1040	Fo200	SdAPpasse3potence2	G. Le Goïc	Non
ARC09N08524-1041	Fo200	SdAPpasse3potence3	G. Le Goïc	Non
ARC09N08524-1042	Fo200	SdAPpasse3potence4	G. Le Goïc	Oui
ARC09N08524-1043	Fo200	SdAPpasse3potence5	G. Le Goïc	Oui
ARC09N08524-1044	Fo200	SdAPpasse3potence6	G. Le Goïc	Non
ARC09N08524-1045	Fo200	SdHpasse3potence	C. Laporte-Cassagne	Non
ARC09N08524-1046	Fo200	SdHpasse3potence1	C. Laporte-Cassagne	Non
ARC09N08524-1047	Fo200	SdHpasse3potence2	C. Laporte-Cassagne	Oui
ARC09N08524-1048	Fo200	SdHpasse3potence3	C. Laporte-Cassagne	Oui
ARC09N08524-1049	Fo200	SdHpasse3potence4	C. Laporte-Cassagne	Oui
ARC09N08524-1050	Fo200	SdHpasse3potence5	C. Laporte-Cassagne	Oui
ARC09N08524-1051	Fo200	SdM-65 cmpotence	C. Roy	Non
ARC09N08524-1052	Fo200	SdM-65cmpotence1	C. Roy	Non
ARC09N08524-1053	Fo200	SdM-65 cmpotence2	C. Roy	Non
ARC09N08524-1054	Fo200	SdPpasse1potence	R. Marque	Non
ARC09N08524-1055	Fo200	SdPpasse1potence1	R. Marque	Non
ARC09N08524-1056	Fo200	SdPpasse1potence2	R. Marque	Non
ARC09N08524-1057	Fo200	SdPpasse1potence3	R. Marque	Non
ARC09N08524-1058	Fo200	SdPpasse1potence4	R. Marque	Non
ARC09N08524-1059	Fo200	SdPpasse1potence5	R. Marque	Non
ARC09N08524-1060	Fo200	SdPpasse1potence6	R. Marque	Non
ARC09N08524-1061	Fo200	angleNEoblique	V. Maret	Non
ARC09N08524-1062	Fo200	angleNEoblique1	V. Maret	Oui
ARC09N08524-1063	Fo200	angleNEoblique2	V. Maret	Non
ARC09N08524-1064	Fo200	angleNEoblique3	V. Maret	Non

NOM du fichier	N° structure	Description	Auteur	Publiable
ARC09N08524-1065	Fo200	angleNEoblique4	V. Maret	Non
ARC09N08524-1066	Fo200	angleNEoblique5	V. Maret	Non
ARC09N08524-1067	Fo200	angleNEoblique6	V. Maret	Non
ARC09N08524-1068	Fo200	angleNEoblique7	V. Maret	Non
ARC09N08524-1069	Fo200	angleNEoblique8	V. Maret	Non
ARC09N08524-1070	Fo200	angleNEoblique9	V. Maret	Non
ARC09N08524-1071	Fo200	angleNEoblique10	V. Maret	Non
ARC09N08524-1072	Fo200	angleNEoblique11	V. Maret	Non
ARC09N08524-1073	Fo200	angleNEoblique12	V. Maret	Non
ARC09N08524-1074	Fo200	angleNEoblique13	V. Maret	Non
ARC09N08524-1075	Fo200	angleNEoblique14	V. Maret	Non
ARC09N08524-1076	Fo200	angleNEoblique15	V. Maret	Non
ARC09N08524-1077	Fo200	angleNEoblique16	V. Maret	Non
ARC09N08524-1078	Fo200	angleNEoblique17	V. Maret	Non
ARC09N08524-1079	Fo200	angleNEoblique18	V. Maret	Oui
ARC09N08524-1080	Fo200	angleNEoblique19	V. Maret	Non
ARC09N08524-1081	Fo200	angleNEoblique20	V. Maret	Non
ARC09N08524-1082	Fo200	angleNEoblique21	V. Maret	Non
ARC09N08524-1083	Fo200	bordOuest-oblique	J.-G. Pariat	Oui
ARC09N08524-1084	Fo200	bordOuest-oblique1	J.-G. Pariat	Oui
ARC09N08524-1085	Fo200	bordOuest-oblique2	J.-G. Pariat	Non
ARC09N08524-1086	Fo200	SdApasse4potence	C. Roy	Non
ARC09N08524-1087	Fo200	SdApasse4potence1	C. Roy	Non
ARC09N08524-1088	Fo200	SdApasse4potence2	C. Roy	Non
ARC09N08524-1089	Fo200	SdApasse4potence3	C. Roy	Non
ARC09N08524-1090	Fo200	SdApasse4potence4	C. Roy	Non
ARC09N08524-1091	Fo200	SdApasse4potence5	C. Roy	Non
ARC09N08524-1092	Fo200	SdApasse4potence6	C. Roy	Non
ARC09N08524-1093	Fo200	SdApasse4potence7	C. Roy	Non
ARC09N08524-1094	Fo200	SdApasse4potence8	C. Roy	Non
ARC09N08524-1095	Fo200	SdApasse4potence9	C. Roy	Non
ARC09N08524-1096	Fo200	SdApasse4potence10	C. Roy	Non
ARC09N08524-1097	Fo200	SdApasse4potence11	C. Roy	Non
ARC09N08524-1098	Fo200	SdApasse4potence12	C. Roy	Non
ARC09N08524-1099	Fo200	SdApasse4potence13	C. Roy	Non
ARC09N08524-1100	Fo200	SdE-potence	A. Battistini	Non
ARC09N08524-1101	Fo200	SdE-potence1	A. Battistini	Non
ARC09N08524-1102	Fo200	SdE-potence2	A. Battistini	Non
ARC09N08524-1103	Fo200	SdE-potence3	A. Battistini	Non
ARC09N08524-1104	Fo200	SdE-potence4	A. Battistini	Non
ARC09N08524-1105	Fo200	SdE-potence5	A. Battistini	Non
ARC09N08524-1106	Fo200	SdE-potence6	A. Battistini	Oui
ARC09N08524-1107	Fo200	SdE-potence7	A. Battistini	Non
ARC09N08524-1108	Fo200	SdPpasse2potence	R. Marque	Non
ARC09N08524-1109	Fo200	SdPpasse2potence1	R. Marque	Non
ARC09N08524-1110	Fo200	SdPpasse2potence2	R. Marque	Non
ARC09N08524-1111	Fo200	SdWpotence	D. Chauvet	Non
ARC09N08524-1112	Fo200	SdWpotence1	D. Chauvet	Non
ARC09N08524-1113	Fo200	SdWpotence2	D. Chauvet	Non
ARC09N08524-1114	F500	fondoblique	R. Marque	Non
ARC09N08524-1115	F500	fondoblique1	R. Marque	Oui
ARC09N08524-1116	F500	fondoblique2	R. Marque	Non
ARC09N08524-1117	Fo200	SD38passe1oblique	I. Najera Marcos	Non
ARC09N08524-1118	Fo200	SD38passe1oblique1	I. Najera Marcos	Oui
ARC09N08524-1119	Fo200	SD38passe1oblique2	I. Najera Marcos	Non
ARC09N08524-1120	Fo200	SD38passe1oblique3	I. Najera Marcos	Non
ARC09N08524-1121	Fo200	SdTpasse1potence	D. Chauvet	Non
ARC09N08524-1122	Fo200	SdTpasse1potence1	D. Chauvet	Non
ARC09N08524-1123	Fo200	SdTpasse1potence2	D. Chauvet	Non
ARC09N08524-1124	Fo200	SdTpasse1potence3	D. Chauvet	Non
ARC09N08524-1125	Fo200	SdTpasse1potence4	D. Chauvet	Non
ARC09N08524-1126	Fo200	SdTpasse1potence5	D. Chauvet	Non
ARC09N08524-1127	Fo200	SdTpasse1potence6	D. Chauvet	Non
ARC09N08524-1128	Fo200	SdTpasse1potence7	D. Chauvet	Non

NOM du fichier	N° structure	Description	Auteur	Publiable
ARC09N08524-1129	Fo200	SD6-33 cmpotence	A. Battistini	Non
ARC09N08524-1130	Fo200	SD6-33 cmpotence1	A. Battistini	Non
ARC09N08524-1131	Fo200	SD6-33 cmpotence2	A. Battistini	Non
ARC09N08524-1132	Fo200	SD6-33 cmdétail	A. Battistini	Oui
ARC09N08524-1133	Fo200	SD6-33 cmdétail1	A. Battistini	Non
ARC09N08524-1134	Fo200	SD6-33 cmdétail2	A. Battistini	Non
ARC09N08524-1135	Fo200	SD6-33 cmdétail3	A. Battistini	Oui
ARC09N08524-1136	Fo200	SD6-33cmdétail4	A. Battistini	Non
ARC09N08524-1137	Fo200	SD6-33 cmdétail5	A. Battistini	Non
ARC09N08524-1138	Fo200	SdGpasse3détail	V. Maret	Non
ARC09N08524-1139	Fo200	SdGpasse3détail1	V. Maret	Non
ARC09N08524-1140	Fo200	SdGpasse3détail2	V. Maret	Non
ARC09N08524-1141	Fo200	SdGpasse3détail3	V. Maret	Non
ARC09N08524-1142	Fo200	SdGpasse3détail4	V. Maret	Non
ARC09N08524-1143	Fo200	SdGpasse3détail5	V. Maret	Non
ARC09N08524-1144	Fo200	SdGpasse3détail6	V. Maret	Non
ARC09N08524-1145	Fo200	SdGpasse3détail7	V. Maret	Non
ARC09N08524-1146	Fo200	SdGpasse3détail8	V. Maret	Non
ARC09N08524-1147	Fo200	SdGpasse3potence	V. Maret	Non
ARC09N08524-1148	Fo200	SdGpasse3potence1	V. Maret	Non
ARC09N08524-1149	Fo200	SdGpasse3potence2	V. Maret	Non
ARC09N08524-1150	Fo200	SdGpasse3potence3	V. Maret	Non
ARC09N08524-1151	Fo200	SdGpasse3potence4	V. Maret	Non
ARC09N08524-1152	Fo200	SdGpasse3potence5	V. Maret	Non
ARC09N08524-1153	Fo200	SdGpasse3potence6	V. Maret	Non
ARC09N08524-1154	Fo200	SdU-détail	R. Marque	Non
ARC09N08524-1155	Fo200	SdU-détail1	R. Marque	Oui
ARC09N08524-1156	Fo200	SdU-détail2	R. Marque	Oui
ARC09N08524-1157	Fo200	SdU-détail3	R. Marque	Non
ARC09N08524-1158	Fo200	SdU-détail4	R. Marque	Oui
ARC09N08524-1159	Fo200	SdU-détail5	R. Marque	Non
ARC09N08524-1160	Fo200	SdU-détail6	R. Marque	Non
ARC09N08524-1161	Fo200	SdU-détail7	R. Marque	Non
ARC09N08524-1162	Fo200	SdU-détail8	R. Marque	Non
ARC09N08524-1163	Fo200	SdU-oblique	R. Marque	Oui
ARC09N08524-1164	Fo200	SdU-potence	R. Marque	Non
ARC09N08524-1165	Fo200	SdU-potence1	R. Marque	Oui
ARC09N08524-1166	Fo200	curage-fossé-nord	J.-G. Pariat	Non
ARC09N08524-1167	Fo200	curage-fossé-nord1	J.-G. Pariat	Oui
ARC09N08524-1168	Fo200	curage-fossé-nord2	J.-G. Pariat	Oui
ARC09N08524-1169	Fo200	curage-fossé-nord3	J.-G. Pariat	Oui
ARC09N08524-1170	Fo200	curage-fossé-nord4	J.-G. Pariat	Oui
ARC09N08524-1171	Fo200	curage-fossé-nord5	J.-G. Pariat	Non
ARC09N08524-1172	Fo200	curage-pelle	J.-G. Pariat	Oui
ARC09N08524-1173	Fo200	SD38passe3potence	I. Najera Marcos	Non
ARC09N08524-1174	Fo200	SD38passe3potence1	I. Najera Marcos	Non
ARC09N08524-1175	Fo200	SD38passe3potence2	I. Najera Marcos	Non
ARC09N08524-1176	Fo200	SD38passe3potence3	I. Najera Marcos	Non
ARC09N08524-1177	Fo200	SD38passe3potence4	I. Najera Marcos	Non
ARC09N08524-1178	Fo200	SD38passe3potence5	I. Najera Marcos	Non
ARC09N08524-1179	Fo200	SD38passe3oblique	I. Najera Marcos	Non
ARC09N08524-1180	Fo200	SD38passe3oblique1	I. Najera Marcos	Non
ARC09N08524-1181	Fo200	SD38passe3oblique2	I. Najera Marcos	Non
ARC09N08524-1182	Fo200	SD38passe3oblique3	I. Najera Marcos	Non
ARC09N08524-1183	Fo200	SdApassse4potence	C. Roy	Oui
ARC09N08524-1184	Fo200	SdApassse4potence1	C. Roy	Oui
ARC09N08524-1185	Fo200	SdApassse4potence2	C. Roy	Non
ARC09N08524-1186	Fo200	SdApassse4potence3	C. Roy	Non
ARC09N08524-1187	Fo200	SdApassse4potence4	C. Roy	Non
ARC09N08524-1188	Fo200	SdApassse4oblique	G. Le Goïc	Oui
ARC09N08524-1189	Fo200	SdApassse4oblique1	G. Le Goïc	Non
ARC09N08524-1190	Fo200	SdGpasse3bis-détail	V. Maret	Non
ARC09N08524-1191	Fo200	SdGpasse3bis-détail1	V. Maret	Non
ARC09N08524-1192	Fo200	SdGpasse3bis-détail2	V. Maret	Non

NOM du fichier	N° structure	Description	Auteur	Publiable
ARC09N08524-1193	Fo200	SdGpasse3bis-potence	V. Maret	Non
ARC09N08524-1194	Fo200	SdGpasse3bis-potence1	V. Maret	Non
ARC09N08524-1195	Fo200	SdGpasse3bis-potence2	V. Maret	Non
ARC09N08524-1196	Fo200	SdU-60 cm-potence	D. Chauvet	Non
ARC09N08524-1197	Fo200	SdU-60 cm-potence1	D. Chauvet	Non
ARC09N08524-1198	Fo200	SdU-60 cm-potence2	D. Chauvet	Non
ARC09N08524-1199	Fo200	SdU-60 cm-détail	D. Chauvet	Non
ARC09N08524-1200	Fo200	SdU-60 cm-détail1	D. Chauvet	Non
ARC09N08524-1201	Fo200	SdU-60 cm-détail2	D. Chauvet	Non
ARC09N08524-1202	Fo200	zone-nord	J.-G. Pariat	Non
ARC09N08524-1203	Fo200	SD1passe4oblique	C. Roy	Non
ARC09N08524-1204	Fo200	SD1passe4oblique1	C. Roy	Non
ARC09N08524-1205	Fo200	SD1passe4oblique2	C. Roy	Non
ARC09N08524-1206	Fo200	SD1passe4oblique3	C. Roy	Non
ARC09N08524-1207	Fo200	SD1passe4oblique4	C. Roy	Non
ARC09N08524-1208	Fo200	SD1passe4oblique5	C. Roy	Non
ARC09N08524-1209	Fo200	SD1passe4oblique6	C. Roy	Non
ARC09N08524-1210	Fo200	SD1passe4oblique7	C. Roy	Non
ARC09N08524-1211	Fo200	SD1passe4oblique8	C. Roy	Non
ARC09N08524-1212	Fo200	SdX-potence	R. Marque	Non
ARC09N08524-1213	Fo200	SdX-potence1	R. Marque	Non
ARC09N08524-1214	Fo200	SdX-potence2	R. Marque	Non
ARC09N08524-1215	Fo200	SdX-potence3	R. Marque	Non
ARC09N08524-1216	Fo200	SdX-potence4	R. Marque	Non
ARC09N08524-1217	Fo200	SdX-potence5	R. Marque	Non
ARC09N08524-1218	Fo200	SdX-potence6	R. Marque	Oui
ARC09N08524-1219	Fo200	SdX-potence7	R. Marque	Oui
ARC09N08524-1220	Fo200	SdX-potence8	R. Marque	Non
ARC09N08524-1221	Fo200	SdX-potence9	R. Marque	Non
ARC09N08524-1222	Fo200	SdX-potence10	R. Marque	Non
ARC09N08524-1223	Fo200	SdX-potence11	R. Marque	Non
ARC09N08524-1224	Fo200	SdYbis-potence	D. Chauvet	Non
ARC09N08524-1225	Fo200	SdYbis-potence1	D. Chauvet	Non
ARC09N08524-1226	Fo200	SdYbis-potence2	D. Chauvet	Non
ARC09N08524-1227	Fo200	SdYbis-potence3	D. Chauvet	Non
ARC09N08524-1228	Fo200	SdYbis-potence4	D. Chauvet	Non
ARC09N08524-1229	Fo200	SdYbis-potence5	D. Chauvet	Non
ARC09N08524-1230	Fo200	SdYbis-potence6	D. Chauvet	Non
ARC09N08524-1231	Fo200	SdYbis-potence7	D. Chauvet	Non
ARC09N08524-1232	Fo200	SD38passe4-105 cm-détail	I. Najera Marcos	Non
ARC09N08524-1233	Fo200	SD38passe4-105 cm-détail1	I. Najera Marcos	Non
ARC09N08524-1234	Fo200	SD38passe4-105 cm-détail2	I. Najera Marcos	Non
ARC09N08524-1235	Fo200	SD38passe4-105 cm-détail3	I. Najera Marcos	Non
ARC09N08524-1236	Fo200	SD38passe4-105 cm-potence	I. Najera Marcos	Non
ARC09N08524-1237	Fo200	SD38passe4-105 cm-potence1	I. Najera Marcos	Non
ARC09N08524-1238	Fo200	SD38passe4-105 cm-potence2	I. Najera Marcos	Non
ARC09N08524-1239	Fo200	SD38passe4-105 cm-potence3	I. Najera Marcos	Non
ARC09N08524-1240	Fo200	SD6passe7-38 cm-détail	A. Battistini	Oui
ARC09N08524-1241	Fo200	SD6passe7-38 cm-détail1	A. Battistini	Oui
ARC09N08524-1242	Fo200	SD6passe7-38 cm-détail2	A. Battistini	Non
ARC09N08524-1243	Fo200	SD6passe7-38 cm-détail3	A. Battistini	Non
ARC09N08524-1244	Fo200	SD6passe7-38 cm-détail4	A. Battistini	Non
ARC09N08524-1245	Fo200	SD6passe7-38 cm-détail5	A. Battistini	Non
ARC09N08524-1246	Fo200	SD6passe7-38 cm-potence	A. Battistini	Non
ARC09N08524-1247	Fo200	SD6passe7-38 cm-potence1	A. Battistini	Non
ARC09N08524-1248	Fo200	SD6passe7-38 cm-oblique	A. Battistini	Oui
ARC09N08524-1249	Fo200	SdApassé5-80 cm-détail	C. Roy	Non
ARC09N08524-1250	Fo200	SdApassé5-80 cm-détail1	C. Roy	Non
ARC09N08524-1251	Fo200	SdApassé5-80 cm-détail2	C. Roy	Oui
ARC09N08524-1252	Fo200	SdApassé5-80 cm-détail3	C. Roy	Non
ARC09N08524-1253	Fo200	SdApassé5-80 cm-détail4	C. Roy	Non
ARC09N08524-1254	Fo200	SdApassé5-80 cm-détail5	C. Roy	Non
ARC09N08524-1255	Fo200	SdApassé5-80 cm-potence	G. Le Goïc	Non
ARC09N08524-1256	Fo200	SdApassé5-80 cm-potence1	G. Le Goïc	Non

NOM du fichier	N° structure	Description	Auteur	Publiable
ARC09N08524-1257	Fo200	SdApassé5-80 cm-potence2	G. Le Goïc	Non
ARC09N08524-1258	Fo200	SdApassé5-80 cm-potence3	G. Le Goïc	Non
ARC09N08524-1259	Fo200	SdApassé6-80 cm-potence	C. Roy	Oui
ARC09N08524-1260	Fo200	SdApassé6-80 cm-potence1	C. Roy	Non
ARC09N08524-1261	Fo200	SdApassé6-80 cm-potence2	C. Roy	Non
ARC09N08524-1262	Fo200	SdApassé6-80 cm-potence3	C. Roy	Non
ARC09N08524-1263	Fo200	SdApassé6-80 cm-détail	G. Le Goïc	Non
ARC09N08524-1264	Fo200	SdApassé6-80 cm-détail1	G. Le Goïc	Non
ARC09N08524-1265	Fo200	SdApassé6-80 cm-détail2	G. Le Goïc	Non
ARC09N08524-1266	Fo200	SdApassé6-80 cm-détail3	G. Le Goïc	Non
ARC09N08524-1267	Fo200	SdApassé6-80 cm-détail4	G. Le Goïc	Non
ARC09N08524-1268	Fo200	SdApassé6-80 cm-détail5	G. Le Goïc	Non
ARC09N08524-1269	Fo200	SdApassé6-80 cm-détail6	G. Le Goïc	Non
ARC09N08524-1270	Fo200	SdApassé6-80 cm-détail7	G. Le Goïc	Non
ARC09N08524-1271	Fo200	SdGpasse4-50 cm-détail	V. Maret	Non
ARC09N08524-1272	Fo200	SdGpasse4-50 cm-détail1	V. Maret	Non
ARC09N08524-1273	Fo200	SdGpasse4-50 cm-détail2	V. Maret	Non
ARC09N08524-1274	Fo200	SdGpasse4-50cm-détail3	V. Maret	Oui
ARC09N08524-1275	Fo200	SdGpasse4-50 cm-détail4	V. Maret	Non
ARC09N08524-1276	Fo200	SdGpasse4-50 cm-détail5	V. Maret	Non
ARC09N08524-1277	Fo200	SdGpasse4-50 cm-détail6	V. Maret	Oui
ARC09N08524-1278	Fo200	SdGpasse4-50 cm-détail7	V. Maret	Non
ARC09N08524-1279	Fo200	SdGpasse4-50 cm-détail8	V. Maret	Non
ARC09N08524-1280	Fo200	SdGpasse4-50 cm-détail9	V. Maret	Non
ARC09N08524-1281	Fo200	SdGpasse4-50 cm-détail10	V. Maret	Non
ARC09N08524-1282	Fo200	SdGpasse4-50 cm-détail11	V. Maret	Non
ARC09N08524-1283	Fo200	SdGpasse4-50 cm-oblique	V. Maret	Oui
ARC09N08524-1284	Fo200	SdGpasse4-50 cm-nord-potence	V. Maret	Non
ARC09N08524-1285	Fo200	SdGpasse4-50 cm-nord-potence1	V. Maret	Non
ARC09N08524-1286	Fo200	SdGpasse4-50 cm-nord-potence2	V. Maret	Non
ARC09N08524-1287	Fo200	SdGpasse4-50 cm-nord-potence3	V. Maret	Non
ARC09N08524-1288	Fo200	SdGpasse4-50 cm-nord-potence4	V. Maret	Oui
ARC09N08524-1289	Fo200	SdGpasse4-50 cm-nord-potence5	V. Maret	Non
ARC09N08524-1290	Fo200	SdGpasse4-50 cm-nord-potence6	V. Maret	Non
ARC09N08524-1291	Fo200	SdGpasse4-50 cm-nord-potence7	V. Maret	Non
ARC09N08524-1292	Fo200	SdGpasse4-50 cm-nord-potence8	V. Maret	Non
ARC09N08524-1293	Fo200	SdX-15 cm-détail	R. Marque	Non
ARC09N08524-1294	Fo200	SdX-15 cm-potence	R. Marque	Non
ARC09N08524-1295	Fo200	SdX-15 cm-potence1	R. Marque	Non
ARC09N08524-1296	Fo200	SdX-15 cm-potence2	R. Marque	Non
ARC09N08524-1297	Fo200	SdX-15 cm-potence3	R. Marque	Non
ARC09N08524-1298	Fo200	SdYbis-passe2potence	D. Chauvet	Non
ARC09N08524-1299	Fo200	SdYbis-passe2potence1	D. Chauvet	Non
ARC09N08524-1300	Fo200	SdYbis-passe2potence2	D. Chauvet	Non
ARC09N08524-1301	Fo200	SdYbis-passe2potence3	D. Chauvet	Non
ARC09N08524-1302	Fo200	SdYbis-passe2potence4	D. Chauvet	Non
ARC09N08524-1303	Fo200	SdYbis-passe2potence5	D. Chauvet	Non
ARC09N08524-1304	Fo200	SdYbis-passe2potence6	D. Chauvet	Non
ARC09N08524-1305	Fo200	SdYbis-passe2potence7	D. Chauvet	Non
ARC09N08524-1306	Fo200	SdYbis-passe2potence8	D. Chauvet	Non
ARC09N08524-1307	Fo200	SdYbis-passe2potence9	D. Chauvet	Non
ARC09N08524-1308	Fo200	SdYbis-passe2potence10	D. Chauvet	Non
ARC09N08524-1309	Fo200	SdYbis-passe2potence11	D. Chauvet	Non
ARC09N08524-1310	Fo200	SdYbis-passe2potence12	D. Chauvet	Non
ARC09N08524-1311	Fo200	bord-sud-curage	J.-G. Pariat	Oui
ARC09N08524-1312	Fo200	bord-sud-curage1	J.-G. Pariat	Non
ARC09N08524-1313	Fo200	bord-sud-curage2	J.-G. Pariat	Non
ARC09N08524-1314	Fo200	SD38sauvegarde-oblique	I. Najera Marcos	Non
ARC09N08524-1315	Fo200	curage-fossé-nord-oblique	J.-G. Pariat	Non
ARC09N08524-1316	Fo200	curage-fossé-nord-oblique1	J.-G. Pariat	Non
ARC09N08524-1317	Fo200	curage-fossé-nord-oblique2	J.-G. Pariat	Non
ARC09N08524-1318	Fo200	curage-fossé-nord-oblique3	J.-G. Pariat	Non
ARC09N08524-1319	Fo200	curage-fossé-nord-oblique4	J.-G. Pariat	Oui
ARC09N08524-1320	Fo200	curage-fossé-nord-oblique5	J.-G. Pariat	Non

NOM du fichier	N° structure	Description	Auteur	Publiable
ARC09N08524-1321	Fo200	curage-fossé-ouest-oblique	J.-G. Pariat	Oui
ARC09N08524-1322	Fo200	curage-fossé-ouest-oblique1	J.-G. Pariat	Oui
ARC09N08524-1323	Fo200	curage-fossé-ouest-oblique2	J.-G. Pariat	Non
ARC09N08524-1324	Fo200	SD38passe5-potence	I. Najera Marcos	Non
ARC09N08524-1325	Fo200	SD38passe5-potence1	I. Najera Marcos	Non
ARC09N08524-1326	Fo200	SD38passe5-potence2	I. Najera Marcos	Oui
ARC09N08524-1327	Fo200	SD38passe5-potence3	I. Najera Marcos	Oui
ARC09N08524-1328	Fo200	SD38passe5-potence4	I. Najera Marcos	Non
ARC09N08524-1329	Fo200	SD38passe5-potence5	I. Najera Marcos	Non
ARC09N08524-1330	Fo200	SD38passe5-potence6	I. Najera Marcos	Non
ARC09N08524-1331	Fo200	SD38passe5-potence7	I. Najera Marcos	Non
ARC09N08524-1332	Fo200	SD38passe5-potence8	I. Najera Marcos	Non
ARC09N08524-1333	Fo200	SD40-40-60 cm-potence	C. Roy	Non
ARC09N08524-1334	Fo200	SD40-40-60 cm-potence1	C. Roy	Non
ARC09N08524-1335	Fo200	SD40passe1potence	G. Le Goïc	Non
ARC09N08524-1336	Fo200	SD40passe1potence1	G. Le Goïc	Non
ARC09N08524-1337	Fo200	SD40passe1potence2	G. Le Goïc	Non
ARC09N08524-1338	Fo200	SD40passe1potence3	G. Le Goïc	Non
ARC09N08524-1339	Fo200	SD40passe1potence4	G. Le Goïc	Non
ARC09N08524-1340	Fo200	SD40passe1potence5	G. Le Goïc	Non
ARC09N08524-1341	Fo200	SD6-coupe	J.-G. Pariat	Oui
ARC09N08524-1342	Fo200	SD6-coupe1	J.-G. Pariat	Non
ARC09N08524-1343	Fo200	SdFpasse1potence	A. Battistini	Non
ARC09N08524-1344	Fo200	SdFpasse1potence1	A. Battistini	Non
ARC09N08524-1345	Fo200	SdFpasse1potence2	A. Battistini	Non
ARC09N08524-1346	Fo200	SdFpasse1potence3	A. Battistini	Non
ARC09N08524-1347	Fo200	SdFpasse1oblique	A. Battistini	Non
ARC09N08524-1348	Fo200	SdFpasse1oblique1	A. Battistini	Non
ARC09N08524-1349	Fo200	SdFpasse1oblique2	A. Battistini	Non
ARC09N08524-1350	Fo200	SdFpasse2potence	A. Battistini	Non
ARC09N08524-1351	Fo200	SdFpasse2potence1	A. Battistini	Non
ARC09N08524-1352	Fo200	SdFpasse2potence2	A. Battistini	Non
ARC09N08524-1353	Fo200	SdFpasse2potence3	A. Battistini	Non
ARC09N08524-1354	Fo200	SdFpasse2potence4	A. Battistini	Non
ARC09N08524-1355	Fo200	SdGpasse5potence	V. Maret	Non
ARC09N08524-1356	Fo200	SdGpasse5potence1	V. Maret	Non
ARC09N08524-1357	Fo200	SdGpasse5potence2	V. Maret	Non
ARC09N08524-1358	Fo200	SdGpasse5potence3	V. Maret	Oui
ARC09N08524-1359	Fo200	SdGpasse5potence4	V. Maret	Non
ARC09N08524-1360	Fo200	SdGpasse5potence5	V. Maret	Non
ARC09N08524-1361	Fo200	SdGpasse5potence6	V. Maret	Non
ARC09N08524-1362	Fo200	SdGpasse5potence7	V. Maret	Non
ARC09N08524-1363	Fo200	SdGpasse5potence8	V. Maret	Non
ARC09N08524-1364	Fo200	SdX-40/-50 cm-potence	C. Roy	Non
ARC09N08524-1365	Fo200	SdX-40/-50 cm-potence1	C. Roy	Non
ARC09N08524-1366	Fo200	SdX-40/-50 cm-potence2	C. Roy	Non
ARC09N08524-1367	Fo200	SdX-40/-50 cm-potence3	C. Roy	Non
ARC09N08524-1368	Fo200	SdX-40/-50 cm-potence4	C. Roy	Non
ARC09N08524-1369	Fo200	SdYbispasse3potence	D. Chauvet	Non
ARC09N08524-1370	Fo200	SdYbispasse3potence1	D. Chauvet	Oui
ARC09N08524-1371	Fo200	SdYbispasse3potence2	D. Chauvet	Non
ARC09N08524-1372	Fo200	SdYbispasse3potence3	D. Chauvet	Non
ARC09N08524-1373	Fo200	SdYbispasse3potence4	D. Chauvet	Non
ARC09N08524-1374	Fo200	SdYbispasse3potence5	D. Chauvet	Non
ARC09N08524-1375	Fo200	SdYbispasse3potence6	D. Chauvet	Non
ARC09N08524-1376	Fo200	SdYbispasse3potence7	D. Chauvet	Non
ARC09N08524-1377	Fo200	SdYbispasse3potence8	D. Chauvet	Non
ARC09N08524-1378	Fo200	SdYbispasse3potence9	D. Chauvet	Non
ARC09N08524-1379	F214	oblique	G. Le Goïc	Non
ARC09N08524-1380	F214	oblique1	G. Le Goïc	Non
ARC09N08524-1381	F227	oblique	I. Najera Marcos	Non
ARC09N08524-1382	F227	oblique1	I. Najera Marcos	Non
ARC09N08524-1383	TP241	oblique	C. Laporte-Cassagne	Non
ARC09N08524-1384	TP241	oblique1	C. Laporte-Cassagne	Non

NOM du fichier	N° structure	Description	Auteur	Publiable
ARC09N08524-1385	Ext.enclos	zone-nord-dedécapage	J.-G. Pariat	Non
ARC09N08524-1386	Ext.enclos	zone-nord-dedécapage1	J.-G. Pariat	Oui
ARC09N08524-1387	Ext.enclos	zone-nord-dedécapage2	J.-G. Pariat	Oui
ARC09N08524-1388	Ext.enclos	zone-nord-dedécapage3	J.-G. Pariat	Non
ARC09N08524-1389	Ext.enclos	zone-nord-dedécapage4	J.-G. Pariat	Non
ARC09N08524-1390	Ext.enclos	zone-nord-dedécapage5	J.-G. Pariat	Non
ARC09N08524-1391	Ext.enclos	zone-nord-dedécapage6	J.-G. Pariat	Non
ARC09N08524-1672	enclos	conditions	J.-G. Pariat	Non
ARC09N08524-1673	enclos	conditions1	J.-G. Pariat	Non
ARC09N08524-1674	enclos	conditions2	J.-G. Pariat	Non
ARC09N08524-1675	enclos	conditions3	J.-G. Pariat	Non
ARC09N08524-1684	enclos	Romain	J.-G. Pariat	Non
ARC09N08524-1685	enclos	topo	J.-G. Pariat	Non
ARC09N08524-1686	enclos	Delphine	J.-G. Pariat	Non
ARC09N08524-1687	enclos	Delphine	J.-G. Pariat	Non
ARC09N08524-1688	enclos	Israël	J.-G. Pariat	Non
ARC09N08524-1689	enclos	nature-morte	J.-G. Pariat	Non
ARC09N08524-1690	enclos	Philippe	J.-G. Pariat	Non
ARC09N08524-1691	SDAVO	lavage	J.-G. Pariat	Non
ARC09N08524-1692	SDAVO	lavage1	J.-G. Pariat	Non
ARC09N08524-1693	enclos	Philippe	J.-G. Pariat	Non
ARC09N08524-1694	enclos	Delphine	J.-G. Pariat	Non
ARC09N08524-1695	enclos	brouette	J.-G. Pariat	Non
ARC09N08524-1696	enclos	Jean-Gabriel	V. Maret	Non
ARC09N08524-1697	enclos	Delphine	A. Battistini	Non
ARC09N08524-1698	enclos	Fo200SD6-en-cours	A. Battistini	Oui
ARC09N08524-1699	enclos	Fo200SD6-en-cours1	A. Battistini	Non
ARC09N08524-1700	enclos	Romain	A. Battistini	Non
ARC09N08524-1701	enclos	Romain	A. Battistini	Non
ARC09N08524-1702	enclos	SD2en-cours	G. Le Goïc	Non
ARC09N08524-1703	enclos	SD2en-cours1	G. Le Goïc	Non
ARC09N08524-1704	enclos	tranchées	A. Battistini	Non
ARC09N08524-1705	enclos	Cécile	J.-G. Pariat	Oui
ARC09N08524-1706	enclos	Cécile1	J.-G. Pariat	Non
ARC09N08524-1707	enclos	Romain-et-Vanessa	A. Battistini	Oui
ARC09N08524-1708	enclos	Romain-et-Vanessa1	A. Battistini	Non
ARC09N08524-1709	enclos	Romain-et-Vanessa2	A. Battistini	Non
ARC09N08524-1710	enclos	Cécile	J.-G. Pariat	Non
ARC09N08524-1711	enclos	de-l'ombre!	J.-G. Pariat	Non
ARC09N08524-1712	enclos	le-chef-au-travail	R. Marque	Oui
ARC09N08524-1713	enclos	Romain-dans-le-silo	V. Maret	Non
ARC09N08524-1714	enclos	Romain-dans-le-silo1	V. Maret	Non
ARC09N08524-1715	enclos	Guillaume	V. Maret	Non
ARC09N08524-1716	enclos	Guillaume1	V. Maret	Oui
ARC09N08524-1717	enclos	Guillaume2	V. Maret	Non
ARC09N08524-1718	enclos	Jean-Gabriel	V. Maret	Non
ARC09N08524-1719	enclos	groupe	V. Maret	Non
ARC09N08524-1720	enclos	Guillaume	C. Roy	Non
ARC09N08524-1721	enclos	SdU	R. Marque	Non
ARC09N08524-1722	enclos	SdU	R. Marque	Non
ARC09N08524-1723	enclos	SdU-et-Israël	R. Marque	Oui
ARC09N08524-1724	enclos	SdU	R. Marque	Non
ARC09N08524-1725	enclos	ambience-au-travail	J.-G. Pariat	Non
ARC09N08524-1726	enclos	ambience-au-travail	J.-G. Pariat	Oui
ARC09N08524-1727	enclos	ambience-au-travail	J.-G. Pariat	Non
ARC09N08524-1728	enclos	Aurélie	V. Maret	Non
ARC09N08524-1729	enclos	Aurélie1	V. Maret	Non
ARC09N08524-1730	enclos	groupe	J.-G. Pariat	Non
ARC09N08524-1731	enclos	angleNE	J.-G. Pariat	Oui
ARC09N08524-1732	enclos	Aurélie	R. Marque	Non
ARC09N08524-1733	enclos	Christian-et-Aurélie	R. Marque	Non
ARC09N08524-1734	enclos	Christian	R. Marque	Non
ARC09N08524-1735	enclos	Christian1	R. Marque	Non
ARC09N08524-1736	enclos	Christian2	R. Marque	Non

NOM du fichier	N° structure	Description	Auteur	Publiable
ARC09N08524-1737	enclos	Vanessa-démontage	A. Battistini	Non
ARC09N08524-1738	enclos	Christian	J.-G. Pariat	Non
ARC09N08524-1739	enclos	Christian1	J.-G. Pariat	Non
ARC09N08524-1740	enclos	Delphine	J.-G. Pariat	Non
ARC09N08524-1741	enclos	Delphine-Vanessa-Philippe	J.-G. Pariat	Non
ARC09N08524-1742	enclos	Israël	J.-G. Pariat	Oui
ARC09N08524-1743	enclos	Vanessa	J.-G. Pariat	Oui
ARC09N08524-1744	enclos	SD38-groupe	J.-G. Pariat	Non
ARC09N08524-1745	enclos	SD38-groupe1	J.-G. Pariat	Non
ARC09N08524-1746	enclos	groupe	J.-G. Pariat	Non
ARC09N08524-1747	enclos	groupe1	J.-G. Pariat	Non
ARC09N08524-1748	enclos	groupe2	J.-G. Pariat	Non
ARC09N08524-1749	enclos	groupe3	J.-G. Pariat	Non
ARC09N08524-1750	enclos	groupe4	J.-G. Pariat	Non
ARC09N08524-1751	enclos	groupe5	J.-G. Pariat	Non
ARC09N08524-1752	enclos	groupe6	J.-G. Pariat	Non
ARC09N08524-1753	enclos	groupe7	J.-G. Pariat	Non
ARC09N08524-1754	enclos	groupe8	J.-G. Pariat	Non
ARC09N08524-1755	enclos	photo-famille	J.-G. Pariat	Oui
ARC09N08524-1756	enclos	photo-famille1	J.-G. Pariat	Oui
ARC09N08524-1757	F501	-200 à -220 cm	V. Maret	Non
ARC09N08524-1758	F501	-200 à -220 cm	V. Maret	Non
ARC09N08524-1759	F501	-200 à -220 cm	V. Maret	Non
ARC09N08524-1760	F501	-200 à -220 cm	V. Maret	Non
ARC09N08524-1761	F501	-200 à -220 cm détouré	V. Maret	Non
ARC09N08524-1762	F501	-200 à -220 cm face active détouré	V. Maret	Non
ARC09N08524-1763	F501	Fragment2 -200 à -220 cm	V. Maret	Non
ARC09N08524-1764	F501	Fragment2 -200 à -220 cm	V. Maret	Non
ARC09N08524-1765	F501	Fragment2 -200 à -220 cm	V. Maret	Non
ARC09N08524-1766	F501	Fragment2 -200 à -220 cm	V. Maret	Non
ARC09N08524-1767	F501	Fragment2 -200 à -220 cm détouré	V. Maret	Non
ARC09N08524-1768	F501	Fragment3 -200 à -220 cm	V. Maret	Non
ARC09N08524-1769	F501	Fragment3 -200 à -220 cm	V. Maret	Non
ARC09N08524-1770	F501	Fragment3 -200 à -220 cm	V. Maret	Non
ARC09N08524-1771	F501	Fragment3 -200 à -220 cm	V. Maret	Non
ARC09N08524-1772	F501	Fragment3 -200 à -220 cm	V. Maret	Non
ARC09N08524-1773	F501	Fragment3 -200 à -220 cm	V. Maret	Non
ARC09N08524-1774	F501	Fragment3 -200 à -220 cm détouré	V. Maret	Non
ARC09N08524-1775	F501-Nord	-220 à -240 cm	V. Maret	Non
ARC09N08524-1776	F501-Nord	-220 à -240 cm	V. Maret	Non
ARC09N08524-1777	F501-Nord	-220 à -240 cm détouré	V. Maret	Non
ARC09N08524-1778	Fo200	SdApasse4-fragment	V. Maret	Non
ARC09N08524-1779	Fo200	SdApasse4-fragment	V. Maret	Non
ARC09N08524-1780	Fo200	SdApasse4-fragment	V. Maret	Non
ARC09N08524-1781	Fo200	SdApasse4-fragment	V. Maret	Non
ARC09N08524-1782	Fo200	SdApasse4-fragment	V. Maret	Non
ARC09N08524-1783	F504	moitié sud	V. Maret	Non
ARC09N08524-1784	F504	moitié sud	V. Maret	Non
ARC09N08524-1785	F504	moitié sud	V. Maret	Non
ARC09N08524-1786	F504	moitié sud	V. Maret	Non
ARC09N08524-1787	F504	moitié sud-détouré	V. Maret	Non
ARC09N08524-1788	Fo200	SD3-passe1	V. Maret	Non
ARC09N08524-1789	Fo200	SD3-passe1	V. Maret	Non
ARC09N08524-1790	Fo200	SD3-passe1	V. Maret	Non
ARC09N08524-1791	Fo200	SD3-passe1	V. Maret	Non
ARC09N08524-1792	Fo200	SD3-passe1-détouré	V. Maret	Non
ARC09N08524-1793	Fo200	SD38	V. Maret	Non
ARC09N08524-1794	Fo200	SD38	V. Maret	Non
ARC09N08524-1795	Fo200	SD38	V. Maret	Non
ARC09N08524-1796	Fo200	SD38	V. Maret	Non
ARC09N08524-1797	Fo200	SD38-détouré	V. Maret	Non
ARC09N08524-1798	Fo200	SdB-passe1	V. Maret	Non
ARC09N08524-1799	Fo200	SdB-passe1	V. Maret	Non
ARC09N08524-1800	Fo200	SdB-passe1	V. Maret	Non

NOM du fichier	N° structure	Description	Auteur	Publiable
ARC09N08524-1801	Fo200	SdB-passe1	V. Maret	Non
ARC09N08524-1802	Fo200	SdB-passe4	V. Maret	Non
ARC09N08524-1803	Fo200	SdB-passe4	V. Maret	Non
ARC09N08524-1804	Fo200	SdB-passe4	V. Maret	Non
ARC09N08524-1805	Fo200	SdB-passe4	V. Maret	Non
ARC09N08524-1806	Fo200	SdB-passe4	V. Maret	Non
ARC09N08524-1807	Fo200	SdB-passe4	V. Maret	Non
ARC09N08524-1808	Fo200	SdB-passe4	V. Maret	Non
ARC09N08524-1809	Fo200	SdB-passe4-détouré	V. Maret	Non
ARC09N08524-1810	Fo200	Sdl	V. Maret	Non
ARC09N08524-1811	Fo200	Sdl	V. Maret	Non
ARC09N08524-1812	Fo200	Sdl	V. Maret	Non
ARC09N08524-1813	Fo200	Sdl	V. Maret	Non
ARC09N08524-1814	Fo200	Sdl-détouré	V. Maret	Non
ARC09N08524-1815	Fo200	SdU	V. Maret	Non
ARC09N08524-1816	Fo200	SdU	V. Maret	Non
ARC09N08524-1817	Fo200	SdU	V. Maret	Non
ARC09N08524-1818	Fo200	SdU	V. Maret	Non
ARC09N08524-1819	Fo200	SdU	V. Maret	Non
ARC09N08524-1820	Fo200	SdU	V. Maret	Non
ARC09N08524-1821	Fo200	SdU	V. Maret	Non
ARC09N08524-1822	Fo200	SdU	V. Maret	Non
ARC09N08524-1823	Fo200	SdU	V. Maret	Non
ARC09N08524-1824	Fo200	SdU-détouré	V. Maret	Non
ARC09N08524-1825	Fo200	SdB-passe4	F. Dussère	Non
ARC09N08524-1826	Fo200	SdB-passe4	F. Dussère	Non
ARC09N08524-1827	Fo200	SdB-passe4	F. Dussère	Non
ARC09N08524-1828	Fo200	SD20-anvers	F. Dussère	Non
ARC09N08524-1829	Fo200	SD20-revers	F. Dussère	Non
ARC09N08524-1830	Fo200	SdS-passe1-sous céramique E-anvers	F. Dussère	Non
ARC09N08524-1831	Fo200	SdS-passe1-sous céramique E-revers	F. Dussère	Non
ARC09N08524-1832	Fo200	SdB-passe1anvers(0 à 20 cm) sous cer A et B	F. Dussère	Non
ARC09N08524-1833	Fo200	SdB-passe1revers(0 à 20 cm) sous cer A et B	F. Dussère	Non
ARC09N08524-1834	Fo200	Sdl -50 à -70 cm revers	F. Dussère	Non
ARC09N08524-1835	Fo200	SD38-passe-face A	F. Dussère	Non
ARC09N08524-1836	Fo200	SD38-passe-face B	F. Dussère	Non
ARC09N08524-1837	Fo200	SD8	V. Maret	Non
ARC09N08524-1838	Fo200	SD8	V. Maret	Non
ARC09N08524-1839	Fo200	SD8	V. Maret	Non
ARC09N08524-1840	Fo200	SD8	V. Maret	Non
ARC09N08524-1841	Fo200	SD8	V. Maret	Non
ARC09N08524-1842	Fo200	SD8	V. Maret	Non
ARC09N08524-1843	Fo200	SD8	V. Maret	Non
ARC09N08524-1844	Fo200	SD8	V. Maret	Non
ARC09N08524-1845	Fo200	SD8-détouré	V. Maret	Non
ARC09N08524-1846	Fo200	SdU	V. Maret	Non
ARC09N08524-1847	Fo200	SdU	V. Maret	Non
ARC09N08524-1848	Fo200	SdU	V. Maret	Non
ARC09N08524-1849	Fo200	SdU	V. Maret	Non
ARC09N08524-1850	Fo200	SdU	V. Maret	Non
ARC09N08524-1851	Fo200	SdU	V. Maret	Non
ARC09N08524-1852	Fo200	SdU	V. Maret	Non
ARC09N08524-1853	Fo200	SdU-détouré	V. Maret	Non
ARC09N08524-1854	Fo200	SdU-détouré avec flèche	V. Maret	Non
ARC09N08524-1903	Fo200	Sd U, crâne humain, détail à la loupe binoculaire	V. Maret	Non
ARC09N08524-1904	Fo200	Sd U, crâne humain, détail à la loupe binoculaire	V. Maret	Non
ARC09N08524-1908	F20 et F501	fragments bracelet en lignite	A. Battistini	Oui
ARC09N08524-1909	Fo200 SX	barre de grill	J.-G. Pariat	Non
ARC09N08524-1910	Fo200 SX	barre de grill	J.-G. Pariat	Non
ARC09N08524-1911	Fo200 SAF	soc ou plantoir	J.-G. Pariat	Non
ARC09N08524-1912	F501 1/2N	soc ou plantoir	J.-G. Pariat	Non
ARC09N08524-1913	F501 1/2N	hache à douille	J.-G. Pariat	Non
ARC09N08524-1914	F501 1/2N	hache à douille	J.-G. Pariat	Non